

ZÁKLADNÉ FYZIKÁLNE VELIČINY A ZÁSADY HODNOTENIA OŽIARENIA

A. Definície základných fyzikálnych veličín používaných v radiačnej ochrane a zásady hodnotenia ožiarenia

1. Absorbovaná dávka – D

je podiel strednej energie ionizujúceho žiarenia $d\bar{\varepsilon}$ odovzdanej elementu látky s hmotnosťou dm

$$D = \frac{d\bar{\varepsilon}}{dm}$$

Jednotkou absorbovanej dávky je Gray (Gy), kde $1 \text{ Gy} = 1 \text{ J.kg}^{-1}$.

2. Dávkový príkon – \dot{D}

je prírastok absorbovanej dávky za jednotku času

$$\dot{D} = \frac{dD}{dt}$$

Jednotkou dávkového príkonu je Gy.s^{-1} , kde $1 \text{ Gy.s}^{-1} = 1 \text{ J.kg}^{-1}.\text{s}^{-1}$.

3. Stredná absorbovaná dávka v orgáne alebo tkanive – D_T

Stredná absorbovaná dávka v orgáne alebo tkanive T je daná podielom celkovej energie ionizujúceho žiarenia ε_T odovzdanej orgánu T a hmotnosti tohto orgánu m_T

$$D_T = \frac{\varepsilon_T}{m_T}$$

Jednotkou strednej absorbovanej dávky v orgáne alebo tkanive je Gray (Gy).

4. Ekvivalentná dávka – H_T

je stredná absorbovaná dávka v tkanive alebo orgáne vynásobená príslušným radiačným váhovým faktorom w_R

$$H_T = w_R \cdot D_{T,R}$$

kde $D_{T,R}$ je stredná absorbovaná dávka žiarenia R v tkanive T a w_R je radiačný váhový faktor ionizujúceho žiarenia R .

Radiačné váhové faktory charakterizujú rozdielne biologické účinky rôznych druhov ionizujúceho žiarenia; hodnoty radiačných váhových faktorov sú uvedené v tabuľke č. 2.

Keď je radiačné pole vytvorené viacerými druhmi žiarenia s rôznymi hodnotami w_R , celková ekvivalentná dávka v tkanive alebo orgáne T sa stanoví podľa vzťahu

$$H_T = \sum_R w_R \cdot D_{T,R}$$

Jednotkou ekvivalentnej dávky je Sievert (Sv), kde $1 \text{ Sv} = 1 \text{ J.kg}^{-1}$.

5. Efektívna dávka – E

je súčtom vážených ekvivalentných dávok H_T vo všetkých orgánoch alebo tkanivách tela v dôsledku vnútorného a vonkajšieho ožiarovania vynásobených príslušným tkanivovým váhovým faktorom w_T

$$E = \sum_T w_T \cdot H_T = \sum_T w_T \sum_R w_R \cdot D_{T,R}$$

kde w_T je tkanivový váhový faktor tkaniva alebo orgánu T, w_R je radiačný váhový faktor ionizujúceho žiarenia R a $D_{T,R}$ je stredná absorbovaná dávka žiarenia R v tkanive T. Tkanivové váhové faktory w_T orgánu alebo tkaniva T reprezentujú relatívny príspevok daného orgánu k celkovej zdravotnej ujme spôsobenej stochastickými účinkami ionizujúceho žiarenia. Tkanivové váhové faktory sú uvedené v tabuľke č. 3.

Jednotkou efektívnej dávky je Sievert (Sv).

6. Kolektívna efektívna dávka – S

Kolektívna efektívna dávka S sa používa na účely kvantifikácie ožiarovania jednotlivých skupín obyvateľstva; je daná súčtom efektívnych dávok všetkých jednotlivcov v určitej skupine osôb a je definovaná vzťahom

$$S = \sum_i N_i \cdot \bar{E}_i$$

kde N_i je počet členov v zvolenej podskupine i a \bar{E}_i je priemerná efektívna dávka v zvolenej podskupine osôb.

Jednotkou kolektívnej efektívnej dávky je man.Sievert (man.Sv).

7. Úväzok ekvivalentnej dávky – $H_T(\tau)$

je časový integrál príkonu ekvivalentnej dávky v orgáne alebo tkanive T za čas τ od príjmu rádionuklidu. Je daný vzťahom

$$H_T(\tau) = \int_{t_0}^{t_0+\tau} \dot{H}_T(t) dt$$

kde $\dot{H}_T(t)$ je príkon ekvivalentnej dávky v orgáne alebo tkanive T v čase t a τ je čas, počas ktorého sa vykonáva integrovanie.

Pri stanovení $H_T(\tau)$ je čas τ vyjadrený v rokoch. Na účel hodnotenia veľkosti ožiarenia osôb a sledovania dodržiavania limitov ožiarenia sa na výpočet úväzku ekvivalentnej dávky u osôb starších ako 18 rokov počíta s obdobím 50 rokov a u osôb mladších ako 18 rokov s obdobím 70 rokov od príjmu rádionuklidov. Jednotkou úväzku ekvivalentnej dávky je Sievert (Sv).

8. Úväzok efektívnej dávky – $E(\tau)$

je súčet úväzkov ekvivalentných dávok $H_T(\tau)$ v orgáne alebo tkanive T za čas τ od príjmu rádionuklidov vynásobených príslušným tkanivovým váhovým faktorom w_T . Vypočíta sa podľa vzťahu

$$E(\tau) = \sum_T w_T H_T(\tau) = \sum_T w_T \cdot \int_{t_0}^{t_0+\tau} \dot{H}_T(t) dt$$

kde w_T je tkanivový váhový faktor tkaniva alebo orgánu T, $\dot{H}_T(t)$ je príkon ekvivalentnej dávky v orgáne alebo tkanive T v čase t a τ je čas, počas ktorého sa vykonáva integrovanie. Na účel sledovania dodržiavania limitov ožiarenia sa na výpočet úväzku efektívnej dávky u osôb starších ako 18 rokov počíta s obdobím 50 rokov a u osôb mladších ako 18 rokov s obdobím 70 rokov od príjmu rádionuklidov. Jednotkou úväzku efektívnej dávky je Sievert (Sv).

9. Aktivita – A

Aktivita daného množstva rádionuklidu v určitom energetickom stave a v určitom čase je definovaná vzťahom

$$A = \frac{dN}{dt}$$

kde dN je stredný počet samovoľných jadrových premien z daného energetického stavu v danom množstve rádionuklidu za časový interval dt .

Jednotkou aktivity je Becquerel (Bq). Jeden becquerel zodpovedá jednej jadrovej premene za sekundu: $1 \text{ Bq} = 1 \text{ s}^{-1}$.

Ak je počiatočná aktivita zdroja žiarenia v čase $t = 0$ rovná A_0 , potom pre aktivitu v čase t platí

$$A(t) = A_0 \cdot e^{-\lambda \cdot t}$$

kde λ je rozpadová konštanta rádionuklidu, ktorá vyjadruje pravdepodobnosť jadrovej premeny a je charakteristická pre každý rádionuklid. Okrem rozpadovej konštanty sú jednotlivé rádionuklidy charakterizované aj fyzikálnym polčasom premeny $T_{1/2}$, ktorý udáva čas, za ktorý sa premení polovica atómových jadier daného množstva rádionuklidu. Vzťah medzi rozpadovou konštantou λ a fyzikálnym polčasom premeny $T_{1/2}$ je definovaný:

$$T_{1/2} = \frac{\ln 2}{\lambda}$$

$$\lambda = \frac{\ln 2}{T_{1/2}}$$

- 10. Osobný dávkový ekvivalent – $H_p(d)$** je dávkový ekvivalent v mäkkom tkanive v určitom bode pod povrchom tela v hĺbke tkaniva d .
Na účel osobnej dozimetrie, pre stanovenie efektívnej dávky z vonkajšieho ožiarenia, ekvivalentnej dávky v každom orgáne ľudského tela s výnimkou kože a očnej šošovky zodpovedá hĺbkový osobný dávkový ekvivalent $H_p(10)$ v hĺbke tkaniva 10 mm. Ekvivalentnej dávke v koži zodpovedá povrchový osobný dávkový ekvivalent $H_p(0,07)$ v hĺbke 0,07 mm a ekvivalentnej dávke v očnej šošovke zodpovedá osobný dávkový ekvivalent $H_p(3)$ v hĺbke 3 mm.
Pri nerovnomernom ožiarení kože, pre ekvivalentnú dávku v koži sa berie do úvahy priemer z plochy 1 cm^2 v najviac ožiarenej oblasti kože.
- 11. Priestorový dávkový ekvivalent $H^*(d)$** - dávkový ekvivalent v bode radiačného poľa, ktorý by bol vytvorený zodpovedajúcim rozšíreným a usporiadaným poľom v ICRU sfére v hĺbke d na polomere, ktorý je opačný ako smer poľa. Jeho jednotkou je Sievert.
- 12. Smerový dávkový ekvivalent $H'(d, \Omega)$** - dávkový ekvivalent v bode radiačného poľa, ktorý by bol vytvorený zodpovedajúcim rozšíreným poľom v ICRU sfére v hĺbke d v stanovenom smere poľa Ω . Jeho jednotkou je Sievert.
- 13. Rozšírené pole** je pole odvodené zo skutočného poľa, kde fluencia a jej smerové a energetické rozloženie majú rovnaké hodnoty v celom danom objeme, aké má skutočné pole v referenčnom bode.
- 14. Rozšírené a usporiadané pole** je pole žiarenia, v ktorom fluencia a jej smerové a energetické rozdelenie sú rovnaké ako v rozšírenom poli, ale fluencia je usporiadaná jedným smerom.
- 15. Fluencia** je definovaná ako podiel dN/da , kde dN je počet častíc, ktoré vstúpia do gule s plochou hlavného rezu da .
- 16. ICRU sféra** je fantóm zavedený Medzinárodnou komisiou pre rádiologické jednotky (ICRU), ktorý aproximuje ľudské telo ohľadne absorpcie energie z ionizujúceho žiarenia. Pozostáva z tkanivu ekvivalentného materiálu tvaru gule s priemerom 30 cm s hustotou 1 g.cm^{-3} a má nasledovné hmotnostné zloženie: 76,2 % kyslíka, 11,1 % uhlíka, 10,1 % vodíka, 2,6 % dusíka.

17. **Dávkový ekvivalent H** je definovaný ako súčin absorbovanej dávky v danom bode tkaniva a faktora kvality Q. Hodnoty faktora kvality sú uvedené v tabuľke č. 4.
18. **Faktor kvality Q** je funkciou lineárneho prenosu energie (L) a používa sa na váhovanie absorbovanej dávky v bode tkaniva s ohľadom na biologické účinky ionizujúceho žiarenia.
19. **Stredný faktor kvality \bar{Q}** je stredná hodnota faktoru kvality v bode tkaniva, kde absorbovaná dávka je spôsobená časticami s rôznymi hodnotami lineárneho prenosu energie. Vypočíta sa podľa vzťahu

$$\bar{Q} = 1/\bar{D} \int_0^{\infty} Q(L)D(L)dL$$

kde $D(L)dL$ je absorbovaná dávka v hĺbke 10 mm v rozmedzí L a $L+dL$, $Q(L)$ je zodpovedajúci faktor kvality zistený podľa vzťahov uvedených v tabuľke č. 4.

20. **Neobmedzený lineárny prenos energie L_{∞}** je veličina definovaná ako

$$L_{\infty} = \frac{dE}{dl}$$

kde dE je stredná strata energie častice s energiou E na dráhe dĺžky dl vo vode.

21. **Príjem rádionuklidu** je aktivita rádionuklidu prijatá do ľudského organizmu z okolitého prostredia, obvykle požitím alebo vdýchnutím.
22. **Úväzok efektívnej dávky z príjmu rádionuklidov** požitím alebo vdýchnutím za kalendárny rok je definovaný vzťahom

$$E(50) = \sum_j h(g)_{j,ing} \cdot I_{j,ing} + \sum_j h(g)_{j,inh} \cdot I_{j,inh}$$

kde $E(50)$ je úväzok efektívnej dávky z vnútorného ožiarenia za obdobie 50 rokov po prijíme rádionuklidov, $I_{j,ing}$ je príjem rádionuklidu j (Bq) potravou za rok, $I_{j,inh}$ je príjem rádionuklidu j (Bq) dýchaním za rok, $h(g)_{j,ing}$ je konverzný faktor pre výpočet úväzku efektívnej dávky z príjmu rádionuklidu j ($\text{Sv} \cdot \text{Bq}^{-1}$) potravou pre rôzne vekové skupiny g a $h(g)_{j,inh}$ je konverzný faktor pre výpočet úväzku efektívnej dávky z príjmu rádionuklidu j ($\text{Sv} \cdot \text{Bq}^{-1}$) dýchaním pre rôzne vekové skupiny g .

Hodnoty konverzných faktorov príjmu požitím i_{ing} , prípadne vdýchnutím i_{inh} , udávajúce efektívnu dávku pripadajúcu na jednotkový príjem rádionuklidu, vypočítané na základe štandardných modelov, sú uvedené v tabuľkách.

Ročný príjem rádionuklidov potravinou $I_{j,ing}$ (Bq) sa vypočíta pomocou vzťahu

$$I_{j,ing} = \sum_P a_{P,j} \cdot P_P$$

kde $a_{P,j}$ je priemerná ročná merná aktivita j-tého rádionuklidu v potravine P (Bq/kg) alebo vo vode (Bq/l) a P_P je spotreba potravy P za rok (kg alebo l).

Pri stanovení príjmu rádionuklidov z vody sa používajú pre jednotlivé skupiny osôb nasledovné hodnoty ročného príjmu vody: deti do 2 rokov $0,25 \text{ m}^3$ vody vo forme kvapaliny, deti od 2 do 17 rokov $0,45 \text{ m}^3$ vody vo forme kvapaliny a osoby staršie ako 17 rokov 1 m^3 vody, z toho $0,7 \text{ m}^3$ vo forme kvapaliny.

Pri stanovení ročného príjmu rádionuklidov potravinou je potrebné vychádzať zo štatistických prehľadov ročnej spotreby jednotlivých potravín a to osobitne pre jednotlivé vekové kategórie.

Ročný príjem rádionuklidov dýchaním $I_{j,inh}$ (Bq) sa vypočíta pomocou vzťahu

$$I_{j,inh} = a_{V,j} \cdot B$$

kde $a_{V,j}$ je priemerná ročná objemová aktivita j-tého rádionuklidu vo vdychovanom vzduchu ($\text{Bq} \cdot \text{m}^{-3}$) a B je množstvo vdychovaného vzduchu za rok ($\text{m}^3 \cdot \text{rok}^{-1}$).

Pri stanovení príjmu rádionuklidov vdychovaním sa používajú pre jednotlivé skupiny osôb nasledovné množstvá vdychovaného vzduchu

Tabuľka č. 1 Množstvá vdychovaného vzduchu podľa veku

Skupina osôb	Vek v rokoch	B ($\text{m}^3 \cdot \text{rok}^{-1}$)
Pracovníci so zdrojmi ionizujúceho žiarenia	nad 18	2000
Jednotlivci z obyvateľstva	0 – 1	1000
	1 - 2	2000
	2 - 7	4000
	7 - 12	6000
	12 - 17	8000
	nad 17	8500

23. **Efektívna dávka na účel osobného monitorovania pracovníkov** a hodnotenia ožiarenia, s cieľom preukázať dodržiavanie stanovených limitov ožiarenia, je daná súčtom efektívnej dávky z vonkajšieho ožiarenia E_{external} a úväzku efektívnej dávky z vnútorného ožiarenia $E(50)$ a je definovaná vzťahom

$$E = E_{\text{external}} + E(50) = Hp(10) + \sum_j h(g)_{j,ing} \cdot I_{j,ing} + \sum_j h(g)_{j,inh} \cdot I_{j,inh}$$

kde $H_p(10)$ je osobný dávkový ekvivalent v hĺbke tkaniva 10 mm, $E(50)$ je úväzok efektívnej dávky z vnútorného ožiarenia za obdobie 50 rokov po prijímaní rádionuklidov, $I_{j,ing}$ je príjem

rádionuklidu j (Bq) potravou za rok, $I_{j,inh}$ je príjem rádionuklidu j (Bq) dýchaním za rok, $h(g)_{j,ing}$ je konverzný faktor pre výpočet úväzku efektívnej dávky z príjmu rádionuklidu j ($Sv \cdot Bq^{-1}$) potravou pre rôzne vekové skupiny g a $h(g)_{j,inh}$ je konverzný faktor pre výpočet úväzku efektívnej dávky z príjmu rádionuklidu j ($Sv \cdot Bq^{-1}$) dýchaním pre rôzne vekové skupiny g .

Hodnoty konverzných faktorov príjmu požitím i_{ing} , alebo vdýchnutím i_{inh} , udávajúce efektívnu dávku pripadajúcu na jednotkový príjem rádionuklidu, vypočítané na základe štandardných modelov, sú uvedené v tabuľkách.

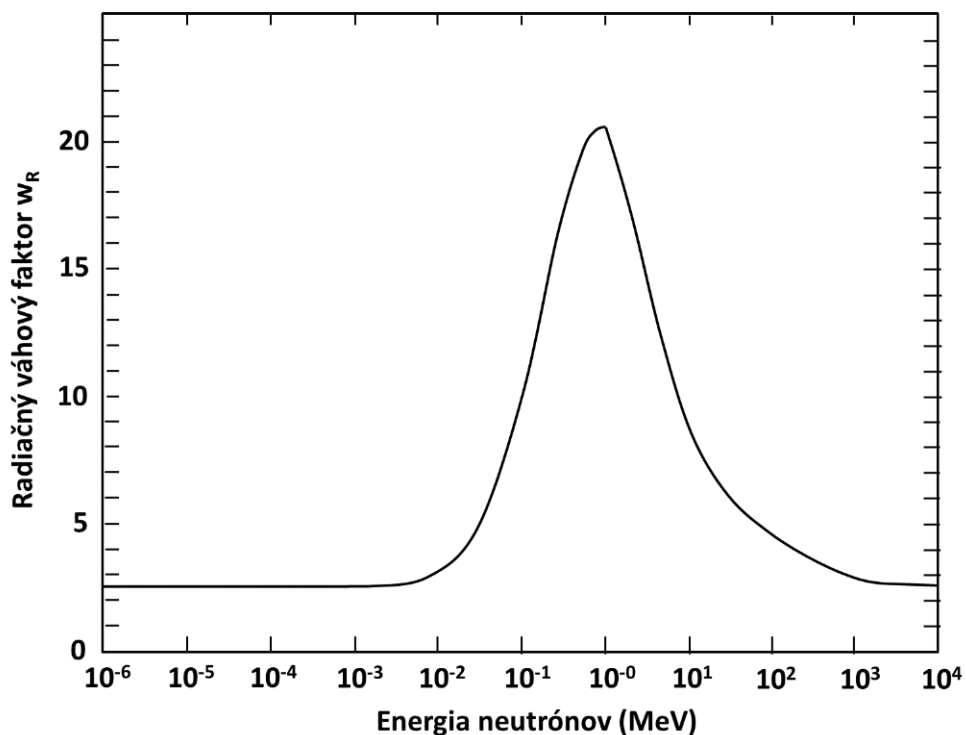
Tabuľka č. 2 **Radiačné váhové faktory**

Druh žiarenia	Radiačný váhový faktor w_R
Fotóny	1
elektróny a mióny	1
protóny a nabité pióny	2
častice alfa, ťažké jadrá, štiepne fragmenty	20
neutróny, $E_n < 1$ MeV	$2,5 + 18,2 \cdot e^{-[\ln(E_n)]^2/6}$
neutróny, $1 \text{ MeV} \leq E_n \leq 50 \text{ MeV}$	$5,0 + 17,0 \cdot e^{-[\ln(2 \cdot E_n)]^2/6}$
neutróny, $E_n > 50 \text{ MeV}$	$2,5 + 3,25 \cdot e^{-[\ln(0,04 E_n)]^2/6}$

Poznámka:

Všetky hodnoty sa vzťahujú na žiarenie dopadajúce na telo; ak ide o vnútorný zdroj žiarenia, vzťahujú sa na žiarenie emitované inkorporovaným rádionuklidom.

Obrázok č. 1 **Radiačný váhový faktor neutrónov v závislosti od energie**



Tabuľka č. 3 **Tkanivové váhové faktory**

Tkanivo, orgán	Tkanivový váhový faktor w_T
kostná dreň (červená)	0,12
hrubé črevo	0,12
pľúca	0,12
žalúdok	0,12
Prsia	0,12
ostatné orgány a tkanivá ^{a)}	0,12
gonády	0,08
močový mechúr	0,04
pažerák	0,04
pečeň	0,04
štítna žľaza	0,04
povrch kostí	0,01
Mozog	0,01
slinné žľazy	0,01
Koža	0,01

Poznámka:

^{a)} w_T pre ostatné tkanivá (0,12) sa vzťahuje na aritmetický priemer stredných dávok v 13 orgánoch a tkanivách oboch pohlaví; ostatné tkanivá sú: nadobličky, hrudná dutina, žľazník, srdce, obličky, lymfatické uzliny, sval, sliznica dutiny ústnej, pankreas, prostata (muži), tenké črevo, slezina, týmus, maternica/krček maternice (ženy).

Tabuľka č. 4 **Faktory kvality Q**

Lineárny prenos energie L [keV.μm ⁻¹]	Akostný faktor Q (L)
menej ako 10	1
10 až 100	0,32.L ^{-2,2}
viac ako 100	300.L ^{-0,5}

- 24. Index hmotnostnej aktivity stavebného materiálu I** je bezrozmerná veličina, ktorá je váhovaným súčtom hmotnostnej aktivity Ra-226, hmotnostnej aktivity Th-232 a hmotnostnej aktivity K-40, určeným vzťahom

$$I = a_{\text{Ra}226}/300 \text{ Bq.kg}^{-1} + a_{\text{Th}232}/200 \text{ Bq.kg}^{-1} + a_{\text{K}40}/3000 \text{ Bq.kg}^{-1}$$

$a_{\text{Ra}226}$, $a_{\text{Th}232}$, $a_{\text{K}40}$ sú hmotnostné aktivity prírodných rádionuklidov ²²⁶Ra, ²³²Th, ⁴⁰K v Bq.kg⁻¹.

Index hmotnostnej aktivity stavebného materiálu sa vzťahuje na stavebný materiál, nie na jeho zložky, pokiaľ tieto zložky nie sú samotné stavebným materiálom.

- 25. Stanovenie ekvivalentnej dávky v koži pri povrchovej kontaminácii:**

Nasledujúci postup slúži na stanovenie ekvivalentnej dávky v koži pri povrchovej kontaminácii kože alebo odevu rádionuklidmi, vzhľadom na to, že je veľmi problematické stanoviť ekvivalentnú dávku v koži meraním, najmä od beta žiarenia.

Pri povrchovej kontaminácii kože alebo odevu rádionuklidmi sa ekvivalentná dávka v koži od beta žiarenia stanoví pomocou nasledujúceho vzťahu

$$H_K = \sum_i H_{K,i} = \sum_i \bar{A}_{K,i} \cdot C_{K,i} \cdot S_{K,i} \cdot T$$

kde $H_{K,i}$ je ekvivalentná dávka v koži od rádionuklidu i, $\bar{A}_{K,i}$ je priemerná povrchová aktivita rádionuklidu i na koži alebo odevu, $C_{K,i}$ je konverzný koeficient príkonu ekvivalentnej dávky v koži rádionuklidu i, $S_{K,i}$ je tieniaci faktor pre zoslabenie beta žiarenia v odevu a T je doba expozície.

Konverzný koeficient $C_{K,i}$ predstavuje nominálnu hodnotu príkonu ekvivalentnej dávky v koži (μSv.h⁻¹) na jednotkovú povrchovú aktivitu rádionuklidu (Bq.cm⁻²).

Hodnoty konverzných koeficientov $C_{K,i}$ sú uvedené v tabuľke č. 6.

Pre tieniaci faktor $S_{K,i}$ charakterizujúci zoslabenie beta žiarenia bežným odevom sa odporúča používať hodnoty: 0,20 pre letné obdobie, 0,30 pre obdobie jar a jeseň, 0,001 pre zimné obdobie a 0,00 pre kožu nechránenú odevom.

Tabuľka č. 6 **Konverzné koeficienty príkonu ekvivalentnej dávky v koži**

Rádionuklid	$C_{K,i}$ (μSv.h ⁻¹ /Bq.cm ⁻²)
H-3	0.00
C-14	0.32
F-18	1.90

Na-22	1.70
Na-24	2.20
Al-26	1.80
P-32	1.90
P-33	0.86
S-35	0.35
Cl-36	1.80
K-40	1.50
K-42	2.20
K-43	1.90
Ca-45	0.84
Ca-47/Sc-47	3.50
Sc-46	1.40
Sc-47	1.50
Cr-51	0.015
Mn-52	0.761
Mn-54	0.062
Mn-56	2.40
Fe-52	1.10
Fe-55	0.016
Fe-59	0.97
Co-56	0.55
Co-57	0.12
Co-58	0.30
Co-60	0.78
Ni-63	0.00
Ni-65	2.20
Cu-64	1.00
Cu-67	1.30
Zn-65	0.076
Ga-66	1.60
Ga-67	0.35
Ga-68	1.80
As-76	2.10
Se-75	0.14
Br-77	0.01
Br-82	1.50
Rb-87	1.90
Sr-85	0.06
Sr-89	1.80
Sr-90/Y-90	3.50
Y-90	2.00
Zr-95/Nb-95	1.60
Mo-99/Tc-99m	1.90
Tc-99m	0.25
Tc-99	1.20
Ru-103/Rh-103m	0.78
Ru-106/Rh-106	2.20
Ag-110m	0.68

Ag-111	1.80
Cd-109	0.54
In-111	0.38
In-113m	0.73
In-115m	1.30
Sn-125	2.30
Sb-122	2.20
Sb-124	2.20
Sb-126	1.80
Te-123m	1.10
Te-132	0.78
I-123	0.38
I-124	0.52
I-125	0.021
I-131	1.60
Cs-131	0.01
Cs-134	1.40
Cs-137	1.60
Ba-133	0.13
Ba-140/La-140	3.80
La-140	2.10
Ce-139	0.49
Ce-141	1.80
Ce-143	2.00
Pr-143	1.70
Pm-147	0.60
Sm-153	1.60
Eu-152	0.92
Eu-154	2.10
Eu-156	1.20
Er-169	1.10
Yb-169	1.00
Re-186	1.80
Re-188	2.30
Ir-192	1.90
Au-198	1.70
Hg-197	0.092
Hg-203	0.89
Tl-201	0.27
Tl-204	1.60
Pb-210	0.0084
Po-210	6.90E-07
U-235	0.18
U-238	2.30E-03
Pu-238	3.70E-03
Pu-239	1.40E-03
Am-241	0.019
Cm-244	2.20E-03
Cf-252	3.20E-03

Poznámka:

Ekvivalentná dávka v koži sa vzťahuje na dávkový ekvivalent $H_p(0,07)$ od beta žiarenia v hĺbke 0,07 mm. Príspevok gama žiarenia k príkonu ekvivalentnej dávky v koži je veľmi nízky a predstavuje len niekoľko percent z príkonu ekvivalentnej dávky od beta žiarenia.

26. Stanovenie efektívnej dávky z rádionuklidov rozptýlených v ovzduší

Nasledujúci postup slúži na stanovenie efektívnej dávky z vonkajšieho ožiarovania rádionuklidmi emitujúcimi gama žiarenie, ktoré sú rozptýlené v ovzduší.

Osoby, ktoré sa nachádzajú vo vnútri rádioaktívneho mraku, v ktorom sú rozptýlené rádionuklidy emitujúce gama žiarenie, sú vystavené celotelovému externému ožiarovaniu. Efektívna dávka z vonkajšieho ožiarovania gama žiarením z rádioaktívneho mraku sa stanoví pomocou vzťahu

$$E_{Ext} = T \cdot \sum_i \bar{A}_{V,i} \cdot C_{V,i}$$

kde E_{Ext} je efektívna dávka z vonkajšieho ožiarovania, T je doba expozície, $\bar{A}_{V,i}$ je priemerná objemová aktivita rádionuklidu i v ovzduší a $C_{V,i}$ je konverzný koeficient efektívnej dávky rádionuklidu i .

Konverzný koeficient $C_{V,i}$ predstavuje nominálnu hodnotu príkonu efektívnej dávky ($\text{mSv}\cdot\text{h}^{-1}$) na jednotkovú objemovú aktivitu rádionuklidu ($\text{kBq}\cdot\text{m}^{-3}$).

Hodnoty konverzných koeficientov $C_{V,i}$ sú uvedené v tabuľke č. 7.

Tabuľka č. 7 Konverzné koeficienty na stanovenie efektívnej dávky z vonkajšieho ožiarovania rádionuklidmi rozptýlenými v ovzduší

Rádionuklid	$C_{V,i}$ ($\text{mSv}\cdot\text{h}^{-1}/\text{kBq}\cdot\text{m}^{-3}$)
H-3	0.0E+00
C-14	0.0E+00
Na-22	4.8E-04
Na-24	1.0E-03
P-32	0.0E+00
P-33	0.0E+00
S-35	0.0E+00
Cl-36	1.8E-12
K-40	3.4E-05
K-42	6.3E-05
Ca-45	3.4E-15
Sc-46	4.4E-04
Ti-44	2.8E-05
V-48	6.3E-04
Cr-51	6.7E-06
Mn-54	1.9E-04
Mn-56	4.1E-04
Fe-55	4.8E-09

Fe-59	2.6E-04
Co-58	2.1E-04
Co-60	5.6E-04
Ni-63	0.0E+00
Cu-64	4.1E-05
Zn-65	1.3E-04
Ge-68	1.9E-08
Se-75	8.5E-05
Kr-85	4.8E-07
Kr-85m	3.4E-05
Kr-87	1.9E-04
Kr-88	4.8E-04
Kr-89	4.4E-04
Rb-86	2.1E-05
Rb-88	1.5E-04
Rb-89	4.8E-04
Sr-89	3.0E-08
Sr-90	0.0E+00
Sr-91	1.5E-04
Y-90	0.0E+00
Y-91	7.8E-07
Zr-93	0.0E+00
Zr-95	1.6E-04
Zr-97	4.1E-05
Nb-94	3.4E-04
Nb-95	1.7E-04
Mo-99	3.4E-05
Tc-99	1.1E-10
Tc-99m	2.8E-05
Ru-103	1.0E-04
Ru-105	1.7E-04
Ru/Rh-106a	4.4E-05
Pd-109	1.4E-07
Ag-110m	5.9E-04
Cd-109	4.8E-07
Cd-113m	0.0E+00
In-114m	1.9E-05
Sn-113	1.8E-06
Sn-123	1.5E-06
Sn-125	6.7E-05
Sn-126	1.0E-05
Sb-124	4.1E-04
Sb-126	5.9E-04
Sb-127	1.4E-04
Sb-129	3.2E-04
Te-127m	6.7E-07
Te-129	1.1E-05
Te-129m	7.4E-06
Te-131m	3.1E-04

Te-132	4.4E-05
Te-134	1.9E-04
I-125	2.3E-06
I-129	1.8E-06
I-131	8.1E-05
I-132	5.2E-04
I-133	1.3E-04
I-134	5.9E-04
I-135	3.5E-04
Xe-131m	1.8E-06
Xe-133	7.4E-06
Xe-133m	6.3E-06
Xe-135	5.2E-05
Xe-135m	9.3E-05
Xe-137	4.1E-05
Xe-138	2.6E-04
Cs-134	3.4E-04
Cs-136	4.8E-04
Cs/Ba-137	1.3E-04
Cs-138	5.2E-04
Ba-133	7.8E-05
Ba-139	7.8E-06
Ba-140	4.1E-05
La-140	5.2E-04
La-141	9.3E-06
La-142	6.7E-04
Ce-141	1.6E-05
Ce-143	5.6E-05
Ce-144	3.7E-06
Ce/Pr-144 ^a	1.1E-05
Nd-147	2.8E-05
Pm-145	3.5E-06
Pm-147	7.8E-10
Pm-149	2.5E-06
Pm-151	7.0E-05
Sm-151	1.9E-10
Eu-152	2.5E-04
Eu-154	2.7E-04
Eu-155	1.2E-05
Gd-153	1.9E-05
Tb-160	2.4E-04
Ho-166m	3.5E-04
Tm-170	1.0E-06
Yb-169	5.9E-05
Hf-181	1.1E-04
Ta-182	2.8E-04
W-187	1.0E-04
Ir-192	1.7E-04
Au-198	8.5E-05

Hg-203	4.8E-05
Tl-204	2.1E-07
Pb-210	2.8E-07
Bi-207	3.4E-04
Bi-210	0.0E+00
Po-210	1.9E-09
Ra-226	1.4E-06
Ac-227	2.7E-08
Ac-228	2.0E-04
Th-227	2.2E-05
Th-228	4.1E-07
Th-230	8.1E-08
Th-232	4.1E-08
Pa-231	6.3E-06
U-232	5.6E-08
U-233	5.2E-08
U-234	3.2E-08
U-235	3.3E-05
U-236	2.6E-08
U-238	2.2E-08
U-240	1.5E-07
Np-237	4.8E-06
Np-239	3.6E-05
Pu-236	2.5E-08
Pu-238	1.9E-08
Pu-239	1.7E-08
Pu-240	1.8E-08
Pu-241	0.0E+00
Pu-242	1.6E-08
Am-241	4.1E-06
Am-242m	1.0E-07
Am-243	1.1E-05
Cm-242	2.1E-08
Cm-243	2.7E-05
Cm-244	1.8E-08
Cm-245	1.5E-05
Cm-246	1.5E-08
Cf-252	1.6E-08

Poznámka:

^{a)} Príspevok krátkožijúcich dcérskych rádionuklidov je započítaný do konverzného faktora pre materský rádionuklid.

27. Kerma - K

je podiel súčtu počiatkových kinetických energií všetkých nabitých častíc E_{TR} uvoľnených nenabitým časticami v objemovom elemente o hmotnosti dm :

$$K = \frac{dE_{TR}}{dm}$$

Základnou jednotkou kermu je Gray (Gy), $1 \text{ Gy} = 1 \text{ J.kg}^{-1}$.

28. Kermový příkon - \dot{K}

je přírastok kermu za jednotku času:

$$\dot{K} = \frac{dK}{dt}$$

Jednotkou kermového příkonu je Gy.s^{-1} , kde $1 \text{ Gy.s}^{-1} = 1 \text{ J.kg}^{-1}.\text{s}^{-1}$.

B. Konverzné koeficienty na hodnotenie veľkosti ožiarenia

Konverzné koeficienty na prepočet objemovej aktivity rádioaktívnych vzácnych plynov na príkon efektívnej dávky pracovníka a dospelého jednotlivca z obyvateľstva sú uvedené v tabuľke č. 8. Konverzné koeficienty pre stanovenie efektívnej dávky z objemovej aktivity rádioaktívnych vzácnych plynov sú určené pre pracovníkov, pre žiakov a študentov starších ako 18 rokov a pre dospelých jednotlivcov z obyvateľstva.

(1) Typ absorpcie v tráviacom ústrojenstve pre rôzne chemické látky a zlúčeniny

V tabuľke č. 9 sú uvedené pre príjem ingesciou koeficienty f_1 absorpcie v tráviacom ústrojenstve podľa jednotlivých prvkov a zlúčenín pre pracovníkov vystavených ožiareniu a pre dospelých jednotlivcov z obyvateľstva.

(2) Typ absorpcie v pľúcach pre rôzne chemické látky a zlúčeniny

V tabuľke č. 10 sú uvedené pre príjem inhaláciou typy absorpcie v pľúcach a koeficienty absorpcie v tráviacom ústrojenstve podľa jednotlivých prvkov a zlúčenín pre pracovníkov vystavených ožiareniu a žiakov a študentov starších ako 18 rokov. Pre jednotlivcov z obyvateľstva sa pri typoch absorpcie v pľúcach a koeficientoch absorpcie v tráviacom ústrojenstve musí zohľadniť chemická forma prvku na základe dostupných medzinárodných odporúčaní. Všeobecne platí zásada, že ak o týchto parametroch nie sú dostupné informácie, použije sa najväčšia hodnota.

(3) Konverzné faktory h_{inh} pre príjem vdýchnutím rádioaktívnych aerosólov a h_{ing} pre príjem požitím pracovníkom

Ak nie je presne známe zloženie zmesi rádionuklidov a chemická forma rádioaktívnych látok alebo vlastnosti vdychovaného aerosólu, potom sa celá aktivita prisudzuje tým rádionuklidom a ich formám, prípadne takému aerosólu, pre ktorý je v tabuľke stanovený najväčší konverzný faktor.

V tabuľke č. 11 sú uvedené hodnoty úväzku efektívnej dávky na jednotku príjmu ingesciou a hodnoty úväzku efektívnej dávky na jednotku príjmu inhaláciou pre pracovníkov a pre žiakov a študentov starších ako 18 rokov. Pre ožiarenie pri práci sú v tabuľke č. 11 uvedené hodnoty úväzku efektívnej dávky na jednotku príjmu ingesciou zodpovedajúce rôznym koeficientom absorpcie v tráviacom ústrojenstve a hodnoty úväzku efektívnej dávky na jednotku príjmu inhaláciou pre rôzne typy retencie v pľúcach so zodpovedajúcimi koeficientmi pre frakciu, ktorá prechádza z pľúc do tráviaceho ústrojenstva.

Ak nie je presne známe zloženie zmesi rádionuklidov a chemická forma rádioaktívnych látok, potom sa celá aktivita prisudzuje tým rádionuklidom a ich formám, pre ktorý je v tabuľke stanovený najväčší konverzný faktor.

V tabuľkách č. 12 a č. 13 sú uvedené hodnoty úväzku efektívnej dávky na jednotku príjmu ingesciou alebo inhaláciou pre jednotlivcov z obyvateľstva a pre žiakov a študentov vo veku od 16 do 18 rokov. Ak ide o ožiarenie jednotlivcov z obyvateľstva, tabuľka č. 12 uvádza hodnoty úväzku efektívnej dávky na jednotku príjmu ingesciou zodpovedajúce rôznym koeficientom absorpcie v tráviacom ústrojenstve u detí do jedného roku veku, u detí starších ako jeden rok podľa vekových kategórií a u dospelých; tabuľka č. 13 uvádza hodnoty úväzku efektívnej dávky na jednotku príjmu inhaláciou pre rôzne typy retencie v pľúcach so zodpovedajúcimi koeficientmi

pre frakciu príjmu, ktorá prechádza z pľúc do tráviaceho ústrojenstva. Ak sú informácie o týchto parametroch dostupné, použije sa zodpovedajúca hodnota, ak o týchto parametroch nie sú dostupné informácie, použije sa najväčšia hodnota.

Tabuľka č. 8 Konverzné koeficienty na prepočet objemových aktivít rádioaktívnych vzácnych plynov na príkon efektívnej dávky u pracovníkov a dospelých jednotlivcov z obyvateľstva

Nuklid	Konverzný koeficient (Sv.d ⁻¹ /Bq.m ⁻³)
Ar-37	4,1.10 ⁻¹⁵
Ar-39	1,1.10 ⁻¹¹
Ar-41	5,3.10 ⁻⁹
Kr-74	4,5.10 ⁻⁹
Kr-76	1,6.10 ⁻⁹
Kr-77	3,9.10 ⁻⁹
Kr-79	9,7.10 ⁻¹⁰
Kr-81	2,1.10 ⁻¹¹
Kr-83m	2,1.10 ⁻¹³
Kr-85	2,2.10 ⁻¹¹
Kr-85m	5,9.10 ⁻¹⁰
Kr-87	3,4.10 ⁻⁹
Kr-88	8,4.10 ⁻⁹
Xe-120	1,5.10 ⁻⁹
Xe-121	7,5.10 ⁻⁹
Xe-122	1,9.10 ⁻¹⁰
Xe-123	2,4.10 ⁻⁹
Xe-125	9,3.10 ⁻¹⁰
Xe-127	9,7.10 ⁻¹⁰
Xe-129m	8,1.10 ⁻¹¹
Xe-131m	3,2.10 ⁻¹¹
Xe-133m	1,1.10 ⁻¹⁰
Xe-133	1,2.10 ⁻¹⁰
Xe-135m	1,6.10 ⁻⁹
Xe-135	9,6.10 ⁻¹⁰
Xe-138	4,7.10 ⁻⁹

Tabuľka č. 9 Koeficienty absorpcie f_1 ¹⁾ v tráviacom ústrojenstve

Prvok	Chemická látka, zlúčenina	f_1
Vodík	Tríciovaná voda (požitá ako tekutina)	1,00
	Organicky viazané trícium	1,00
Berýlium	Všetky zlúčeniny	0,005
Uhlík	Značené organické zlúčeniny	1,00
Fluór	Všetky zlúčeniny	1,00
Sodík	Všetky zlúčeniny	1,00
Horčík	Všetky zlúčeniny	0,50
Hliník	Všetky zlúčeniny	0,01
Kremík	Všetky zlúčeniny	0,01
Fosfor	Všetky zlúčeniny	0,80
Síra	Anorganické zlúčeniny	0,80
	Element.síra	0,10
	Organické zlúčeniny síry	1,00
Chlór	Všetky zlúčeniny	1,00
Draslík	Všetky zlúčeniny	1,00
Vápnik	Všetky zlúčeniny	0,30
Skandium	Všetky zlúčeniny	0,0001
Titán	Všetky zlúčeniny	0,01
Vanád	Všetky zlúčeniny	0,01
Chróm	Zlúčeniny šesťmocného chrómu	0,10
	Zlúčeniny trojmocného chrómu	0,01
Mangán	Všetky zlúčeniny	0,10
Železo	Všetky zlúčeniny	0,10
Kobalt	Všetky nešpecifikované zlúčeniny	0,10
Nikel	Všetky zlúčeniny	0,05
Meď	Všetky zlúčeniny	0,50
Zinok	Všetky zlúčeniny	0,50
Gálium	Všetky zlúčeniny	0,001
Germánium	Všetky zlúčeniny	1,00
Arzén	Všetky zlúčeniny	0,50
Selén	Všetky nešpecifikované zlúčeniny	0,80
	Elementárny selén a selénany	0,05
Bróm	Všetky zlúčeniny	1,00
Rubídium	Všetky zlúčeniny	1,00
Stroncium	Všetky nešpecifikované zlúčeniny	0,30
	Titaničitan strontnatý (SrTiO ₃)	0,01
Ytrium	Všetky zlúčeniny	0,0001
Zirkón	Všetky zlúčeniny	0,002
Niób	Všetky zlúčeniny	0,01
Molybdén	Všetky nešpecifikované zlúčeniny	0,80
	Sírnik molybdénový	0,05
Technécium	Všetky zlúčeniny	0,80
Ruténium	Všetky zlúčeniny	0,05
Ródium	Všetky zlúčeniny	0,05
Paládium	Všetky zlúčeniny	0,005
Striebro	Všetky zlúčeniny	0,05
Kadmium	Všetky anorganické zlúčeniny	0,05
Indium	Všetky zlúčeniny	0,02
Cín	Všetky zlúčeniny	0,02
Antimón	Všetky zlúčeniny	0,10
Telúr	Všetky zlúčeniny	0,30
Jód	Všetky zlúčeniny	1,00
Céziium	Všetky zlúčeniny	1,00
Báryum	Všetky zlúčeniny	0,10
Lantán	Všetky zlúčeniny	0,0005

Prvok	Chemická látka, zlúčenina	f_1
Cér	Všetky zlúčeniny	0,0005
Prazeodým	Všetky zlúčeniny	0,0005
Neodým	Všetky zlúčeniny	0,0005
Prométium	Všetky zlúčeniny	0,0005
Samárium	Všetky zlúčeniny	0,0005
Európium	Všetky zlúčeniny	0,0005
Gadolínium	Všetky zlúčeniny	0,0005
Terbium	Všetky zlúčeniny	0,0005
Dyspróziom	Všetky zlúčeniny	0,0005
Holmium	Všetky zlúčeniny	0,0005
Erbium	Všetky zlúčeniny	0,0005
Túlium	Všetky zlúčeniny	0,0005
Yterbium	Všetky zlúčeniny	0,0005
Lutécium	Všetky zlúčeniny	0,0005
Hafnium	Všetky zlúčeniny	0,002
Tantal	Všetky zlúčeniny	0,001
Wolfrám	Všetky nešpecifikované zlúčeniny	0,30
	Kyselina wolfrámová	0,01
Rénium	Všetky zlúčeniny	0,80
Osmium	Všetky zlúčeniny	0,01
Iridium	Všetky zlúčeniny	0,01
Platina	Všetky zlúčeniny	0,01
Zlato	Všetky zlúčeniny	0,10
Ortuť	Všetky anorganické zlúčeniny	0,02
	Metylortuť	1,00
	Všetky nešpecifikované organické zlúčeniny	0,40
Tálium	Všetky zlúčeniny	1,00
Olovo	Všetky zlúčeniny	0,20
Bizmut	Všetky zlúčeniny	0,05
Polónium	Všetky zlúčeniny	0,10
Astát	Všetky zlúčeniny	1,00
Francium	Všetky zlúčeniny	1,00
Rádium	Všetky zlúčeniny	0,20
Aktínium	Všetky zlúčeniny	0,0005
Tórium	Všetky nešpecifikované zlúčeniny	0,0005
	Oxidy a hydroxidy	0,0002
Protaktínium	Všetky zlúčeniny	0,0005
Urán	Všetky nešpecifikované zlúčeniny	0,02
	Väčšina zlúčenín štvormocného uránu, napr. UO_2 , U_3O_8 , UF_4	0,002
Neptúnium	Všetky zlúčeniny	0,0005
Plutónium	Všetky nešpecifikované zlúčeniny	0,0005
	Dusičnany	0,0001
	Nerozpustné oxidy	0,0001
Amerícium	Všetky zlúčeniny	0,0005
Curium	Všetky zlúčeniny	0,0005
Berkélium	Všetky zlúčeniny	0,0005
Kalifornium	Všetky zlúčeniny	0,0005
Einsteinium	Všetky zlúčeniny	0,0005
Fermium	Všetky zlúčeniny	0,0005
Mendelevium	Všetky zlúčeniny	0,0005

¹⁾ Absorpcia v tráviacom ústrojenstve je vyjadrená koeficientom f_1 charakterizujúcim v modelových výpočtoch frakciu, ktorá prechádza v tráviacom ústrojenstve do telesných tekutín.

Tabuľka č. 10 Typy a koeficienty absorpcie²⁾ v pľúcach

Prvok	Chemická látka, zlúčenina	Typ	f _l
Berýlium	Všetky nešpecifikované zlúčeniny oxidy, halogenidy a dusičnany	M	0,005
		S	0,005
Fluór	Určené zlučujúcim katiónom určené zlučujúcim katiónom určené zlučujúcim katiónom	F	1,00
		M	1,00
		S	1,00
Sodík	Všetky zlúčeniny	F	1,00
Horčík	Všetky nešpecifikované zlúčeniny oxidy, hydroxidy, karbidy, halogenidy a dusičnany	F	0,50
		M	0,50
Hliník	Všetky nešpecifikované zlúčeniny Oxidy, hydroxidy, karbidy, halogenidy, dusičnany a kovový hliník	F	0,01
		M	0,01
Kremík	Všetky nešpecifikované zlúčeniny Oxidy, hydroxidy, karbidy a dusičnany Hlinitokremitý sklený aerosol	F	0,01
		M	0,01
		S	0,01
Fosfor	Všetky nešpecifikované zlúčeniny Fosfáty: určené zlučujúcim katiónom	F	0,80
		M	0,80
Síra	Sírniky a sírany: určené zlučujúcim katiónom Element.síra, sírniky a sírany: určené zlučujúcim katiónom	F	0,80
		M	0,80
Chlór	Určené zlučujúcim katiónom Určené zlučujúcim katiónom	F	1,00
		M	1,00
Draslík	Všetky zlúčeniny	F	1,00
Vápník	Všetky zlúčeniny	M	0,30
Skandium	Všetky zlúčeniny	S	0,0001
Titán	Všetky nešpecifikované zlúčeniny Oxidy, hydroxidy, karbidy, halogenidy a dusičnany Titaničitan strontnatý (SrTiO ₃)	F	0,01
		M	0,01
		S	0,01
Vanád	Všetky nešpecifikované zlúčeniny Oxidy, hydroxidy, karbidy a halogenidy	F	0,01
		M	0,01
Chróm	Všetky nešpecifikované zlúčeniny Halogenidy a dusičnany Oxidy a hydroxidy	F	0,10
		M	0,10
		S	0,10
Mangán	Všetky nešpecifikované zlúčeniny Oxidy, hydroxidy, halogenidy a dusičnany	F	0,10
		M	0,10
Železo	Všetky nešpecifikované zlúčeniny Oxidy, hydroxidy a halogenidy	F	0,10
		M	0,10
Kobalt	Všetky nešpecifikované zlúčeniny Oxidy, hydroxidy, halogenidy a dusičnany	M	0,10
		S	0,05
Nikel	Všetky nešpecifikované zlúčeniny Oxidy, hydroxidy a karbidy	F	0,05
		M	0,05
Meď	Všetky nešpecifikované anorganické zlúčeniny Sírniky, halogenidy a dusičnany Oxidy a hydroxidy	F	0,50
		M	0,50
		S	0,50
Zinok	Všetky zlúčeniny	S	0,50
Gálium	Všetky nešpecifikované zlúčeniny Oxidy, hydroxidy, karbidy, halogenidy a dusičnany	F	0,001
		M	0,001
Germánium	Všetky nešpecifikované zlúčeniny Oxidy, sírniky a halogenidy	F	1,00
		M	1,00
Arzén	Všetky zlúčeniny	M	0,50
Selén	Všetky nešpecifikované anorganické zlúčeniny Element.selenium, oxidy, hydroxidy a karbidy	F	0,80
		M	0,80
Bróm	Určené zlučujúcim katiónom Určené zlučujúcim katiónom	F	1,00
		M	1,00
Rubídium	Všetky zlúčeniny	F	1,00
Stroncium	Všetky nešpecifikované zlúčeniny Titaničitan strontnatý (SrTiO ₃)	F	0,30
		S	0,01

Prvok	Chemická látka, zlúčenina	Typ	f _i
Ytrium	Všetky nešpecifikované zlúčeniny	M	0,0001
	Oxidy a hydroxidy	S	0,0001
Zirkón	Všetky nešpecifikované zlúčeniny	F	0,002
	Oxidy, hydroxidy, halogenidy a dusičnany	M	0,002
	Karbid zirkoničitý	S	0,002
Niób	Všetky nešpecifikované zlúčeniny	M	0,01
	Oxidy a hydroxidy	S	0,01
Molybdén	Všetky nešpecifikované zlúčeniny	F	0,80
	Sírník molybdénový, oxidy a hydroxidy	S	0,05
Technécium	Všetky nešpecifikované zlúčeniny	F	0,80
	Oxidy, hydroxidy, halogenidy a dusičnany	M	0,80
Ruténium	Všetky nešpecifikované zlúčeniny	F	0,05
	Halogenidy	M	0,05
	Oxidy a hydroxidy	S	0,05
Ródium	Všetky nešpecifikované zlúčeniny	F	0,05
	Halogenidy	M	0,05
	Oxidy a hydroxidy	S	0,05
Paládium	Všetky nešpecifikované zlúčeniny	F	0,005
	Dusičnany a halogenidy	M	0,005
	Oxidy a hydroxidy	S	0,005
Striebro	Všetky nešpecifikované zlúčeniny a kovové striebro	F	0,05
	Dusičnany a sírniky	M	0,05
	Oxidy, hydroxidy a karbidy	S	0,05
Kadmium	Všetky nešpecifikované zlúčeniny	F	0,05
	Sírniky, halogenidy a dusičnany	M	0,05
	Oxidy a hydroxidy	S	0,05
Indium	Všetky nešpecifikované zlúčeniny	F	0,02
	Oxidy, hydroxidy, halogenidy a dusičnany	M	0,02
Cín	Všetky nešpecifikované zlúčeniny	F	0,02
	Fosforečnan ciničitý, sírniky, oxidy, hydroxidy, halogenidy a dusičnany	M	0,02
Antimón	Všetky nešpecifikované zlúčeniny	F	0,10
	Oxidy, hydroxidy, halogenidy, sírniky, sírany a dusičnany	M	0,01
Telúr	Všetky nešpecifikované zlúčeniny	F	0,30
	Oxidy, hydroxidy a dusičnany	M	0,30
Jód	Všetky zlúčeniny	F	1,00
Céziu	Všetky zlúčeniny	F	1,00
Bárium	Všetky zlúčeniny	F	0,10
Lantán	Všetky nešpecifikované zlúčeniny	F	0,0005
	Oxidy a hydroxidy	M	0,0005
Cér	Všetky nešpecifikované zlúčeniny	M	0,0005
	Oxidy, hydroxidy a fluoridy	S	0,0005
Pražedým	Všetky nešpecifikované zlúčeniny	M	0,0005
	Oxidy, hydroxidy, karbidy a fluoridy	S	0,0005
Neodým	Všetky nešpecifikované zlúčeniny	M	0,0005
	Oxidy, hydroxidy, karbidy a fluoridy	S	0,0005
Prométium	Všetky nešpecifikované zlúčeniny	M	0,0005
	Oxidy, hydroxidy, karbidy a fluoridy	S	0,0005
Samárium	Všetky zlúčeniny	M	0,0005
Európium	Všetky zlúčeniny	M	0,0005
Gadolínium	Všetky nešpecifikované zlúčeniny	F	0,0005
	Oxidy, hydroxidy a fluoridy	M	0,0005
Terbium	Všetky zlúčeniny	M	0,0005
Dyspróziu	Všetky zlúčeniny	M	0,0005
Holmium	Všetky nešpecifikované zlúčeniny	M	0,0005
Erbium	Všetky zlúčeniny	M	0,0005
Túlium	Všetky zlúčeniny	M	0,0005

Prvok	Chemická látka, zlúčenina	Typ	f _i
Yterbium	Všetky nešpecifikované zlúčeniny	M	0,0005
	Oxidy, hydroxidy a fluoridy	S	0,0005
Lutécium	Všetky nešpecifikované zlúčeniny	M	0,0005
	Oxidy, hydroxidy a fluoridy	S	0,0005
Hafnium	Všetky nešpecifikované zlúčeniny	F	0,002
	Oxidy, hydroxidy, halogenidy, karbidy a dusičnany	M	0,002
Tantal	Všetky nešpecifikované zlúčeniny	M	0,001
	Element.tantal, oxidy, hydroxidy, halogenidy, karbidy, dusičnany a nitridy	S	0,001
Wolfrám	Všetky zlúčeniny	F	0,30
Rénium	Všetky nešpecifikované zlúčeniny	F	0,80
	Oxidy, hydroxidy, halogenidy a dusičnany	M	0,80
Osmium	Všetky nešpecifikované zlúčeniny	F	0,01
	Halogenidy a dusičnany	M	0,01
	Oxidy a hydroxidy	S	0,01
Iridium	Všetky nešpecifikované zlúčeniny	F	0,01
	Kovové iridium, halogenidy a dusičnany	M	0,01
	Oxidy a hydroxidy	S	0,01
Platina	Všetky zlúčeniny	F	0,01
Zlato	Všetky nešpecifikované zlúčeniny	F	0,10
	Halogenidy a dusičnany	M	0,10
	Oxidy a hydroxidy	S	0,10
Ortuť	Sírany	F	0,02
	Oxidy, hydroxidy, halogenidy, dusičnany a sírniky	M	0,02
	Všetky organické zlúčeniny	F	0,40
Tárium	Všetky zlúčeniny	F	1,00
Olovo	Všetky zlúčeniny	F	0,20
Bizmut	Dusičnan bizmutitý	F	0,05
	Všetky nešpecifikované zlúčeniny	M	0,05
Polónium	Všetky nešpecifikované zlúčeniny	F	0,10
	Oxidy, hydroxidy a dusičnany	M	0,10
Astát	Určené zlučujúcim katiónom	F	1,00
	Určené zlučujúcim katiónom	M	1,00
Francium	Všetky zlúčeniny	F	1,00
Rádium	Všetky zlúčeniny	M	0,20
Aktínium	Všetky nešpecifikované zlúčeniny	F	0,0005
	Halogenidy a dusičnany	M	0,0005
	Oxidy a hydroxidy	S	0,0005
Tórium	Všetky nešpecifikované zlúčeniny	M	0,0005
	Oxidy a hydroxidy	S	0,0002
Protaktínium	Všetky nešpecifikované zlúčeniny	M	0,0005
	Oxidy a hydroxidy	S	0,0005
Urán	Väčšina šesťmocných zlúčenín, napr. UF ₆ , UO ₂ F ₂ a UO ₂ (NO ₃) ₂	F	0,02
	Málo rozpustné zlúčeniny, napr. UO ₃ , UF ₄ , UCl ₄ a väčšina iných šesťmocných zlúčenín	M	0,02
	Veľmi ťažko rozpustné zlúčeniny, napr. UO ₂ a U ₃ O ₈	S	0,002
Neptúnium	Všetky zlúčeniny	M	0,0005
Plutónium	Všetky nešpecifikované zlúčeniny	M	0,0005
	Ner rozpustné oxidy	S	0,00001
Americium	Všetky zlúčeniny	M	0,0005
Curium	Všetky zlúčeniny	M	0,0005
Berkélium	Všetky zlúčeniny	M	0,0005
Kalifornium	Všetky zlúčeniny	M	0,0005
Einsteinium	Všetky zlúčeniny	M	0,0005
Fermium	Všetky zlúčeniny	M	0,0005
Mendelevium	Všetky zlúčeniny	M	0,0005

Poznámka:

²⁾ Absorpcia v pľúcach je vyjadrená typom F, M alebo S charakterizujúcim v modelových výpočtoch rýchlosť, ktorou látka prechádza z pľúc do telesných tekutín (F - rýchlo, M - stredne, S - pomaly), a koeficientom f_1 charakterizujúcim frakciu, ktorá prechádza v tráviacom ústrojenstve do telesných tekutín.

Tabuľka č. 11 Konverzné faktory h_{inh} a h_{ing} na prepočet príjmu rádionuklidov vdýchnutím (inhaláciou) aerosólov a požitím (ingesciou) na úväzok efektívnej dávky pre pracovníkov

Prvok Nuklid	doba polpremeny	inhalácia				ingescia	
		typ	f_1	h_{inh} [Sv.Bq ⁻¹]		f_1	h_{ing} [Sv.Bq ⁻¹]
				$d_{ama}=1\ \mu\text{m}$	$d_{ama}=5\ \mu\text{m}$		
Vodík							
H-3 (tríciovaná voda)	12,3 r	Pozri tabuľku č. 13 pre dávky inhaláciou				1	1,8.10 ⁻¹¹
organicky viazané trícium							4,2.10 ⁻¹¹
Berýlium							
Be-7	53,3 d	M	0,005	4,8.10 ⁻¹¹	4,3.10 ⁻¹¹	0,005	2,8.10 ⁻¹¹
		S	0,005	5,2.10 ⁻¹¹	4,6.10 ⁻¹¹		
Be-10	1,60 10 ⁶ r	M	0,005	9,1.10 ⁻⁹	6,7.10 ⁻⁹	0,005	1,1.10 ⁻⁹
		S	0,005	3,2.10 ⁻⁸	1,9.10 ⁻⁸		
Uhlík							
C-11	0,340 h	Pozri tabuľku č. 13 pre dávky inhaláciou				1	2,4.10 ⁻¹¹
C-14	5,73 10 ³ r						5,8.10 ⁻¹⁰
Fluór							
F-18	1,83 h	F	1	3,0.10 ⁻¹¹	5,4.10 ⁻¹¹	1	4,9.10 ⁻¹¹
		M	1	5,7.10 ⁻¹¹	8,9.10 ⁻¹¹		
		S	1	6,0.10 ⁻¹¹	9,3.10 ⁻¹¹		
Sodík							
Na-22	2,60 r	F	1	1,3.10 ⁻⁹	2,0.10 ⁻⁹	1	3,2.10 ⁻⁹
Na-24	15,0 h			2,9.10 ⁻¹⁰	5,3.10 ⁻¹⁰		4,3.10 ⁻¹⁰
Horčík							
Mg-28	20,9 h	F	0,5	6,4.10 ⁻¹⁰	1,1.10 ⁻⁹	0,5	2,2.10 ⁻⁹
		M	0,5	1,2.10 ⁻⁹	1,7.10 ⁻⁹		
Hliník							
Al-26	7,16 10 ⁵ r	F	0,01	1,1.10 ⁻⁸	1,4.10 ⁻⁸	0,01	3,5.10 ⁻⁹
		M	0,01	1,8.10 ⁻⁸	1,2.10 ⁻⁸		
Kremík							
Si-31	2,62 h	F	0,01	2,9.10 ⁻¹¹	5,1.10 ⁻¹¹	0,01	1,6.10 ⁻¹⁰
		M		7,5.10 ⁻¹¹	1,1.10 ⁻¹⁰		
		S		8,0.10 ⁻¹¹	1,1.10 ⁻¹⁰		
Si-32	4,50 10 ² r	F	0,01	3,2.10 ⁻⁹	3,7.10 ⁻⁹	0,01	5,6.10 ⁻¹⁰
		M		1,5.10 ⁻⁸	9,6.10 ⁻⁹		
		S		1,1.10 ⁻⁷	5,5.10 ⁻⁸		
Fosfor							
P-32	14,3 d	F	0,8	8,0.10 ⁻¹⁰	1,1.10 ⁻⁹	0,8	2,4.10 ⁻⁹
		M		3,2.10 ⁻⁹	2,9.10 ⁻⁹		
P-33	25,4 d	F	0,8	9,6.10 ⁻¹¹	1,4.10 ⁻¹⁰	0,8	2,4.10 ⁻¹⁰
		M		1,4.10 ⁻⁹	1,3.10 ⁻⁹		
Síra							
S-35 (anorganická)	87,4 d	F	0,8	5,3.10 ⁻¹¹	8,0.10 ⁻¹¹	0,8	1,4.10 ⁻¹⁰
		M		1,3.10 ⁻⁹	1,1.10 ⁻⁹	0,1	1,9.10 ⁻¹⁰
S-35 (organická)		Pozri tabuľku č. 13 pre dávky inhaláciou				1	7,7.10 ⁻¹⁰
Chlór							
Cl-36	3,01 10 ⁵ r	F	1	3,4.10 ⁻¹⁰	4,9.10 ⁻¹⁰	1	9,3.10 ⁻¹⁰
		M		6,9.10 ⁻⁹	5,1.10 ⁻⁹		
Cl-38	0,620 h	F	1	2,7.10 ⁻¹¹	4,6.10 ⁻¹¹	1	1,2.10 ⁻¹⁰
		M		4,7.10 ⁻¹¹	7,3.10 ⁻¹¹		
Cl-39	0,927 h	F	1	2,7.10 ⁻¹¹	4,8.10 ⁻¹¹	1	8,5.10 ⁻¹¹
		M		4,8.10 ⁻¹¹	7,6.10 ⁻¹¹		

Tabuľka č. 11 Konverzné faktory h_{inh} a h_{ing} na prepočet príjmu rádionuklidov vdýchnutím (inhaláciou) aerosólov a požitím (ingesciou) na úväzok efektívnej dávky pre pracovníkov

Prvok Nuklid	doba polpremeny	inhalácia				ingescia	
		typ	f_1	h_{inh} [Sv.Bq ⁻¹]		f_1	h_{ing} [Sv.Bq ⁻¹]
				$d_{ama}=1\ \mu\text{m}$	$d_{ama}=5\ \mu\text{m}$		
Draslík							
K-40	1,28 10 ⁹ r	F	1	2,1.10 ⁻⁹	3,0.10 ⁻⁹	1	6,2.10 ⁻⁹
K-42	12,4 h			1,3.10 ⁻¹⁰	2,0.10 ⁻¹⁰		4,3.10 ⁻¹⁰
K-43	22,6 h			1,5.10 ⁻¹⁰	2,6.10 ⁻¹⁰		2,5.10 ⁻¹⁰
K-44	0,369 h			2,1.10 ⁻¹¹	3,7.10 ⁻¹¹		8,4.10 ⁻¹¹
K-45	0,333 h			1,6.10 ⁻¹¹	2,8.10 ⁻¹¹		5,4.10 ⁻¹¹
Vápnik							
Ca-41	1,40 10 ⁵ r	M	0,3	1,7.10 ⁻¹⁰	1,9.10 ⁻¹⁰	0,3	2,9.10 ⁻¹⁰
Ca-45	163 d			2,7.10 ⁻⁹	2,3.10 ⁻⁹		7,6.10 ⁻¹⁰
Ca-47	4,53 d			1,8.10 ⁻⁹	2,1.10 ⁻⁹		1,6.10 ⁻⁹
Skandium							
Sc-43	3,89 h	S	1,0.10 ⁻⁴	1,2.10 ⁻¹⁰	1,8.10 ⁻¹⁰	1,0.10 ⁻⁴	1,9.10 ⁻¹⁰
Sc-44	3,93 h			1,9.10 ⁻¹⁰	3,0.10 ⁻¹⁰		3,5.10 ⁻¹⁰
Sc-44m	2,44 d			1,5.10 ⁻⁹	2,0.10 ⁻⁹		2,4.10 ⁻⁹
Sc-46	83,8 d			6,4.10 ⁻⁹	4,8.10 ⁻⁹		1,5.10 ⁻⁹
Sc-47	3,35 d			7,0.10 ⁻¹⁰	7,3.10 ⁻¹⁰		5,4.10 ⁻¹⁰
Sc-48	1,82 d			1,1.10 ⁻⁹	1,6.10 ⁻⁹		1,7.10 ⁻⁹
Sc-49	0,956 h			4,1.10 ⁻¹¹	6,1.10 ⁻¹¹		8,2.10 ⁻¹¹
Titán							
Ti-44	47,3 r	F	0,01	6,1.10 ⁻⁸	7,2.10 ⁻⁸	0,01	5,8.10 ⁻⁹
		M		4,0.10 ⁻⁸	2,7.10 ⁻⁸		
		S		1,2.10 ⁻⁷	6,2.10 ⁻⁸		
Ti-45	3,08 h	F		4,6.10 ⁻¹¹	8,3.10 ⁻¹¹		1,5.10 ⁻¹⁰
		M		9,1.10 ⁻¹¹	1,4.10 ⁻¹⁰		
		S		9,6.10 ⁻¹¹	1,5.10 ⁻¹⁰		
Vanád							
V-47	0,543 h	F	0,01	1,9.10 ⁻¹¹	3,2.10 ⁻¹¹	0,01	6,3.10 ⁻¹¹
		M		3,1.10 ⁻¹¹	5,0.10 ⁻¹¹		
V-48	16,2 d	F		1,1.10 ⁻⁹	1,7.10 ⁻⁹		2,0.10 ⁻⁹
		M		2,3.10 ⁻⁹	2,7.10 ⁻⁹		
V-49	330 d	F		2,1.10 ⁻¹¹	2,6.10 ⁻¹¹		1,8.10 ⁻¹¹
		M		3,2.10 ⁻¹¹	2,3.10 ⁻¹¹		
Chróm							
Cr-48	23,0 h	F	0,1	1,0.10 ⁻¹⁰	1,7.10 ⁻¹⁰	0,1	2,0.10 ⁻¹⁰
		M		2,0.10 ⁻¹⁰	2,3.10 ⁻¹⁰	0,01	2,0.10 ⁻¹⁰
		S		2,2.10 ⁻¹⁰	2,5.10 ⁻¹⁰		
Cr-49	0,702 h	F		2,0.10 ⁻¹¹	3,5.10 ⁻¹¹	0,1	6,1.10 ⁻¹¹
		M		3,5.10 ⁻¹¹	5,6.10 ⁻¹¹	0,01	6,1.10 ⁻¹¹
		S		3,7.10 ⁻¹¹	5,9.10 ⁻¹¹		
Cr-51	27,7 d	F		2,1.10 ⁻¹¹	3,0.10 ⁻¹¹	0,1	3,8.10 ⁻¹¹
		M		3,1.10 ⁻¹¹	3,4.10 ⁻¹¹	0,01	3,7.10 ⁻¹¹
Mangán							
Mn-51	0,770 h	F	0,1	2,4.10 ⁻¹¹	4,2.10 ⁻¹¹	0,1	9,3.10 ⁻¹¹
		M		4,3.10 ⁻¹¹	6,8.10 ⁻¹¹		
Mn-52	5,59 d	F		9,9.10 ⁻¹⁰	1,6.10 ⁻⁹		1,8.10 ⁻⁹
		M		1,4.10 ⁻⁹	1,8.10 ⁻⁹		
Mn-52m	0,352 h	F		2,0.10 ⁻¹¹	3,5.10 ⁻¹¹		6,9.10 ⁻¹¹
		M		3,0.10 ⁻¹¹	5,0.10 ⁻¹¹		
Mn-53	3,70 10 ⁶ r	F		2,9.10 ⁻¹¹	3,6.10 ⁻¹¹		3,0.10 ⁻¹¹

Tabuľka č. 11 Konverzné faktory h_{inh} a h_{ing} na prepočet príjmu rádionuklidov vdýchnutím (inhaláciou) aerosólov a požitím (ingesciou) na úväzok efektívnej dávky pre pracovníkov

Prvok Nuklid	doba polpremeny	inhalácia				ingescia	
		typ	f_1	h_{inh} [Sv.Bq ⁻¹]		f_1	h_{ing} [Sv.Bq ⁻¹]
				$d_{ama}=1\ \mu\text{m}$	$d_{ama}=5\ \mu\text{m}$		
Mn-54	312 d	M		$5,2 \cdot 10^{-11}$	$3,6 \cdot 10^{-11}$		$7,1 \cdot 10^{-10}$
		F		$8,7 \cdot 10^{-10}$	$1,1 \cdot 10^{-9}$		
		M		$1,5 \cdot 10^{-9}$	$1,2 \cdot 10^{-9}$		
Mn-56	2,58 h	F		$6,9 \cdot 10^{-11}$	$1,2 \cdot 10^{-10}$		$2,5 \cdot 10^{-10}$
		M		$1,3 \cdot 10^{-10}$	$2,0 \cdot 10^{-10}$		
Železo							
Fe-52	8,28 h	F	0,1	$4,1 \cdot 10^{-10}$	$6,9 \cdot 10^{-10}$	0,1	$1,4 \cdot 10^{-9}$
		M	0,1	$6,3 \cdot 10^{-10}$	$9,5 \cdot 10^{-10}$		
Fe-55	2,70 r	F	0,1	$7,7 \cdot 10^{-10}$	$9,2 \cdot 10^{-10}$	0,1	$3,3 \cdot 10^{-10}$
		M	0,1	$3,7 \cdot 10^{-10}$	$3,3 \cdot 10^{-10}$		
Fe-59	44,5 d	F	0,1	$2,2 \cdot 10^{-9}$	$3,0 \cdot 10^{-9}$	0,1	$1,8 \cdot 10^{-9}$
		M	0,1	$3,5 \cdot 10^{-9}$	$3,2 \cdot 10^{-9}$		
Fe-60	$1,00 \cdot 10^5$ r	F	0,1	$2,8 \cdot 10^{-7}$	$3,3 \cdot 10^{-7}$	0,1	$1,1 \cdot 10^{-7}$
		M	0,1	$1,3 \cdot 10^{-7}$	$1,2 \cdot 10^{-7}$		
Kobalt							
Co-55	17,5 h	M	0,1	$5,1 \cdot 10^{-10}$	$7,8 \cdot 10^{-10}$	0,1	$1,0 \cdot 10^{-9}$
		S	0,05	$5,5 \cdot 10^{-10}$	$8,3 \cdot 10^{-10}$	0,05	$1,1 \cdot 10^{-9}$
Co-56	78,7 d	M	0,1	$4,6 \cdot 10^{-9}$	$4,0 \cdot 10^{-9}$	0,1	$2,5 \cdot 10^{-9}$
		S	0,05	$6,3 \cdot 10^{-9}$	$4,9 \cdot 10^{-9}$	0,05	$2,3 \cdot 10^{-9}$
Co-57	271 d	M	0,1	$5,2 \cdot 10^{-10}$	$3,9 \cdot 10^{-10}$	0,1	$2,1 \cdot 10^{-10}$
		S	0,05	$9,4 \cdot 10^{-10}$	$6,0 \cdot 10^{-10}$	0,05	$1,9 \cdot 10^{-10}$
Co-58	70,8 d	M	0,1	$1,5 \cdot 10^{-9}$	$1,4 \cdot 10^{-9}$	0,1	$7,4 \cdot 10^{-10}$
		S	0,05	$2,0 \cdot 10^{-9}$	$1,7 \cdot 10^{-9}$	0,05	$7,0 \cdot 10^{-10}$
Co-58m	9,15 h	M	0,1	$1,3 \cdot 10^{-11}$	$1,5 \cdot 10^{-11}$	0,1	$2,4 \cdot 10^{-11}$
		S	0,05	$1,6 \cdot 10^{-11}$	$1,7 \cdot 10^{-11}$	0,05	$2,4 \cdot 10^{-11}$
Co-60	5,27 r	M	0,1	$9,6 \cdot 10^{-9}$	$7,1 \cdot 10^{-9}$	0,1	$3,4 \cdot 10^{-9}$
		S	0,05	$2,9 \cdot 10^{-8}$	$1,7 \cdot 10^{-8}$	0,05	$2,5 \cdot 10^{-9}$
Co-60m	0,174 h	M	0,1	$1,1 \cdot 10^{-12}$	$1,2 \cdot 10^{-12}$	0,1	$1,7 \cdot 10^{-12}$
		S	0,05	$1,3 \cdot 10^{-12}$	$1,2 \cdot 10^{-12}$	0,05	$1,7 \cdot 10^{-12}$
Co-61	1,65 h	M	0,1	$4,8 \cdot 10^{-11}$	$7,1 \cdot 10^{-11}$	0,1	$7,4 \cdot 10^{-11}$
		S	0,05	$5,1 \cdot 10^{-11}$	$7,5 \cdot 10^{-11}$	0,05	$7,4 \cdot 10^{-11}$
Co-62m	0,232 h	M	0,1	$2,1 \cdot 10^{-11}$	$3,6 \cdot 10^{-11}$	0,1	$4,7 \cdot 10^{-11}$
		S	0,05	$2,2 \cdot 10^{-11}$	$3,7 \cdot 10^{-11}$	0,05	$4,7 \cdot 10^{-11}$
nikel							
Ni-56	6,10 d	F	0,05	$5,1 \cdot 10^{-10}$	$7,9 \cdot 10^{-10}$	0,05	$8,6 \cdot 10^{-10}$
		M	0,05	$8,6 \cdot 10^{-10}$	$9,6 \cdot 10^{-10}$		
Ni-57	1,50 d	F	0,05	$2,8 \cdot 10^{-10}$	$5,0 \cdot 10^{-10}$	0,05	$8,7 \cdot 10^{-10}$
		M	0,05	$5,1 \cdot 10^{-10}$	$7,6 \cdot 10^{-10}$		
Ni-59	$7,50 \cdot 10^4$ r	F	0,05	$1,8 \cdot 10^{-10}$	$2,2 \cdot 10^{-10}$	0,05	$6,3 \cdot 10^{-11}$
		M	0,05	$1,3 \cdot 10^{-10}$	$9,4 \cdot 10^{-11}$		
Ni-63	96,0 r	F	0,05	$4,4 \cdot 10^{-10}$	$5,2 \cdot 10^{-10}$	0,05	$1,5 \cdot 10^{-10}$
		M	0,05	$4,4 \cdot 10^{-10}$	$3,1 \cdot 10^{-10}$		
Ni-65	2,52 h	F	0,05	$4,4 \cdot 10^{-11}$	$7,5 \cdot 10^{-11}$	0,05	$1,8 \cdot 10^{-10}$
		M	0,05	$8,7 \cdot 10^{-11}$	$1,3 \cdot 10^{-10}$		
Ni-66	2,27 d	F	0,05	$4,5 \cdot 10^{-10}$	$7,6 \cdot 10^{-10}$	0,05	$3,0 \cdot 10^{-9}$
		M	0,05	$1,6 \cdot 10^{-9}$	$1,9 \cdot 10^{-9}$		
med'							
Cu-60	0,387 h	F	0,5	$2,4 \cdot 10^{-11}$	$4,4 \cdot 10^{-11}$	0,5	$7,0 \cdot 10^{-11}$
		M	0,5	$3,5 \cdot 10^{-11}$	$6,0 \cdot 10^{-11}$		
		S	0,5	$3,6 \cdot 10^{-11}$	$6,2 \cdot 10^{-11}$		

Tabuľka č. 11 Konverzné faktory h_{inh} a h_{ing} na prepočet príjmu rádionuklidov vdýchnutím (inhaláciou) aerosólov a požitím (ingesciou) na úväzok efektívnej dávky pre pracovníkov

Prvok Nuklid	doba polpremeny	inhalácia				ingescia	
		typ	f_1	h_{inh} [Sv.Bq ⁻¹]		f_1	h_{ing} [Sv.Bq ⁻¹]
				$d_{ama} = 1 \mu m$	$d_{ama} = 5 \mu m$		
Cu-61	3,41 h	F	0,5	$4,0 \cdot 10^{-11}$	$7,3 \cdot 10^{-11}$	0,5	$1,2 \cdot 10^{-10}$
		M	0,5	$7,6 \cdot 10^{-11}$	$1,2 \cdot 10^{-10}$		
		S	0,5	$8,0 \cdot 10^{-11}$	$1,2 \cdot 10^{-10}$		
Cu-64	12,7 h	F	0,5	$3,8 \cdot 10^{-11}$	$6,8 \cdot 10^{-11}$	0,5	$1,2 \cdot 10^{-10}$
		M	0,5	$1,1 \cdot 10^{-10}$	$1,5 \cdot 10^{-10}$		
		S	0,5	$1,2 \cdot 10^{-10}$	$1,5 \cdot 10^{-10}$		
Cu-67	2,58 d	F	0,5	$1,1 \cdot 10^{-10}$	$1,8 \cdot 10^{-10}$	0,5	$3,4 \cdot 10^{-10}$
		M	0,5	$5,2 \cdot 10^{-10}$	$5,3 \cdot 10^{-10}$		
		S	0,5	$5,8 \cdot 10^{-10}$	$5,8 \cdot 10^{-10}$		
zinok							
Zn-62	9,26 h	S	0,5	$4,7 \cdot 10^{-10}$	$6,6 \cdot 10^{-10}$	0,5	$9,4 \cdot 10^{-10}$
Zn-63	0,635 h	S	0,5	$3,8 \cdot 10^{-11}$	$6,1 \cdot 10^{-11}$	0,5	$7,9 \cdot 10^{-11}$
Zn-65	244 d	S	0,5	$2,9 \cdot 10^{-9}$	$2,8 \cdot 10^{-9}$	0,5	$3,9 \cdot 10^{-9}$
Zn-69	0,950 h	S	0,5	$2,8 \cdot 10^{-11}$	$4,3 \cdot 10^{-11}$	0,5	$3,1 \cdot 10^{-11}$
Zn-69m	13,8 h	S	0,5	$2,6 \cdot 10^{-10}$	$3,3 \cdot 10^{-10}$	0,5	$3,3 \cdot 10^{-10}$
Zn-71m	3,92 h	S	0,5	$1,6 \cdot 10^{-10}$	$2,4 \cdot 10^{-10}$	0,5	$2,4 \cdot 10^{-10}$
Zn-72	1,94 d	S	0,5	$1,2 \cdot 10^{-9}$	$1,5 \cdot 10^{-9}$	0,5	$1,4 \cdot 10^{-9}$
gálium							
Ga-65	0,253 h	F	0,001	$1,2 \cdot 10^{-11}$	$2,0 \cdot 10^{-11}$	0,001	$3,7 \cdot 10^{-11}$
		M	0,001	$1,8 \cdot 10^{-11}$	$2,9 \cdot 10^{-11}$		
Ga-66	9,40 h	F	0,001	$2,7 \cdot 10^{-10}$	$4,7 \cdot 10^{-10}$	0,001	$1,2 \cdot 10^{-9}$
		M	0,001	$4,6 \cdot 10^{-10}$	$7,1 \cdot 10^{-10}$		
Ga-67	3,26 d	F	0,001	$6,8 \cdot 10^{-11}$	$1,1 \cdot 10^{-10}$	0,001	$1,9 \cdot 10^{-10}$
		M	0,001	$2,3 \cdot 10^{-10}$	$2,8 \cdot 10^{-10}$		
Ga-68	1,13 h	F	0,001	$2,8 \cdot 10^{-11}$	$4,9 \cdot 10^{-11}$	0,001	$1,0 \cdot 10^{-10}$
		M	0,001	$5,1 \cdot 10^{-11}$	$8,1 \cdot 10^{-11}$		
Ga-70	0,353 h	F	0,001	$9,3 \cdot 10^{-12}$	$1,6 \cdot 10^{-11}$	0,001	$3,1 \cdot 10^{-11}$
		M	0,001	$1,6 \cdot 10^{-11}$	$2,6 \cdot 10^{-11}$		
Ga-72	14,1 h	F	0,001	$3,1 \cdot 10^{-10}$	$5,6 \cdot 10^{-10}$	0,001	$1,1 \cdot 10^{-9}$
		M	0,001	$5,5 \cdot 10^{-10}$	$8,4 \cdot 10^{-10}$		
Ga-73	4,91 h	F	0,001	$5,8 \cdot 10^{-11}$	$1,0 \cdot 10^{-10}$	0,001	$2,6 \cdot 10^{-10}$
		M	0,001	$1,5 \cdot 10^{-10}$	$2,0 \cdot 10^{-10}$		
germánium							
Ge-66	2,27 h	F	1	$5,7 \cdot 10^{-11}$	$9,9 \cdot 10^{-11}$	1	$1,0 \cdot 10^{-10}$
		M	1	$9,2 \cdot 10^{-11}$	$1,3 \cdot 10^{-10}$		
Ge-67	0,312 h	F	1	$1,6 \cdot 10^{-11}$	$2,8 \cdot 10^{-11}$	1	$6,5 \cdot 10^{-11}$
		M	1	$2,6 \cdot 10^{-11}$	$4,2 \cdot 10^{-11}$		
Ge-68	288 d	F	1	$5,4 \cdot 10^{-10}$	$8,3 \cdot 10^{-10}$	1	$1,3 \cdot 10^{-9}$
		M	1	$1,3 \cdot 10^{-8}$	$7,9 \cdot 10^{-9}$		
Ge-69	1,63 d	F	1	$1,4 \cdot 10^{-10}$	$2,5 \cdot 10^{-10}$	1	$2,4 \cdot 10^{-10}$
		M	1	$2,9 \cdot 10^{-10}$	$3,7 \cdot 10^{-10}$		
Ge-71	11,8 d	F	1	$5,0 \cdot 10^{-12}$	$7,8 \cdot 10^{-12}$	1	$1,2 \cdot 10^{-11}$
		M	1	$1,0 \cdot 10^{-11}$	$1,1 \cdot 10^{-11}$		
Ge-75	1,38 h	F	1	$1,6 \cdot 10^{-11}$	$2,7 \cdot 10^{-11}$	1	$4,6 \cdot 10^{-11}$
		M	1	$3,7 \cdot 10^{-11}$	$5,4 \cdot 10^{-11}$		
Ge-77	11,3 h	F	1	$1,5 \cdot 10^{-10}$	$2,5 \cdot 10^{-10}$	1	$3,3 \cdot 10^{-10}$
		M	1	$3,6 \cdot 10^{-10}$	$4,5 \cdot 10^{-10}$		
Ge-78	1,45 h	F	1	$4,8 \cdot 10^{-11}$	$8,1 \cdot 10^{-11}$	1	$1,2 \cdot 10^{-10}$
		M	1	$9,7 \cdot 10^{-11}$	$1,4 \cdot 10^{-10}$		
arzén							

Tabuľka č. 11 Konverzné faktory h_{inh} a h_{ing} na prepočet príjmu rádionuklidov vdýchnutím (inhaláciou) aerosólov a požitím (ingesciou) na úväzok efektívnej dávky pre pracovníkov

Prvok Nuklid	doba polpremeny	inhalácia				ingescia	
		typ	f_1	h_{inh} [Sv.Bq ⁻¹]		f_1	h_{ing} [Sv.Bq ⁻¹]
				$d_{ama}=1\ \mu\text{m}$	$d_{ama}=5\ \mu\text{m}$		
As-69	0,253 h	M	0,5	$2,2 \cdot 10^{-11}$	$3,5 \cdot 10^{-11}$	0,5	$5,7 \cdot 10^{-11}$
As-70	0,876 h	M	0,5	$7,2 \cdot 10^{-11}$	$1,2 \cdot 10^{-10}$	0,5	$1,3 \cdot 10^{-10}$
As-71	2,70 d	M	0,5	$4,0 \cdot 10^{-10}$	$5,0 \cdot 10^{-10}$	0,5	$4,6 \cdot 10^{-10}$
As-72	1,08 d	M	0,5	$9,2 \cdot 10^{-10}$	$1,3 \cdot 10^{-9}$	0,5	$1,8 \cdot 10^{-9}$
As-73	80,3 d	M	0,5	$9,3 \cdot 10^{-10}$	$6,5 \cdot 10^{-10}$	0,5	$2,6 \cdot 10^{-10}$
As-74	17,8 d	M	0,5	$2,1 \cdot 10^{-9}$	$1,8 \cdot 10^{-9}$	0,5	$1,3 \cdot 10^{-9}$
As-76	1,10 d	M	0,5	$7,4 \cdot 10^{-10}$	$9,2 \cdot 10^{-10}$	0,5	$1,6 \cdot 10^{-9}$
As-77	1,62 d	M	0,5	$3,8 \cdot 10^{-10}$	$4,2 \cdot 10^{-10}$	0,5	$4,0 \cdot 10^{-10}$
As-78	1,51 h	M	0,5	$9,2 \cdot 10^{-11}$	$1,4 \cdot 10^{-10}$	0,5	$2,1 \cdot 10^{-10}$
selén							
Se-70	0,683 h	F	0,8	$4,5 \cdot 10^{-11}$	$8,2 \cdot 10^{-11}$	0,8	$1,2 \cdot 10^{-10}$
		M	0,8	$7,3 \cdot 10^{-11}$	$1,2 \cdot 10^{-10}$	0,05	$1,4 \cdot 10^{-10}$
Se-73	7,15 h	F	0,8	$8,6 \cdot 10^{-11}$	$1,5 \cdot 10^{-10}$	0,8	$2,1 \cdot 10^{-10}$
		M	0,8	$1,6 \cdot 10^{-10}$	$2,4 \cdot 10^{-10}$	0,05	$3,9 \cdot 10^{-10}$
Se-73m	0,650 h	F	0,8	$9,9 \cdot 10^{-12}$	$1,7 \cdot 10^{-11}$	0,8	$2,8 \cdot 10^{-11}$
		M	0,8	$1,8 \cdot 10^{-11}$	$2,7 \cdot 10^{-11}$	0,05	$4,1 \cdot 10^{-11}$
Se-75	120 d	F	0,8	$1,0 \cdot 10^{-9}$	$1,4 \cdot 10^{-9}$	0,8	$2,6 \cdot 10^{-9}$
		M	0,8	$1,4 \cdot 10^{-9}$	$1,7 \cdot 10^{-9}$	0,05	$4,1 \cdot 10^{-10}$
Se-79	$6,50 \cdot 10^4$ r	F	0,8	$1,2 \cdot 10^{-9}$	$1,6 \cdot 10^{-9}$	0,8	$2,9 \cdot 10^{-9}$
		M	0,8	$2,9 \cdot 10^{-9}$	$3,1 \cdot 10^{-9}$	0,05	$3,9 \cdot 10^{-10}$
Se-81	0,308 h	F	0,8	$8,6 \cdot 10^{-12}$	$1,4 \cdot 10^{-11}$	0,8	$2,7 \cdot 10^{-11}$
		M	0,8	$1,5 \cdot 10^{-11}$	$2,4 \cdot 10^{-11}$	0,05	$2,7 \cdot 10^{-11}$
Se-81m	0,954 h	F	0,8	$1,7 \cdot 10^{-11}$	$3,0 \cdot 10^{-11}$	0,8	$5,3 \cdot 10^{-11}$
		M	0,8	$4,7 \cdot 10^{-11}$	$6,8 \cdot 10^{-11}$	0,05	$5,9 \cdot 10^{-11}$
Se-83	0,375 h	F	0,8	$1,9 \cdot 10^{-11}$	$3,4 \cdot 10^{-11}$	0,8	$4,7 \cdot 10^{-11}$
		M	0,8	$3,3 \cdot 10^{-11}$	$5,3 \cdot 10^{-11}$	0,05	$5,1 \cdot 10^{-11}$
bróm							
Br-74	0,422 h	F	1	$2,8 \cdot 10^{-11}$	$5,0 \cdot 10^{-11}$	1	$8,4 \cdot 10^{-11}$
		M	1	$4,1 \cdot 10^{-11}$	$6,8 \cdot 10^{-11}$		
Br-74m	0,691 h	F	1	$4,2 \cdot 10^{-11}$	$7,5 \cdot 10^{-11}$	1	$1,4 \cdot 10^{-10}$
		M	1	$6,5 \cdot 10^{-11}$	$1,1 \cdot 10^{-10}$		
Br-75	1,63 h	F	1	$3,1 \cdot 10^{-11}$	$5,6 \cdot 10^{-11}$	1	$7,9 \cdot 10^{-11}$
		M	1	$5,5 \cdot 10^{-11}$	$8,5 \cdot 10^{-11}$		
Br-76	16,2 h	F	1	$2,6 \cdot 10^{-10}$	$4,5 \cdot 10^{-10}$	1	$4,6 \cdot 10^{-10}$
		M	1	$4,2 \cdot 10^{-10}$	$5,8 \cdot 10^{-10}$		
Br-77	2,33 d	F	1	$6,7 \cdot 10^{-11}$	$1,2 \cdot 10^{-10}$	1	$9,6 \cdot 10^{-11}$
		M	1	$8,7 \cdot 10^{-11}$	$1,3 \cdot 10^{-10}$		
Br-80	0,290 h	F	1	$6,3 \cdot 10^{-12}$	$1,1 \cdot 10^{-11}$	1	$3,1 \cdot 10^{-11}$
		M	1	$1,0 \cdot 10^{-11}$	$1,7 \cdot 10^{-11}$		
Br-80m	4,42 h	F	1	$3,5 \cdot 10^{-11}$	$5,8 \cdot 10^{-11}$	1	$1,1 \cdot 10^{-10}$
		M	1	$7,6 \cdot 10^{-11}$	$1,0 \cdot 10^{-10}$		
Br-82	1,47 d	F	1	$3,7 \cdot 10^{-10}$	$6,4 \cdot 10^{-10}$	1	$5,4 \cdot 10^{-10}$
		M	1	$6,4 \cdot 10^{-10}$	$8,8 \cdot 10^{-10}$		
Br-83	2,39 h	F	1	$1,7 \cdot 10^{-11}$	$2,9 \cdot 10^{-11}$	1	$4,3 \cdot 10^{-11}$
		M	1	$4,8 \cdot 10^{-11}$	$6,7 \cdot 10^{-11}$		
Br-84	0,530 h	F	1	$2,3 \cdot 10^{-11}$	$4,0 \cdot 10^{-11}$	1	$8,8 \cdot 10^{-11}$
		M	1	$3,9 \cdot 10^{-11}$	$6,2 \cdot 10^{-11}$		
rubídium							
Rb-79	0,382 h	F	1	$1,7 \cdot 10^{-11}$	$3,0 \cdot 10^{-11}$	1	$5,0 \cdot 10^{-11}$
Rb-81	4,58 h	F	1	$3,7 \cdot 10^{-11}$	$6,8 \cdot 10^{-11}$	1	$5,4 \cdot 10^{-11}$

Tabuľka č. 11 Konverzné faktory h_{inh} a h_{ing} na prepočet príjmu rádionuklidov vdýchnutím (inhaláciou) aerosólov a požitím (ingesciou) na úväzok efektívnej dávky pre pracovníkov

Prvok Nuklid	doba polpremeny	inhalácia				ingescia	
		typ	f_1	h_{inh} [Sv.Bq ⁻¹]		f_1	h_{ing} [Sv.Bq ⁻¹]
				$d_{ama}=1\ \mu\text{m}$	$d_{ama}=5\ \mu\text{m}$		
Rb-81m	0,533 h	F	1	$7,3 \cdot 10^{-12}$	$1,3 \cdot 10^{-11}$	1	$9,7 \cdot 10^{-12}$
Rb-82m	6,20 h	F	1	$1,2 \cdot 10^{-10}$	$2,2 \cdot 10^{-10}$	1	$1,3 \cdot 10^{-10}$
Rb-83	86,2 d	F	1	$7,1 \cdot 10^{-10}$	$1,0 \cdot 10^{-9}$	1	$1,9 \cdot 10^{-9}$
Rb-84	32,8 d	F	1	$1,1 \cdot 10^{-9}$	$1,5 \cdot 10^{-9}$	1	$2,8 \cdot 10^{-9}$
Rb-86	18,6 d	F	1	$9,6 \cdot 10^{-10}$	$1,3 \cdot 10^{-9}$	1	$2,8 \cdot 10^{-9}$
Rb-87	$4,70 \cdot 10^{10}$ r	F	1	$5,1 \cdot 10^{-10}$	$7,6 \cdot 10^{-10}$	1	$1,5 \cdot 10^{-9}$
Rb-88	0,297 h	F	1	$1,7 \cdot 10^{-11}$	$2,8 \cdot 10^{-11}$	1	$9,0 \cdot 10^{-11}$
Rb-89	0,253 h	F	1	$1,4 \cdot 10^{-11}$	$2,5 \cdot 10^{-11}$	1	$4,7 \cdot 10^{-11}$
stroncium							
Sr-80	1,67 h	F	0,3	$7,6 \cdot 10^{-11}$	$1,3 \cdot 10^{-10}$	0,3	$3,4 \cdot 10^{-10}$
		S	0,01	$1,4 \cdot 10^{-10}$	$2,1 \cdot 10^{-10}$	0,01	$3,5 \cdot 10^{-10}$
Sr-81	0,425 h	F	0,3	$2,2 \cdot 10^{-11}$	$3,9 \cdot 10^{-11}$	0,3	$7,7 \cdot 10^{-11}$
		S	0,01	$3,8 \cdot 10^{-11}$	$6,1 \cdot 10^{-11}$	0,01	$7,8 \cdot 10^{-11}$
Sr-82	25,0 d	F	0,3	$2,2 \cdot 10^{-9}$	$3,3 \cdot 10^{-9}$	0,3	$6,1 \cdot 10^{-9}$
		S	0,01	$1,0 \cdot 10^{-8}$	$7,7 \cdot 10^{-9}$	0,01	$6,0 \cdot 10^{-9}$
Sr-83	1,35 d	F	0,3	$1,7 \cdot 10^{-10}$	$3,0 \cdot 10^{-10}$	0,3	$4,9 \cdot 10^{-10}$
		S	0,01	$3,4 \cdot 10^{-10}$	$4,9 \cdot 10^{-10}$	0,01	$5,8 \cdot 10^{-10}$
Sr-85	64,8 d	F	0,3	$3,9 \cdot 10^{-10}$	$5,6 \cdot 10^{-10}$	0,3	$5,6 \cdot 10^{-10}$
		S	0,01	$7,7 \cdot 10^{-10}$	$6,4 \cdot 10^{-10}$	0,01	$3,3 \cdot 10^{-10}$
Sr-85m	1,16 h	F	0,3	$3,1 \cdot 10^{-12}$	$5,6 \cdot 10^{-12}$	0,3	$6,1 \cdot 10^{-12}$
		S	0,01	$4,5 \cdot 10^{-12}$	$7,4 \cdot 10^{-12}$	0,01	$6,1 \cdot 10^{-12}$
Sr-87m	2,80 h	F	0,3	$1,2 \cdot 10^{-11}$	$2,2 \cdot 10^{-11}$	0,3	$3,0 \cdot 10^{-11}$
		S	0,01	$2,2 \cdot 10^{-11}$	$3,5 \cdot 10^{-11}$	0,01	$3,3 \cdot 10^{-11}$
Sr-89	50,5 d	F	0,3	$1,0 \cdot 10^{-9}$	$1,4 \cdot 10^{-9}$	0,3	$2,6 \cdot 10^{-9}$
		S	0,01	$7,5 \cdot 10^{-9}$	$5,6 \cdot 10^{-9}$	0,01	$2,3 \cdot 10^{-9}$
Sr-90	29,1 r	F	0,3	$2,4 \cdot 10^{-8}$	$3,0 \cdot 10^{-8}$	0,3	$2,8 \cdot 10^{-8}$
		S	0,01	$1,5 \cdot 10^{-7}$	$7,7 \cdot 10^{-8}$	0,01	$2,7 \cdot 10^{-9}$
Sr-91	9,50 h	F	0,3	$1,7 \cdot 10^{-10}$	$2,9 \cdot 10^{-10}$	0,3	$6,5 \cdot 10^{-10}$
		S	0,01	$4,1 \cdot 10^{-10}$	$5,7 \cdot 10^{-10}$	0,01	$7,6 \cdot 10^{-10}$
Sr-92	2,71 h	F	0,3	$1,1 \cdot 10^{-10}$	$1,8 \cdot 10^{-10}$	0,3	$4,3 \cdot 10^{-10}$
		S	0,01	$2,3 \cdot 10^{-10}$	$3,4 \cdot 10^{-10}$	0,01	$4,9 \cdot 10^{-10}$
ytrium							
Y-86	14,7 h	M	$1,0 \cdot 10^{-4}$	$4,8 \cdot 10^{-10}$	$8,0 \cdot 10^{-10}$	$1,0 \cdot 10^{-4}$	$9,6 \cdot 10^{-10}$
		S	$1,0 \cdot 10^{-4}$	$4,9 \cdot 10^{-10}$	$8,1 \cdot 10^{-10}$		
Y-86m	0,800 h	M	$1,0 \cdot 10^{-4}$	$2,9 \cdot 10^{-11}$	$4,8 \cdot 10^{-11}$	$1,0 \cdot 10^{-4}$	$5,6 \cdot 10^{-11}$
		S	$1,0 \cdot 10^{-4}$	$3,0 \cdot 10^{-11}$	$4,9 \cdot 10^{-11}$		
Y-87	3,35 d	M	$1,0 \cdot 10^{-4}$	$3,8 \cdot 10^{-10}$	$5,2 \cdot 10^{-10}$	$1,0 \cdot 10^{-4}$	$5,5 \cdot 10^{-10}$
		S	$1,0 \cdot 10^{-4}$	$4,0 \cdot 10^{-10}$	$5,3 \cdot 10^{-10}$		
Y-88	107 d	M	$1,0 \cdot 10^{-4}$	$3,9 \cdot 10^{-9}$	$3,3 \cdot 10^{-9}$	$1,0 \cdot 10^{-4}$	$1,3 \cdot 10^{-9}$
		S	$1,0 \cdot 10^{-4}$	$4,1 \cdot 10^{-9}$	$3,0 \cdot 10^{-9}$		
Y-90	2,67 d	M	$1,0 \cdot 10^{-4}$	$1,4 \cdot 10^{-9}$	$1,6 \cdot 10^{-9}$	$1,0 \cdot 10^{-4}$	$2,7 \cdot 10^{-9}$
		S	$1,0 \cdot 10^{-4}$	$1,5 \cdot 10^{-9}$	$1,7 \cdot 10^{-9}$		
Y-90m	3,19 h	M	$1,0 \cdot 10^{-4}$	$9,6 \cdot 10^{-11}$	$1,3 \cdot 10^{-10}$	$1,0 \cdot 10^{-4}$	$1,7 \cdot 10^{-10}$
		S	$1,0 \cdot 10^{-4}$	$1,0 \cdot 10^{-10}$	$1,3 \cdot 10^{-10}$		
Y-91	58,5 d	M	$1,0 \cdot 10^{-4}$	$6,7 \cdot 10^{-9}$	$5,2 \cdot 10^{-9}$	$1,0 \cdot 10^{-4}$	$2,4 \cdot 10^{-9}$
		S	$1,0 \cdot 10^{-4}$	$8,4 \cdot 10^{-9}$	$6,1 \cdot 10^{-9}$		
Y-91m	0,828 h	M	$1,0 \cdot 10^{-4}$	$1,0 \cdot 10^{-11}$	$1,4 \cdot 10^{-11}$	$1,0 \cdot 10^{-4}$	$1,1 \cdot 10^{-11}$
		S	$1,0 \cdot 10^{-4}$	$1,1 \cdot 10^{-11}$	$1,5 \cdot 10^{-11}$		
Y-92	3,54 h	M	$1,0 \cdot 10^{-4}$	$1,9 \cdot 10^{-10}$	$2,7 \cdot 10^{-10}$	$1,0 \cdot 10^{-4}$	$4,9 \cdot 10^{-10}$
		S	$1,0 \cdot 10^{-4}$	$2,0 \cdot 10^{-10}$	$2,8 \cdot 10^{-10}$		

Tabuľka č. 11 Konverzné faktory h_{inh} a h_{ing} na prepočet príjmu rádionuklidov vdýchnutím (inhaláciou) aerosólov a požitím (ingesciou) na úväzok efektívnej dávky pre pracovníkov

Prvok Nuklid	doba polpremeny	inhalácia				ingescia	
		typ	f_1	h_{inh} [Sv.Bq ⁻¹]		f_1	h_{ing} [Sv.Bq ⁻¹]
				$d_{ama} = 1 \mu\text{m}$	$d_{ama} = 5 \mu\text{m}$		
Y-93	10,1 h	M	$1,0 \cdot 10^{-4}$	$4,1 \cdot 10^{-10}$	$5,7 \cdot 10^{-10}$	$1,0 \cdot 10^{-4}$	$1,2 \cdot 10^{-9}$
		S	$1,0 \cdot 10^{-4}$	$4,3 \cdot 10^{-10}$	$6,0 \cdot 10^{-10}$		
Y-94	0,318 h	M	$1,0 \cdot 10^{-4}$	$2,8 \cdot 10^{-11}$	$4,4 \cdot 10^{-11}$	$1,0 \cdot 10^{-4}$	$8,1 \cdot 10^{-11}$
		S	$1,0 \cdot 10^{-4}$	$2,9 \cdot 10^{-11}$	$4,6 \cdot 10^{-11}$		
Y-95	0,178 h	M	$1,0 \cdot 10^{-4}$	$1,6 \cdot 10^{-11}$	$2,5 \cdot 10^{-11}$	$1,0 \cdot 10^{-4}$	$4,6 \cdot 10^{-11}$
		S	$1,0 \cdot 10^{-4}$	$1,7 \cdot 10^{-11}$	$2,6 \cdot 10^{-11}$		
zirkón							
Zr-86	16,5 h	F	0,002	$3,0 \cdot 10^{-10}$	$5,2 \cdot 10^{-10}$	0,002	$8,6 \cdot 10^{-10}$
		M	0,002	$4,3 \cdot 10^{-10}$	$6,8 \cdot 10^{-10}$		
		S	0,002	$4,5 \cdot 10^{-10}$	$7,0 \cdot 10^{-10}$		
Zr-88	83,4 d	F	0,002	$3,5 \cdot 10^{-9}$	$4,1 \cdot 10^{-9}$	0,002	$3,3 \cdot 10^{-10}$
		M	0,002	$2,5 \cdot 10^{-9}$	$1,7 \cdot 10^{-9}$		
		S	0,002	$3,3 \cdot 10^{-9}$	$1,8 \cdot 10^{-9}$		
Zr-89	3,27 d	F	0,002	$3,1 \cdot 10^{-10}$	$5,2 \cdot 10^{-10}$	0,002	$7,9 \cdot 10^{-10}$
		M	0,002	$5,3 \cdot 10^{-10}$	$7,2 \cdot 10^{-10}$		
		S	0,002	$5,5 \cdot 10^{-10}$	$7,5 \cdot 10^{-10}$		
Zr-93	$1,53 \cdot 10^6$ r	F	0,002	$2,5 \cdot 10^{-8}$	$2,9 \cdot 10^{-8}$	0,002	$2,8 \cdot 10^{-10}$
		M	0,002	$9,6 \cdot 10^{-9}$	$6,6 \cdot 10^{-9}$		
		S	0,002	$3,1 \cdot 10^{-9}$	$1,7 \cdot 10^{-9}$		
Zr-95	64,0 d	F	0,002	$2,5 \cdot 10^{-9}$	$3,0 \cdot 10^{-9}$	0,002	$8,8 \cdot 10^{-10}$
		M	0,002	$4,5 \cdot 10^{-9}$	$3,6 \cdot 10^{-9}$		
		S	0,002	$5,5 \cdot 10^{-9}$	$4,2 \cdot 10^{-9}$		
Zr-97	16,9 h	F	0,002	$4,2 \cdot 10^{-10}$	$7,4 \cdot 10^{-10}$	0,002	$2,1 \cdot 10^{-9}$
		M	0,002	$9,4 \cdot 10^{-10}$	$1,3 \cdot 10^{-9}$		
		S	0,002	$1,0 \cdot 10^{-9}$	$1,4 \cdot 10^{-9}$		
niób							
Nb-88	0,238 h	M	0,01	$2,9 \cdot 10^{-11}$	$4,8 \cdot 10^{-11}$	0,01	$6,3 \cdot 10^{-11}$
		S	0,01	$3,0 \cdot 10^{-11}$	$5,0 \cdot 10^{-11}$		
Nb-89	2,03 h	M	0,01	$1,2 \cdot 10^{-10}$	$1,8 \cdot 10^{-10}$	0,01	$3,0 \cdot 10^{-10}$
		S	0,01	$1,3 \cdot 10^{-10}$	$1,9 \cdot 10^{-10}$		
Nb-89	1,10 h	M	0,01	$7,1 \cdot 10^{-11}$	$1,1 \cdot 10^{-10}$	0,01	$1,4 \cdot 10^{-10}$
		S	0,01	$7,4 \cdot 10^{-11}$	$1,2 \cdot 10^{-10}$		
Nb-90	14,6 h	M	0,01	$6,6 \cdot 10^{-10}$	$1,0 \cdot 10^{-9}$	0,01	$1,2 \cdot 10^{-9}$
		S	0,01	$6,9 \cdot 10^{-10}$	$1,1 \cdot 10^{-9}$		
Nb-93m	13,6 r	M	0,01	$4,6 \cdot 10^{-10}$	$2,9 \cdot 10^{-10}$	0,01	$1,2 \cdot 10^{-10}$
		S	0,01	$1,6 \cdot 10^{-9}$	$8,6 \cdot 10^{-10}$		
Nb-94	$2,03 \cdot 10^4$ r	M	0,01	$1,0 \cdot 10^{-8}$	$7,2 \cdot 10^{-9}$	0,01	$1,7 \cdot 10^{-9}$
		S	0,01	$4,5 \cdot 10^{-8}$	$2,5 \cdot 10^{-8}$		
Nb-95	35,1 d	M	0,01	$1,4 \cdot 10^{-9}$	$1,3 \cdot 10^{-9}$	0,01	$5,8 \cdot 10^{-10}$
		S	0,01	$1,6 \cdot 10^{-9}$	$1,3 \cdot 10^{-9}$		
Nb-95m	3,61 d	M	0,01	$7,6 \cdot 10^{-10}$	$7,7 \cdot 10^{-10}$	0,01	$5,6 \cdot 10^{-10}$
		S	0,01	$8,5 \cdot 10^{-10}$	$8,5 \cdot 10^{-10}$		
Nb-96	23,3 h	M	0,01	$6,5 \cdot 10^{-10}$	$9,7 \cdot 10^{-10}$	0,01	$1,1 \cdot 10^{-9}$
		S	0,01	$6,8 \cdot 10^{-10}$	$1,0 \cdot 10^{-9}$		
Nb-97	1,20 h	M	0,01	$4,4 \cdot 10^{-11}$	$6,9 \cdot 10^{-11}$	0,01	$6,8 \cdot 10^{-11}$
		S	0,01	$4,7 \cdot 10^{-11}$	$7,2 \cdot 10^{-11}$		
Nb-98	0,858 h	M	0,01	$5,9 \cdot 10^{-11}$	$9,6 \cdot 10^{-11}$	0,01	$1,1 \cdot 10^{-10}$
		S	0,01	$6,1 \cdot 10^{-11}$	$9,9 \cdot 10^{-11}$		
Molybdén							
Mo-90	5,67 h	F	0,8	$1,7 \cdot 10^{-10}$	$2,9 \cdot 10^{-10}$	0,8	$3,1 \cdot 10^{-10}$

Tabuľka č. 11 Konverzné faktory h_{inh} a h_{ing} na prepočet príjmu rádionuklidov vdýchnutím (inhaláciou) aerosólov a požitím (ingesciou) na úväzok efektívnej dávky pre pracovníkov

Prvok Nuklid	doba polpremeny	inhalácia				ingescia	
		typ	f_1	h_{inh} [Sv.Bq ⁻¹]		f_1	h_{ing} [Sv.Bq ⁻¹]
				$d_{ama}=1\ \mu\text{m}$	$d_{ama}=5\ \mu\text{m}$		
		S	0,05	$3,7 \cdot 10^{-10}$	$5,6 \cdot 10^{-10}$	0,05	$6,2 \cdot 10^{-10}$
Mo-93	$3,50 \cdot 10^3$ r	F	0,8	$1,0 \cdot 10^{-9}$	$1,4 \cdot 10^{-9}$	0,8	$2,6 \cdot 10^{-9}$
		S	0,05	$2,2 \cdot 10^{-9}$	$1,2 \cdot 10^{-9}$	0,05	$2,0 \cdot 10^{-10}$
Mo-93m	6,85 h	F	0,8	$1,0 \cdot 10^{-10}$	$1,9 \cdot 10^{-10}$	0,8	$1,6 \cdot 10^{-10}$
		S	0,05	$1,8 \cdot 10^{-10}$	$3,0 \cdot 10^{-10}$	0,05	$2,8 \cdot 10^{-10}$
Mo-99	2,75 d	F	0,8	$2,3 \cdot 10^{-10}$	$3,6 \cdot 10^{-10}$	0,8	$7,4 \cdot 10^{-10}$
		S	0,05	$9,7 \cdot 10^{-10}$	$1,1 \cdot 10^{-9}$	0,05	$1,2 \cdot 10^{-9}$
Mo-101	0,244 h	F	0,8	$1,5 \cdot 10^{-11}$	$2,7 \cdot 10^{-11}$	0,8	$4,2 \cdot 10^{-11}$
		S	0,05	$2,7 \cdot 10^{-11}$	$4,5 \cdot 10^{-11}$	0,05	$4,2 \cdot 10^{-11}$
technécium							
Tc-93	2,75 h	F	0,8	$3,4 \cdot 10^{-11}$	$6,2 \cdot 10^{-11}$	0,8	$4,9 \cdot 10^{-11}$
		M	0,8	$3,6 \cdot 10^{-11}$	$6,5 \cdot 10^{-11}$		
Tc-93m	0,725 h	F	0,8	$1,5 \cdot 10^{-11}$	$2,6 \cdot 10^{-11}$	0,8	$2,4 \cdot 10^{-11}$
		M	0,8	$1,7 \cdot 10^{-11}$	$3,1 \cdot 10^{-11}$		
Tc-94	4,88 h	F	0,8	$1,2 \cdot 10^{-10}$	$2,1 \cdot 10^{-10}$	0,8	$1,8 \cdot 10^{-10}$
		M	0,8	$1,3 \cdot 10^{-10}$	$2,2 \cdot 10^{-10}$		
Tc-94m	0,867 h	F	0,8	$4,3 \cdot 10^{-11}$	$6,9 \cdot 10^{-11}$	0,8	$1,1 \cdot 10^{-10}$
		M	0,8	$4,9 \cdot 10^{-11}$	$8,0 \cdot 10^{-11}$		
Tc-95	20,0 h	F	0,8	$1,0 \cdot 10^{-10}$	$1,8 \cdot 10^{-10}$	0,8	$1,6 \cdot 10^{-10}$
		M	0,8	$1,0 \cdot 10^{-10}$	$1,8 \cdot 10^{-10}$		
Tc-95m	61,0 d	F	0,8	$3,1 \cdot 10^{-10}$	$4,8 \cdot 10^{-10}$	0,8	$6,2 \cdot 10^{-10}$
		M	0,8	$8,7 \cdot 10^{-10}$	$8,6 \cdot 10^{-10}$		
Tc-96	4,28 d	F	0,8	$6,0 \cdot 10^{-10}$	$9,8 \cdot 10^{-10}$	0,8	$1,1 \cdot 10^{-9}$
		M	0,8	$7,1 \cdot 10^{-10}$	$1,0 \cdot 10^{-9}$		
Tc-96m	0,858 h	F	0,8	$6,5 \cdot 10^{-12}$	$1,1 \cdot 10^{-11}$	0,8	$1,3 \cdot 10^{-11}$
		M	0,8	$7,7 \cdot 10^{-12}$	$1,1 \cdot 10^{-11}$		
Tc-97	$2,60 \cdot 10^6$ r	F	0,8	$4,5 \cdot 10^{-11}$	$7,2 \cdot 10^{-11}$	0,8	$8,3 \cdot 10^{-11}$
		M	0,8	$2,1 \cdot 10^{-10}$	$1,6 \cdot 10^{-10}$		
Tc-97m	87,0 d	F	0,8	$2,8 \cdot 10^{-10}$	$4,0 \cdot 10^{-10}$	0,8	$6,6 \cdot 10^{-10}$
		M	0,8	$3,1 \cdot 10^{-9}$	$2,7 \cdot 10^{-9}$		
Tc-98	$4,20 \cdot 10^6$ r	F	0,8	$1,0 \cdot 10^{-9}$	$1,5 \cdot 10^{-9}$	0,8	$2,3 \cdot 10^{-9}$
		M	0,8	$8,1 \cdot 10^{-9}$	$6,1 \cdot 10^{-9}$		
Tc-99	$2,13 \cdot 10^5$ r	F	0,8	$2,9 \cdot 10^{-10}$	$4,0 \cdot 10^{-10}$	0,8	$7,8 \cdot 10^{-10}$
		M	0,8	$3,9 \cdot 10^{-9}$	$3,2 \cdot 10^{-9}$		
Tc-99m	6,02 h	F	0,8	$1,2 \cdot 10^{-11}$	$2,0 \cdot 10^{-11}$	0,8	$2,2 \cdot 10^{-11}$
		M	0,8	$1,9 \cdot 10^{-11}$	$2,9 \cdot 10^{-11}$		
Tc-101	0,237 h	F	0,8	$8,7 \cdot 10^{-12}$	$1,5 \cdot 10^{-11}$	0,8	$1,9 \cdot 10^{-11}$
		M	0,8	$1,3 \cdot 10^{-11}$	$2,1 \cdot 10^{-11}$		
Tc-104	0,303 h	F	0,8	$2,4 \cdot 10^{-11}$	$3,9 \cdot 10^{-11}$	0,8	$8,1 \cdot 10^{-11}$
		M	0,8	$3,0 \cdot 10^{-11}$	$4,8 \cdot 10^{-11}$		
ruténium							
Ru-94	0,863 h	F	0,05	$2,7 \cdot 10^{-11}$	$4,9 \cdot 10^{-11}$	0,05	$9,4 \cdot 10^{-11}$
		M	0,05	$4,4 \cdot 10^{-11}$	$7,2 \cdot 10^{-11}$		
		S	0,05	$4,6 \cdot 10^{-11}$	$7,4 \cdot 10^{-11}$		
Ru-97	2,90 d	F	0,05	$6,7 \cdot 10^{-11}$	$1,2 \cdot 10^{-10}$	0,05	$1,5 \cdot 10^{-10}$
		M	0,05	$1,1 \cdot 10^{-10}$	$1,6 \cdot 10^{-10}$		
		S	0,05	$1,1 \cdot 10^{-10}$	$1,6 \cdot 10^{-10}$		
Ru-103	39,3 d	F	0,05	$4,9 \cdot 10^{-10}$	$6,8 \cdot 10^{-10}$	0,05	$7,3 \cdot 10^{-10}$
		M	0,05	$2,3 \cdot 10^{-9}$	$1,9 \cdot 10^{-9}$		
		S	0,05	$2,8 \cdot 10^{-9}$	$2,2 \cdot 10^{-9}$		

Tabuľka č. 11 Konverzné faktory h_{inh} a h_{ing} na prepočet príjmu rádionuklidov vdýchnutím (inhaláciou) aerosólov a požitím (ingesciou) na úväzok efektívnej dávky pre pracovníkov

Prvok Nuklid	doba polpremeny	inhalácia				ingescia	
		typ	f_1	h_{inh} [Sv.Bq ⁻¹]		f_1	h_{ing} [Sv.Bq ⁻¹]
				$d_{ama}=1\ \mu\text{m}$	$d_{ama}=5\ \mu\text{m}$		
Ru-105	4,44 h	F	0,05	$7,1 \cdot 10^{-11}$	$1,3 \cdot 10^{-10}$	0,05	$2,6 \cdot 10^{-10}$
		M	0,05	$1,7 \cdot 10^{-10}$	$2,4 \cdot 10^{-10}$		
		S	0,05	$1,8 \cdot 10^{-10}$	$2,5 \cdot 10^{-10}$		
Ru-106	1,01 r	F	0,05	$8,0 \cdot 10^{-9}$	$9,8 \cdot 10^{-9}$	0,05	$7,0 \cdot 10^{-9}$
		M	0,05	$2,6 \cdot 10^{-8}$	$1,7 \cdot 10^{-8}$		
		S	0,05	$6,2 \cdot 10^{-8}$	$3,5 \cdot 10^{-8}$		
ródium							
Rh-99	16,0 d	F	0,05	$3,3 \cdot 10^{-10}$	$4,9 \cdot 10^{-10}$	0,05	$5,1 \cdot 10^{-10}$
		M	0,05	$7,3 \cdot 10^{-10}$	$8,2 \cdot 10^{-10}$		
		S	0,05	$8,3 \cdot 10^{-10}$	$8,9 \cdot 10^{-10}$		
Rh-99m	4,70 h	F	0,05	$3,0 \cdot 10^{-11}$	$5,7 \cdot 10^{-11}$	0,05	$6,6 \cdot 10^{-11}$
		M	0,05	$4,1 \cdot 10^{-11}$	$7,2 \cdot 10^{-11}$		
		S	0,05	$4,3 \cdot 10^{-11}$	$7,3 \cdot 10^{-11}$		
Rh-100	20,8 h	F	0,05	$2,8 \cdot 10^{-10}$	$5,1 \cdot 10^{-10}$	0,05	$7,1 \cdot 10^{-10}$
		M	0,05	$3,6 \cdot 10^{-10}$	$6,2 \cdot 10^{-10}$		
		S	0,05	$3,7 \cdot 10^{-10}$	$6,3 \cdot 10^{-10}$		
Rh-101	3,20 r	F	0,05	$1,4 \cdot 10^{-9}$	$1,7 \cdot 10^{-9}$	0,05	$5,5 \cdot 10^{-10}$
		M	0,05	$2,2 \cdot 10^{-9}$	$1,7 \cdot 10^{-9}$		
		S	0,05	$5,0 \cdot 10^{-9}$	$3,1 \cdot 10^{-9}$		
Rh-101m	4,34 d	F	0,05	$1,0 \cdot 10^{-10}$	$1,7 \cdot 10^{-10}$	0,05	$2,2 \cdot 10^{-10}$
		M	0,05	$2,0 \cdot 10^{-10}$	$2,5 \cdot 10^{-10}$		
		S	0,05	$2,1 \cdot 10^{-10}$	$2,7 \cdot 10^{-10}$		
Rh-102	2,90 r	F	0,05	$7,3 \cdot 10^{-9}$	$8,9 \cdot 10^{-9}$	0,05	$2,6 \cdot 10^{-9}$
		M	0,05	$6,5 \cdot 10^{-9}$	$5,0 \cdot 10^{-9}$		
		S	0,05	$1,6 \cdot 10^{-8}$	$9,0 \cdot 10^{-9}$		
Rh-102m	207 d	F	0,05	$1,5 \cdot 10^{-9}$	$1,9 \cdot 10^{-9}$	0,05	$1,2 \cdot 10^{-9}$
		M	0,05	$3,8 \cdot 10^{-9}$	$2,7 \cdot 10^{-9}$		
		S	0,05	$6,7 \cdot 10^{-9}$	$4,2 \cdot 10^{-9}$		
Rh-103m	0,935 h	F	0,05	$8,6 \cdot 10^{-13}$	$1,2 \cdot 10^{-12}$	0,05	$3,8 \cdot 10^{-12}$
		M	0,05	$2,3 \cdot 10^{-12}$	$2,4 \cdot 10^{-12}$		
		S	0,05	$2,5 \cdot 10^{-12}$	$2,5 \cdot 10^{-12}$		
Rh-105	1,47 d	F	0,05	$8,7 \cdot 10^{-11}$	$1,5 \cdot 10^{-10}$	0,05	$3,7 \cdot 10^{-10}$
		M	0,05	$3,1 \cdot 10^{-10}$	$4,1 \cdot 10^{-10}$		
		S	0,05	$3,4 \cdot 10^{-10}$	$4,4 \cdot 10^{-10}$		
Rh-106m	2,20 h	F	0,05	$7,0 \cdot 10^{-11}$	$1,3 \cdot 10^{-10}$	0,05	$1,6 \cdot 10^{-10}$
		M	0,05	$1,1 \cdot 10^{-10}$	$1,8 \cdot 10^{-10}$		
		S	0,05	$1,2 \cdot 10^{-10}$	$1,9 \cdot 10^{-10}$		
Rh-107	0,362 h	F	0,05	$9,6 \cdot 10^{-12}$	$1,6 \cdot 10^{-11}$	0,05	$2,4 \cdot 10^{-11}$
		M	0,05	$1,7 \cdot 10^{-11}$	$2,7 \cdot 10^{-11}$		
		S	0,05	$1,7 \cdot 10^{-11}$	$2,8 \cdot 10^{-11}$		
Paládium							
Pd-100	3,63 d	F	0,005	$4,9 \cdot 10^{-10}$	$7,6 \cdot 10^{-10}$	0,005	$9,4 \cdot 10^{-10}$
		M	0,005	$7,9 \cdot 10^{-10}$	$9,5 \cdot 10^{-10}$		
		S	0,005	$8,3 \cdot 10^{-10}$	$9,7 \cdot 10^{-10}$		
Pd-101	8,27 h	F	0,005	$4,2 \cdot 10^{-11}$	$7,5 \cdot 10^{-11}$	0,005	$9,4 \cdot 10^{-11}$
		M	0,005	$6,2 \cdot 10^{-11}$	$9,8 \cdot 10^{-11}$		
		S	0,005	$6,4 \cdot 10^{-11}$	$1,0 \cdot 10^{-10}$		
Pd-103	17,0 d	F	0,005	$9,0 \cdot 10^{-11}$	$1,2 \cdot 10^{-10}$	0,005	$1,9 \cdot 10^{-10}$
		M	0,005	$3,5 \cdot 10^{-10}$	$3,0 \cdot 10^{-10}$		
		S	0,005	$4,0 \cdot 10^{-10}$	$2,9 \cdot 10^{-10}$		

Tabuľka č. 11 Konverzné faktory h_{inh} a h_{ing} na prepočet príjmu rádionuklidov vdýchnutím (inhaláciou) aerosólov a požitím (ingesciou) na úväzok efektívnej dávky pre pracovníkov

Prvok Nuklid	doba polpremeny	inhalácia				ingescia	
		typ	f_1	h_{inh} [Sv.Bq ⁻¹]		f_1	h_{ing} [Sv.Bq ⁻¹]
				$d_{ama}=1\ \mu\text{m}$	$d_{ama}=5\ \mu\text{m}$		
Pd-107	6,50 10 ⁶ r	F	0,005	2,6.10 ⁻¹¹	3,3.10 ⁻¹¹	0,005	3,7.10 ⁻¹¹
		M	0,005	8,0.10 ⁻¹¹	5,2.10 ⁻¹¹		
		S	0,005	5,5.10 ⁻¹⁰	2,9.10 ⁻¹⁰		
Pd-109	13,4 h	F	0,005	1,2.10 ⁻¹⁰	2,1.10 ⁻¹⁰	0,005	5,5.10 ⁻¹⁰
		M	0,005	3,4.10 ⁻¹⁰	4,7.10 ⁻¹⁰		
		S	0,005	3,6.10 ⁻¹⁰	5,0.10 ⁻¹⁰		
Striebro							
Ag-102	0,215 h	F	0,05	1,4.10 ⁻¹¹	2,4.10 ⁻¹¹	0,05	4,0.10 ⁻¹¹
		M	0,05	1,8.10 ⁻¹¹	3,2.10 ⁻¹¹		
		S	0,05	1,9.10 ⁻¹¹	3,2.10 ⁻¹¹		
Ag-103	1,09 h	F	0,05	1,6.10 ⁻¹¹	2,8.10 ⁻¹¹	0,05	4,3.10 ⁻¹¹
		M	0,05	2,7.10 ⁻¹¹	4,3.10 ⁻¹¹		
		S	0,05	2,8.10 ⁻¹¹	4,5.10 ⁻¹¹		
Ag-104	1,15 h	F	0,05	3,0.10 ⁻¹¹	5,7.10 ⁻¹¹	0,05	6,0.10 ⁻¹¹
		M	0,05	3,9.10 ⁻¹¹	6,9.10 ⁻¹¹		
		S	0,05	4,0.10 ⁻¹¹	7,1.10 ⁻¹¹		
Ag-104m	0,558 h	F	0,05	1,7.10 ⁻¹¹	3,1.10 ⁻¹¹	0,05	5,4.10 ⁻¹¹
		M	0,05	2,6.10 ⁻¹¹	4,4.10 ⁻¹¹		
		S	0,05	2,7.10 ⁻¹¹	4,5.10 ⁻¹¹		
Ag-105	41,0 d	F	0,05	5,4.10 ⁻¹⁰	8,0.10 ⁻¹⁰	0,05	4,7.10 ⁻¹⁰
		M	0,05	6,9.10 ⁻¹⁰	7,0.10 ⁻¹⁰		
		S	0,05	7,8.10 ⁻¹⁰	7,3.10 ⁻¹⁰		
Ag-106	0,399 h	F	0,05	9,8.10 ⁻¹²	1,7.10 ⁻¹¹	0,05	3,2.10 ⁻¹¹
		M	0,05	1,6.10 ⁻¹¹	2,6.10 ⁻¹¹		
		S	0,05	1,6.10 ⁻¹¹	2,7.10 ⁻¹¹		
Ag-106m	8,41 d	F	0,05	1,1.10 ⁻⁹	1,6.10 ⁻⁹	0,05	1,5.10 ⁻⁹
		M	0,05	1,1.10 ⁻⁹	1,5.10 ⁻⁹		
		S	0,05	1,1.10 ⁻⁹	1,4.10 ⁻⁹		
Ag-108m	1,27 10 ² r	F	0,05	6,1.10 ⁻⁹	7,3.10 ⁻⁹	0,05	2,3.10 ⁻⁹
		M	0,05	7,0.10 ⁻⁹	5,2.10 ⁻⁹		
		S	0,05	3,5.10 ⁻⁸	1,9.10 ⁻⁸		
Ag-110m	250 d	F	0,05	5,5.10 ⁻⁹	6,7.10 ⁻⁹	0,05	2,8.10 ⁻⁹
		M	0,05	7,2.10 ⁻⁹	5,9.10 ⁻⁹		
		S	0,05	1,2.10 ⁻⁸	7,3.10 ⁻⁹		
Ag-111	7,45 d	F	0,05	4,1.10 ⁻¹⁰	5,7.10 ⁻¹⁰	0,05	1,3.10 ⁻⁹
		M	0,05	1,5.10 ⁻⁹	1,5.10 ⁻⁹		
		S	0,05	1,7.10 ⁻⁹	1,6.10 ⁻⁹		
Ag-112	3,12 h	F	0,05	8,2.10 ⁻¹¹	1,4.10 ⁻¹⁰	0,05	4,3.10 ⁻¹⁰
		M	0,05	1,7.10 ⁻¹⁰	2,5.10 ⁻¹⁰		
		S	0,05	1,8.10 ⁻¹⁰	2,6.10 ⁻¹⁰		
Ag-115	0,333 h	F	0,05	1,6.10 ⁻¹¹	2,6.10 ⁻¹¹	0,05	6,0.10 ⁻¹¹
		M	0,05	2,8.10 ⁻¹¹	4,3.10 ⁻¹¹		
		S	0,05	3,0.10 ⁻¹¹	4,4.10 ⁻¹¹		
Kadmium							
Cd-104	0,961 h	F	0,05	2,7.10 ⁻¹¹	5,0.10 ⁻¹¹	0,05	5,8.10 ⁻¹¹
		M	0,05	3,6.10 ⁻¹¹	6,2.10 ⁻¹¹		
		S	0,05	3,7.10 ⁻¹¹	6,3.10 ⁻¹¹		
Cd-107	6,49 h	F	0,05	2,3.10 ⁻¹¹	4,2.10 ⁻¹¹	0,05	6,2.10 ⁻¹¹
		M	0,05	8,1.10 ⁻¹¹	1,0.10 ⁻¹⁰		
		S	0,05	8,7.10 ⁻¹¹	1,1.10 ⁻¹⁰		

Tabuľka č. 11 Konverzné faktory h_{inh} a h_{ing} na prepočet príjmu rádionuklidov vdýchnutím (inhaláciou) aerosólov a požitím (ingesciou) na úväzok efektívnej dávky pre pracovníkov

Prvok Nuklid	doba polpremeny	inhalácia				ingescia	
		typ	f_1	h_{inh} [Sv.Bq ⁻¹]		f_1	h_{ing} [Sv.Bq ⁻¹]
				$d_{ama} = 1 \mu\text{m}$	$d_{ama} = 5 \mu\text{m}$		
Cd-109	1,27 r	F	0,05	$8,1 \cdot 10^{-9}$	$9,6 \cdot 10^{-9}$	0,05	$2,0 \cdot 10^{-9}$
		M	0,05	$6,2 \cdot 10^{-9}$	$5,1 \cdot 10^{-9}$		
		S	0,05	$5,8 \cdot 10^{-9}$	$4,4 \cdot 10^{-9}$		
Cd-113	$9,30 \cdot 10^{15}$ r	F	0,05	$1,2 \cdot 10^{-7}$	$1,4 \cdot 10^{-7}$	0,05	$2,5 \cdot 10^{-8}$
		M	0,05	$5,3 \cdot 10^{-8}$	$4,3 \cdot 10^{-8}$		
		S	0,05	$2,5 \cdot 10^{-8}$	$2,1 \cdot 10^{-8}$		
Cd-113m	13,6 r	F	0,05	$1,1 \cdot 10^{-7}$	$1,3 \cdot 10^{-7}$	0,05	$2,3 \cdot 10^{-8}$
		M	0,05	$5,0 \cdot 10^{-8}$	$4,0 \cdot 10^{-8}$		
		S	0,05	$3,0 \cdot 10^{-8}$	$2,4 \cdot 10^{-8}$		
Cd-115	2,23 d	F	0,05	$3,7 \cdot 10^{-10}$	$5,4 \cdot 10^{-10}$	0,05	$1,4 \cdot 10^{-9}$
		M	0,05	$9,7 \cdot 10^{-10}$	$1,2 \cdot 10^{-9}$		
		S	0,05	$1,1 \cdot 10^{-9}$	$1,3 \cdot 10^{-9}$		
Cd-115m	44,6 d	F	0,05	$5,3 \cdot 10^{-9}$	$6,4 \cdot 10^{-9}$	0,05	$3,3 \cdot 10^{-9}$
		M	0,05	$5,9 \cdot 10^{-9}$	$5,5 \cdot 10^{-9}$		
		S	0,05	$7,3 \cdot 10^{-9}$	$5,5 \cdot 10^{-9}$		
Cd-117	2,49 h	F	0,05	$7,3 \cdot 10^{-11}$	$1,3 \cdot 10^{-10}$	0,05	$2,8 \cdot 10^{-10}$
		M	0,05	$1,6 \cdot 10^{-10}$	$2,4 \cdot 10^{-10}$		
		S	0,05	$1,7 \cdot 10^{-10}$	$2,5 \cdot 10^{-10}$		
Cd-117m	3,36 h	F	0,05	$1,0 \cdot 10^{-10}$	$1,9 \cdot 10^{-10}$	0,05	$2,8 \cdot 10^{-10}$
		M	0,05	$2,0 \cdot 10^{-10}$	$3,1 \cdot 10^{-10}$		
		S	0,05	$2,1 \cdot 10^{-10}$	$3,2 \cdot 10^{-10}$		
Indium							
In-109	4,20 h	F	0,02	$3,2 \cdot 10^{-11}$	$5,7 \cdot 10^{-11}$	0,02	$6,6 \cdot 10^{-11}$
		M	0,02	$4,4 \cdot 10^{-11}$	$7,3 \cdot 10^{-11}$		
In-110	4,90 h	F	0,02	$1,2 \cdot 10^{-10}$	$2,2 \cdot 10^{-10}$	0,02	$2,4 \cdot 10^{-10}$
		M	0,02	$1,4 \cdot 10^{-10}$	$2,5 \cdot 10^{-10}$		
In-110	1,15 h	F	0,02	$3,1 \cdot 10^{-11}$	$5,5 \cdot 10^{-11}$	0,02	$1,0 \cdot 10^{-10}$
		M	0,02	$5,0 \cdot 10^{-11}$	$8,1 \cdot 10^{-11}$		
In-111	2,83 d	F	0,02	$1,3 \cdot 10^{-10}$	$2,2 \cdot 10^{-10}$	0,02	$2,9 \cdot 10^{-10}$
		M	0,02	$2,3 \cdot 10^{-10}$	$3,1 \cdot 10^{-10}$		
In-112	0,240 h	F	0,02	$5,0 \cdot 10^{-12}$	$8,6 \cdot 10^{-12}$	0,02	$1,0 \cdot 10^{-11}$
		M	0,02	$7,8 \cdot 10^{-12}$	$1,3 \cdot 10^{-11}$		
In-113m	1,66 h	F	0,02	$1,0 \cdot 10^{-11}$	$1,9 \cdot 10^{-11}$	0,02	$2,8 \cdot 10^{-11}$
		M	0,02	$2,0 \cdot 10^{-11}$	$3,2 \cdot 10^{-11}$		
In-114m	49,5 d	F	0,02	$9,3 \cdot 10^{-9}$	$1,1 \cdot 10^{-8}$	0,02	$4,1 \cdot 10^{-9}$
		M	0,02	$5,9 \cdot 10^{-9}$	$5,9 \cdot 10^{-9}$		
In-115	$5,10 \cdot 10^{15}$ r	F	0,02	$3,9 \cdot 10^{-7}$	$4,5 \cdot 10^{-7}$	0,02	$3,2 \cdot 10^{-8}$
		M	0,02	$1,5 \cdot 10^{-7}$	$1,1 \cdot 10^{-7}$		
In-115m	4,49 h	F	0,02	$2,5 \cdot 10^{-11}$	$4,5 \cdot 10^{-11}$	0,02	$8,6 \cdot 10^{-11}$
		M	0,02	$6,0 \cdot 10^{-11}$	$8,7 \cdot 10^{-11}$		
In-116m	0,902 h	F	0,02	$3,0 \cdot 10^{-11}$	$5,5 \cdot 10^{-11}$	0,02	$6,4 \cdot 10^{-11}$
		M	0,02	$4,8 \cdot 10^{-11}$	$8,0 \cdot 10^{-11}$		
In-117	0,730 h	F	0,02	$1,6 \cdot 10^{-11}$	$2,8 \cdot 10^{-11}$	0,02	$3,1 \cdot 10^{-11}$
		M	0,02	$3,0 \cdot 10^{-11}$	$4,8 \cdot 10^{-11}$		
In-117m	1,94 h	F	0,02	$3,1 \cdot 10^{-11}$	$5,5 \cdot 10^{-11}$	0,02	$1,2 \cdot 10^{-10}$
		M	0,02	$7,3 \cdot 10^{-11}$	$1,1 \cdot 10^{-10}$		
In-119m	0,300 h	F	0,02	$1,1 \cdot 10^{-11}$	$1,8 \cdot 10^{-11}$	0,02	$4,7 \cdot 10^{-11}$
		M	0,02	$1,8 \cdot 10^{-11}$	$2,9 \cdot 10^{-11}$		
Cín							
Sn-110	4,00 h	F	0,02	$1,1 \cdot 10^{-10}$	$1,9 \cdot 10^{-10}$	0,02	$3,5 \cdot 10^{-10}$

Tabuľka č. 11 Konverzné faktory h_{inh} a h_{ing} na prepočet príjmu rádionuklidov vdýchnutím (inhaláciou) aerosólov a požitím (ingesciou) na úväzok efektívnej dávky pre pracovníkov

Prvok Nuklid	doba polpremeny	inhalácia				ingescia	
		typ	f_1	h_{inh} [Sv.Bq ⁻¹]		f_1	h_{ing} [Sv.Bq ⁻¹]
				$d_{ama} = 1 \mu\text{m}$	$d_{ama} = 5 \mu\text{m}$		
Sn-111	0,588 h	M	0,02	$1,6 \cdot 10^{-10}$	$2,6 \cdot 10^{-10}$		
		F	0,02	$8,3 \cdot 10^{-12}$	$1,5 \cdot 10^{-11}$	0,02	$2,3 \cdot 10^{-11}$
Sn-113	115 d	M	0,02	$1,4 \cdot 10^{-11}$	$2,2 \cdot 10^{-11}$		
		F	0,02	$5,4 \cdot 10^{-10}$	$7,9 \cdot 10^{-10}$	0,02	$7,3 \cdot 10^{-10}$
Sn-117m	13,6 d	M	0,02	$2,5 \cdot 10^{-9}$	$1,9 \cdot 10^{-9}$		
		F	0,02	$2,9 \cdot 10^{-10}$	$3,9 \cdot 10^{-10}$	0,02	$7,1 \cdot 10^{-10}$
Sn-119m	293 d	M	0,02	$2,3 \cdot 10^{-9}$	$2,2 \cdot 10^{-9}$		
		F	0,02	$2,9 \cdot 10^{-10}$	$3,6 \cdot 10^{-10}$	0,02	$3,4 \cdot 10^{-10}$
Sn-121	1,13 d	M	0,02	$2,0 \cdot 10^{-9}$	$1,5 \cdot 10^{-9}$		
		F	0,02	$6,4 \cdot 10^{-11}$	$1,0 \cdot 10^{-10}$	0,02	$2,3 \cdot 10^{-10}$
Sn-121m	55,0 r	M	0,02	$2,2 \cdot 10^{-10}$	$2,8 \cdot 10^{-10}$		
		F	0,02	$8,0 \cdot 10^{-10}$	$9,7 \cdot 10^{-10}$	0,02	$3,8 \cdot 10^{-10}$
Sn-123	129 d	M	0,02	$4,2 \cdot 10^{-9}$	$3,3 \cdot 10^{-9}$		
		F	0,02	$1,2 \cdot 10^{-9}$	$1,6 \cdot 10^{-9}$	0,02	$2,1 \cdot 10^{-9}$
Sn-123m	0,668 h	M	0,02	$7,7 \cdot 10^{-9}$	$5,6 \cdot 10^{-9}$		
		F	0,02	$1,4 \cdot 10^{-11}$	$2,4 \cdot 10^{-11}$	0,02	$3,8 \cdot 10^{-11}$
Sn-125	9,64 d	M	0,02	$2,8 \cdot 10^{-11}$	$4,4 \cdot 10^{-11}$		
		F	0,02	$9,2 \cdot 10^{-10}$	$1,3 \cdot 10^{-9}$	0,02	$3,1 \cdot 10^{-9}$
Sn-126	1,00 10 ⁵ r	M	0,02	$3,0 \cdot 10^{-9}$	$2,8 \cdot 10^{-9}$		
		F	0,02	$1,1 \cdot 10^{-8}$	$1,4 \cdot 10^{-8}$	0,02	$4,7 \cdot 10^{-9}$
Sn-127	2,10 h	M	0,02	$2,7 \cdot 10^{-8}$	$1,8 \cdot 10^{-8}$		
		F	0,02	$6,9 \cdot 10^{-11}$	$1,2 \cdot 10^{-10}$	0,02	$2,0 \cdot 10^{-10}$
Sn-128	0,985 h	M	0,02	$1,3 \cdot 10^{-10}$	$2,0 \cdot 10^{-10}$		
		F	0,02	$5,4 \cdot 10^{-11}$	$9,5 \cdot 10^{-11}$	0,02	$1,5 \cdot 10^{-10}$
		M	0,02	$9,6 \cdot 10^{-11}$	$1,5 \cdot 10^{-10}$		
Antimón							
Sb-115	0,530 h	M	0,1	$9,2 \cdot 10^{-12}$	$1,7 \cdot 10^{-11}$		
		F	0,01	$1,4 \cdot 10^{-11}$	$2,3 \cdot 10^{-11}$	0,1	$2,4 \cdot 10^{-11}$
Sb-116	0,263 h	M	0,1	$9,9 \cdot 10^{-12}$	$1,8 \cdot 10^{-11}$		
		F	0,01	$1,4 \cdot 10^{-11}$	$2,3 \cdot 10^{-11}$	0,1	$2,6 \cdot 10^{-11}$
Sb-116m	1,00 h	M	0,1	$3,5 \cdot 10^{-11}$	$6,4 \cdot 10^{-11}$		
		F	0,01	$5,0 \cdot 10^{-11}$	$8,5 \cdot 10^{-11}$	0,1	$6,7 \cdot 10^{-11}$
Sb-117	2,80 h	M	0,1	$9,3 \cdot 10^{-12}$	$1,7 \cdot 10^{-11}$		
		F	0,01	$1,7 \cdot 10^{-11}$	$2,7 \cdot 10^{-11}$	0,1	$1,8 \cdot 10^{-11}$
Sb-118m	5,00 h	M	0,1	$1,0 \cdot 10^{-10}$	$1,9 \cdot 10^{-10}$		
		F	0,01	$1,3 \cdot 10^{-10}$	$2,3 \cdot 10^{-10}$	0,1	$2,1 \cdot 10^{-10}$
Sb-119	1,59 d	M	0,1	$2,5 \cdot 10^{-11}$	$4,5 \cdot 10^{-11}$		
		F	0,01	$3,7 \cdot 10^{-11}$	$5,9 \cdot 10^{-11}$	0,1	$8,1 \cdot 10^{-11}$
Sb-120	5,76 d	M	0,1	$5,9 \cdot 10^{-10}$	$9,8 \cdot 10^{-10}$		
		F	0,01	$1,0 \cdot 10^{-9}$	$1,3 \cdot 10^{-9}$	0,1	$1,2 \cdot 10^{-9}$
Sb-120	0,265 h	M	0,1	$4,9 \cdot 10^{-12}$	$8,5 \cdot 10^{-12}$		
		F	0,01	$7,4 \cdot 10^{-12}$	$1,2 \cdot 10^{-11}$	0,1	$1,4 \cdot 10^{-11}$
Sb-122	2,70 d	M	0,1	$3,9 \cdot 10^{-10}$	$6,3 \cdot 10^{-10}$		
		F	0,01	$1,0 \cdot 10^{-9}$	$1,2 \cdot 10^{-9}$	0,1	$1,7 \cdot 10^{-9}$
Sb-124	60,2 d	M	0,1	$1,3 \cdot 10^{-9}$	$1,9 \cdot 10^{-9}$		
		F	0,01	$6,1 \cdot 10^{-9}$	$4,7 \cdot 10^{-9}$	0,1	$2,5 \cdot 10^{-9}$
Sb-124m	0,337 h	M	0,1	$3,0 \cdot 10^{-12}$	$5,3 \cdot 10^{-12}$		
		F	0,01	$5,5 \cdot 10^{-12}$	$8,3 \cdot 10^{-12}$	0,1	$8,0 \cdot 10^{-12}$
Sb-125	2,77 r	M	0,1	$1,4 \cdot 10^{-9}$	$1,7 \cdot 10^{-9}$		
		F	0,01	$4,5 \cdot 10^{-9}$	$3,3 \cdot 10^{-9}$	0,1	$1,1 \cdot 10^{-9}$

Tabuľka č. 11 Konverzné faktory h_{inh} a h_{ing} na prepočet príjmu rádionuklidov vdýchnutím (inhaláciou) aerosólov a požitím (ingesciou) na úväzok efektívnej dávky pre pracovníkov

Prvok Nuklid	doba polpremeny	inhalácia				ingescia	
		typ	f_1	h_{inh} [Sv.Bq ⁻¹]		f_1	h_{ing} [Sv.Bq ⁻¹]
				$d_{ama} = 1 \mu\text{m}$	$d_{ama} = 5 \mu\text{m}$		
Sb-126	12,4 d	F	0,1	$1,1 \cdot 10^{-9}$	$1,7 \cdot 10^{-9}$	0,1	$2,4 \cdot 10^{-9}$
		M	0,01	$2,7 \cdot 10^{-9}$	$3,2 \cdot 10^{-9}$		
Sb-126m	0,317 h	F	0,1	$1,3 \cdot 10^{-11}$	$2,3 \cdot 10^{-11}$	0,1	$3,6 \cdot 10^{-11}$
		M	0,01	$2,0 \cdot 10^{-11}$	$3,3 \cdot 10^{-11}$		
Sb-127	3,85 d	F	0,1	$4,6 \cdot 10^{-10}$	$7,4 \cdot 10^{-10}$	0,1	$1,7 \cdot 10^{-9}$
		M	0,01	$1,6 \cdot 10^{-9}$	$1,7 \cdot 10^{-9}$		
Sb-128	9,01 h	F	0,1	$2,5 \cdot 10^{-10}$	$4,6 \cdot 10^{-10}$	0,1	$7,6 \cdot 10^{-10}$
		M	0,01	$4,2 \cdot 10^{-10}$	$6,7 \cdot 10^{-10}$		
Sb-128	0,173 h	F	0,1	$1,1 \cdot 10^{-11}$	$1,9 \cdot 10^{-11}$	0,1	$3,3 \cdot 10^{-11}$
		M	0,01	$1,5 \cdot 10^{-11}$	$2,6 \cdot 10^{-11}$		
Sb-129	4,32 h	F	0,1	$1,1 \cdot 10^{-10}$	$2,0 \cdot 10^{-10}$	0,1	$4,2 \cdot 10^{-10}$
		M	0,01	$2,4 \cdot 10^{-10}$	$3,5 \cdot 10^{-10}$		
Sb-130	0,667 h	F	0,1	$3,5 \cdot 10^{-11}$	$6,3 \cdot 10^{-11}$	0,1	$9,1 \cdot 10^{-11}$
		M	0,01	$5,4 \cdot 10^{-11}$	$9,1 \cdot 10^{-11}$		
Sb-131	0,383 h	F	0,1	$3,7 \cdot 10^{-11}$	$5,9 \cdot 10^{-11}$	0,1	$1,0 \cdot 10^{-10}$
		M	0,01	$5,2 \cdot 10^{-11}$	$8,3 \cdot 10^{-11}$		
Telúr							
Te-116	2,49 h	F	0,3	$6,3 \cdot 10^{-11}$	$1,2 \cdot 10^{-10}$	0,3	$1,7 \cdot 10^{-10}$
		M	0,3	$1,1 \cdot 10^{-10}$	$1,7 \cdot 10^{-10}$		
Te-121	17,0 d	F	0,3	$2,5 \cdot 10^{-10}$	$3,9 \cdot 10^{-10}$	0,3	$4,3 \cdot 10^{-10}$
		M	0,3	$3,9 \cdot 10^{-10}$	$4,4 \cdot 10^{-10}$		
Te-121m	154 d	F	0,3	$1,8 \cdot 10^{-9}$	$2,3 \cdot 10^{-9}$	0,3	$2,3 \cdot 10^{-9}$
		M	0,3	$4,2 \cdot 10^{-9}$	$3,6 \cdot 10^{-9}$		
Te-123	$1,00 \cdot 10^{13}$ r	F	0,3	$4,0 \cdot 10^{-9}$	$5,0 \cdot 10^{-9}$	0,3	$4,4 \cdot 10^{-9}$
		M	0,3	$2,6 \cdot 10^{-9}$	$2,8 \cdot 10^{-9}$		
Te-123m	120 d	F	0,3	$9,7 \cdot 10^{-10}$	$1,2 \cdot 10^{-9}$	0,3	$1,4 \cdot 10^{-9}$
		M	0,3	$3,9 \cdot 10^{-9}$	$3,4 \cdot 10^{-9}$		
Te-125m	58,0 d	F	0,3	$5,1 \cdot 10^{-10}$	$6,7 \cdot 10^{-10}$	0,3	$8,7 \cdot 10^{-10}$
		M	0,3	$3,3 \cdot 10^{-9}$	$2,9 \cdot 10^{-9}$		
Te-127	9,35 h	F	0,3	$4,2 \cdot 10^{-11}$	$7,2 \cdot 10^{-11}$	0,3	$1,7 \cdot 10^{-10}$
		M	0,3	$1,2 \cdot 10^{-10}$	$1,8 \cdot 10^{-10}$		
Te-127m	109 d	F	0,3	$1,6 \cdot 10^{-9}$	$2,0 \cdot 10^{-9}$	0,3	$2,3 \cdot 10^{-9}$
		M	0,3	$7,2 \cdot 10^{-9}$	$6,2 \cdot 10^{-9}$		
Te-129	1,16 h	F	0,3	$1,7 \cdot 10^{-11}$	$2,9 \cdot 10^{-11}$	0,3	$6,3 \cdot 10^{-11}$
		M	0,3	$3,8 \cdot 10^{-11}$	$5,7 \cdot 10^{-11}$		
Te-129m	33,6 d	F	0,3	$1,3 \cdot 10^{-9}$	$1,8 \cdot 10^{-9}$	0,3	$3,0 \cdot 10^{-9}$
		M	0,3	$6,3 \cdot 10^{-9}$	$5,4 \cdot 10^{-9}$		
Te-131	0,417 h	F	0,3	$2,3 \cdot 10^{-11}$	$4,6 \cdot 10^{-11}$	0,3	$8,7 \cdot 10^{-11}$
		M	0,3	$3,8 \cdot 10^{-11}$	$6,1 \cdot 10^{-11}$		
Te-131m	1,25 d	F	0,3	$8,7 \cdot 10^{-10}$	$1,2 \cdot 10^{-9}$	0,3	$1,9 \cdot 10^{-9}$
		M	0,3	$1,1 \cdot 10^{-9}$	$1,6 \cdot 10^{-9}$		
Te-132	3,26 d	F	0,3	$1,8 \cdot 10^{-9}$	$2,4 \cdot 10^{-9}$	0,3	$3,7 \cdot 10^{-9}$
		M	0,3	$2,2 \cdot 10^{-9}$	$3,0 \cdot 10^{-9}$		
Te-133	0,207 h	F	0,3	$2,0 \cdot 10^{-11}$	$3,8 \cdot 10^{-11}$	0,3	$7,2 \cdot 10^{-11}$
		M	0,3	$2,7 \cdot 10^{-11}$	$4,4 \cdot 10^{-11}$		
Te-133m	0,923 h	F	0,3	$8,4 \cdot 10^{-11}$	$1,2 \cdot 10^{-10}$	0,3	$2,8 \cdot 10^{-10}$
		M	0,3	$1,2 \cdot 10^{-10}$	$1,9 \cdot 10^{-10}$		
Te-134	0,696 h	F	0,3	$5,0 \cdot 10^{-11}$	$8,3 \cdot 10^{-11}$	0,3	$1,1 \cdot 10^{-10}$
		M	0,3	$7,1 \cdot 10^{-11}$	$1,1 \cdot 10^{-10}$		
Jód							

Tabuľka č. 11 Konverzné faktory h_{inh} a h_{ing} na prepočet príjmu rádionuklidov vdýchnutím (inhaláciou) aerosólov a požitím (ingesciou) na úväzok efektívnej dávky pre pracovníkov

Prvok Nuklid	doba polpremeny	inhalácia				ingescia	
		typ	f_1	h_{inh} [Sv.Bq ⁻¹]		f_1	h_{ing} [Sv.Bq ⁻¹]
				$d_{ama} = 1 \mu\text{m}$	$d_{ama} = 5 \mu\text{m}$		
I-120	1,35 h	F	1	$1,0 \cdot 10^{-10}$	$1,9 \cdot 10^{-10}$	1	$3,4 \cdot 10^{-10}$
I-120m	0,883 h	F	1	$8,7 \cdot 10^{-11}$	$1,4 \cdot 10^{-10}$	1	$2,1 \cdot 10^{-10}$
I-121	2,12 h	F	1	$2,8 \cdot 10^{-11}$	$3,9 \cdot 10^{-11}$	1	$8,2 \cdot 10^{-11}$
I-123	13,2 h	F	1	$7,6 \cdot 10^{-11}$	$1,1 \cdot 10^{-10}$	1	$2,1 \cdot 10^{-10}$
I-124	4,18 d	F	1	$4,5 \cdot 10^{-9}$	$6,3 \cdot 10^{-9}$	1	$1,3 \cdot 10^{-8}$
I-125	60,1 d	F	1	$5,3 \cdot 10^{-9}$	$7,3 \cdot 10^{-9}$	1	$1,5 \cdot 10^{-8}$
I-126	13,0 d	F	1	$1,0 \cdot 10^{-8}$	$1,4 \cdot 10^{-8}$	1	$2,9 \cdot 10^{-8}$
I-128	0,416 h	F	1	$1,4 \cdot 10^{-11}$	$2,2 \cdot 10^{-11}$	1	$4,6 \cdot 10^{-11}$
I-129	$1,57 \cdot 10^7$ r	F	1	$3,7 \cdot 10^{-8}$	$5,1 \cdot 10^{-8}$	1	$1,1 \cdot 10^{-7}$
I-130	12,4 h	F	1	$6,9 \cdot 10^{-10}$	$9,6 \cdot 10^{-10}$	1	$2,0 \cdot 10^{-9}$
I-131	8,04 d	F	1	$7,6 \cdot 10^{-9}$	$1,1 \cdot 10^{-8}$	1	$2,2 \cdot 10^{-8}$
I-132	2,30 h	F	1	$9,6 \cdot 10^{-11}$	$2,0 \cdot 10^{-10}$	1	$2,9 \cdot 10^{-10}$
I-132m	1,39 h	F	1	$8,1 \cdot 10^{-11}$	$1,1 \cdot 10^{-10}$	1	$2,2 \cdot 10^{-10}$
I-133	20,8 h	F	1	$1,5 \cdot 10^{-9}$	$2,1 \cdot 10^{-9}$	1	$4,3 \cdot 10^{-9}$
I-134	0,876 h	F	1	$4,8 \cdot 10^{-11}$	$7,9 \cdot 10^{-11}$	1	$1,1 \cdot 10^{-10}$
I-135	6,61 h	F	1	$3,3 \cdot 10^{-10}$	$4,6 \cdot 10^{-10}$	1	$9,3 \cdot 10^{-10}$
Céziu							
Cs-125	0,750 h	F	1	$1,3 \cdot 10^{-11}$	$2,3 \cdot 10^{-11}$	1	$3,5 \cdot 10^{-11}$
Cs-127	6,25 h	F	1	$2,2 \cdot 10^{-11}$	$4,0 \cdot 10^{-11}$	1	$2,4 \cdot 10^{-11}$
Cs-129	1,34 d	F	1	$4,5 \cdot 10^{-11}$	$8,1 \cdot 10^{-11}$	1	$6,0 \cdot 10^{-11}$
Cs-130	0,498 h	F	1	$8,4 \cdot 10^{-12}$	$1,5 \cdot 10^{-11}$	1	$2,8 \cdot 10^{-11}$
Cs-131	9,69 d	F	1	$2,8 \cdot 10^{-11}$	$4,5 \cdot 10^{-11}$	1	$5,8 \cdot 10^{-11}$
Cs-132	6,48 d	F	1	$2,4 \cdot 10^{-10}$	$3,8 \cdot 10^{-10}$	1	$5,0 \cdot 10^{-10}$
Cs-134	2,06 r	F	1	$6,8 \cdot 10^{-9}$	$9,6 \cdot 10^{-9}$	1	$1,9 \cdot 10^{-8}$
Cs-134m	2,90 h	F	1	$1,5 \cdot 10^{-11}$	$2,6 \cdot 10^{-11}$	1	$2,0 \cdot 10^{-11}$
Cs-135	$2,30 \cdot 10^6$ r	F	1	$7,1 \cdot 10^{-10}$	$9,9 \cdot 10^{-10}$	1	$2,0 \cdot 10^{-9}$
Cs-135m	0,883 h	F	1	$1,3 \cdot 10^{-11}$	$2,4 \cdot 10^{-11}$	1	$1,9 \cdot 10^{-11}$
Cs-136	13,1 d	F	1	$1,3 \cdot 10^{-9}$	$1,9 \cdot 10^{-9}$	1	$3,0 \cdot 10^{-9}$
Cs-137	30,0 r	F	1	$4,8 \cdot 10^{-9}$	$6,7 \cdot 10^{-9}$	1	$1,3 \cdot 10^{-8}$
Cs-138	0,536 h	F	1	$2,6 \cdot 10^{-11}$	$4,6 \cdot 10^{-11}$	1	$9,2 \cdot 10^{-11}$
Báryum							
Ba-126	1,61 h	F	0,1	$7,8 \cdot 10^{-11}$	$1,2 \cdot 10^{-10}$	0,1	$2,6 \cdot 10^{-10}$
Ba-128	2,43 h	F	0,1	$8,0 \cdot 10^{-10}$	$1,3 \cdot 10^{-9}$	0,1	$2,7 \cdot 10^{-9}$
Ba-131	11,8 d	F	0,1	$2,3 \cdot 10^{-10}$	$3,5 \cdot 10^{-10}$	0,1	$4,5 \cdot 10^{-10}$
Ba-131m	0,243 h	F	0,1	$4,1 \cdot 10^{-12}$	$6,4 \cdot 10^{-12}$	0,1	$4,9 \cdot 10^{-12}$
Ba-133	10,7 r	F	0,1	$1,5 \cdot 10^{-9}$	$1,8 \cdot 10^{-9}$	0,1	$1,0 \cdot 10^{-9}$
Ba-133m	1,62 d	F	0,1	$1,9 \cdot 10^{-10}$	$2,8 \cdot 10^{-10}$	0,1	$5,5 \cdot 10^{-10}$
Ba-135m	1,20 d	F	0,1	$1,5 \cdot 10^{-10}$	$2,3 \cdot 10^{-10}$	0,1	$4,5 \cdot 10^{-10}$
Ba-139	1,38 h	F	0,1	$3,5 \cdot 10^{-11}$	$5,5 \cdot 10^{-11}$	0,1	$1,2 \cdot 10^{-10}$
Ba-140	12,7 d	F	0,1	$1,0 \cdot 10^{-9}$	$1,6 \cdot 10^{-9}$	0,1	$2,5 \cdot 10^{-9}$
Ba-141	0,305 h	F	0,1	$2,2 \cdot 10^{-11}$	$3,5 \cdot 10^{-11}$	0,1	$7,0 \cdot 10^{-11}$
Ba-142	0,177 h	F	0,1	$1,6 \cdot 10^{-11}$	$2,7 \cdot 10^{-11}$	0,1	$3,5 \cdot 10^{-11}$
Lantán							
La-131	0,983 h	F	$5,0 \cdot 10^{-4}$	$1,4 \cdot 10^{-11}$	$2,4 \cdot 10^{-11}$	$5,0 \cdot 10^{-4}$	$3,5 \cdot 10^{-11}$
		M	$5,0 \cdot 10^{-4}$	$2,3 \cdot 10^{-11}$	$3,6 \cdot 10^{-11}$		
La-132	4,80 h	F	$5,0 \cdot 10^{-4}$	$1,1 \cdot 10^{-10}$	$2,0 \cdot 10^{-10}$	$5,0 \cdot 10^{-4}$	$3,9 \cdot 10^{-10}$
		M	$5,0 \cdot 10^{-4}$	$1,7 \cdot 10^{-10}$	$2,8 \cdot 10^{-10}$		
La-135	19,5 h	F	$5,0 \cdot 10^{-4}$	$1,1 \cdot 10^{-11}$	$2,0 \cdot 10^{-11}$	$5,0 \cdot 10^{-4}$	$3,0 \cdot 10^{-11}$
		M	$5,0 \cdot 10^{-4}$	$1,5 \cdot 10^{-11}$	$2,5 \cdot 10^{-11}$		
La-137	$6,00 \cdot 10^4$ r	F	$5,0 \cdot 10^{-4}$	$8,6 \cdot 10^{-9}$	$1,0 \cdot 10^{-8}$	$5,0 \cdot 10^{-4}$	$8,1 \cdot 10^{-11}$

Tabuľka č. 11 Konverzné faktory h_{inh} a h_{ing} na prepočet príjmu rádionuklidov vdýchnutím (inhaláciou) aerosólov a požitím (ingesciou) na úväzok efektívnej dávky pre pracovníkov

Prvok Nuklid	doba polpremeny	inhalácia				ingescia	
		typ	f_1	h_{inh} [Sv.Bq ⁻¹]		f_1	h_{ing} [Sv.Bq ⁻¹]
				$d_{ama}=1\ \mu\text{m}$	$d_{ama}=5\ \mu\text{m}$		
		M	$5,0 \cdot 10^{-4}$	$3,4 \cdot 10^{-9}$	$2,3 \cdot 10^{-9}$		
La-138	$1,35 \cdot 10^{11}$ r	F	$5,0 \cdot 10^{-4}$	$1,5 \cdot 10^{-7}$	$1,8 \cdot 10^{-7}$	$5,0 \cdot 10^{-4}$	$1,1 \cdot 10^{-9}$
		M	$5,0 \cdot 10^{-4}$	$6,1 \cdot 10^{-8}$	$4,2 \cdot 10^{-8}$		
La-140	1,68 d	F	$5,0 \cdot 10^{-4}$	$6,0 \cdot 10^{-10}$	$1,0 \cdot 10^{-9}$	$5,0 \cdot 10^{-4}$	$2,0 \cdot 10^{-9}$
		M	$5,0 \cdot 10^{-4}$	$1,1 \cdot 10^{-9}$	$1,5 \cdot 10^{-9}$		
La-141	3,93 h	F	$5,0 \cdot 10^{-4}$	$6,7 \cdot 10^{-11}$	$1,1 \cdot 10^{-10}$	$5,0 \cdot 10^{-4}$	$3,6 \cdot 10^{-10}$
		M	$5,0 \cdot 10^{-4}$	$1,5 \cdot 10^{-10}$	$2,2 \cdot 10^{-10}$		
La-142	1,54 h	F	$5,0 \cdot 10^{-4}$	$5,6 \cdot 10^{-11}$	$1,0 \cdot 10^{-10}$	$5,0 \cdot 10^{-4}$	$1,8 \cdot 10^{-10}$
		M	$5,0 \cdot 10^{-4}$	$9,3 \cdot 10^{-11}$	$1,5 \cdot 10^{-10}$		
La-143	0,237 h	F	$5,0 \cdot 10^{-4}$	$1,2 \cdot 10^{-11}$	$2,0 \cdot 10^{-11}$	$5,0 \cdot 10^{-4}$	$5,6 \cdot 10^{-11}$
		M	$5,0 \cdot 10^{-4}$	$2,2 \cdot 10^{-11}$	$3,3 \cdot 10^{-11}$		
Cér							
Ce-134	3,00 d	M	$5,0 \cdot 10^{-4}$	$1,3 \cdot 10^{-9}$	$1,5 \cdot 10^{-9}$	$5,0 \cdot 10^{-4}$	$2,5 \cdot 10^{-9}$
		S	$5,0 \cdot 10^{-4}$	$1,3 \cdot 10^{-9}$	$1,6 \cdot 10^{-9}$		
Ce-135	17,6 h	M	$5,0 \cdot 10^{-4}$	$4,9 \cdot 10^{-10}$	$7,3 \cdot 10^{-10}$	$5,0 \cdot 10^{-4}$	$7,9 \cdot 10^{-10}$
		S	$5,0 \cdot 10^{-4}$	$5,1 \cdot 10^{-10}$	$7,6 \cdot 10^{-10}$		
Ce-137	9,00 h	M	$5,0 \cdot 10^{-4}$	$1,0 \cdot 10^{-11}$	$1,8 \cdot 10^{-11}$	$5,0 \cdot 10^{-4}$	$2,5 \cdot 10^{-11}$
		S	$5,0 \cdot 10^{-4}$	$1,1 \cdot 10^{-11}$	$1,9 \cdot 10^{-11}$		
Ce-137m	1,43 d	M	$5,0 \cdot 10^{-4}$	$4,0 \cdot 10^{-10}$	$5,5 \cdot 10^{-10}$	$5,0 \cdot 10^{-4}$	$5,4 \cdot 10^{-10}$
		S	$5,0 \cdot 10^{-4}$	$4,3 \cdot 10^{-10}$	$5,9 \cdot 10^{-10}$		
Ce-139	138 d	M	$5,0 \cdot 10^{-4}$	$1,6 \cdot 10^{-9}$	$1,3 \cdot 10^{-9}$	$5,0 \cdot 10^{-4}$	$2,6 \cdot 10^{-10}$
		S	$5,0 \cdot 10^{-4}$	$1,8 \cdot 10^{-9}$	$1,4 \cdot 10^{-9}$		
Ce-141	32,5 d	M	$5,0 \cdot 10^{-4}$	$3,1 \cdot 10^{-9}$	$2,7 \cdot 10^{-9}$	$5,0 \cdot 10^{-4}$	$7,1 \cdot 10^{-10}$
		S	$5,0 \cdot 10^{-4}$	$3,6 \cdot 10^{-9}$	$3,1 \cdot 10^{-9}$		
Ce-143	1,38 d	M	$5,0 \cdot 10^{-4}$	$7,4 \cdot 10^{-10}$	$9,5 \cdot 10^{-10}$	$5,0 \cdot 10^{-4}$	$1,1 \cdot 10^{-9}$
		S	$5,0 \cdot 10^{-4}$	$8,1 \cdot 10^{-10}$	$1,0 \cdot 10^{-9}$		
Ce-144	284 d	M	$5,0 \cdot 10^{-4}$	$3,4 \cdot 10^{-8}$	$2,3 \cdot 10^{-8}$	$5,0 \cdot 10^{-4}$	$5,2 \cdot 10^{-9}$
		S	$5,0 \cdot 10^{-4}$	$4,9 \cdot 10^{-8}$	$2,9 \cdot 10^{-8}$		
Prazeodým							
Pr-136	0,218 h	M	$5,0 \cdot 10^{-4}$	$1,4 \cdot 10^{-11}$	$2,4 \cdot 10^{-11}$	$5,0 \cdot 10^{-4}$	$3,3 \cdot 10^{-11}$
		S	$5,0 \cdot 10^{-4}$	$1,5 \cdot 10^{-11}$	$2,5 \cdot 10^{-11}$		
Pr-137	1,28 h	M	$5,0 \cdot 10^{-4}$	$2,1 \cdot 10^{-11}$	$3,4 \cdot 10^{-11}$	$5,0 \cdot 10^{-4}$	$4,0 \cdot 10^{-11}$
		S	$5,0 \cdot 10^{-4}$	$2,2 \cdot 10^{-11}$	$3,5 \cdot 10^{-11}$		
Pr-138m	2,10 h	M	$5,0 \cdot 10^{-4}$	$7,6 \cdot 10^{-11}$	$1,3 \cdot 10^{-10}$	$5,0 \cdot 10^{-4}$	$1,3 \cdot 10^{-10}$
		S	$5,0 \cdot 10^{-4}$	$7,9 \cdot 10^{-11}$	$1,3 \cdot 10^{-10}$		
Pr-139	4,51 h	M	$5,0 \cdot 10^{-4}$	$1,9 \cdot 10^{-11}$	$2,9 \cdot 10^{-11}$	$5,0 \cdot 10^{-4}$	$3,1 \cdot 10^{-11}$
		S	$5,0 \cdot 10^{-4}$	$2,0 \cdot 10^{-11}$	$3,0 \cdot 10^{-11}$		
Pr-142	19,1 h	M	$5,0 \cdot 10^{-4}$	$5,3 \cdot 10^{-10}$	$7,0 \cdot 10^{-10}$	$5,0 \cdot 10^{-4}$	$1,3 \cdot 10^{-9}$
		S	$5,0 \cdot 10^{-4}$	$5,6 \cdot 10^{-10}$	$7,4 \cdot 10^{-10}$		
Pr-142m	0,243 h	M	$5,0 \cdot 10^{-4}$	$6,7 \cdot 10^{-12}$	$8,9 \cdot 10^{-12}$	$5,0 \cdot 10^{-4}$	$1,7 \cdot 10^{-11}$
		S	$5,0 \cdot 10^{-4}$	$7,1 \cdot 10^{-12}$	$9,4 \cdot 10^{-12}$		
Pr-143	13,6 d	M	$5,0 \cdot 10^{-4}$	$2,1 \cdot 10^{-9}$	$1,9 \cdot 10^{-9}$	$5,0 \cdot 10^{-4}$	$1,2 \cdot 10^{-9}$
		S	$5,0 \cdot 10^{-4}$	$2,3 \cdot 10^{-9}$	$2,2 \cdot 10^{-9}$		
Pr-144	0,288 h	M	$5,0 \cdot 10^{-4}$	$1,8 \cdot 10^{-11}$	$2,9 \cdot 10^{-11}$	$5,0 \cdot 10^{-4}$	$5,0 \cdot 10^{-11}$
		S	$5,0 \cdot 10^{-4}$	$1,9 \cdot 10^{-11}$	$3,0 \cdot 10^{-11}$		
Pr-145	5,98 h	M	$5,0 \cdot 10^{-4}$	$1,6 \cdot 10^{-10}$	$2,5 \cdot 10^{-10}$	$5,0 \cdot 10^{-4}$	$3,9 \cdot 10^{-10}$
		S	$5,0 \cdot 10^{-4}$	$1,7 \cdot 10^{-10}$	$2,6 \cdot 10^{-10}$		
Pr-147	0,227 h	M	$5,0 \cdot 10^{-4}$	$1,8 \cdot 10^{-11}$	$2,9 \cdot 10^{-11}$	$5,0 \cdot 10^{-4}$	$3,3 \cdot 10^{-11}$
		S	$5,0 \cdot 10^{-4}$	$1,9 \cdot 10^{-11}$	$3,0 \cdot 10^{-11}$		
Neodým							

Tabuľka č. 11 Konverzné faktory h_{inh} a h_{ing} na prepočet príjmu rádionuklidov vdýchnutím (inhaláciou) aerosólov a požitím (ingesciou) na úväzok efektívnej dávky pre pracovníkov

Prvok Nuklid	doba polpremeny	inhalácia				ingescia	
		typ	f_1	h_{inh} [Sv.Bq ⁻¹]		f_1	h_{ing} [Sv.Bq ⁻¹]
				$d_{ama} = 1 \mu\text{m}$	$d_{ama} = 5 \mu\text{m}$		
Nd-136	0,844 h	M	$5,0 \cdot 10^{-4}$	$5,3 \cdot 10^{-11}$	$8,5 \cdot 10^{-11}$	$5,0 \cdot 10^{-4}$	$9,9 \cdot 10^{-11}$
		S	$5,0 \cdot 10^{-4}$	$5,6 \cdot 10^{-11}$	$8,9 \cdot 10^{-11}$		
Nd-138	5,04 h	M	$5,0 \cdot 10^{-4}$	$2,4 \cdot 10^{-10}$	$3,7 \cdot 10^{-10}$	$5,0 \cdot 10^{-4}$	$6,4 \cdot 10^{-10}$
		S	$5,0 \cdot 10^{-4}$	$2,6 \cdot 10^{-10}$	$3,8 \cdot 10^{-10}$		
Nd-139	0,495 h	M	$5,0 \cdot 10^{-4}$	$1,0 \cdot 10^{-11}$	$1,7 \cdot 10^{-11}$	$5,0 \cdot 10^{-4}$	$2,0 \cdot 10^{-11}$
		S	$5,0 \cdot 10^{-4}$	$1,1 \cdot 10^{-11}$	$1,7 \cdot 10^{-11}$		
Nd-139m	5,50 h	M	$5,0 \cdot 10^{-4}$	$1,5 \cdot 10^{-10}$	$2,5 \cdot 10^{-10}$	$5,0 \cdot 10^{-4}$	$2,5 \cdot 10^{-10}$
		S	$5,0 \cdot 10^{-4}$	$1,6 \cdot 10^{-10}$	$2,5 \cdot 10^{-10}$		
Nd-141	2,49 h	M	$5,0 \cdot 10^{-4}$	$5,1 \cdot 10^{-12}$	$8,5 \cdot 10^{-12}$	$5,0 \cdot 10^{-4}$	$8,3 \cdot 10^{-12}$
		S	$5,0 \cdot 10^{-4}$	$5,3 \cdot 10^{-12}$	$8,8 \cdot 10^{-12}$		
Nd-147	11,0 d	M	$5,0 \cdot 10^{-4}$	$2,0 \cdot 10^{-9}$	$1,9 \cdot 10^{-9}$	$5,0 \cdot 10^{-4}$	$1,1 \cdot 10^{-9}$
		S	$5,0 \cdot 10^{-4}$	$2,3 \cdot 10^{-9}$	$2,1 \cdot 10^{-9}$		
Nd-149	1,73 h	M	$5,0 \cdot 10^{-4}$	$8,5 \cdot 10^{-11}$	$1,2 \cdot 10^{-10}$	$5,0 \cdot 10^{-4}$	$1,2 \cdot 10^{-10}$
		S	$5,0 \cdot 10^{-4}$	$9,0 \cdot 10^{-11}$	$1,3 \cdot 10^{-10}$		
Nd-151	0,207 h	M	$5,0 \cdot 10^{-4}$	$1,7 \cdot 10^{-11}$	$2,8 \cdot 10^{-11}$	$5,0 \cdot 10^{-4}$	$3,0 \cdot 10^{-11}$
		S	$5,0 \cdot 10^{-4}$	$1,8 \cdot 10^{-11}$	$2,9 \cdot 10^{-11}$		
Prométium							
Pm-141	0,348 h	M	$5,0 \cdot 10^{-4}$	$1,5 \cdot 10^{-11}$	$2,4 \cdot 10^{-11}$	$5,0 \cdot 10^{-4}$	$3,6 \cdot 10^{-11}$
		S	$5,0 \cdot 10^{-4}$	$1,6 \cdot 10^{-11}$	$2,5 \cdot 10^{-11}$		
Pm-143	265 d	M	$5,0 \cdot 10^{-4}$	$1,4 \cdot 10^{-9}$	$9,6 \cdot 10^{-10}$	$5,0 \cdot 10^{-4}$	$2,3 \cdot 10^{-10}$
		S	$5,0 \cdot 10^{-4}$	$1,3 \cdot 10^{-9}$	$8,3 \cdot 10^{-10}$		
Pm-144	363 d	M	$5,0 \cdot 10^{-4}$	$7,8 \cdot 10^{-9}$	$5,4 \cdot 10^{-9}$	$5,0 \cdot 10^{-4}$	$9,7 \cdot 10^{-10}$
		S	$5,0 \cdot 10^{-4}$	$7,0 \cdot 10^{-9}$	$3,9 \cdot 10^{-9}$		
Pm-145	17,7 r	M	$5,0 \cdot 10^{-4}$	$3,4 \cdot 10^{-9}$	$2,4 \cdot 10^{-9}$	$5,0 \cdot 10^{-4}$	$1,1 \cdot 10^{-10}$
		S	$5,0 \cdot 10^{-4}$	$2,1 \cdot 10^{-9}$	$1,2 \cdot 10^{-9}$		
Pm-146	5,53 r	M	$5,0 \cdot 10^{-4}$	$1,9 \cdot 10^{-8}$	$1,3 \cdot 10^{-8}$	$5,0 \cdot 10^{-4}$	$9,0 \cdot 10^{-10}$
		S	$5,0 \cdot 10^{-4}$	$1,6 \cdot 10^{-8}$	$9,0 \cdot 10^{-9}$		
Pm-147	2,62 r	M	$5,0 \cdot 10^{-4}$	$4,7 \cdot 10^{-9}$	$3,5 \cdot 10^{-9}$	$5,0 \cdot 10^{-4}$	$2,6 \cdot 10^{-10}$
		S	$5,0 \cdot 10^{-4}$	$4,6 \cdot 10^{-9}$	$3,2 \cdot 10^{-9}$		
Pm-148	5,37 d	M	$5,0 \cdot 10^{-4}$	$2,0 \cdot 10^{-9}$	$2,1 \cdot 10^{-9}$	$5,0 \cdot 10^{-4}$	$2,7 \cdot 10^{-9}$
		S	$5,0 \cdot 10^{-4}$	$2,1 \cdot 10^{-9}$	$2,2 \cdot 10^{-9}$		
Pm-148m	41,3 d	M	$5,0 \cdot 10^{-4}$	$4,9 \cdot 10^{-9}$	$4,1 \cdot 10^{-9}$	$5,0 \cdot 10^{-4}$	$1,8 \cdot 10^{-9}$
		S	$5,0 \cdot 10^{-4}$	$5,4 \cdot 10^{-9}$	$4,3 \cdot 10^{-9}$		
Pm-149	2,21 d	M	$5,0 \cdot 10^{-4}$	$6,6 \cdot 10^{-10}$	$7,6 \cdot 10^{-10}$	$5,0 \cdot 10^{-4}$	$9,9 \cdot 10^{-10}$
		S	$5,0 \cdot 10^{-4}$	$7,2 \cdot 10^{-10}$	$8,2 \cdot 10^{-10}$		
Pm-150	2,68 h	M	$5,0 \cdot 10^{-4}$	$1,3 \cdot 10^{-10}$	$2,0 \cdot 10^{-10}$	$5,0 \cdot 10^{-4}$	$2,6 \cdot 10^{-10}$
		S	$5,0 \cdot 10^{-4}$	$1,4 \cdot 10^{-10}$	$2,1 \cdot 10^{-10}$		
Pm-151	1,18 d	M	$5,0 \cdot 10^{-4}$	$4,2 \cdot 10^{-10}$	$6,1 \cdot 10^{-10}$	$5,0 \cdot 10^{-4}$	$7,3 \cdot 10^{-10}$
		S	$5,0 \cdot 10^{-4}$	$4,5 \cdot 10^{-10}$	$6,4 \cdot 10^{-10}$		
Samárium							
Sm-141	0,170 h	M	$5,0 \cdot 10^{-4}$	$1,6 \cdot 10^{-11}$	$2,7 \cdot 10^{-11}$	$5,0 \cdot 10^{-4}$	$3,9 \cdot 10^{-11}$
Sm-141m	0,377 h	M	$5,0 \cdot 10^{-4}$	$3,4 \cdot 10^{-11}$	$5,6 \cdot 10^{-11}$	$5,0 \cdot 10^{-4}$	$6,5 \cdot 10^{-11}$
Sm-142	1,21 h	M	$5,0 \cdot 10^{-4}$	$7,4 \cdot 10^{-11}$	$1,1 \cdot 10^{-10}$	$5,0 \cdot 10^{-4}$	$1,9 \cdot 10^{-10}$
Sm-145	340 d	M	$5,0 \cdot 10^{-4}$	$1,5 \cdot 10^{-9}$	$1,1 \cdot 10^{-9}$	$5,0 \cdot 10^{-4}$	$2,1 \cdot 10^{-10}$
Sm-146	$1,03 \cdot 10^8$ r	M	$5,0 \cdot 10^{-4}$	$9,9 \cdot 10^{-6}$	$6,7 \cdot 10^{-6}$	$5,0 \cdot 10^{-4}$	$5,4 \cdot 10^{-8}$
Sm-147	$1,06 \cdot 10^{11}$ r	M	$5,0 \cdot 10^{-4}$	$8,9 \cdot 10^{-6}$	$6,1 \cdot 10^{-6}$	$5,0 \cdot 10^{-4}$	$4,9 \cdot 10^{-8}$
Sm-151	90,0 r	M	$5,0 \cdot 10^{-4}$	$3,7 \cdot 10^{-9}$	$2,6 \cdot 10^{-9}$	$5,0 \cdot 10^{-4}$	$9,8 \cdot 10^{-11}$
Sm-153	1,95 d	M	$5,0 \cdot 10^{-4}$	$6,1 \cdot 10^{-10}$	$6,8 \cdot 10^{-10}$	$5,0 \cdot 10^{-4}$	$7,4 \cdot 10^{-10}$
Sm-155	0,368 h	M	$5,0 \cdot 10^{-4}$	$1,7 \cdot 10^{-11}$	$2,8 \cdot 10^{-11}$	$5,0 \cdot 10^{-4}$	$2,9 \cdot 10^{-11}$
Sm-156	9,40 h	M	$5,0 \cdot 10^{-4}$	$2,1 \cdot 10^{-10}$	$2,8 \cdot 10^{-10}$	$5,0 \cdot 10^{-4}$	$2,5 \cdot 10^{-10}$

Tabuľka č. 11 Konverzné faktory h_{inh} a h_{ing} na prepočet príjmu rádionuklidov vdýchnutím (inhaláciou) aerosólov a požitím (ingesciou) na úväzok efektívnej dávky pre pracovníkov

Prvok Nuklid	doba polpremeny	inhalácia				ingescia	
		typ	f_1	h_{inh} [Sv.Bq ⁻¹]		f_1	h_{ing} [Sv.Bq ⁻¹]
				$d_{ama} = 1 \mu m$	$d_{ama} = 5 \mu m$		
Európium							
Eu-145	5,94 d	M	$5,0 \cdot 10^{-4}$	$5,6 \cdot 10^{-10}$	$7,3 \cdot 10^{-10}$	$5,0 \cdot 10^{-4}$	$7,5 \cdot 10^{-10}$
Eu-146	4,61 d	M	$5,0 \cdot 10^{-4}$	$8,2 \cdot 10^{-10}$	$1,2 \cdot 10^{-9}$	$5,0 \cdot 10^{-4}$	$1,3 \cdot 10^{-9}$
Eu-147	24,0 d	M	$5,0 \cdot 10^{-4}$	$1,0 \cdot 10^{-9}$	$1,0 \cdot 10^{-9}$	$5,0 \cdot 10^{-4}$	$4,4 \cdot 10^{-10}$
Eu-148	54,5 d	M	$5,0 \cdot 10^{-4}$	$2,7 \cdot 10^{-9}$	$2,3 \cdot 10^{-9}$	$5,0 \cdot 10^{-4}$	$1,3 \cdot 10^{-9}$
Eu-149	93,1 d	M	$5,0 \cdot 10^{-4}$	$2,7 \cdot 10^{-10}$	$2,3 \cdot 10^{-10}$	$5,0 \cdot 10^{-4}$	$1,0 \cdot 10^{-10}$
Eu-150	34,2 r	M	$5,0 \cdot 10^{-4}$	$5,0 \cdot 10^{-8}$	$3,4 \cdot 10^{-8}$	$5,0 \cdot 10^{-4}$	$1,3 \cdot 10^{-9}$
Eu-150	12,6 h	M	$5,0 \cdot 10^{-4}$	$1,9 \cdot 10^{-10}$	$2,8 \cdot 10^{-10}$	$5,0 \cdot 10^{-4}$	$3,8 \cdot 10^{-10}$
Eu-152	13,3 r	M	$5,0 \cdot 10^{-4}$	$3,9 \cdot 10^{-8}$	$2,7 \cdot 10^{-8}$	$5,0 \cdot 10^{-4}$	$1,4 \cdot 10^{-9}$
Eu-152m	9,32 h	M	$5,0 \cdot 10^{-4}$	$2,2 \cdot 10^{-10}$	$3,2 \cdot 10^{-10}$	$5,0 \cdot 10^{-4}$	$5,0 \cdot 10^{-10}$
Eu-154	8,80 r	M	$5,0 \cdot 10^{-4}$	$5,0 \cdot 10^{-8}$	$3,5 \cdot 10^{-8}$	$5,0 \cdot 10^{-4}$	$2,0 \cdot 10^{-9}$
Eu-155	4,96 r	M	$5,0 \cdot 10^{-4}$	$6,5 \cdot 10^{-9}$	$4,7 \cdot 10^{-9}$	$5,0 \cdot 10^{-4}$	$3,2 \cdot 10^{-10}$
Eu-156	15,2 d	M	$5,0 \cdot 10^{-4}$	$3,3 \cdot 10^{-9}$	$3,0 \cdot 10^{-9}$	$5,0 \cdot 10^{-4}$	$2,2 \cdot 10^{-9}$
Eu-157	15,1 h	M	$5,0 \cdot 10^{-4}$	$3,2 \cdot 10^{-10}$	$4,4 \cdot 10^{-10}$	$5,0 \cdot 10^{-4}$	$6,0 \cdot 10^{-10}$
Eu-158	0,765 h	M	$5,0 \cdot 10^{-4}$	$4,8 \cdot 10^{-11}$	$7,5 \cdot 10^{-11}$	$5,0 \cdot 10^{-4}$	$9,4 \cdot 10^{-11}$
Gadolínium							
Gd-145	0,382 h	F	$5,0 \cdot 10^{-4}$	$1,5 \cdot 10^{-11}$	$2,6 \cdot 10^{-11}$	$5,0 \cdot 10^{-4}$	$4,4 \cdot 10^{-11}$
		M	$5,0 \cdot 10^{-4}$	$2,1 \cdot 10^{-11}$	$3,5 \cdot 10^{-11}$		
Gd-146	48,3 d	F	$5,0 \cdot 10^{-4}$	$4,4 \cdot 10^{-9}$	$5,2 \cdot 10^{-9}$	$5,0 \cdot 10^{-4}$	$9,6 \cdot 10^{-10}$
		M	$5,0 \cdot 10^{-4}$	$6,0 \cdot 10^{-9}$	$4,6 \cdot 10^{-9}$		
Gd-147	1,59 d	F	$5,0 \cdot 10^{-4}$	$2,7 \cdot 10^{-10}$	$4,5 \cdot 10^{-10}$	$5,0 \cdot 10^{-4}$	$6,1 \cdot 10^{-10}$
		M	$5,0 \cdot 10^{-4}$	$4,1 \cdot 10^{-10}$	$5,9 \cdot 10^{-10}$		
Gd-148	93,0 r	F	$5,0 \cdot 10^{-4}$	$2,5 \cdot 10^{-5}$	$3,0 \cdot 10^{-5}$	$5,0 \cdot 10^{-4}$	$5,5 \cdot 10^{-8}$
		M	$5,0 \cdot 10^{-4}$	$1,1 \cdot 10^{-5}$	$7,2 \cdot 10^{-6}$		
Gd-149	9,40 d	F	$5,0 \cdot 10^{-4}$	$2,6 \cdot 10^{-10}$	$4,5 \cdot 10^{-10}$	$5,0 \cdot 10^{-4}$	$4,5 \cdot 10^{-10}$
		M	$5,0 \cdot 10^{-4}$	$7,0 \cdot 10^{-10}$	$7,9 \cdot 10^{-10}$		
Gd-151	120 d	F	$5,0 \cdot 10^{-4}$	$7,8 \cdot 10^{-10}$	$9,3 \cdot 10^{-10}$	$5,0 \cdot 10^{-4}$	$2,0 \cdot 10^{-10}$
		M	$5,0 \cdot 10^{-4}$	$8,1 \cdot 10^{-10}$	$6,5 \cdot 10^{-10}$		
Gd-152	$1,08 \cdot 10^{14}$ r	F	$5,0 \cdot 10^{-4}$	$1,9 \cdot 10^{-5}$	$2,2 \cdot 10^{-5}$	$5,0 \cdot 10^{-4}$	$4,1 \cdot 10^{-8}$
		M	$5,0 \cdot 10^{-4}$	$7,4 \cdot 10^{-6}$	$5,0 \cdot 10^{-6}$		
Gd-153	242 d	F	$5,0 \cdot 10^{-4}$	$2,1 \cdot 10^{-9}$	$2,5 \cdot 10^{-9}$	$5,0 \cdot 10^{-4}$	$2,7 \cdot 10^{-10}$
		M	$5,0 \cdot 10^{-4}$	$1,9 \cdot 10^{-9}$	$1,4 \cdot 10^{-9}$		
Gd-159	18,6 h	F	$5,0 \cdot 10^{-4}$	$1,1 \cdot 10^{-10}$	$1,8 \cdot 10^{-10}$	$5,0 \cdot 10^{-4}$	$4,9 \cdot 10^{-10}$
		M	$5,0 \cdot 10^{-4}$	$2,7 \cdot 10^{-10}$	$3,9 \cdot 10^{-10}$		
Terbium							
Tb-147	1,65 h	M	$5,0 \cdot 10^{-4}$	$7,9 \cdot 10^{-11}$	$1,2 \cdot 10^{-10}$	$5,0 \cdot 10^{-4}$	$1,6 \cdot 10^{-10}$
Tb-149	4,15 h	M	$5,0 \cdot 10^{-4}$	$4,3 \cdot 10^{-9}$	$3,1 \cdot 10^{-9}$	$5,0 \cdot 10^{-4}$	$2,5 \cdot 10^{-10}$
Tb-150	3,27 h	M	$5,0 \cdot 10^{-4}$	$1,1 \cdot 10^{-10}$	$1,8 \cdot 10^{-10}$	$5,0 \cdot 10^{-4}$	$2,5 \cdot 10^{-10}$
Tb-151	17,6 h	M	$5,0 \cdot 10^{-4}$	$2,3 \cdot 10^{-10}$	$3,3 \cdot 10^{-10}$	$5,0 \cdot 10^{-4}$	$3,4 \cdot 10^{-10}$
Tb-153	2,34 d	M	$5,0 \cdot 10^{-4}$	$2,0 \cdot 10^{-10}$	$2,4 \cdot 10^{-10}$	$5,0 \cdot 10^{-4}$	$2,5 \cdot 10^{-10}$
Tb-154	21,4 h	M	$5,0 \cdot 10^{-4}$	$3,8 \cdot 10^{-10}$	$6,0 \cdot 10^{-10}$	$5,0 \cdot 10^{-4}$	$6,5 \cdot 10^{-10}$
Tb-155	5,32 d	M	$5,0 \cdot 10^{-4}$	$2,1 \cdot 10^{-10}$	$2,5 \cdot 10^{-10}$	$5,0 \cdot 10^{-4}$	$2,1 \cdot 10^{-10}$
Tb-156	5,34 d	M	$5,0 \cdot 10^{-4}$	$1,2 \cdot 10^{-9}$	$1,4 \cdot 10^{-9}$	$5,0 \cdot 10^{-4}$	$1,2 \cdot 10^{-9}$
Tb-156m	1,02 d	M	$5,0 \cdot 10^{-4}$	$2,0 \cdot 10^{-10}$	$2,3 \cdot 10^{-10}$	$5,0 \cdot 10^{-4}$	$1,7 \cdot 10^{-10}$
Tb-156m	5,00 h	M	$5,0 \cdot 10^{-4}$	$9,2 \cdot 10^{-11}$	$1,3 \cdot 10^{-10}$	$5,0 \cdot 10^{-4}$	$8,1 \cdot 10^{-11}$
Tb-157	$1,50 \cdot 10^2$ r	M	$5,0 \cdot 10^{-4}$	$1,1 \cdot 10^{-9}$	$7,9 \cdot 10^{-10}$	$5,0 \cdot 10^{-4}$	$3,4 \cdot 10^{-11}$
Tb-158	$1,50 \cdot 10^2$ r	M	$5,0 \cdot 10^{-4}$	$4,3 \cdot 10^{-8}$	$3,0 \cdot 10^{-8}$	$5,0 \cdot 10^{-4}$	$1,1 \cdot 10^{-9}$
Tb-160	72,3 d	M	$5,0 \cdot 10^{-4}$	$6,6 \cdot 10^{-9}$	$5,4 \cdot 10^{-9}$	$5,0 \cdot 10^{-4}$	$1,6 \cdot 10^{-9}$
Tb-161	6,91 d	M	$5,0 \cdot 10^{-4}$	$1,2 \cdot 10^{-9}$	$1,2 \cdot 10^{-9}$	$5,0 \cdot 10^{-4}$	$7,2 \cdot 10^{-10}$
Dyspróziium							

Tabuľka č. 11 Konverzné faktory h_{inh} a h_{ing} na prepočet príjmu rádionuklidov vdýchnutím (inhaláciou) aerosólov a požitím (ingesciou) na úväzok efektívnej dávky pre pracovníkov

Prvok Nuklid	doba polpremeny	inhalácia				ingescia	
		typ	f_1	h_{inh} [Sv.Bq ⁻¹]		f_1	h_{ing} [Sv.Bq ⁻¹]
				$d_{ama}=1\ \mu\text{m}$	$d_{ama}=5\ \mu\text{m}$		
Dy-155	10,0 h	M	$5,0 \cdot 10^{-4}$	$8,0 \cdot 10^{-11}$	$1,2 \cdot 10^{-10}$	$5,0 \cdot 10^{-4}$	$1,3 \cdot 10^{-10}$
Dy-157	8,10 h	M	$5,0 \cdot 10^{-4}$	$3,2 \cdot 10^{-11}$	$5,5 \cdot 10^{-11}$	$5,0 \cdot 10^{-4}$	$6,1 \cdot 10^{-11}$
Dy-159	144 d	M	$5,0 \cdot 10^{-4}$	$3,5 \cdot 10^{-10}$	$2,5 \cdot 10^{-10}$	$5,0 \cdot 10^{-4}$	$1,0 \cdot 10^{-10}$
Dy-165	2,33 h	M	$5,0 \cdot 10^{-4}$	$6,1 \cdot 10^{-11}$	$8,7 \cdot 10^{-11}$	$5,0 \cdot 10^{-4}$	$1,1 \cdot 10^{-10}$
Dy-166	3,40 d	M	$5,0 \cdot 10^{-4}$	$1,8 \cdot 10^{-9}$	$1,8 \cdot 10^{-9}$	$5,0 \cdot 10^{-4}$	$1,6 \cdot 10^{-9}$
Holmium							
Ho-155	0,800 h	M	$5,0 \cdot 10^{-4}$	$2,0 \cdot 10^{-11}$	$3,2 \cdot 10^{-11}$	$5,0 \cdot 10^{-4}$	$3,7 \cdot 10^{-11}$
Ho-157	0,210 h	M	$5,0 \cdot 10^{-4}$	$4,5 \cdot 10^{-12}$	$7,6 \cdot 10^{-12}$	$5,0 \cdot 10^{-4}$	$6,5 \cdot 10^{-12}$
Ho-159	0,550 h	M	$5,0 \cdot 10^{-4}$	$6,3 \cdot 10^{-12}$	$1,0 \cdot 10^{-11}$	$5,0 \cdot 10^{-4}$	$7,9 \cdot 10^{-12}$
Ho-161	2,50 h	M	$5,0 \cdot 10^{-4}$	$6,3 \cdot 10^{-12}$	$1,0 \cdot 10^{-11}$	$5,0 \cdot 10^{-4}$	$1,3 \cdot 10^{-11}$
Ho-162	0,250 h	M	$5,0 \cdot 10^{-4}$	$2,9 \cdot 10^{-12}$	$4,5 \cdot 10^{-12}$	$5,0 \cdot 10^{-4}$	$3,3 \cdot 10^{-12}$
Ho-162m	1,13 h	M	$5,0 \cdot 10^{-4}$	$2,2 \cdot 10^{-11}$	$3,3 \cdot 10^{-11}$	$5,0 \cdot 10^{-4}$	$2,6 \cdot 10^{-11}$
Ho-164	0,483 h	M	$5,0 \cdot 10^{-4}$	$8,6 \cdot 10^{-12}$	$1,3 \cdot 10^{-11}$	$5,0 \cdot 10^{-4}$	$9,5 \cdot 10^{-12}$
Ho-164m	0,625 h	M	$5,0 \cdot 10^{-4}$	$1,2 \cdot 10^{-11}$	$1,6 \cdot 10^{-11}$	$5,0 \cdot 10^{-4}$	$1,6 \cdot 10^{-11}$
Ho-166	1,12 d	M	$5,0 \cdot 10^{-4}$	$6,6 \cdot 10^{-10}$	$8,3 \cdot 10^{-10}$	$5,0 \cdot 10^{-4}$	$1,4 \cdot 10^{-9}$
Ho-166m	$1,20 \cdot 10^3$ r	M	$5,0 \cdot 10^{-4}$	$1,1 \cdot 10^{-7}$	$7,8 \cdot 10^{-8}$	$5,0 \cdot 10^{-4}$	$2,0 \cdot 10^{-9}$
Ho-167	3,10 h	M	$5,0 \cdot 10^{-4}$	$7,1 \cdot 10^{-11}$	$1,0 \cdot 10^{-10}$	$5,0 \cdot 10^{-4}$	$8,3 \cdot 10^{-11}$
Erbium							
Er-161	3,24 h	M	$5,0 \cdot 10^{-4}$	$5,1 \cdot 10^{-11}$	$8,5 \cdot 10^{-11}$	$5,0 \cdot 10^{-4}$	$8,0 \cdot 10^{-11}$
Er-165	10,4 h	M	$5,0 \cdot 10^{-4}$	$8,3 \cdot 10^{-12}$	$1,4 \cdot 10^{-11}$	$5,0 \cdot 10^{-4}$	$1,9 \cdot 10^{-11}$
Er-169	9,30 d	M	$5,0 \cdot 10^{-4}$	$9,8 \cdot 10^{-10}$	$9,2 \cdot 10^{-10}$	$5,0 \cdot 10^{-4}$	$3,7 \cdot 10^{-10}$
Er-171	7,52 h	M	$5,0 \cdot 10^{-4}$	$2,2 \cdot 10^{-10}$	$3,0 \cdot 10^{-10}$	$5,0 \cdot 10^{-4}$	$3,6 \cdot 10^{-10}$
Er-172	2,05 d	M	$5,0 \cdot 10^{-4}$	$1,1 \cdot 10^{-9}$	$1,2 \cdot 10^{-9}$	$5,0 \cdot 10^{-4}$	$1,0 \cdot 10^{-9}$
Túlium							
Tm-162	0,362 h	M	$5,0 \cdot 10^{-4}$	$1,6 \cdot 10^{-11}$	$2,7 \cdot 10^{-11}$	$5,0 \cdot 10^{-4}$	$2,9 \cdot 10^{-11}$
Tm-166	7,70 h	M	$5,0 \cdot 10^{-4}$	$1,8 \cdot 10^{-10}$	$2,8 \cdot 10^{-10}$	$5,0 \cdot 10^{-4}$	$2,8 \cdot 10^{-10}$
Tm-167	9,24 d	M	$5,0 \cdot 10^{-4}$	$1,1 \cdot 10^{-9}$	$1,0 \cdot 10^{-9}$	$5,0 \cdot 10^{-4}$	$5,6 \cdot 10^{-10}$
Tm-170	129 d	M	$5,0 \cdot 10^{-4}$	$6,6 \cdot 10^{-9}$	$5,2 \cdot 10^{-9}$	$5,0 \cdot 10^{-4}$	$1,3 \cdot 10^{-9}$
Tm-171	1,92 r	M	$5,0 \cdot 10^{-4}$	$1,3 \cdot 10^{-9}$	$9,1 \cdot 10^{-10}$	$5,0 \cdot 10^{-4}$	$1,1 \cdot 10^{-10}$
Tm-172	2,65 d	M	$5,0 \cdot 10^{-4}$	$1,1 \cdot 10^{-9}$	$1,4 \cdot 10^{-9}$	$5,0 \cdot 10^{-4}$	$1,7 \cdot 10^{-9}$
Tm-173	8,24 h	M	$5,0 \cdot 10^{-4}$	$1,8 \cdot 10^{-10}$	$2,6 \cdot 10^{-10}$	$5,0 \cdot 10^{-4}$	$3,1 \cdot 10^{-10}$
Tm-175	0,253 h	M	$5,0 \cdot 10^{-4}$	$1,9 \cdot 10^{-11}$	$3,1 \cdot 10^{-11}$	$5,0 \cdot 10^{-4}$	$2,7 \cdot 10^{-11}$
Yterbium							
Yb-162	0,315 h	M	$5,0 \cdot 10^{-4}$	$1,4 \cdot 10^{-11}$	$2,2 \cdot 10^{-11}$	$5,0 \cdot 10^{-4}$	$2,3 \cdot 10^{-11}$
		S	$5,0 \cdot 10^{-4}$	$1,4 \cdot 10^{-11}$	$2,3 \cdot 10^{-11}$		
Yb-166	2,36 d	M	$5,0 \cdot 10^{-4}$	$7,2 \cdot 10^{-10}$	$9,1 \cdot 10^{-10}$	$5,0 \cdot 10^{-4}$	$9,5 \cdot 10^{-10}$
		S	$5,0 \cdot 10^{-4}$	$7,6 \cdot 10^{-10}$	$9,5 \cdot 10^{-10}$		
Yb-167	0,292 h	M	$5,0 \cdot 10^{-4}$	$6,5 \cdot 10^{-12}$	$9,0 \cdot 10^{-12}$	$5,0 \cdot 10^{-4}$	$6,7 \cdot 10^{-12}$
		S	$5,0 \cdot 10^{-4}$	$6,9 \cdot 10^{-12}$	$9,5 \cdot 10^{-12}$		
Yb-169	32,0 d	M	$5,0 \cdot 10^{-4}$	$2,4 \cdot 10^{-9}$	$2,1 \cdot 10^{-9}$	$5,0 \cdot 10^{-4}$	$7,1 \cdot 10^{-10}$
		S	$5,0 \cdot 10^{-4}$	$2,8 \cdot 10^{-9}$	$2,4 \cdot 10^{-9}$		
Yb-175	4,19 d	M	$5,0 \cdot 10^{-4}$	$6,3 \cdot 10^{-10}$	$6,4 \cdot 10^{-10}$	$5,0 \cdot 10^{-4}$	$4,4 \cdot 10^{-10}$
		S	$5,0 \cdot 10^{-4}$	$7,0 \cdot 10^{-10}$	$7,0 \cdot 10^{-10}$		
Yb-177	1,90 h	M	$5,0 \cdot 10^{-4}$	$6,4 \cdot 10^{-11}$	$8,8 \cdot 10^{-11}$	$5,0 \cdot 10^{-4}$	$9,7 \cdot 10^{-11}$
		S	$5,0 \cdot 10^{-4}$	$6,9 \cdot 10^{-11}$	$9,4 \cdot 10^{-11}$		
Yb-178	1,23 h	M	$5,0 \cdot 10^{-4}$	$7,1 \cdot 10^{-11}$	$1,0 \cdot 10^{-10}$	$5,0 \cdot 10^{-4}$	$1,2 \cdot 10^{-10}$
		S	$5,0 \cdot 10^{-4}$	$7,6 \cdot 10^{-11}$	$1,1 \cdot 10^{-10}$		
Lutécium							
Lu-169	1,42 d	M	$5,0 \cdot 10^{-4}$	$3,5 \cdot 10^{-10}$	$4,7 \cdot 10^{-10}$	$5,0 \cdot 10^{-4}$	$4,6 \cdot 10^{-10}$
		S	$5,0 \cdot 10^{-4}$	$3,8 \cdot 10^{-10}$	$4,9 \cdot 10^{-10}$		

Tabuľka č. 11 Konverzné faktory h_{inh} a h_{ing} na prepočet príjmu rádionuklidov vdýchnutím (inhaláciou) aerosólov a požitím (ingesciou) na úväzok efektívnej dávky pre pracovníkov

Prvok Nuklid	doba polpremeny	inhalácia				ingescia	
		typ	f_1	h_{inh} [Sv.Bq ⁻¹]		f_1	h_{ing} [Sv.Bq ⁻¹]
				$d_{ama}=1\ \mu\text{m}$	$d_{ama}=5\ \mu\text{m}$		
Lu-170	2,00 d	M	$5,0 \cdot 10^{-4}$	$6,4 \cdot 10^{-10}$	$9,3 \cdot 10^{-10}$	$5,0 \cdot 10^{-4}$	$9,9 \cdot 10^{-10}$
		S	$5,0 \cdot 10^{-4}$	$6,7 \cdot 10^{-10}$	$9,5 \cdot 10^{-10}$		
Lu-171	8,22 d	M	$5,0 \cdot 10^{-4}$	$7,6 \cdot 10^{-10}$	$8,8 \cdot 10^{-10}$	$5,0 \cdot 10^{-4}$	$6,7 \cdot 10^{-10}$
		S	$5,0 \cdot 10^{-4}$	$8,3 \cdot 10^{-10}$	$9,3 \cdot 10^{-10}$		
Lu-172	6,70 d	M	$5,0 \cdot 10^{-4}$	$1,4 \cdot 10^{-9}$	$1,7 \cdot 10^{-9}$	$5,0 \cdot 10^{-4}$	$1,3 \cdot 10^{-9}$
		S	$5,0 \cdot 10^{-4}$	$1,5 \cdot 10^{-9}$	$1,8 \cdot 10^{-9}$		
Lu-173	1,37 r	M	$5,0 \cdot 10^{-4}$	$2,0 \cdot 10^{-9}$	$1,5 \cdot 10^{-9}$	$5,0 \cdot 10^{-4}$	$2,6 \cdot 10^{-10}$
		S	$5,0 \cdot 10^{-4}$	$2,3 \cdot 10^{-9}$	$1,4 \cdot 10^{-9}$		
Lu-174	3,31 r	M	$5,0 \cdot 10^{-4}$	$4,0 \cdot 10^{-9}$	$2,9 \cdot 10^{-9}$	$5,0 \cdot 10^{-4}$	$2,7 \cdot 10^{-10}$
		S	$5,0 \cdot 10^{-4}$	$3,9 \cdot 10^{-9}$	$2,5 \cdot 10^{-9}$		
Lu-174m	142 d	M	$5,0 \cdot 10^{-4}$	$3,4 \cdot 10^{-9}$	$2,4 \cdot 10^{-9}$	$5,0 \cdot 10^{-4}$	$5,3 \cdot 10^{-10}$
		S	$5,0 \cdot 10^{-4}$	$3,8 \cdot 10^{-9}$	$2,6 \cdot 10^{-9}$		
Lu-176	$3,60 \cdot 10^{10}$ r	M	$5,0 \cdot 10^{-4}$	$6,6 \cdot 10^{-8}$	$4,6 \cdot 10^{-8}$	$5,0 \cdot 10^{-4}$	$1,8 \cdot 10^{-9}$
		S	$5,0 \cdot 10^{-4}$	$5,2 \cdot 10^{-8}$	$3,0 \cdot 10^{-8}$		
Lu-176m	3,68 h	M	$5,0 \cdot 10^{-4}$	$1,1 \cdot 10^{-10}$	$1,5 \cdot 10^{-10}$	$5,0 \cdot 10^{-4}$	$1,7 \cdot 10^{-10}$
		S	$5,0 \cdot 10^{-4}$	$1,2 \cdot 10^{-10}$	$1,6 \cdot 10^{-10}$		
Lu-177	6,71 d	M	$5,0 \cdot 10^{-4}$	$1,0 \cdot 10^{-9}$	$1,0 \cdot 10^{-9}$	$5,0 \cdot 10^{-4}$	$5,3 \cdot 10^{-10}$
		S	$5,0 \cdot 10^{-4}$	$1,1 \cdot 10^{-9}$	$1,1 \cdot 10^{-9}$		
Lu-177m	161 d	M	$5,0 \cdot 10^{-4}$	$1,2 \cdot 10^{-8}$	$1,0 \cdot 10^{-8}$	$5,0 \cdot 10^{-4}$	$1,7 \cdot 10^{-9}$
		S	$5,0 \cdot 10^{-4}$	$1,5 \cdot 10^{-8}$	$1,2 \cdot 10^{-8}$		
Lu-178	0,473 h	M	$5,0 \cdot 10^{-4}$	$2,5 \cdot 10^{-11}$	$3,9 \cdot 10^{-11}$	$5,0 \cdot 10^{-4}$	$4,7 \cdot 10^{-11}$
		S	$5,0 \cdot 10^{-4}$	$2,6 \cdot 10^{-11}$	$4,1 \cdot 10^{-11}$		
Lu-178m	0,378 h	M	$5,0 \cdot 10^{-4}$	$3,3 \cdot 10^{-11}$	$5,4 \cdot 10^{-11}$	$5,0 \cdot 10^{-4}$	$3,8 \cdot 10^{-11}$
		S	$5,0 \cdot 10^{-4}$	$3,5 \cdot 10^{-11}$	$5,6 \cdot 10^{-11}$		
Lu-179	4,59 h	M	$5,0 \cdot 10^{-4}$	$1,1 \cdot 10^{-10}$	$1,6 \cdot 10^{-10}$	$5,0 \cdot 10^{-4}$	$2,1 \cdot 10^{-10}$
		S	$5,0 \cdot 10^{-4}$	$1,2 \cdot 10^{-10}$	$1,6 \cdot 10^{-10}$		
Hafnium							
Hf-170	16,0 h	F	0,002	$1,7 \cdot 10^{-10}$	$2,9 \cdot 10^{-10}$	0,002	$4,8 \cdot 10^{-10}$
		M	0,002	$3,2 \cdot 10^{-10}$	$4,3 \cdot 10^{-10}$		
Hf-172	1,87 r	F	0,002	$3,2 \cdot 10^{-8}$	$3,7 \cdot 10^{-8}$	0,002	$1,0 \cdot 10^{-9}$
		M	0,002	$1,9 \cdot 10^{-8}$	$1,3 \cdot 10^{-8}$		
Hf-173	24,0 h	F	0,002	$7,9 \cdot 10^{-11}$	$1,3 \cdot 10^{-10}$	0,002	$2,3 \cdot 10^{-10}$
		M	0,002	$1,6 \cdot 10^{-10}$	$2,2 \cdot 10^{-10}$		
Hf-175	70,0 d	F	0,002	$7,2 \cdot 10^{-10}$	$8,7 \cdot 10^{-10}$	0,002	$4,1 \cdot 10^{-10}$
		M	0,002	$1,1 \cdot 10^{-9}$	$8,8 \cdot 10^{-10}$		
Hf-177m	0,856 h	F	0,002	$4,7 \cdot 10^{-11}$	$8,4 \cdot 10^{-11}$	0,002	$8,1 \cdot 10^{-11}$
		M	0,002	$9,2 \cdot 10^{-11}$	$1,5 \cdot 10^{-10}$		
Hf-178m	31,0 r	F	0,002	$2,6 \cdot 10^{-7}$	$3,1 \cdot 10^{-7}$	0,002	$4,7 \cdot 10^{-9}$
		M	0,002	$1,1 \cdot 10^{-7}$	$7,8 \cdot 10^{-8}$		
Hf-179m	25,1 d	F	0,002	$1,1 \cdot 10^{-9}$	$1,4 \cdot 10^{-9}$	0,002	$1,2 \cdot 10^{-9}$
		M	0,002	$3,6 \cdot 10^{-9}$	$3,2 \cdot 10^{-9}$		
Hf-180m	5,50 h	F	0,002	$6,4 \cdot 10^{-11}$	$1,2 \cdot 10^{-10}$	0,002	$1,7 \cdot 10^{-10}$
		M	0,002	$1,4 \cdot 10^{-10}$	$2,0 \cdot 10^{-10}$		
Hf-181	42,4 d	F	0,002	$1,4 \cdot 10^{-9}$	$1,8 \cdot 10^{-9}$	0,002	$1,1 \cdot 10^{-9}$
		M	0,002	$4,7 \cdot 10^{-9}$	$4,1 \cdot 10^{-9}$		
Hf-182	$9,00 \cdot 10^6$ r	F	0,002	$3,0 \cdot 10^{-7}$	$3,6 \cdot 10^{-7}$	0,002	$3,0 \cdot 10^{-9}$
		M	0,002	$1,2 \cdot 10^{-7}$	$8,3 \cdot 10^{-8}$		
Hf-182m	1,02 h	F	0,002	$2,3 \cdot 10^{-11}$	$4,0 \cdot 10^{-11}$	0,002	$4,2 \cdot 10^{-11}$
		M	0,002	$4,7 \cdot 10^{-11}$	$7,1 \cdot 10^{-11}$		
Hf-183	1,07 h	F	0,002	$2,6 \cdot 10^{-11}$	$4,4 \cdot 10^{-11}$	0,002	$7,3 \cdot 10^{-11}$

Tabuľka č. 11 Konverzné faktory h_{inh} a h_{ing} na prepočet príjmu rádionuklidov vdýchnutím (inhaláciou) aerosólov a požitím (ingesciou) na úväzok efektívnej dávky pre pracovníkov

Prvok Nuklid	doba polpremeny	inhalácia				ingescia	
		typ	f_1	h_{inh} [Sv.Bq ⁻¹]		f_1	h_{ing} [Sv.Bq ⁻¹]
				$d_{ama} = 1 \mu\text{m}$	$d_{ama} = 5 \mu\text{m}$		
		M	0,002	$5,8 \cdot 10^{-11}$	$8,3 \cdot 10^{-11}$		
Hf-184	4,12 h	F	0,002	$1,3 \cdot 10^{-10}$	$2,3 \cdot 10^{-10}$	0,002	$5,2 \cdot 10^{-10}$
		M	0,002	$3,3 \cdot 10^{-10}$	$4,5 \cdot 10^{-10}$		
Tantal							
Ta-172	0,613 h	M	0,001	$3,4 \cdot 10^{-11}$	$5,5 \cdot 10^{-11}$	0,001	$5,3 \cdot 10^{-11}$
		S	0,001	$3,6 \cdot 10^{-11}$	$5,7 \cdot 10^{-11}$		
Ta-173	3,65 h	M	0,001	$1,1 \cdot 10^{-10}$	$1,6 \cdot 10^{-10}$	0,001	$1,9 \cdot 10^{-10}$
		S	0,001	$1,2 \cdot 10^{-10}$	$1,6 \cdot 10^{-10}$		
Ta-174	1,20 h	M	0,001	$4,2 \cdot 10^{-11}$	$6,3 \cdot 10^{-11}$	0,001	$5,7 \cdot 10^{-11}$
		S	0,001	$4,4 \cdot 10^{-11}$	$6,6 \cdot 10^{-11}$		
Ta-175	10,5 h	M	0,001	$1,3 \cdot 10^{-10}$	$2,0 \cdot 10^{-10}$	0,001	$2,1 \cdot 10^{-10}$
		S	0,001	$1,4 \cdot 10^{-10}$	$2,0 \cdot 10^{-10}$		
Ta-176	8,08 h	M	0,001	$2,0 \cdot 10^{-10}$	$3,2 \cdot 10^{-10}$	0,001	$3,1 \cdot 10^{-10}$
		S	0,001	$2,1 \cdot 10^{-10}$	$3,3 \cdot 10^{-10}$		
Ta-177	2,36 d	M	0,001	$9,3 \cdot 10^{-11}$	$1,2 \cdot 10^{-10}$	0,001	$1,1 \cdot 10^{-10}$
		S	0,001	$1,0 \cdot 10^{-10}$	$1,3 \cdot 10^{-10}$		
Ta-178	2,20 h	M	0,001	$6,6 \cdot 10^{-11}$	$1,0 \cdot 10^{-10}$	0,001	$7,8 \cdot 10^{-11}$
		S	0,001	$6,9 \cdot 10^{-11}$	$1,1 \cdot 10^{-10}$		
Ta-179	1,82 r	M	0,001	$2,0 \cdot 10^{-10}$	$1,3 \cdot 10^{-10}$	0,001	$6,5 \cdot 10^{-11}$
		S	0,001	$5,2 \cdot 10^{-10}$	$2,9 \cdot 10^{-10}$		
Ta-180	$1,00 \cdot 10^{13}$ r	M	0,001	$6,0 \cdot 10^{-9}$	$4,6 \cdot 10^{-9}$	0,001	$8,4 \cdot 10^{-10}$
		S	0,001	$2,4 \cdot 10^{-8}$	$1,4 \cdot 10^{-8}$		
Ta-180m	8,10 h	M	0,001	$4,4 \cdot 10^{-11}$	$5,8 \cdot 10^{-11}$	0,001	$5,4 \cdot 10^{-11}$
		S	0,001	$4,7 \cdot 10^{-11}$	$6,2 \cdot 10^{-11}$		
Ta-182	115 d	M	0,001	$7,2 \cdot 10^{-9}$	$5,8 \cdot 10^{-9}$	0,001	$1,5 \cdot 10^{-9}$
		S	0,001	$9,7 \cdot 10^{-9}$	$7,4 \cdot 10^{-9}$		
Ta-182m	0,264 h	M	0,001	$2,1 \cdot 10^{-11}$	$3,4 \cdot 10^{-11}$	0,001	$1,2 \cdot 10^{-11}$
		S	0,001	$2,2 \cdot 10^{-11}$	$3,6 \cdot 10^{-11}$		
Ta-183	5,10 d	M	0,001	$1,8 \cdot 10^{-9}$	$1,8 \cdot 10^{-9}$	0,001	$1,3 \cdot 10^{-9}$
		S	0,001	$2,0 \cdot 10^{-9}$	$2,0 \cdot 10^{-9}$		
Ta-184	8,70 h	M	0,001	$4,1 \cdot 10^{-10}$	$6,0 \cdot 10^{-10}$	0,001	$6,8 \cdot 10^{-10}$
		S	0,001	$4,4 \cdot 10^{-10}$	$6,3 \cdot 10^{-10}$		
Ta-185	0,816 h	M	0,001	$4,6 \cdot 10^{-11}$	$6,8 \cdot 10^{-11}$	0,001	$6,8 \cdot 10^{-11}$
		S	0,001	$4,9 \cdot 10^{-11}$	$7,2 \cdot 10^{-11}$		
Ta-186	0,175 h	M	0,001	$1,8 \cdot 10^{-11}$	$3,0 \cdot 10^{-11}$	0,001	$3,3 \cdot 10^{-11}$
		S	0,001	$1,9 \cdot 10^{-11}$	$3,1 \cdot 10^{-11}$		
Wolfrám							
W-176	2,30 h	F	0,3	$4,4 \cdot 10^{-11}$	$7,6 \cdot 10^{-11}$	0,3	$1,0 \cdot 10^{-10}$
						0,01	$1,1 \cdot 10^{-10}$
W-177	2,25 h	F	0,3	$2,6 \cdot 10^{-11}$	$4,6 \cdot 10^{-11}$	0,3	$5,8 \cdot 10^{-11}$
						0,01	$6,1 \cdot 10^{-11}$
W-178	21,7 d	F	0,3	$7,6 \cdot 10^{-11}$	$1,2 \cdot 10^{-10}$	0,3	$2,2 \cdot 10^{-10}$
						0,01	$2,5 \cdot 10^{-10}$
W-179	0,625 h	F	0,3	$9,9 \cdot 10^{-13}$	$1,8 \cdot 10^{-12}$	0,3	$3,3 \cdot 10^{-12}$
						0,01	$3,3 \cdot 10^{-12}$
W-181	121 d	F	0,3	$2,8 \cdot 10^{-11}$	$4,3 \cdot 10^{-11}$	0,3	$7,6 \cdot 10^{-11}$
						0,01	$8,2 \cdot 10^{-11}$
W-185	75,1 d	F	0,3	$1,4 \cdot 10^{-10}$	$2,2 \cdot 10^{-10}$	0,3	$4,4 \cdot 10^{-10}$
						0,01	$5,0 \cdot 10^{-10}$
W-187	23,9 h	F	0,3	$2,0 \cdot 10^{-10}$	$3,3 \cdot 10^{-10}$	0,3	$6,3 \cdot 10^{-10}$

Tabuľka č. 11 Konverzné faktory h_{inh} a h_{ing} na prepočet príjmu rádionuklidov vdýchnutím (inhaláciou) aerosólov a požitím (ingesciou) na úväzok efektívnej dávky pre pracovníkov

Prvok Nuklid	doba polpremeny	inhalácia				ingescia	
		typ	f_1	h_{inh} [Sv.Bq ⁻¹]		f_1	h_{ing} [Sv.Bq ⁻¹]
				$d_{ama}=1\ \mu\text{m}$	$d_{ama}=5\ \mu\text{m}$		
W-188	69,4 d	F	0,3	$5,9 \cdot 10^{-10}$	$8,4 \cdot 10^{-10}$	0,01	$7,1 \cdot 10^{-10}$
						0,3	$2,1 \cdot 10^{-9}$
						0,01	$2,3 \cdot 10^{-9}$
Rénium							
Re-177	0,233 h	F	0,8	$1,0 \cdot 10^{-11}$	$1,7 \cdot 10^{-11}$	0,8	$2,2 \cdot 10^{-11}$
		M	0,8	$1,4 \cdot 10^{-11}$	$2,2 \cdot 10^{-11}$		
Re-178	0,220 h	F	0,8	$1,1 \cdot 10^{-11}$	$1,8 \cdot 10^{-11}$	0,8	$2,5 \cdot 10^{-11}$
		M	0,8	$1,5 \cdot 10^{-11}$	$2,4 \cdot 10^{-11}$		
Re-181	20,0 h	F	0,8	$1,9 \cdot 10^{-10}$	$3,0 \cdot 10^{-10}$	0,8	$4,2 \cdot 10^{-10}$
		M	0,8	$2,5 \cdot 10^{-10}$	$3,7 \cdot 10^{-10}$		
Re-182	2,67 d	F	0,8	$6,8 \cdot 10^{-10}$	$1,1 \cdot 10^{-9}$	0,8	$1,4 \cdot 10^{-9}$
		M	0,8	$1,3 \cdot 10^{-9}$	$1,7 \cdot 10^{-9}$		
Re-182	12,7 h	F	0,8	$1,5 \cdot 10^{-10}$	$2,4 \cdot 10^{-10}$	0,8	$2,7 \cdot 10^{-10}$
		M	0,8	$2,0 \cdot 10^{-10}$	$3,0 \cdot 10^{-10}$		
Re-184	38,0 d	F	0,8	$4,6 \cdot 10^{-10}$	$7,0 \cdot 10^{-10}$	0,8	$1,0 \cdot 10^{-9}$
		M	0,8	$1,8 \cdot 10^{-9}$	$1,8 \cdot 10^{-9}$		
Re-184m	165 d	F	0,8	$6,1 \cdot 10^{-10}$	$8,8 \cdot 10^{-10}$	0,8	$1,5 \cdot 10^{-9}$
		M	0,8	$6,1 \cdot 10^{-9}$	$4,8 \cdot 10^{-9}$		
Re-186	3,78 d	F	0,8	$5,3 \cdot 10^{-10}$	$7,3 \cdot 10^{-10}$	0,8	$1,5 \cdot 10^{-9}$
		M	0,8	$1,1 \cdot 10^{-9}$	$1,2 \cdot 10^{-9}$		
Re-186m	$2,00 \cdot 10^5$ r	F	0,8	$8,5 \cdot 10^{-10}$	$1,2 \cdot 10^{-9}$	0,8	$2,2 \cdot 10^{-9}$
		M	0,8	$1,1 \cdot 10^{-8}$	$7,9 \cdot 10^{-9}$		
Re-187	$5,00 \cdot 10^{10}$ r	F	0,8	$1,9 \cdot 10^{-12}$	$2,6 \cdot 10^{-12}$	0,8	$5,1 \cdot 10^{-12}$
		M	0,8	$6,0 \cdot 10^{-12}$	$4,6 \cdot 10^{-12}$		
Re-188	17,0 h	F	0,8	$4,7 \cdot 10^{-10}$	$6,6 \cdot 10^{-10}$	0,8	$1,4 \cdot 10^{-9}$
		M	0,8	$5,5 \cdot 10^{-10}$	$7,4 \cdot 10^{-10}$		
Re-188m	0,3 10 h	F	0,8	$1,0 \cdot 10^{-11}$	$1,6 \cdot 10^{-11}$	0,8	$3,0 \cdot 10^{-11}$
		M	0,8	$1,4 \cdot 10^{-11}$	$2,0 \cdot 10^{-11}$		
Re-189	1,01 d	F	0,8	$2,7 \cdot 10^{-10}$	$4,3 \cdot 10^{-10}$	0,8	$7,8 \cdot 10^{-10}$
		M	0,8	$4,3 \cdot 10^{-10}$	$6,0 \cdot 10^{-10}$		
Osmium							
Os-180	0,366 h	F	0,01	$8,8 \cdot 10^{-12}$	$1,6 \cdot 10^{-11}$	0,01	$1,7 \cdot 10^{-11}$
		M	0,01	$1,4 \cdot 10^{-11}$	$2,4 \cdot 10^{-11}$		
		S	0,01	$1,5 \cdot 10^{-11}$	$2,5 \cdot 10^{-11}$		
Os-181	1,75 h	F	0,01	$3,6 \cdot 10^{-11}$	$6,4 \cdot 10^{-11}$	0,01	$8,9 \cdot 10^{-11}$
		M	0,01	$6,3 \cdot 10^{-11}$	$9,6 \cdot 10^{-11}$		
		S	0,01	$6,6 \cdot 10^{-11}$	$1,0 \cdot 10^{-10}$		
Os-182	22,0 h	F	0,01	$1,9 \cdot 10^{-10}$	$3,2 \cdot 10^{-10}$	0,01	$5,6 \cdot 10^{-10}$
		M	0,01	$3,7 \cdot 10^{-10}$	$5,0 \cdot 10^{-10}$		
		S	0,01	$3,9 \cdot 10^{-10}$	$5,2 \cdot 10^{-10}$		
Os-185	94,0 d	F	0,01	$1,1 \cdot 10^{-9}$	$1,4 \cdot 10^{-9}$	0,01	$5,1 \cdot 10^{-10}$
		M	0,01	$1,2 \cdot 10^{-9}$	$1,0 \cdot 10^{-9}$		
		S	0,01	$1,5 \cdot 10^{-9}$	$1,1 \cdot 10^{-9}$		
Os-189m	6,00 h	F	0,01	$2,7 \cdot 10^{-12}$	$5,2 \cdot 10^{-12}$	0,01	$1,8 \cdot 10^{-11}$
		M	0,01	$5,1 \cdot 10^{-12}$	$7,6 \cdot 10^{-12}$		
		S	0,01	$5,4 \cdot 10^{-12}$	$7,9 \cdot 10^{-12}$		
Os-191	15,4 d	F	0,01	$2,5 \cdot 10^{-10}$	$3,5 \cdot 10^{-10}$	0,01	$5,7 \cdot 10^{-10}$
		M	0,01	$1,5 \cdot 10^{-9}$	$1,3 \cdot 10^{-9}$		
		S	0,01	$1,8 \cdot 10^{-9}$	$1,5 \cdot 10^{-9}$		
Os-191m	13,0 h	F	0,01	$2,6 \cdot 10^{-11}$	$4,1 \cdot 10^{-11}$	0,01	$9,6 \cdot 10^{-11}$

Tabuľka č. 11 Konverzné faktory h_{inh} a h_{ing} na prepočet príjmu rádionuklidov vdýchnutím (inhaláciou) aerosólov a požitím (ingesciou) na úväzok efektívnej dávky pre pracovníkov

Prvok Nuklid	doba polpremeny	inhalácia				ingescia	
		typ	f_1	h_{inh} [Sv.Bq ⁻¹]		f_1	h_{ing} [Sv.Bq ⁻¹]
				$d_{ama}=1\ \mu\text{m}$	$d_{ama}=5\ \mu\text{m}$		
		M	0,01	$1,3 \cdot 10^{-10}$	$1,3 \cdot 10^{-10}$		
		S	0,01	$1,5 \cdot 10^{-10}$	$1,4 \cdot 10^{-10}$		
Os-193	1,25 d	F	0,01	$1,7 \cdot 10^{-10}$	$2,8 \cdot 10^{-10}$	0,01	$8,1 \cdot 10^{-10}$
		M	0,01	$4,7 \cdot 10^{-10}$	$6,4 \cdot 10^{-10}$		
		S	0,01	$5,1 \cdot 10^{-10}$	$6,8 \cdot 10^{-10}$		
Os-194	6,00 r	F	0,01	$1,1 \cdot 10^{-8}$	$1,3 \cdot 10^{-8}$	0,01	$2,4 \cdot 10^{-9}$
		M	0,01	$2,0 \cdot 10^{-8}$	$1,3 \cdot 10^{-8}$		
		S	0,01	$7,9 \cdot 10^{-8}$	$4,2 \cdot 10^{-8}$		
Iridium							
Ir-182	0,250 h	F	0,01	$1,5 \cdot 10^{-11}$	$2,6 \cdot 10^{-11}$	0,01	$4,8 \cdot 10^{-11}$
		M	0,01	$2,4 \cdot 10^{-11}$	$3,9 \cdot 10^{-11}$		
		S	0,01	$2,5 \cdot 10^{-11}$	$4,0 \cdot 10^{-11}$		
Ir-184	3,02 h	F	0,01	$6,7 \cdot 10^{-11}$	$1,2 \cdot 10^{-10}$	0,01	$1,7 \cdot 10^{-10}$
		M	0,01	$1,1 \cdot 10^{-10}$	$1,8 \cdot 10^{-10}$		
		S	0,01	$1,2 \cdot 10^{-10}$	$1,9 \cdot 10^{-10}$		
Ir-185	14,0 h	F	0,01	$8,8 \cdot 10^{-11}$	$1,5 \cdot 10^{-10}$	0,01	$2,6 \cdot 10^{-10}$
		M	0,01	$1,8 \cdot 10^{-10}$	$2,5 \cdot 10^{-10}$		
		S	0,01	$1,9 \cdot 10^{-10}$	$2,6 \cdot 10^{-10}$		
Ir-186	15,8 h	F	0,01	$1,8 \cdot 10^{-10}$	$3,3 \cdot 10^{-10}$	0,01	$4,9 \cdot 10^{-10}$
		M	0,01	$3,2 \cdot 10^{-10}$	$4,8 \cdot 10^{-10}$		
		S	0,01	$3,3 \cdot 10^{-10}$	$5,0 \cdot 10^{-10}$		
Ir-186	1,75 h	F	0,01	$2,5 \cdot 10^{-11}$	$4,5 \cdot 10^{-11}$	0,01	$6,1 \cdot 10^{-11}$
		M	0,01	$4,3 \cdot 10^{-11}$	$6,9 \cdot 10^{-11}$		
		S	0,01	$4,5 \cdot 10^{-11}$	$7,1 \cdot 10^{-11}$		
Ir-187	10,5 h	F	0,01	$4,0 \cdot 10^{-11}$	$7,2 \cdot 10^{-11}$	0,01	$1,2 \cdot 10^{-10}$
		M	0,01	$7,5 \cdot 10^{-11}$	$1,1 \cdot 10^{-10}$		
		S	0,01	$7,9 \cdot 10^{-11}$	$1,2 \cdot 10^{-10}$		
Ir-188	1,73 d	F	0,01	$2,6 \cdot 10^{-10}$	$4,4 \cdot 10^{-10}$	0,01	$6,3 \cdot 10^{-10}$
		M	0,01	$4,1 \cdot 10^{-10}$	$6,0 \cdot 10^{-10}$		
		S	0,01	$4,3 \cdot 10^{-10}$	$6,2 \cdot 10^{-10}$		
Ir-189	13,3 d	F	0,01	$1,1 \cdot 10^{-10}$	$1,7 \cdot 10^{-10}$	0,01	$2,4 \cdot 10^{-10}$
		M	0,01	$4,8 \cdot 10^{-10}$	$4,1 \cdot 10^{-10}$		
		S	0,01	$5,5 \cdot 10^{-10}$	$4,6 \cdot 10^{-10}$		
Ir-190	12,1 d	F	0,01	$7,9 \cdot 10^{-10}$	$1,2 \cdot 10^{-9}$	0,01	$1,2 \cdot 10^{-9}$
		M	0,01	$2,0 \cdot 10^{-9}$	$2,3 \cdot 10^{-9}$		
		S	0,01	$2,3 \cdot 10^{-9}$	$2,5 \cdot 10^{-9}$		
Ir-190m	3,10 h	F	0,01	$5,3 \cdot 10^{-11}$	$9,7 \cdot 10^{-11}$	0,01	$1,2 \cdot 10^{-10}$
		M	0,01	$8,3 \cdot 10^{-11}$	$1,4 \cdot 10^{-10}$		
		S	0,01	$8,6 \cdot 10^{-11}$	$1,4 \cdot 10^{-10}$		
Ir-190m	1,20 h	F	0,01	$3,7 \cdot 10^{-12}$	$5,6 \cdot 10^{-12}$	0,01	$8,0 \cdot 10^{-12}$
		M	0,01	$9,0 \cdot 10^{-12}$	$1,0 \cdot 10^{-11}$		
		S	0,01	$1,0 \cdot 10^{-11}$	$1,1 \cdot 10^{-11}$		
Ir-192	74,0 d	F	0,01	$1,8 \cdot 10^{-9}$	$2,2 \cdot 10^{-9}$	0,01	$1,4 \cdot 10^{-9}$
		M	0,01	$4,9 \cdot 10^{-9}$	$4,1 \cdot 10^{-9}$		
		S	0,01	$6,2 \cdot 10^{-9}$	$4,9 \cdot 10^{-9}$		
Ir-192m	$2,41 \cdot 10^2$ r	F	0,01	$4,8 \cdot 10^{-9}$	$5,6 \cdot 10^{-9}$	0,01	$3,1 \cdot 10^{-10}$
		M	0,01	$5,4 \cdot 10^{-9}$	$3,4 \cdot 10^{-9}$		
		S	0,01	$3,6 \cdot 10^{-8}$	$1,9 \cdot 10^{-8}$		
Ir-193m	11,9 d	F	0,01	$1,0 \cdot 10^{-10}$	$1,6 \cdot 10^{-10}$	0,01	$2,7 \cdot 10^{-10}$
		M	0,01	$1,0 \cdot 10^{-9}$	$9,1 \cdot 10^{-10}$		

Tabuľka č. 11 Konverzné faktory h_{inh} a h_{ing} na prepočet príjmu rádionuklidov vdýchnutím (inhaláciou) aerosólov a požitím (ingesciou) na úväzok efektívnej dávky pre pracovníkov

Prvok Nuklid	doba polpremeny	inhalácia				ingescia	
		typ	f_1	h_{inh} [Sv.Bq ⁻¹]		f_1	h_{ing} [Sv.Bq ⁻¹]
				$d_{ama}=1\ \mu\text{m}$	$d_{ama}=5\ \mu\text{m}$		
Ir-194	19,1 h	S	0,01	$1,2 \cdot 10^{-9}$	$1,0 \cdot 10^{-9}$	0,01	$1,3 \cdot 10^{-9}$
		F	0,01	$2,2 \cdot 10^{-10}$	$3,6 \cdot 10^{-10}$		
		M	0,01	$5,3 \cdot 10^{-10}$	$7,1 \cdot 10^{-10}$		
Ir-194m	171 d	S	0,01	$5,6 \cdot 10^{-10}$	$7,5 \cdot 10^{-10}$	0,01	$2,1 \cdot 10^{-9}$
		F	0,01	$5,4 \cdot 10^{-9}$	$6,5 \cdot 10^{-9}$		
		M	0,01	$8,5 \cdot 10^{-9}$	$6,5 \cdot 10^{-9}$		
Ir-195	2,50 h	S	0,01	$1,2 \cdot 10^{-8}$	$8,2 \cdot 10^{-9}$	0,01	$1,0 \cdot 10^{-10}$
		F	0,01	$2,6 \cdot 10^{-11}$	$4,5 \cdot 10^{-11}$		
		M	0,01	$6,7 \cdot 10^{-11}$	$9,6 \cdot 10^{-11}$		
Ir-195m	3,80 h	S	0,01	$7,2 \cdot 10^{-11}$	$1,0 \cdot 10^{-10}$	0,01	$2,1 \cdot 10^{-10}$
		F	0,01	$6,5 \cdot 10^{-11}$	$1,1 \cdot 10^{-10}$		
		M	0,01	$1,6 \cdot 10^{-10}$	$2,3 \cdot 10^{-10}$		
Ir-195m	3,80 h	S	0,01	$1,7 \cdot 10^{-10}$	$2,4 \cdot 10^{-10}$	0,01	$2,1 \cdot 10^{-10}$
		F	0,01	$6,5 \cdot 10^{-11}$	$1,1 \cdot 10^{-10}$		
		M	0,01	$1,6 \cdot 10^{-10}$	$2,3 \cdot 10^{-10}$		
Platina							
Pt-186	2,00 h	F	0,01	$3,6 \cdot 10^{-11}$	$6,6 \cdot 10^{-11}$	0,01	$9,3 \cdot 10^{-11}$
Pt-188	10,2 d	F	0,01	$4,3 \cdot 10^{-10}$	$6,3 \cdot 10^{-10}$	0,01	$7,6 \cdot 10^{-10}$
Pt-189	10,9 h	F	0,01	$4,1 \cdot 10^{-11}$	$7,3 \cdot 10^{-11}$	0,01	$1,2 \cdot 10^{-10}$
Pt-191	2,80 d	F	0,01	$1,1 \cdot 10^{-10}$	$1,9 \cdot 10^{-10}$	0,01	$3,4 \cdot 10^{-10}$
Pt-193	50,0 r	F	0,01	$2,1 \cdot 10^{-11}$	$2,7 \cdot 10^{-11}$	0,01	$3,1 \cdot 10^{-11}$
Pt-193m	4,33 d	F	0,01	$1,3 \cdot 10^{-10}$	$2,1 \cdot 10^{-10}$	0,01	$4,5 \cdot 10^{-10}$
Pt-195m	4,02 d	F	0,01	$1,9 \cdot 10^{-10}$	$3,1 \cdot 10^{-10}$	0,01	$6,3 \cdot 10^{-10}$
Pt-197	18,3 h	F	0,01	$9,1 \cdot 10^{-11}$	$1,6 \cdot 10^{-10}$	0,01	$4,0 \cdot 10^{-10}$
Pt-197m	1,57 h	F	0,01	$2,5 \cdot 10^{-11}$	$4,3 \cdot 10^{-11}$	0,01	$8,4 \cdot 10^{-11}$
Pt-199	0,513 h	F	0,01	$1,3 \cdot 10^{-11}$	$2,2 \cdot 10^{-11}$	0,01	$3,9 \cdot 10^{-11}$
Pt-200	12,5 h	F	0,01	$2,4 \cdot 10^{-10}$	$4,0 \cdot 10^{-10}$	0,01	$1,2 \cdot 10^{-9}$
Zlato							
Au-193	17,6 h	F	0,1	$3,9 \cdot 10^{-11}$	$7,1 \cdot 10^{-11}$	0,1	$1,3 \cdot 10^{-10}$
		M	0,1	$1,1 \cdot 10^{-10}$	$1,5 \cdot 10^{-10}$		
		S	0,1	$1,2 \cdot 10^{-10}$	$1,6 \cdot 10^{-10}$		
Au-194	1,64 d	F	0,1	$1,5 \cdot 10^{-10}$	$2,8 \cdot 10^{-10}$	0,1	$4,2 \cdot 10^{-10}$
		M	0,1	$2,4 \cdot 10^{-10}$	$3,7 \cdot 10^{-10}$		
		S	0,1	$2,5 \cdot 10^{-10}$	$3,8 \cdot 10^{-10}$		
Au-195	183 d	F	0,1	$7,1 \cdot 10^{-11}$	$1,2 \cdot 10^{-10}$	0,1	$2,5 \cdot 10^{-10}$
		M	0,1	$1,0 \cdot 10^{-9}$	$8,0 \cdot 10^{-10}$		
		S	0,1	$1,6 \cdot 10^{-9}$	$1,2 \cdot 10^{-9}$		
Au-198	2,69 d	F	0,1	$2,3 \cdot 10^{-10}$	$3,9 \cdot 10^{-10}$	0,1	$1,0 \cdot 10^{-9}$
		M	0,1	$7,6 \cdot 10^{-10}$	$9,8 \cdot 10^{-10}$		
		S	0,1	$8,4 \cdot 10^{-10}$	$1,1 \cdot 10^{-9}$		
Au-198m	2,30 d	F	0,1	$3,4 \cdot 10^{-10}$	$5,9 \cdot 10^{-10}$	0,1	$1,3 \cdot 10^{-9}$
		M	0,1	$1,7 \cdot 10^{-9}$	$2,0 \cdot 10^{-9}$		
		S	0,1	$1,9 \cdot 10^{-9}$	$1,9 \cdot 10^{-9}$		
Au-199	3,14 d	F	0,1	$1,1 \cdot 10^{-10}$	$1,9 \cdot 10^{-10}$	0,1	$4,4 \cdot 10^{-10}$
		M	0,1	$6,8 \cdot 10^{-10}$	$6,8 \cdot 10^{-10}$		
		S	0,1	$7,5 \cdot 10^{-10}$	$7,6 \cdot 10^{-10}$		
Au-200	0,807 h	F	0,1	$1,7 \cdot 10^{-11}$	$3,0 \cdot 10^{-11}$	0,1	$6,8 \cdot 10^{-11}$
		M	0,1	$3,5 \cdot 10^{-11}$	$5,3 \cdot 10^{-11}$		
		S	0,1	$3,6 \cdot 10^{-11}$	$5,6 \cdot 10^{-11}$		
Au-200m	18,7 h	F	0,1	$3,2 \cdot 10^{-10}$	$5,7 \cdot 10^{-10}$	0,1	$1,1 \cdot 10^{-9}$
		M	0,1	$6,9 \cdot 10^{-10}$	$9,8 \cdot 10^{-10}$		
		S	0,1	$7,3 \cdot 10^{-10}$	$1,0 \cdot 10^{-9}$		

Tabuľka č. 11 Konverzné faktory h_{inh} a h_{ing} na prepočet príjmu rádionuklidov vdýchnutím (inhaláciou) aerosólov a požitím (ingesciou) na úväzok efektívnej dávky pre pracovníkov

Prvok Nuklid	doba polpremeny	inhalácia				ingescia	
		typ	f_1	h_{inh} [Sv.Bq ⁻¹]		f_1	h_{ing} [Sv.Bq ⁻¹]
				$d_{ama}=1\ \mu\text{m}$	$d_{ama}=5\ \mu\text{m}$		
Au-201	0,440 h	F	0,1	$9,2 \cdot 10^{-12}$	$1,6 \cdot 10^{-11}$	0,1	$2,4 \cdot 10^{-11}$
		M	0,1	$1,7 \cdot 10^{-11}$	$2,8 \cdot 10^{-11}$		
		S	0,1	$1,8 \cdot 10^{-11}$	$2,9 \cdot 10^{-11}$		
Ortuť							
Hg-193 (organická)	3,50 h	F	0,4	$2,6 \cdot 10^{-11}$	$4,7 \cdot 10^{-11}$	1	$3,1 \cdot 10^{-11}$
Hg-193 (anorganická)		F	0,02	$2,8 \cdot 10^{-11}$	$5,0 \cdot 10^{-11}$	0,4	$6,6 \cdot 10^{-11}$
		M		$7,5 \cdot 10^{-11}$	$1,0 \cdot 10^{-10}$	0,02	$8,2 \cdot 10^{-11}$
Hg-193m (organická)	11,1 h	F	0,4	$1,1 \cdot 10^{-10}$	$2,0 \cdot 10^{-10}$	1	$1,3 \cdot 10^{-10}$
Hg-193m (anorganická)		F	0,02	$1,2 \cdot 10^{-10}$	$2,3 \cdot 10^{-10}$	0,4	$3,0 \cdot 10^{-10}$
		M		$2,6 \cdot 10^{-10}$	$3,8 \cdot 10^{-10}$	0,02	$4,0 \cdot 10^{-10}$
Hg-194 (organická)	$2,60 \cdot 10^2$ r	F	0,4	$1,5 \cdot 10^{-8}$	$1,9 \cdot 10^{-8}$	1	$5,1 \cdot 10^{-8}$
Hg-194 (anorganická)		F	0,02	$1,3 \cdot 10^{-8}$	$1,5 \cdot 10^{-8}$	0,4	$2,1 \cdot 10^{-8}$
		M		$7,8 \cdot 10^{-9}$	$5,3 \cdot 10^{-9}$	0,02	$1,4 \cdot 10^{-9}$
Hg-195 (organická)	9,90 h	F	0,4	$2,4 \cdot 10^{-11}$	$4,4 \cdot 10^{-11}$	1	$3,4 \cdot 10^{-11}$
Hg-195 (anorganická)		F	0,02	$2,7 \cdot 10^{-11}$	$4,8 \cdot 10^{-11}$	0,4	$7,5 \cdot 10^{-11}$
		M		$7,2 \cdot 10^{-11}$	$9,2 \cdot 10^{-11}$	0,02	$9,7 \cdot 10^{-11}$
Hg-195m (organická)	1,73 d	F	0,4	$1,3 \cdot 10^{-10}$	$2,2 \cdot 10^{-10}$	1	$2,2 \cdot 10^{-10}$
Hg-195m (anorganická)		F	0,02	$1,5 \cdot 10^{-10}$	$2,6 \cdot 10^{-10}$	0,4	$4,1 \cdot 10^{-10}$
		M		$5,1 \cdot 10^{-10}$	$6,5 \cdot 10^{-10}$	0,02	$5,6 \cdot 10^{-10}$
Hg-197 (organická)	2,67 d	F	0,4	$5,0 \cdot 10^{-11}$	$8,5 \cdot 10^{-11}$	1	$9,9 \cdot 10^{-11}$
Hg-197 (anorganická)		F	0,02	$6,0 \cdot 10^{-11}$	$1,0 \cdot 10^{-10}$	0,4	$1,7 \cdot 10^{-10}$
		M		$2,9 \cdot 10^{-10}$	$2,8 \cdot 10^{-10}$	0,02	$2,3 \cdot 10^{-10}$
Hg-197m (organická)	23,8 h	F	0,4	$1,0 \cdot 10^{-10}$	$1,8 \cdot 10^{-10}$	1	$1,5 \cdot 10^{-10}$
Hg-197m (anorganická)		F	0,02	$1,2 \cdot 10^{-10}$	$2,1 \cdot 10^{-10}$	0,4	$3,4 \cdot 10^{-10}$
		M		$5,1 \cdot 10^{-10}$	$6,6 \cdot 10^{-10}$	0,02	$4,7 \cdot 10^{-10}$
Hg-199m (organická)	0,7 10 h	F	0,4	$1,6 \cdot 10^{-11}$	$2,7 \cdot 10^{-11}$	1	$2,8 \cdot 10^{-11}$
Hg-199m (anorganická)		F	0,02	$1,6 \cdot 10^{-11}$	$2,7 \cdot 10^{-11}$	0,4	$3,1 \cdot 10^{-11}$
		M		$3,3 \cdot 10^{-11}$	$5,2 \cdot 10^{-11}$	0,02	$3,1 \cdot 10^{-11}$
Hg-203 (organická)	46,6 d	F	0,4	$5,7 \cdot 10^{-10}$	$7,5 \cdot 10^{-10}$	1	$1,9 \cdot 10^{-9}$
Hg-203 (anorganická)		F	0,02	$4,7 \cdot 10^{-10}$	$5,9 \cdot 10^{-10}$	0,4	$1,1 \cdot 10^{-9}$
		M		$2,3 \cdot 10^{-9}$	$1,9 \cdot 10^{-9}$	0,02	$5,4 \cdot 10^{-10}$
Táľium							
Tl-194	0,550 h	F	1	$4,8 \cdot 10^{-12}$	$8,9 \cdot 10^{-12}$	1	$8,1 \cdot 10^{-12}$
Tl-194m	0,546 h	F	1	$2,0 \cdot 10^{-11}$	$3,6 \cdot 10^{-11}$	1	$4,0 \cdot 10^{-11}$
Tl-195	1,16 h	F	1	$1,6 \cdot 10^{-11}$	$3,0 \cdot 10^{-11}$	1	$2,7 \cdot 10^{-11}$
Tl-197	2,84 h	F	1	$1,5 \cdot 10^{-11}$	$2,7 \cdot 10^{-11}$	1	$2,3 \cdot 10^{-11}$
Tl-198	5,30 h	F	1	$6,6 \cdot 10^{-11}$	$1,2 \cdot 10^{-10}$	1	$7,3 \cdot 10^{-11}$
Tl-198m	1,87 h	F	1	$4,0 \cdot 10^{-11}$	$7,3 \cdot 10^{-11}$	1	$5,4 \cdot 10^{-11}$
Tl-199	7,42 h	F	1	$2,0 \cdot 10^{-11}$	$3,7 \cdot 10^{-11}$	1	$2,6 \cdot 10^{-11}$
Tl-200	1,09 d	F	1	$1,4 \cdot 10^{-10}$	$2,5 \cdot 10^{-10}$	1	$2,0 \cdot 10^{-10}$
Tl-201	3,04 d	F	1	$4,7 \cdot 10^{-11}$	$7,6 \cdot 10^{-11}$	1	$9,5 \cdot 10^{-11}$
Tl-202	12,2 d	F	1	$2,0 \cdot 10^{-10}$	$3,1 \cdot 10^{-10}$	1	$4,5 \cdot 10^{-10}$
Tl-204	3,78 r	F	1	$4,4 \cdot 10^{-10}$	$6,2 \cdot 10^{-10}$	1	$1,3 \cdot 10^{-9}$
Olovo							
Pb-195m	0,263 h	F	0,2	$1,7 \cdot 10^{-11}$	$3,0 \cdot 10^{-11}$	0,2	$2,9 \cdot 10^{-11}$

Tabuľka č. 11 Konverzné faktory h_{inh} a h_{ing} na prepočet príjmu rádionuklidov vdýchnutím (inhaláciou) aerosólov a požitím (ingesciou) na úväzok efektívnej dávky pre pracovníkov

Prvok Nuklid	doba polpremeny	inhalácia				ingescia	
		typ	f_1	h_{inh} [Sv.Bq ⁻¹]		f_1	h_{ing} [Sv.Bq ⁻¹]
				$d_{ama} = 1 \mu\text{m}$	$d_{ama} = 5 \mu\text{m}$		
Pb-198	2,40 h	F	0,2	$4,7 \cdot 10^{-11}$	$8,7 \cdot 10^{-11}$	0,2	$1,0 \cdot 10^{-10}$
Pb-199	1,50 h	F	0,2	$2,6 \cdot 10^{-11}$	$4,8 \cdot 10^{-11}$	0,2	$5,4 \cdot 10^{-11}$
Pb-200	21,5 h	F	0,2	$1,5 \cdot 10^{-10}$	$2,6 \cdot 10^{-10}$	0,2	$4,0 \cdot 10^{-10}$
Pb-201	9,40 h	F	0,2	$6,5 \cdot 10^{-11}$	$1,2 \cdot 10^{-10}$	0,2	$1,6 \cdot 10^{-10}$
Pb-202	$3,00 \cdot 10^5$ r	F	0,2	$1,1 \cdot 10^{-8}$	$1,4 \cdot 10^{-8}$	0,2	$8,7 \cdot 10^{-9}$
Pb-202m	3,62 h	F	0,2	$6,7 \cdot 10^{-11}$	$1,2 \cdot 10^{-10}$	0,2	$1,3 \cdot 10^{-10}$
Pb-203	2,17 d	F	0,2	$9,1 \cdot 10^{-11}$	$1,6 \cdot 10^{-10}$	0,2	$2,4 \cdot 10^{-10}$
Pb-205	$1,43 \cdot 10^7$ r	F	0,2	$3,4 \cdot 10^{-10}$	$4,1 \cdot 10^{-10}$	0,2	$2,8 \cdot 10^{-10}$
Pb-209	3,25 h	F	0,2	$1,8 \cdot 10^{-11}$	$3,2 \cdot 10^{-11}$	0,2	$5,7 \cdot 10^{-11}$
Pb-210	22,3 r	F	0,2	$8,9 \cdot 10^{-7}$	$1,1 \cdot 10^{-6}$	0,2	$6,8 \cdot 10^{-7}$
Pb-211	0,601 h	F	0,2	$3,9 \cdot 10^{-9}$	$5,6 \cdot 10^{-9}$	0,2	$1,8 \cdot 10^{-10}$
Pb-212	10,6 h	F	0,2	$1,9 \cdot 10^{-8}$	$3,3 \cdot 10^{-8}$	0,2	$5,9 \cdot 10^{-9}$
Pb-214	0,447 h	F	0,2	$2,9 \cdot 10^{-9}$	$4,8 \cdot 10^{-9}$	0,2	$1,4 \cdot 10^{-10}$
Bizmut							
Bi-200	0,606 h	F	0,05	$2,4 \cdot 10^{-11}$	$4,2 \cdot 10^{-11}$	0,05	$5,1 \cdot 10^{-11}$
		M	0,05	$3,4 \cdot 10^{-11}$	$5,6 \cdot 10^{-11}$		
Bi-201	1,80 h	F	0,05	$4,7 \cdot 10^{-11}$	$8,3 \cdot 10^{-11}$	0,05	$1,2 \cdot 10^{-10}$
		M	0,05	$7,0 \cdot 10^{-11}$	$1,1 \cdot 10^{-10}$		
Bi-202	1,67 h	F	0,05	$4,6 \cdot 10^{-11}$	$8,4 \cdot 10^{-11}$	0,05	$8,9 \cdot 10^{-11}$
		M	0,05	$5,8 \cdot 10^{-11}$	$1,0 \cdot 10^{-10}$		
Bi-203	11,8 h	F	0,05	$2,0 \cdot 10^{-10}$	$3,6 \cdot 10^{-10}$	0,05	$4,8 \cdot 10^{-10}$
		M	0,05	$2,8 \cdot 10^{-10}$	$4,5 \cdot 10^{-10}$		
Bi-205	15,3 d	F	0,05	$4,0 \cdot 10^{-10}$	$6,8 \cdot 10^{-10}$	0,05	$9,0 \cdot 10^{-10}$
		M	0,05	$9,2 \cdot 10^{-10}$	$1,0 \cdot 10^{-9}$		
Bi-206	6,24 d	F	0,05	$7,9 \cdot 10^{-10}$	$1,3 \cdot 10^{-9}$	0,05	$1,9 \cdot 10^{-9}$
		M	0,05	$1,7 \cdot 10^{-9}$	$2,1 \cdot 10^{-9}$		
Bi-207	38,0 r	F	0,05	$5,2 \cdot 10^{-10}$	$8,4 \cdot 10^{-10}$	0,05	$1,3 \cdot 10^{-9}$
		M	0,05	$5,2 \cdot 10^{-9}$	$3,2 \cdot 10^{-9}$		
Bi-210	5,01 d	F	0,05	$1,1 \cdot 10^{-9}$	$1,4 \cdot 10^{-9}$	0,05	$1,3 \cdot 10^{-9}$
		M	0,05	$8,4 \cdot 10^{-8}$	$6,0 \cdot 10^{-8}$		
Bi-210m	$3,00 \cdot 10^6$ r	F	0,05	$4,5 \cdot 10^{-8}$	$5,3 \cdot 10^{-8}$	0,05	$1,5 \cdot 10^{-8}$
		M	0,05	$3,1 \cdot 10^{-6}$	$2,1 \cdot 10^{-6}$		
Bi-212	1,01 h	F	0,05	$9,3 \cdot 10^{-9}$	$1,5 \cdot 10^{-8}$	0,05	$2,6 \cdot 10^{-10}$
		M	0,05	$3,0 \cdot 10^{-8}$	$3,9 \cdot 10^{-8}$		
Bi-213	0,761 h	F	0,05	$1,1 \cdot 10^{-8}$	$1,8 \cdot 10^{-8}$	0,05	$2,0 \cdot 10^{-10}$
		M	0,05	$2,9 \cdot 10^{-8}$	$4,1 \cdot 10^{-8}$		
Bi-214	0,332 h	F	0,05	$7,2 \cdot 10^{-9}$	$1,2 \cdot 10^{-8}$	0,05	$1,1 \cdot 10^{-10}$
		M	0,05	$1,4 \cdot 10^{-8}$	$2,1 \cdot 10^{-8}$		
Polónium							
Po-203	0,612 h	F	0,1	$2,5 \cdot 10^{-11}$	$4,5 \cdot 10^{-11}$	0,1	$5,2 \cdot 10^{-11}$
		M	0,1	$3,6 \cdot 10^{-11}$	$6,1 \cdot 10^{-11}$		
Po-205	1,80 h	F	0,1	$3,5 \cdot 10^{-11}$	$6,0 \cdot 10^{-11}$	0,1	$5,9 \cdot 10^{-11}$
		M	0,1	$6,4 \cdot 10^{-11}$	$8,9 \cdot 10^{-11}$		
Po-207	5,83 h	F	0,1	$6,3 \cdot 10^{-11}$	$1,2 \cdot 10^{-10}$	0,1	$1,4 \cdot 10^{-10}$
		M	0,1	$8,4 \cdot 10^{-11}$	$1,5 \cdot 10^{-10}$		
Po-210	138 d	F	0,1	$6,0 \cdot 10^{-7}$	$7,1 \cdot 10^{-7}$	0,1	$2,4 \cdot 10^{-7}$
		M	0,1	$3,0 \cdot 10^{-6}$	$2,2 \cdot 10^{-6}$		
Astát							
At-207	1,80 h	F	1	$3,5 \cdot 10^{-10}$	$4,4 \cdot 10^{-10}$	1	$2,3 \cdot 10^{-10}$
		M	1	$2,1 \cdot 10^{-9}$	$1,9 \cdot 10^{-9}$		

Tabuľka č. 11 Konverzné faktory h_{inh} a h_{ing} na prepočet príjmu rádionuklidov vdýchnutím (inhaláciou) aerosólov a požitím (ingesciou) na úväzok efektívnej dávky pre pracovníkov

Prvok Nuklid	doba polpremeny	inhalácia				ingescia	
		typ	f_1	h_{inh} [Sv.Bq ⁻¹]		f_1	h_{ing} [Sv.Bq ⁻¹]
				$d_{ama} = 1 \mu\text{m}$	$d_{ama} = 5 \mu\text{m}$		
At-211	7,21 h	F	1	$1,6 \cdot 10^{-8}$	$2,7 \cdot 10^{-8}$	1	$1,1 \cdot 10^{-8}$
		M	1	$9,8 \cdot 10^{-8}$	$1,1 \cdot 10^{-7}$		
Francium							
Fr-222	0,240 h	F	1	$1,4 \cdot 10^{-8}$	$2,1 \cdot 10^{-8}$	1	$7,1 \cdot 10^{-10}$
Fr-223	0,363 h	F	1	$9,1 \cdot 10^{-10}$	$1,3 \cdot 10^{-9}$	1	$2,3 \cdot 10^{-9}$
Rádium							
Ra-223	11,4 d	M	0,2	$6,9 \cdot 10^{-6}$	$5,7 \cdot 10^{-6}$	0,2	$1,0 \cdot 10^{-7}$
Ra-224	3,66 d	M	0,2	$2,9 \cdot 10^{-6}$	$2,4 \cdot 10^{-6}$	0,2	$6,5 \cdot 10^{-8}$
Ra-225	14,8 d	M	0,2	$5,8 \cdot 10^{-6}$	$4,8 \cdot 10^{-6}$	0,2	$9,5 \cdot 10^{-8}$
Ra-226	$1,60 \cdot 10^3$ r	M	0,2	$3,2 \cdot 10^{-6}$	$2,2 \cdot 10^{-6}$	0,2	$2,8 \cdot 10^{-7}$
Ra-227	0,703 h	M	0,2	$2,8 \cdot 10^{-10}$	$2,1 \cdot 10^{-10}$	0,2	$8,4 \cdot 10^{-11}$
Ra-228	5,75 r	M	0,2	$2,6 \cdot 10^{-6}$	$1,7 \cdot 10^{-6}$	0,2	$6,7 \cdot 10^{-7}$
Aktínium							
Ac-224	2,90 h	F	$5,0 \cdot 10^{-4}$	$1,1 \cdot 10^{-8}$	$1,3 \cdot 10^{-8}$	$5,0 \cdot 10^{-4}$	$7,0 \cdot 10^{-10}$
		M	$5,0 \cdot 10^{-4}$	$1,0 \cdot 10^{-7}$	$8,9 \cdot 10^{-8}$		
		S	$5,0 \cdot 10^{-4}$	$1,2 \cdot 10^{-7}$	$9,9 \cdot 10^{-8}$		
Ac-225	10,0 d	F	$5,0 \cdot 10^{-4}$	$8,7 \cdot 10^{-7}$	$1,0 \cdot 10^{-6}$	$5,0 \cdot 10^{-4}$	$2,4 \cdot 10^{-8}$
		M	$5,0 \cdot 10^{-4}$	$6,9 \cdot 10^{-6}$	$5,7 \cdot 10^{-6}$		
		S	$5,0 \cdot 10^{-4}$	$7,9 \cdot 10^{-6}$	$6,5 \cdot 10^{-6}$		
Ac-226	1,21 d	F	$5,0 \cdot 10^{-4}$	$9,5 \cdot 10^{-8}$	$2,2 \cdot 10^{-7}$	$5,0 \cdot 10^{-4}$	$1,0 \cdot 10^{-8}$
		M	$5,0 \cdot 10^{-4}$	$1,1 \cdot 10^{-6}$	$9,2 \cdot 10^{-7}$		
		S	$5,0 \cdot 10^{-4}$	$1,2 \cdot 10^{-6}$	$1,0 \cdot 10^{-6}$		
Ac-227	21,8 r	F	$5,0 \cdot 10^{-4}$	$5,4 \cdot 10^{-4}$	$6,3 \cdot 10^{-4}$	$5,0 \cdot 10^{-4}$	$1,1 \cdot 10^{-6}$
		M	$5,0 \cdot 10^{-4}$	$2,1 \cdot 10^{-4}$	$1,5 \cdot 10^{-4}$		
		S	$5,0 \cdot 10^{-4}$	$6,6 \cdot 10^{-5}$	$4,7 \cdot 10^{-5}$		
Ac-228	6,13 h	F	$5,0 \cdot 10^{-4}$	$2,5 \cdot 10^{-8}$	$2,9 \cdot 10^{-8}$	$5,0 \cdot 10^{-4}$	$4,3 \cdot 10^{-10}$
		M	$5,0 \cdot 10^{-4}$	$1,6 \cdot 10^{-8}$	$1,2 \cdot 10^{-8}$		
		S	$5,0 \cdot 10^{-4}$	$1,4 \cdot 10^{-8}$	$1,2 \cdot 10^{-8}$		
Tórium							
Th-226	0,515 h	M	$5,0 \cdot 10^{-4}$	$5,5 \cdot 10^{-8}$	$7,4 \cdot 10^{-8}$	$5,0 \cdot 10^{-4}$	$3,5 \cdot 10^{-10}$
		S	$2,0 \cdot 10^{-4}$	$5,9 \cdot 10^{-8}$	$7,8 \cdot 10^{-8}$	$2,0 \cdot 10^{-4}$	$3,6 \cdot 10^{-10}$
Th-227	18,7 d	M	$5,0 \cdot 10^{-4}$	$7,8 \cdot 10^{-6}$	$6,2 \cdot 10^{-6}$	$5,0 \cdot 10^{-4}$	$8,9 \cdot 10^{-9}$
		S	$2,0 \cdot 10^{-4}$	$9,6 \cdot 10^{-6}$	$7,6 \cdot 10^{-6}$	$2,0 \cdot 10^{-4}$	$8,4 \cdot 10^{-9}$
Th-228	1,91 r	M	$5,0 \cdot 10^{-4}$	$3,1 \cdot 10^{-5}$	$2,3 \cdot 10^{-5}$	$5,0 \cdot 10^{-4}$	$7,0 \cdot 10^{-8}$
		S	$2,0 \cdot 10^{-4}$	$3,9 \cdot 10^{-5}$	$3,2 \cdot 10^{-5}$	$2,0 \cdot 10^{-4}$	$3,5 \cdot 10^{-8}$
Th-229	$7,34 \cdot 10^3$ r	M	$5,0 \cdot 10^{-4}$	$9,9 \cdot 10^{-5}$	$6,9 \cdot 10^{-5}$	$5,0 \cdot 10^{-4}$	$4,8 \cdot 10^{-7}$
		S	$2,0 \cdot 10^{-4}$	$6,5 \cdot 10^{-5}$	$4,8 \cdot 10^{-5}$	$2,0 \cdot 10^{-4}$	$2,0 \cdot 10^{-7}$
Th-230	$7,70 \cdot 10^4$ r	M	$5,0 \cdot 10^{-4}$	$4,0 \cdot 10^{-5}$	$2,8 \cdot 10^{-5}$	$5,0 \cdot 10^{-4}$	$2,1 \cdot 10^{-7}$
		S	$2,0 \cdot 10^{-4}$	$1,3 \cdot 10^{-5}$	$7,2 \cdot 10^{-6}$	$2,0 \cdot 10^{-4}$	$8,7 \cdot 10^{-8}$
Th-231	1,06 d	M	$5,0 \cdot 10^{-4}$	$2,9 \cdot 10^{-10}$	$3,7 \cdot 10^{-10}$	$5,0 \cdot 10^{-4}$	$3,4 \cdot 10^{-10}$
		S	$2,0 \cdot 10^{-4}$	$3,2 \cdot 10^{-10}$	$4,0 \cdot 10^{-10}$	$2,0 \cdot 10^{-4}$	$3,4 \cdot 10^{-10}$
Th-232	$1,40 \cdot 10^{10}$ r	M	$5,0 \cdot 10^{-4}$	$4,2 \cdot 10^{-5}$	$2,9 \cdot 10^{-5}$	$5,0 \cdot 10^{-4}$	$2,2 \cdot 10^{-7}$
		S	$2,0 \cdot 10^{-4}$	$2,3 \cdot 10^{-5}$	$1,2 \cdot 10^{-5}$	$2,0 \cdot 10^{-4}$	$9,2 \cdot 10^{-8}$
Th-234	24,1 d	M	$5,0 \cdot 10^{-4}$	$6,3 \cdot 10^{-9}$	$5,3 \cdot 10^{-9}$	$5,0 \cdot 10^{-4}$	$3,4 \cdot 10^{-9}$
		S	$2,0 \cdot 10^{-4}$	$7,3 \cdot 10^{-9}$	$5,8 \cdot 10^{-9}$	$2,0 \cdot 10^{-4}$	$3,4 \cdot 10^{-9}$
Protaktínium							
Pa-227	0,638 h	M	$5,0 \cdot 10^{-4}$	$7,0 \cdot 10^{-8}$	$9,0 \cdot 10^{-8}$	$5,0 \cdot 10^{-4}$	$4,5 \cdot 10^{-10}$
		S	$5,0 \cdot 10^{-4}$	$7,6 \cdot 10^{-8}$	$9,7 \cdot 10^{-8}$		
Pa-228	22,0 h	M	$5,0 \cdot 10^{-4}$	$5,9 \cdot 10^{-8}$	$4,6 \cdot 10^{-8}$	$5,0 \cdot 10^{-4}$	$7,8 \cdot 10^{-10}$
		S	$5,0 \cdot 10^{-4}$	$6,9 \cdot 10^{-8}$	$5,1 \cdot 10^{-8}$		

Tabuľka č. 11 Konverzné faktory h_{inh} a h_{ing} na prepočet príjmu rádionuklidov vdýchnutím (inhaláciou) aerosólov a požitím (ingesciou) na úväzok efektívnej dávky pre pracovníkov

Prvok Nuklid	doba polpremeny	inhalácia				ingescia	
		typ	f_1	h_{inh} [Sv.Bq ⁻¹]		f_1	h_{ing} [Sv.Bq ⁻¹]
				$d_{ama} = 1 \mu m$	$d_{ama} = 5 \mu m$		
Pa-230	17,4 h	M	$5,0 \cdot 10^{-4}$	$5,6 \cdot 10^{-7}$	$4,6 \cdot 10^{-7}$	$5,0 \cdot 10^{-4}$	$9,2 \cdot 10^{-10}$
		S	$5,0 \cdot 10^{-4}$	$7,1 \cdot 10^{-7}$	$5,7 \cdot 10^{-7}$		
Pa-231	$3,27 \cdot 10^4$ r	M	$5,0 \cdot 10^{-4}$	$1,3 \cdot 10^{-4}$	$8,9 \cdot 10^{-5}$	$5,0 \cdot 10^{-4}$	$7,1 \cdot 10^{-7}$
		S	$5,0 \cdot 10^{-4}$	$3,2 \cdot 10^{-5}$	$1,7 \cdot 10^{-5}$		
Pa-232	1,31 d	M	$5,0 \cdot 10^{-4}$	$9,5 \cdot 10^{-9}$	$6,8 \cdot 10^{-9}$	$5,0 \cdot 10^{-4}$	$7,2 \cdot 10^{-10}$
		S	$5,0 \cdot 10^{-4}$	$3,2 \cdot 10^{-9}$	$2,0 \cdot 10^{-9}$		
Pa-233	27,0 d	M	$5,0 \cdot 10^{-4}$	$3,1 \cdot 10^{-9}$	$2,8 \cdot 10^{-9}$	$5,0 \cdot 10^{-4}$	$8,7 \cdot 10^{-10}$
		S	$5,0 \cdot 10^{-4}$	$3,7 \cdot 10^{-9}$	$3,2 \cdot 10^{-9}$		
Pa-234	6,70 h	M	$5,0 \cdot 10^{-4}$	$3,8 \cdot 10^{-10}$	$5,5 \cdot 10^{-10}$	$5,0 \cdot 10^{-4}$	$5,1 \cdot 10^{-10}$
		S	$5,0 \cdot 10^{-4}$	$4,0 \cdot 10^{-10}$	$5,8 \cdot 10^{-10}$		
Urán							
U-230	20,8 d	F	0,02	$3,6 \cdot 10^{-7}$	$4,2 \cdot 10^{-7}$	0,02	$5,5 \cdot 10^{-8}$
		M	0,02	$1,2 \cdot 10^{-5}$	$1,0 \cdot 10^{-5}$	0,002	$2,8 \cdot 10^{-8}$
		S	0,002	$1,5 \cdot 10^{-5}$	$1,2 \cdot 10^{-5}$		
U-231	4,20 d	F	0,02	$8,3 \cdot 10^{-11}$	$1,4 \cdot 10^{-10}$	0,02	$2,8 \cdot 10^{-10}$
		M	0,02	$3,4 \cdot 10^{-10}$	$3,7 \cdot 10^{-10}$	0,002	$2,8 \cdot 10^{-10}$
		S	0,002	$3,7 \cdot 10^{-10}$	$4,0 \cdot 10^{-10}$		
U-232	72,0 r	F	0,02	$4,0 \cdot 10^{-6}$	$4,7 \cdot 10^{-6}$	0,02	$3,3 \cdot 10^{-7}$
		M	0,02	$7,2 \cdot 10^{-6}$	$4,8 \cdot 10^{-6}$	0,002	$3,7 \cdot 10^{-8}$
		S	0,002	$3,5 \cdot 10^{-5}$	$2,6 \cdot 10^{-5}$		
U-233	$1,58 \cdot 10^5$ r	F	0,02	$5,7 \cdot 10^{-7}$	$6,6 \cdot 10^{-7}$	0,02	$5,0 \cdot 10^{-8}$
		M	0,02	$3,2 \cdot 10^{-6}$	$2,2 \cdot 10^{-6}$	0,002	$8,5 \cdot 10^{-9}$
		S	0,002	$8,7 \cdot 10^{-6}$	$6,9 \cdot 10^{-6}$		
U-234	$2,44 \cdot 10^5$ r	F	0,02	$5,5 \cdot 10^{-7}$	$6,4 \cdot 10^{-7}$	0,02	$4,9 \cdot 10^{-8}$
		M	0,02	$3,1 \cdot 10^{-6}$	$2,1 \cdot 10^{-6}$	0,002	$8,3 \cdot 10^{-9}$
		S	0,002	$8,5 \cdot 10^{-6}$	$6,8 \cdot 10^{-6}$		
U-235	$7,04 \cdot 10^8$ r	F	0,02	$5,1 \cdot 10^{-7}$	$6,0 \cdot 10^{-7}$	0,02	$4,6 \cdot 10^{-8}$
		M	0,02	$2,8 \cdot 10^{-6}$	$1,8 \cdot 10^{-6}$	0,002	$8,3 \cdot 10^{-9}$
		S	0,002	$7,7 \cdot 10^{-6}$	$6,1 \cdot 10^{-6}$		
U-236	$2,34 \cdot 10^7$ r	F	0,02	$5,2 \cdot 10^{-7}$	$6,1 \cdot 10^{-7}$	0,02	$4,6 \cdot 10^{-8}$
		M	0,02	$2,9 \cdot 10^{-6}$	$1,9 \cdot 10^{-6}$	0,002	$7,9 \cdot 10^{-9}$
		S	0,002	$7,9 \cdot 10^{-6}$	$6,3 \cdot 10^{-6}$		
U-237	6,75 d	F	0,02	$1,9 \cdot 10^{-10}$	$3,3 \cdot 10^{-10}$	0,02	$7,6 \cdot 10^{-10}$
		M	0,02	$1,6 \cdot 10^{-9}$	$1,5 \cdot 10^{-9}$	0,002	$7,7 \cdot 10^{-10}$
		S	0,002	$1,8 \cdot 10^{-9}$	$1,7 \cdot 10^{-9}$		
U-238	$4,47 \cdot 10^9$ r	F	0,02	$4,9 \cdot 10^{-7}$	$5,8 \cdot 10^{-7}$	0,02	$4,4 \cdot 10^{-8}$
		M	0,02	$2,6 \cdot 10^{-6}$	$1,6 \cdot 10^{-6}$	0,002	$7,6 \cdot 10^{-9}$
		S	0,002	$7,3 \cdot 10^{-6}$	$5,7 \cdot 10^{-6}$		
U-239	0,392 h	F	0,02	$1,1 \cdot 10^{-11}$	$1,8 \cdot 10^{-11}$	0,02	$2,7 \cdot 10^{-11}$
		M	0,02	$2,3 \cdot 10^{-11}$	$3,3 \cdot 10^{-11}$	0,002	$2,8 \cdot 10^{-11}$
		S	0,002	$2,4 \cdot 10^{-11}$	$3,5 \cdot 10^{-11}$		
U-240	14,1 h	F	0,02	$2,1 \cdot 10^{-10}$	$3,7 \cdot 10^{-10}$	0,02	$1,1 \cdot 10^{-9}$
		M	0,02	$5,3 \cdot 10^{-10}$	$7,9 \cdot 10^{-10}$	0,002	$1,1 \cdot 10^{-9}$
		S	0,002	$5,7 \cdot 10^{-10}$	$8,4 \cdot 10^{-10}$		
Neptúnium							
Np-232	0,245 h	M	$5,0 \cdot 10^{-4}$	$4,7 \cdot 10^{-11}$	$3,5 \cdot 10^{-11}$	$5,0 \cdot 10^{-4}$	$9,7 \cdot 10^{-12}$
Np-233	0,603 h	M	$5,0 \cdot 10^{-4}$	$1,7 \cdot 10^{-12}$	$3,0 \cdot 10^{-12}$	$5,0 \cdot 10^{-4}$	$2,2 \cdot 10^{-12}$
Np-234	4,40 d	M	$5,0 \cdot 10^{-4}$	$5,4 \cdot 10^{-10}$	$7,3 \cdot 10^{-10}$	$5,0 \cdot 10^{-4}$	$8,1 \cdot 10^{-10}$
Np-235	1,08 r	M	$5,0 \cdot 10^{-4}$	$4,0 \cdot 10^{-10}$	$2,7 \cdot 10^{-10}$	$5,0 \cdot 10^{-4}$	$5,3 \cdot 10^{-11}$
Np-236	$1,15 \cdot 10^5$ r	M	$5,0 \cdot 10^{-4}$	$3,0 \cdot 10^{-6}$	$2,0 \cdot 10^{-6}$	$5,0 \cdot 10^{-4}$	$1,7 \cdot 10^{-8}$

Tabuľka č. 11 Konverzné faktory h_{inh} a h_{ing} na prepočet príjmu rádionuklidov vdýchnutím (inhaláciou) aerosólov a požitím (ingesciou) na úväzok efektívnej dávky pre pracovníkov

Prvok Nuklid	doba polpremeny	inhalácia				ingescia	
		typ	f_1	h_{inh} [Sv.Bq ⁻¹]		f_1	h_{ing} [Sv.Bq ⁻¹]
				$d_{ama}=1\ \mu\text{m}$	$d_{ama}=5\ \mu\text{m}$		
Np-236	22,5 h	M	$5,0 \cdot 10^{-4}$	$5,0 \cdot 10^{-9}$	$3,6 \cdot 10^{-9}$	$5,0 \cdot 10^{-4}$	$1,9 \cdot 10^{-10}$
Np-237	$2,14 \cdot 10^6$ r	M	$5,0 \cdot 10^{-4}$	$2,1 \cdot 10^{-5}$	$1,5 \cdot 10^{-5}$	$5,0 \cdot 10^{-4}$	$1,1 \cdot 10^{-7}$
Np-238	2,12 d	M	$5,0 \cdot 10^{-4}$	$2,0 \cdot 10^{-9}$	$1,7 \cdot 10^{-9}$	$5,0 \cdot 10^{-4}$	$9,1 \cdot 10^{-10}$
Np-239	2,36 d	M	$5,0 \cdot 10^{-4}$	$9,0 \cdot 10^{-10}$	$1,1 \cdot 10^{-9}$	$5,0 \cdot 10^{-4}$	$8,0 \cdot 10^{-10}$
Np-240	1,08 h	M	$5,0 \cdot 10^{-4}$	$8,7 \cdot 10^{-11}$	$1,3 \cdot 10^{-10}$	$5,0 \cdot 10^{-4}$	$8,2 \cdot 10^{-11}$
Plutónium							
Pu-234	8,80 h	M	$5,0 \cdot 10^{-4}$	$1,9 \cdot 10^{-8}$	$1,6 \cdot 10^{-8}$	$5,0 \cdot 10^{-4}$	$1,6 \cdot 10^{-10}$
		S	$1,0 \cdot 10^{-5}$	$2,2 \cdot 10^{-8}$	$1,8 \cdot 10^{-8}$	$1,0 \cdot 10^{-5}$	$1,5 \cdot 10^{-10}$
						$1,0 \cdot 10^{-4}$	$1,6 \cdot 10^{-10}$
Pu-235	0,422 h	M	$5,0 \cdot 10^{-4}$	$1,5 \cdot 10^{-12}$	$2,5 \cdot 10^{-12}$	$5,0 \cdot 10^{-4}$	$2,1 \cdot 10^{-12}$
		S	$1,0 \cdot 10^{-5}$	$1,6 \cdot 10^{-12}$	$2,6 \cdot 10^{-12}$	$1,0 \cdot 10^{-5}$	$2,1 \cdot 10^{-12}$
						$1,0 \cdot 10^{-4}$	$2,1 \cdot 10^{-12}$
Pu-236	2,85 r	M	$5,0 \cdot 10^{-4}$	$1,8 \cdot 10^{-5}$	$1,3 \cdot 10^{-5}$	$5,0 \cdot 10^{-4}$	$8,6 \cdot 10^{-8}$
		S	$1,0 \cdot 10^{-5}$	$9,6 \cdot 10^{-6}$	$7,4 \cdot 10^{-6}$	$1,0 \cdot 10^{-5}$	$6,3 \cdot 10^{-9}$
						$1,0 \cdot 10^{-4}$	$2,1 \cdot 10^{-8}$
Pu-237	45,3 d	M	$5,0 \cdot 10^{-4}$	$3,3 \cdot 10^{-10}$	$2,9 \cdot 10^{-10}$	$5,0 \cdot 10^{-4}$	$1,0 \cdot 10^{-10}$
		S	$1,0 \cdot 10^{-5}$	$3,6 \cdot 10^{-10}$	$3,0 \cdot 10^{-10}$	$1,0 \cdot 10^{-5}$	$1,0 \cdot 10^{-10}$
						$1,0 \cdot 10^{-4}$	$1,0 \cdot 10^{-10}$
Pu-238	87,7 r	M	$5,0 \cdot 10^{-4}$	$4,3 \cdot 10^{-5}$	$3,0 \cdot 10^{-5}$	$5,0 \cdot 10^{-4}$	$2,3 \cdot 10^{-7}$
		S	$1,0 \cdot 10^{-5}$	$1,5 \cdot 10^{-5}$	$1,1 \cdot 10^{-5}$	$1,0 \cdot 10^{-5}$	$8,8 \cdot 10^{-9}$
						$1,0 \cdot 10^{-4}$	$4,9 \cdot 10^{-8}$
Pu-239	$2,41 \cdot 10^4$ r	M	$5,0 \cdot 10^{-4}$	$4,7 \cdot 10^{-5}$	$3,2 \cdot 10^{-5}$	$5,0 \cdot 10^{-4}$	$2,5 \cdot 10^{-7}$
		S	$1,0 \cdot 10^{-5}$	$1,5 \cdot 10^{-5}$	$8,3 \cdot 10^{-6}$	$1,0 \cdot 10^{-5}$	$9,0 \cdot 10^{-9}$
						$1,0 \cdot 10^{-4}$	$5,3 \cdot 10^{-8}$
Pu-240	$6,54 \cdot 10^3$ r	M	$5,0 \cdot 10^{-4}$	$4,7 \cdot 10^{-5}$	$3,2 \cdot 10^{-5}$	$5,0 \cdot 10^{-4}$	$2,5 \cdot 10^{-7}$
		S	$1,0 \cdot 10^{-5}$	$1,5 \cdot 10^{-5}$	$8,3 \cdot 10^{-6}$	$1,0 \cdot 10^{-5}$	$9,0 \cdot 10^{-9}$
						$1,0 \cdot 10^{-4}$	$5,3 \cdot 10^{-8}$
Pu-241	14,4 r	M	$5,0 \cdot 10^{-4}$	$8,5 \cdot 10^{-7}$	$5,8 \cdot 10^{-7}$	$5,0 \cdot 10^{-4}$	$4,7 \cdot 10^{-9}$
		S	$1,0 \cdot 10^{-5}$	$1,6 \cdot 10^{-7}$	$8,4 \cdot 10^{-8}$	$1,0 \cdot 10^{-5}$	$1,1 \cdot 10^{-10}$
						$1,0 \cdot 10^{-4}$	$9,6 \cdot 10^{-10}$
Pu-242	$3,76 \cdot 10^5$ r	M	$5,0 \cdot 10^{-4}$	$4,4 \cdot 10^{-5}$	$3,1 \cdot 10^{-5}$	$5,0 \cdot 10^{-4}$	$2,4 \cdot 10^{-7}$
		S	$1,0 \cdot 10^{-5}$	$1,4 \cdot 10^{-5}$	$7,7 \cdot 10^{-6}$	$1,0 \cdot 10^{-5}$	$8,6 \cdot 10^{-9}$
						$1,0 \cdot 10^{-4}$	$5,0 \cdot 10^{-8}$
Pu-243	4,95 h	M	$5,0 \cdot 10^{-4}$	$8,2 \cdot 10^{-11}$	$1,1 \cdot 10^{-10}$	$5,0 \cdot 10^{-4}$	$8,5 \cdot 10^{-11}$
		S	$1,0 \cdot 10^{-5}$	$8,5 \cdot 10^{-11}$	$1,1 \cdot 10^{-10}$	$1,0 \cdot 10^{-5}$	$8,5 \cdot 10^{-11}$
						$1,0 \cdot 10^{-4}$	$8,5 \cdot 10^{-11}$
Pu-244	$8,26 \cdot 10^7$ r	M	$5,0 \cdot 10^{-4}$	$4,4 \cdot 10^{-5}$	$3,0 \cdot 10^{-5}$	$5,0 \cdot 10^{-4}$	$2,4 \cdot 10^{-7}$
		S	$1,0 \cdot 10^{-5}$	$1,3 \cdot 10^{-5}$	$7,4 \cdot 10^{-6}$	$1,0 \cdot 10^{-5}$	$1,1 \cdot 10^{-8}$
						$1,0 \cdot 10^{-4}$	$5,2 \cdot 10^{-8}$
Pu-245	10,5 h	M	$5,0 \cdot 10^{-4}$	$4,5 \cdot 10^{-10}$	$6,1 \cdot 10^{-10}$	$5,0 \cdot 10^{-4}$	$7,2 \cdot 10^{-10}$
		S	$1,0 \cdot 10^{-5}$	$4,8 \cdot 10^{-10}$	$6,5 \cdot 10^{-10}$	$1,0 \cdot 10^{-5}$	$7,2 \cdot 10^{-10}$
						$1,0 \cdot 10^{-4}$	$7,2 \cdot 10^{-10}$
Pu-246	10,9 d	M	$5,0 \cdot 10^{-4}$	$7,0 \cdot 10^{-9}$	$6,5 \cdot 10^{-9}$	$5,0 \cdot 10^{-4}$	$3,3 \cdot 10^{-9}$
		S	$1,0 \cdot 10^{-5}$	$7,6 \cdot 10^{-9}$	$7,0 \cdot 10^{-9}$	$1,0 \cdot 10^{-5}$	$3,3 \cdot 10^{-9}$
						$1,0 \cdot 10^{-4}$	$3,3 \cdot 10^{-9}$
Americium							
Am-237	1,22 h	M	$5,0 \cdot 10^{-4}$	$2,5 \cdot 10^{-11}$	$3,6 \cdot 10^{-11}$	$5,0 \cdot 10^{-4}$	$1,8 \cdot 10^{-11}$
Am-238	1,63 h	M	$5,0 \cdot 10^{-4}$	$8,5 \cdot 10^{-11}$	$6,6 \cdot 10^{-11}$	$5,0 \cdot 10^{-4}$	$3,2 \cdot 10^{-11}$
Am-239	11,9 h	M	$5,0 \cdot 10^{-4}$	$2,2 \cdot 10^{-10}$	$2,9 \cdot 10^{-10}$	$5,0 \cdot 10^{-4}$	$2,4 \cdot 10^{-10}$
Am-240	2,12 d	M	$5,0 \cdot 10^{-4}$	$4,4 \cdot 10^{-10}$	$5,9 \cdot 10^{-10}$	$5,0 \cdot 10^{-4}$	$5,8 \cdot 10^{-10}$

Tabuľka č. 11 Konverzné faktory h_{inh} a h_{ing} na prepočet príjmu rádionuklidov vdýchnutím (inhaláciou) aerosólov a požitím (ingesciou) na úväzok efektívnej dávky pre pracovníkov

Prvok Nuklid	doba polpremeny	inhalácia				ingescia	
		typ	f_1	h_{inh} [Sv.Bq ⁻¹]		f_1	h_{ing} [Sv.Bq ⁻¹]
				$d_{ama} = 1 \mu\text{m}$	$d_{ama} = 5 \mu\text{m}$		
Am-241	4,32 10 ² r	M	5,0.10 ⁻⁴	3,9.10 ⁻⁵	2,7.10 ⁻⁵	5,0.10 ⁻⁴	2,0.10 ⁻⁷
Am-242	16,0 h	M	5,0.10 ⁻⁴	1,6.10 ⁻⁸	1,2.10 ⁻⁸	5,0.10 ⁻⁴	3,0.10 ⁻¹⁰
Am-242m	1,52 10 ² r	M	5,0.10 ⁻⁴	3,5.10 ⁻⁵	2,4.10 ⁻⁵	5,0.10 ⁻⁴	1,9.10 ⁻⁷
Am-243	7,38 10 ³ r	M	5,0.10 ⁻⁴	3,9.10 ⁻⁵	2,7.10 ⁻⁵	5,0.10 ⁻⁴	2,0.10 ⁻⁷
Am-244	10,1 h	M	5,0.10 ⁻⁴	1,9.10 ⁻⁹	1,5.10 ⁻⁹	5,0.10 ⁻⁴	4,6.10 ⁻¹⁰
Am-244m	0,433 h	M	5,0.10 ⁻⁴	7,9.10 ⁻¹¹	6,2.10 ⁻¹¹	5,0.10 ⁻⁴	2,9.10 ⁻¹¹
Am-245	2,05 h	M	5,0.10 ⁻⁴	5,3.10 ⁻¹¹	7,6.10 ⁻¹¹	5,0.10 ⁻⁴	6,2.10 ⁻¹¹
Am-246	0,650 h	M	5,0.10 ⁻⁴	6,8.10 ⁻¹¹	1,1.10 ⁻¹⁰	5,0.10 ⁻⁴	5,8.10 ⁻¹¹
Am-246m	0,417 h	M	5,0.10 ⁻⁴	2,3.10 ⁻¹¹	3,8.10 ⁻¹¹	5,0.10 ⁻⁴	3,4.10 ⁻¹¹
Curium							
Cm-238	2,40 h	M	5,0.10 ⁻⁴	4,1.10 ⁻⁹	4,8.10 ⁻⁹	5,0.10 ⁻⁴	8,0.10 ⁻¹¹
Cm-240	27,0 d	M	5,0.10 ⁻⁴	2,9.10 ⁻⁶	2,3.10 ⁻⁶	5,0.10 ⁻⁴	7,6.10 ⁻⁹
Cm-241	32,8 d	M	5,0.10 ⁻⁴	3,4.10 ⁻⁸	2,6.10 ⁻⁸	5,0.10 ⁻⁴	9,1.10 ⁻¹⁰
Cm-242	163 d	M	5,0.10 ⁻⁴	4,8.10 ⁻⁶	3,7.10 ⁻⁶	5,0.10 ⁻⁴	1,2.10 ⁻⁸
Cm-243	28,5 r	M	5,0.10 ⁻⁴	2,9.10 ⁻⁵	2,0.10 ⁻⁵	5,0.10 ⁻⁴	1,5.10 ⁻⁷
Cm-244	18,1 r	M	5,0.10 ⁻⁴	2,5.10 ⁻⁵	1,7.10 ⁻⁵	5,0.10 ⁻⁴	1,2.10 ⁻⁷
Cm-245	8,50 10 ³ r	M	5,0.10 ⁻⁴	4,0.10 ⁻⁵	2,7.10 ⁻⁵	5,0.10 ⁻⁴	2,1.10 ⁻⁷
Cm-246	4,73 10 ³ r	M	5,0.10 ⁻⁴	4,0.10 ⁻⁵	2,7.10 ⁻⁵	5,0.10 ⁻⁴	2,1.10 ⁻⁷
Cm-247	1,56 10 ⁷ r	M	5,0.10 ⁻⁴	3,6.10 ⁻⁵	2,5.10 ⁻⁵	5,0.10 ⁻⁴	1,9.10 ⁻⁷
Cm-248	3,39 10 ⁵ r	M	5,0.10 ⁻⁴	1,4.10 ⁻⁴	9,5.10 ⁻⁵	5,0.10 ⁻⁴	7,7.10 ⁻⁷
Cm-249	1,07 h	M	5,0.10 ⁻⁴	3,2.10 ⁻¹¹	5,1.10 ⁻¹¹	5,0.10 ⁻⁴	3,1.10 ⁻¹¹
Cm-250	6,90 10 ³ r	M	5,0.10 ⁻⁴	7,9.10 ⁻⁴	5,4.10 ⁻⁴	5,0.10 ⁻⁴	4,4.10 ⁻⁶
Berkélium							
Bk-245	4,94 d	M	5,0.10 ⁻⁴	2,0.10 ⁻⁹	1,8.10 ⁻⁹	5,0.10 ⁻⁴	5,7.10 ⁻¹⁰
Bk-246	1,83 d	M	5,0.10 ⁻⁴	3,4.10 ⁻¹⁰	4,6.10 ⁻¹⁰	5,0.10 ⁻⁴	4,8.10 ⁻¹⁰
Bk-247	1,38 10 ³ r	M	5,0.10 ⁻⁴	6,5.10 ⁻⁵	4,5.10 ⁻⁵	5,0.10 ⁻⁴	3,5.10 ⁻⁷
Bk-249	320 d	M	5,0.10 ⁻⁴	1,5.10 ⁻⁷	1,0.10 ⁻⁷	5,0.10 ⁻⁴	9,7.10 ⁻¹⁰
Bk-250	3,22 h	M	5,0.10 ⁻⁴	9,6.10 ⁻¹⁰	7,1.10 ⁻¹⁰	5,0.10 ⁻⁴	1,4.10 ⁻¹⁰
Kalifornium							
Cf-244	0,323 h	M	5,0.10 ⁻⁴	1,3.10 ⁻⁸	1,8.10 ⁻⁸	5,0.10 ⁻⁴	7,0.10 ⁻¹¹
Cf-246	1,49 d	M	5,0.10 ⁻⁴	4,2.10 ⁻⁷	3,5.10 ⁻⁷	5,0.10 ⁻⁴	3,3.10 ⁻⁹
Cf-248	334 d	M	5,0.10 ⁻⁴	8,2.10 ⁻⁶	6,1.10 ⁻⁶	5,0.10 ⁻⁴	2,8.10 ⁻⁸
Cf-249	3,50 10 ² r	M	5,0.10 ⁻⁴	6,6.10 ⁻⁵	4,5.10 ⁻⁵	5,0.10 ⁻⁴	3,5.10 ⁻⁷
Cf-250	13,1 r	M	5,0.10 ⁻⁴	3,2.10 ⁻⁵	2,2.10 ⁻⁵	5,0.10 ⁻⁴	1,6.10 ⁻⁷
Cf-251	8,98 10 ² r	M	5,0.10 ⁻⁴	6,7.10 ⁻⁵	4,6.10 ⁻⁵	5,0.10 ⁻⁴	3,6.10 ⁻⁷
Cf-252	2,64 r	M	5,0.10 ⁻⁴	1,8.10 ⁻⁵	1,3.10 ⁻⁵	5,0.10 ⁻⁴	9,0.10 ⁻⁸
Cf-253	17,8 d	M	5,0.10 ⁻⁴	1,2.10 ⁻⁶	1,0.10 ⁻⁶	5,0.10 ⁻⁴	1,4.10 ⁻⁹
Cf-254	60,5 d	M	5,0.10 ⁻⁴	3,7.10 ⁻⁵	2,2.10 ⁻⁵	5,0.10 ⁻⁴	4,0.10 ⁻⁷
Einsteinium							
Es-250	2,10 h	M	5,0.10 ⁻⁴	5,9.10 ⁻¹⁰	4,2.10 ⁻¹⁰	5,0.10 ⁻⁴	2,1.10 ⁻¹¹
Es-251	1,38 d	M	5,0.10 ⁻⁴	2,0.10 ⁻⁹	1,7.10 ⁻⁹	5,0.10 ⁻⁴	1,7.10 ⁻¹⁰
Es-253	20,5 d	M	5,0.10 ⁻⁴	2,5.10 ⁻⁶	2,1.10 ⁻⁶	5,0.10 ⁻⁴	6,1.10 ⁻⁹
Es-254	276 d	M	5,0.10 ⁻⁴	8,0.10 ⁻⁶	6,0.10 ⁻⁶	5,0.10 ⁻⁴	2,8.10 ⁻⁸
Es-254m	1,64 d	M	5,0.10 ⁻⁴	4,4.10 ⁻⁷	3,7.10 ⁻⁷	5,0.10 ⁻⁴	4,2.10 ⁻⁹
Fermium							
Fm-252	22,7 h	M	5,0.10 ⁻⁴	3,0.10 ⁻⁷	2,6.10 ⁻⁷	5,0.10 ⁻⁴	2,7.10 ⁻⁹
Fm-253	3,00 d	M	5,0.10 ⁻⁴	3,7.10 ⁻⁷	3,0.10 ⁻⁷	5,0.10 ⁻⁴	9,1.10 ⁻¹⁰
Fm-254	3,24 h	M	5,0.10 ⁻⁴	5,6.10 ⁻⁸	7,7.10 ⁻⁸	5,0.10 ⁻⁴	4,4.10 ⁻¹⁰
Fm-255	20,1 h	M	5,0.10 ⁻⁴	2,5.10 ⁻⁷	2,6.10 ⁻⁷	5,0.10 ⁻⁴	2,5.10 ⁻⁹
Fm-257	101 d	M	5,0.10 ⁻⁴	6,6.10 ⁻⁶	5,2.10 ⁻⁶	5,0.10 ⁻⁴	1,5.10 ⁻⁸

Tabuľka č. 11 Konverzné faktory h_{inh} a h_{ing} na prepočet príjmu rádionuklidov vdýchnutím (inhaláciou) aerosólov a požitím (ingesciou) na úväzok efektívnej dávky pre pracovníkov

Prvok Nuklid	doba polpremeny	inhalácia				ingescia	
		typ	f_1	h_{inh} [Sv.Bq ⁻¹]		f_1	h_{ing} [Sv.Bq ⁻¹]
				$d_{ama} = 1 \mu\text{m}$	$d_{ama} = 5 \mu\text{m}$		
Mendelevium							
Md-257	5,20 h	M	$5,0 \cdot 10^{-4}$	$2,3 \cdot 10^{-8}$	$2,0 \cdot 10^{-8}$	$5,0 \cdot 10^{-4}$	$1,2 \cdot 10^{-10}$
Md-258	55,0 d	M	$5,0 \cdot 10^{-4}$	$5,5 \cdot 10^{-6}$	$4,4 \cdot 10^{-6}$	$5,0 \cdot 10^{-4}$	$1,3 \cdot 10^{-8}$

Poznámka:

Konverzné faktory h_{inh} pre príjem vdýchnutím (inhaláciou) sú pre aerosól $d_{ama} = 1 \mu\text{m}$ a pre aerosól s $d_{ama} = 5 \mu\text{m}$ uvedené v závislosti od typu absorpcie v pľúcach. Príslušné parametre pre jednotlivé chemické látky a zlúčeniny sú uvedené v tabuľke č. 10 tejto prílohy.

Konverzné faktory h_{ing} pre príjem požitím (ingesciou) sú uvedené v závislosti od typu absorpcie v tráviacom ústrojenstve. Príslušné parametre pre jednotlivé chemické látky a zlúčeniny sú uvedené v tabuľke č. 9 tejto prílohy.

U bližšie neidentifikovaných rádionuklidov a chemických foriem rádioaktívnych látok alebo vlastností vdychovaného aerosólu sa aktivita prisudzuje tým rádionuklidom a ich formám, alebo takému aerosólu, pre ktorý je v tabuľke stanovený najvyšší konverzný faktor.

Tabuľka č. 12: Konverzné faktory h_{ing} na prepočet príjmu rádionuklidov ingesciou na úväzok efektívnej dávky u jednotlivcov z obyvateľstva

prvok nuklid	Polčas premeny	vek < 1 rok		f_1 > 1 rok	h_{ing} (Sv.Bq ⁻¹)				
		f_1	h_{ing}		1 - 2	2 - 7	7 - 12	12 - 17	> 17 (dospelí)
Vodík									
H-3 (voda)	12,3 r	1,000	6,4.10 ⁻¹¹	1,000	4,8.10 ⁻¹¹	3,1.10 ⁻¹¹	2,3.10 ⁻¹¹	1,8.10 ⁻¹¹	1,8.10 ⁻¹¹
H-3 (organicky viazané)			1,2.10 ⁻¹⁰		1,2.10 ⁻¹⁰	7,3.10 ⁻¹¹	5,7.10 ⁻¹¹	4,2.10 ⁻¹¹	4,2.10 ⁻¹¹
Berýlium									
Be-7	53,3 d	0,020	1,8.10 ⁻¹⁰	0,005	1,3.10 ⁻¹⁰	7,7.10 ⁻¹¹	5,3.10 ⁻¹¹	3,5.10 ⁻¹¹	2,8.10 ⁻¹¹
Be-10	1,60 10 ⁶ r		1,4.10 ⁻⁸		8,0.10 ⁻⁹	4,1.10 ⁻⁹	2,4.10 ⁻⁹	1,4.10 ⁻⁹	1,1.10 ⁻⁹
Uhlík									
C-11	0,340 h	1,000	2,6.10 ⁻¹⁰	1,000	1,5.10 ⁻¹⁰	7,3.10 ⁻¹¹	4,3.10 ⁻¹¹	3,0.10 ⁻¹¹	2,4.10 ⁻¹¹
C-14	5,73 10 ³ r		1,4.10 ⁻⁹		1,6.10 ⁻⁹	9,9.10 ⁻¹⁰	8,0.10 ⁻¹⁰	5,7.10 ⁻¹⁰	5,8.10 ⁻¹⁰
Fluór									
F-18	1,83 h	1,000	5,2.10 ⁻¹⁰	1,000	3,0.10 ⁻¹⁰	1,5.10 ⁻¹⁰	9,1.10 ⁻¹¹	6,2.10 ⁻¹¹	4,9.10 ⁻¹¹
Sodík									
Na-22	2,60 r	1,000	2,1.10 ⁻⁸	1,000	1,5.10 ⁻⁸	8,4.10 ⁻⁹	5,5.10 ⁻⁹	3,7.10 ⁻⁹	3,2.10 ⁻⁹
Na-24	15,0 h		3,5.10 ⁻⁹		2,3.10 ⁻⁹	1,2.10 ⁻⁹	7,7.10 ⁻¹⁰	5,2.10 ⁻¹⁰	4,3.10 ⁻¹⁰
Horčík									
Mg-28	20,9 h	1,000	1,2.10 ⁻⁸	0,500	1,4.10 ⁻⁸	7,4.10 ⁻⁹	4,5.10 ⁻⁹	2,7.10 ⁻⁹	2,2.10 ⁻⁹
Hliník									
Al-26	7,16 10 ⁵ r	0,020	3,4.10 ⁻⁸	0,010	2,1.10 ⁻⁸	1,1.10 ⁻⁸	7,1.10 ⁻⁹	4,3.10 ⁻⁹	3,5.10 ⁻⁹
Kremík									
Si-31	2,62 h	0,020	1,9.10 ⁻⁹	0,010	1,0.10 ⁻⁹	5,1.10 ⁻¹⁰	3,0.10 ⁻¹⁰	1,8.10 ⁻¹⁰	1,6.10 ⁻¹⁰
Si-32	4,50 10 ² r		7,3.10 ⁻⁹		4,1.10 ⁻⁹	2,0.10 ⁻⁹	1,2.10 ⁻⁹	7,0.10 ⁻¹⁰	5,6.10 ⁻¹⁰
Fosfor									
P-32	14,3 d	1,000	3,1.10 ⁻⁸	0,800	1,9.10 ⁻⁸	9,4.10 ⁻⁹	5,3.10 ⁻⁹	3,1.10 ⁻⁹	2,4.10 ⁻⁹
P-33	25,4 d		2,7.10 ⁻⁹		1,8.10 ⁻⁹	9,1.10 ⁻¹⁰	5,3.10 ⁻¹⁰	3,1.10 ⁻¹⁰	2,4.10 ⁻¹⁰
Síra									
S-35 (anorganická)	87,4 d	0,800	1,3.10 ⁻⁹	0,800	8,7.10 ⁻¹⁰	4,4.10 ⁻¹⁰	2,7.10 ⁻¹⁰	1,6.10 ⁻¹⁰	1,3.10 ⁻¹⁰
S-35 (organická)		1,000	7,7.10 ⁻⁹	1,000	5,4.10 ⁻⁹	2,7.10 ⁻⁹	1,6.10 ⁻⁹	9,5.10 ⁻¹⁰	7,7.10 ⁻¹⁰
Chlór									
Cl-36	3,01 10 ⁵ r	1,000	9,8.10 ⁻⁹	1,000	6,3.10 ⁻⁹	3,2.10 ⁻⁹	1,9.10 ⁻⁹	1,2.10 ⁻⁹	9,3.10 ⁻¹⁰
Cl-38	0,620 h		1,4.10 ⁻⁹		7,7.10 ⁻¹⁰	3,8.10 ⁻¹⁰	2,2.10 ⁻¹⁰	1,5.10 ⁻¹⁰	1,2.10 ⁻¹⁰
Cl-39	0,927 h		9,7.10 ⁻¹⁰		5,5.10 ⁻¹⁰	2,7.10 ⁻¹⁰	1,6.10 ⁻¹⁰	1,1.10 ⁻¹⁰	8,5.10 ⁻¹¹
Draslík									
K-40	1,28 10 ⁹ r	1,000	6,2.10 ⁻⁸	1,000	4,2.10 ⁻⁸	2,1.10 ⁻⁸	1,3.10 ⁻⁸	7,6.10 ⁻⁹	6,2.10 ⁻⁹
K-42	12,4 h		5,1.10 ⁻⁹		3,0.10 ⁻⁹	1,5.10 ⁻⁹	8,6.10 ⁻¹⁰	5,4.10 ⁻¹⁰	4,3.10 ⁻¹⁰
K-43	22,6 h		2,3.10 ⁻⁹		1,4.10 ⁻⁹	7,6.10 ⁻¹⁰	4,7.10 ⁻¹⁰	3,0.10 ⁻¹⁰	2,5.10 ⁻¹⁰
K-44	0,369 h		1,0.10 ⁻⁹		5,5.10 ⁻¹⁰	2,7.10 ⁻¹⁰	1,6.10 ⁻¹⁰	1,1.10 ⁻¹⁰	8,4.10 ⁻¹¹
K-45	0,333 h		6,2.10 ⁻¹⁰		3,5.10 ⁻¹⁰	1,7.10 ⁻¹⁰	9,9.10 ⁻¹¹	6,8.10 ⁻¹¹	5,4.10 ⁻¹¹
Vápník									
Ca-41	1,40 10 ⁵ r	0,600	1,2.10 ⁻⁹	0,300	5,2.10 ⁻¹⁰	3,9.10 ⁻¹⁰	4,8.10 ⁻¹⁰	5,0.10 ⁻¹⁰	1,9.10 ⁻¹⁰
Ca-45	163 d		1,1.10 ⁻⁸		4,9.10 ⁻⁹	2,6.10 ⁻⁹	1,8.10 ⁻⁹	1,3.10 ⁻⁹	7,1.10 ⁻¹⁰
Ca-47	4,53 d		1,3.10 ⁻⁸		9,3.10 ⁻⁹	4,9.10 ⁻⁹	3,0.10 ⁻⁹	1,8.10 ⁻⁹	1,6.10 ⁻⁹
Skandium									
Sc-43	3,89 h	0,001	1,8.10 ⁻⁹	1,0.10 ⁻⁴	1,2.10 ⁻⁹	6,1.10 ⁻¹⁰	3,7.10 ⁻¹⁰	2,3.10 ⁻¹⁰	1,9.10 ⁻¹⁰
Sc-44	3,93 h		3,5.10 ⁻⁹		2,2.10 ⁻⁹	1,2.10 ⁻⁹	7,1.10 ⁻¹⁰	4,4.10 ⁻¹⁰	3,5.10 ⁻¹⁰
Sc-44m	2,44 d		2,4.10 ⁻⁸		1,6.10 ⁻⁸	8,3.10 ⁻⁹	5,1.10 ⁻⁹	3,1.10 ⁻⁹	2,4.10 ⁻⁹
Sc-46	83,8 d		1,1.10 ⁻⁸		7,9.10 ⁻⁹	4,4.10 ⁻⁹	2,9.10 ⁻⁹	1,8.10 ⁻⁹	1,5.10 ⁻⁹
Sc-47	3,35 d		6,1.10 ⁻⁹		3,9.10 ⁻⁹	2,0.10 ⁻⁹	1,2.10 ⁻⁹	6,8.10 ⁻¹⁰	5,4.10 ⁻¹⁰

Tabuľka č. 12: Konverzné faktory h_{ing} na prepočet príjmu rádionuklidov ingesciou na úväzok efektívnej dávky u jednotlivcov z obyvateľstva

prvok nuklid	Polčas premeny	vek < 1 rok		f_1 > 1 rok	h_{ing} (Sv.Bq ⁻¹)				
		f_1	h_{ing}		1 – 2	2 - 7	7 - 12	12 - 17	> 17 (dospelí)
Sc-48	1,82 d		$1,3 \cdot 10^{-8}$		$9,3 \cdot 10^{-9}$	$5,1 \cdot 10^{-9}$	$3,3 \cdot 10^{-9}$	$2,1 \cdot 10^{-9}$	$1,7 \cdot 10^{-9}$
Sc-49	0,956 h		$1,0 \cdot 10^{-9}$		$5,7 \cdot 10^{-10}$	$2,8 \cdot 10^{-10}$	$1,6 \cdot 10^{-10}$	$1,0 \cdot 10^{-1}$	$8,2 \cdot 10^{-11}$
Titán									
Ti-44	47,3 r	0,020	$5,5 \cdot 10^{-8}$	0,010	$3,1 \cdot 10^{-8}$	$1,7 \cdot 10^{-8}$	$1,1 \cdot 10^{-8}$	$6,9 \cdot 10^{-9}$	$5,8 \cdot 10^{-9}$
Ti-45	3,08 h		$1,6 \cdot 10^{-9}$		$9,8 \cdot 10^{-10}$	$5,0 \cdot 10^{-10}$	$3,1 \cdot 10^{-10}$	$1,9 \cdot 10^{-1}$	$1,5 \cdot 10^{-10}$
Vanád									
V-47	0,543 h	0,020	$7,3 \cdot 10^{-10}$	0,010	$4,1 \cdot 10^{-10}$	$2,0 \cdot 10^{-10}$	$1,2 \cdot 10^{-10}$	$8,0 \cdot 10^{-1}$	$6,3 \cdot 10^{-11}$
V-48	16,2 d		$1,5 \cdot 10^{-8}$		$1,1 \cdot 10^{-8}$	$5,9 \cdot 10^{-9}$	$3,9 \cdot 10^{-9}$	$2,5 \cdot 10^{-9}$	$2,0 \cdot 10^{-9}$
V-49	330 d		$2,2 \cdot 10^{-10}$		$1,4 \cdot 10^{-10}$	$6,9 \cdot 10^{-11}$	$4,0 \cdot 10^{-11}$	$2,3 \cdot 10^{-1}$	$1,8 \cdot 10^{-11}$
Chróom									
Cr-48	23,0 h	0,200	$1,4 \cdot 10^{-9}$	0,100	$9,9 \cdot 10^{-10}$	$5,7 \cdot 10^{-10}$	$3,8 \cdot 10^{-10}$	$2,5 \cdot 10^{-1}$	$2,0 \cdot 10^{-10}$
		0,020		0,010					
Cr-49	0,702 h	0,200	$6,8 \cdot 10^{-10}$	0,100	$3,9 \cdot 10^{-10}$	$2,0 \cdot 10^{-10}$	$1,1 \cdot 10^{-10}$	$7,7 \cdot 10^{-1}$	$6,1 \cdot 10^{-11}$
		0,020		0,010					
Cr-51	27,7 d	0,200	$3,5 \cdot 10^{-10}$	0,100	$2,3 \cdot 10^{-10}$	$1,2 \cdot 10^{-10}$	$7,8 \cdot 10^{-11}$	$4,8 \cdot 10^{-1}$	$3,8 \cdot 10^{-11}$
		0,020	$3,3 \cdot 10^{-10}$	0,010	$2,2 \cdot 10^{-10}$		$7,5 \cdot 10^{-11}$	$4,6 \cdot 10^{-1}$	$3,7 \cdot 10^{-11}$
Mangán									
Mn-51	0,770 h	0,200	$1,1 \cdot 10^{-9}$	0,100	$6,1 \cdot 10^{-10}$	$3,0 \cdot 10^{-10}$	$1,8 \cdot 10^{-10}$	$1,2 \cdot 10^{-1}$	$9,3 \cdot 10^{-11}$
Mn-52	5,59 d		$1,2 \cdot 10^{-8}$		$8,8 \cdot 10^{-9}$	$5,1 \cdot 10^{-9}$	$3,4 \cdot 10^{-9}$	$2,2 \cdot 10^{-9}$	$1,8 \cdot 10^{-9}$
Mn-52m	0,352 h		$7,8 \cdot 10^{-10}$		$4,4 \cdot 10^{-10}$	$2,2 \cdot 10^{-10}$	$1,3 \cdot 10^{-10}$	$8,8 \cdot 10^{-1}$	$6,9 \cdot 10^{-11}$
Mn-53	$3,70 \cdot 10^6$ r		$4,1 \cdot 10^{-10}$		$2,2 \cdot 10^{-10}$	$1,1 \cdot 10^{-10}$	$6,5 \cdot 10^{-11}$	$3,7 \cdot 10^{-1}$	$3,0 \cdot 10^{-11}$
Mn-54	312 d		$5,4 \cdot 10^{-9}$		$3,1 \cdot 10^{-9}$	$1,9 \cdot 10^{-9}$	$1,3 \cdot 10^{-9}$	$8,7 \cdot 10^{-1}$	$7,1 \cdot 10^{-10}$
Mn-56	2,58 h		$2,7 \cdot 10^{-9}$		$1,7 \cdot 10^{-9}$	$8,5 \cdot 10^{-10}$	$5,1 \cdot 10^{-10}$	$3,2 \cdot 10^{-1}$	$2,5 \cdot 10^{-10}$
Železo									
Fe-52	8,28 h	0,600	$1,3 \cdot 10^{-8}$	0,100	$9,1 \cdot 10^{-9}$	$4,6 \cdot 10^{-9}$	$2,8 \cdot 10^{-9}$	$1,7 \cdot 10^{-9}$	$1,4 \cdot 10^{-9}$
Fe-55	2,70 r		$7,6 \cdot 10^{-9}$		$2,4 \cdot 10^{-9}$	$1,7 \cdot 10^{-9}$	$1,1 \cdot 10^{-9}$	$7,7 \cdot 10^{-1}$	$3,3 \cdot 10^{-10}$
Fe-59	44,5 d		$3,9 \cdot 10^{-8}$		$1,3 \cdot 10^{-8}$	$7,5 \cdot 10^{-9}$	$4,7 \cdot 10^{-9}$	$3,1 \cdot 10^{-9}$	$1,8 \cdot 10^{-9}$
Fe-60	$1,00 \cdot 10^5$ r		$7,9 \cdot 10^{-7}$		$2,7 \cdot 10^{-7}$	$2,7 \cdot 10^{-7}$	$2,5 \cdot 10^{-7}$	$2,3 \cdot 10^{-7}$	$1,1 \cdot 10^{-7}$
Kobalt									
Co-55	17,5 h	0,600	$6,0 \cdot 10^{-9}$	0,100	$5,5 \cdot 10^{-9}$	$2,9 \cdot 10^{-9}$	$1,8 \cdot 10^{-9}$	$1,1 \cdot 10^{-9}$	$1,0 \cdot 10^{-9}$
Co-56	78,7 d		$2,5 \cdot 10^{-8}$		$1,5 \cdot 10^{-8}$	$8,8 \cdot 10^{-9}$	$5,8 \cdot 10^{-9}$	$3,8 \cdot 10^{-9}$	$2,5 \cdot 10^{-9}$
Co-57	271 d		$2,9 \cdot 10^{-9}$		$1,6 \cdot 10^{-9}$	$8,9 \cdot 10^{-10}$	$5,8 \cdot 10^{-10}$	$3,7 \cdot 10^{-1}$	$2,1 \cdot 10^{-10}$
Co-58	70,8 d		$7,3 \cdot 10^{-9}$		$4,4 \cdot 10^{-9}$	$2,6 \cdot 10^{-9}$	$1,7 \cdot 10^{-9}$	$1,1 \cdot 10^{-9}$	$7,4 \cdot 10^{-10}$
Co-58m	9,15 h		$2,0 \cdot 10^{-10}$		$1,5 \cdot 10^{-10}$	$7,8 \cdot 10^{-11}$	$4,7 \cdot 10^{-11}$	$2,8 \cdot 10^{-1}$	$2,4 \cdot 10^{-11}$
Co-60	5,27 r		$5,4 \cdot 10^{-8}$		$2,7 \cdot 10^{-8}$	$1,7 \cdot 10^{-8}$	$1,1 \cdot 10^{-8}$	$7,9 \cdot 10^{-9}$	$3,4 \cdot 10^{-9}$
Co-60m	0,174 h		$2,2 \cdot 10^{-11}$		$1,2 \cdot 10^{-11}$	$5,7 \cdot 10^{-12}$	$3,2 \cdot 10^{-12}$	$2,2 \cdot 10^{-1}$	$1,7 \cdot 10^{-12}$
Co-61	1,65 h		$8,2 \cdot 10^{-10}$		$5,1 \cdot 10^{-10}$	$2,5 \cdot 10^{-10}$	$1,4 \cdot 10^{-10}$	$9,2 \cdot 10^{-1}$	$7,4 \cdot 10^{-11}$
Co-62m	0,232 h		$5,3 \cdot 10^{-10}$		$3,0 \cdot 10^{-10}$	$1,5 \cdot 10^{-10}$	$8,7 \cdot 10^{-11}$	$6,0 \cdot 10^{-1}$	$4,7 \cdot 10^{-11}$
Nikel									
Ni-56	6,10 d	0,100	$5,3 \cdot 10^{-9}$	0,050	$4,0 \cdot 10^{-9}$	$2,3 \cdot 10^{-9}$	$1,6 \cdot 10^{-9}$	$1,1 \cdot 10^{-9}$	$8,6 \cdot 10^{-10}$
Ni-57	1,50 d		$6,8 \cdot 10^{-9}$		$4,9 \cdot 10^{-9}$	$2,7 \cdot 10^{-9}$	$1,7 \cdot 10^{-9}$		$8,7 \cdot 10^{-10}$
Ni-59	$7,50 \cdot 10^4$ r		$6,4 \cdot 10^{-10}$		$3,4 \cdot 10^{-10}$	$1,9 \cdot 10^{-10}$	$1,1 \cdot 10^{-10}$	$7,3 \cdot 10^{-1}$	$6,3 \cdot 10^{-11}$
Ni-63	96,0 r		$1,6 \cdot 10^{-9}$		$8,4 \cdot 10^{-10}$	$4,6 \cdot 10^{-10}$	$2,8 \cdot 10^{-10}$	$1,8 \cdot 10^{-1}$	$1,5 \cdot 10^{-10}$
Ni-65	2,52 h		$2,1 \cdot 10^{-9}$		$1,3 \cdot 10^{-9}$	$6,3 \cdot 10^{-10}$	$3,8 \cdot 10^{-10}$	$2,3 \cdot 10^{-1}$	$1,8 \cdot 10^{-10}$
Ni-66	2,27 d		$3,3 \cdot 10^{-8}$		$2,2 \cdot 10^{-8}$	$1,1 \cdot 10^{-8}$	$6,6 \cdot 10^{-9}$	$3,7 \cdot 10^{-9}$	$3,0 \cdot 10^{-9}$
Med'									
Cu-60	0,387 h	1,000	$7,0 \cdot 10^{-10}$	0,500	$4,2 \cdot 10^{-10}$	$2,2 \cdot 10^{-10}$	$1,3 \cdot 10^{-10}$	$8,9 \cdot 10^{-1}$	$7,0 \cdot 10^{-11}$
Cu-61	3,41 h		$7,1 \cdot 10^{-10}$		$7,5 \cdot 10^{-10}$	$3,9 \cdot 10^{-10}$	$2,3 \cdot 10^{-10}$	$1,5 \cdot 10^{-1}$	$1,2 \cdot 10^{-10}$

Tabuľka č. 12: Konverzné faktory h_{ing} na prepočet príjmu rádionuklidov ingesciou na úväzok efektívnej dávky u jednotlivcov z obyvateľstva

prvok nuklid	Polčas premeny	vek < 1 rok		f_1 > 1 rok	h_{ing} (Sv.Bq ⁻¹)				
		f_1	h_{ing}		1 - 2	2 - 7	7 - 12	12 - 17	> 17 (dospelí)
Cu-64	12,7 h		$5,2 \cdot 10^{-10}$		$8,3 \cdot 10^{-10}$	$4,2 \cdot 10^{-10}$	$2,5 \cdot 10^{-10}$		
Cu-67	2,58 d		$2,1 \cdot 10^{-9}$		$2,4 \cdot 10^{-9}$	$1,2 \cdot 10^{-9}$	$7,2 \cdot 10^{-10}$	$4,2 \cdot 10^{-1}$	$3,4 \cdot 10^{-10}$
Zinok									
Zn-62	9,26 h	1,000	$4,2 \cdot 10^{-9}$	0,500	$6,5 \cdot 10^{-9}$	$3,3 \cdot 10^{-9}$	$2,0 \cdot 10^{-9}$	$1,2 \cdot 10^{-9}$	$9,4 \cdot 10^{-10}$
Zn-63	0,635 h		$8,7 \cdot 10^{-10}$		$5,2 \cdot 10^{-10}$	$2,6 \cdot 10^{-10}$	$1,5 \cdot 10^{-10}$	$1,0 \cdot 10^{-1}$	$7,9 \cdot 10^{-11}$
Zn-65	244 d		$3,6 \cdot 10^{-8}$		$1,6 \cdot 10^{-8}$	$9,7 \cdot 10^{-9}$	$6,4 \cdot 10^{-9}$	$4,5 \cdot 10^{-9}$	$3,9 \cdot 10^{-9}$
Zn-69	0,950 h		$3,5 \cdot 10^{-10}$		$2,2 \cdot 10^{-10}$	$1,1 \cdot 10^{-10}$	$6,0 \cdot 10^{-11}$	$3,9 \cdot 10^{-1}$	$3,1 \cdot 10^{-11}$
Zn-69m	13,8 h		$1,3 \cdot 10^{-9}$		$2,3 \cdot 10^{-9}$	$1,2 \cdot 10^{-9}$	$7,0 \cdot 10^{-10}$	$4,1 \cdot 10^{-1}$	$3,3 \cdot 10^{-10}$
Zn-71m	3,92 h		$1,4 \cdot 10^{-9}$		$1,5 \cdot 10^{-9}$	$7,8 \cdot 10^{-10}$	$4,8 \cdot 10^{-10}$	$3,0 \cdot 10^{-1}$	$2,4 \cdot 10^{-10}$
Zn-72	1,94 d		$8,7 \cdot 10^{-9}$		$8,6 \cdot 10^{-9}$	$4,5 \cdot 10^{-9}$	$2,8 \cdot 10^{-9}$	$1,7 \cdot 10^{-9}$	$1,4 \cdot 10^{-9}$
Gálium									
Ga-65	0,253 h	0,010	$4,3 \cdot 10^{-10}$	0,001	$2,4 \cdot 10^{-10}$	$1,2 \cdot 10^{-10}$	$6,9 \cdot 10^{-11}$	$4,7 \cdot 10^{-1}$	$3,7 \cdot 10^{-11}$
Ga-66	9,40 h		$1,2 \cdot 10^{-8}$		$7,9 \cdot 10^{-9}$	$4,0 \cdot 10^{-9}$	$2,5 \cdot 10^{-9}$	$1,5 \cdot 10^{-9}$	$1,2 \cdot 10^{-9}$
Ga-67	3,26 d		$1,8 \cdot 10^{-9}$		$1,2 \cdot 10^{-9}$	$6,4 \cdot 10^{-10}$	$4,0 \cdot 10^{-10}$	$2,4 \cdot 10^{-1}$	$1,9 \cdot 10^{-10}$
Ga-68	1,13 h		$1,2 \cdot 10^{-9}$		$6,7 \cdot 10^{-10}$	$3,4 \cdot 10^{-10}$	$2,0 \cdot 10^{-10}$	$1,3 \cdot 10^{-1}$	$1,0 \cdot 10^{-10}$
Ga-70	0,353 h		$3,9 \cdot 10^{-10}$		$2,2 \cdot 10^{-10}$	$1,0 \cdot 10^{-10}$	$5,9 \cdot 10^{-11}$	$4,0 \cdot 10^{-1}$	$3,1 \cdot 10^{-11}$
Ga-72	14,1 h		$1,0 \cdot 10^{-8}$		$6,8 \cdot 10^{-9}$	$3,6 \cdot 10^{-9}$	$2,2 \cdot 10^{-9}$	$1,4 \cdot 10^{-9}$	$1,1 \cdot 10^{-9}$
Ga-73	4,91 h		$3,0 \cdot 10^{-9}$		$1,9 \cdot 10^{-9}$	$9,3 \cdot 10^{-10}$	$5,5 \cdot 10^{-10}$	$3,3 \cdot 10^{-1}$	$2,6 \cdot 10^{-10}$
Germánium									
Ge-66	2,27 h	1,000	$8,3 \cdot 10^{-10}$	1,000	$5,3 \cdot 10^{-10}$	$2,9 \cdot 10^{-10}$	$1,9 \cdot 10^{-10}$	$1,3 \cdot 10^{-1}$	$1,0 \cdot 10^{-10}$
Ge-67	0,312 h		$7,7 \cdot 10^{-10}$		$4,2 \cdot 10^{-10}$	$2,1 \cdot 10^{-10}$	$1,2 \cdot 10^{-10}$	$8,2 \cdot 10^{-1}$	$6,5 \cdot 10^{-11}$
Ge-68	288 d		$1,2 \cdot 10^{-8}$		$8,0 \cdot 10^{-9}$	$4,2 \cdot 10^{-9}$	$2,6 \cdot 10^{-9}$	$1,6 \cdot 10^{-9}$	$1,3 \cdot 10^{-9}$
Ge-69	1,63 d		$2,0 \cdot 10^{-9}$		$1,3 \cdot 10^{-9}$	$7,1 \cdot 10^{-10}$	$4,6 \cdot 10^{-10}$	$3,0 \cdot 10^{-1}$	$2,4 \cdot 10^{-10}$
Ge-71	11,8 d		$1,2 \cdot 10^{-10}$		$7,8 \cdot 10^{-11}$	$4,0 \cdot 10^{-11}$	$2,4 \cdot 10^{-11}$	$1,5 \cdot 10^{-1}$	$1,2 \cdot 10^{-11}$
Ge-75	1,38 h		$5,5 \cdot 10^{-10}$		$3,1 \cdot 10^{-10}$	$1,5 \cdot 10^{-10}$	$8,7 \cdot 10^{-11}$	$5,9 \cdot 10^{-1}$	$4,6 \cdot 10^{-11}$
Ge-77	11,3 h		$3,0 \cdot 10^{-9}$		$1,8 \cdot 10^{-9}$	$9,9 \cdot 10^{-10}$	$6,2 \cdot 10^{-10}$	$4,1 \cdot 10^{-1}$	$3,3 \cdot 10^{-10}$
Ge-78	1,45 h		$1,2 \cdot 10^{-9}$		$7,0 \cdot 10^{-10}$	$3,6 \cdot 10^{-10}$	$2,2 \cdot 10^{-10}$	$1,5 \cdot 10^{-1}$	$1,2 \cdot 10^{-10}$
Arzén									
As-69	0,253 h	1,000	$6,6 \cdot 10^{-10}$	0,500	$3,7 \cdot 10^{-10}$	$1,8 \cdot 10^{-10}$	$1,1 \cdot 10^{-10}$	$7,2 \cdot 10^{-1}$	$5,7 \cdot 10^{-11}$
As-70	0,876 h		$1,2 \cdot 10^{-9}$		$7,8 \cdot 10^{-10}$	$4,1 \cdot 10^{-10}$	$2,5 \cdot 10^{-10}$	$1,7 \cdot 10^{-1}$	$1,3 \cdot 10^{-10}$
As-71	2,70 d		$2,8 \cdot 10^{-9}$		$2,8 \cdot 10^{-9}$	$1,5 \cdot 10^{-9}$	$9,3 \cdot 10^{-10}$	$5,7 \cdot 10^{-1}$	$4,6 \cdot 10^{-10}$
As-72	1,08 d		$1,1 \cdot 10^{-8}$		$1,2 \cdot 10^{-8}$	$6,3 \cdot 10^{-9}$	$3,8 \cdot 10^{-9}$	$2,3 \cdot 10^{-9}$	$1,8 \cdot 10^{-9}$
As-73	80,3 d		$2,6 \cdot 10^{-9}$		$1,9 \cdot 10^{-9}$	$9,3 \cdot 10^{-10}$	$5,6 \cdot 10^{-10}$	$3,2 \cdot 10^{-1}$	$2,6 \cdot 10^{-10}$
As-74	17,8 d		$1,0 \cdot 10^{-8}$		$8,2 \cdot 10^{-9}$	$4,3 \cdot 10^{-9}$	$2,6 \cdot 10^{-9}$	$1,6 \cdot 10^{-9}$	$1,3 \cdot 10^{-9}$
As-76	1,10 d		$1,0 \cdot 10^{-8}$		$1,1 \cdot 10^{-8}$	$5,8 \cdot 10^{-9}$	$3,4 \cdot 10^{-9}$	$2,0 \cdot 10^{-9}$	$1,6 \cdot 10^{-9}$
As-77	1,62 d		$2,7 \cdot 10^{-9}$		$2,9 \cdot 10^{-9}$	$1,5 \cdot 10^{-9}$	$8,7 \cdot 10^{-10}$	$5,0 \cdot 10^{-1}$	$4,0 \cdot 10^{-10}$
As-78	1,51 h		$2,0 \cdot 10^{-9}$		$1,4 \cdot 10^{-9}$	$7,0 \cdot 10^{-10}$	$4,1 \cdot 10^{-10}$	$2,7 \cdot 10^{-1}$	$2,1 \cdot 10^{-10}$
Selén									
Se-70	0,683 h	1,000	$1,0 \cdot 10^{-9}$	0,800	$7,1 \cdot 10^{-10}$	$3,6 \cdot 10^{-10}$	$2,2 \cdot 10^{-10}$	$1,5 \cdot 10^{-1}$	$1,2 \cdot 10^{-10}$
Se-73	7,15 h		$1,6 \cdot 10^{-9}$		$1,4 \cdot 10^{-9}$	$7,4 \cdot 10^{-10}$	$4,8 \cdot 10^{-10}$	$2,5 \cdot 10^{-1}$	$2,1 \cdot 10^{-10}$
Se-73m	0,650 h		$2,6 \cdot 10^{-10}$		$1,8 \cdot 10^{-10}$	$9,5 \cdot 10^{-11}$	$5,9 \cdot 10^{-11}$	$3,5 \cdot 10^{-1}$	$2,8 \cdot 10^{-11}$
Se-75	120 d		$2,0 \cdot 10^{-8}$		$1,3 \cdot 10^{-8}$	$8,3 \cdot 10^{-9}$	$6,0 \cdot 10^{-9}$	$3,1 \cdot 10^{-9}$	$2,6 \cdot 10^{-9}$
Se-79	$6,50 \cdot 10^4$ r	1,000	$4,1 \cdot 10^{-8}$	0,800	$2,8 \cdot 10^{-8}$	$1,9 \cdot 10^{-8}$	$1,4 \cdot 10^{-8}$	$4,1 \cdot 10^{-9}$	$2,9 \cdot 10^{-9}$
Se-81	0,308 h		$3,4 \cdot 10^{-10}$		$1,9 \cdot 10^{-10}$	$9,0 \cdot 10^{-11}$	$5,1 \cdot 10^{-11}$	$3,4 \cdot 10^{-1}$	$2,7 \cdot 10^{-11}$
Se-81m	0,954 h		$6,0 \cdot 10^{-10}$		$3,7 \cdot 10^{-10}$	$1,8 \cdot 10^{-10}$	$1,1 \cdot 10^{-10}$	$6,7 \cdot 10^{-1}$	$5,3 \cdot 10^{-11}$
Se-83	0,375 h		$4,6 \cdot 10^{-10}$		$2,9 \cdot 10^{-10}$	$1,5 \cdot 10^{-10}$	$8,7 \cdot 10^{-11}$	$5,9 \cdot 10^{-1}$	$4,7 \cdot 10^{-11}$
Bróm									
Br-74	0,422 h	1,000	$9,0 \cdot 10^{-10}$	1,000	$5,2 \cdot 10^{-10}$	$2,6 \cdot 10^{-10}$	$1,5 \cdot 10^{-10}$	$1,1 \cdot 10^{-1}$	$8,4 \cdot 10^{-11}$

Tabuľka č. 12: Konverzné faktory h_{ing} na prepočet príjmu rádionuklidov ingesciou na úväzok efektívnej dávky u jednotlivcov z obyvateľstva

prvok nuklid	Polčas premeny	vek < 1 rok		f_1 > 1 rok	h_{ing} (Sv.Bq ⁻¹)				
		f_1	h_{ing}		1 - 2	2 - 7	7 - 12	12 - 17	> 17 (dospelí)
Br-74m	0,691 h		1,5.10 ⁻⁹		8,5.10 ⁻¹⁰	4,3.10 ⁻¹⁰	2,5.10 ⁻¹⁰	1,7.10 ⁻¹	1,4.10 ⁻¹⁰
Br-75	1,63 h		8,5.10 ⁻¹⁰		4,9.10 ⁻¹⁰	2,5.10 ⁻¹⁰	1,5.10 ⁻¹⁰	9,9.10 ⁻¹	7,9.10 ⁻¹¹
Br-76	16,2 h		4,2.10 ⁻⁹		2,7.10 ⁻⁹	1,4.10 ⁻⁹	8,7.10 ⁻¹⁰	5,6.10 ⁻¹	4,6.10 ⁻¹⁰
Br-77	2,33 d		6,3.10 ⁻¹⁰		4,4.10 ⁻¹⁰	2,5.10 ⁻¹⁰	1,7.10 ⁻¹⁰	1,1.10 ⁻¹	9,6.10 ⁻¹¹
Br-80	0,290 h		3,9.10 ⁻¹⁰		2,1.10 ⁻¹⁰	1,0.10 ⁻¹⁰	5,8.10 ⁻¹¹	3,9.10 ⁻¹	3,1.10 ⁻¹¹
Br-80m	4,42 h		1,4.10 ⁻⁹		8,0.10 ⁻¹⁰	3,9.10 ⁻¹⁰	2,3.10 ⁻¹⁰	1,4.10 ⁻¹	1,1.10 ⁻¹⁰
Br-82	1,47 d		3,7.10 ⁻⁹		2,6.10 ⁻⁹	1,5.10 ⁻⁹	9,5.10 ⁻¹⁰	6,4.10 ⁻¹	5,4.10 ⁻¹⁰
Br-83	2,39 h		5,3.10 ⁻¹⁰		3,0.10 ⁻¹⁰	1,4.10 ⁻¹⁰	8,3.10 ⁻¹¹	5,5.10 ⁻¹	4,3.10 ⁻¹¹
Br-84	0,530 h		1,0.10 ⁻⁹		5,8.10 ⁻¹⁰	2,8.10 ⁻¹⁰	1,6.10 ⁻¹⁰	1,1.10 ⁻¹	8,8.10 ⁻¹¹
Rubídium									
Rb-79	0,382 h		5,7.10 ⁻¹⁰		3,2.10 ⁻¹⁰	1,6.10 ⁻¹⁰	9,2.10 ⁻¹¹	6,3.10 ⁻¹	5,0.10 ⁻¹¹
Rb-81	4,58 h		5,4.10 ⁻¹⁰		3,2.10 ⁻¹⁰	1,6.10 ⁻¹⁰	1,0.10 ⁻¹⁰	6,7.10 ⁻¹	5,4.10 ⁻¹¹
Rb-81m	0,533 h		1,1.10 ⁻¹⁰		6,2.10 ⁻¹¹	3,1.10 ⁻¹¹	1,8.10 ⁻¹¹	1,2.10 ⁻¹	9,7.10 ⁻¹²
Rb-82m	6,20 h		8,7.10 ⁻¹⁰		5,9.10 ⁻¹⁰	3,4.10 ⁻¹⁰	2,2.10 ⁻¹⁰	1,5.10 ⁻¹	1,3.10 ⁻¹⁰
Rb-83	86,2 d	1,000	1,1.10 ⁻⁸	1,000	8,4.10 ⁻⁹	4,9.10 ⁻⁹	3,2.10 ⁻⁹	2,2.10 ⁻⁹	1,9.10 ⁻⁹
Rb-84	32,8 d		2,0.10 ⁻⁸		1,4.10 ⁻⁸	7,9.10 ⁻⁹	5,0.10 ⁻⁹	3,3.10 ⁻⁹	2,8.10 ⁻⁹
Rb-86	18,6 d		3,1.10 ⁻⁸		2,0.10 ⁻⁸	9,9.10 ⁻⁹	5,9.10 ⁻⁹	3,5.10 ⁻⁹	
Rb-87	4,70 10 ¹⁰ r		1,5.10 ⁻⁸		1,0.10 ⁻⁸	5,2.10 ⁻⁹	3,1.10 ⁻⁹	1,8.10 ⁻⁹	1,5.10 ⁻⁹
Rb-88	0,297 h		1,1.10 ⁻⁹		6,2.10 ⁻¹⁰	3,0.10 ⁻¹⁰	1,7.10 ⁻¹⁰	1,2.10 ⁻¹	9,0.10 ⁻¹¹
Rb-89	0,253 h		5,4.10 ⁻¹⁰		3,0.10 ⁻¹⁰	1,5.10 ⁻¹⁰	8,6.10 ⁻¹¹	5,9.10 ⁻¹	4,7.10 ⁻¹¹
Stroncium									
Sr-80	1,67 h		3,7.10 ⁻⁹		2,3.10 ⁻⁹	1,1.10 ⁻⁹	6,5.10 ⁻¹⁰	4,2.10 ⁻¹	3,4.10 ⁻¹⁰
Sr-81	0,425 h		8,4.10 ⁻¹⁰		4,9.10 ⁻¹⁰	2,4.10 ⁻¹⁰	1,4.10 ⁻¹⁰	9,6.10 ⁻¹	7,7.10 ⁻¹¹
Sr-82	25,0 d		7,2.10 ⁻⁸		4,1.10 ⁻⁸	2,1.10 ⁻⁸	1,3.10 ⁻⁸	8,7.10 ⁻⁹	6,1.10 ⁻⁹
Sr-83	1,35 d		3,4.10 ⁻⁹		2,7.10 ⁻⁹	1,4.10 ⁻⁹	9,1.10 ⁻¹⁰	5,7.10 ⁻¹	4,9.10 ⁻¹⁰
Sr-85	64,8 d		7,7.10 ⁻⁹		3,1.10 ⁻⁹	1,7.10 ⁻⁹	1,5.10 ⁻⁹	1,3.10 ⁻⁹	5,6.10 ⁻¹⁰
Sr-85m	1,16 h	0,600	4,5.10 ⁻¹¹	0,300	3,0.10 ⁻¹¹	1,7.10 ⁻¹¹	1,1.10 ⁻¹¹	7,8.10 ⁻¹	6,1.10 ⁻¹²
Sr-87m	2,80 h		2,4.10 ⁻¹⁰		1,7.10 ⁻¹⁰	9,0.10 ⁻¹¹	5,6.10 ⁻¹¹	3,6.10 ⁻¹	3,0.10 ⁻¹¹
Sr-89	50,5 d		3,6.10 ⁻⁸		1,8.10 ⁻⁸	8,9.10 ⁻⁹	5,8.10 ⁻⁹	4,0.10 ⁻⁹	2,6.10 ⁻⁹
Sr-90	29,1 r		2,3.10 ⁻⁷		7,3.10 ⁻⁸	4,7.10 ⁻⁸	6,0.10 ⁻⁸	8,0.10 ⁻⁸	2,8.10 ⁻⁸
Sr-91	9,50 h		5,2.10 ⁻⁹		4,0.10 ⁻⁹	2,1.10 ⁻⁹	1,2.10 ⁻⁹	7,4.10 ⁻¹	6,5.10 ⁻¹⁰
Sr-92	2,71 h		3,4.10 ⁻⁹		2,7.10 ⁻⁹	1,4.10 ⁻⁹	8,2.10 ⁻¹⁰	4,8.10 ⁻¹	4,3.10 ⁻¹⁰
Ytrium									
Y-86	14,7 h		7,6.10 ⁻⁹		5,2.10 ⁻⁹	2,9.10 ⁻⁹	1,9.10 ⁻⁹	1,2.10 ⁻⁹	9,6.10 ⁻¹⁰
Y-86m	0,800 h		4,5.10 ⁻¹⁰		3,1.10 ⁻¹⁰	1,7.10 ⁻¹⁰	1,1.10 ⁻¹⁰	7,1.10 ⁻¹	5,6.10 ⁻¹¹
Y-87	3,35 d		4,6.10 ⁻⁹		3,2.10 ⁻⁹	1,8.10 ⁻⁹	1,1.10 ⁻⁹	7,0.10 ⁻¹	5,5.10 ⁻¹⁰
Y-88	107 d	0,001	8,1.10 ⁻⁹	1,0.10 ⁻⁴	6,0.10 ⁻⁹	3,5.10 ⁻⁹	2,4.10 ⁻⁹	1,6.10 ⁻⁹	1,3.10 ⁻⁹
Y-90	2,67 d		3,1.10 ⁻⁸		2,0.10 ⁻⁸	1,0.10 ⁻⁸	5,9.10 ⁻⁹	3,3.10 ⁻⁹	2,7.10 ⁻⁹
Y-90m	3,19 h		1,8.10 ⁻⁹		1,2.10 ⁻⁹	6,1.10 ⁻¹⁰	3,7.10 ⁻¹⁰	2,2.10 ⁻¹	1,7.10 ⁻¹⁰
Y-91	58,5 d		2,8.10 ⁻⁸		1,8.10 ⁻⁸	8,8.10 ⁻⁹	5,2.10 ⁻⁹	2,9.10 ⁻⁹	2,4.10 ⁻⁹
Y-91m	0,828 h		9,2.10 ⁻¹¹		6,0.10 ⁻¹¹	3,3.10 ⁻¹¹	2,1.10 ⁻¹¹	1,4.10 ⁻¹	1,1.10 ⁻¹¹
Y-92	3,54 h		5,9.10 ⁻⁹		3,6.10 ⁻⁹	1,8.10 ⁻⁹	1,0.10 ⁻⁹	6,2.10 ⁻¹	4,9.10 ⁻¹⁰
Y-93	10,1 h	0,001	1,4.10 ⁻⁸	1,0.10 ⁻⁴	8,5.10 ⁻⁹	4,3.10 ⁻⁹	2,5.10 ⁻⁹	1,4.10 ⁻⁹	1,2.10 ⁻⁹
Y-94	0,318 h		9,9.10 ⁻¹⁰		5,5.10 ⁻¹⁰	2,7.10 ⁻¹⁰	1,5.10 ⁻¹⁰	1,0.10 ⁻¹	8,1.10 ⁻¹¹
Y-95	0,178 h		5,7.10 ⁻¹⁰		3,1.10 ⁻¹⁰	1,5.10 ⁻¹⁰	8,7.10 ⁻¹¹	5,9.10 ⁻¹	4,6.10 ⁻¹¹
Zirkón									
Zr-86	16,5 h	0,020	6,9.10 ⁻⁹	0,010	4,8.10 ⁻⁹	2,7.10 ⁻⁹	1,7.10 ⁻⁹	1,1.10 ⁻⁹	8,6.10 ⁻¹⁰
Zr-88	83,4 d		2,8.10 ⁻⁹		2,0.10 ⁻⁹	1,2.10 ⁻⁹	8,0.10 ⁻¹⁰	5,4.10 ⁻¹	4,5.10 ⁻¹⁰

Tabuľka č. 12: Konverzné faktory h_{ing} na prepočet príjmu rádionuklidov ingesciou na úväzok efektívnej dávky u jednotlivcov z obyvateľstva

prvok nuklid	Polčas premeny	vek < 1 rok		f_1 > 1 rok	h_{ing} (Sv.Bq ⁻¹)				
		f_1	h_{ing}		1 - 2	2 - 7	7 - 12	12 - 17	> 17 (dospelí)
Zr-89	3,27 d		$6,5 \cdot 10^{-9}$		$4,5 \cdot 10^{-9}$	$2,5 \cdot 10^{-9}$	$1,6 \cdot 10^{-9}$	$9,9 \cdot 10^{-1}$	$7,9 \cdot 10^{-10}$
Zr-93	$1,53 \cdot 10^6$ r		$1,2 \cdot 10^{-9}$		$7,6 \cdot 10^{-10}$	$5,1 \cdot 10^{-10}$	$5,8 \cdot 10^{-10}$	$8,6 \cdot 10^{-1}$	$1,1 \cdot 10^{-9}$
Zr-95	64,0 d		$8,5 \cdot 10^{-9}$		$5,6 \cdot 10^{-9}$	$3,0 \cdot 10^{-9}$	$1,9 \cdot 10^{-9}$	$1,2 \cdot 10^9$	$9,5 \cdot 10^{-10}$
Zr-97	16,9 h		$2,2 \cdot 10^{-8}$		$1,4 \cdot 10^{-8}$	$7,3 \cdot 10^{-9}$	$4,4 \cdot 10^{-9}$	$2,6 \cdot 10^9$	$2,1 \cdot 10^{-9}$
Niób									
Nb-88	0,238 h		$6,7 \cdot 10^{-10}$		$3,8 \cdot 10^{-10}$	$1,9 \cdot 10^{-10}$	$1,1 \cdot 10^{-10}$	$7,9 \cdot 10^{-1}$	$6,3 \cdot 10^{-11}$
Nb-89	2,03 h		$3,0 \cdot 10^{-9}$		$2,0 \cdot 10^{-9}$	$1,0 \cdot 10^{-9}$	$6,0 \cdot 10^{-10}$	$3,4 \cdot 10^{-1}$	$2,7 \cdot 10^{-10}$
Nb-89	1,10 h		$1,5 \cdot 10^{-9}$		$8,7 \cdot 10^{-10}$	$4,4 \cdot 10^{-10}$	$2,7 \cdot 10^{-10}$	$1,8 \cdot 10^{-1}$	$1,4 \cdot 10^{-10}$
Nb-90	14,6 h		$1,1 \cdot 10^{-8}$		$7,2 \cdot 10^{-9}$	$3,9 \cdot 10^{-9}$	$2,5 \cdot 10^{-9}$	$1,6 \cdot 10^9$	$1,2 \cdot 10^{-9}$
Nb-93m	13,6 r		$1,5 \cdot 10^{-9}$		$9,1 \cdot 10^{-10}$	$4,6 \cdot 10^{-10}$	$2,7 \cdot 10^{-10}$	$1,5 \cdot 10^{-1}$	$1,2 \cdot 10^{-10}$
Nb-94	$2,03 \cdot 10^4$ r	0,020	$1,5 \cdot 10^{-8}$	0,010	$9,7 \cdot 10^{-9}$	$5,3 \cdot 10^{-9}$	$3,4 \cdot 10^{-9}$	$2,1 \cdot 10^9$	$1,7 \cdot 10^{-9}$
Nb-95	35,1 d		$4,6 \cdot 10^{-9}$		$3,2 \cdot 10^{-9}$	$1,8 \cdot 10^{-9}$	$1,1 \cdot 10^{-9}$	$7,4 \cdot 10^{-1}$	$5,8 \cdot 10^{-10}$
Nb-95m	3,61 d		$6,4 \cdot 10^{-9}$		$4,1 \cdot 10^{-9}$	$2,1 \cdot 10^{-9}$	$1,2 \cdot 10^{-9}$	$7,1 \cdot 10^{-1}$	$5,6 \cdot 10^{-10}$
Nb-96	23,3 h		$9,2 \cdot 10^{-9}$		$6,3 \cdot 10^{-9}$	$3,4 \cdot 10^{-9}$	$2,2 \cdot 10^{-9}$	$1,4 \cdot 10^9$	$1,1 \cdot 10^{-9}$
Nb-97	1,20 h		$7,7 \cdot 10^{-10}$		$4,5 \cdot 10^{-10}$	$2,3 \cdot 10^{-10}$	$1,3 \cdot 10^{-10}$	$8,7 \cdot 10^{-1}$	$6,8 \cdot 10^{-11}$
Nb-98	0,858 h		$1,2 \cdot 10^{-9}$		$7,1 \cdot 10^{-10}$	$3,6 \cdot 10^{-10}$	$2,2 \cdot 10^{-10}$	$1,4 \cdot 10^{-1}$	$1,1 \cdot 10^{-10}$
Molybdén									
Mo-90	5,67 h		$1,7 \cdot 10^{-9}$		$1,2 \cdot 10^{-9}$	$6,3 \cdot 10^{-10}$	$4,0 \cdot 10^{-10}$	$2,7 \cdot 10^{-1}$	$2,2 \cdot 10^{-10}$
Mo-93	$3,50 \cdot 10^3$ r		$7,9 \cdot 10^{-9}$		$6,9 \cdot 10^{-9}$	$5,0 \cdot 10^{-9}$	$4,0 \cdot 10^{-9}$	$3,4 \cdot 10^9$	$3,1 \cdot 10^{-9}$
Mo-93m	6,85 h	1,000	$8,0 \cdot 10^{-10}$	1,000	$5,4 \cdot 10^{-10}$	$3,1 \cdot 10^{-10}$	$2,0 \cdot 10^{-10}$	$1,4 \cdot 10^{-1}$	$1,1 \cdot 10^{-10}$
Mo-99	2,75 d		$5,5 \cdot 10^{-9}$		$3,5 \cdot 10^{-9}$	$1,8 \cdot 10^{-9}$	$1,1 \cdot 10^{-9}$	$7,6 \cdot 10^{-1}$	$6,0 \cdot 10^{-10}$
Mo-101	0,244 h		$4,8 \cdot 10^{-10}$		$2,7 \cdot 10^{-10}$	$1,3 \cdot 10^{-10}$	$7,6 \cdot 10^{-11}$	$5,2 \cdot 10^{-1}$	$4,1 \cdot 10^{-11}$
Technécium									
Tc-93	2,75 h		$2,7 \cdot 10^{-10}$		$2,5 \cdot 10^{-10}$	$1,5 \cdot 10^{-10}$	$9,8 \cdot 10^{-11}$	$6,8 \cdot 10^{-1}$	$5,5 \cdot 10^{-11}$
Tc-93m	0,725 h		$2,0 \cdot 10^{-10}$		$1,3 \cdot 10^{-10}$	$7,3 \cdot 10^{-11}$	$4,6 \cdot 10^{-11}$	$3,2 \cdot 10^{-1}$	$2,5 \cdot 10^{-11}$
Tc-94	4,88 h		$1,2 \cdot 10^{-9}$		$1,0 \cdot 10^{-9}$	$5,8 \cdot 10^{-10}$	$3,7 \cdot 10^{-10}$	$2,5 \cdot 10^{-1}$	$2,0 \cdot 10^{-10}$
Tc-94m	0,867 h		$1,3 \cdot 10^{-9}$		$6,5 \cdot 10^{-10}$	$3,3 \cdot 10^{-10}$	$1,9 \cdot 10^{-10}$	$1,3 \cdot 10^{-1}$	$1,0 \cdot 10^{-10}$
Tc-95	20,0 h		$9,9 \cdot 10^{-10}$		$8,7 \cdot 10^{-10}$	$5,0 \cdot 10^{-10}$	$3,3 \cdot 10^{-10}$	$2,3 \cdot 10^{-1}$	$1,8 \cdot 10^{-10}$
Tc-95m	61,0 d		$4,7 \cdot 10^{-9}$		$2,8 \cdot 10^{-9}$	$1,6 \cdot 10^{-9}$	$1,0 \cdot 10^{-9}$	$7,0 \cdot 10^{-1}$	$5,6 \cdot 10^{-10}$
Tc-96	4,28 d		$6,7 \cdot 10^{-9}$		$5,1 \cdot 10^{-9}$	$3,0 \cdot 10^{-9}$	$2,0 \cdot 10^{-9}$	$1,4 \cdot 10^9$	$1,1 \cdot 10^{-9}$
Tc-96m	0,858 h	1,000	$1,0 \cdot 10^{-10}$	0,500	$6,5 \cdot 10^{-11}$	$3,6 \cdot 10^{-11}$	$2,3 \cdot 10^{-11}$	$1,6 \cdot 10^{-1}$	$1,2 \cdot 10^{-11}$
Tc-97	$2,60 \cdot 10^6$ r		$9,9 \cdot 10^{-10}$		$4,9 \cdot 10^{-10}$	$2,4 \cdot 10^{-10}$	$1,4 \cdot 10^{-10}$	$8,8 \cdot 10^{-1}$	$6,8 \cdot 10^{-11}$
Tc-97m	87,0 d		$8,7 \cdot 10^{-9}$		$4,1 \cdot 10^{-9}$	$2,0 \cdot 10^{-9}$	$1,1 \cdot 10^{-9}$	$7,0 \cdot 10^{-1}$	$5,5 \cdot 10^{-10}$
Tc-98	$4,20 \cdot 10^6$ r		$2,3 \cdot 10^{-8}$		$1,2 \cdot 10^{-8}$	$6,1 \cdot 10^{-9}$	$3,7 \cdot 10^{-9}$	$2,5 \cdot 10^9$	$2,0 \cdot 10^{-9}$
Tc-99	$2,13 \cdot 10^5$ r		$1,0 \cdot 10^{-8}$		$4,8 \cdot 10^{-9}$	$2,3 \cdot 10^{-9}$	$1,3 \cdot 10^{-9}$	$8,2 \cdot 10^{-1}$	$6,4 \cdot 10^{-10}$
Tc-99m	6,02 h		$2,0 \cdot 10^{-10}$		$1,3 \cdot 10^{-10}$	$7,2 \cdot 10^{-11}$	$4,3 \cdot 10^{-11}$	$2,8 \cdot 10^{-1}$	$2,2 \cdot 10^{-11}$
Tc-101	0,237 h		$2,4 \cdot 10^{-10}$		$1,3 \cdot 10^{-10}$	$6,1 \cdot 10^{-11}$	$3,5 \cdot 10^{-11}$	$2,4 \cdot 10^{-1}$	$1,9 \cdot 10^{-11}$
Tc-104	0,303 h		$1,0 \cdot 10^{-9}$		$5,3 \cdot 10^{-10}$	$2,6 \cdot 10^{-10}$	$1,5 \cdot 10^{-10}$	$1,0 \cdot 10^{-1}$	$8,0 \cdot 10^{-11}$
Ruténium									
Ru-94	0,863 h		$9,3 \cdot 10^{-10}$		$5,9 \cdot 10^{-10}$	$3,1 \cdot 10^{-10}$	$1,9 \cdot 10^{-10}$	$1,2 \cdot 10^{-1}$	$9,4 \cdot 10^{-11}$
Ru-97	2,90 d		$1,2 \cdot 10^{-9}$		$8,5 \cdot 10^{-10}$	$4,7 \cdot 10^{-10}$	$3,0 \cdot 10^{-10}$	$1,9 \cdot 10^{-1}$	$1,5 \cdot 10^{-10}$
Ru-103	39,3 d	0,100	$7,1 \cdot 10^{-9}$	0,050	$4,6 \cdot 10^{-9}$	$2,4 \cdot 10^{-9}$	$1,5 \cdot 10^{-9}$	$9,2 \cdot 10^{-1}$	$7,3 \cdot 10^{-10}$
Ru-105	4,44 h		$2,7 \cdot 10^{-9}$		$1,8 \cdot 10^{-9}$	$9,1 \cdot 10^{-10}$	$5,5 \cdot 10^{-10}$	$3,3 \cdot 10^{-1}$	$2,6 \cdot 10^{-10}$
Ru-106	1,01 r		$8,4 \cdot 10^{-8}$		$4,9 \cdot 10^{-8}$	$2,5 \cdot 10^{-8}$	$1,5 \cdot 10^{-8}$	$8,6 \cdot 10^9$	$7,0 \cdot 10^{-9}$
Ródium									
Rh-99	16,0 d		$4,2 \cdot 10^{-9}$		$2,9 \cdot 10^{-9}$	$1,6 \cdot 10^{-9}$	$1,0 \cdot 10^{-9}$	$6,5 \cdot 10^{-1}$	$5,1 \cdot 10^{-10}$
Rh-99m	4,70 h	0,100	$4,9 \cdot 10^{-10}$	0,050	$3,5 \cdot 10^{-10}$	$2,0 \cdot 10^{-10}$	$1,3 \cdot 10^{-10}$	$8,3 \cdot 10^{-1}$	$6,6 \cdot 10^{-11}$
Rh-100	20,8 h		$4,9 \cdot 10^{-9}$		$3,6 \cdot 10^{-9}$	$2,0 \cdot 10^{-9}$	$1,4 \cdot 10^{-9}$	$8,8 \cdot 10^{-1}$	$7,1 \cdot 10^{-10}$

Tabuľka č. 12: Konverzné faktory h_{ing} na prepočet príjmu rádionuklidov ingesciou na úväzok efektívnej dávky u jednotlivcov z obyvateľstva

prvok nuklid	Polčas premeny	vek < 1 rok		f_1 > 1 rok	h_{ing} (Sv.Bq ⁻¹)				
		f_1	h_{ing}		1 - 2	2 - 7	7 - 12	12 - 17	> 17 (dospelí)
Rh-101	3,20 r		$4,9 \cdot 10^{-9}$		$2,8 \cdot 10^{-9}$	$1,6 \cdot 10^{-9}$	$1,0 \cdot 10^{-9}$	$6,7 \cdot 10^{-1}$	$5,5 \cdot 10^{-10}$
Rh-101m	4,34 d		$1,7 \cdot 10^{-9}$		$1,2 \cdot 10^{-9}$	$6,8 \cdot 10^{-10}$	$4,4 \cdot 10^{-10}$	$2,8 \cdot 10^{-1}$	$2,2 \cdot 10^{-10}$
Rh-102	2,90 r		$1,9 \cdot 10^{-8}$		$1,0 \cdot 10^{-8}$	$6,4 \cdot 10^{-9}$	$4,3 \cdot 10^{-9}$	$3,0 \cdot 10^{-9}$	$2,6 \cdot 10^{-9}$
Rh-102m	207 d		$1,2 \cdot 10^{-8}$		$7,4 \cdot 10^{-9}$	$3,9 \cdot 10^{-9}$	$2,4 \cdot 10^{-9}$	$1,4 \cdot 10^{-9}$	$1,2 \cdot 10^{-9}$
Rh-103m	0,935 h		$4,7 \cdot 10^{-11}$		$2,7 \cdot 10^{-11}$	$1,3 \cdot 10^{-11}$	$7,4 \cdot 10^{-12}$	$4,8 \cdot 10^{-1}$	$3,8 \cdot 10^{-12}$
Rh-105	1,47 d		$4,0 \cdot 10^{-9}$		$2,7 \cdot 10^{-9}$	$1,3 \cdot 10^{-9}$	$8,0 \cdot 10^{-10}$	$4,6 \cdot 10^{-1}$	$3,7 \cdot 10^{-10}$
Rh-106m	2,20 h		$1,4 \cdot 10^{-9}$		$9,7 \cdot 10^{-10}$	$5,3 \cdot 10^{-10}$	$3,3 \cdot 10^{-10}$	$2,0 \cdot 10^{-1}$	$1,6 \cdot 10^{-10}$
Rh-107	0,362 h		$2,9 \cdot 10^{-10}$		$1,6 \cdot 10^{-10}$	$7,9 \cdot 10^{-11}$	$4,5 \cdot 10^{-11}$	$3,1 \cdot 10^{-1}$	$2,4 \cdot 10^{-11}$
Paládium									
Pd-100	3,63 d		$7,4 \cdot 10^{-9}$		$5,2 \cdot 10^{-9}$	$2,9 \cdot 10^{-9}$	$1,9 \cdot 10^{-9}$	$1,2 \cdot 10^{-9}$	$9,4 \cdot 10^{-10}$
Pd-101	8,27 h		$8,2 \cdot 10^{-10}$		$5,7 \cdot 10^{-10}$	$3,1 \cdot 10^{-10}$	$1,9 \cdot 10^{-10}$	$1,2 \cdot 10^{-1}$	$9,4 \cdot 10^{-11}$
Pd-103	17,0 d	0,050	$2,2 \cdot 10^{-9}$	0,005	$1,4 \cdot 10^{-9}$	$7,2 \cdot 10^{-10}$	$4,3 \cdot 10^{-10}$	$2,4 \cdot 10^{-1}$	$1,9 \cdot 10^{-10}$
Pd-107	$6,50 \cdot 10^6$ r		$4,4 \cdot 10^{-10}$		$2,8 \cdot 10^{-10}$	$1,4 \cdot 10^{-10}$	$8,1 \cdot 10^{-11}$	$4,6 \cdot 10^{-1}$	$3,7 \cdot 10^{-11}$
Pd-109	13,4 h		$6,3 \cdot 10^{-9}$		$4,1 \cdot 10^{-9}$	$2,0 \cdot 10^{-9}$	$1,2 \cdot 10^{-9}$	$6,8 \cdot 10^{-1}$	$5,5 \cdot 10^{-10}$
Striebro									
Ag-102	0,215 h		$4,2 \cdot 10^{-10}$		$2,4 \cdot 10^{-10}$	$1,2 \cdot 10^{-10}$	$7,3 \cdot 10^{-11}$	$5,0 \cdot 10^{-1}$	$4,0 \cdot 10^{-11}$
Ag-103	1,09 h		$4,5 \cdot 10^{-10}$		$2,7 \cdot 10^{-10}$	$1,4 \cdot 10^{-10}$	$8,3 \cdot 10^{-11}$	$5,5 \cdot 10^{-1}$	$4,3 \cdot 10^{-11}$
Ag-104	1,15 h		$4,3 \cdot 10^{-10}$		$2,9 \cdot 10^{-10}$	$1,7 \cdot 10^{-10}$	$1,1 \cdot 10^{-10}$	$7,5 \cdot 10^{-1}$	$6,0 \cdot 10^{-11}$
Ag-104m	0,558 h		$5,6 \cdot 10^{-10}$		$3,3 \cdot 10^{-10}$		$1,0 \cdot 10^{-10}$	$6,8 \cdot 10^{-1}$	$5,4 \cdot 10^{-11}$
Ag-105	41,0 d		$3,9 \cdot 10^{-9}$		$2,5 \cdot 10^{-9}$	$1,4 \cdot 10^{-9}$	$1,1 \cdot 10^{-10}$	$5,9 \cdot 10^{-1}$	$4,7 \cdot 10^{-10}$
Ag-106	0,399 h		$3,7 \cdot 10^{-10}$		$2,1 \cdot 10^{-10}$	$1,0 \cdot 10^{-10}$	$6,0 \cdot 10^{-11}$	$4,1 \cdot 10^{-1}$	$3,2 \cdot 10^{-11}$
Ag-106m	8,41 d	0,100	$9,7 \cdot 10^{-9}$	0,050	$6,9 \cdot 10^{-9}$	$4,1 \cdot 10^{-9}$	$2,8 \cdot 10^{-9}$	$1,8 \cdot 10^{-9}$	$1,5 \cdot 10^{-9}$
Ag-108m	$1,27 \cdot 10^2$ r		$2,1 \cdot 10^{-8}$		$1,1 \cdot 10^{-8}$	$6,5 \cdot 10^{-9}$	$4,3 \cdot 10^{-9}$	$2,8 \cdot 10^{-9}$	$2,3 \cdot 10^{-9}$
Ag-110m	250 d		$2,4 \cdot 10^{-8}$		$1,4 \cdot 10^{-8}$	$7,8 \cdot 10^{-9}$	$5,2 \cdot 10^{-9}$	$3,4 \cdot 10^{-9}$	$2,8 \cdot 10^{-9}$
Ag-111	7,45 d		$1,4 \cdot 10^{-8}$		$9,3 \cdot 10^{-9}$	$4,6 \cdot 10^{-9}$	$2,7 \cdot 10^{-9}$	$1,6 \cdot 10^{-9}$	$1,3 \cdot 10^{-9}$
Ag-112	3,12 h		$4,9 \cdot 10^{-9}$		$3,0 \cdot 10^{-9}$	$1,5 \cdot 10^{-9}$	$8,9 \cdot 10^{-10}$	$5,4 \cdot 10^{-1}$	$4,3 \cdot 10^{-10}$
Ag-115	0,333 h		$7,2 \cdot 10^{-10}$		$4,1 \cdot 10^{-10}$	$2,0 \cdot 10^{-10}$	$1,2 \cdot 10^{-10}$	$7,7 \cdot 10^{-1}$	$6,0 \cdot 10^{-11}$
Kadmium									
Cd-104	0,961 h		$4,2 \cdot 10^{-10}$		$2,9 \cdot 10^{-10}$	$1,7 \cdot 10^{-10}$	$1,1 \cdot 10^{-10}$	$7,2 \cdot 10^{-1}$	$5,4 \cdot 10^{-11}$
Cd-107	6,49 h		$7,1 \cdot 10^{-10}$		$4,6 \cdot 10^{-10}$	$2,3 \cdot 10^{-10}$	$1,3 \cdot 10^{-10}$	$7,8 \cdot 10^{-1}$	$6,2 \cdot 10^{-11}$
Cd-109	1,27 r		$2,1 \cdot 10^{-8}$		$9,5 \cdot 10^{-9}$	$5,5 \cdot 10^{-9}$	$3,5 \cdot 10^{-9}$	$2,4 \cdot 10^{-9}$	$2,0 \cdot 10^{-9}$
Cd-113	$9,30 \cdot 10^{15}$ r		$1,0 \cdot 10^{-7}$		$4,8 \cdot 10^{-8}$	$3,7 \cdot 10^{-8}$	$3,0 \cdot 10^{-8}$	$2,6 \cdot 10^{-8}$	$2,5 \cdot 10^{-8}$
Cd-113m	13,6 r	0,100	$1,2 \cdot 10^{-7}$	0,050	$5,6 \cdot 10^{-8}$	$3,9 \cdot 10^{-8}$	$2,9 \cdot 10^{-8}$	$2,4 \cdot 10^{-8}$	$2,3 \cdot 10^{-8}$
Cd-115	2,23 d		$1,4 \cdot 10^{-8}$		$9,7 \cdot 10^{-9}$	$4,9 \cdot 10^{-9}$	$2,9 \cdot 10^{-9}$	$1,7 \cdot 10^{-9}$	$1,4 \cdot 10^{-9}$
Cd-115m	44,6 d		$4,1 \cdot 10^{-8}$		$1,9 \cdot 10^{-8}$	$9,7 \cdot 10^{-9}$	$6,9 \cdot 10^{-9}$	$4,1 \cdot 10^{-9}$	$3,3 \cdot 10^{-9}$
Cd-117	2,49 h		$2,9 \cdot 10^{-9}$		$1,9 \cdot 10^{-9}$	$9,5 \cdot 10^{-10}$	$5,7 \cdot 10^{-10}$	$3,5 \cdot 10^{-1}$	$2,8 \cdot 10^{-10}$
Cd-117m	3,36 h	0,100	$2,6 \cdot 10^{-9}$	0,050	$1,7 \cdot 10^{-9}$	$9,0 \cdot 10^{-10}$	$5,6 \cdot 10^{-10}$	$3,5 \cdot 10^{-1}$	$2,8 \cdot 10^{-10}$
Indium									
In-109	4,20 h		$5,2 \cdot 10^{-10}$		$3,6 \cdot 10^{-10}$	$2,0 \cdot 10^{-10}$	$1,3 \cdot 10^{-10}$	$8,2 \cdot 10^{-1}$	$6,6 \cdot 10^{-11}$
In-110	4,90 h		$1,5 \cdot 10^{-9}$		$1,1 \cdot 10^{-9}$	$6,5 \cdot 10^{-10}$	$4,4 \cdot 10^{-10}$	$3,0 \cdot 10^{-1}$	$2,4 \cdot 10^{-10}$
In-110	1,15 h		$1,1 \cdot 10^{-9}$		$6,4 \cdot 10^{-10}$	$3,2 \cdot 10^{-10}$	$1,9 \cdot 10^{-10}$	$1,3 \cdot 10^{-1}$	$1,0 \cdot 10^{-10}$
In-111	2,83 d		$2,4 \cdot 10^{-9}$		$1,7 \cdot 10^{-9}$	$9,1 \cdot 10^{-10}$	$5,9 \cdot 10^{-10}$	$3,7 \cdot 10^{-1}$	$2,9 \cdot 10^{-10}$
In-112	0,240 h		$1,2 \cdot 10^{-10}$		$6,7 \cdot 10^{-11}$	$3,3 \cdot 10^{-11}$	$1,9 \cdot 10^{-11}$	$1,3 \cdot 10^{-1}$	$1,0 \cdot 10^{-11}$
In-113m	1,66 h	0,040	$3,0 \cdot 10^{-10}$	0,020	$1,8 \cdot 10^{-10}$	$9,3 \cdot 10^{-11}$	$6,2 \cdot 10^{-11}$	$3,6 \cdot 10^{-1}$	$2,8 \cdot 10^{-11}$
In-114m	49,5 d		$5,6 \cdot 10^{-8}$		$3,1 \cdot 10^{-8}$	$1,5 \cdot 10^{-8}$	$9,0 \cdot 10^{-9}$	$5,2 \cdot 10^{-9}$	$4,1 \cdot 10^{-9}$
In-115	$5,10 \cdot 10^{15}$ r		$1,3 \cdot 10^{-7}$		$6,4 \cdot 10^{-8}$	$4,8 \cdot 10^{-8}$	$4,3 \cdot 10^{-8}$	$3,6 \cdot 10^{-8}$	$3,2 \cdot 10^{-8}$
In-115m	4,49 h		$9,6 \cdot 10^{-10}$		$6,0 \cdot 10^{-10}$	$3,0 \cdot 10^{-10}$	$1,8 \cdot 10^{-10}$	$1,1 \cdot 10^{-1}$	$8,6 \cdot 10^{-11}$
In-116m	0,902 h		$5,8 \cdot 10^{-10}$		$3,6 \cdot 10^{-10}$	$1,9 \cdot 10^{-10}$	$1,2 \cdot 10^{-10}$	$8,0 \cdot 10^{-1}$	$6,4 \cdot 10^{-11}$

Tabuľka č. 12: Konverzné faktory h_{ing} na prepočet príjmu rádionuklidov ingesciou na úväzok efektívnej dávky u jednotlivcov z obyvateľstva

prvok nuklid	Polčas premeny	vek < 1 rok		f ₁	h _{ing} (Sv.Bq ⁻¹)				
		f ₁	h _{ing}	> 1 rok	1 - 2	2 - 7	7 - 12	12 - 17	> 17 (dospelí)
In-117	0,730 h		3,3.10 ⁻¹⁰		1,9.10 ⁻¹⁰	9,7.10 ⁻¹¹	5,8.10 ⁻¹¹	3,9.10 ⁻¹	3,1.10 ⁻¹¹
In-117m	1,94 h		1,4.10 ⁻⁹		8,6.10 ⁻¹⁰	4,3.10 ⁻¹⁰	2,5.10 ⁻¹⁰	1,6.10 ⁻¹	1,2.10 ⁻¹⁰
In-119m	0,300 h		5,9.10 ⁻¹⁰		3,2.10 ⁻¹⁰	1,6.10 ⁻¹⁰	8,8.10 ⁻¹¹	6,0.10 ⁻¹	4,7.10 ⁻¹¹
Cín									
Sn-110	4,00 h		3,5.10 ⁻⁹		2,3.10 ⁻⁹	1,2.10 ⁻⁹	7,4.10 ⁻¹⁰	4,4.10 ⁻¹	3,5.10 ⁻¹⁰
Sn-111	0,588 h		2,5.10 ⁻¹⁰		1,5.10 ⁻¹⁰	7,4.10 ⁻¹¹	4,4.10 ⁻¹¹	3,0.10 ⁻¹	2,3.10 ⁻¹¹
Sn-113	115 d		7,8.10 ⁻⁹		5,0.10 ⁻⁹	2,6.10 ⁻⁹	1,6.10 ⁻⁹	9,2.10 ⁻¹	7,3.10 ⁻¹⁰
Sn-117m	13,6 d		7,7.10 ⁻⁹			2,5.10 ⁻⁹	1,5.10 ⁻⁹	8,8.10 ⁻¹	7,1.10 ⁻¹⁰
Sn-119m	293 d		4,1.10 ⁻⁹		2,5.10 ⁻⁹	1,3.10 ⁻⁹	7,5.10 ⁻¹⁰	4,3.10 ⁻¹	3,4.10 ⁻¹⁰
Sn-121	1,13 d		2,6.10 ⁻⁹		1,7.10 ⁻⁹	8,4.10 ⁻¹⁰	5,0.10 ⁻¹⁰	2,8.10 ⁻¹	2,3.10 ⁻¹⁰
Sn-121m	55,0 r	0,040	4,6.10 ⁻⁹	0,020	2,7.10 ⁻⁹	1,4.10 ⁻⁹	8,2.10 ⁻¹⁰	4,7.10 ⁻¹	3,8.10 ⁻¹⁰
Sn-123	129 d		2,5.10 ⁻⁸		1,6.10 ⁻⁸	7,8.10 ⁻⁹	4,6.10 ⁻⁹	2,6.10 ⁻⁹	2,1.10 ⁻⁹
Sn-123m	0,668 h		4,7.10 ⁻¹⁰		2,6.10 ⁻¹⁰	1,3.10 ⁻¹⁰	7,3.10 ⁻¹¹	4,9.10 ⁻¹	3,8.10 ⁻¹¹
Sn-125	9,64 d		3,5.10 ⁻⁸		2,2.10 ⁻⁸	1,1.10 ⁻⁸	6,7.10 ⁻⁹	3,8.10 ⁻⁹	3,1.10 ⁻⁹
Sn-126	1,00.10 ⁵ r		5,0.10 ⁻⁸		3,0.10 ⁻⁸	1,6.10 ⁻⁸	9,8.10 ⁻⁹	5,9.10 ⁻⁹	4,7.10 ⁻⁹
Sn-127	2,10 h		2,0.10 ⁻⁹		1,3.10 ⁻⁹	6,6.10 ⁻¹⁰	4,0.10 ⁻¹⁰	2,5.10 ⁻¹	2,0.10 ⁻¹⁰
Sn-128	0,985 h		1,6.10 ⁻⁹		9,7.10 ⁻¹⁰	4,9.10 ⁻¹⁰	3,0.10 ⁻¹⁰	1,9.10 ⁻¹	1,5.10 ⁻¹⁰
Antimón									
Sb-115	0,530 h		2,5.10 ⁻¹⁰		1,5.10 ⁻¹⁰	7,5.10 ⁻¹¹	4,5.10 ⁻¹¹	3,1.10 ⁻¹	2,4.10 ⁻¹¹
Sb-116	0,263 h		2,7.10 ⁻¹⁰		1,6.10 ⁻¹⁰	8,0.10 ⁻¹¹	4,8.10 ⁻¹¹	3,3.10 ⁻¹	2,6.10 ⁻¹¹
Sb-116m	1,00 h		5,0.10 ⁻¹⁰		3,3.10 ⁻¹⁰	1,9.10 ⁻¹⁰	1,2.10 ⁻¹⁰	8,3.10 ⁻¹	6,7.10 ⁻¹¹
Sb-117	2,80 h		1,6.10 ⁻¹⁰		1,0.10 ⁻¹⁰	5,6.10 ⁻¹¹	3,5.10 ⁻¹¹	2,2.10 ⁻¹	1,8.10 ⁻¹¹
Sb-118m	5,00 h		1,3.10 ⁻⁹		1,0.10 ⁻⁹	5,8.10 ⁻¹⁰	3,9.10 ⁻¹⁰	2,6.10 ⁻¹	2,1.10 ⁻¹⁰
Sb-119	1,59 d		8,4.10 ⁻¹⁰		5,8.10 ⁻¹⁰	3,0.10 ⁻¹⁰	1,8.10 ⁻¹⁰	1,0.10 ⁻¹	8,0.10 ⁻¹¹
Sb-120	5,76 d		8,1.10 ⁻⁹		6,0.10 ⁻⁹	3,5.10 ⁻⁹	2,3.10 ⁻⁹	1,6.10 ⁻⁹	1,2.10 ⁻⁹
Sb-120	0,265 h		1,7.10 ⁻¹⁰		9,4.10 ⁻¹¹	4,6.10 ⁻¹¹	2,7.10 ⁻¹¹	1,8.10 ⁻¹	1,4.10 ⁻¹¹
Sb-122	2,70 d	0,200	1,8.10 ⁻⁸	0,100	1,2.10 ⁻⁸	6,1.10 ⁻⁹	3,7.10 ⁻⁹	2,1.10 ⁻⁹	1,7.10 ⁻⁹
Sb-124	60,2 d		2,5.10 ⁻⁸		1,6.10 ⁻⁸	8,4.10 ⁻⁹	5,2.10 ⁻⁹	3,2.10 ⁻⁹	2,5.10 ⁻⁹
Sb-124m	0,337 h		8,5.10 ⁻¹¹		4,9.10 ⁻¹¹	2,5.10 ⁻¹¹	1,5.10 ⁻¹¹	1,0.10 ⁻¹	8,0.10 ⁻¹²
Sb-125	2,77 r		1,1.10 ⁻⁸		6,1.10 ⁻⁹	3,4.10 ⁻⁹	2,1.10 ⁻⁹	1,4.10 ⁻⁹	1,1.10 ⁻⁹
Sb-126	12,4 d		2,0.10 ⁻⁸		1,4.10 ⁻⁸	7,6.10 ⁻⁹	4,9.10 ⁻⁹	3,1.10 ⁻⁹	2,4.10 ⁻⁹
Sb-126m	0,317 h		3,9.10 ⁻¹⁰		2,2.10 ⁻¹⁰	1,1.10 ⁻¹⁰	6,6.10 ⁻¹¹	4,5.10 ⁻¹	3,6.10 ⁻¹¹
Sb-127	3,85 d		1,7.10 ⁻⁸		1,2.10 ⁻⁸	5,9.10 ⁻⁹	3,6.10 ⁻⁹	2,1.10 ⁻⁹	1,7.10 ⁻⁹
Sb-128	9,01 h		6,3.10 ⁻⁹		4,5.10 ⁻⁹	2,4.10 ⁻⁹	1,5.10 ⁻⁹	9,5.10 ⁻¹	7,6.10 ⁻¹⁰
Sb-128	0,173 h		3,7.10 ⁻¹⁰		2,1.10 ⁻¹⁰	1,0.10 ⁻¹⁰	6,0.10 ⁻¹¹	4,1.10 ⁻¹	3,3.10 ⁻¹¹
Sb-129	4,32 h	0,200	4,3.10 ⁻⁹	0,100	2,8.10 ⁻⁹	1,5.10 ⁻⁹	8,8.10 ⁻¹⁰	5,3.10 ⁻¹	4,2.10 ⁻¹⁰
Sb-130	0,667 h		9,1.10 ⁻¹⁰		5,4.10 ⁻¹⁰	2,8.10 ⁻¹⁰	1,7.10 ⁻¹⁰	1,2.10 ⁻¹	9,1.10 ⁻¹¹
Sb-131	0,383 h		1,1.10 ⁻⁹		7,3.10 ⁻¹⁰	3,9.10 ⁻¹⁰	2,1.10 ⁻¹⁰	1,4.10 ⁻¹	1,0.10 ⁻¹⁰
Telúr									
Te-116	2,49 h		1,4.10 ⁻⁹		1,0.10 ⁻⁹	5,5.10 ⁻¹⁰	3,4.10 ⁻¹⁰	2,1.10 ⁻¹	1,7.10 ⁻¹⁰
Te-121	17,0 d		3,1.10 ⁻⁹		2,0.10 ⁻⁹	1,2.10 ⁻⁹	8,0.10 ⁻¹⁰	5,4.10 ⁻¹	4,3.10 ⁻¹⁰
Te-121m	154 d		2,7.10 ⁻⁸		1,2.10 ⁻⁸	6,9.10 ⁻⁹	4,2.10 ⁻⁹	2,8.10 ⁻⁹	2,3.10 ⁻⁹
Te-123	1,00.10 ¹³ r		2,0.10 ⁻⁸		9,3.10 ⁻⁹	6,9.10 ⁻⁹	5,4.10 ⁻⁹	4,7.10 ⁻⁹	4,4.10 ⁻⁹
Te-123m	120 d	0,600	1,9.10 ⁻⁸	0,300	8,8.10 ⁻⁹	4,9.10 ⁻⁹	2,8.10 ⁻⁹	1,7.10 ⁻⁹	1,4.10 ⁻⁹
Te-125m	58,0 d		1,3.10 ⁻⁸		6,3.10 ⁻⁹	3,3.10 ⁻⁹	1,9.10 ⁻⁹	1,1.10 ⁻⁹	8,7.10 ⁻¹⁰
Te-127	9,35 h		1,5.10 ⁻⁹		1,2.10 ⁻⁹	6,2.10 ⁻¹⁰	3,6.10 ⁻¹⁰	2,1.10 ⁻¹	1,7.10 ⁻¹⁰
Te-127m	109 d		4,1.10 ⁻⁸		1,8.10 ⁻⁸	9,5.10 ⁻⁹	5,2.10 ⁻⁹	3,0.10 ⁻⁹	2,3.10 ⁻⁹
Te-129	1,16 h		7,5.10 ⁻¹⁰		4,4.10 ⁻¹⁰	2,1.10 ⁻¹⁰	1,2.10 ⁻¹⁰	8,0.10 ⁻¹	6,3.10 ⁻¹¹

Tabuľka č. 12: Konverzné faktory h_{ing} na prepočet príjmu rádionuklidov ingesciou na úväzok efektívnej dávky u jednotlivcov z obyvateľstva

prvok nuklid	Polčas premeny	vek < 1 rok		f_1 > 1 rok	h_{ing} (Sv.Bq ⁻¹)				
		f_1	h_{ing}		1 - 2	2 - 7	7 - 12	12 - 17	> 17 (dospelí)
Te-129m	33,6 d		$4,4 \cdot 10^{-8}$		$2,4 \cdot 10^{-8}$	$1,2 \cdot 10^{-8}$	$6,6 \cdot 10^{-9}$	$3,9 \cdot 10^{-9}$	$3,0 \cdot 10^{-9}$
Te-131	0,417 h		$9,0 \cdot 10^{-10}$		$6,6 \cdot 10^{-10}$	$3,5 \cdot 10^{-10}$	$1,9 \cdot 10^{-10}$	$1,2 \cdot 10^{-10}$	$8,7 \cdot 10^{-11}$
Te-131m	1,25 d		$2,0 \cdot 10^{-8}$		$1,4 \cdot 10^{-8}$	$7,8 \cdot 10^{-9}$	$4,3 \cdot 10^{-9}$	$2,7 \cdot 10^{-9}$	$1,9 \cdot 10^{-9}$
Te-132	3,26 d		$4,8 \cdot 10^{-8}$		$3,0 \cdot 10^{-8}$	$1,6 \cdot 10^{-8}$	$8,3 \cdot 10^{-9}$	$5,3 \cdot 10^{-9}$	$3,8 \cdot 10^{-9}$
Te-133	0,207 h		$8,4 \cdot 10^{-10}$		$6,3 \cdot 10^{-10}$	$3,3 \cdot 10^{-10}$	$1,6 \cdot 10^{-10}$	$1,1 \cdot 10^{-10}$	$7,2 \cdot 10^{-11}$
Te-133m	0,923 h		$3,1 \cdot 10^{-9}$		$2,4 \cdot 10^{-9}$	$1,3 \cdot 10^{-9}$	$6,3 \cdot 10^{-10}$	$4,1 \cdot 10^{-10}$	$2,8 \cdot 10^{-10}$
Te-134	0,696 h		$1,1 \cdot 10^{-9}$		$7,5 \cdot 10^{-10}$	$3,9 \cdot 10^{-10}$	$2,2 \cdot 10^{-10}$	$1,4 \cdot 10^{-10}$	$1,1 \cdot 10^{-10}$
Jód									
I-120	1,35 h		$3,9 \cdot 10^{-9}$		$2,8 \cdot 10^{-9}$	$1,4 \cdot 10^{-9}$	$7,2 \cdot 10^{-10}$	$4,8 \cdot 10^{-10}$	$3,4 \cdot 10^{-10}$
I-120m	0,883 h		$2,3 \cdot 10^{-9}$		$1,5 \cdot 10^{-9}$	$7,8 \cdot 10^{-10}$	$4,2 \cdot 10^{-10}$	$2,9 \cdot 10^{-10}$	$2,1 \cdot 10^{-10}$
I-121	2,12 h		$6,2 \cdot 10^{-10}$		$5,3 \cdot 10^{-10}$	$3,1 \cdot 10^{-10}$	$1,7 \cdot 10^{-10}$	$1,2 \cdot 10^{-10}$	$8,2 \cdot 10^{-11}$
I-123	13,2 h		$2,2 \cdot 10^{-9}$		$1,9 \cdot 10^{-9}$	$1,1 \cdot 10^{-9}$	$4,9 \cdot 10^{-10}$	$3,3 \cdot 10^{-10}$	$2,1 \cdot 10^{-10}$
I-124	4,18 d		$1,2 \cdot 10^{-7}$		$1,1 \cdot 10^{-7}$	$6,3 \cdot 10^{-8}$	$3,1 \cdot 10^{-8}$	$2,0 \cdot 10^{-8}$	$1,3 \cdot 10^{-8}$
I-125	60,1 d		$5,2 \cdot 10^{-8}$		$5,7 \cdot 10^{-8}$	$4,1 \cdot 10^{-8}$	$3,1 \cdot 10^{-8}$	$2,2 \cdot 10^{-8}$	$1,5 \cdot 10^{-8}$
I-126	13,0 d		$2,1 \cdot 10^{-7}$		$2,1 \cdot 10^{-7}$	$1,3 \cdot 10^{-7}$	$6,8 \cdot 10^{-8}$	$4,5 \cdot 10^{-8}$	$2,9 \cdot 10^{-8}$
I-128	0,416 h		$5,7 \cdot 10^{-10}$		$3,3 \cdot 10^{-10}$	$1,6 \cdot 10^{-10}$	$8,9 \cdot 10^{-11}$	$6,0 \cdot 10^{-11}$	$4,6 \cdot 10^{-11}$
I-129	$1,57 \cdot 10^7$ r	1,000	$1,8 \cdot 10^{-7}$	1,000	$2,2 \cdot 10^{-7}$	$1,7 \cdot 10^{-7}$	$1,9 \cdot 10^{-7}$	$1,4 \cdot 10^{-7}$	$1,1 \cdot 10^{-7}$
I-130	12,4 h		$2,1 \cdot 10^{-8}$		$1,8 \cdot 10^{-8}$	$9,8 \cdot 10^{-9}$	$4,6 \cdot 10^{-9}$	$3,0 \cdot 10^{-9}$	$2,0 \cdot 10^{-9}$
I-131	8,04 d		$1,8 \cdot 10^{-7}$		$1,8 \cdot 10^{-7}$	$1,0 \cdot 10^{-7}$	$5,2 \cdot 10^{-8}$	$3,4 \cdot 10^{-8}$	$2,2 \cdot 10^{-8}$
I-132	2,30 h		$3,0 \cdot 10^{-9}$		$2,4 \cdot 10^{-9}$	$1,3 \cdot 10^{-9}$	$6,2 \cdot 10^{-10}$	$4,1 \cdot 10^{-10}$	$2,9 \cdot 10^{-10}$
I-132m	1,39 h		$2,4 \cdot 10^{-9}$		$2,0 \cdot 10^{-9}$	$1,1 \cdot 10^{-9}$	$5,0 \cdot 10^{-10}$	$3,3 \cdot 10^{-10}$	$2,2 \cdot 10^{-10}$
I-133	20,8 h		$4,9 \cdot 10^{-8}$		$4,4 \cdot 10^{-8}$	$2,3 \cdot 10^{-8}$	$1,0 \cdot 10^{-8}$	$6,8 \cdot 10^{-9}$	$4,3 \cdot 10^{-9}$
I-134	0,876 h		$1,1 \cdot 10^{-9}$		$7,5 \cdot 10^{-10}$	$3,9 \cdot 10^{-10}$	$2,1 \cdot 10^{-10}$	$1,4 \cdot 10^{-10}$	$1,1 \cdot 10^{-10}$
I-135	6,61 h		$1,0 \cdot 10^{-8}$		$8,9 \cdot 10^{-9}$	$4,7 \cdot 10^{-9}$	$2,2 \cdot 10^{-9}$	$1,4 \cdot 10^{-9}$	$9,3 \cdot 10^{-10}$
Céziom									
Cs-125	0,750 h		$3,9 \cdot 10^{-10}$		$2,2 \cdot 10^{-10}$	$1,1 \cdot 10^{-10}$	$6,5 \cdot 10^{-11}$	$4,4 \cdot 10^{-11}$	$3,5 \cdot 10^{-11}$
Cs-127	6,25 h		$1,8 \cdot 10^{-10}$		$1,2 \cdot 10^{-10}$	$6,6 \cdot 10^{-11}$	$4,2 \cdot 10^{-11}$	$2,9 \cdot 10^{-11}$	$2,4 \cdot 10^{-11}$
Cs-129	1,34 d		$4,4 \cdot 10^{-10}$		$3,0 \cdot 10^{-10}$	$1,7 \cdot 10^{-10}$	$1,1 \cdot 10^{-10}$	$7,2 \cdot 10^{-11}$	$6,0 \cdot 10^{-11}$
Cs-130	0,498 h		$3,3 \cdot 10^{-10}$		$1,8 \cdot 10^{-10}$	$9,0 \cdot 10^{-11}$	$5,2 \cdot 10^{-11}$	$3,6 \cdot 10^{-11}$	$2,8 \cdot 10^{-11}$
Cs-131	9,69 d		$4,6 \cdot 10^{-10}$		$2,9 \cdot 10^{-10}$	$1,6 \cdot 10^{-10}$	$1,0 \cdot 10^{-10}$	$6,9 \cdot 10^{-11}$	$5,8 \cdot 10^{-11}$
Cs-132	6,48 d		$2,7 \cdot 10^{-9}$		$1,8 \cdot 10^{-9}$	$1,1 \cdot 10^{-9}$	$7,7 \cdot 10^{-10}$	$5,7 \cdot 10^{-10}$	$5,0 \cdot 10^{-10}$
Cs-134	2,06 r		$2,6 \cdot 10^{-8}$		$1,6 \cdot 10^{-8}$	$1,3 \cdot 10^{-8}$	$1,4 \cdot 10^{-8}$	$1,9 \cdot 10^{-8}$	$1,9 \cdot 10^{-8}$
Cs-134m	2,90 h		$2,1 \cdot 10^{-10}$		$1,2 \cdot 10^{-10}$	$5,9 \cdot 10^{-11}$	$3,5 \cdot 10^{-11}$	$2,5 \cdot 10^{-11}$	$2,0 \cdot 10^{-11}$
Cs-135	$2,30 \cdot 10^6$ r		$4,1 \cdot 10^{-9}$		$2,3 \cdot 10^{-9}$	$1,7 \cdot 10^{-9}$	$1,7 \cdot 10^{-9}$	$2,0 \cdot 10^{-9}$	$2,0 \cdot 10^{-9}$
Cs-135m	0,883 h		$1,3 \cdot 10^{-10}$		$8,6 \cdot 10^{-11}$	$4,9 \cdot 10^{-11}$	$3,2 \cdot 10^{-11}$	$2,3 \cdot 10^{-11}$	$1,9 \cdot 10^{-11}$
Cs-136	13,1 d		$1,5 \cdot 10^{-8}$		$9,5 \cdot 10^{-9}$	$6,1 \cdot 10^{-9}$	$4,4 \cdot 10^{-9}$	$3,4 \cdot 10^{-9}$	$3,0 \cdot 10^{-9}$
Cs-137	30,0 r		$2,1 \cdot 10^{-8}$		$1,2 \cdot 10^{-8}$	$9,6 \cdot 10^{-9}$	$1,0 \cdot 10^{-8}$	$1,3 \cdot 10^{-8}$	$1,3 \cdot 10^{-8}$
Cs-138	0,536 h		$1,1 \cdot 10^{-9}$		$5,9 \cdot 10^{-10}$	$2,9 \cdot 10^{-10}$	$1,7 \cdot 10^{-10}$	$1,2 \cdot 10^{-10}$	$9,2 \cdot 10^{-11}$
Báryum									
Ba-126	1,61 h		$2,7 \cdot 10^{-9}$		$1,7 \cdot 10^{-9}$	$8,5 \cdot 10^{-10}$	$5,0 \cdot 10^{-10}$	$3,1 \cdot 10^{-10}$	$2,6 \cdot 10^{-10}$
Ba-128	2,43 h		$2,0 \cdot 10^{-8}$		$1,7 \cdot 10^{-8}$	$9,0 \cdot 10^{-9}$	$5,2 \cdot 10^{-9}$	$3,0 \cdot 10^{-9}$	$2,7 \cdot 10^{-9}$
Ba-131	11,8 d		$4,2 \cdot 10^{-9}$		$2,6 \cdot 10^{-9}$	$1,4 \cdot 10^{-9}$	$9,4 \cdot 10^{-10}$	$6,2 \cdot 10^{-10}$	$4,5 \cdot 10^{-10}$
Ba-131m	0,243 h		$5,8 \cdot 10^{-11}$		$3,2 \cdot 10^{-11}$	$1,6 \cdot 10^{-11}$	$9,3 \cdot 10^{-12}$	$6,3 \cdot 10^{-12}$	$4,9 \cdot 10^{-12}$
Ba-133	10,7 r	0,600	$2,2 \cdot 10^{-8}$	0,200	$6,2 \cdot 10^{-9}$	$3,9 \cdot 10^{-9}$	$4,6 \cdot 10^{-9}$	$7,3 \cdot 10^{-9}$	$1,5 \cdot 10^{-9}$
Ba-133m	1,62 d		$4,2 \cdot 10^{-9}$		$3,6 \cdot 10^{-9}$	$1,8 \cdot 10^{-9}$	$1,1 \cdot 10^{-9}$	$5,9 \cdot 10^{-10}$	$5,4 \cdot 10^{-10}$
Ba-135m	1,20 d		$3,3 \cdot 10^{-9}$		$2,9 \cdot 10^{-9}$	$1,5 \cdot 10^{-9}$	$8,5 \cdot 10^{-10}$	$4,7 \cdot 10^{-10}$	$4,3 \cdot 10^{-10}$
Ba-139	1,38 h		$1,4 \cdot 10^{-9}$		$8,4 \cdot 10^{-10}$	$4,1 \cdot 10^{-10}$	$2,4 \cdot 10^{-10}$	$1,5 \cdot 10^{-10}$	$1,2 \cdot 10^{-10}$
Ba-140	12,7 d		$3,2 \cdot 10^{-8}$		$1,8 \cdot 10^{-8}$	$9,2 \cdot 10^{-9}$	$5,8 \cdot 10^{-9}$	$3,7 \cdot 10^{-9}$	$2,6 \cdot 10^{-9}$

Tabuľka č. 12: Konverzné faktory h_{ing} na prepočet príjmu rádionuklidov ingesciou na úväzok efektívnej dávky u jednotlivcov z obyvateľstva

prvok nuklid	Polčas premeny	vek < 1 rok		f_1 > 1 rok	h_{ing} (Sv.Bq ⁻¹)				
		f_1	h_{ing}		1 - 2	2 - 7	7 - 12	12 - 17	> 17 (dospelí)
Ba-141	0,305 h		$7,6 \cdot 10^{-10}$		$4,7 \cdot 10^{-10}$	$2,3 \cdot 10^{-10}$	$1,3 \cdot 10^{-10}$	$8,6 \cdot 10^{-11}$	$7,0 \cdot 10^{-11}$
Ba-142	0,177 h		$3,6 \cdot 10^{-10}$		$2,2 \cdot 10^{-10}$	$1,1 \cdot 10^{-10}$	$6,6 \cdot 10^{-11}$	$4,3 \cdot 10^{-11}$	$3,5 \cdot 10^{-11}$
Lantán									
La-131	0,983 h	0,005	$3,5 \cdot 10^{-10}$	$5,0 \cdot 10^{-4}$	$2,1 \cdot 10^{-10}$	$1,1 \cdot 10^{-10}$	$6,6 \cdot 10^{-11}$	$4,4 \cdot 10^{-11}$	$3,5 \cdot 10^{-11}$
La-132	4,80 h		$3,8 \cdot 10^{-9}$		$2,4 \cdot 10^{-9}$	$1,3 \cdot 10^{-9}$	$7,8 \cdot 10^{-10}$	$4,8 \cdot 10^{-10}$	$3,9 \cdot 10^{-10}$
La-135	19,5 h		$2,8 \cdot 10^{-10}$		$1,9 \cdot 10^{-10}$	$1,0 \cdot 10^{-10}$	$6,4 \cdot 10^{-11}$	$3,9 \cdot 10^{-11}$	$3,0 \cdot 10^{-11}$
La-137	$6,00 \cdot 10^4$ r		$1,1 \cdot 10^{-9}$		$4,5 \cdot 10^{-10}$	$2,5 \cdot 10^{-10}$	$1,6 \cdot 10^{-10}$	$1,0 \cdot 10^{-10}$	$8,1 \cdot 10^{-11}$
La-138	$1,35 \cdot 10^{11}$ r		$1,3 \cdot 10^{-8}$		$4,6 \cdot 10^{-9}$	$2,7 \cdot 10^{-9}$	$1,9 \cdot 10^{-9}$	$1,3 \cdot 10^{-9}$	$1,1 \cdot 10^{-9}$
La-140	1,68 d		$2,0 \cdot 10^{-8}$		$1,3 \cdot 10^{-8}$	$6,8 \cdot 10^{-9}$	$4,2 \cdot 10^{-9}$	$2,5 \cdot 10^{-9}$	$2,0 \cdot 10^{-9}$
La-141	3,93 h		$4,3 \cdot 10^{-9}$		$2,6 \cdot 10^{-9}$	$1,3 \cdot 10^{-9}$	$7,6 \cdot 10^{-10}$	$4,5 \cdot 10^{-10}$	$3,6 \cdot 10^{-10}$
La-142	1,54 h		$1,9 \cdot 10^{-9}$		$1,1 \cdot 10^{-9}$	$5,8 \cdot 10^{-10}$	$3,5 \cdot 10^{-10}$	$2,3 \cdot 10^{-10}$	$1,8 \cdot 10^{-10}$
La-143	0,237 h		$6,9 \cdot 10^{-10}$		$3,9 \cdot 10^{-10}$	$1,9 \cdot 10^{-10}$	$1,1 \cdot 10^{-10}$	$7,1 \cdot 10^{-11}$	$5,6 \cdot 10^{-11}$
Cér									
Ce-134	3,00 d	0,005	$2,8 \cdot 10^{-8}$	$5,0 \cdot 10^{-4}$	$1,8 \cdot 10^{-8}$	$9,1 \cdot 10^{-9}$	$5,5 \cdot 10^{-9}$	$3,2 \cdot 10^{-9}$	$2,5 \cdot 10^{-9}$
Ce-135	17,6 h		$7,0 \cdot 10^{-9}$		$4,7 \cdot 10^{-9}$	$2,6 \cdot 10^{-9}$	$1,6 \cdot 10^{-9}$	$1,0 \cdot 10^{-9}$	$7,9 \cdot 10^{-10}$
Ce-137	9,00 h		$2,6 \cdot 10^{-10}$		$1,7 \cdot 10^{-10}$	$8,8 \cdot 10^{-11}$	$5,4 \cdot 10^{-11}$	$3,2 \cdot 10^{-11}$	$2,5 \cdot 10^{-11}$
Ce-137m	1,43 d		$6,1 \cdot 10^{-9}$		$3,9 \cdot 10^{-9}$	$2,0 \cdot 10^{-9}$	$1,2 \cdot 10^{-9}$	$6,8 \cdot 10^{-10}$	$5,4 \cdot 10^{-10}$
Ce-139	138 d		$2,6 \cdot 10^{-9}$		$1,6 \cdot 10^{-9}$	$8,6 \cdot 10^{-10}$	$5,4 \cdot 10^{-10}$	$3,3 \cdot 10^{-10}$	$2,6 \cdot 10^{-10}$
Ce-141	32,5 d		$8,1 \cdot 10^{-9}$		$5,1 \cdot 10^{-9}$	$2,6 \cdot 10^{-9}$	$1,5 \cdot 10^{-9}$	$8,8 \cdot 10^{-10}$	$7,1 \cdot 10^{-10}$
Ce-143	1,38 d		$1,2 \cdot 10^{-8}$		$8,0 \cdot 10^{-9}$	$4,1 \cdot 10^{-9}$	$2,4 \cdot 10^{-9}$	$1,4 \cdot 10^{-9}$	$1,1 \cdot 10^{-9}$
Ce-144	284 d		$6,6 \cdot 10^{-8}$		$3,9 \cdot 10^{-8}$	$1,9 \cdot 10^{-8}$	$1,1 \cdot 10^{-8}$	$6,5 \cdot 10^{-9}$	$5,2 \cdot 10^{-9}$
Prazeodým									
Pr-136	0,218 h	0,005	$3,7 \cdot 10^{-10}$	$5,0 \cdot 10^{-4}$	$2,1 \cdot 10^{-10}$	$1,0 \cdot 10^{-10}$	$6,1 \cdot 10^{-11}$	$4,2 \cdot 10^{-11}$	$3,3 \cdot 10^{-11}$
Pr-137	1,28 h		$4,1 \cdot 10^{-10}$		$2,5 \cdot 10^{-10}$	$1,3 \cdot 10^{-10}$	$7,7 \cdot 10^{-11}$	$5,0 \cdot 10^{-11}$	$4,0 \cdot 10^{-11}$
Pr-138m	2,10 h		$1,0 \cdot 10^{-9}$		$7,4 \cdot 10^{-10}$	$4,1 \cdot 10^{-10}$	$2,6 \cdot 10^{-10}$	$1,6 \cdot 10^{-10}$	$1,3 \cdot 10^{-10}$
Pr-139	4,51 h		$3,2 \cdot 10^{-10}$		$2,0 \cdot 10^{-10}$	$1,1 \cdot 10^{-10}$	$6,5 \cdot 10^{-11}$	$4,0 \cdot 10^{-11}$	$3,1 \cdot 10^{-11}$
Pr-142	19,1 h		$1,5 \cdot 10^{-8}$		$9,8 \cdot 10^{-9}$	$4,9 \cdot 10^{-9}$	$2,9 \cdot 10^{-9}$	$1,6 \cdot 10^{-9}$	$1,3 \cdot 10^{-9}$
Pr-142m	0,243 h		$2,0 \cdot 10^{-10}$		$1,2 \cdot 10^{-10}$	$6,2 \cdot 10^{-11}$	$3,7 \cdot 10^{-11}$	$2,1 \cdot 10^{-11}$	$1,7 \cdot 10^{-11}$
Pr-143	13,6 d		$1,4 \cdot 10^{-8}$		$8,7 \cdot 10^{-9}$	$4,3 \cdot 10^{-9}$	$2,6 \cdot 10^{-9}$	$1,5 \cdot 10^{-9}$	$1,2 \cdot 10^{-9}$
Pr-144	0,288 h		$6,4 \cdot 10^{-10}$		$3,5 \cdot 10^{-10}$	$1,7 \cdot 10^{-10}$	$9,5 \cdot 10^{-11}$	$6,5 \cdot 10^{-11}$	$5,0 \cdot 10^{-11}$
Pr-145	5,98 h		0,005		$4,7 \cdot 10^{-9}$	$5,0 \cdot 10^{-4}$	$2,9 \cdot 10^{-9}$	$1,4 \cdot 10^{-9}$	$8,5 \cdot 10^{-10}$
Pr-147	0,227 h	$3,9 \cdot 10^{-10}$		$2,2 \cdot 10^{-10}$	$1,1 \cdot 10^{-10}$		$6,1 \cdot 10^{-11}$	$4,2 \cdot 10^{-11}$	$3,3 \cdot 10^{-11}$
Neodým									
Nd-136	0,844 h	0,005	$1,0 \cdot 10^{-9}$	$5,0 \cdot 10^{-4}$	$6,1 \cdot 10^{-10}$	$3,1 \cdot 10^{-10}$	$1,9 \cdot 10^{-10}$	$1,2 \cdot 10^{-10}$	$9,9 \cdot 10^{-11}$
Nd-138	5,04 h		$7,2 \cdot 10^{-9}$		$4,5 \cdot 10^{-9}$	$2,3 \cdot 10^{-9}$	$1,3 \cdot 10^{-9}$	$8,0 \cdot 10^{-10}$	$6,4 \cdot 10^{-10}$
Nd-139	0,495 h		$2,1 \cdot 10^{-10}$		$1,2 \cdot 10^{-10}$	$6,3 \cdot 10^{-11}$	$3,7 \cdot 10^{-11}$	$2,5 \cdot 10^{-11}$	$2,0 \cdot 10^{-11}$
Nd-139m	5,50 h		$2,1 \cdot 10^{-9}$		$1,4 \cdot 10^{-9}$	$7,8 \cdot 10^{-10}$	$5,0 \cdot 10^{-10}$	$3,1 \cdot 10^{-10}$	$2,5 \cdot 10^{-10}$
Nd-141	2,49 h		$7,8 \cdot 10^{-11}$		$5,0 \cdot 10^{-11}$	$2,7 \cdot 10^{-11}$	$1,6 \cdot 10^{-11}$	$1,0 \cdot 10^{-11}$	$8,3 \cdot 10^{-12}$
Nd-147	11,0 d		$1,2 \cdot 10^{-8}$		$7,8 \cdot 10^{-9}$	$3,9 \cdot 10^{-9}$	$2,3 \cdot 10^{-9}$	$1,3 \cdot 10^{-9}$	$1,1 \cdot 10^{-9}$
Nd-149	1,73 h		$1,4 \cdot 10^{-9}$		$8,7 \cdot 10^{-10}$	$4,3 \cdot 10^{-10}$	$2,6 \cdot 10^{-10}$	$1,6 \cdot 10^{-10}$	$1,2 \cdot 10^{-10}$
Nd-151	0,207 h		$3,4 \cdot 10^{-10}$		$2,0 \cdot 10^{-10}$	$9,7 \cdot 10^{-11}$	$5,7 \cdot 10^{-11}$	$3,8 \cdot 10^{-11}$	$3,0 \cdot 10^{-11}$
Prométium									
Pm-141	0,348 h	0,005	$4,2 \cdot 10^{-10}$	$5,0 \cdot 10^{-4}$	$2,4 \cdot 10^{-10}$	$1,2 \cdot 10^{-10}$	$6,8 \cdot 10^{-11}$	$4,6 \cdot 10^{-11}$	$3,6 \cdot 10^{-11}$
Pm-143	265 d		$1,9 \cdot 10^{-9}$		$1,2 \cdot 10^{-9}$	$6,7 \cdot 10^{-10}$	$4,4 \cdot 10^{-10}$	$2,9 \cdot 10^{-10}$	$2,3 \cdot 10^{-10}$
Pm-144	363 d		$7,6 \cdot 10^{-9}$		$4,7 \cdot 10^{-9}$	$2,7 \cdot 10^{-9}$	$1,8 \cdot 10^{-9}$	$1,2 \cdot 10^{-9}$	$9,7 \cdot 10^{-10}$
Pm-145	17,7 r		$1,5 \cdot 10^{-9}$		$6,8 \cdot 10^{-10}$	$3,7 \cdot 10^{-10}$	$2,3 \cdot 10^{-10}$	$1,4 \cdot 10^{-10}$	$1,1 \cdot 10^{-10}$
Pm-146	5,53 r		$1,0 \cdot 10^{-8}$		$5,1 \cdot 10^{-9}$	$2,8 \cdot 10^{-9}$	$1,8 \cdot 10^{-9}$	$1,1 \cdot 10^{-9}$	$9,0 \cdot 10^{-10}$
Pm-147	2,62 r		$3,6 \cdot 10^{-9}$		$1,9 \cdot 10^{-9}$	$9,6 \cdot 10^{-10}$	$5,7 \cdot 10^{-10}$	$3,2 \cdot 10^{-10}$	$2,6 \cdot 10^{-10}$

Tabuľka č. 12: Konverzné faktory h_{ing} na prepočet príjmu rádionuklidov ingesciou na úväzok efektívnej dávky u jednotlivcov z obyvateľstva

prvok nuklid	Polčas premeny	vek < 1 rok		f_1 > 1 rok	h_{ing} (Sv.Bq ⁻¹)				
		f_1	h_{ing}		1 - 2	2 - 7	7 - 12	12 - 17	> 17 (dospelí)
Pm-148	5,37 d		$3,0 \cdot 10^{-8}$		$1,9 \cdot 10^{-8}$	$9,7 \cdot 10^{-9}$	$5,8 \cdot 10^{-9}$	$3,3 \cdot 10^{-9}$	$2,7 \cdot 10^{-9}$
Pm-148m	41,3 d		$1,5 \cdot 10^{-8}$		$1,0 \cdot 10^{-8}$	$5,5 \cdot 10^{-9}$	$3,5 \cdot 10^{-9}$	$2,2 \cdot 10^{-9}$	$1,7 \cdot 10^{-9}$
Pm-149	2,21 d		$1,2 \cdot 10^{-8}$		$7,4 \cdot 10^{-9}$	$3,7 \cdot 10^{-9}$	$2,2 \cdot 10^{-9}$	$1,2 \cdot 10^{-9}$	$9,9 \cdot 10^{-10}$
Pm-150	2,68 h		$2,8 \cdot 10^{-9}$		$1,7 \cdot 10^{-9}$	$8,7 \cdot 10^{-10}$	$5,2 \cdot 10^{-10}$	$3,2 \cdot 10^{-10}$	$2,6 \cdot 10^{-10}$
Pm-151	1,18 d		$8,0 \cdot 10^{-9}$		$5,1 \cdot 10^{-9}$	$2,6 \cdot 10^{-9}$	$1,6 \cdot 10^{-9}$	$9,1 \cdot 10^{-10}$	$7,3 \cdot 10^{-10}$
Samárium									
Sm-141	0,170 h		$4,5 \cdot 10^{-10}$		$2,5 \cdot 10^{-10}$	$1,3 \cdot 10^{-10}$	$7,3 \cdot 10^{-11}$	$5,0 \cdot 10^{-11}$	$3,9 \cdot 10^{-11}$
Sm-141m	0,377 h		$7,0 \cdot 10^{-10}$		$4,0 \cdot 10^{-10}$	$2,0 \cdot 10^{-10}$	$1,2 \cdot 10^{-10}$	$8,2 \cdot 10^{-11}$	$6,5 \cdot 10^{-11}$
Sm-142	1,21 h		$2,2 \cdot 10^{-9}$		$1,3 \cdot 10^{-9}$	$6,2 \cdot 10^{-10}$	$3,6 \cdot 10^{-10}$	$2,4 \cdot 10^{-10}$	$1,9 \cdot 10^{-10}$
Sm-145	340 d		$2,4 \cdot 10^{-9}$		$1,4 \cdot 10^{-9}$	$7,3 \cdot 10^{-10}$	$4,5 \cdot 10^{-10}$	$2,7 \cdot 10^{-10}$	$2,1 \cdot 10^{-10}$
Sm-146	$1,03 \cdot 10^8$ r		$1,5 \cdot 10^{-6}$		$1,5 \cdot 10^{-7}$	$1,0 \cdot 10^{-7}$	$7,0 \cdot 10^{-8}$	$5,8 \cdot 10^{-8}$	$5,4 \cdot 10^{-8}$
Sm-147	$1,06 \cdot 10^{11}$ r		$1,4 \cdot 10^{-6}$		$1,4 \cdot 10^{-7}$	$9,2 \cdot 10^{-8}$	$6,4 \cdot 10^{-8}$	$5,2 \cdot 10^{-8}$	$4,9 \cdot 10^{-8}$
Sm-151	90,0 r		$1,5 \cdot 10^{-9}$		$6,4 \cdot 10^{-10}$	$3,3 \cdot 10^{-10}$	$2,0 \cdot 10^{-10}$	$1,2 \cdot 10^{-10}$	$9,8 \cdot 10^{-11}$
Sm-153	1,95 d		$8,4 \cdot 10^{-9}$		$5,4 \cdot 10^{-9}$	$2,7 \cdot 10^{-9}$	$1,6 \cdot 10^{-9}$	$9,2 \cdot 10^{-10}$	$7,4 \cdot 10^{-10}$
Sm-155	0,368 h		$3,6 \cdot 10^{-10}$		$2,0 \cdot 10^{-10}$	$9,7 \cdot 10^{-11}$	$5,5 \cdot 10^{-11}$	$3,7 \cdot 10^{-11}$	$2,9 \cdot 10^{-11}$
Sm-156	9,40 h		$2,8 \cdot 10^{-9}$		$1,8 \cdot 10^{-9}$	$9,0 \cdot 10^{-10}$	$5,4 \cdot 10^{-10}$	$3,1 \cdot 10^{-10}$	$2,5 \cdot 10^{-10}$
Európium									
Eu-145	5,94 d		$5,1 \cdot 10^{-9}$		$3,7 \cdot 10^{-9}$	$2,1 \cdot 10^{-9}$	$1,4 \cdot 10^{-9}$	$9,4 \cdot 10^{-10}$	$7,5 \cdot 10^{-10}$
Eu-146	4,61 d		$8,5 \cdot 10^{-9}$		$6,2 \cdot 10^{-9}$	$3,6 \cdot 10^{-9}$	$2,4 \cdot 10^{-9}$	$1,6 \cdot 10^{-9}$	$1,3 \cdot 10^{-9}$
Eu-147	24,0 d		$3,7 \cdot 10^{-9}$		$2,5 \cdot 10^{-9}$	$1,4 \cdot 10^{-9}$	$8,9 \cdot 10^{-10}$	$5,6 \cdot 10^{-10}$	$4,4 \cdot 10^{-10}$
Eu-148	54,5 d		$8,5 \cdot 10^{-9}$		$6,0 \cdot 10^{-9}$	$3,5 \cdot 10^{-9}$	$2,4 \cdot 10^{-9}$	$1,6 \cdot 10^{-9}$	$1,3 \cdot 10^{-9}$
Eu-149	93,1 d		$9,7 \cdot 10^{-10}$		$6,3 \cdot 10^{-10}$	$3,4 \cdot 10^{-10}$	$2,1 \cdot 10^{-10}$	$1,3 \cdot 10^{-10}$	$1,0 \cdot 10^{-10}$
Eu-150	34,2 r		$1,3 \cdot 10^{-8}$		$5,7 \cdot 10^{-9}$	$3,4 \cdot 10^{-9}$	$2,3 \cdot 10^{-9}$	$1,5 \cdot 10^{-9}$	$1,3 \cdot 10^{-9}$
Eu-150	12,6 h		$4,4 \cdot 10^{-9}$		$2,8 \cdot 10^{-9}$	$1,4 \cdot 10^{-9}$	$8,2 \cdot 10^{-10}$	$4,7 \cdot 10^{-10}$	$3,8 \cdot 10^{-10}$
Eu-152	13,3 r		$1,6 \cdot 10^{-8}$		$7,4 \cdot 10^{-9}$	$4,1 \cdot 10^{-9}$	$2,6 \cdot 10^{-9}$	$1,7 \cdot 10^{-9}$	$1,4 \cdot 10^{-9}$
Eu-152m	9,32 h		$5,7 \cdot 10^{-9}$		$3,6 \cdot 10^{-9}$	$1,8 \cdot 10^{-9}$	$1,1 \cdot 10^{-9}$	$6,2 \cdot 10^{-10}$	$5,0 \cdot 10^{-10}$
Eu-154	8,80 r		$2,5 \cdot 10^{-8}$		$1,2 \cdot 10^{-8}$	$6,5 \cdot 10^{-9}$	$4,1 \cdot 10^{-9}$	$2,5 \cdot 10^{-9}$	$2,0 \cdot 10^{-9}$
Eu-155	4,96 r		$4,3 \cdot 10^{-9}$		$2,2 \cdot 10^{-9}$	$1,1 \cdot 10^{-9}$	$6,8 \cdot 10^{-10}$	$4,0 \cdot 10^{-10}$	$3,2 \cdot 10^{-10}$
Eu-156	15,2 d		$2,2 \cdot 10^{-8}$		$1,5 \cdot 10^{-8}$	$7,5 \cdot 10^{-9}$	$4,6 \cdot 10^{-9}$	$2,7 \cdot 10^{-9}$	$2,2 \cdot 10^{-9}$
Eu-157	15,1 h		$6,7 \cdot 10^{-9}$		$4,3 \cdot 10^{-9}$	$2,2 \cdot 10^{-9}$	$1,3 \cdot 10^{-9}$	$7,5 \cdot 10^{-10}$	$6,0 \cdot 10^{-10}$
Eu-158	0,765 h		$1,1 \cdot 10^{-9}$		$6,2 \cdot 10^{-10}$	$3,1 \cdot 10^{-10}$	$1,8 \cdot 10^{-10}$	$1,2 \cdot 10^{-10}$	$9,4 \cdot 10^{-11}$
Gadolínium									
Gd-145	0,382 h		$4,5 \cdot 10^{-10}$		$2,6 \cdot 10^{-10}$	$1,3 \cdot 10^{-10}$	$8,1 \cdot 10^{-11}$	$5,6 \cdot 10^{-11}$	$4,4 \cdot 10^{-11}$
Gd-146	48,3 d		$9,4 \cdot 10^{-9}$		$6,0 \cdot 10^{-9}$	$3,2 \cdot 10^{-9}$	$2,0 \cdot 10^{-9}$	$1,2 \cdot 10^{-9}$	$9,6 \cdot 10^{-10}$
Gd-147	1,59 d		$4,5 \cdot 10^{-9}$		$3,2 \cdot 10^{-9}$	$1,8 \cdot 10^{-9}$	$1,2 \cdot 10^{-9}$	$7,7 \cdot 10^{-10}$	$6,1 \cdot 10^{-10}$
Gd-148	93,0 r		$1,7 \cdot 10^{-6}$		$1,6 \cdot 10^{-7}$	$1,1 \cdot 10^{-7}$	$7,3 \cdot 10^{-8}$	$5,9 \cdot 10^{-8}$	$5,6 \cdot 10^{-8}$
Gd-149	9,40 d		$4,0 \cdot 10^{-9}$		$2,7 \cdot 10^{-9}$	$1,5 \cdot 10^{-9}$	$9,3 \cdot 10^{-10}$	$5,7 \cdot 10^{-10}$	$4,5 \cdot 10^{-10}$
Gd-151	120 d		$2,1 \cdot 10^{-9}$		$1,3 \cdot 10^{-9}$	$6,8 \cdot 10^{-10}$	$4,2 \cdot 10^{-10}$	$2,4 \cdot 10^{-10}$	$2,0 \cdot 10^{-10}$
Gd-152	$1,08 \cdot 10^{14}$ r		$1,2 \cdot 10^{-6}$		$1,2 \cdot 10^{-7}$	$7,7 \cdot 10^{-8}$	$5,3 \cdot 10^{-8}$	$4,3 \cdot 10^{-8}$	$4,1 \cdot 10^{-8}$
Gd-153	242 d		$2,9 \cdot 10^{-9}$		$1,8 \cdot 10^{-9}$	$9,4 \cdot 10^{-10}$	$5,8 \cdot 10^{-10}$	$3,4 \cdot 10^{-10}$	$2,7 \cdot 10^{-10}$
Gd-159	18,6 h		$5,7 \cdot 10^{-9}$		$3,6 \cdot 10^{-9}$	$1,8 \cdot 10^{-9}$	$1,1 \cdot 10^{-9}$	$6,2 \cdot 10^{-10}$	$4,9 \cdot 10^{-10}$
Terbium									
Tb-147	1,65 h		$1,5 \cdot 10^{-9}$		$1,0 \cdot 10^{-9}$	$5,4 \cdot 10^{-10}$	$3,3 \cdot 10^{-10}$	$2,0 \cdot 10^{-10}$	$1,6 \cdot 10^{-10}$
Tb-149	4,15 h		$2,4 \cdot 10^{-9}$		$1,5 \cdot 10^{-9}$	$8,0 \cdot 10^{-10}$	$5,0 \cdot 10^{-10}$	$3,1 \cdot 10^{-10}$	$2,5 \cdot 10^{-10}$
Tb-150	3,27 h		$2,5 \cdot 10^{-9}$		$1,6 \cdot 10^{-9}$	$8,3 \cdot 10^{-10}$	$5,1 \cdot 10^{-10}$	$3,2 \cdot 10^{-10}$	$2,5 \cdot 10^{-10}$
Tb-151	17,6 h		$2,7 \cdot 10^{-9}$		$1,9 \cdot 10^{-9}$	$1,0 \cdot 10^{-9}$	$6,7 \cdot 10^{-10}$	$4,2 \cdot 10^{-10}$	$3,4 \cdot 10^{-10}$
Tb-153	2,34 d		$2,3 \cdot 10^{-9}$		$1,5 \cdot 10^{-9}$	$8,2 \cdot 10^{-10}$	$5,1 \cdot 10^{-10}$	$3,1 \cdot 10^{-10}$	$2,5 \cdot 10^{-10}$
Tb-154	21,4 h		$4,7 \cdot 10^{-9}$		$3,4 \cdot 10^{-9}$	$1,9 \cdot 10^{-9}$	$1,3 \cdot 10^{-9}$	$8,1 \cdot 10^{-10}$	$6,5 \cdot 10^{-10}$

Tabuľka č. 12: Konverzné faktory h_{ing} na prepočet príjmu rádionuklidov ingesciou na úväzok efektívnej dávky u jednotlivcov z obyvateľstva

prvok nuklid	Polčas premeny	vek < 1 rok		f_1	h_{ing} (Sv.Bq ⁻¹)				
		f_1	h_{ing}	> 1 rok	1 - 2	2 - 7	7 - 12	12 - 17	> 17 (dospelí)
Tb-155	5,32 d		1,9.10 ⁻⁹		1,3.10 ⁻⁹	6,8.10 ⁻¹⁰	4,3.10 ⁻¹⁰	2,6.10 ⁻¹	2,1.10 ⁻¹⁰
Tb-156	5,34 d		9,0.10 ⁻⁹		6,3.10 ⁻⁹	3,5.10 ⁻⁹	2,3.10 ⁻⁹	1,5.10 ⁻⁹	1,2.10 ⁻⁹
Tb-156m	1,02 d		1,5.10 ⁻⁹		1,0.10 ⁻⁹	5,6.10 ⁻¹⁰	3,5.10 ⁻¹⁰	2,2.10 ⁻¹	1,7.10 ⁻¹⁰
Tb-156m	5,00 h		8,0.10 ⁻¹⁰		5,2.10 ⁻¹⁰	2,7.10 ⁻¹⁰	1,7.10 ⁻¹⁰	1,0.10 ⁻¹	8,1.10 ⁻¹¹
Tb-157	1,50.10 ² r		4,9.10 ⁻¹⁰		2,2.10 ⁻¹⁰	1,1.10 ⁻¹⁰	6,8.10 ⁻¹¹	4,1.10 ⁻¹	3,4.10 ⁻¹¹
Tb-158	1,50.10 ² r		1,3.10 ⁻⁸		5,9.10 ⁻⁹	3,3.10 ⁻⁹	2,1.10 ⁻⁹	1,4.10 ⁻⁹	1,1.10 ⁻⁹
Tb-160	72,3 d		1,6.10 ⁻⁸		1,0.10 ⁻⁸	5,4.10 ⁻⁹	3,3.10 ⁻⁹	2,0.10 ⁻⁹	1,6.10 ⁻⁹
Tb-161	6,91 d		8,3.10 ⁻⁹		5,3.10 ⁻⁹	2,7.10 ⁻⁹	1,6.10 ⁻⁹	9,0.10 ⁻¹	7,2.10 ⁻¹⁰
Dyspróziium									
Dy-155	10,0 h		9,7.10 ⁻¹⁰		6,8.10 ⁻¹⁰	3,8.10 ⁻¹⁰	2,5.10 ⁻¹⁰	1,6.10 ⁻¹	1,3.10 ⁻¹⁰
Dy-157	8,10 h		4,4.10 ⁻¹⁰		3,1.10 ⁻¹⁰	1,8.10 ⁻¹⁰	1,2.10 ⁻¹⁰	7,7.10 ⁻¹	6,1.10 ⁻¹¹
Dy-159	144 d	0,005	1,0.10 ⁻⁹	5,0.10 ⁻⁴	6,4.10 ⁻¹⁰	3,4.10 ⁻¹⁰	2,1.10 ⁻¹⁰	1,3.10 ⁻¹	1,0.10 ⁻¹⁰
Dy-165	2,33 h		1,3.10 ⁻⁹		7,9.10 ⁻¹⁰	3,9.10 ⁻¹⁰	2,3.10 ⁻¹⁰	1,4.10 ⁻¹	
Dy-166	3,40 d		1,9.10 ⁻⁸		1,2.10 ⁻⁸	6,0.10 ⁻⁹	3,6.10 ⁻⁹	2,0.10 ⁻⁹	1,6.10 ⁻⁹
Holmium									
Ho-155	0,800 h		3,8.10 ⁻¹⁰		2,3.10 ⁻¹⁰	1,2.10 ⁻¹⁰	7,1.10 ⁻¹¹	4,7.10 ⁻¹	3,7.10 ⁻¹¹
Ho-157	0,210 h		5,8.10 ⁻¹¹		3,6.10 ⁻¹¹	1,9.10 ⁻¹¹	1,2.10 ⁻¹¹	8,1.10 ⁻¹	6,5.10 ⁻¹²
Ho-159	0,550 h		7,1.10 ⁻¹¹		4,3.10 ⁻¹¹	2,3.10 ⁻¹¹	1,4.10 ⁻¹¹	9,9.10 ⁻¹	7,9.10 ⁻¹²
Ho-161	2,50 h		1,4.10 ⁻¹⁰		8,1.10 ⁻¹¹	4,2.10 ⁻¹¹	2,5.10 ⁻¹¹	1,6.10 ⁻¹	1,3.10 ⁻¹¹
Ho-162	0,250 h		3,5.10 ⁻¹¹		2,0.10 ⁻¹¹	1,0.10 ⁻¹¹	6,0.10 ⁻¹²	4,2.10 ⁻¹	3,3.10 ⁻¹²
Ho-162m	1,13 h	0,005	2,4.10 ⁻¹⁰	5,0.10 ⁻⁴	1,5.10 ⁻¹⁰	7,9.10 ⁻¹¹	4,9.10 ⁻¹¹	3,3.10 ⁻¹	2,6.10 ⁻¹¹
Ho-164	0,483 h		1,2.10 ⁻¹⁰		6,5.10 ⁻¹¹	3,2.10 ⁻¹¹	1,8.10 ⁻¹¹	1,2.10 ⁻¹	9,5.10 ⁻¹²
Ho-164m	0,625 h		2,0.10 ⁻¹⁰		1,1.10 ⁻¹⁰	5,5.10 ⁻¹¹	3,2.10 ⁻¹¹	2,1.10 ⁻¹	1,6.10 ⁻¹¹
Ho-166	1,12 d		1,6.10 ⁻⁸		1,0.10 ⁻⁸	5,2.10 ⁻⁹	3,1.10 ⁻⁹	1,7.10 ⁻⁹	1,4.10 ⁻⁹
Ho-166m	1,20.10 ³ r		2,6.10 ⁻⁸		9,3.10 ⁻⁹	5,3.10 ⁻⁹	3,5.10 ⁻⁹	2,4.10 ⁻⁹	2,0.10 ⁻⁹
Ho-167	3,10 h		8,8.10 ⁻¹⁰		5,5.10 ⁻¹⁰	2,8.10 ⁻¹⁰	1,7.10 ⁻¹⁰	1,0.10 ⁻¹	8,3.10 ⁻¹¹
Erbium									
Er-161	3,24 h		6,5.10 ⁻¹⁰		4,4.10 ⁻¹⁰	2,4.10 ⁻¹⁰	1,6.10 ⁻¹⁰	1,0.10 ⁻¹	8,0.10 ⁻¹¹
Er-165	10,4 h		1,7.10 ⁻¹⁰		1,1.10 ⁻¹⁰	6,2.10 ⁻¹¹	3,9.10 ⁻¹¹	2,4.10 ⁻¹	1,9.10 ⁻¹¹
Er-169	9,30 d	0,005	4,4.10 ⁻⁹	5,0.10 ⁻⁴	2,8.10 ⁻⁹	1,4.10 ⁻⁹	8,2.10 ⁻¹⁰	4,7.10 ⁻¹	3,7.10 ⁻¹⁰
Er-171	7,52 h		4,0.10 ⁻⁹		2,5.10 ⁻⁹	1,3.10 ⁻⁹	7,6.10 ⁻¹⁰	4,5.10 ⁻¹	3,6.10 ⁻¹⁰
Er-172	2,05 d		1,0.10 ⁻⁸		6,8.10 ⁻⁹	3,5.10 ⁻⁹	2,1.10 ⁻⁹	1,3.10 ⁻⁹	1,0.10 ⁻⁹
Túlium									
Tm-162	0,362 h		2,9.10 ⁻¹⁰		1,7.10 ⁻¹⁰	8,7.10 ⁻¹¹	5,2.10 ⁻¹¹	3,6.10 ⁻¹	2,9.10 ⁻¹¹
Tm-166	7,70 h		2,1.10 ⁻⁹		1,5.10 ⁻⁹	8,3.10 ⁻¹⁰	5,5.10 ⁻¹⁰	3,5.10 ⁻¹	2,8.10 ⁻¹⁰
Tm-167	9,24 d		6,0.10 ⁻⁹		3,9.10 ⁻⁹	2,0.10 ⁻⁹	1,2.10 ⁻⁹	7,0.10 ⁻¹	5,6.10 ⁻¹⁰
Tm-170	129 d	0,005	1,6.10 ⁻⁸	5,0.10 ⁻⁴	9,8.10 ⁻⁹	4,9.10 ⁻⁹	2,9.10 ⁻⁹	1,6.10 ⁻⁹	1,3.10 ⁻⁹
Tm-171	1,92 r		1,5.10 ⁻⁹		7,8.10 ⁻¹⁰	3,9.10 ⁻¹⁰	2,3.10 ⁻¹⁰	1,3.10 ⁻¹	1,1.10 ⁻¹⁰
Tm-172	2,65 d		1,9.10 ⁻⁸		1,2.10 ⁻⁸	6,1.10 ⁻⁹	3,7.10 ⁻⁹	2,1.10 ⁻⁹	1,7.10 ⁻⁹
Tm-173	8,24 h		3,3.10 ⁻⁹		2,1.10 ⁻⁹	1,1.10 ⁻⁹	6,5.10 ⁻¹⁰	3,8.10 ⁻¹	3,1.10 ⁻¹⁰
Tm-175	0,253 h		3,1.10 ⁻¹⁰		1,7.10 ⁻¹⁰	8,6.10 ⁻¹¹	5,0.10 ⁻¹¹	3,4.10 ⁻¹	2,7.10 ⁻¹¹
Yterbium									
Yb-162	0,315 h		2,2.10 ⁻¹⁰		1,3.10 ⁻¹⁰	6,9.10 ⁻¹¹	4,2.10 ⁻¹¹	2,9.10 ⁻¹	2,3.10 ⁻¹¹
Yb-166	2,36 d		7,7.10 ⁻⁹		5,4.10 ⁻⁹	2,9.10 ⁻⁹	1,9.10 ⁻⁹	1,2.10 ⁻⁹	9,5.10 ⁻¹⁰
Yb-167	0,292 h		7,0.10 ⁻¹¹		4,1.10 ⁻¹¹	2,1.10 ⁻¹¹	1,2.10 ⁻¹¹	8,4.10 ⁻¹	6,7.10 ⁻¹²
Yb-169	32,0 d	0,005	7,1.10 ⁻⁹	5,0.10 ⁻⁴	4,6.10 ⁻⁹	2,4.10 ⁻⁹	1,5.10 ⁻⁹	8,8.10 ⁻¹	7,1.10 ⁻¹⁰
Yb-175	4,19 d		5,0.10 ⁻⁹		3,2.10 ⁻⁹	1,6.10 ⁻⁹	9,5.10 ⁻¹⁰	5,4.10 ⁻¹	4,4.10 ⁻¹⁰
Yb-177	1,90 h		1,0.10 ⁻⁹		6,8.10 ⁻¹⁰	3,4.10 ⁻¹⁰	2,0.10 ⁻¹⁰	1,1.10 ⁻¹	8,8.10 ⁻¹¹

Tabuľka č. 12: Konverzné faktory h_{ing} na prepočet príjmu rádionuklidov ingesciou na úväzok efektívnej dávky u jednotlivcov z obyvateľstva

prvok nuklid	Polčas premeny	vek < 1 rok		f_1 > 1 rok	h_{ing} (Sv.Bq ⁻¹)						
		f_1	h_{ing}		1 - 2	2 - 7	7 - 12	12 - 17	> 17 (dospelí)		
Yb-178	1,23 h		1,4.10 ⁻⁹		8,4.10 ⁻¹⁰	4,2.10 ⁻¹⁰	2,4.10 ⁻¹⁰	1,5.10 ⁻¹	1,2.10 ⁻¹⁰		
Lutécium											
Lu-169	1,42 d	0,005	3,5.10 ⁻⁹	5,0.10 ⁻⁴	2,4.10 ⁻⁹	1,4.10 ⁻⁹	8,9.10 ⁻¹⁰	5,7.10 ⁻¹	4,6.10 ⁻¹⁰		
Lu-170	2,00 d		7,4.10 ⁻⁹		5,2.10 ⁻⁹	2,9.10 ⁻⁹	1,9.10 ⁻⁹	1,2.10 ⁻⁹	9,9.10 ⁻¹⁰		
Lu-171	8,22 d		5,9.10 ⁻⁹		4,0.10 ⁻⁹	2,2.10 ⁻⁹	1,4.10 ⁻⁹	8,5.10 ⁻¹	6,7.10 ⁻¹⁰		
Lu-172	6,70 d		1,0.10 ⁻⁸		7,0.10 ⁻⁹	3,9.10 ⁻⁹	2,5.10 ⁻⁹	1,6.10 ⁻⁹	1,3.10 ⁻⁹		
Lu-173	1,37 r		2,7.10 ⁻⁹		1,6.10 ⁻⁹	8,6.10 ⁻¹⁰	5,3.10 ⁻¹⁰	3,2.10 ⁻¹	2,6.10 ⁻¹⁰		
Lu-174	3,31 r		3,2.10 ⁻⁹		1,7.10 ⁻⁹	9,1.10 ⁻¹⁰	5,6.10 ⁻¹⁰	3,3.10 ⁻¹	2,7.10 ⁻¹⁰		
Lu-174m	142 d		6,2.10 ⁻⁹		3,8.10 ⁻⁹	1,9.10 ⁻⁹	1,1.10 ⁻⁹	6,6.10 ⁻¹	5,3.10 ⁻¹⁰		
Lu-176	3,6.10 ¹⁰ r		2,4.10 ⁻⁸		1,1.10 ⁻⁸	5,7.10 ⁻⁹	3,5.10 ⁻⁹	2,2.10 ⁻⁹	1,8.10 ⁻⁹		
Lu-176m	3,68 h		2,0.10 ⁻⁹		1,2.10 ⁻⁹	6,0.10 ⁻¹⁰	3,5.10 ⁻¹⁰	2,1.10 ⁻¹	1,7.10 ⁻¹⁰		
Lu-177	6,71 d		6,1.10 ⁻⁹		3,9.10 ⁻⁹	2,0.10 ⁻⁹	1,2.10 ⁻⁹	6,6.10 ⁻¹	5,3.10 ⁻¹⁰		
Lu-177m	161 d		1,7.10 ⁻⁸		1,1.10 ⁻⁸	5,8.10 ⁻⁹	3,6.10 ⁻⁹	2,1.10 ⁻⁹	1,7.10 ⁻⁹		
Lu-178	0,473 h		5,9.10 ⁻¹⁰		3,3.10 ⁻¹⁰	1,6.10 ⁻¹⁰	9,0.10 ⁻¹¹	6,1.10 ⁻¹	4,7.10 ⁻¹¹		
Lu-178m	0,378 h		4,3.10 ⁻¹⁰		2,4.10 ⁻¹⁰	1,2.10 ⁻¹⁰	7,1.10 ⁻¹¹	4,9.10 ⁻¹	3,8.10 ⁻¹¹		
Lu-179	4,59 h		2,4.10 ⁻⁹		1,5.10 ⁻⁹	7,5.10 ⁻¹⁰	4,4.10 ⁻¹⁰	2,6.10 ⁻¹	2,1.10 ⁻¹⁰		
Hafnium											
Hf-170	16,0 h	0,020	3,9.10 ⁻⁹	0,002	2,7.10 ⁻⁹	1,5.10 ⁻⁹	9,5.10 ⁻¹⁰	6,0.10 ⁻¹	4,8.10 ⁻¹⁰		
Hf-172	1,87 r		1,9.10 ⁻⁸		6,1.10 ⁻⁹	3,3.10 ⁻⁹	2,0.10 ⁻⁹	1,3.10 ⁻⁹	1,0.10 ⁻⁹		
Hf-173	24,0 h		1,9.10 ⁻⁹		1,3.10 ⁻⁹	7,2.10 ⁻¹⁰	4,6.10 ⁻¹⁰	2,8.10 ⁻¹	2,3.10 ⁻¹⁰		
Hf-175	70,0 d		3,8.10 ⁻⁹		2,4.10 ⁻⁹	1,3.10 ⁻⁹	8,4.10 ⁻¹⁰	5,2.10 ⁻¹	4,1.10 ⁻¹⁰		
Hf-177m	0,856 h		7,8.10 ⁻¹⁰		4,7.10 ⁻¹⁰	2,5.10 ⁻¹⁰	1,5.10 ⁻¹⁰	1,0.10 ⁻¹	8,1.10 ⁻¹¹		
Hf-178m	31,0 r		7,0.10 ⁻⁸		1,9.10 ⁻⁸	1,1.10 ⁻⁸	7,8.10 ⁻⁹	5,5.10 ⁻⁹	4,7.10 ⁻⁹		
Hf-179m	25,1 d		1,2.10 ⁻⁸		7,8.10 ⁻⁹	4,1.10 ⁻⁹	2,6.10 ⁻⁹	1,6.10 ⁻⁹	1,2.10 ⁻⁹		
Hf-180m	5,50 h	1,4.10 ⁻⁹	9,7.10 ⁻¹⁰	5,3.10 ⁻¹⁰	3,3.10 ⁻¹⁰	2,1.10 ⁻¹	1,7.10 ⁻¹⁰				
Hf-181	42,4 d	1,2.10 ⁻⁸	7,4.10 ⁻⁹	3,8.10 ⁻⁹	2,3.10 ⁻⁹	1,4.10 ⁻⁹	1,1.10 ⁻⁹				
Hf-182	9,00.10 ⁶ r	5,6.10 ⁻⁸	7,9.10 ⁻⁹	5,4.10 ⁻⁹	4,0.10 ⁻⁹	3,3.10 ⁻⁹	3,0.10 ⁻⁹				
Hf-182m	1,02 h	4,1.10 ⁻¹⁰	2,5.10 ⁻¹⁰	1,3.10 ⁻¹⁰	7,8.10 ⁻¹¹	5,2.10 ⁻¹	4,2.10 ⁻¹¹				
Hf-183	1,07 h	8,1.10 ⁻¹⁰	4,8.10 ⁻¹⁰	2,4.10 ⁻¹⁰	1,4.10 ⁻¹⁰	9,3.10 ⁻¹	7,3.10 ⁻¹¹				
Hf-184	4,12 h	5,5.10 ⁻⁹	3,6.10 ⁻⁹	1,8.10 ⁻⁹	1,1.10 ⁻⁹	6,6.10 ⁻¹	5,2.10 ⁻¹⁰				
Tantal											
Ta-172	0,613 h	0,010	5,5.10 ⁻¹⁰	0,001	3,2.10 ⁻¹⁰	1,6.10 ⁻¹⁰	9,8.10 ⁻¹¹	6,6.10 ⁻¹	5,3.10 ⁻¹¹		
Ta-173	3,65 h		2,0.10 ⁻⁹		1,3.10 ⁻⁹	6,5.10 ⁻¹⁰	3,9.10 ⁻¹⁰	2,4.10 ⁻¹	1,9.10 ⁻¹⁰		
Ta-174	1,20 h		6,2.10 ⁻¹⁰		3,7.10 ⁻¹⁰	1,9.10 ⁻¹⁰	1,1.10 ⁻¹⁰	7,2.10 ⁻¹	5,7.10 ⁻¹¹		
Ta-175	10,5 h		1,6.10 ⁻⁹		1,1.10 ⁻⁹	6,2.10 ⁻¹⁰	4,0.10 ⁻¹⁰	2,6.10 ⁻¹	2,1.10 ⁻¹⁰		
Ta-176	8,08 h		2,4.10 ⁻⁹		1,7.10 ⁻⁹	9,2.10 ⁻¹⁰	6,1.10 ⁻¹⁰	3,9.10 ⁻¹	3,1.10 ⁻¹⁰		
Ta-177	2,36 d		1,0.10 ⁻⁹		6,9.10 ⁻¹⁰	3,6.10 ⁻¹⁰	2,2.10 ⁻¹⁰	1,3.10 ⁻¹	1,1.10 ⁻¹⁰		
Ta-178	2,20 h		6,3.10 ⁻¹⁰		4,5.10 ⁻¹⁰	2,4.10 ⁻¹⁰	1,5.10 ⁻¹⁰	9,1.10 ⁻¹	7,2.10 ⁻¹¹		
Ta-179	1,82 r		6,2.10 ⁻¹⁰		4,1.10 ⁻¹⁰	2,2.10 ⁻¹⁰	1,3.10 ⁻¹⁰	8,1.10 ⁻¹	6,5.10 ⁻¹¹		
Ta-180	1,0.10 ¹³ r		8,1.10 ⁻⁹		5,3.10 ⁻⁹	2,8.10 ⁻⁹	1,7.10 ⁻⁹	1,1.10 ⁻⁹	8,4.10 ⁻¹⁰		
Ta-180m	8,10 h		5,8.10 ⁻¹⁰		3,7.10 ⁻¹⁰	1,9.10 ⁻¹⁰	1,1.10 ⁻¹⁰	6,7.10 ⁻¹	5,4.10 ⁻¹¹		
Ta-182	115 d		1,4.10 ⁻⁸		9,4.10 ⁻⁹	5,0.10 ⁻⁹	3,1.10 ⁻⁹	1,9.10 ⁻⁹	1,5.10 ⁻⁹		
Ta-182m	0,264 h		1,4.10 ⁻¹⁰		7,5.10 ⁻¹¹	3,7.10 ⁻¹¹	2,1.10 ⁻¹¹	1,5.10 ⁻¹	1,2.10 ⁻¹¹		
Ta-183	5,10 d		1,4.10 ⁻⁸		9,3.10 ⁻⁹	4,7.10 ⁻⁹	2,8.10 ⁻⁹	1,6.10 ⁻⁹	1,3.10 ⁻⁹		
Ta-184	8,70 h		6,7.10 ⁻⁹		4,4.10 ⁻⁹	2,3.10 ⁻⁹	1,4.10 ⁻⁹	8,5.10 ⁻¹	6,8.10 ⁻¹⁰		
Ta-185	0,816 h		8,3.10 ⁻¹⁰		4,6.10 ⁻¹⁰	2,3.10 ⁻¹⁰	1,3.10 ⁻¹⁰	8,6.10 ⁻¹	6,8.10 ⁻¹¹		
Ta-186	0,175 h		3,8.10 ⁻¹⁰		2,1.10 ⁻¹⁰	1,1.10 ⁻¹⁰	6,1.10 ⁻¹¹	4,2.10 ⁻¹	3,3.10 ⁻¹¹		
Volfrám											

Tabuľka č. 12: Konverzné faktory h_{ing} na prepočet príjmu rádionuklidov ingesciou na úväzok efektívnej dávky u jednotlivcov z obyvateľstva

prvok nuklid	Polčas premeny	vek < 1 rok		f_1 > 1 rok	h_{ing} (Sv.Bq ⁻¹)						
		f_1	h_{ing}		1 - 2	2 - 7	7 - 12	12 - 17	> 17 (dospelí)		
W-176	2,30 h	0,600	6,8.10 ⁻¹⁰	0,300	5,5.10 ⁻¹⁰	3,0.10 ⁻¹⁰	2,0.10 ⁻¹⁰	1,3.10 ⁻¹	1,0.10 ⁻¹⁰		
W-177	2,25 h		4,4.10 ⁻¹⁰		3,2.10 ⁻¹⁰	1,7.10 ⁻¹⁰	1,1.10 ⁻¹⁰	7,2.10 ⁻¹	5,8.10 ⁻¹¹		
W-178	21,7 d		1,8.10 ⁻⁹		1,4.10 ⁻⁹	7,3.10 ⁻¹⁰	4,5.10 ⁻¹⁰	2,7.10 ⁻¹	2,2.10 ⁻¹⁰		
W-179	0,625 h		3,4.10 ⁻¹¹		2,0.10 ⁻¹¹	1,0.10 ⁻¹¹	6,2.10 ⁻¹²	4,2.10 ⁻¹	3,3.10 ⁻¹²		
W-181	121 d		6,3.10 ⁻¹⁰		4,7.10 ⁻¹⁰	2,5.10 ⁻¹⁰	1,6.10 ⁻¹⁰	9,5.10 ⁻¹	7,6.10 ⁻¹¹		
W-185	75,1 d		4,4.10 ⁻⁹		3,3.10 ⁻⁹	1,6.10 ⁻⁹	9,7.10 ⁻¹⁰	5,5.10 ⁻¹	4,4.10 ⁻¹⁰		
W-187	23,9 h		5,5.10 ⁻⁹		4,3.10 ⁻⁹	2,2.10 ⁻⁹	1,3.10 ⁻⁹	7,8.10 ⁻¹	6,3.10 ⁻¹⁰		
W-188	69,4 d		2,1.10 ⁻⁸		1,5.10 ⁻⁸	7,7.10 ⁻⁹	4,6.10 ⁻⁹	2,6.10 ⁻⁹	2,1.10 ⁻⁹		
Rénium											
Re-177	0,233 h	1,000	2,5.10 ⁻¹⁰	0,800	1,4.10 ⁻¹⁰	7,2.10 ⁻¹¹	4,1.10 ⁻¹¹	2,8.10 ⁻¹	2,2.10 ⁻¹¹		
Re-178	0,220 h		2,9.10 ⁻¹⁰		1,6.10 ⁻¹⁰	7,9.10 ⁻¹¹	4,6.10 ⁻¹¹	3,1.10 ⁻¹	2,5.10 ⁻¹¹		
Re-181	20,0 h		4,2.10 ⁻⁹		2,8.10 ⁻⁹	1,4.10 ⁻⁹	8,2.10 ⁻¹⁰	5,4.10 ⁻¹	4,2.10 ⁻¹⁰		
Re-182	2,67 d		1,4.10 ⁻⁸		8,9.10 ⁻⁹	4,7.10 ⁻⁹	2,8.10 ⁻⁹	1,8.10 ⁻⁹	1,4.10 ⁻⁹		
Re-182	12,7 h		2,4.10 ⁻⁹		1,7.10 ⁻⁹	8,9.10 ⁻¹⁰	5,2.10 ⁻¹⁰	3,5.10 ⁻¹	2,7.10 ⁻¹⁰		
Re-184	38,0 d		8,9.10 ⁻⁹		5,6.10 ⁻⁹	3,0.10 ⁻⁹	1,8.10 ⁻⁹	1,3.10 ⁻⁹	1,0.10 ⁻⁹		
Re-184m	165 d		1,7.10 ⁻⁸		9,8.10 ⁻⁹	4,9.10 ⁻⁹	2,8.10 ⁻⁹	1,9.10 ⁻⁹	1,5.10 ⁻⁹		
Re-186	3,78 d		1,9.10 ⁻⁸		1,1.10 ⁻⁸	5,5.10 ⁻⁹	3,0.10 ⁻⁹	1,9.10 ⁻⁹	1,5.10 ⁻⁹		
Re-186m	2,00.10 ⁵ r		3,0.10 ⁻⁸		1,6.10 ⁻⁸	7,6.10 ⁻⁹	4,4.10 ⁻⁹	2,8.10 ⁻⁹	2,2.10 ⁻⁹		
Re-187	5,0.10 ¹⁰ r		6,8.10 ⁻¹¹		3,8.10 ⁻¹¹	1,8.10 ⁻¹¹	1,0.10 ⁻¹¹	6,6.10 ⁻¹	5,1.10 ⁻¹²		
Re-188	17,0 h		1,7.10 ⁻⁸		1,1.10 ⁻⁸	5,4.10 ⁻⁹	2,9.10 ⁻⁹	1,8.10 ⁻⁹	1,4.10 ⁻⁹		
Re-188m	0,3 10 h		3,8.10 ⁻¹⁰		2,3.10 ⁻¹⁰	1,1.10 ⁻¹⁰	6,1.10 ⁻¹¹	4,0.10 ⁻¹	3,0.10 ⁻¹¹		
Re-189	1,01 d		9,8.10 ⁻⁹		6,2.10 ⁻⁹	3,0.10 ⁻⁹	1,6.10 ⁻⁹	1,0.10 ⁻⁹	7,8.10 ⁻¹⁰		
Osmium											
Os-180	0,366 h		0,020		1,6.10 ⁻¹⁰	0,010	9,8.10 ⁻¹¹	5,1.10 ⁻¹¹	3,2.10 ⁻¹¹	2,2.10 ⁻¹	1,7.10 ⁻¹¹
Os-181	1,75 h	7,6.10 ⁻¹⁰		5,0.10 ⁻¹⁰	2,7.10 ⁻¹⁰		1,7.10 ⁻¹⁰	1,1.10 ⁻¹	8,9.10 ⁻¹¹		
Os-182	22,0 h	4,6.10 ⁻⁹		3,2.10 ⁻⁹	1,7.10 ⁻⁹		1,1.10 ⁻⁹	7,0.10 ⁻¹	5,6.10 ⁻¹⁰		
Os-185	94,0 d	3,8.10 ⁻⁹		2,6.10 ⁻⁹	1,5.10 ⁻⁹		9,8.10 ⁻¹⁰	6,5.10 ⁻¹	5,1.10 ⁻¹⁰		
Os-189m	6,00 h	2,1.10 ⁻¹⁰		1,3.10 ⁻¹⁰	6,5.10 ⁻¹¹		3,8.10 ⁻¹¹	2,2.10 ⁻¹	1,8.10 ⁻¹¹		
Os-191	15,4 d	6,3.10 ⁻⁹		4,1.10 ⁻⁹	2,1.10 ⁻⁹		1,2.10 ⁻⁹	7,0.10 ⁻¹	5,7.10 ⁻¹⁰		
Os-191m	13,0 h	1,1.10 ⁻⁹		7,1.10 ⁻¹⁰	3,5.10 ⁻¹⁰		2,1.10 ⁻¹⁰	1,2.10 ⁻¹	9,6.10 ⁻¹¹		
Os-193	1,25 d	9,3.10 ⁻⁹		6,0.10 ⁻⁹	3,0.10 ⁻⁹		1,8.10 ⁻⁹	1,0.10 ⁻⁹	8,1.10 ⁻¹⁰		
Os-194	6,00 r	2,9.10 ⁻⁸		1,7.10 ⁻⁸	8,8.10 ⁻⁹		5,2.10 ⁻⁹	3,0.10 ⁻⁹	2,4.10 ⁻⁹		
Iridium											
Ir-182	0,250 h	0,020	5,3.10 ⁻¹⁰	0,010	3,0.10 ⁻¹⁰	1,5.10 ⁻¹⁰	8,9.10 ⁻¹¹	6,0.10 ⁻¹	4,8.10 ⁻¹¹		
Ir-184	3,02 h		1,5.10 ⁻⁹		9,7.10 ⁻¹⁰	5,2.10 ⁻¹⁰	3,3.10 ⁻¹⁰	2,1.10 ⁻¹	1,7.10 ⁻¹⁰		
Ir-185	14,0 h		2,4.10 ⁻⁹		1,6.10 ⁻⁹	8,6.10 ⁻¹⁰	5,3.10 ⁻¹⁰	3,3.10 ⁻¹	2,6.10 ⁻¹⁰		
Ir-186	15,8 h		3,8.10 ⁻⁹		2,7.10 ⁻⁹	1,5.10 ⁻⁹	9,6.10 ⁻¹⁰	6,1.10 ⁻¹	4,9.10 ⁻¹⁰		
Ir-186	1,75 h		5,8.10 ⁻¹⁰		3,6.10 ⁻¹⁰	2,1.10 ⁻¹⁰	1,3.10 ⁻¹⁰	7,7.10 ⁻¹	6,1.10 ⁻¹¹		
Ir-187	10,5 h		1,1.10 ⁻⁹		7,3.10 ⁻¹⁰	3,9.10 ⁻¹⁰	2,5.10 ⁻¹⁰	1,5.10 ⁻¹	1,2.10 ⁻¹⁰		
Ir-188	1,73 d		4,6.10 ⁻⁹		3,3.10 ⁻⁹	1,8.10 ⁻⁹	1,2.10 ⁻⁹	7,9.10 ⁻¹	6,3.10 ⁻¹⁰		
Ir-189	13,3 d		2,5.10 ⁻⁹		1,7.10 ⁻⁹	8,6.10 ⁻¹⁰	5,2.10 ⁻¹⁰	3,0.10 ⁻¹	2,4.10 ⁻¹⁰		
Ir-190	12,1 d		1,0.10 ⁻⁸		7,1.10 ⁻⁹	3,9.10 ⁻⁹	2,5.10 ⁻⁹	1,6.10 ⁻⁹	1,2.10 ⁻⁹		
Ir-190m	3,10 h		9,4.10 ⁻¹⁰		6,4.10 ⁻¹⁰	3,5.10 ⁻¹⁰	2,3.10 ⁻¹⁰	1,5.10 ⁻¹	1,2.10 ⁻¹⁰		
Ir-190m	1,20 h		7,9.10 ⁻¹¹		5,0.10 ⁻¹¹	2,6.10 ⁻¹¹	1,6.10 ⁻¹¹	1,0.10 ⁻¹	8,0.10 ⁻¹²		
Ir-192	74,0 d		1,3.10 ⁻⁸		8,7.10 ⁻⁹	4,6.10 ⁻⁹	2,8.10 ⁻⁹	1,7.10 ⁻⁹	1,4.10 ⁻⁹		
Ir-192m	2,41.10 ² r		2,8.10 ⁻⁹		1,4.10 ⁻⁹	8,3.10 ⁻¹⁰	5,5.10 ⁻¹⁰	3,7.10 ⁻¹	3,1.10 ⁻¹⁰		
Ir-193m	11,9 d		3,2.10 ⁻⁹		2,0.10 ⁻⁹	1,0.10 ⁻⁹	6,0.10 ⁻¹⁰	3,4.10 ⁻¹	2,7.10 ⁻¹⁰		
Ir-194	19,1 h		1,5.10 ⁻⁸		9,8.10 ⁻⁹	4,9.10 ⁻⁹	2,9.10 ⁻⁹	1,7.10 ⁻⁹	1,3.10 ⁻⁹		

Tabuľka č. 12: Konverzné faktory h_{ing} na prepočet príjmu rádionuklidov ingesciou na úväzok efektívnej dávky u jednotlivcov z obyvateľstva

prvok nuklid	Polčas premeny	vek < 1 rok		f_1 > 1 rok	h_{ing} (Sv.Bq ⁻¹)				
		f_1	h_{ing}		1 - 2	2 - 7	7 - 12	12 - 17	> 17 (dospelí)
Ir-194m	171 d		1,7.10 ⁻⁸		1,1.10 ⁻⁸	6,4.10 ⁻⁹	4,1.10 ⁻⁹	2,6.10 ⁻⁹	2,1.10 ⁻⁹
Ir-195	2,50 h		1,2.10 ⁻⁹		7,3.10 ⁻¹⁰	3,6.10 ⁻¹⁰	2,1.10 ⁻¹⁰	1,3.10 ⁻¹	1,0.10 ⁻¹⁰
Ir-195m	3,80 h		2,3.10 ⁻⁹		1,5.10 ⁻⁹	7,3.10 ⁻¹⁰	4,3.10 ⁻¹⁰	2,6.10 ⁻¹	2,1.10 ⁻¹⁰
Platina									
Pt-186	2,00 h		7,8.10 ⁻¹⁰		5,3.10 ⁻¹⁰	2,9.10 ⁻¹⁰	1,8.10 ⁻¹⁰	1,2.10 ⁻¹	9,3.10 ⁻¹¹
Pt-188	10,2 d		6,7.10 ⁻⁹		4,5.10 ⁻⁹	2,4.10 ⁻⁹	1,5.10 ⁻⁹	9,5.10 ⁻¹	7,6.10 ⁻¹⁰
Pt-189	10,9 h		1,1.10 ⁻⁹		7,4.10 ⁻¹⁰	3,9.10 ⁻¹⁰	2,5.10 ⁻¹⁰	1,5.10 ⁻¹	1,2.10 ⁻¹⁰
Pt-191	2,80 d		3,1.10 ⁻⁹		2,1.10 ⁻⁹	1,1.10 ⁻⁹	6,9.10 ⁻¹⁰	4,2.10 ⁻¹	3,4.10 ⁻¹⁰
Pt-193	50,0 r		3,7.10 ⁻¹⁰		2,4.10 ⁻¹⁰	1,2.10 ⁻¹⁰	6,9.10 ⁻¹¹	3,9.10 ⁻¹	3,1.10 ⁻¹¹
Pt-193m	4,33 d	0,020	5,2.10 ⁻⁹	0,010	3,4.10 ⁻⁹	1,7.10 ⁻⁹	9,9.10 ⁻¹⁰	5,6.10 ⁻¹	4,5.10 ⁻¹⁰
Pt-195m	4,02 d		7,1.10 ⁻⁹		4,6.10 ⁻⁹	2,3.10 ⁻⁹	1,4.10 ⁻⁹	7,9.10 ⁻¹	6,3.10 ⁻¹⁰
Pt-197	18,3 h		4,7.10 ⁻⁹		3,0.10 ⁻⁹	1,5.10 ⁻⁹	8,8.10 ⁻¹⁰	5,1.10 ⁻¹	4,0.10 ⁻¹⁰
Pt-197m	1,57 h		1,0.10 ⁻⁹		6,1.10 ⁻¹⁰	3,0.10 ⁻¹⁰	1,8.10 ⁻¹⁰	1,1.10 ⁻¹	8,4.10 ⁻¹¹
Pt-199	0,513 h		4,7.10 ⁻¹⁰		2,7.10 ⁻¹⁰	1,3.10 ⁻¹⁰	7,5.10 ⁻¹¹	5,0.10 ⁻¹	3,9.10 ⁻¹¹
Pt-200	12,5 h		1,4.10 ⁻⁸		8,8.10 ⁻⁹	4,4.10 ⁻⁹	2,6.10 ⁻⁹	1,5.10 ⁻⁹	1,2.10 ⁻⁹
Zlato									
Au-193	17,6 h		1,2.10 ⁻⁹		8,8.10 ⁻¹⁰	4,6.10 ⁻¹⁰	2,8.10 ⁻¹⁰	1,7.10 ⁻¹	1,3.10 ⁻¹⁰
Au-194	1,64 d	0,200	2,9.10 ⁻⁹	0,100	2,2.10 ⁻⁹	1,2.10 ⁻⁹	8,1.10 ⁻¹⁰	5,3.10 ⁻¹	4,2.10 ⁻¹⁰
Au-195	183 d		2,4.10 ⁻⁹		1,7.10 ⁻⁹	8,9.10 ⁻¹⁰	5,4.10 ⁻¹⁰	3,2.10 ⁻¹	2,5.10 ⁻¹⁰
Au-198	2,69 d		1,0.10 ⁻⁸		7,2.10 ⁻⁹	3,7.10 ⁻⁹	2,2.10 ⁻⁹	1,3.10 ⁻⁹	1,0.10 ⁻⁹
Au-198m	2,30 d		1,2.10 ⁻⁸		8,5.10 ⁻⁹	4,4.10 ⁻⁹	2,7.10 ⁻⁹	1,6.10 ⁻⁹	1,3.10 ⁻⁹
Au-199	3,14 d		4,5.10 ⁻⁹		3,1.10 ⁻⁹	1,6.10 ⁻⁹	9,5.10 ⁻¹⁰	5,5.10 ⁻¹	4,4.10 ⁻¹⁰
Au-200	0,807 h	0,200	8,3.10 ⁻¹⁰	0,100	4,7.10 ⁻¹⁰	2,3.10 ⁻¹⁰	1,3.10 ⁻¹⁰	8,7.10 ⁻¹	6,8.10 ⁻¹¹
Au-200m	18,7 h		9,2.10 ⁻⁹		6,6.10 ⁻⁹	3,5.10 ⁻⁹	2,2.10 ⁻⁹	1,3.10 ⁻⁹	1,1.10 ⁻⁹
Au-201	0,440 h		3,1.10 ⁻¹⁰		1,7.10 ⁻¹⁰	8,2.10 ⁻¹¹	4,6.10 ⁻¹¹	3,1.10 ⁻¹	2,4.10 ⁻¹¹
Ortuť									
Hg-193 (organická)	3,50 h	1,000	3,3.10 ⁻¹⁰	1,000	1,9.10 ⁻¹⁰	9,8.10 ⁻¹¹	5,8.10 ⁻¹¹	3,9.10 ⁻¹	3,1.10 ⁻¹¹
		0,800	4,7.10 ⁻¹⁰	0,400	4,4.10 ⁻¹⁰	2,2.10 ⁻¹⁰	1,4.10 ⁻¹⁰	8,3.10 ⁻¹	6,6.10 ⁻¹¹
Hg-193 (anorganická)	3,50 h	0,040	8,5.10 ⁻¹⁰	0,020	5,5.10 ⁻¹⁰	2,8.10 ⁻¹⁰	1,7.10 ⁻¹⁰	1,0.10 ⁻¹	8,2.10 ⁻¹¹
Hg-193m (organická)	11,1 h	1,000	1,1.10 ⁻⁹	1,000	6,8.10 ⁻¹⁰	3,7.10 ⁻¹⁰	2,3.10 ⁻¹⁰	1,5.10 ⁻¹	1,3.10 ⁻¹⁰
		0,800	1,6.10 ⁻⁹	0,400	1,8.10 ⁻⁹	9,5.10 ⁻¹⁰	6,0.10 ⁻¹⁰	3,7.10 ⁻¹	3,0.10 ⁻¹⁰
Hg-193m (anorganická)	11,1 h	0,040	3,6.10 ⁻⁹	0,020	2,4.10 ⁻⁹	1,3.10 ⁻⁹	8,1.10 ⁻¹⁰	5,0.10 ⁻¹	4,0.10 ⁻¹⁰
Hg-194 (organická)	2,60.10 ² r	1,000	1,3.10 ⁻⁷	1,000	1,2.10 ⁻⁷	8,4.10 ⁻⁸	6,6.10 ⁻⁸	5,5.10 ⁻⁸	5,1.10 ⁻⁸
		0,800	1,1.10 ⁻⁷	0,400	4,8.10 ⁻⁸	3,5.10 ⁻⁸	2,7.10 ⁻⁸	2,3.10 ⁻⁸	2,1.10 ⁻⁸
Hg-194 (anorganická)	2,60.10 ² r	0,040	7,2.10 ⁻⁹	0,020	3,6.10 ⁻⁹	2,6.10 ⁻⁹	1,9.10 ⁻⁹	1,5.10 ⁻⁹	1,4.10 ⁻⁹
Hg-195 (organická)	9,90 h	1,000	3,0.10 ⁻¹⁰	1,000	2,0.10 ⁻¹⁰	1,0.10 ⁻¹⁰	6,4.10 ⁻¹¹	4,2.10 ⁻¹	3,4.10 ⁻¹¹
		0,800	4,6.10 ⁻¹⁰	0,400	4,8.10 ⁻¹⁰	2,5.10 ⁻¹⁰	1,5.10 ⁻¹⁰	9,3.10 ⁻¹	7,5.10 ⁻¹¹
Hg-195 (anorganická)	9,90 h	0,040	9,5.10 ⁻¹⁰	0,020	6,3.10 ⁻¹⁰	3,3.10 ⁻¹⁰	2,0.10 ⁻¹⁰	1,2.10 ⁻¹	9,7.10 ⁻¹¹
Hg-195m (organická)	1,73 d	1,000	2,1.10 ⁻⁹	1,000	1,3.10 ⁻⁹	6,8.10 ⁻¹⁰	4,2.10 ⁻¹⁰	2,7.10 ⁻¹	2,2.10 ⁻¹⁰
		0,800	2,6.10 ⁻⁹	0,400	2,8.10 ⁻⁹	1,4.10 ⁻⁹	8,7.10 ⁻¹⁰	5,1.10 ⁻¹	4,1.10 ⁻¹⁰
Hg-195m (anorganická)	1,73 d	0,040	5,8.10 ⁻⁹	0,020	3,8.10 ⁻⁹	2,0.10 ⁻⁹	1,2.10 ⁻⁹	7,0.10 ⁻¹	5,6.10 ⁻¹⁰
Hg-197 (organická)	2,67 d	1,000	9,7.10 ⁻¹⁰	1,000	6,2.10 ⁻¹⁰	3,1.10 ⁻¹⁰	1,9.10 ⁻¹⁰	1,2.10 ⁻¹	9,9.10 ⁻¹¹
		0,800	1,3.10 ⁻⁹	0,400	1,2.10 ⁻⁹	6,1.10 ⁻¹⁰	3,7.10 ⁻¹⁰	2,2.10 ⁻¹	1,7.10 ⁻¹⁰
Hg-197 (anorganická)	2,67 d	0,040	2,5.10 ⁻⁹	0,020	1,6.10 ⁻⁹	8,3.10 ⁻¹⁰	5,0.10 ⁻¹⁰	2,9.10 ⁻¹	2,3.10 ⁻¹⁰
Hg-197m (organická)	23,8 h	1,000	1,5.10 ⁻⁹	1,000	9,5.10 ⁻¹⁰	4,8.10 ⁻¹⁰	2,9.10 ⁻¹⁰	1,8.10 ⁻¹	1,5.10 ⁻¹⁰
		0,800	2,2.10 ⁻⁹	0,400	2,5.10 ⁻⁹	1,2.10 ⁻⁹	7,3.10 ⁻¹⁰	4,2.10 ⁻¹	3,4.10 ⁻¹⁰
Hg-197m (anorganická)	23,8 h	0,040	5,2.10 ⁻⁹	0,020	3,4.10 ⁻⁹	1,7.10 ⁻⁹	1,0.10 ⁻⁹	5,9.10 ⁻¹	4,7.10 ⁻¹⁰
Hg-199m (organická)	0,7 10 h	1,000	3,4.10 ⁻¹⁰	1,000	1,9.10 ⁻¹⁰	9,3.10 ⁻¹¹	5,3.10 ⁻¹¹	3,6.10 ⁻¹	2,8.10 ⁻¹¹

Tabuľka č. 12: Konverzné faktory h_{ing} na prepočet príjmu rádionuklidov ingesciou na úväzok efektívnej dávky u jednotlivcov z obyvateľstva

prvok nuklid	Polčas premeny	vek < 1 rok		f_1 > 1 rok	h_{ing} (Sv.Bq ⁻¹)						
		f_1	h_{ing}		1 - 2	2 - 7	7 - 12	12 - 17	> 17 (dospelí)		
		0,800	$3,6 \cdot 10^{-10}$	0,400	$2,1 \cdot 10^{-10}$	$1,0 \cdot 10^{-10}$	$5,8 \cdot 10^{-11}$	$3,9 \cdot 10^{-11}$	$3,1 \cdot 10^{-11}$		
Hg-199m (anorganická)	0,7 10 h	0,040	$3,7 \cdot 10^{-10}$	0,020	$2,1 \cdot 10^{-10}$	$1,0 \cdot 10^{-10}$	$5,9 \cdot 10^{-11}$	$3,9 \cdot 10^{-11}$	$3,1 \cdot 10^{-11}$		
Hg-203 (organická)	46,6 d	1,000	$1,5 \cdot 10^{-8}$	1,000	$1,1 \cdot 10^{-8}$	$5,7 \cdot 10^{-9}$	$3,6 \cdot 10^{-9}$	$2,3 \cdot 10^{-9}$	$1,9 \cdot 10^{-9}$		
		0,800	$1,3 \cdot 10^{-8}$	0,400	$6,4 \cdot 10^{-9}$	$3,4 \cdot 10^{-9}$	$2,1 \cdot 10^{-9}$	$1,3 \cdot 10^{-9}$	$1,1 \cdot 10^{-9}$		
Hg-203 (anorganická)	46,6 d	0,040	$5,5 \cdot 10^{-9}$	0,020	$3,6 \cdot 10^{-9}$	$1,8 \cdot 10^{-9}$	$1,1 \cdot 10^{-9}$	$6,7 \cdot 10^{-10}$	$5,4 \cdot 10^{-10}$		
Táľium											
Tl-194	0,550 h	1,000	$6,1 \cdot 10^{-11}$	1,000	$3,9 \cdot 10^{-11}$	$2,2 \cdot 10^{-11}$	$1,4 \cdot 10^{-11}$	$1,0 \cdot 10^{-11}$	$8,1 \cdot 10^{-12}$		
Tl-194m	0,546 h		$3,8 \cdot 10^{-10}$		$2,2 \cdot 10^{-10}$	$1,2 \cdot 10^{-10}$	$7,0 \cdot 10^{-11}$	$4,9 \cdot 10^{-11}$	$4,0 \cdot 10^{-11}$		
Tl-195	1,16 h		$2,3 \cdot 10^{-10}$		$1,4 \cdot 10^{-10}$	$7,5 \cdot 10^{-11}$	$4,7 \cdot 10^{-11}$	$3,3 \cdot 10^{-11}$	$2,7 \cdot 10^{-11}$		
Tl-197	2,84 h		$2,1 \cdot 10^{-10}$		$1,3 \cdot 10^{-10}$	$6,7 \cdot 10^{-11}$	$4,2 \cdot 10^{-11}$	$2,8 \cdot 10^{-11}$	$2,3 \cdot 10^{-11}$		
Tl-198	5,30 h		$4,7 \cdot 10^{-10}$		$3,3 \cdot 10^{-10}$	$1,9 \cdot 10^{-10}$	$1,2 \cdot 10^{-10}$	$8,7 \cdot 10^{-11}$	$7,3 \cdot 10^{-11}$		
Tl-198m	1,87 h		$4,8 \cdot 10^{-10}$		$3,0 \cdot 10^{-10}$	$1,6 \cdot 10^{-10}$	$9,7 \cdot 10^{-11}$	$6,7 \cdot 10^{-11}$	$5,4 \cdot 10^{-11}$		
Tl-199	7,42 h		$2,3 \cdot 10^{-10}$		$1,5 \cdot 10^{-10}$	$7,7 \cdot 10^{-11}$	$4,8 \cdot 10^{-11}$	$3,2 \cdot 10^{-11}$	$2,6 \cdot 10^{-11}$		
Tl-200	1,09 d		$1,3 \cdot 10^{-9}$		$9,1 \cdot 10^{-10}$	$5,3 \cdot 10^{-10}$	$3,5 \cdot 10^{-10}$	$2,4 \cdot 10^{-10}$	$2,0 \cdot 10^{-10}$		
Tl-201	3,04 d		$8,4 \cdot 10^{-10}$		$5,5 \cdot 10^{-10}$	$2,9 \cdot 10^{-10}$	$1,8 \cdot 10^{-10}$	$1,2 \cdot 10^{-10}$	$9,5 \cdot 10^{-11}$		
Tl-202	12,2 d		$2,9 \cdot 10^{-9}$		$2,1 \cdot 10^{-9}$	$1,2 \cdot 10^{-9}$	$7,9 \cdot 10^{-10}$	$5,4 \cdot 10^{-10}$	$4,5 \cdot 10^{-10}$		
Tl-204	3,78 r		$1,3 \cdot 10^{-8}$		$8,5 \cdot 10^{-9}$	$4,2 \cdot 10^{-9}$	$2,5 \cdot 10^{-9}$	$1,5 \cdot 10^{-9}$	$1,2 \cdot 10^{-9}$		
Olovo											
Pb-195m	0,263 h	0,600	$2,6 \cdot 10^{-10}$	0,200	$1,6 \cdot 10^{-10}$	$8,4 \cdot 10^{-11}$	$5,2 \cdot 10^{-11}$	$3,5 \cdot 10^{-11}$	$2,9 \cdot 10^{-11}$		
Pb-198	2,40 h		$5,9 \cdot 10^{-10}$		$4,8 \cdot 10^{-10}$	$2,7 \cdot 10^{-10}$	$1,7 \cdot 10^{-10}$	$1,1 \cdot 10^{-10}$	$1,0 \cdot 10^{-10}$		
Pb-199	1,50 h		$3,5 \cdot 10^{-10}$		$2,6 \cdot 10^{-10}$	$1,5 \cdot 10^{-10}$	$9,4 \cdot 10^{-11}$	$6,3 \cdot 10^{-11}$	$5,4 \cdot 10^{-11}$		
Pb-200	21,5 h		$2,5 \cdot 10^{-9}$		$2,0 \cdot 10^{-9}$	$1,1 \cdot 10^{-9}$	$7,0 \cdot 10^{-10}$	$4,4 \cdot 10^{-10}$	$4,0 \cdot 10^{-10}$		
Pb-201	9,40 h		$9,4 \cdot 10^{-10}$		$7,8 \cdot 10^{-10}$	$4,3 \cdot 10^{-10}$	$2,7 \cdot 10^{-10}$	$1,8 \cdot 10^{-10}$	$1,6 \cdot 10^{-10}$		
Pb-202	$3,00 \cdot 10^5$ r		$3,4 \cdot 10^{-8}$		$1,6 \cdot 10^{-8}$	$1,3 \cdot 10^{-8}$	$1,9 \cdot 10^{-8}$	$2,7 \cdot 10^{-8}$	$8,8 \cdot 10^{-9}$		
Pb-202m	3,62 h		$7,6 \cdot 10^{-10}$		$6,1 \cdot 10^{-10}$	$3,5 \cdot 10^{-10}$	$2,3 \cdot 10^{-10}$	$1,5 \cdot 10^{-10}$	$1,3 \cdot 10^{-10}$		
Pb-203	2,17 d		$1,6 \cdot 10^{-9}$		$1,3 \cdot 10^{-9}$	$6,8 \cdot 10^{-10}$	$4,3 \cdot 10^{-10}$	$2,7 \cdot 10^{-10}$	$2,4 \cdot 10^{-10}$		
Pb-205	$1,43 \cdot 10^7$ r		$2,1 \cdot 10^{-9}$		$9,9 \cdot 10^{-10}$	$6,2 \cdot 10^{-10}$	$6,1 \cdot 10^{-10}$	$6,5 \cdot 10^{-10}$	$2,8 \cdot 10^{-10}$		
Pb-209	3,25 h		$5,7 \cdot 10^{-10}$		$3,8 \cdot 10^{-10}$	$1,9 \cdot 10^{-10}$	$1,1 \cdot 10^{-10}$	$6,6 \cdot 10^{-11}$	$5,7 \cdot 10^{-11}$		
Pb-210	22,3 r		$8,4 \cdot 10^{-6}$		$3,6 \cdot 10^{-6}$	$2,2 \cdot 10^{-6}$	$1,9 \cdot 10^{-6}$	$1,9 \cdot 10^{-6}$	$6,9 \cdot 10^{-7}$		
Pb-211	0,601 h		$3,1 \cdot 10^{-9}$		$1,4 \cdot 10^{-9}$	$7,1 \cdot 10^{-10}$	$4,1 \cdot 10^{-10}$	$2,7 \cdot 10^{-10}$	$1,8 \cdot 10^{-10}$		
Pb-212	10,6 h		$1,5 \cdot 10^{-7}$		$6,3 \cdot 10^{-8}$	$3,3 \cdot 10^{-8}$	$2,0 \cdot 10^{-8}$	$1,3 \cdot 10^{-8}$	$6,0 \cdot 10^{-9}$		
Pb-214	0,447 h		$2,7 \cdot 10^{-9}$		$1,0 \cdot 10^{-9}$	$5,2 \cdot 10^{-10}$	$3,1 \cdot 10^{-10}$	$2,0 \cdot 10^{-10}$	$1,4 \cdot 10^{-10}$		
Bizmut											
Bi-200	0,606 h	0,100	$4,2 \cdot 10^{-10}$	0,050	$2,7 \cdot 10^{-10}$	$1,5 \cdot 10^{-10}$	$9,5 \cdot 10^{-11}$	$6,4 \cdot 10^{-11}$	$5,1 \cdot 10^{-11}$		
Bi-201	1,80 h		$1,0 \cdot 10^{-9}$		$6,7 \cdot 10^{-10}$	$3,6 \cdot 10^{-10}$	$2,2 \cdot 10^{-10}$	$1,4 \cdot 10^{-10}$	$1,2 \cdot 10^{-10}$		
Bi-202	1,67 h		$6,4 \cdot 10^{-10}$		$4,4 \cdot 10^{-10}$	$2,5 \cdot 10^{-10}$	$1,6 \cdot 10^{-10}$	$1,1 \cdot 10^{-10}$	$8,9 \cdot 10^{-11}$		
Bi-203	11,8 h		$3,5 \cdot 10^{-9}$		$2,5 \cdot 10^{-9}$	$1,4 \cdot 10^{-9}$	$9,3 \cdot 10^{-10}$	$6,0 \cdot 10^{-10}$	$4,8 \cdot 10^{-10}$		
Bi-205	15,3 d		$6,1 \cdot 10^{-9}$		$4,5 \cdot 10^{-9}$	$2,6 \cdot 10^{-9}$	$1,7 \cdot 10^{-9}$	$1,1 \cdot 10^{-9}$	$9,0 \cdot 10^{-10}$		
Bi-206	6,24 d		$1,4 \cdot 10^{-8}$		$1,0 \cdot 10^{-8}$	$5,7 \cdot 10^{-9}$	$3,7 \cdot 10^{-9}$	$2,4 \cdot 10^{-9}$	$1,9 \cdot 10^{-9}$		
Bi-207	38,0 r		$1,0 \cdot 10^{-8}$		$7,1 \cdot 10^{-9}$	$3,9 \cdot 10^{-9}$	$2,5 \cdot 10^{-9}$	$1,6 \cdot 10^{-9}$	$1,3 \cdot 10^{-9}$		
Bi-210	5,01 d		$1,5 \cdot 10^{-8}$		$9,7 \cdot 10^{-9}$	$4,8 \cdot 10^{-9}$	$2,9 \cdot 10^{-9}$	$1,6 \cdot 10^{-9}$	$1,3 \cdot 10^{-9}$		
Bi-210m	$3,00 \cdot 10^6$ r		$2,1 \cdot 10^{-7}$		$9,1 \cdot 10^{-8}$	$4,7 \cdot 10^{-8}$	$3,0 \cdot 10^{-8}$	$1,9 \cdot 10^{-8}$	$1,5 \cdot 10^{-8}$		
Bi-212	1,01 h		$3,2 \cdot 10^{-9}$		$1,8 \cdot 10^{-9}$	$8,7 \cdot 10^{-10}$	$5,0 \cdot 10^{-10}$	$3,3 \cdot 10^{-10}$	$2,6 \cdot 10^{-10}$		
Bi-213	0,761 h		$2,5 \cdot 10^{-9}$		$1,4 \cdot 10^{-9}$	$6,7 \cdot 10^{-10}$	$3,9 \cdot 10^{-10}$	$2,5 \cdot 10^{-10}$	$2,0 \cdot 10^{-10}$		
Bi-214	0,332 h		$1,4 \cdot 10^{-9}$		$7,4 \cdot 10^{-10}$	$3,6 \cdot 10^{-10}$	$2,1 \cdot 10^{-10}$	$1,4 \cdot 10^{-10}$	$1,1 \cdot 10^{-10}$		
Polónium											
Po-203	0,612 h		1,000		$2,9 \cdot 10^{-10}$	0,500	$2,4 \cdot 10^{-10}$	$1,3 \cdot 10^{-10}$	$8,5 \cdot 10^{-11}$	$5,8 \cdot 10^{-11}$	$4,6 \cdot 10^{-11}$
Po-205	1,80 h	$3,5 \cdot 10^{-10}$		$2,8 \cdot 10^{-10}$	$1,6 \cdot 10^{-10}$		$1,1 \cdot 10^{-10}$	$7,2 \cdot 10^{-11}$	$5,8 \cdot 10^{-11}$		

Tabuľka č. 12: Konverzné faktory h_{ing} na prepočet príjmu rádionuklidov ingesciou na úväzok efektívnej dávky u jednotlivcov z obyvateľstva

prvok nuklid	Polčas premeny	vek < 1 rok		f_1 > 1 rok	h_{ing} (Sv.Bq ⁻¹)				
		f_1	h_{ing}		1 - 2	2 - 7	7 - 12	12 - 17	> 17 (dospelí)
Po-207	5,83 h		4,4.10 ⁻¹⁰		5,7.10 ⁻¹⁰	3,2.10 ⁻¹⁰	2,1.10 ⁻¹⁰	1,4.10 ⁻¹	1,1.10 ⁻¹⁰
Po-210	138 d		2,6.10 ⁻⁵		8,8.10 ⁻⁶	4,4.10 ⁻⁶	2,6.10 ⁻⁶	1,6.10 ⁻⁶	1,2.10 ⁻⁶
Astát									
At-207	1,80 h	1,000	2,5.10 ⁻⁹	1,000	1,6.10 ⁻⁹	8,0.10 ⁻¹⁰	4,8.10 ⁻¹⁰	2,9.10 ⁻¹	2,4.10 ⁻¹⁰
At-211	7,21 h		1,2.10 ⁻⁷		7,8.10 ⁻⁸	3,8.10 ⁻⁸	2,3.10 ⁻⁸	1,3.10 ⁻⁸	1,1.10 ⁻⁸
Francium									
Fr-222	0,240 h	1,000	6,2.10 ⁻⁹	1,000	3,9.10 ⁻⁹	2,0.10 ⁻⁹	1,3.10 ⁻⁹	8,5.10 ⁻¹	7,2.10 ⁻¹⁰
Fr-223	0,363 h		2,6.10 ⁻⁸		1,7.10 ⁻⁸	8,3.10 ⁻⁹	5,0.10 ⁻⁹	2,9.10 ⁻⁹	2,4.10 ⁻⁹
Rádium									
Ra-223	11,4 d	0,600	5,3.10 ⁻⁶	0,200	1,1.10 ⁻⁶	5,7.10 ⁻⁷	4,5.10 ⁻⁷	3,7.10 ⁻⁷	1,0.10 ⁻⁷
Ra-224	3,66 d		2,7.10 ⁻⁶		6,6.10 ⁻⁷	3,5.10 ⁻⁷	2,6.10 ⁻⁷	2,0.10 ⁻⁷	6,5.10 ⁻⁸
Ra-225	14,8 d		7,1.10 ⁻⁶		1,2.10 ⁻⁶	6,1.10 ⁻⁷	5,0.10 ⁻⁷	4,4.10 ⁻⁷	9,9.10 ⁻⁸
Ra-226	1,60 10 ³ r		4,7.10 ⁻⁶		9,6.10 ⁻⁷	6,2.10 ⁻⁷	8,0.10 ⁻⁷	1,5.10 ⁻⁶	2,8.10 ⁻⁷
Ra-227	0,703 h		1,1.10 ⁻⁹		4,3.10 ⁻¹⁰	2,5.10 ⁻¹⁰	1,7.10 ⁻¹⁰	1,3.10 ⁻¹	8,1.10 ⁻¹¹
Ra-228	5,75 r		3,0.10 ⁻⁵		5,7.10 ⁻⁶	3,4.10 ⁻⁶	3,9.10 ⁻⁶	5,3.10 ⁻⁶	6,9.10 ⁻⁷
Aktínium									
Ac-224	2,90 h	0,005	1,0.10 ⁻⁸	5,0.10 ⁻⁴	5,2.10 ⁻⁹	2,6.10 ⁻⁹	1,5.10 ⁻⁹	8,8.10 ⁻¹	7,0.10 ⁻¹⁰
Ac-225	10,0 d		4,6.10 ⁻⁷		1,8.10 ⁻⁷	9,1.10 ⁻⁸	5,4.10 ⁻⁸	3,0.10 ⁻⁸	2,4.10 ⁻⁸
Ac-226	1,21 d		1,4.10 ⁻⁷		7,6.10 ⁻⁸	3,8.10 ⁻⁸	2,3.10 ⁻⁸	1,3.10 ⁻⁸	1,0.10 ⁻⁸
Ac-227	21,8 r		3,3.10 ⁻⁵		3,1.10 ⁻⁶	2,2.10 ⁻⁶	1,5.10 ⁻⁶	1,2.10 ⁻⁶	1,1.10 ⁻⁶
Ac-228	6,13 h		7,4.10 ⁻⁹		2,8.10 ⁻⁹	1,4.10 ⁻⁹	8,7.10 ⁻¹⁰	5,3.10 ⁻¹	4,3.10 ⁻¹⁰
Tórium									
Th-226	0,515 h	0,005	4,4.10 ⁻⁹	5,0.10 ⁻⁴	2,4.10 ⁻⁹	1,2.10 ⁻⁹	6,7.10 ⁻¹⁰	4,5.10 ⁻¹	3,5.10 ⁻¹⁰
Th-227	18,7 d		3,0.10 ⁻⁷		7,0.10 ⁻⁸	3,6.10 ⁻⁸	2,3.10 ⁻⁸	1,5.10 ⁻⁸	8,8.10 ⁻⁹
Th-228	1,91 r		3,7.10 ⁻⁶		3,7.10 ⁻⁷	2,2.10 ⁻⁷	1,5.10 ⁻⁷	9,4.10 ⁻⁸	7,2.10 ⁻⁸
Th-229	7,34 10 ³ r		1,1.10 ⁻⁵		1,0.10 ⁻⁶	7,8.10 ⁻⁷	6,2.10 ⁻⁷	5,3.10 ⁻⁷	4,9.10 ⁻⁷
Th-230	7,70 10 ⁴ r		4,1.10 ⁻⁶		4,1.10 ⁻⁷	3,1.10 ⁻⁷	2,4.10 ⁻⁷	2,2.10 ⁻⁷	2,1.10 ⁻⁷
Th-231	1,06 d		3,9.10 ⁻⁹		2,5.10 ⁻⁹	1,2.10 ⁻⁹	7,4.10 ⁻¹⁰	4,2.10 ⁻¹	3,4.10 ⁻¹⁰
Th-232	1,40 10 ¹⁰ r		4,6.10 ⁻⁶		4,5.10 ⁻⁷	3,5.10 ⁻⁷	2,9.10 ⁻⁷	2,5.10 ⁻⁷	2,3.10 ⁻⁷
Th-234	24,1 d		4,0.10 ⁻⁸		2,5.10 ⁻⁸	1,3.10 ⁻⁸	7,4.10 ⁻⁹	4,2.10 ⁻⁹	3,4.10 ⁻⁹
Protaktínium									
Pa-227	0,638 h	0,005	5,8.10 ⁻⁹	5,0.10 ⁻⁴	3,2.10 ⁻⁹	1,5.10 ⁻⁹	8,7.10 ⁻¹⁰	5,8.10 ⁻¹	4,5.10 ⁻¹⁰
Pa-228	22,0 h		1,2.10 ⁻⁸		4,8.10 ⁻⁹	2,6.10 ⁻⁹	1,6.10 ⁻⁹	9,7.10 ⁻¹	7,8.10 ⁻¹⁰
Pa-230	17,4 h		2,6.10 ⁻⁸		5,7.10 ⁻⁹	3,1.10 ⁻⁹	1,9.10 ⁻⁹	1,1.10 ⁻⁹	9,2.10 ⁻¹⁰
Pa-231	3,27 10 ⁴ r		1,3.10 ⁻⁵		1,3.10 ⁻⁶	1,1.10 ⁻⁶	9,2.10 ⁻⁷	8,0.10 ⁻⁷	7,1.10 ⁻⁷
Pa-232	1,31 d		6,3.10 ⁻⁹		4,2.10 ⁻⁹	2,2.10 ⁻⁹	1,4.10 ⁻⁹	8,9.10 ⁻¹	7,2.10 ⁻¹⁰
Pa-233	27,0 d		9,7.10 ⁻⁹		6,2.10 ⁻⁹	3,2.10 ⁻⁹	1,9.10 ⁻⁹	1,1.10 ⁻⁹	8,7.10 ⁻¹⁰
Pa-234	6,70 h		5,0.10 ⁻⁹		3,2.10 ⁻⁹	1,7.10 ⁻⁹	1,0.10 ⁻⁹	6,4.10 ⁻¹	5,1.10 ⁻¹⁰
Urán									
U-230	20,8 d	0,040	7,9.10 ⁻⁷	0,020	3,0.10 ⁻⁷	1,5.10 ⁻⁷	1,0.10 ⁻⁷	6,6.10 ⁻⁸	5,6.10 ⁻⁸
U-231	4,20 d		3,1.10 ⁻⁹		2,0.10 ⁻⁹	1,0.10 ⁻⁹	6,1.10 ⁻¹⁰	3,5.10 ⁻¹	2,8.10 ⁻¹⁰
U-232	72,0 r		2,5.10 ⁻⁶		8,2.10 ⁻⁷	5,8.10 ⁻⁷	5,7.10 ⁻⁷	6,4.10 ⁻⁷	3,3.10 ⁻⁷
U-233	1,58 10 ⁵ r		3,8.10 ⁻⁷		1,4.10 ⁻⁷	9,2.10 ⁻⁸	7,8.10 ⁻⁸	7,8.10 ⁻⁸	5,1.10 ⁻⁸
U-234	2,44 10 ⁵ r		3,7.10 ⁻⁷		1,3.10 ⁻⁷	8,8.10 ⁻⁸	7,4.10 ⁻⁸	7,4.10 ⁻⁸	4,9.10 ⁻⁸
U-235	7,04 10 ⁸ r		3,5.10 ⁻⁷			8,5.10 ⁻⁸	7,1.10 ⁻⁸	7,0.10 ⁻⁸	4,7.10 ⁻⁸
U-236	2,34 10 ⁷ r			8,4.10 ⁻⁸		7,0.10 ⁻⁸	7,0.10 ⁻⁸		
U-237	6,75 d		8,3.10 ⁻⁹		5,4.10 ⁻⁹	2,8.10 ⁻⁹	1,6.10 ⁻⁹	9,5.10 ⁻¹	7,6.10 ⁻¹⁰
U-238	4,47 10 ⁹ r		3,4.10 ⁻⁷		1,2.10 ⁻⁷	8,0.10 ⁻⁸	6,8.10 ⁻⁸	6,7.10 ⁻⁸	4,5.10 ⁻⁸

Tabuľka č. 12: Konverzné faktory h_{ing} na prepočet príjmu rádionuklidov ingesciou na úväzok efektívnej dávky u jednotlivcov z obyvateľstva

prvok nuklid	Polčas premeny	vek < 1 rok		f ₁	h _{ing} (Sv.Bq ⁻¹)				
		f ₁	h _{ing}	> 1 rok	1 - 2	2 - 7	7 - 12	12 - 17	> 17 (dospelí)
U-239	0,392 h		3,4.10 ⁻¹⁰		1,9.10 ⁻¹⁰	9,3.10 ⁻¹¹	5,4.10 ⁻¹¹	3,5.10 ⁻¹¹	2,7.10 ⁻¹¹
U-240	14,1 h		1,3.10 ⁻⁸		8,1.10 ⁻⁹	4,1.10 ⁻⁹	2,4.10 ⁻⁹	1,4.10 ⁻⁹	1,1.10 ⁻⁹
Neptúnium									
Np-232	0,245 h	0,005	8,7.10 ⁻¹¹	5,0.10 ⁻⁴	5,1.10 ⁻¹¹	2,7.10 ⁻¹¹	1,7.10 ⁻¹¹	1,2.10 ⁻¹¹	9,7.10 ⁻¹²
Np-233	0,603 h		2,1.10 ⁻¹¹		1,3.10 ⁻¹¹	6,6.10 ⁻¹²	4,0.10 ⁻¹²	2,8.10 ⁻¹²	2,2.10 ⁻¹²
Np-234	4,40 d		6,2.10 ⁻⁹		4,4.10 ⁻⁹	2,4.10 ⁻⁹	1,6.10 ⁻⁹	1,0.10 ⁻⁹	8,1.10 ⁻¹⁰
Np-235	1,08 r		7,1.10 ⁻¹⁰		4,1.10 ⁻¹⁰	2,0.10 ⁻¹⁰	1,2.10 ⁻¹⁰	6,8.10 ⁻¹¹	5,3.10 ⁻¹¹
Np-236	1,15 10 ⁵ r		1,9.10 ⁻⁷		2,4.10 ⁻⁸	1,8.10 ⁻⁸	1,8.10 ⁻⁸	1,8.10 ⁻⁸	1,7.10 ⁻⁸
Np-236	22,5 h		2,5.10 ⁻⁹		1,3.10 ⁻⁹	6,6.10 ⁻¹⁰	4,0.10 ⁻¹⁰	2,4.10 ⁻¹⁰	1,9.10 ⁻¹⁰
Np-237	2,14 10 ⁶ r		2,0.10 ⁻⁶		2,1.10 ⁻⁷	1,4.10 ⁻⁷	1,1.10 ⁻⁷	1,1.10 ⁻⁷	1,1.10 ⁻⁷
Np-238	2,12 d		9,5.10 ⁻⁹		6,2.10 ⁻⁹	3,2.10 ⁻⁹	1,9.10 ⁻⁹	1,1.10 ⁻⁹	9,1.10 ⁻¹⁰
Np-239	2,36 d		8,9.10 ⁻⁹		5,7.10 ⁻⁹	2,9.10 ⁻⁹	1,7.10 ⁻⁹	1,0.10 ⁻⁹	8,0.10 ⁻¹⁰
Np-240	1,08 h		8,7.10 ⁻¹⁰		5,2.10 ⁻¹⁰	2,6.10 ⁻¹⁰	1,6.10 ⁻¹⁰	1,0.10 ⁻¹⁰	8,2.10 ⁻¹¹
Plutónium									
Pu-234	8,80 h	0,005	2,1.10 ⁻⁹	5,0.10 ⁻⁴	1,1.10 ⁻⁹	5,5.10 ⁻¹⁰	3,3.10 ⁻¹⁰	2,0.10 ⁻¹⁰	1,6.10 ⁻¹⁰
Pu-235	0,422 h		2,2.10 ⁻¹¹		1,3.10 ⁻¹¹	6,5.10 ⁻¹²	3,9.10 ⁻¹²	2,7.10 ⁻¹²	2,1.10 ⁻¹²
Pu-236	2,85 r		2,1.10 ⁻⁶		2,2.10 ⁻⁷	1,4.10 ⁻⁷	1,0.10 ⁻⁷	8,5.10 ⁻⁸	8,7.10 ⁻⁸
Pu-237	45,3 d		1,1.10 ⁻⁹		6,9.10 ⁻¹⁰	3,6.10 ⁻¹⁰	2,2.10 ⁻¹⁰	1,3.10 ⁻¹⁰	1,0.10 ⁻¹⁰
Pu-238	87,7 r		4,0.10 ⁻⁶		4,0.10 ⁻⁷	3,1.10 ⁻⁷	2,4.10 ⁻⁷	2,2.10 ⁻⁷	2,3.10 ⁻⁷
Pu-239	2,41 10 ⁴ r		4,2.10 ⁻⁶		4,2.10 ⁻⁷	3,3.10 ⁻⁷	2,7.10 ⁻⁷	2,4.10 ⁻⁷	2,5.10 ⁻⁷
Pu-240	6,54 10 ³ r		4,2.10 ⁻⁶		5,7.10 ⁻⁹	5,5.10 ⁻⁹	5,1.10 ⁻⁹	4,8.10 ⁻⁹	4,8.10 ⁻⁹
Pu-241	14,4 r		5,6.10 ⁻⁸		4,0.10 ⁻⁷	3,2.10 ⁻⁷	2,6.10 ⁻⁷	2,3.10 ⁻⁷	2,4.10 ⁻⁷
Pu-242	3,76 10 ⁵ r		4,0.10 ⁻⁶		6,2.10 ⁻¹⁰	3,1.10 ⁻¹⁰	1,8.10 ⁻¹⁰	1,1.10 ⁻¹⁰	8,5.10 ⁻¹¹
Pu-243	4,95 h		1,0.10 ⁻⁹		4,1.10 ⁻⁷	3,2.10 ⁻⁷	2,6.10 ⁻⁷	2,3.10 ⁻⁷	2,4.10 ⁻⁷
Pu-244	8,2610 ⁷ r		4,0.10 ⁻⁶		5,1.10 ⁻⁹	2,6.10 ⁻⁹	1,5.10 ⁻⁹	8,9.10 ⁻¹⁰	7,2.10 ⁻¹⁰
Pu-245	10,5 h		8,0.10 ⁻⁹		2,3.10 ⁻⁸	1,2.10 ⁻⁸	7,1.10 ⁻⁹	4,1.10 ⁻⁹	3,3.10 ⁻⁹
Pu-246	10,9 d		3,6.10 ⁻⁸						
Americium									
Am-237	1,22 h	0,005	1,7.10 ⁻¹⁰	5,0.10 ⁻⁴	1,0.10 ⁻¹⁰	5,5.10 ⁻¹¹	3,3.10 ⁻¹¹	2,2.10 ⁻¹¹	1,8.10 ⁻¹¹
Am-238	1,63 h		2,5.10 ⁻¹⁰		1,6.10 ⁻¹⁰	9,1.10 ⁻¹¹	5,9.10 ⁻¹¹	4,0.10 ⁻¹¹	3,2.10 ⁻¹¹
Am-239	11,9 h		2,6.10 ⁻⁹		1,7.10 ⁻⁹	8,4.10 ⁻¹⁰	5,1.10 ⁻¹⁰	3,0.10 ⁻¹⁰	2,4.10 ⁻¹⁰
Am-240	2,12 d		4,7.10 ⁻⁹		3,3.10 ⁻⁹	1,8.10 ⁻⁹	1,2.10 ⁻⁹	7,3.10 ⁻¹⁰	5,8.10 ⁻¹⁰
Am-241	4,32.10 ² r		3,7.10 ⁻⁶		3,7.10 ⁻⁷	2,7.10 ⁻⁷	2,2.10 ⁻⁷	2,0.10 ⁻⁷	2,0.10 ⁻⁷
Am-242	16,0 h		5,0.10 ⁻⁹		2,2.10 ⁻⁹	1,1.10 ⁻⁹	6,4.10 ⁻¹⁰	3,7.10 ⁻¹⁰	3,0.10 ⁻¹⁰
Am-242m	1,52.10 ² r		3,1.10 ⁻⁶		3,0.10 ⁻⁷	2,3.10 ⁻⁷	2,0.10 ⁻⁷	1,9.10 ⁻⁷	1,9.10 ⁻⁷
Am-243	7,38.10 ³ r		3,6.10 ⁻⁶		3,7.10 ⁻⁷	2,7.10 ⁻⁷	2,2.10 ⁻⁷	2,0.10 ⁻⁷	2,0.10 ⁻⁷
Am-244	10,1 h		4,9.10 ⁻⁹		3,1.10 ⁻⁹	1,6.10 ⁻⁹	9,6.10 ⁻¹⁰	5,8.10 ⁻¹⁰	4,6.10 ⁻¹⁰
Am-244m	0,433 h		3,7.10 ⁻¹⁰		2,0.10 ⁻¹⁰	9,6.10 ⁻¹¹	5,5.10 ⁻¹¹	3,7.10 ⁻¹¹	2,9.10 ⁻¹¹
Am-245	2,05 h		6,8.10 ⁻¹⁰		4,5.10 ⁻¹⁰	2,2.10 ⁻¹⁰	1,3.10 ⁻¹⁰	7,9.10 ⁻¹¹	6,2.10 ⁻¹¹
Am-246	0,650 h		6,7.10 ⁻¹⁰		3,8.10 ⁻¹⁰	1,9.10 ⁻¹⁰	1,1.10 ⁻¹⁰	7,3.10 ⁻¹¹	5,8.10 ⁻¹¹
Am-246m	0,417 h		3,9.10 ⁻¹⁰		2,2.10 ⁻¹⁰	1,1.10 ⁻¹⁰	6,4.10 ⁻¹¹	4,4.10 ⁻¹¹	3,4.10 ⁻¹¹
Curium									
Cm-238	2,40 h	0,005	7,8.10 ⁻¹⁰	5,0.10 ⁻⁴	4,9.10 ⁻¹⁰	2,6.10 ⁻¹⁰	1,6.10 ⁻¹⁰	1,0.10 ⁻¹⁰	8,0.10 ⁻¹¹
Cm-240	27,0 d		2,2.10 ⁻⁷		4,8.10 ⁻⁸	2,5.10 ⁻⁸	1,5.10 ⁻⁸	9,2.10 ⁻⁹	7,6.10 ⁻⁹
Cm-241	32,8 d		1,1.10 ⁻⁸		5,7.10 ⁻⁹	3,0.10 ⁻⁹	1,9.10 ⁻⁹	1,1.10 ⁻⁹	9,1.10 ⁻¹⁰
Cm-242	163 d		5,9.10 ⁻⁷		7,6.10 ⁻⁸	3,9.10 ⁻⁸	2,4.10 ⁻⁸	1,5.10 ⁻⁸	1,2.10 ⁻⁸
Cm-243	28,5 r		3,2.10 ⁻⁶		3,3.10 ⁻⁷	2,2.10 ⁻⁷	1,6.10 ⁻⁷	1,4.10 ⁻⁷	1,5.10 ⁻⁷
Cm-244	18,1 r		2,9.10 ⁻⁶		2,9.10 ⁻⁷	1,9.10 ⁻⁷	1,4.10 ⁻⁷	1,2.10 ⁻⁷	1,2.10 ⁻⁷

Tabuľka č. 12: Konverzné faktory h_{ing} na prepočet príjmu rádionuklidov ingesciou na úväzok efektívnej dávky u jednotlivcov z obyvateľstva

prvok nuklid	Polčas premeny	vek < 1 rok		f_1 > 1 rok	h_{ing} (Sv.Bq ⁻¹)				
		f_1	h_{ing}		1 – 2	2 - 7	7 - 12	12 - 17	> 17 (dospelí)
Cm-245	8,50.10 ³ r		3,7.10 ⁻⁶		3,7.10 ⁻⁷	2,8.10 ⁻⁷	2,3.10 ⁻⁷	2,1.10 ⁻⁷	2,1.10 ⁻⁷
Cm-246	4,73.10 ³ r		3,7.10 ⁻⁶		3,7.10 ⁻⁷	2,8.10 ⁻⁷	2,2.10 ⁻⁷	2,1.10 ⁻⁷	2,1.10 ⁻⁷
Cm-247	1,56.10 ⁷ r		3,4.10 ⁻⁶		3,5.10 ⁻⁷	2,6.10 ⁻⁷	2,1.10 ⁻⁷	1,9.10 ⁻⁷	1,9.10 ⁻⁷
Cm-248	3,39.10 ⁵ r		1,4.10 ⁻⁵		1,4.10 ⁻⁶	1,0.10 ⁻⁶	8,4.10 ⁻⁷	7,7.10 ⁻⁷	7,7.10 ⁻⁷
Cm-249	1,07 h		3,9.10 ⁻¹⁰		2,2.10 ⁻¹⁰	1,1.10 ⁻¹⁰	6,1.10 ⁻¹¹	4,0.10 ⁻¹¹	3,1.10 ⁻¹¹
Cm-250	6,90.10 ³ r		7,8.10 ⁻⁵		8,2.10 ⁻⁶	6,0.10 ⁻⁶	4,9.10 ⁻⁶	4,4.10 ⁻⁶	4,4.10 ⁻⁶
Berkélium									
Bk-245	4,94 d		6,1.10 ⁻⁹		3,9.10 ⁻⁹	2,0.10 ⁻⁹	1,2.10 ⁻⁹	7,2.10 ⁻¹⁰	5,7.10 ⁻¹⁰
Bk-246	1,83 d		3,7.10 ⁻⁹		2,6.10 ⁻⁹	1,4.10 ⁻⁹	9,4.10 ⁻¹⁰	6,0.10 ⁻¹⁰	4,8.10 ⁻¹⁰
Bk-247	1,38.10 ³ r	0,005	8,9.10 ⁻⁶	5,0.10 ⁻⁴	8,6.10 ⁻⁷	6,3.10 ⁻⁷	4,6.10 ⁻⁷	3,8.10 ⁻⁷	3,5.10 ⁻⁷
Bk-249	320 d		2,2.10 ⁻⁸		2,9.10 ⁻⁹	1,9.10 ⁻⁹	1,4.10 ⁻⁹	1,1.10 ⁻⁹	9,7.10 ⁻¹⁰
Bk-250	3,22 h		1,5.10 ⁻⁹		8,5.10 ⁻¹⁰	4,4.10 ⁻¹⁰	2,7.10 ⁻¹⁰	1,7.10 ⁻¹⁰	1,4.10 ⁻¹⁰
Kalifornium									
Cf-244	0,323 h		9,8.10 ⁻¹⁰		4,8.10 ⁻¹⁰	2,4.10 ⁻¹⁰	1,3.10 ⁻¹⁰	8,9.10 ⁻¹¹	7,0.10 ⁻¹¹
Cf-246	1,49 d		5,0.10 ⁻⁸		2,4.10 ⁻⁸	1,2.10 ⁻⁸	7,3.10 ⁻⁹	4,1.10 ⁻⁹	3,3.10 ⁻⁹
Cf-248	334 d		1,5.10 ⁻⁶		1,6.10 ⁻⁷	9,9.10 ⁻⁸	6,0.10 ⁻⁸	3,3.10 ⁻⁸	2,8.10 ⁻⁸
Cf-249	3,50.10 ²		9,0.10 ⁻⁶		8,7.10 ⁻⁷	6,4.10 ⁻⁷	4,7.10 ⁻⁷	3,8.10 ⁻⁷	3,5.10 ⁻⁷
Cf-250	13,1 r	0,005	5,7.10 ⁻⁶	5,0.10 ⁻⁴	5,5.10 ⁻⁷	3,7.10 ⁻⁷	2,3.10 ⁻⁷	1,7.10 ⁻⁷	1,6.10 ⁻⁷
Cf-251	8,98.10 ² r		9,1.10 ⁻⁶		8,8.10 ⁻⁷	6,5.10 ⁻⁷	4,7.10 ⁻⁷	3,9.10 ⁻⁷	3,6.10 ⁻⁷
Cf-252	2,64 r		5,0.10 ⁻⁶		5,1.10 ⁻⁷	3,2.10 ⁻⁷	1,9.10 ⁻⁷	1,0.10 ⁻⁷	9,0.10 ⁻⁸
Cf-253	17,8 d		1,0.10 ⁻⁷		1,1.10 ⁻⁸	6,0.10 ⁻⁹	3,7.10 ⁻⁹	1,8.10 ⁻⁹	1,4.10 ⁻⁹
Cf-254	60,5 d		1,1.10 ⁻⁵		2,6.10 ⁻⁶	1,4.10 ⁻⁶	8,4.10 ⁻⁷	5,0.10 ⁻⁷	4,0.10 ⁻⁷
Einsteinium									
Es-250	2,10 h		2,3.10 ⁻¹⁰		9,9.10 ⁻¹¹	5,7.10 ⁻¹¹	3,7.10 ⁻¹¹	2,6.10 ⁻¹¹	2,1.10 ⁻¹¹
Es-251	1,38 d		1,9.10 ⁻⁹		1,2.10 ⁻⁹	6,1.10 ⁻¹⁰	3,7.10 ⁻¹⁰	2,2.10 ⁻¹⁰	1,7.10 ⁻¹⁰
Es-253	20,5 d	0,005	1,7.10 ⁻⁷	5,0.10 ⁻⁴	4,5.10 ⁻⁸	2,3.10 ⁻⁸	1,4.10 ⁻⁸	7,6.10 ⁻⁹	6,1.10 ⁻⁹
Es-254	276 d		1,4.10 ⁻⁶		1,6.10 ⁻⁷	9,8.10 ⁻⁸	6,0.10 ⁻⁸	3,3.10 ⁻⁸	2,8.10 ⁻⁸
Es-254m	1,64 d		5,7.10 ⁻⁸		3,0.10 ⁻⁸	1,5.10 ⁻⁸	9,1.10 ⁻⁹	5,2.10 ⁻⁹	4,2.10 ⁻⁹
Fermium									
Fm-252	22,7 h		3,8.10 ⁻⁸		2,0.10 ⁻⁸	9,9.10 ⁻⁹	5,9.10 ⁻⁹	3,3.10 ⁻⁹	2,7.10 ⁻⁹
Fm-253	3,00 d		2,5.10 ⁻⁸		6,7.10 ⁻⁹	3,4.10 ⁻⁹	2,1.10 ⁻⁹	1,1.10 ⁻⁹	9,1.10 ⁻¹⁰
Fm-254	3,24 h	0,005	5,6.10 ⁻⁹	5,0.10 ⁻⁴	3,2.10 ⁻⁹	1,6.10 ⁻⁹	9,3.10 ⁻¹⁰	5,6.10 ⁻¹⁰	4,4.10 ⁻¹⁰
Fm-255	20,1 h		3,3.10 ⁻⁸		1,9.10 ⁻⁸	9,5.10 ⁻⁹	5,6.10 ⁻⁹	3,2.10 ⁻⁹	2,5.10 ⁻⁹
Fm-257	101 d		9,8.10 ⁻⁷		1,1.10 ⁻⁷	6,5.10 ⁻⁸	4,0.10 ⁻⁸	1,9.10 ⁻⁸	1,5.10 ⁻⁸
Mendelevium									
Md-257	5,20 h		3,1.10 ⁻⁹		8,8.10 ⁻¹⁰	4,5.10 ⁻¹⁰	2,7.10 ⁻¹⁰	1,5.10 ⁻¹⁰	1,2.10 ⁻¹⁰
Md-258	55,0 d	0,005	6,3.10 ⁻⁷	5,0.10 ⁻⁴	8,9.10 ⁻⁸	5,0.10 ⁻⁸	3,0.10 ⁻⁸	1,6.10 ⁻⁸	1,3.10 ⁻⁸

Poznámka:

Konverzné faktory h_{ing} pre príjem ingesciou sú uvedené v závislosti od typu absorpcie v tráviacom ústrojenstve. Príslušné parametre pre jednotlivé chemické látky a zlúčeniny sú uvedené v tabuľke č. 2 tejto prílohy.

U bližšie neidentifikovaných rádionuklidov a chemických foriem rádioaktívnych látok alebo vlastností vdychovaného aerosólu sa aktivita prisudzuje tým rádionuklidom a ich formám, pre ktoré je v tabuľke stanovený najvyšší konverzný faktor.

Tabuľka č. 13: Konverzné faktory h_{inh} na prepočet príjmu rádionuklidov inhaláciou na úväzok efektívnej dávky u jednotlivcov z obyvateľstva

prvok nuklid	Polčas premeny	Typ	vek < 1 rok		f_1 > 1 rok	h_{inh} (Sv.Bq ⁻¹)				
			f_1	h_{inh}		1 – 2	2 - 7	7 - 12	12 - 17	> 17 (dospelí)
Vodík										
H-3	12,3 r	F	1,000	$2,6 \cdot 10^{-11}$	1,000	$2,0 \cdot 10^{-11}$	$1,1 \cdot 10^{-11}$	$8,2 \cdot 10^{-12}$	$5,9 \cdot 10^{-12}$	$6,2 \cdot 10^{-12}$
		M	0,200	$3,4 \cdot 10^{-10}$	0,100	$2,7 \cdot 10^{-10}$	$1,4 \cdot 10^{-10}$	$8,2 \cdot 10^{-11}$	$5,3 \cdot 10^{-11}$	$4,5 \cdot 10^{-11}$
		S	0,020	$1,2 \cdot 10^{-9}$	0,010	$1,0 \cdot 10^{-9}$	$6,3 \cdot 10^{-10}$	$3,8 \cdot 10^{-10}$	$2,8 \cdot 10^{-10}$	$2,6 \cdot 10^{-10}$
Berýlium										
Be-7	53,3 d	M	0,020	$2,5 \cdot 10^{-10}$	0,005	$2,1 \cdot 10^{-10}$	$1,2 \cdot 10^{-10}$	$8,3 \cdot 10^{-11}$	$6,2 \cdot 10^{-11}$	$5,0 \cdot 10^{-11}$
		S		$2,8 \cdot 10^{-10}$		$2,4 \cdot 10^{-10}$	$1,4 \cdot 10^{-10}$	$9,6 \cdot 10^{-11}$	$6,8 \cdot 10^{-11}$	$5,5 \cdot 10^{-11}$
Be-10	$1,60 \cdot 10^6$ r	M		$4,1 \cdot 10^{-8}$		$3,4 \cdot 10^{-8}$	$2,0 \cdot 10^{-8}$	$1,3 \cdot 10^{-8}$	$1,1 \cdot 10^{-8}$	$9,6 \cdot 10^{-9}$
		S		$9,9 \cdot 10^{-8}$		$9,1 \cdot 10^{-8}$	$6,1 \cdot 10^{-8}$	$4,2 \cdot 10^{-8}$	$3,7 \cdot 10^{-8}$	$3,5 \cdot 10^{-8}$
Uhlík										
C-11	0,340 h	F	1,000	$1,0 \cdot 10^{-10}$	1,000	$7,0 \cdot 10^{-11}$	$3,2 \cdot 10^{-11}$	$2,1 \cdot 10^{-11}$	$1,3 \cdot 10^{-11}$	$1,1 \cdot 10^{-11}$
		M	0,200	$1,5 \cdot 10^{-10}$	0,100	$1,1 \cdot 10^{-10}$	$4,9 \cdot 10^{-11}$	$3,2 \cdot 10^{-11}$	$2,1 \cdot 10^{-11}$	$1,8 \cdot 10^{-11}$
		S	0,020	$1,6 \cdot 10^{-10}$	0,010	$1,1 \cdot 10^{-10}$	$5,1 \cdot 10^{-11}$	$3,3 \cdot 10^{-11}$	$2,2 \cdot 10^{-11}$	$1,8 \cdot 10^{-11}$
C-14	$5,73 \cdot 10^3$ r	F	1,000	$6,1 \cdot 10^{-10}$	1,000	$6,7 \cdot 10^{-10}$	$3,6 \cdot 10^{-10}$	$2,9 \cdot 10^{-10}$	$1,9 \cdot 10^{-10}$	$2,0 \cdot 10^{-10}$
		M	0,200	$8,3 \cdot 10^{-9}$	0,100	$6,6 \cdot 10^{-9}$	$4,0 \cdot 10^{-9}$	$2,8 \cdot 10^{-9}$	$2,5 \cdot 10^{-9}$	$2,0 \cdot 10^{-9}$
		S	0,020	$1,9 \cdot 10^{-8}$	0,010	$1,7 \cdot 10^{-8}$	$1,1 \cdot 10^{-8}$	$7,4 \cdot 10^{-9}$	$6,4 \cdot 10^{-9}$	$5,8 \cdot 10^{-9}$
Fluór										
F-18	1,83 h	F	1,000	$2,6 \cdot 10^{-10}$	1,000	$1,9 \cdot 10^{-10}$	$9,1 \cdot 10^{-11}$	$5,6 \cdot 10^{-11}$	$3,4 \cdot 10^{-11}$	$2,8 \cdot 10^{-11}$
		M		$4,1 \cdot 10^{-10}$		$2,9 \cdot 10^{-10}$	$1,5 \cdot 10^{-10}$	$9,7 \cdot 10^{-11}$	$6,9 \cdot 10^{-11}$	$5,6 \cdot 10^{-11}$
		S		$4,2 \cdot 10^{-10}$		$3,1 \cdot 10^{-10}$	$1,5 \cdot 10^{-10}$	$1,0 \cdot 10^{-10}$	$7,3 \cdot 10^{-11}$	$5,9 \cdot 10^{-11}$
Sodík										
Na-22	2,60 r	F	1,000	$9,7 \cdot 10^{-9}$	1,000	$7,3 \cdot 10^{-9}$	$3,8 \cdot 10^{-9}$	$2,4 \cdot 10^{-9}$	$1,5 \cdot 10^{-9}$	$1,3 \cdot 10^{-9}$
Na-24	15,0 h			$2,3 \cdot 10^{-9}$		$1,8 \cdot 10^{-9}$	$9,3 \cdot 10^{-10}$	$5,7 \cdot 10^{-10}$	$3,4 \cdot 10^{-10}$	$2,7 \cdot 10^{-10}$
Horčík										
Mg-28	20,9 h	F	1,000	$5,3 \cdot 10^{-9}$	0,500	$4,7 \cdot 10^{-9}$	$2,2 \cdot 10^{-9}$	$1,3 \cdot 10^{-9}$	$7,3 \cdot 10^{-10}$	$6,0 \cdot 10^{-10}$
		M		$7,3 \cdot 10^{-9}$		$7,2 \cdot 10^{-9}$	$3,5 \cdot 10^{-9}$	$2,3 \cdot 10^{-9}$	$1,5 \cdot 10^{-9}$	$1,2 \cdot 10^{-9}$
Hliník										
Al-26	$7,16 \cdot 10^5$ r	F	0,020	$8,1 \cdot 10^{-8}$	0,010	$6,2 \cdot 10^{-8}$	$3,2 \cdot 10^{-8}$	$2,0 \cdot 10^{-8}$	$1,3 \cdot 10^{-8}$	$1,1 \cdot 10^{-8}$
		M		$8,8 \cdot 10^{-8}$		$7,4 \cdot 10^{-8}$	$4,4 \cdot 10^{-8}$	$2,9 \cdot 10^{-8}$	$2,2 \cdot 10^{-8}$	$2,0 \cdot 10^{-8}$
Kremík										
Si-31	2,62 h	F	0,020	$3,6 \cdot 10^{-10}$	0,010	$2,3 \cdot 10^{-10}$	$9,5 \cdot 10^{-11}$	$5,9 \cdot 10^{-11}$	$3,2 \cdot 10^{-11}$	$2,7 \cdot 10^{-11}$
		M		$6,9 \cdot 10^{-10}$		$4,4 \cdot 10^{-10}$	$2,0 \cdot 10^{-10}$	$1,3 \cdot 10^{-10}$	$8,9 \cdot 10^{-11}$	$7,4 \cdot 10^{-11}$
		S		$7,2 \cdot 10^{-10}$		$4,7 \cdot 10^{-10}$	$2,2 \cdot 10^{-10}$	$1,4 \cdot 10^{-10}$	$9,5 \cdot 10^{-11}$	$7,9 \cdot 10^{-11}$
Si-32	$4,50 \cdot 10^2$ r	F		$3,0 \cdot 10^{-8}$		$2,3 \cdot 10^{-8}$	$1,1 \cdot 10^{-8}$	$6,4 \cdot 10^{-9}$	$3,8 \cdot 10^{-9}$	$3,2 \cdot 10^{-9}$
		M		$7,1 \cdot 10^{-8}$		$6,0 \cdot 10^{-8}$	$3,6 \cdot 10^{-8}$	$2,4 \cdot 10^{-8}$	$1,9 \cdot 10^{-8}$	$1,7 \cdot 10^{-8}$
		S		$2,8 \cdot 10^{-7}$		$2,7 \cdot 10^{-7}$	$1,9 \cdot 10^{-7}$	$1,3 \cdot 10^{-7}$	$1,1 \cdot 10^{-7}$	$1,1 \cdot 10^{-7}$
Fosfor										
P-32	14,3 d	F	1,000	$1,2 \cdot 10^{-8}$	0,800	$7,5 \cdot 10^{-9}$	$3,2 \cdot 10^{-9}$	$1,8 \cdot 10^{-9}$	$9,8 \cdot 10^{-10}$	$7,7 \cdot 10^{-10}$
		M		$2,2 \cdot 10^{-8}$		$1,5 \cdot 10^{-8}$	$8,0 \cdot 10^{-9}$	$5,3 \cdot 10^{-9}$	$4,0 \cdot 10^{-9}$	$3,4 \cdot 10^{-9}$
P-33	25,4 d	F		$1,2 \cdot 10^{-9}$		$7,8 \cdot 10^{-10}$	$3,0 \cdot 10^{-10}$	$2,0 \cdot 10^{-10}$	$1,1 \cdot 10^{-10}$	$9,2 \cdot 10^{-11}$
		M		$6,1 \cdot 10^{-9}$		$4,6 \cdot 10^{-9}$	$2,8 \cdot 10^{-9}$	$2,1 \cdot 10^{-9}$	$1,9 \cdot 10^{-9}$	$1,5 \cdot 10^{-9}$
Síra										
S-35 (anorganická)	87,4 d	F	1,000	$5,5 \cdot 10^{-10}$	0,800	$3,9 \cdot 10^{-10}$	$1,8 \cdot 10^{-10}$	$1,1 \cdot 10^{-10}$	$6,0 \cdot 10^{-11}$	$5,1 \cdot 10^{-11}$
		M	0,200	$5,9 \cdot 10^{-9}$	0,100	$4,5 \cdot 10^{-9}$	$2,8 \cdot 10^{-9}$	$2,0 \cdot 10^{-9}$	$1,8 \cdot 10^{-9}$	$1,4 \cdot 10^{-9}$
		S	0,020	$7,7 \cdot 10^{-9}$	0,010	$6,0 \cdot 10^{-9}$	$3,6 \cdot 10^{-9}$	$2,6 \cdot 10^{-9}$	$2,3 \cdot 10^{-9}$	$1,9 \cdot 10^{-9}$
Chlór										
Cl-36	$3,01 \cdot 10^5$ r	F	1,000	$3,9 \cdot 10^{-9}$	1,000	$2,6 \cdot 10^{-9}$	$1,1 \cdot 10^{-9}$	$7,1 \cdot 10^{-10}$	$3,9 \cdot 10^{-10}$	$3,3 \cdot 10^{-10}$
		M		$3,1 \cdot 10^{-8}$		$2,6 \cdot 10^{-8}$	$1,5 \cdot 10^{-8}$	$1,0 \cdot 10^{-8}$	$8,8 \cdot 10^{-9}$	$7,3 \cdot 10^{-9}$
Cl-38	0,620 h	F		$2,9 \cdot 10^{-10}$		$1,9 \cdot 10^{-10}$	$8,4 \cdot 10^{-11}$	$5,1 \cdot 10^{-11}$	$3,0 \cdot 10^{-11}$	$2,5 \cdot 10^{-11}$
		M		$4,7 \cdot 10^{-10}$		$3,0 \cdot 10^{-10}$	$1,4 \cdot 10^{-10}$	$8,5 \cdot 10^{-11}$	$5,4 \cdot 10^{-11}$	$4,5 \cdot 10^{-11}$
Cl-39	0,927 h	F		$2,7 \cdot 10^{-10}$		$1,8 \cdot 10^{-10}$	$8,4 \cdot 10^{-11}$	$5,1 \cdot 10^{-11}$	$3,1 \cdot 10^{-11}$	$2,5 \cdot 10^{-11}$
		M		$4,3 \cdot 10^{-10}$		$2,8 \cdot 10^{-10}$	$1,3 \cdot 10^{-10}$	$8,5 \cdot 10^{-11}$	$5,6 \cdot 10^{-11}$	$4,6 \cdot 10^{-11}$
Draslík										
K-40	$1,28 \cdot 10^9$ r	F	1,000	$2,4 \cdot 10^{-8}$	1,000	$1,7 \cdot 10^{-8}$	$7,5 \cdot 10^{-9}$	$4,5 \cdot 10^{-9}$	$2,5 \cdot 10^{-9}$	$2,1 \cdot 10^{-9}$
K-42	12,4 h			$1,6 \cdot 10^{-9}$		$1,0 \cdot 10^{-9}$	$4,4 \cdot 10^{-10}$	$2,6 \cdot 10^{-10}$	$1,5 \cdot 10^{-10}$	$1,2 \cdot 10^{-10}$
K-43	22,6 h			$1,3 \cdot 10^{-9}$		$9,7 \cdot 10^{-10}$	$4,7 \cdot 10^{-10}$	$2,9 \cdot 10^{-10}$	$1,7 \cdot 10^{-10}$	$1,4 \cdot 10^{-10}$
K-44	0,369 h			$2,2 \cdot 10^{-10}$		$1,4 \cdot 10^{-10}$	$6,5 \cdot 10^{-11}$	$4,0 \cdot 10^{-11}$	$2,4 \cdot 10^{-11}$	$2,0 \cdot 10^{-11}$
K-45	0,333 h			$1,5 \cdot 10^{-10}$		$1,0 \cdot 10^{-10}$	$4,8 \cdot 10^{-11}$	$3,0 \cdot 10^{-11}$	$1,8 \cdot 10^{-11}$	$1,5 \cdot 10^{-11}$

Tabuľka č. 13: Konverzné faktory h_{inh} na prepočet príjmu rádionuklidov inhaláciou na úväzok efektívnej dávky u jednotlivcov z obyvateľstva

prvok nuklid	Polčas premeny	Typ	vek < 1 rok		f_1	h_{inh} (Sv.Bq ⁻¹)				
			f_1	h_{inh}	> 1 rok	1 – 2	2 - 7	7 - 12	12 - 17	> 17 (dospelí)
Vápnik										
Ca-41	1,40.10 ⁵ r	F	0,600	6,7.10 ⁻¹⁰	0,300	3,8.10 ⁻¹⁰	2,6.10 ⁻¹⁰	3,3.10 ⁻¹⁰	3,3.10 ⁻¹⁰	1,7.10 ⁻¹⁰
		M	0,200	4,2.10 ⁻¹⁰	0,100	2,6.10 ⁻¹⁰	1,7.10 ⁻¹⁰	1,7.10 ⁻¹⁰	1,6.10 ⁻¹⁰	9,5.10 ⁻¹¹
		S	0,020	6,7.10 ⁻¹⁰	0,010	6,0.10 ⁻¹⁰	3,8.10 ⁻¹⁰	2,4.10 ⁻¹⁰	1,9.10 ⁻¹⁰	1,8.10 ⁻¹⁰
Ca-45	163 d	F	0,600	5,7.10 ⁻⁹	0,300	3,0.10 ⁻⁹	1,4.10 ⁻⁹	1,0.10 ⁻⁹	7,6.10 ⁻¹⁰	4,6.10 ⁻¹⁰
		M	0,200	1,2.10 ⁻⁸	0,100	8,8.10 ⁻⁹	5,3.10 ⁻⁹	3,9.10 ⁻⁹	3,5.10 ⁻⁹	2,7.10 ⁻⁹
		S	0,020	1,5.10 ⁻⁸	0,010	1,2.10 ⁻⁸	7,2.10 ⁻⁹	5,1.10 ⁻⁹	4,6.10 ⁻⁹	3,7.10 ⁻⁹
Ca-47	4,53 d	F	0,600	4,9.10 ⁻⁹	0,300	3,6.10 ⁻⁹	1,7.10 ⁻⁹	1,1.10 ⁻⁹	6,1.10 ⁻¹⁰	5,5.10 ⁻¹⁰
		M	0,200	1,0.10 ⁻⁸	0,100	7,7.10 ⁻⁹	4,2.10 ⁻⁹	2,9.10 ⁻⁹	2,4.10 ⁻⁹	1,9.10 ⁻⁹
		S	0,020	1,2.10 ⁻⁸	0,010	8,5.10 ⁻⁹	4,6.10 ⁻⁹	3,3.10 ⁻⁹	2,6.10 ⁻⁹	2,1.10 ⁻⁹
Skandium										
Sc-43	3,89 h	S	0,001	9,3.10 ⁻¹⁰	1,0.10 ⁻⁴	6,7.10 ⁻¹⁰	3,3.10 ⁻¹⁰	2,2.10 ⁻¹⁰	1,4.10 ⁻¹⁰	1,1.10 ⁻¹⁰
Sc-44	3,93 h			1,6.10 ⁻⁹		1,2.10 ⁻⁹	5,6.10 ⁻¹⁰	3,6.10 ⁻¹⁰	2,3.10 ⁻¹⁰	1,8.10 ⁻¹⁰
Sc-44m	2,44 d			1,1.10 ⁻⁸		8,4.10 ⁻⁹	4,2.10 ⁻⁹	2,8.10 ⁻⁹	1,7.10 ⁻⁹	1,4.10 ⁻⁹
Sc-46	83,8 d			2,8.10 ⁻⁸		2,3.10 ⁻⁸	1,4.10 ⁻⁸	9,8.10 ⁻⁹	8,4.10 ⁻⁹	6,8.10 ⁻⁹
Sc-47	3,35 d			4,0.10 ⁻⁹		2,8.10 ⁻⁹	1,5.10 ⁻⁹	1,1.10 ⁻⁹	9,2.10 ⁻¹⁰	7,3.10 ⁻¹⁰
Sc-48	1,82 d			7,8.10 ⁻⁹		5,9.10 ⁻⁹	3,1.10 ⁻⁹	2,0.10 ⁻⁹	1,4.10 ⁻⁹	1,1.10 ⁻⁹
Sc-49	0,956 h			3,9.10 ⁻¹⁰		2,4.10 ⁻¹⁰	1,1.10 ⁻¹⁰	7,1.10 ⁻¹¹	4,7.10 ⁻¹¹	4,0.10 ⁻¹¹
Titán										
Ti-44	47,3 r	F	0,020	3,1.10 ⁻⁷	0,010	2,6.10 ⁻⁷	1,5.10 ⁻⁷	9,6.10 ⁻⁸	6,6.10 ⁻⁸	6,1.10 ⁻⁸
		M		1,7.10 ⁻⁷		1,5.10 ⁻⁷	9,2.10 ⁻⁸	5,9.10 ⁻⁸	4,6.10 ⁻⁸	4,2.10 ⁻⁸
		S		3,2.10 ⁻⁷		3,1.10 ⁻⁷	2,1.10 ⁻⁷	1,5.10 ⁻⁷	1,3.10 ⁻⁷	1,2.10 ⁻⁷
Ti-45	3,08 h	F	4,4.10 ⁻¹⁰	3,2.10 ⁻¹⁰	1,5.10 ⁻¹⁰	9,1.10 ⁻¹¹	5,1.10 ⁻¹¹	4,2.10 ⁻¹¹		
		M	7,4.10 ⁻¹⁰	5,2.10 ⁻¹⁰	2,5.10 ⁻¹⁰	1,6.10 ⁻¹⁰	1,1.10 ⁻¹⁰	8,8.10 ⁻¹¹		
		S	7,7.10 ⁻¹⁰	5,5.10 ⁻¹⁰	2,7.10 ⁻¹⁰	1,7.10 ⁻¹⁰	1,1.10 ⁻¹⁰	9,3.10 ⁻¹¹		
Vanád										
V-47	0,543 h	F	0,020	1,8.10 ⁻¹⁰	0,010	1,2.10 ⁻¹⁰	5,6.10 ⁻¹¹	3,5.10 ⁻¹¹	2,1.10 ⁻¹¹	1,7.10 ⁻¹¹
		M		2,8.10 ⁻¹⁰		1,9.10 ⁻¹⁰	8,6.10 ⁻¹¹	5,5.10 ⁻¹¹	3,5.10 ⁻¹¹	2,9.10 ⁻¹¹
V-48	16,2 d	F	8,4.10 ⁻⁹	6,4.10 ⁻⁹	3,3.10 ⁻⁹	2,1.10 ⁻⁹	1,3.10 ⁻⁹	1,1.10 ⁻⁹		
		M	1,4.10 ⁻⁸	1,1.10 ⁻⁸	6,3.10 ⁻⁹	4,3.10 ⁻⁹	2,9.10 ⁻⁹	2,4.10 ⁻⁹		
V-49	330 d	F	2,0.10 ⁻¹⁰	1,6.10 ⁻¹⁰	7,7.10 ⁻¹¹	4,3.10 ⁻¹¹	2,5.10 ⁻¹¹	2,1.10 ⁻¹¹		
		M	2,8.10 ⁻¹⁰	2,1.10 ⁻¹⁰	1,1.10 ⁻¹⁰	6,3.10 ⁻¹¹	4,0.10 ⁻¹¹	3,4.10 ⁻¹¹		
Chróom										
Cr-48	23,0 h	F	0,200	7,6.10 ⁻¹⁰	0,100	6,0.10 ⁻¹⁰	3,1.10 ⁻¹⁰	2,0.10 ⁻¹⁰	1,2.10 ⁻¹⁰	9,9.10 ⁻¹¹
		M		1,1.10 ⁻⁹		9,1.10 ⁻¹⁰	5,1.10 ⁻¹⁰	3,4.10 ⁻¹⁰	2,5.10 ⁻¹⁰	2,0.10 ⁻¹⁰
		S		1,2.10 ⁻⁹		9,8.10 ⁻¹⁰	5,5.10 ⁻¹⁰	3,7.10 ⁻¹⁰	2,8.10 ⁻¹⁰	2,2.10 ⁻¹⁰
Cr-49	0,702 h	F	1,9.10 ⁻¹⁰	1,3.10 ⁻¹⁰	6,0.10 ⁻¹¹	3,7.10 ⁻¹¹	2,2.10 ⁻¹¹	1,9.10 ⁻¹¹		
		M	3,0.10 ⁻¹⁰	2,0.10 ⁻¹⁰	9,5.10 ⁻¹¹	6,1.10 ⁻¹¹	4,0.10 ⁻¹¹	3,3.10 ⁻¹¹		
		S	3,1.10 ⁻¹⁰	2,1.10 ⁻¹⁰	9,9.10 ⁻¹¹	6,4.10 ⁻¹¹	4,2.10 ⁻¹¹	3,5.10 ⁻¹¹		
Cr-51	27,7 d	F	1,7.10 ⁻¹⁰	1,3.10 ⁻¹⁰	6,3.10 ⁻¹¹	4,0.10 ⁻¹¹	2,4.10 ⁻¹¹	2,0.10 ⁻¹¹		
		M	2,6.10 ⁻¹⁰	1,9.10 ⁻¹⁰	1,0.10 ⁻¹⁰	6,4.10 ⁻¹¹	3,9.10 ⁻¹¹	3,2.10 ⁻¹¹		
		S	2,6.10 ⁻¹⁰	2,1.10 ⁻¹⁰	1,0.10 ⁻¹⁰	6,6.10 ⁻¹¹	4,5.10 ⁻¹¹	3,7.10 ⁻¹¹		
Mangán										
Mn-51	0,770 h	F	0,200	2,5.10 ⁻¹⁰	0,100	1,7.10 ⁻¹⁰	7,5.10 ⁻¹¹	4,6.10 ⁻¹¹	2,7.10 ⁻¹¹	2,3.10 ⁻¹¹
		M		4,0.10 ⁻¹⁰		2,7.10 ⁻¹⁰	1,2.10 ⁻¹⁰	7,8.10 ⁻¹¹	5,0.10 ⁻¹¹	4,1.10 ⁻¹¹
Mn-52	5,59 d	F	7,0.10 ⁻⁹	5,5.10 ⁻⁹	2,9.10 ⁻⁹	1,8.10 ⁻⁹	1,1.10 ⁻⁹	9,4.10 ⁻¹⁰		
		M	8,6.10 ⁻⁹	6,8.10 ⁻⁹	3,7.10 ⁻⁹	2,4.10 ⁻⁹	1,7.10 ⁻⁹	1,4.10 ⁻⁹		
Mn-52m	0,352 h	F	1,9.10 ⁻¹⁰	1,3.10 ⁻¹⁰	6,1.10 ⁻¹¹	3,8.10 ⁻¹¹	2,2.10 ⁻¹¹	1,9.10 ⁻¹¹		
		M	2,8.10 ⁻¹⁰	1,9.10 ⁻¹⁰	8,7.10 ⁻¹¹	5,5.10 ⁻¹¹	3,4.10 ⁻¹¹	2,9.10 ⁻¹¹		
Mn-53	3,70.10 ⁶ r	F	3,2.10 ⁻¹⁰	2,2.10 ⁻¹⁰	1,1.10 ⁻¹⁰	6,0.10 ⁻¹¹	3,4.10 ⁻¹¹	2,9.10 ⁻¹¹		
		M	4,6.10 ⁻¹⁰	3,4.10 ⁻¹⁰	1,7.10 ⁻¹⁰	1,0.10 ⁻¹⁰	6,4.10 ⁻¹¹	5,4.10 ⁻¹¹		
Mn-54	312 d	F	5,2.10 ⁻⁹	4,1.10 ⁻⁹	2,2.10 ⁻⁹	1,5.10 ⁻⁹	9,9.10 ⁻¹⁰	8,5.10 ⁻¹⁰		
		M	7,5.10 ⁻⁹	6,2.10 ⁻⁹	3,8.10 ⁻⁹	2,4.10 ⁻⁹	1,9.10 ⁻⁹	1,5.10 ⁻⁹		
Mn-56	2,58 h	F	6,9.10 ⁻¹⁰	4,9.10 ⁻¹⁰	2,3.10 ⁻¹⁰	1,4.10 ⁻¹⁰	7,8.10 ⁻¹¹	6,4.10 ⁻¹¹		
		M	1,1.10 ⁻⁹	7,8.10 ⁻¹⁰	3,7.10 ⁻¹⁰	2,4.10 ⁻¹⁰	1,5.10 ⁻¹⁰	1,2.10 ⁻¹⁰		
Železo										
Fe-52	8,28 h	F	0,600	5,2.10 ⁻⁹	0,100	3,6.10 ⁻⁹	1,5.10 ⁻⁹	8,9.10 ⁻¹⁰	4,9.10 ⁻¹⁰	3,9.10 ⁻¹⁰
		M	0,200	5,8.10 ⁻⁹		4,1.10 ⁻⁹	1,9.10 ⁻⁹	1,2.10 ⁻⁹	7,4.10 ⁻¹⁰	6,0.10 ⁻¹⁰
		S	0,020	6,0.10 ⁻⁹		4,2.10 ⁻⁹	2,0.10 ⁻⁹	1,3.10 ⁻⁹	7,7.10 ⁻¹⁰	6,3.10 ⁻¹⁰

Tabuľka č. 13: Konverzné faktory h_{inh} na prepočet príjmu rádionuklidov inhaláciou na úväzok efektívnej dávky u jednotlivcov z obyvateľstva

prvok nuklid	Polčas premeny	Typ	vek < 1 rok		f_1 > 1 rok	h_{inh} (Sv.Bq ⁻¹)					
			f_1	h_{inh}		1 – 2	2 - 7	7 - 12	12 - 17	> 17 (dospelí)	
Fe-55	2,70 r	F	0,600	4,2.10 ⁻⁹	0,100	3,2.10 ⁻⁹	2,2.10 ⁻⁹	1,4.10 ⁻⁹	9,4.10 ⁻¹⁰	7,7.10 ⁻¹⁰	
		M	0,200	1,9.10 ⁻⁹		1,4.10 ⁻⁹	9,9.10 ⁻¹⁰	6,2.10 ⁻¹⁰	4,4.10 ⁻¹⁰	3,8.10 ⁻¹⁰	
		S	0,020	1,0.10 ⁻⁹		8,5.10 ⁻¹⁰	5,0.10 ⁻¹⁰	2,9.10 ⁻¹⁰	2,0.10 ⁻¹⁰	1,8.10 ⁻¹⁰	
Fe-59	44,5 d	F	0,600	2,1.10 ⁻⁸		1,3.10 ⁻⁸	7,1.10 ⁻⁹	4,2.10 ⁻⁹	2,6.10 ⁻⁹	2,2.10 ⁻⁹	
		M	0,200	1,8.10 ⁻⁸		1,3.10 ⁻⁸	7,9.10 ⁻⁹	5,5.10 ⁻⁹	4,6.10 ⁻⁹	3,7.10 ⁻⁹	
		S	0,020	1,7.10 ⁻⁸		1,3.10 ⁻⁸	8,1.10 ⁻⁹	5,8.10 ⁻⁹	5,1.10 ⁻⁹	4,0.10 ⁻⁹	
Fe-60	1,00.10 ⁵ r	F	0,600	4,4.10 ⁻⁷		3,9.10 ⁻⁷	3,5.10 ⁻⁷	3,2.10 ⁻⁷	2,9.10 ⁻⁷	2,8.10 ⁻⁷	
		M	0,200	2,0.10 ⁻⁷		1,7.10 ⁻⁷	1,6.10 ⁻⁷	1,4.10 ⁻⁷	1,4.10 ⁻⁷	1,4.10 ⁻⁷	
		S	0,020	9,3.10 ⁻⁸		8,8.10 ⁻⁸	6,7.10 ⁻⁸	5,2.10 ⁻⁸	4,9.10 ⁻⁸	4,9.10 ⁻⁸	
Kobalt											
Co-55	17,5 h	F	0,600	2,2.10 ⁻⁹		1,8.10 ⁻⁹	9,0.10 ⁻¹⁰	5,5.10 ⁻¹⁰	3,1.10 ⁻¹⁰	2,7.10 ⁻¹⁰	
		M	0,200	4,1.10 ⁻⁹		3,1.10 ⁻⁹	1,5.10 ⁻⁹	9,8.10 ⁻¹⁰	6,1.10 ⁻¹⁰	5,0.10 ⁻¹⁰	
		S	0,020	4,6.10 ⁻⁹		3,3.10 ⁻⁹	1,6.10 ⁻⁹	1,1.10 ⁻⁹	6,6.10 ⁻¹⁰	5,3.10 ⁻¹⁰	
Co-56	78,7 d	F	0,600	1,4.10 ⁻⁸		1,0.10 ⁻⁸	5,5.10 ⁻⁹	3,5.10 ⁻⁹	2,2.10 ⁻⁹	1,8.10 ⁻⁹	
		M	0,200	2,5.10 ⁻⁸		2,1.10 ⁻⁸	1,1.10 ⁻⁸	7,4.10 ⁻⁹	5,8.10 ⁻⁹	4,8.10 ⁻⁹	
		S	0,020	2,9.10 ⁻⁸	2,5.10 ⁻⁸	1,5.10 ⁻⁸	1,0.10 ⁻⁸	8,0.10 ⁻⁹	6,7.10 ⁻⁹		
Co-57	271 d	F	0,600	1,5.10 ⁻⁹	1,1.10 ⁻⁹	5,6.10 ⁻¹⁰	3,7.10 ⁻¹⁰	2,3.10 ⁻¹⁰	1,9.10 ⁻¹⁰		
		M	0,200	2,8.10 ⁻⁹	2,2.10 ⁻⁹	1,3.10 ⁻⁹	8,5.10 ⁻¹⁰	6,7.10 ⁻¹⁰	5,5.10 ⁻¹⁰		
		S	0,020	4,4.10 ⁻⁹	3,7.10 ⁻⁹	2,3.10 ⁻⁹	1,5.10 ⁻⁹	1,2.10 ⁻⁹	1,0.10 ⁻⁹		
Co-58	70,8 d	F	0,600	4,0.10 ⁻⁹	3,0.10 ⁻⁹	1,6.10 ⁻⁹	1,0.10 ⁻⁹	6,4.10 ⁻¹⁰	5,3.10 ⁻¹⁰		
		M	0,200	7,3.10 ⁻⁹	6,5.10 ⁻⁹	3,5.10 ⁻⁹	2,4.10 ⁻⁹	2,0.10 ⁻⁹	1,6.10 ⁻⁹		
		S	0,020	9,0.10 ⁻⁹	7,5.10 ⁻⁹	4,5.10 ⁻⁹	3,1.10 ⁻⁹	2,6.10 ⁻⁹	2,1.10 ⁻⁹		
Co-58m	9,15 h	F	0,600	4,8.10 ⁻¹¹	3,6.10 ⁻¹¹	1,7.10 ⁻¹¹	1,1.10 ⁻¹¹	5,9.10 ⁻¹²	5,2.10 ⁻¹²		
		M	0,200	1,1.10 ⁻¹⁰	7,6.10 ⁻¹¹	3,8.10 ⁻¹¹	2,4.10 ⁻¹¹	1,6.10 ⁻¹¹	1,3.10 ⁻¹¹		
		S	0,020	1,3.10 ⁻¹⁰	9,0.10 ⁻¹¹	4,5.10 ⁻¹¹	3,0.10 ⁻¹¹	2,0.10 ⁻¹¹	1,7.10 ⁻¹¹		
Co-60	5,27 r	F	0,600	3,0.10 ⁻⁸	2,3.10 ⁻⁸	1,4.10 ⁻⁸	8,9.10 ⁻⁹	6,1.10 ⁻⁹	5,2.10 ⁻⁹		
		M	0,200	4,2.10 ⁻⁸	3,4.10 ⁻⁸	2,1.10 ⁻⁸	1,5.10 ⁻⁸	1,2.10 ⁻⁸	1,0.10 ⁻⁸		
		S	0,020	9,2.10 ⁻⁸	8,6.10 ⁻⁸	5,9.10 ⁻⁸	4,0.10 ⁻⁸	3,4.10 ⁻⁸	3,1.10 ⁻⁸		
Co-60m	0,174 h	F	0,600	4,4.10 ⁻¹²	2,8.10 ⁻¹²	1,5.10 ⁻¹²	1,0.10 ⁻¹²	8,3.10 ⁻¹³	6,9.10 ⁻¹³		
		M	0,200	7,1.10 ⁻¹²	4,7.10 ⁻¹²	2,7.10 ⁻¹²	1,8.10 ⁻¹²	1,5.10 ⁻¹²	1,2.10 ⁻¹²		
		S	0,020	7,6.10 ⁻¹²	5,1.10 ⁻¹²	2,9.10 ⁻¹²	2,0.10 ⁻¹²	1,7.10 ⁻¹²	1,4.10 ⁻¹²		
Co-61	1,65 h	F	0,600	2,1.10 ⁻¹⁰	1,4.10 ⁻¹⁰	6,0.10 ⁻¹¹	3,8.10 ⁻¹¹	2,2.10 ⁻¹¹	1,9.10 ⁻¹¹		
		M	0,200	4,0.10 ⁻¹⁰	2,7.10 ⁻¹⁰	1,2.10 ⁻¹⁰	8,2.10 ⁻¹¹	5,7.10 ⁻¹¹	4,7.10 ⁻¹¹		
		S	0,020	4,3.10 ⁻¹⁰	2,8.10 ⁻¹⁰	1,3.10 ⁻¹⁰	8,8.10 ⁻¹¹	6,1.10 ⁻¹¹	5,1.10 ⁻¹¹		
Co-62m	0,232 h	F	0,600	1,4.10 ⁻¹⁰	9,5.10 ⁻¹¹	4,5.10 ⁻¹¹	2,8.10 ⁻¹¹	1,7.10 ⁻¹¹	1,4.10 ⁻¹¹		
		M	0,200	1,9.10 ⁻¹⁰	1,3.10 ⁻¹⁰	6,1.10 ⁻¹¹	3,8.10 ⁻¹¹	2,4.10 ⁻¹¹	2,0.10 ⁻¹¹		
		S	0,020	2,0.10 ⁻¹⁰	1,3.10 ⁻¹⁰	6,3.10 ⁻¹¹	4,0.10 ⁻¹¹	2,5.10 ⁻¹¹	2,1.10 ⁻¹¹		
Nikel											
Ni-56	6,10 d	F	0,100	3,3.10 ⁻⁹	0,050	2,8.10 ⁻⁹	1,5.10 ⁻⁹	9,3.10 ⁻¹⁰	5,8.10 ⁻¹⁰	4,9.10 ⁻¹⁰	
		M		4,9.10 ⁻⁹	0,050	4,1.10 ⁻⁹	2,3.10 ⁻⁹	1,5.10 ⁻⁹	1,1.10 ⁻⁹	8,7.10 ⁻¹⁰	
		S		5,5.10 ⁻⁹	0,010	4,6.10 ⁻⁹	2,7.10 ⁻⁹	1,8.10 ⁻⁹	1,3.10 ⁻⁹	1,0.10 ⁻⁹	
Ni-57	1,50 d	F	0,100	2,2.10 ⁻⁹	0,050	1,8.10 ⁻⁹	8,9.10 ⁻¹⁰	5,5.10 ⁻¹⁰	3,1.10 ⁻¹⁰	2,5.10 ⁻¹⁰	
		M		3,6.10 ⁻⁹	0,050	2,8.10 ⁻⁹	1,5.10 ⁻⁹	9,5.10 ⁻¹⁰	6,2.10 ⁻¹⁰	5,0.10 ⁻¹⁰	
		S		3,9.10 ⁻⁹	0,010	3,0.10 ⁻⁹	1,5.10 ⁻⁹	1,0.10 ⁻⁹	6,6.10 ⁻¹⁰	5,3.10 ⁻¹⁰	
Ni-59	7,50.10 ⁴ r	F	0,100	9,6.10 ⁻¹⁰	0,050	8,1.10 ⁻¹⁰	4,5.10 ⁻¹⁰	2,8.10 ⁻¹⁰	1,9.10 ⁻¹⁰	1,8.10 ⁻¹⁰	
		M		7,9.10 ⁻¹⁰	0,050	6,2.10 ⁻¹⁰	3,4.10 ⁻¹⁰	2,1.10 ⁻¹⁰	1,4.10 ⁻¹⁰	1,3.10 ⁻¹⁰	
		S		1,7.10 ⁻⁹	0,010	1,5.10 ⁻⁹	9,5.10 ⁻¹⁰	5,9.10 ⁻¹⁰	4,6.10 ⁻¹⁰	4,4.10 ⁻¹⁰	
Ni-63	96,0 r	F	0,100	2,3.10 ⁻⁹	0,050	2,0.10 ⁻⁹	1,1.10 ⁻⁹	6,7.10 ⁻¹⁰	4,6.10 ⁻¹⁰	4,4.10 ⁻¹⁰	
		M	0,100	2,5.10 ⁻⁹	0,050	1,9.10 ⁻⁹	1,1.10 ⁻⁹	7,0.10 ⁻¹⁰	5,3.10 ⁻¹⁰	4,8.10 ⁻¹⁰	
		S	0,020	4,8.10 ⁻⁹	0,010	4,3.10 ⁻⁹	2,7.10 ⁻⁹	1,7.10 ⁻⁹	1,3.10 ⁻⁹	1,3.10 ⁻⁹	
Ni-65	2,52 h	F	0,100	4,4.10 ⁻¹⁰	0,050	3,0.10 ⁻¹⁰	1,4.10 ⁻¹⁰	8,5.10 ⁻¹¹	4,9.10 ⁻¹¹	4,1.10 ⁻¹¹	
		M		7,7.10 ⁻¹⁰	0,050	5,2.10 ⁻¹⁰	2,4.10 ⁻¹⁰	1,6.10 ⁻¹⁰	1,0.10 ⁻¹⁰	8,5.10 ⁻¹¹	
		S		8,1.10 ⁻¹⁰	0,010	5,5.10 ⁻¹⁰	2,6.10 ⁻¹⁰	1,7.10 ⁻¹⁰	1,1.10 ⁻¹⁰	9,0.10 ⁻¹¹	
Ni-66	2,27 d	F	0,100	5,7.10 ⁻⁹	0,050	3,8.10 ⁻⁹	1,6.10 ⁻⁹	1,0.10 ⁻⁹	5,1.10 ⁻¹⁰	4,2.10 ⁻¹⁰	
		M		1,3.10 ⁻⁸	0,050	9,4.10 ⁻⁹	4,5.10 ⁻⁹	2,9.10 ⁻⁹	2,0.10 ⁻⁹	1,6.10 ⁻⁹	
		S		1,5.10 ⁻⁸	0,010	1,0.10 ⁻⁸	5,0.10 ⁻⁹	3,2.10 ⁻⁹	2,2.10 ⁻⁹	1,8.10 ⁻⁹	
Med'											
Cu-60	0,387 h	F	1,000	2,1.10 ⁻¹⁰	0,500	1,6.10 ⁻¹⁰	7,5.10 ⁻¹¹	4,6.10 ⁻¹¹	2,8.10 ⁻¹¹	2,3.10 ⁻¹¹	
		M		3,0.10 ⁻¹⁰		2,2.10 ⁻¹⁰	1,0.10 ⁻¹⁰	6,5.10 ⁻¹¹	4,0.10 ⁻¹¹	3,3.10 ⁻¹¹	

Tabuľka č. 13: Konverzné faktory h_{inh} na prepočet príjmu rádionuklidov inhaláciou na úväzok efektívnej dávky u jednotlivcov z obyvateľstva

prvok nuklid	Polčas premeny	Typ	vek < 1 rok		f_1 > 1 rok	h_{inh} (Sv.Bq ⁻¹)				
			f_1	h_{inh}		1 – 2	2 - 7	7 - 12	12 - 17	> 17 (dospelí)
Cu-61	3,41 h	S		$3,1 \cdot 10^{-10}$		$2,2 \cdot 10^{-10}$	$1,1 \cdot 10^{-10}$	$6,7 \cdot 10^{-11}$	$4,2 \cdot 10^{-11}$	$3,4 \cdot 10^{-11}$
		F		$3,1 \cdot 10^{-10}$		$2,7 \cdot 10^{-10}$	$1,3 \cdot 10^{-10}$	$7,9 \cdot 10^{-11}$	$4,5 \cdot 10^{-11}$	$3,7 \cdot 10^{-11}$
		M		$4,9 \cdot 10^{-10}$		$4,4 \cdot 10^{-10}$	$2,1 \cdot 10^{-10}$	$1,4 \cdot 10^{-10}$	$9,1 \cdot 10^{-11}$	$7,4 \cdot 10^{-11}$
		S		$5,1 \cdot 10^{-10}$		$4,5 \cdot 10^{-10}$	$2,2 \cdot 10^{-10}$	$1,4 \cdot 10^{-10}$	$9,6 \cdot 10^{-11}$	$7,8 \cdot 10^{-11}$
Cu-64	12,7 h	F		$2,8 \cdot 10^{-10}$		$2,7 \cdot 10^{-10}$	$1,2 \cdot 10^{-10}$	$7,6 \cdot 10^{-11}$	$4,2 \cdot 10^{-11}$	$3,5 \cdot 10^{-11}$
		M		$5,5 \cdot 10^{-10}$		$5,4 \cdot 10^{-10}$	$2,7 \cdot 10^{-10}$	$1,9 \cdot 10^{-10}$	$1,4 \cdot 10^{-10}$	$1,1 \cdot 10^{-10}$
		S		$5,8 \cdot 10^{-10}$		$5,7 \cdot 10^{-10}$	$2,9 \cdot 10^{-10}$	$2,0 \cdot 10^{-10}$	$1,3 \cdot 10^{-10}$	$1,2 \cdot 10^{-10}$
Cu-67	2,58 d	F		$9,5 \cdot 10^{-10}$		$8,0 \cdot 10^{-10}$	$3,5 \cdot 10^{-10}$	$2,2 \cdot 10^{-10}$	$1,2 \cdot 10^{-10}$	$1,0 \cdot 10^{-10}$
		M		$2,3 \cdot 10^{-9}$		$2,0 \cdot 10^{-9}$	$1,1 \cdot 10^{-9}$	$8,1 \cdot 10^{-10}$	$6,9 \cdot 10^{-10}$	$5,5 \cdot 10^{-10}$
		S		$2,5 \cdot 10^{-9}$		$2,1 \cdot 10^{-9}$	$1,2 \cdot 10^{-9}$	$8,9 \cdot 10^{-10}$	$7,7 \cdot 10^{-10}$	$6,1 \cdot 10^{-10}$
Zinok										
Zn-62	9,26 h	F	1,000	$1,7 \cdot 10^{-9}$	0,500	$1,7 \cdot 10^{-9}$	$7,7 \cdot 10^{-10}$	$4,6 \cdot 10^{-10}$	$2,5 \cdot 10^{-10}$	$2,0 \cdot 10^{-10}$
		M	0,200	$4,5 \cdot 10^{-9}$	0,100	$3,5 \cdot 10^{-9}$	$1,6 \cdot 10^{-9}$	$1,0 \cdot 10^{-9}$	$6,0 \cdot 10^{-10}$	$5,0 \cdot 10^{-10}$
		S	0,020	$5,1 \cdot 10^{-9}$	0,010	$3,4 \cdot 10^{-9}$	$1,8 \cdot 10^{-9}$	$1,1 \cdot 10^{-9}$	$6,6 \cdot 10^{-10}$	$5,5 \cdot 10^{-10}$
Zn-63	0,635 h	F	1,000	$2,1 \cdot 10^{-10}$	0,500	$1,4 \cdot 10^{-10}$	$6,5 \cdot 10^{-11}$	$4,0 \cdot 10^{-11}$	$2,4 \cdot 10^{-11}$	$2,0 \cdot 10^{-11}$
		M	0,200	$3,4 \cdot 10^{-10}$	0,100	$2,3 \cdot 10^{-10}$	$1,0 \cdot 10^{-10}$	$6,6 \cdot 10^{-11}$	$4,2 \cdot 10^{-11}$	$3,5 \cdot 10^{-11}$
		S	0,020	$3,6 \cdot 10^{-10}$	0,010	$2,4 \cdot 10^{-10}$	$1,1 \cdot 10^{-10}$	$6,9 \cdot 10^{-11}$	$4,4 \cdot 10^{-11}$	$3,7 \cdot 10^{-11}$
Zn-65	244 d	F	1,000	$1,5 \cdot 10^{-8}$	0,500	$1,0 \cdot 10^{-8}$	$5,7 \cdot 10^{-9}$	$3,8 \cdot 10^{-9}$	$2,5 \cdot 10^{-9}$	$2,2 \cdot 10^{-9}$
		M	0,200	$8,5 \cdot 10^{-9}$	0,100	$6,5 \cdot 10^{-9}$	$3,7 \cdot 10^{-9}$	$2,4 \cdot 10^{-9}$	$1,9 \cdot 10^{-9}$	$1,6 \cdot 10^{-9}$
		S	0,020	$7,6 \cdot 10^{-9}$	0,010	$6,7 \cdot 10^{-9}$	$4,4 \cdot 10^{-9}$	$2,9 \cdot 10^{-9}$	$2,4 \cdot 10^{-9}$	$2,0 \cdot 10^{-9}$
Zn-69	0,950 h	F	1,000	$1,1 \cdot 10^{-10}$	0,500	$7,4 \cdot 10^{-11}$	$3,2 \cdot 10^{-11}$	$2,1 \cdot 10^{-11}$	$1,2 \cdot 10^{-11}$	$1,1 \cdot 10^{-11}$
		M	0,200	$2,2 \cdot 10^{-10}$	0,100	$1,4 \cdot 10^{-10}$	$6,5 \cdot 10^{-11}$	$4,4 \cdot 10^{-11}$	$3,1 \cdot 10^{-11}$	$2,6 \cdot 10^{-11}$
		S	0,020	$2,3 \cdot 10^{-10}$	0,010	$1,5 \cdot 10^{-10}$	$6,9 \cdot 10^{-11}$	$4,7 \cdot 10^{-11}$	$3,4 \cdot 10^{-11}$	$2,8 \cdot 10^{-11}$
Zn-69m	13,8 h	F	1,000	$6,6 \cdot 10^{-10}$	0,500	$6,7 \cdot 10^{-10}$	$3,0 \cdot 10^{-10}$	$1,8 \cdot 10^{-10}$	$9,9 \cdot 10^{-11}$	$8,2 \cdot 10^{-11}$
		M	0,200	$2,1 \cdot 10^{-9}$	0,100	$1,5 \cdot 10^{-9}$	$7,5 \cdot 10^{-10}$	$5,0 \cdot 10^{-10}$	$3,0 \cdot 10^{-10}$	$2,4 \cdot 10^{-10}$
		S	0,020	$2,2 \cdot 10^{-9}$	0,010	$1,7 \cdot 10^{-9}$	$8,2 \cdot 10^{-10}$	$5,4 \cdot 10^{-10}$	$3,3 \cdot 10^{-10}$	$2,7 \cdot 10^{-10}$
Zn-71m	3,92 h	F	1,000	$6,2 \cdot 10^{-10}$	0,500	$5,5 \cdot 10^{-10}$	$2,6 \cdot 10^{-10}$	$1,6 \cdot 10^{-10}$	$9,1 \cdot 10^{-11}$	$7,4 \cdot 10^{-11}$
		M	0,200	$1,3 \cdot 10^{-9}$	0,100	$9,4 \cdot 10^{-10}$	$4,6 \cdot 10^{-10}$	$2,9 \cdot 10^{-10}$	$1,9 \cdot 10^{-10}$	$1,5 \cdot 10^{-10}$
		S	0,020	$1,4 \cdot 10^{-9}$	0,010	$1,0 \cdot 10^{-9}$	$4,9 \cdot 10^{-10}$	$3,1 \cdot 10^{-10}$	$2,0 \cdot 10^{-10}$	$1,6 \cdot 10^{-10}$
Zn-72	1,94 d	F	1,000	$4,3 \cdot 10^{-9}$	0,500	$3,5 \cdot 10^{-9}$	$1,7 \cdot 10^{-9}$	$1,0 \cdot 10^{-9}$	$5,9 \cdot 10^{-10}$	$4,9 \cdot 10^{-10}$
		M	0,200	$8,8 \cdot 10^{-9}$	0,100	$6,5 \cdot 10^{-9}$	$3,4 \cdot 10^{-9}$	$2,3 \cdot 10^{-9}$	$1,5 \cdot 10^{-9}$	$1,2 \cdot 10^{-9}$
		S	0,020	$9,7 \cdot 10^{-9}$	0,010	$7,0 \cdot 10^{-9}$	$3,6 \cdot 10^{-9}$	$2,4 \cdot 10^{-9}$	$1,6 \cdot 10^{-9}$	$1,3 \cdot 10^{-9}$
Gálium										
Ga-65	0,253 h	F		$1,1 \cdot 10^{-10}$		$7,3 \cdot 10^{-11}$	$3,4 \cdot 10^{-11}$	$2,1 \cdot 10^{-11}$	$1,3 \cdot 10^{-11}$	$1,1 \cdot 10^{-11}$
		M		$1,6 \cdot 10^{-10}$		$1,1 \cdot 10^{-10}$	$4,8 \cdot 10^{-11}$	$3,1 \cdot 10^{-11}$	$2,0 \cdot 10^{-11}$	$1,7 \cdot 10^{-11}$
Ga-66	9,40 h	F		$2,8 \cdot 10^{-9}$		$2,0 \cdot 10^{-9}$	$9,2 \cdot 10^{-10}$	$5,7 \cdot 10^{-10}$	$3,0 \cdot 10^{-10}$	$2,5 \cdot 10^{-10}$
		M		$4,5 \cdot 10^{-9}$		$3,1 \cdot 10^{-9}$	$1,5 \cdot 10^{-9}$	$9,2 \cdot 10^{-10}$	$5,3 \cdot 10^{-10}$	$4,4 \cdot 10^{-10}$
Ga-67	3,26 d	F		$6,4 \cdot 10^{-10}$		$4,6 \cdot 10^{-10}$	$2,2 \cdot 10^{-10}$	$1,4 \cdot 10^{-10}$	$7,7 \cdot 10^{-11}$	$6,4 \cdot 10^{-11}$
		M	0,010	$1,4 \cdot 10^{-9}$	0,001	$1,0 \cdot 10^{-9}$	$5,0 \cdot 10^{-10}$	$3,6 \cdot 10^{-10}$	$3,0 \cdot 10^{-10}$	$2,4 \cdot 10^{-10}$
Ga-68	1,13 h	F		$2,9 \cdot 10^{-10}$		$1,9 \cdot 10^{-10}$	$8,8 \cdot 10^{-11}$	$5,4 \cdot 10^{-11}$	$3,1 \cdot 10^{-11}$	$2,6 \cdot 10^{-11}$
		M		$4,6 \cdot 10^{-10}$		$3,1 \cdot 10^{-10}$	$1,4 \cdot 10^{-10}$	$9,2 \cdot 10^{-11}$	$5,9 \cdot 10^{-11}$	$4,9 \cdot 10^{-11}$
Ga-70	0,353 h	F		$9,5 \cdot 10^{-11}$		$6,0 \cdot 10^{-11}$	$2,6 \cdot 10^{-11}$	$1,6 \cdot 10^{-11}$	$1,0 \cdot 10^{-11}$	$8,8 \cdot 10^{-12}$
		M		$1,5 \cdot 10^{-10}$		$9,6 \cdot 10^{-11}$	$4,3 \cdot 10^{-11}$	$2,8 \cdot 10^{-11}$	$1,8 \cdot 10^{-11}$	$1,6 \cdot 10^{-11}$
Ga-72	14,1 h	F		$2,9 \cdot 10^{-9}$		$2,2 \cdot 10^{-9}$	$1,0 \cdot 10^{-9}$	$6,4 \cdot 10^{-10}$	$3,6 \cdot 10^{-10}$	$2,9 \cdot 10^{-10}$
		M		$4,5 \cdot 10^{-9}$		$3,3 \cdot 10^{-9}$	$1,6 \cdot 10^{-9}$	$1,0 \cdot 10^{-9}$	$6,5 \cdot 10^{-10}$	$5,3 \cdot 10^{-10}$
Ga-73	4,91 h	F	0,010	$6,7 \cdot 10^{-10}$	0,001	$4,5 \cdot 10^{-10}$	$2,0 \cdot 10^{-10}$	$1,2 \cdot 10^{-10}$	$6,4 \cdot 10^{-11}$	$5,4 \cdot 10^{-11}$
		M		$1,2 \cdot 10^{-9}$		$8,4 \cdot 10^{-10}$	$4,0 \cdot 10^{-10}$	$2,6 \cdot 10^{-10}$	$1,7 \cdot 10^{-10}$	$1,4 \cdot 10^{-10}$
Germánium										
Ge-66	2,27 h	F		$4,5 \cdot 10^{-10}$		$3,5 \cdot 10^{-10}$	$1,8 \cdot 10^{-10}$	$1,1 \cdot 10^{-10}$	$6,7 \cdot 10^{-11}$	$5,4 \cdot 10^{-11}$
		M		$6,4 \cdot 10^{-10}$		$4,8 \cdot 10^{-10}$	$2,5 \cdot 10^{-10}$	$1,6 \cdot 10^{-10}$	$1,1 \cdot 10^{-10}$	$9,1 \cdot 10^{-11}$
Ge-67	0,312 h	F		$1,7 \cdot 10^{-10}$		$1,1 \cdot 10^{-10}$	$4,9 \cdot 10^{-11}$	$3,1 \cdot 10^{-11}$	$1,8 \cdot 10^{-11}$	$1,5 \cdot 10^{-11}$
		M		$2,5 \cdot 10^{-10}$		$1,6 \cdot 10^{-10}$	$7,3 \cdot 10^{-11}$	$4,6 \cdot 10^{-11}$	$2,9 \cdot 10^{-11}$	$2,5 \cdot 10^{-11}$
Ge-68	288 d	F		$5,4 \cdot 10^{-9}$		$3,8 \cdot 10^{-9}$	$1,8 \cdot 10^{-9}$	$1,1 \cdot 10^{-9}$	$6,3 \cdot 10^{-10}$	$5,2 \cdot 10^{-10}$
		M	1,000	$6,0 \cdot 10^{-8}$	1,000	$5,0 \cdot 10^{-8}$	$3,0 \cdot 10^{-8}$	$2,0 \cdot 10^{-8}$	$1,6 \cdot 10^{-8}$	$1,4 \cdot 10^{-8}$
Ge-69	1,63 d	F		$1,2 \cdot 10^{-9}$		$9,0 \cdot 10^{-10}$	$4,6 \cdot 10^{-10}$	$2,8 \cdot 10^{-10}$	$1,7 \cdot 10^{-10}$	$1,3 \cdot 10^{-10}$
		M		$1,8 \cdot 10^{-9}$		$1,4 \cdot 10^{-9}$	$7,4 \cdot 10^{-10}$	$4,9 \cdot 10^{-10}$	$3,6 \cdot 10^{-10}$	$2,9 \cdot 10^{-10}$
Ge-71	11,8 d	F		$6,0 \cdot 10^{-11}$		$4,3 \cdot 10^{-11}$	$2,0 \cdot 10^{-11}$	$1,1 \cdot 10^{-11}$	$6,1 \cdot 10^{-12}$	$4,8 \cdot 10^{-12}$
		M		$1,2 \cdot 10^{-10}$		$8,6 \cdot 10^{-11}$	$4,1 \cdot 10^{-11}$	$2,4 \cdot 10^{-11}$	$1,3 \cdot 10^{-11}$	$1,1 \cdot 10^{-11}$
Ge-75	1,38 h	F		$1,6 \cdot 10^{-10}$		$1,0 \cdot 10^{-10}$	$4,3 \cdot 10^{-11}$	$2,8 \cdot 10^{-11}$	$1,7 \cdot 10^{-11}$	$1,5 \cdot 10^{-11}$

Tabuľka č. 13: Konverzné faktory h_{inh} na prepočet príjmu rádionuklidov inhaláciou na úväzok efektívnej dávky u jednotlivcov z obyvateľstva

prvok nuklid	Polčas premeny	Typ	vek < 1 rok		f_1	h_{inh} (Sv.Bq ⁻¹)				
			f_1	h_{inh}	> 1 rok	1 – 2	2 - 7	7 - 12	12 - 17	> 17 (dospelí)
Ge-77	11,3 h	M		2,9.10 ⁻¹⁰		1,9.10 ⁻¹⁰	8,9.10 ⁻¹¹	6,1.10 ⁻¹¹	4,4.10 ⁻¹¹	3,6.10 ⁻¹¹
		F		1,3.10 ⁻⁹		9,5.10 ⁻¹⁰	4,7.10 ⁻¹⁰	2,9.10 ⁻¹⁰	1,7.10 ⁻¹⁰	1,4.10 ⁻¹⁰
		M		2,3.10 ⁻⁹		1,7.10 ⁻⁹	8,8.10 ⁻¹⁰	6,0.10 ⁻¹⁰	4,5.10 ⁻¹⁰	3,7.10 ⁻¹⁰
Ge-78	1,45 h	F		4,3.10 ⁻¹⁰		2,9.10 ⁻¹⁰	1,4.10 ⁻¹⁰	8,9.10 ⁻¹¹	5,5.10 ⁻¹¹	4,5.10 ⁻¹¹
		M		7,3.10 ⁻¹⁰		5,0.10 ⁻¹⁰	2,5.10 ⁻¹⁰	1,6.10 ⁻¹⁰	1,2.10 ⁻¹⁰	9,5.10 ⁻¹¹
Arzén										
As-69	0,253 h	M	1,000	2,1.10 ⁻¹⁰	0,500	1,4.10 ⁻¹⁰	6,3.10 ⁻¹¹	4,0.10 ⁻¹¹	2,5.10 ⁻¹¹	2,1.10 ⁻¹¹
As-70	0,876 h			5,7.10 ⁻¹⁰		4,3.10 ⁻¹⁰	2,1.10 ⁻¹⁰	1,3.10 ⁻¹⁰	8,3.10 ⁻¹¹	6,7.10 ⁻¹¹
As-71	2,70 d			2,2.10 ⁻⁹		1,9.10 ⁻⁹	1,0.10 ⁻⁹	6,8.10 ⁻¹⁰	5,0.10 ⁻¹⁰	4,0.10 ⁻¹⁰
As-72	1,08 d			5,9.10 ⁻⁹		5,7.10 ⁻⁹	2,7.10 ⁻⁹	1,7.10 ⁻⁹	1,1.10 ⁻⁹	9,0.10 ⁻¹⁰
As-73	80,3 d			5,4.10 ⁻⁹		4,0.10 ⁻⁹	2,3.10 ⁻⁹	1,5.10 ⁻⁹	1,2.10 ⁻⁹	1,0.10 ⁻⁹
As-74	17,8 d			1,1.10 ⁻⁸		8,4.10 ⁻⁹	4,7.10 ⁻⁹	3,3.10 ⁻⁹	2,6.10 ⁻⁹	2,1.10 ⁻⁹
As-76	1,10 d			5,1.10 ⁻⁹		4,6.10 ⁻⁹	2,2.10 ⁻⁹	1,4.10 ⁻⁹	8,8.10 ⁻¹⁰	7,4.10 ⁻¹⁰
As-77	1,62 d			2,2.10 ⁻⁹		1,7.10 ⁻⁹	8,9.10 ⁻¹⁰	6,2.10 ⁻¹⁰	5,0.10 ⁻¹⁰	3,9.10 ⁻¹⁰
As-78	1,51 h			8,0.10 ⁻¹⁰		5,8.10 ⁻¹⁰	2,7.10 ⁻¹⁰	1,7.10 ⁻¹⁰	1,1.10 ⁻¹⁰	8,9.10 ⁻¹¹
Selén										
Se-70	0,683 h	F	1,000	3,9.10 ⁻¹⁰	0,800	3,0.10 ⁻¹⁰	1,5.10 ⁻¹⁰	9,0.10 ⁻¹¹	5,1.10 ⁻¹¹	4,2.10 ⁻¹¹
		M	0,200	6,5.10 ⁻¹⁰	0,100	4,7.10 ⁻¹⁰	2,3.10 ⁻¹⁰	1,4.10 ⁻¹⁰	8,9.10 ⁻¹¹	7,3.10 ⁻¹¹
		S	0,020	6,8.10 ⁻¹⁰	0,010	4,8.10 ⁻¹⁰	2,3.10 ⁻¹⁰	1,5.10 ⁻¹⁰	9,4.10 ⁻¹¹	7,6.10 ⁻¹¹
Se-73	7,15 h	F	1,000	7,7.10 ⁻¹⁰	0,800	6,5.10 ⁻¹⁰	3,3.10 ⁻¹⁰	2,1.10 ⁻¹⁰	1,0.10 ⁻¹⁰	8,0.10 ⁻¹¹
		M	0,200	1,6.10 ⁻⁹	0,100	1,2.10 ⁻⁹	5,9.10 ⁻¹⁰	3,8.10 ⁻¹⁰	2,4.10 ⁻¹⁰	1,9.10 ⁻¹⁰
		S	0,020	1,8.10 ⁻⁹	0,010	1,3.10 ⁻⁹	6,3.10 ⁻¹⁰	4,0.10 ⁻¹⁰	2,6.10 ⁻¹⁰	2,1.10 ⁻¹⁰
Se-73m	0,650 h	F	1,000	9,3.10 ⁻¹¹	0,800	7,2.10 ⁻¹¹	3,5.10 ⁻¹¹	2,3.10 ⁻¹¹	1,1.10 ⁻¹¹	9,2.10 ⁻¹²
		M	0,200	1,8.10 ⁻¹⁰	0,100	1,3.10 ⁻¹⁰	6,1.10 ⁻¹¹	3,9.10 ⁻¹¹	2,5.10 ⁻¹¹	2,0.10 ⁻¹¹
		S	0,020	1,9.10 ⁻¹⁰	0,010	1,3.10 ⁻¹⁰	6,5.10 ⁻¹¹	4,1.10 ⁻¹¹	2,6.10 ⁻¹¹	2,2.10 ⁻¹¹
Se-75	120 d	F	1,000	7,8.10 ⁻⁹	0,800	6,0.10 ⁻⁹	3,4.10 ⁻⁹	2,5.10 ⁻⁹	1,2.10 ⁻⁹	1,0.10 ⁻⁹
		M	0,200	5,4.10 ⁻⁹	0,100	4,5.10 ⁻⁹	2,5.10 ⁻⁹	1,7.10 ⁻⁹	1,3.10 ⁻⁹	1,1.10 ⁻⁹
		S	0,020	5,6.10 ⁻⁹	0,010	4,7.10 ⁻⁹	2,9.10 ⁻⁹	2,0.10 ⁻⁹	1,6.10 ⁻⁹	1,3.10 ⁻⁹
Se-79	6,50.10 ⁴ r	F	1,000	1,6.10 ⁻⁸	0,800	1,3.10 ⁻⁸	7,7.10 ⁻⁹	5,6.10 ⁻⁹	1,5.10 ⁻⁹	1,1.10 ⁻⁹
		M	0,200	1,4.10 ⁻⁸	0,100	1,1.10 ⁻⁸	6,9.10 ⁻⁹	4,9.10 ⁻⁹	3,3.10 ⁻⁹	2,6.10 ⁻⁹
		S	0,020	2,3.10 ⁻⁸	0,010	2,0.10 ⁻⁸	1,3.10 ⁻⁸	8,7.10 ⁻⁹	7,6.10 ⁻⁹	6,8.10 ⁻⁹
Se-81	0,308 h	F	1,000	8,6.10 ⁻¹¹	0,800	5,4.10 ⁻¹¹	2,3.10 ⁻¹¹	1,5.10 ⁻¹¹	9,2.10 ⁻¹²	8,0.10 ⁻¹²
		M	0,200	1,3.10 ⁻¹⁰	0,100	8,5.10 ⁻¹¹	3,8.10 ⁻¹¹	2,5.10 ⁻¹¹	1,6.10 ⁻¹¹	1,4.10 ⁻¹¹
		S	0,020	1,4.10 ⁻¹⁰	0,010	8,9.10 ⁻¹¹	3,9.10 ⁻¹¹	2,6.10 ⁻¹¹	1,7.10 ⁻¹¹	1,5.10 ⁻¹¹
Se-81m	0,954 h	F	1,000	1,8.10 ⁻¹⁰	0,800	1,2.10 ⁻¹⁰	5,4.10 ⁻¹¹	3,4.10 ⁻¹¹	1,9.10 ⁻¹¹	1,6.10 ⁻¹¹
		M	0,200	3,8.10 ⁻¹⁰	0,100	2,5.10 ⁻¹⁰	1,2.10 ⁻¹⁰	8,0.10 ⁻¹¹	5,8.10 ⁻¹¹	4,7.10 ⁻¹¹
		S	0,020	4,1.10 ⁻¹⁰	0,010	2,7.10 ⁻¹⁰	1,3.10 ⁻¹⁰	8,5.10 ⁻¹¹	6,2.10 ⁻¹¹	5,1.10 ⁻¹¹
Se-83	0,375 h	F	1,000	1,7.10 ⁻¹⁰	0,800	1,2.10 ⁻¹⁰	5,8.10 ⁻¹¹	3,6.10 ⁻¹¹	2,1.10 ⁻¹¹	1,8.10 ⁻¹¹
		M	0,200	2,7.10 ⁻¹⁰	0,100	1,9.10 ⁻¹⁰	9,2.10 ⁻¹¹	5,9.10 ⁻¹¹	3,9.10 ⁻¹¹	3,2.10 ⁻¹¹
		S	0,020	2,8.10 ⁻¹⁰	0,010	2,0.10 ⁻¹⁰	9,6.10 ⁻¹¹	6,2.10 ⁻¹¹	4,1.10 ⁻¹¹	3,4.10 ⁻¹¹
Bróm										
Br-74	0,422 h	F		2,5.10 ⁻¹⁰		1,8.10 ⁻¹⁰	8,6.10 ⁻¹¹	5,3.10 ⁻¹¹	3,2.10 ⁻¹¹	2,6.10 ⁻¹¹
		M		3,6.10 ⁻¹⁰		2,5.10 ⁻¹⁰	1,2.10 ⁻¹⁰	7,5.10 ⁻¹¹	4,6.10 ⁻¹¹	3,8.10 ⁻¹¹
Br-74m	0,691 h	F		4,0.10 ⁻¹⁰		2,8.10 ⁻¹⁰	1,3.10 ⁻¹⁰	8,1.10 ⁻¹¹	4,8.10 ⁻¹¹	3,9.10 ⁻¹¹
		M		5,9.10 ⁻¹⁰		4,1.10 ⁻¹⁰	1,9.10 ⁻¹⁰	1,2.10 ⁻¹⁰	7,5.10 ⁻¹¹	6,2.10 ⁻¹¹
Br-75	1,63 h	F		2,9.10 ⁻¹⁰		2,1.10 ⁻¹⁰	9,7.10 ⁻¹¹	5,9.10 ⁻¹¹	3,5.10 ⁻¹¹	2,9.10 ⁻¹¹
		M		4,5.10 ⁻¹⁰		3,1.10 ⁻¹⁰	1,5.10 ⁻¹⁰	9,7.10 ⁻¹¹	6,5.10 ⁻¹¹	5,3.10 ⁻¹¹
Br-76	16,2 h	F		2,2.10 ⁻⁹		1,7.10 ⁻⁹	8,4.10 ⁻¹⁰	5,1.10 ⁻¹⁰	3,0.10 ⁻¹⁰	2,4.10 ⁻¹⁰
		M		3,0.10 ⁻⁹		2,3.10 ⁻⁹	1,2.10 ⁻⁹	7,5.10 ⁻¹⁰	5,0.10 ⁻¹⁰	4,1.10 ⁻¹⁰
Br-77	2,33 d	F		5,3.10 ⁻¹⁰		4,4.10 ⁻¹⁰	2,2.10 ⁻¹⁰	1,3.10 ⁻¹⁰	7,7.10 ⁻¹¹	6,2.10 ⁻¹¹
		M		6,3.10 ⁻¹⁰		5,1.10 ⁻¹⁰	2,7.10 ⁻¹⁰	1,6.10 ⁻¹⁰	1,1.10 ⁻¹⁰	8,4.10 ⁻¹¹
Br-80	0,290 h	F		7,1.10 ⁻¹¹		4,4.10 ⁻¹¹	1,8.10 ⁻¹¹	1,2.10 ⁻¹¹	6,9.10 ⁻¹²	5,9.10 ⁻¹²
		M		1,1.10 ⁻¹⁰		6,5.10 ⁻¹¹	2,8.10 ⁻¹¹	1,8.10 ⁻¹¹	1,1.10 ⁻¹¹	9,4.10 ⁻¹²
Br-80m	4,42 h	F		4,3.10 ⁻¹⁰		2,8.10 ⁻¹⁰	1,2.10 ⁻¹⁰	7,2.10 ⁻¹¹	4,0.10 ⁻¹¹	3,3.10 ⁻¹¹
		M		6,8.10 ⁻¹⁰		4,5.10 ⁻¹⁰	2,1.10 ⁻¹⁰	1,4.10 ⁻¹⁰	9,3.10 ⁻¹¹	7,6.10 ⁻¹¹
Br-82	1,47 d	F		2,7.10 ⁻⁹		2,2.10 ⁻⁹	1,2.10 ⁻⁹	7,0.10 ⁻¹⁰	4,2.10 ⁻¹⁰	3,5.10 ⁻¹⁰
		M		3,8.10 ⁻⁹		3,0.10 ⁻⁹	1,7.10 ⁻⁹	1,1.10 ⁻⁹	7,9.10 ⁻¹⁰	6,3.10 ⁻¹⁰
Br-83	2,39 h	F		1,7.10 ⁻¹⁰		1,1.10 ⁻¹⁰	4,7.10 ⁻¹¹	3,0.10 ⁻¹¹	1,8.10 ⁻¹¹	1,6.10 ⁻¹¹
		M		3,5.10 ⁻¹⁰		2,3.10 ⁻¹⁰	1,1.10 ⁻¹⁰	7,7.10 ⁻¹¹	5,9.10 ⁻¹¹	4,8.10 ⁻¹¹

Tabuľka č. 13: Konverzné faktory h_{inh} na prepočet príjmu rádionuklidov inhaláciou na úväzok efektívnej dávky u jednotlivcov z obyvateľstva

prvok nuklid	Polčas premeny	Typ	vek < 1 rok		f_1	h_{inh} (Sv.Bq ⁻¹)				
			f_1	h_{inh}	> 1 rok	1 – 2	2 - 7	7 - 12	12 - 17	> 17 (dospelí)
Br-84	0,530 h	F		$2,4 \cdot 10^{-10}$		$1,6 \cdot 10^{-10}$	$7,1 \cdot 10^{-11}$	$4,4 \cdot 10^{-11}$	$2,6 \cdot 10^{-11}$	$2,2 \cdot 10^{-11}$
		M		$3,7 \cdot 10^{-10}$		$2,4 \cdot 10^{-10}$	$1,1 \cdot 10^{-10}$	$6,9 \cdot 10^{-11}$	$4,4 \cdot 10^{-11}$	$3,7 \cdot 10^{-11}$
Rubídium										
Rb-79	0,382 h	F	1,000	$1,6 \cdot 10^{-10}$	1,000	$1,1 \cdot 10^{-10}$	$5,0 \cdot 10^{-11}$	$3,2 \cdot 10^{-11}$	$1,9 \cdot 10^{-11}$	$1,6 \cdot 10^{-11}$
Rb-81	4,58 h			$3,2 \cdot 10^{-10}$		$2,5 \cdot 10^{-10}$	$1,2 \cdot 10^{-10}$	$7,1 \cdot 10^{-11}$	$4,2 \cdot 10^{-11}$	$3,4 \cdot 10^{-11}$
Rb-81m	0,533 h			$6,2 \cdot 10^{-11}$		$4,6 \cdot 10^{-11}$	$2,2 \cdot 10^{-11}$	$1,4 \cdot 10^{-11}$	$8,5 \cdot 10^{-12}$	$7,0 \cdot 10^{-12}$
Rb-82m	6,20 h			$8,6 \cdot 10^{-10}$		$7,3 \cdot 10^{-10}$	$3,9 \cdot 10^{-10}$	$2,3 \cdot 10^{-10}$	$1,4 \cdot 10^{-10}$	$1,1 \cdot 10^{-10}$
Rb-83	86,2 d			$4,9 \cdot 10^{-9}$		$3,8 \cdot 10^{-9}$	$2,0 \cdot 10^{-9}$	$1,3 \cdot 10^{-9}$	$7,9 \cdot 10^{-10}$	$6,9 \cdot 10^{-10}$
Rb-84	32,8 d			$8,6 \cdot 10^{-9}$		$6,4 \cdot 10^{-9}$	$3,1 \cdot 10^{-9}$	$2,0 \cdot 10^{-9}$	$1,2 \cdot 10^{-9}$	$1,0 \cdot 10^{-9}$
Rb-86	18,6 d			$1,2 \cdot 10^{-8}$		$7,7 \cdot 10^{-9}$	$3,4 \cdot 10^{-9}$	$2,0 \cdot 10^{-9}$	$1,1 \cdot 10^{-9}$	$9,3 \cdot 10^{-10}$
Rb-87	$4,70 \cdot 10^{10}$ r			$6,0 \cdot 10^{-9}$		$4,1 \cdot 10^{-9}$	$1,8 \cdot 10^{-9}$	$1,1 \cdot 10^{-9}$	$6,0 \cdot 10^{-10}$	$5,0 \cdot 10^{-10}$
Rb-88	0,297 h			$1,9 \cdot 10^{-10}$		$1,2 \cdot 10^{-10}$	$5,2 \cdot 10^{-11}$	$3,2 \cdot 10^{-11}$	$1,9 \cdot 10^{-11}$	$1,6 \cdot 10^{-11}$
Rb-89	0,253 h			$1,4 \cdot 10^{-10}$		$9,3 \cdot 10^{-11}$	$4,3 \cdot 10^{-11}$	$2,7 \cdot 10^{-11}$	$1,6 \cdot 10^{-11}$	$1,4 \cdot 10^{-11}$
Stroncium										
Sr-80	1,67 h	F	0,600	$7,8 \cdot 10^{-10}$	0,300	$5,4 \cdot 10^{-10}$	$2,4 \cdot 10^{-10}$	$1,4 \cdot 10^{-10}$	$7,9 \cdot 10^{-11}$	$7,1 \cdot 10^{-11}$
		M	0,200	$1,4 \cdot 10^{-9}$	0,100	$9,0 \cdot 10^{-10}$	$4,1 \cdot 10^{-10}$	$2,5 \cdot 10^{-10}$	$1,5 \cdot 10^{-10}$	$1,3 \cdot 10^{-10}$
		S	0,020	$1,5 \cdot 10^{-9}$	0,010	$9,4 \cdot 10^{-10}$	$4,3 \cdot 10^{-10}$	$2,7 \cdot 10^{-10}$	$1,6 \cdot 10^{-10}$	$1,4 \cdot 10^{-10}$
Sr-81	0,425 h	F	0,600	$2,1 \cdot 10^{-10}$	0,300	$1,5 \cdot 10^{-10}$	$6,7 \cdot 10^{-11}$	$4,1 \cdot 10^{-11}$	$2,4 \cdot 10^{-11}$	$2,1 \cdot 10^{-11}$
		M	0,200	$3,3 \cdot 10^{-10}$	0,100	$2,2 \cdot 10^{-10}$	$1,0 \cdot 10^{-10}$	$6,6 \cdot 10^{-11}$	$4,2 \cdot 10^{-11}$	$3,5 \cdot 10^{-11}$
		S	0,020	$3,4 \cdot 10^{-10}$	0,010	$2,3 \cdot 10^{-10}$	$1,1 \cdot 10^{-10}$	$6,9 \cdot 10^{-11}$	$4,4 \cdot 10^{-11}$	$3,7 \cdot 10^{-11}$
Sr-82	25,0 d	F	0,600	$2,8 \cdot 10^{-8}$	0,300	$1,5 \cdot 10^{-8}$	$6,6 \cdot 10^{-9}$	$4,6 \cdot 10^{-9}$	$3,2 \cdot 10^{-9}$	$2,1 \cdot 10^{-9}$
		M	0,200	$5,5 \cdot 10^{-8}$	0,100	$4,0 \cdot 10^{-8}$	$2,1 \cdot 10^{-8}$	$1,4 \cdot 10^{-8}$	$1,0 \cdot 10^{-8}$	$8,9 \cdot 10^{-9}$
		S	0,020	$6,1 \cdot 10^{-8}$	0,010	$4,6 \cdot 10^{-8}$	$2,5 \cdot 10^{-8}$	$1,7 \cdot 10^{-8}$	$1,2 \cdot 10^{-8}$	$1,1 \cdot 10^{-8}$
Sr-83	1,35 d	F	0,600	$1,4 \cdot 10^{-9}$	0,300	$1,1 \cdot 10^{-9}$	$5,5 \cdot 10^{-10}$	$3,4 \cdot 10^{-10}$	$2,0 \cdot 10^{-10}$	$1,6 \cdot 10^{-10}$
		M	0,200	$2,5 \cdot 10^{-9}$	0,100	$1,9 \cdot 10^{-9}$	$9,5 \cdot 10^{-10}$	$6,0 \cdot 10^{-10}$	$3,9 \cdot 10^{-10}$	$3,1 \cdot 10^{-10}$
		S	0,020	$2,8 \cdot 10^{-9}$	0,010	$2,0 \cdot 10^{-9}$	$1,0 \cdot 10^{-9}$	$6,5 \cdot 10^{-10}$	$4,2 \cdot 10^{-10}$	$3,4 \cdot 10^{-10}$
Sr-85	64,8 d	F	0,600	$4,4 \cdot 10^{-9}$	0,300	$2,3 \cdot 10^{-9}$	$1,1 \cdot 10^{-9}$	$9,6 \cdot 10^{-10}$	$8,3 \cdot 10^{-10}$	$3,8 \cdot 10^{-10}$
		M	0,200	$4,3 \cdot 10^{-9}$	0,100	$3,1 \cdot 10^{-9}$	$1,8 \cdot 10^{-9}$	$1,2 \cdot 10^{-9}$	$8,8 \cdot 10^{-10}$	$6,4 \cdot 10^{-10}$
		S	0,020	$4,4 \cdot 10^{-9}$	0,010	$3,7 \cdot 10^{-9}$	$2,2 \cdot 10^{-9}$	$1,3 \cdot 10^{-9}$	$1,0 \cdot 10^{-9}$	$8,1 \cdot 10^{-10}$
Sr-85m	1,16 h	F	0,600	$2,4 \cdot 10^{-11}$	0,300	$1,9 \cdot 10^{-11}$	$9,6 \cdot 10^{-12}$	$6,0 \cdot 10^{-12}$	$3,7 \cdot 10^{-12}$	$2,9 \cdot 10^{-12}$
		M	0,200	$3,1 \cdot 10^{-11}$	0,100	$2,5 \cdot 10^{-11}$	$1,3 \cdot 10^{-11}$	$8,0 \cdot 10^{-12}$	$5,1 \cdot 10^{-12}$	$4,1 \cdot 10^{-12}$
		S	0,020	$3,2 \cdot 10^{-11}$	0,010	$2,6 \cdot 10^{-11}$	$1,3 \cdot 10^{-11}$	$8,3 \cdot 10^{-12}$	$5,4 \cdot 10^{-12}$	$4,3 \cdot 10^{-12}$
Sr-87m	2,80 h	F	0,600	$9,7 \cdot 10^{-11}$	0,300	$7,8 \cdot 10^{-11}$	$3,8 \cdot 10^{-11}$	$2,3 \cdot 10^{-11}$	$1,3 \cdot 10^{-11}$	$1,1 \cdot 10^{-11}$
		M	0,200	$1,6 \cdot 10^{-10}$	0,100	$1,2 \cdot 10^{-10}$	$5,9 \cdot 10^{-11}$	$3,8 \cdot 10^{-11}$	$2,5 \cdot 10^{-11}$	$2,0 \cdot 10^{-11}$
		S	0,020	$1,7 \cdot 10^{-10}$	0,010	$1,2 \cdot 10^{-10}$	$6,2 \cdot 10^{-11}$	$4,0 \cdot 10^{-11}$	$2,6 \cdot 10^{-11}$	$2,1 \cdot 10^{-11}$
Sr-89	50,5 d	F	0,600	$1,5 \cdot 10^{-8}$	0,300	$7,3 \cdot 10^{-9}$	$3,2 \cdot 10^{-9}$	$2,3 \cdot 10^{-9}$	$1,7 \cdot 10^{-9}$	$1,0 \cdot 10^{-9}$
		M	0,200	$3,3 \cdot 10^{-8}$	0,100	$2,4 \cdot 10^{-8}$	$1,3 \cdot 10^{-8}$	$9,1 \cdot 10^{-9}$	$7,3 \cdot 10^{-9}$	$6,1 \cdot 10^{-9}$
		S	0,020	$3,9 \cdot 10^{-8}$	0,010	$3,0 \cdot 10^{-8}$	$1,7 \cdot 10^{-8}$	$1,2 \cdot 10^{-8}$	$9,3 \cdot 10^{-9}$	$7,9 \cdot 10^{-9}$
Sr-90	29,1 r	F	0,600	$1,3 \cdot 10^{-7}$	0,300	$5,2 \cdot 10^{-8}$	$3,1 \cdot 10^{-8}$	$4,1 \cdot 10^{-8}$	$5,3 \cdot 10^{-8}$	$2,4 \cdot 10^{-8}$
		M	0,200	$1,5 \cdot 10^{-7}$	0,100	$1,1 \cdot 10^{-7}$	$6,5 \cdot 10^{-8}$	$5,1 \cdot 10^{-8}$	$5,0 \cdot 10^{-8}$	$3,6 \cdot 10^{-8}$
		S	0,020	$4,2 \cdot 10^{-7}$	0,010	$4,0 \cdot 10^{-7}$	$2,7 \cdot 10^{-7}$	$1,8 \cdot 10^{-7}$	$1,6 \cdot 10^{-7}$	$1,6 \cdot 10^{-7}$
Sr-91	9,50 h	F	0,600	$1,4 \cdot 10^{-9}$	0,300	$1,1 \cdot 10^{-9}$	$5,2 \cdot 10^{-10}$	$3,1 \cdot 10^{-10}$	$1,7 \cdot 10^{-10}$	$1,6 \cdot 10^{-10}$
		M	0,200	$3,1 \cdot 10^{-9}$	0,100	$2,2 \cdot 10^{-9}$	$1,1 \cdot 10^{-9}$	$6,9 \cdot 10^{-10}$	$4,4 \cdot 10^{-10}$	$3,7 \cdot 10^{-10}$
		S	0,020	$3,5 \cdot 10^{-9}$	0,010	$2,5 \cdot 10^{-9}$	$1,2 \cdot 10^{-9}$	$7,7 \cdot 10^{-10}$	$4,9 \cdot 10^{-10}$	$4,1 \cdot 10^{-10}$
Sr-92	2,71 h	F	0,600	$9,0 \cdot 10^{-10}$	0,300	$7,1 \cdot 10^{-10}$	$3,3 \cdot 10^{-10}$	$2,0 \cdot 10^{-10}$	$1,0 \cdot 10^{-10}$	$9,8 \cdot 10^{-11}$
		M	0,200	$1,9 \cdot 10^{-9}$	0,100	$1,4 \cdot 10^{-9}$	$6,5 \cdot 10^{-10}$	$4,1 \cdot 10^{-10}$	$2,5 \cdot 10^{-10}$	$2,1 \cdot 10^{-10}$
		S	0,020	$2,2 \cdot 10^{-9}$	0,010	$1,5 \cdot 10^{-9}$	$7,0 \cdot 10^{-10}$	$4,5 \cdot 10^{-10}$	$2,7 \cdot 10^{-10}$	$2,3 \cdot 10^{-10}$
Ytrium										
Y-86	14,7 h	M	0,001	$3,7 \cdot 10^{-9}$	$1,0 \cdot 10^{-4}$	$2,9 \cdot 10^{-9}$	$1,5 \cdot 10^{-9}$	$9,3 \cdot 10^{-10}$	$5,6 \cdot 10^{-10}$	$4,5 \cdot 10^{-10}$
		S		$3,8 \cdot 10^{-9}$		$3,0 \cdot 10^{-9}$	$1,5 \cdot 10^{-9}$	$9,6 \cdot 10^{-10}$	$5,8 \cdot 10^{-10}$	$4,7 \cdot 10^{-10}$
Y-86m	0,800 h	M		$2,2 \cdot 10^{-10}$		$1,7 \cdot 10^{-10}$	$8,7 \cdot 10^{-11}$	$5,6 \cdot 10^{-11}$	$3,4 \cdot 10^{-11}$	$2,7 \cdot 10^{-11}$
		S		$2,3 \cdot 10^{-10}$		$1,8 \cdot 10^{-10}$	$9,0 \cdot 10^{-11}$	$5,7 \cdot 10^{-11}$	$3,5 \cdot 10^{-11}$	$2,8 \cdot 10^{-11}$
Y-87	3,35 d	M		$2,7 \cdot 10^{-9}$		$2,1 \cdot 10^{-9}$	$1,1 \cdot 10^{-9}$	$7,0 \cdot 10^{-10}$	$4,7 \cdot 10^{-10}$	$3,7 \cdot 10^{-10}$
		S		$2,8 \cdot 10^{-9}$		$2,2 \cdot 10^{-9}$	$1,1 \cdot 10^{-9}$	$7,3 \cdot 10^{-10}$	$5,0 \cdot 10^{-10}$	$3,9 \cdot 10^{-10}$
Y-88	107 d	M		$1,9 \cdot 10^{-8}$		$1,6 \cdot 10^{-8}$	$1,0 \cdot 10^{-8}$	$6,7 \cdot 10^{-9}$	$4,9 \cdot 10^{-9}$	$4,1 \cdot 10^{-9}$
		S		$2,0 \cdot 10^{-8}$		$1,7 \cdot 10^{-8}$	$9,8 \cdot 10^{-9}$	$6,6 \cdot 10^{-9}$	$5,4 \cdot 10^{-9}$	$4,4 \cdot 10^{-9}$
Y-90	2,67 d	M		$1,3 \cdot 10^{-8}$		$8,4 \cdot 10^{-9}$	$4,0 \cdot 10^{-9}$	$2,6 \cdot 10^{-9}$	$1,7 \cdot 10^{-9}$	$1,4 \cdot 10^{-9}$
		S		$1,3 \cdot 10^{-8}$		$8,8 \cdot 10^{-9}$	$4,2 \cdot 10^{-9}$	$2,7 \cdot 10^{-9}$	$1,8 \cdot 10^{-9}$	$1,5 \cdot 10^{-9}$
Y-90m	3,19 h	M	$7,2 \cdot 10^{-10}$	$5,7 \cdot 10^{-10}$	$2,8 \cdot 10^{-10}$	$1,8 \cdot 10^{-10}$	$1,1 \cdot 10^{-10}$	$9,5 \cdot 10^{-11}$		

Tabuľka č. 13: Konverzné faktory h_{inh} na prepočet príjmu rádionuklidov inhaláciou na úväzok efektívnej dávky u jednotlivcov z obyvateľstva

prvok nuklid	Polčas premeny	Typ	vek < 1 rok		f_1 > 1 rok	h_{inh} (Sv.Bq ⁻¹)				
			f_1	h_{inh}		1 – 2	2 - 7	7 - 12	12 - 17	> 17 (dospelí)
Y-91	58,5 d	S	0,020	7,5.10 ⁻¹⁰	0,002	6,0.10 ⁻¹⁰	2,9.10 ⁻¹⁰	1,9.10 ⁻¹⁰	1,2.10 ⁻¹⁰	1,0.10 ⁻¹⁰
		M		3,9.10 ⁻⁸		3,0.10 ⁻⁸	1,6.10 ⁻⁸	1,1.10 ⁻⁸	8,4.10 ⁻⁹	7,1.10 ⁻⁹
		S		4,3.10 ⁻⁸		3,4.10 ⁻⁸	1,9.10 ⁻⁸	1,3.10 ⁻⁸	1,0.10 ⁻⁸	8,9.10 ⁻⁹
Y-91m	0,828 h	M		7,0.10 ⁻¹¹		5,5.10 ⁻¹¹	2,9.10 ⁻¹¹	1,8.10 ⁻¹¹	1,2.10 ⁻¹¹	1,0.10 ⁻¹¹
		S		7,4.10 ⁻¹¹		5,9.10 ⁻¹¹	3,1.10 ⁻¹¹	2,0.10 ⁻¹¹	1,4.10 ⁻¹¹	1,1.10 ⁻¹¹
Y-92	3,54 h	M		1,8.10 ⁻⁹		1,2.10 ⁻⁹	5,3.10 ⁻¹⁰	3,3.10 ⁻¹⁰	2,0.10 ⁻¹⁰	1,7.10 ⁻¹⁰
		S		1,9.10 ⁻⁹		1,2.10 ⁻⁹	5,5.10 ⁻¹⁰	3,5.10 ⁻¹⁰	2,1.10 ⁻¹⁰	1,8.10 ⁻¹⁰
Y-93	10,1 h	M		4,4.10 ⁻⁹		2,9.10 ⁻⁹	1,3.10 ⁻⁹	8,1.10 ⁻¹⁰	4,7.10 ⁻¹⁰	4,0.10 ⁻¹⁰
		S		4,6.10 ⁻⁹		3,0.10 ⁻⁹	1,4.10 ⁻⁹	8,5.10 ⁻¹⁰	5,0.10 ⁻¹⁰	4,2.10 ⁻¹⁰
Y-94	0,318 h	M		2,8.10 ⁻¹⁰		1,8.10 ⁻¹⁰	8,1.10 ⁻¹¹	5,0.10 ⁻¹¹	3,1.10 ⁻¹¹	2,7.10 ⁻¹¹
		S		2,9.10 ⁻¹⁰		1,9.10 ⁻¹⁰	8,4.10 ⁻¹¹	5,2.10 ⁻¹¹	3,3.10 ⁻¹¹	2,8.10 ⁻¹¹
Y-95	0,178 h	M		1,5.10 ⁻¹⁰		9,8.10 ⁻¹¹	4,4.10 ⁻¹¹	2,8.10 ⁻¹¹	1,8.10 ⁻¹¹	1,5.10 ⁻¹¹
		S	1,6.10 ⁻¹⁰	1,0.10 ⁻¹⁰	4,5.10 ⁻¹¹	2,9.10 ⁻¹¹	1,8.10 ⁻¹¹	1,6.10 ⁻¹¹		
Zirkón										
Zr-86	16,5 h	F	0,020	2,4.10 ⁻⁹	0,002	1,9.10 ⁻⁹	9,5.10 ⁻¹⁰	5,9.10 ⁻¹⁰	3,4.10 ⁻¹⁰	2,7.10 ⁻¹⁰
		M		3,4.10 ⁻⁹		2,6.10 ⁻⁹	1,3.10 ⁻⁹	8,4.10 ⁻¹⁰	5,2.10 ⁻¹⁰	4,2.10 ⁻¹⁰
		S		3,5.10 ⁻⁹		2,7.10 ⁻⁹	1,4.10 ⁻⁹	8,7.10 ⁻¹⁰	5,4.10 ⁻¹⁰	4,3.10 ⁻¹⁰
Zr-88	83,4 d	F		6,9.10 ⁻⁹		8,3.10 ⁻⁹	5,6.10 ⁻⁹	4,7.10 ⁻⁹	3,6.10 ⁻⁹	3,5.10 ⁻⁹
		M		8,5.10 ⁻⁹		7,8.10 ⁻⁹	5,1.10 ⁻⁹	3,6.10 ⁻⁹	3,0.10 ⁻⁹	2,6.10 ⁻⁹
		S		1,3.10 ⁻⁸		1,2.10 ⁻⁸	7,7.10 ⁻⁹	5,2.10 ⁻⁹	4,3.10 ⁻⁹	3,6.10 ⁻⁹
Zr-89	3,27 d	F		2,6.10 ⁻⁹		2,0.10 ⁻⁹	9,9.10 ⁻¹⁰	6,1.10 ⁻¹⁰	3,6.10 ⁻¹⁰	2,9.10 ⁻¹⁰
		M		3,7.10 ⁻⁹		2,8.10 ⁻⁹	1,5.10 ⁻⁹	9,6.10 ⁻¹⁰	6,5.10 ⁻¹⁰	5,2.10 ⁻¹⁰
		S		3,9.10 ⁻⁹		2,9.10 ⁻⁹	1,5.10 ⁻⁹	1,0.10 ⁻⁹	6,8.10 ⁻¹⁰	5,5.10 ⁻¹⁰
Zr-93	1,53.10 ⁶ r	F		3,5.10 ⁻⁹		4,8.10 ⁻⁹	5,3.10 ⁻⁹	9,7.10 ⁻⁹	1,8.10 ⁻⁸	2,5.10 ⁻⁸
		M		3,3.10 ⁻⁹		3,1.10 ⁻⁹	2,8.10 ⁻⁹	4,1.10 ⁻⁹	7,5.10 ⁻⁹	1,0.10 ⁻⁸
		S		7,0.10 ⁻⁹		6,4.10 ⁻⁹	4,5.10 ⁻⁹	3,3.10 ⁻⁹	3,3.10 ⁻⁹	3,3.10 ⁻⁹
Zr-95	64,0 d	F	1,2.10 ⁻⁸	1,1.10 ⁻⁸	6,4.10 ⁻⁹	4,2.10 ⁻⁹	2,8.10 ⁻⁹	2,5.10 ⁻⁹		
		M	2,0.10 ⁻⁸	1,6.10 ⁻⁸	9,7.10 ⁻⁹	6,8.10 ⁻⁹	5,9.10 ⁻⁹	4,8.10 ⁻⁹		
		S	2,4.10 ⁻⁸	1,9.10 ⁻⁸	1,2.10 ⁻⁸	8,3.10 ⁻⁹	7,3.10 ⁻⁹	5,9.10 ⁻⁹		
Zr-97	16,9 h	F	5,0.10 ⁻⁹	3,4.10 ⁻⁹	1,5.10 ⁻⁹	9,1.10 ⁻¹⁰	4,8.10 ⁻¹⁰	3,9.10 ⁻¹⁰		
		M	7,8.10 ⁻⁹	5,3.10 ⁻⁹	2,8.10 ⁻⁹	1,8.10 ⁻⁹	1,1.10 ⁻⁹	9,2.10 ⁻¹⁰		
		S	8,2.10 ⁻⁹	5,6.10 ⁻⁹	2,9.10 ⁻⁹	1,9.10 ⁻⁹	1,2.10 ⁻⁹	8,9.10 ⁻¹⁰		
Niób										
Nb-88	0,238 h	F	0,020	1,8.10 ⁻¹⁰	0,010	1,3.10 ⁻¹⁰	6,3.10 ⁻¹¹	3,9.10 ⁻¹¹	2,4.10 ⁻¹¹	1,9.10 ⁻¹¹
		M		2,5.10 ⁻¹⁰		1,8.10 ⁻¹⁰	8,5.10 ⁻¹¹	5,3.10 ⁻¹¹	3,3.10 ⁻¹¹	2,7.10 ⁻¹¹
		S		2,6.10 ⁻¹⁰		1,8.10 ⁻¹⁰	8,7.10 ⁻¹¹	5,5.10 ⁻¹¹	3,5.10 ⁻¹¹	2,8.10 ⁻¹¹
Nb-89	2,03 h	F		7,0.10 ⁻¹⁰		4,8.10 ⁻¹⁰	2,2.10 ⁻¹⁰	1,3.10 ⁻¹⁰	7,4.10 ⁻¹¹	6,1.10 ⁻¹¹
		M		1,1.10 ⁻⁹		7,6.10 ⁻¹⁰	3,6.10 ⁻¹⁰	2,2.10 ⁻¹⁰	1,4.10 ⁻¹⁰	1,1.10 ⁻¹⁰
		S		1,2.10 ⁻⁹		7,9.10 ⁻¹⁰	3,7.10 ⁻¹⁰	2,3.10 ⁻¹⁰	1,5.10 ⁻¹⁰	1,2.10 ⁻¹⁰
Nb-89m	1,10 h	F		4,0.10 ⁻¹⁰		2,9.10 ⁻¹⁰	1,4.10 ⁻¹⁰	8,3.10 ⁻¹¹	4,8.10 ⁻¹¹	3,9.10 ⁻¹¹
		M		6,2.10 ⁻¹⁰		4,3.10 ⁻¹⁰	2,1.10 ⁻¹⁰	1,3.10 ⁻¹⁰	8,2.10 ⁻¹¹	6,8.10 ⁻¹¹
		S		6,4.10 ⁻¹⁰		4,4.10 ⁻¹⁰	2,1.10 ⁻¹⁰	1,4.10 ⁻¹⁰	8,6.10 ⁻¹¹	7,1.10 ⁻¹¹
Nb-90	14,6 h	F		3,5.10 ⁻⁹		2,7.10 ⁻⁹	1,3.10 ⁻⁹	8,2.10 ⁻¹⁰	4,7.10 ⁻¹⁰	3,8.10 ⁻¹⁰
		M		5,1.10 ⁻⁹		3,9.10 ⁻⁹	1,9.10 ⁻⁹	1,3.10 ⁻⁹	7,8.10 ⁻¹⁰	6,3.10 ⁻¹⁰
		S		5,3.10 ⁻⁹		4,0.10 ⁻⁹	2,0.10 ⁻⁹	1,3.10 ⁻⁹	8,1.10 ⁻¹⁰	6,6.10 ⁻¹⁰
Nb-93m	13,6 r	F	1,8.10 ⁻⁹	1,4.10 ⁻⁹	7,0.10 ⁻¹⁰	4,4.10 ⁻¹⁰	2,7.10 ⁻¹⁰	2,2.10 ⁻¹⁰		
		M	3,1.10 ⁻⁹	2,4.10 ⁻⁹	1,3.10 ⁻⁹	8,2.10 ⁻¹⁰	5,9.10 ⁻¹⁰	5,1.10 ⁻¹⁰		
		S	7,4.10 ⁻⁹	6,5.10 ⁻⁹	4,0.10 ⁻⁹	2,5.10 ⁻⁹	1,9.10 ⁻⁹	1,8.10 ⁻⁹		
Nb-94	2,03.10 ⁴ r	F	3,1.10 ⁻⁸	2,7.10 ⁻⁸	1,5.10 ⁻⁸	1,0.10 ⁻⁸	6,7.10 ⁻⁹	5,8.10 ⁻⁹		
		M	4,3.10 ⁻⁸	3,7.10 ⁻⁸	2,3.10 ⁻⁸	1,6.10 ⁻⁸	1,3.10 ⁻⁸	1,1.10 ⁻⁸		
		S	1,2.10 ⁻⁷	1,2.10 ⁻⁷	8,3.10 ⁻⁸	5,8.10 ⁻⁸	5,2.10 ⁻⁸	4,9.10 ⁻⁸		
Nb-95	35,1 d	F	4,1.10 ⁻⁹	3,1.10 ⁻⁹	1,6.10 ⁻⁹	1,2.10 ⁻⁹	7,5.10 ⁻¹⁰	5,7.10 ⁻¹⁰		
		M	6,8.10 ⁻⁹	5,2.10 ⁻⁹	3,1.10 ⁻⁹	2,2.10 ⁻⁹	1,9.10 ⁻⁹	1,5.10 ⁻⁹		
		S	7,7.10 ⁻⁹	5,9.10 ⁻⁹	3,6.10 ⁻⁹	2,5.10 ⁻⁹	2,2.10 ⁻⁹	1,8.10 ⁻⁹		
Nb-95m	3,61 d	F	2,3.10 ⁻⁹	1,6.10 ⁻⁹	7,0.10 ⁻¹⁰	4,2.10 ⁻¹⁰	2,4.10 ⁻¹⁰	2,0.10 ⁻¹⁰		
		M	4,3.10 ⁻⁹	3,1.10 ⁻⁹	1,7.10 ⁻⁹	1,2.10 ⁻⁹	1,0.10 ⁻⁹	7,9.10 ⁻¹⁰		
		S	4,6.10 ⁻⁹	3,4.10 ⁻⁹	1,9.10 ⁻⁹	1,3.10 ⁻⁹	1,1.10 ⁻⁹	8,8.10 ⁻¹⁰		
Nb-96	23,3 h	F	3,1.10 ⁻⁹	2,4.10 ⁻⁹	1,2.10 ⁻⁹	7,3.10 ⁻¹⁰	4,2.10 ⁻¹⁰	3,4.10 ⁻¹⁰		
		M	4,7.10 ⁻⁹	3,6.10 ⁻⁹	1,8.10 ⁻⁹	1,2.10 ⁻⁹	7,8.10 ⁻¹⁰	6,3.10 ⁻¹⁰		

Tabuľka č. 13: Konverzné faktory h_{inh} na prepočet príjmu rádionuklidov inhaláciou na úväzok efektívnej dávky u jednotlivcov z obyvateľstva

prvok nuklid	Polčas premeny	Typ	vek < 1 rok		f_1 > 1 rok	h_{inh} (Sv.Bq ⁻¹)				
			f_1	h_{inh}		1 – 2	2 - 7	7 - 12	12 - 17	> 17 (dospelí)
Nb-97	1,20 h	S		4,9.10 ⁻⁹		3,7.10 ⁻⁹	1,9.10 ⁻⁹	1,2.10 ⁻⁹	8,3.10 ⁻¹⁰	6,6.10 ⁻¹⁰
		F		2,2.10 ⁻¹⁰		1,5.10 ⁻¹⁰	6,8.10 ⁻¹¹	4,2.10 ⁻¹¹	2,5.10 ⁻¹¹	2,1.10 ⁻¹¹
		M		3,7.10 ⁻¹⁰		2,5.10 ⁻¹⁰	1,2.10 ⁻¹⁰	7,7.10 ⁻¹¹	5,2.10 ⁻¹¹	4,3.10 ⁻¹¹
		S		3,8.10 ⁻¹⁰		2,6.10 ⁻¹⁰	1,2.10 ⁻¹⁰	8,1.10 ⁻¹¹	5,5.10 ⁻¹¹	4,5.10 ⁻¹¹
Nb-98	0,858 h	F		3,4.10 ⁻¹⁰		2,4.10 ⁻¹⁰	1,1.10 ⁻¹⁰	6,9.10 ⁻¹¹	4,1.10 ⁻¹¹	3,3.10 ⁻¹¹
		M		5,2.10 ⁻¹⁰		3,6.10 ⁻¹⁰	1,7.10 ⁻¹⁰	1,1.10 ⁻¹⁰	6,8.10 ⁻¹¹	5,6.10 ⁻¹¹
		S		5,3.10 ⁻¹⁰		3,7.10 ⁻¹⁰	1,8.10 ⁻¹⁰	1,1.10 ⁻¹⁰	7,1.10 ⁻¹¹	5,8.10 ⁻¹¹
Molybdén										
Mo-90	5,67 h	F	1,000	1,2.10 ⁻⁹	0,800	1,1.10 ⁻⁹	5,3.10 ⁻¹⁰	3,2.10 ⁻¹⁰	1,9.10 ⁻¹⁰	1,5.10 ⁻¹⁰
		M	0,200	2,6.10 ⁻⁹	0,100	2,0.10 ⁻⁹	9,9.10 ⁻¹⁰	6,5.10 ⁻¹⁰	4,2.10 ⁻¹⁰	3,4.10 ⁻¹⁰
		S	0,020	2,8.10 ⁻⁹	0,010	2,1.10 ⁻⁹	1,1.10 ⁻⁹	6,9.10 ⁻¹⁰	4,5.10 ⁻¹⁰	3,6.10 ⁻¹⁰
Mo-93	3,50.10 ³ r	F	1,000	3,1.10 ⁻⁹	0,800	2,6.10 ⁻⁹	1,7.10 ⁻⁹	1,3.10 ⁻⁹	1,1.10 ⁻⁹	1,0.10 ⁻⁹
		M	0,200	2,2.10 ⁻⁹	0,100	1,8.10 ⁻⁹	1,1.10 ⁻⁹	7,9.10 ⁻¹⁰	6,6.10 ⁻¹⁰	5,9.10 ⁻¹⁰
		S	0,020	6,0.10 ⁻⁹	0,010	5,8.10 ⁻⁹	4,0.10 ⁻⁹	2,8.10 ⁻⁹	2,4.10 ⁻⁹	2,3.10 ⁻⁹
Mo-93m	6,85 h	F	1,000	7,3.10 ⁻¹⁰	0,800	6,4.10 ⁻¹⁰	3,3.10 ⁻¹⁰	2,0.10 ⁻¹⁰	1,2.10 ⁻¹⁰	9,6.10 ⁻¹¹
		M	0,200	1,2.10 ⁻⁹	0,100	9,7.10 ⁻¹⁰	5,0.10 ⁻¹⁰	3,2.10 ⁻¹⁰	2,0.10 ⁻¹⁰	1,6.10 ⁻¹⁰
		S	0,020	1,3.10 ⁻⁹	0,010	1,0.10 ⁻⁹	5,2.10 ⁻¹⁰	3,4.10 ⁻¹⁰	2,1.10 ⁻¹⁰	1,7.10 ⁻¹⁰
Mo-99	2,75 d	F	1,000	2,3.10 ⁻⁹	0,800	1,7.10 ⁻⁹	7,7.10 ⁻¹⁰	4,7.10 ⁻¹⁰	2,6.10 ⁻¹⁰	2,2.10 ⁻¹⁰
		M	0,200	6,0.10 ⁻⁹	0,100	4,4.10 ⁻⁹	2,2.10 ⁻⁹	1,5.10 ⁻⁹	1,1.10 ⁻⁹	8,9.10 ⁻¹⁰
		S	0,020	6,9.10 ⁻⁹	0,010	4,8.10 ⁻⁹	2,4.10 ⁻⁹	1,7.10 ⁻⁹	1,2.10 ⁻⁹	9,9.10 ⁻¹⁰
Mo-101	0,244 h	F	1,000	1,4.10 ⁻¹⁰	0,800	9,7.10 ⁻¹¹	4,4.10 ⁻¹¹	2,8.10 ⁻¹¹	1,7.10 ⁻¹¹	1,4.10 ⁻¹¹
		M	0,200	2,2.10 ⁻¹⁰	0,100	1,5.10 ⁻¹⁰	7,0.10 ⁻¹¹	4,5.10 ⁻¹¹	3,0.10 ⁻¹¹	2,5.10 ⁻¹¹
		S	0,020	2,3.10 ⁻¹⁰	0,010	1,6.10 ⁻¹⁰	7,2.10 ⁻¹¹	4,7.10 ⁻¹¹	3,1.10 ⁻¹¹	2,6.10 ⁻¹¹
Technécium										
Tc-93	2,75 h	F	1,000	2,4.10 ⁻¹⁰	0,800	2,1.10 ⁻¹⁰	1,1.10 ⁻¹⁰	6,7.10 ⁻¹¹	4,0.10 ⁻¹¹	3,2.10 ⁻¹¹
		M	0,200	2,7.10 ⁻¹⁰	0,100	2,3.10 ⁻¹⁰	1,2.10 ⁻¹⁰	7,5.10 ⁻¹¹	4,4.10 ⁻¹¹	3,5.10 ⁻¹¹
		S	0,020	2,8.10 ⁻¹⁰	0,010	2,3.10 ⁻¹⁰	1,2.10 ⁻¹⁰	7,6.10 ⁻¹¹	4,5.10 ⁻¹¹	3,5.10 ⁻¹¹
Tc-93m	0,725 h	F	1,000	1,2.10 ⁻¹⁰	0,800	9,8.10 ⁻¹¹	4,9.10 ⁻¹¹	2,9.10 ⁻¹¹	1,8.10 ⁻¹¹	1,4.10 ⁻¹¹
		M	0,200	1,4.10 ⁻¹⁰	0,100	1,1.10 ⁻¹⁰	5,4.10 ⁻¹¹	3,4.10 ⁻¹¹	2,1.10 ⁻¹¹	1,7.10 ⁻¹¹
		S	0,020	1,4.10 ⁻¹⁰	0,010	1,1.10 ⁻¹⁰	5,4.10 ⁻¹¹	3,4.10 ⁻¹¹	2,1.10 ⁻¹¹	1,7.10 ⁻¹¹
Tc-94	4,88 h	F	1,000	8,9.10 ⁻¹⁰	0,800	7,5.10 ⁻¹⁰	3,9.10 ⁻¹⁰	2,3.10 ⁻¹⁰	1,4.10 ⁻¹⁰	1,1.10 ⁻¹⁰
		M	0,200	9,8.10 ⁻¹⁰	0,100	8,1.10 ⁻¹⁰	4,2.10 ⁻¹⁰	2,6.10 ⁻¹⁰	1,6.10 ⁻¹⁰	1,2.10 ⁻¹⁰
		S	0,020	9,9.10 ⁻¹⁰	0,010	8,2.10 ⁻¹⁰	4,3.10 ⁻¹⁰	2,7.10 ⁻¹⁰	1,6.10 ⁻¹⁰	1,3.10 ⁻¹⁰
Tc-94m	0,867 h	F	1,000	4,8.10 ⁻¹⁰	0,800	3,4.10 ⁻¹⁰	1,6.10 ⁻¹⁰	8,6.10 ⁻¹¹	5,2.10 ⁻¹¹	4,1.10 ⁻¹¹
		M	0,200	4,4.10 ⁻¹⁰	0,100	3,0.10 ⁻¹⁰	1,4.10 ⁻¹⁰	8,8.10 ⁻¹¹	5,5.10 ⁻¹¹	4,5.10 ⁻¹¹
		S	0,020	4,3.10 ⁻¹⁰	0,010	3,0.10 ⁻¹⁰	1,4.10 ⁻¹⁰	8,8.10 ⁻¹¹	5,6.10 ⁻¹¹	4,6.10 ⁻¹¹
Tc-95	20,0 h	F	1,000	7,5.10 ⁻¹⁰	0,800	6,3.10 ⁻¹⁰	3,3.10 ⁻¹⁰	2,0.10 ⁻¹⁰	1,2.10 ⁻¹⁰	9,6.10 ⁻¹¹
		M	0,200	8,3.10 ⁻¹⁰	0,100	6,9.10 ⁻¹⁰	3,6.10 ⁻¹⁰	2,2.10 ⁻¹⁰	1,3.10 ⁻¹⁰	1,0.10 ⁻¹⁰
		S	0,020	8,5.10 ⁻¹⁰	0,010	7,0.10 ⁻¹⁰	3,6.10 ⁻¹⁰	2,3.10 ⁻¹⁰	1,4.10 ⁻¹⁰	1,1.10 ⁻¹⁰
Tc-95m	61,0 d	F	1,000	2,4.10 ⁻⁹	0,800	1,8.10 ⁻⁹	9,3.10 ⁻¹⁰	5,7.10 ⁻¹⁰	3,6.10 ⁻¹⁰	2,9.10 ⁻¹⁰
		M	0,200	4,9.10 ⁻⁹	0,100	4,0.10 ⁻⁹	2,3.10 ⁻⁹	1,5.10 ⁻⁹	1,1.10 ⁻⁹	8,8.10 ⁻¹⁰
		S	0,020	6,0.10 ⁻⁹	0,010	5,0.10 ⁻⁹	2,7.10 ⁻⁹	1,8.10 ⁻⁹	1,5.10 ⁻⁹	1,2.10 ⁻⁹
Tc-96	4,28 d	F	1,000	4,2.10 ⁻⁹	0,800	3,4.10 ⁻⁹	1,8.10 ⁻⁹	1,1.10 ⁻⁹	7,0.10 ⁻¹⁰	5,7.10 ⁻¹⁰
		M	0,200	4,7.10 ⁻⁹	0,100	3,9.10 ⁻⁹	2,1.10 ⁻⁹	1,3.10 ⁻⁹	8,6.10 ⁻¹⁰	6,8.10 ⁻¹⁰
		S	0,020	4,8.10 ⁻⁹	0,010	3,9.10 ⁻⁹	2,1.10 ⁻⁹	1,4.10 ⁻⁹	8,9.10 ⁻¹⁰	7,0.10 ⁻¹⁰
Tc-96m	0,858 h	F	1,000	5,3.10 ⁻¹¹	0,800	4,1.10 ⁻¹¹	2,1.10 ⁻¹¹	1,3.10 ⁻¹¹	7,7.10 ⁻¹²	6,2.10 ⁻¹²
		M	0,200	5,6.10 ⁻¹¹	0,100	4,4.10 ⁻¹¹	2,3.10 ⁻¹¹	1,4.10 ⁻¹¹	9,3.10 ⁻¹²	7,4.10 ⁻¹²
		S	0,020	5,7.10 ⁻¹¹	0,010	4,4.10 ⁻¹¹	2,3.10 ⁻¹¹	1,5.10 ⁻¹¹	9,5.10 ⁻¹²	7,5.10 ⁻¹²
Tc-97	2,60 10 ⁶ r	F	1,000	5,2.10 ⁻¹⁰	0,800	3,7.10 ⁻¹⁰	1,7.10 ⁻¹⁰	9,4.10 ⁻¹¹	5,6.10 ⁻¹¹	4,3.10 ⁻¹¹
		M	0,200	1,2.10 ⁻⁹	0,100	1,0.10 ⁻⁹	5,7.10 ⁻¹⁰	3,6.10 ⁻¹⁰	2,8.10 ⁻¹⁰	2,2.10 ⁻¹⁰
		S	0,020	5,0.10 ⁻⁹	0,010	4,8.10 ⁻⁹	3,3.10 ⁻⁹	2,2.10 ⁻⁹	1,9.10 ⁻⁹	1,8.10 ⁻⁹
Tc-97m	87,0 d	F	1,000	3,4.10 ⁻⁹	0,800	2,3.10 ⁻⁹	9,8.10 ⁻¹⁰	5,6.10 ⁻¹⁰	3,0.10 ⁻¹⁰	2,7.10 ⁻¹⁰
		M	0,200	1,3.10 ⁻⁸	0,100	1,0.10 ⁻⁸	6,1.10 ⁻⁹	4,4.10 ⁻⁹	4,1.10 ⁻⁹	3,2.10 ⁻⁹
		S	0,020	1,6.10 ⁻⁸	0,010	1,3.10 ⁻⁸	7,8.10 ⁻⁹	5,7.10 ⁻⁹	5,2.10 ⁻⁹	4,1.10 ⁻⁹
Tc-98	4,20 10 ⁶ r	F	1,000	1,0.10 ⁻⁸	0,800	6,8.10 ⁻⁹	3,2.10 ⁻⁹	1,9.10 ⁻⁹	1,2.10 ⁻⁹	9,7.10 ⁻¹⁰
		M	0,200	3,5.10 ⁻⁸	0,100	2,9.10 ⁻⁸	1,7.10 ⁻⁸	1,2.10 ⁻⁸	1,0.10 ⁻⁸	8,3.10 ⁻⁹
		S	0,020	1,1.10 ⁻⁷	0,010	1,1.10 ⁻⁷	7,6.10 ⁻⁸	5,4.10 ⁻⁸	4,8.10 ⁻⁸	4,5.10 ⁻⁸
Tc-99	2,13 10 ⁵ r	F	1,000	4,0.10 ⁻⁹	0,800	2,5.10 ⁻⁹	1,0.10 ⁻⁹	5,9.10 ⁻¹⁰	3,6.10 ⁻¹⁰	2,9.10 ⁻¹⁰
		M	0,200	1,7.10 ⁻⁸	0,100	1,3.10 ⁻⁸	8,0.10 ⁻⁹	5,7.10 ⁻⁹	5,0.10 ⁻⁹	4,0.10 ⁻⁹

Tabuľka č. 13: Konverzné faktory h_{inh} na prepočet príjmu rádionuklidov inhaláciou na úväzok efektívnej dávky u jednotlivcov z obyvateľstva

prvok nuklid	Polčas premeny	Typ	vek < 1 rok		f_1	h_{inh} (Sv.Bq ⁻¹)				
			f_1	h_{inh}	> 1 rok	1 – 2	2 - 7	7 - 12	12 - 17	> 17 (dospelí)
Tc-99m	6,02 h	S	0,020	$4,1 \cdot 10^{-8}$	0,010	$3,7 \cdot 10^{-8}$	$2,4 \cdot 10^{-8}$	$1,7 \cdot 10^{-8}$	$1,5 \cdot 10^{-8}$	$1,3 \cdot 10^{-8}$
		F	1,000	$1,2 \cdot 10^{-10}$	0,800	$8,7 \cdot 10^{-11}$	$4,1 \cdot 10^{-11}$	$2,4 \cdot 10^{-11}$	$1,5 \cdot 10^{-11}$	$1,2 \cdot 10^{-11}$
		M	0,200	$1,3 \cdot 10^{-10}$	0,100	$9,9 \cdot 10^{-11}$	$5,1 \cdot 10^{-11}$	$3,4 \cdot 10^{-11}$	$2,4 \cdot 10^{-11}$	$1,9 \cdot 10^{-11}$
Tc-101	0,237 h	S	0,020	$1,3 \cdot 10^{-10}$	0,010	$1,0 \cdot 10^{-10}$	$5,2 \cdot 10^{-11}$	$3,5 \cdot 10^{-11}$	$2,5 \cdot 10^{-11}$	$2,0 \cdot 10^{-11}$
		F	1,000	$8,5 \cdot 10^{-11}$	0,800	$5,6 \cdot 10^{-11}$	$2,5 \cdot 10^{-11}$	$1,6 \cdot 10^{-11}$	$9,7 \cdot 10^{-12}$	$8,2 \cdot 10^{-12}$
		M	0,200	$1,1 \cdot 10^{-10}$	0,100	$7,1 \cdot 10^{-11}$	$3,2 \cdot 10^{-11}$	$2,1 \cdot 10^{-11}$	$1,4 \cdot 10^{-11}$	$1,2 \cdot 10^{-11}$
Tc-104	0,303 h	S	0,020	$1,1 \cdot 10^{-10}$	0,010	$7,3 \cdot 10^{-11}$	$3,3 \cdot 10^{-11}$	$2,2 \cdot 10^{-11}$	$1,4 \cdot 10^{-11}$	$1,2 \cdot 10^{-11}$
		F	1,000	$2,7 \cdot 10^{-10}$	0,800	$1,8 \cdot 10^{-10}$	$8,0 \cdot 10^{-11}$	$4,6 \cdot 10^{-11}$	$2,8 \cdot 10^{-11}$	$2,3 \cdot 10^{-11}$
		M	0,200	$2,9 \cdot 10^{-10}$	0,100	$1,9 \cdot 10^{-10}$	$8,6 \cdot 10^{-11}$	$5,4 \cdot 10^{-11}$	$3,3 \cdot 10^{-11}$	$2,8 \cdot 10^{-11}$
S	0,020	$2,9 \cdot 10^{-10}$	0,010	$1,9 \cdot 10^{-10}$	$8,7 \cdot 10^{-11}$	$5,4 \cdot 10^{-11}$	$3,4 \cdot 10^{-11}$	$2,9 \cdot 10^{-11}$		
Ruténium										
Ru-94	0,863 h	F	0,100	$2,5 \cdot 10^{-10}$	0,050	$1,9 \cdot 10^{-10}$	$9,0 \cdot 10^{-11}$	$5,4 \cdot 10^{-11}$	$3,1 \cdot 10^{-11}$	$2,5 \cdot 10^{-11}$
		M		$3,8 \cdot 10^{-10}$		$2,8 \cdot 10^{-10}$	$1,3 \cdot 10^{-10}$	$8,4 \cdot 10^{-11}$	$5,2 \cdot 10^{-11}$	$4,2 \cdot 10^{-11}$
		S		$4,0 \cdot 10^{-10}$		$2,9 \cdot 10^{-10}$	$1,4 \cdot 10^{-10}$	$8,7 \cdot 10^{-11}$	$5,4 \cdot 10^{-11}$	$4,4 \cdot 10^{-11}$
Ru-97	2,90 d	F	0,100	$5,5 \cdot 10^{-10}$	0,050	$4,4 \cdot 10^{-10}$	$2,2 \cdot 10^{-10}$	$1,3 \cdot 10^{-10}$	$7,7 \cdot 10^{-11}$	$6,2 \cdot 10^{-11}$
		M		$7,7 \cdot 10^{-10}$		$6,1 \cdot 10^{-10}$	$3,1 \cdot 10^{-10}$	$2,0 \cdot 10^{-10}$	$1,3 \cdot 10^{-10}$	$1,0 \cdot 10^{-10}$
		S		$8,1 \cdot 10^{-10}$		$6,3 \cdot 10^{-10}$	$3,3 \cdot 10^{-10}$	$2,1 \cdot 10^{-10}$	$1,4 \cdot 10^{-10}$	$1,1 \cdot 10^{-10}$
Ru-103	39,3 d	F	0,100	$4,2 \cdot 10^{-9}$	0,050	$3,0 \cdot 10^{-9}$	$1,5 \cdot 10^{-9}$	$9,3 \cdot 10^{-10}$	$5,6 \cdot 10^{-10}$	$4,8 \cdot 10^{-10}$
		M		$1,1 \cdot 10^{-8}$		$8,4 \cdot 10^{-9}$	$5,0 \cdot 10^{-9}$	$3,5 \cdot 10^{-9}$	$3,0 \cdot 10^{-9}$	$2,4 \cdot 10^{-9}$
		S		$1,3 \cdot 10^{-8}$		$1,0 \cdot 10^{-8}$	$6,0 \cdot 10^{-9}$	$4,2 \cdot 10^{-9}$	$3,7 \cdot 10^{-9}$	$3,0 \cdot 10^{-9}$
Ru-105	4,44 h	F	0,100	$7,1 \cdot 10^{-10}$	0,050	$5,1 \cdot 10^{-10}$	$2,3 \cdot 10^{-10}$	$1,4 \cdot 10^{-10}$	$7,9 \cdot 10^{-11}$	$6,5 \cdot 10^{-11}$
		M		$1,3 \cdot 10^{-9}$		$9,2 \cdot 10^{-10}$	$4,5 \cdot 10^{-10}$	$3,0 \cdot 10^{-10}$	$2,0 \cdot 10^{-10}$	$1,7 \cdot 10^{-10}$
		S		$1,4 \cdot 10^{-9}$		$9,8 \cdot 10^{-10}$	$4,8 \cdot 10^{-10}$	$3,2 \cdot 10^{-10}$	$2,2 \cdot 10^{-10}$	$1,8 \cdot 10^{-10}$
Ru-106	1,01 r	F	0,100	$7,2 \cdot 10^{-8}$	0,050	$5,4 \cdot 10^{-8}$	$2,6 \cdot 10^{-8}$	$1,6 \cdot 10^{-8}$	$9,2 \cdot 10^{-9}$	$7,9 \cdot 10^{-9}$
		M		$1,4 \cdot 10^{-7}$		$1,1 \cdot 10^{-7}$	$6,4 \cdot 10^{-8}$	$4,1 \cdot 10^{-8}$	$3,1 \cdot 10^{-8}$	$2,8 \cdot 10^{-8}$
		S		$2,6 \cdot 10^{-7}$		$2,3 \cdot 10^{-7}$	$1,4 \cdot 10^{-7}$	$9,1 \cdot 10^{-8}$	$7,1 \cdot 10^{-8}$	$6,6 \cdot 10^{-8}$
Ródium										
Rh-99	16,0 d	F	0,100	$2,6 \cdot 10^{-9}$	0,050	$2,0 \cdot 10^{-9}$	$9,9 \cdot 10^{-10}$	$6,2 \cdot 10^{-10}$	$3,8 \cdot 10^{-10}$	$3,2 \cdot 10^{-10}$
		M		$4,5 \cdot 10^{-9}$		$3,5 \cdot 10^{-9}$	$2,0 \cdot 10^{-9}$	$1,3 \cdot 10^{-9}$	$9,6 \cdot 10^{-10}$	$7,7 \cdot 10^{-10}$
		S		$4,9 \cdot 10^{-9}$		$3,8 \cdot 10^{-9}$	$2,2 \cdot 10^{-9}$	$1,3 \cdot 10^{-9}$	$1,1 \cdot 10^{-9}$	$8,7 \cdot 10^{-10}$
Rh-99m	4,70 h	F	0,100	$2,4 \cdot 10^{-10}$	0,050	$2,0 \cdot 10^{-10}$	$1,0 \cdot 10^{-10}$	$6,1 \cdot 10^{-11}$	$3,5 \cdot 10^{-11}$	$2,8 \cdot 10^{-11}$
		M		$3,1 \cdot 10^{-10}$		$2,5 \cdot 10^{-10}$	$1,3 \cdot 10^{-10}$	$8,0 \cdot 10^{-11}$	$4,9 \cdot 10^{-11}$	$3,9 \cdot 10^{-11}$
		S		$3,2 \cdot 10^{-10}$		$2,6 \cdot 10^{-10}$	$1,3 \cdot 10^{-10}$	$8,2 \cdot 10^{-11}$	$5,1 \cdot 10^{-11}$	$4,0 \cdot 10^{-11}$
Rh-100	20,8 h	F	0,100	$2,1 \cdot 10^{-9}$	0,050	$1,8 \cdot 10^{-9}$	$9,1 \cdot 10^{-10}$	$5,6 \cdot 10^{-10}$	$3,3 \cdot 10^{-10}$	$2,6 \cdot 10^{-10}$
		M		$2,7 \cdot 10^{-9}$		$2,2 \cdot 10^{-9}$	$1,1 \cdot 10^{-9}$	$7,1 \cdot 10^{-10}$	$4,3 \cdot 10^{-10}$	$3,4 \cdot 10^{-10}$
		S		$2,8 \cdot 10^{-9}$		$2,2 \cdot 10^{-9}$	$1,2 \cdot 10^{-9}$	$7,3 \cdot 10^{-10}$	$4,4 \cdot 10^{-10}$	$3,5 \cdot 10^{-10}$
Rh-101	3,20 r	F	0,100	$7,4 \cdot 10^{-9}$	0,050	$6,1 \cdot 10^{-9}$	$3,5 \cdot 10^{-9}$	$2,3 \cdot 10^{-9}$	$1,5 \cdot 10^{-9}$	$1,4 \cdot 10^{-9}$
		M		$9,8 \cdot 10^{-9}$		$8,0 \cdot 10^{-9}$	$4,9 \cdot 10^{-9}$	$3,4 \cdot 10^{-9}$	$2,8 \cdot 10^{-9}$	$2,3 \cdot 10^{-9}$
		S		$1,9 \cdot 10^{-8}$		$1,7 \cdot 10^{-8}$	$1,1 \cdot 10^{-8}$	$7,4 \cdot 10^{-9}$	$6,2 \cdot 10^{-9}$	$5,4 \cdot 10^{-9}$
Rh-101m	4,34 d	F	0,100	$8,4 \cdot 10^{-10}$	0,050	$6,6 \cdot 10^{-10}$	$3,3 \cdot 10^{-10}$	$2,0 \cdot 10^{-10}$	$1,2 \cdot 10^{-10}$	$9,7 \cdot 10^{-11}$
		M		$1,3 \cdot 10^{-9}$		$9,8 \cdot 10^{-10}$	$5,2 \cdot 10^{-10}$	$3,5 \cdot 10^{-10}$	$2,5 \cdot 10^{-10}$	$1,9 \cdot 10^{-10}$
		S		$1,3 \cdot 10^{-9}$		$1,0 \cdot 10^{-9}$	$5,5 \cdot 10^{-10}$	$3,7 \cdot 10^{-10}$	$2,7 \cdot 10^{-10}$	$2,1 \cdot 10^{-10}$
Rh-102	2,90 r	F	0,100	$3,3 \cdot 10^{-8}$	0,050	$2,8 \cdot 10^{-8}$	$1,7 \cdot 10^{-8}$	$1,1 \cdot 10^{-8}$	$7,9 \cdot 10^{-9}$	$7,3 \cdot 10^{-9}$
		M		$3,0 \cdot 10^{-8}$		$2,5 \cdot 10^{-8}$	$1,5 \cdot 10^{-8}$	$1,0 \cdot 10^{-8}$	$7,9 \cdot 10^{-9}$	$6,9 \cdot 10^{-9}$
		S		$5,4 \cdot 10^{-8}$		$5,0 \cdot 10^{-8}$	$3,5 \cdot 10^{-8}$	$2,4 \cdot 10^{-8}$	$2,0 \cdot 10^{-8}$	$1,7 \cdot 10^{-8}$
Rh-102m	207 d	F	0,100	$1,2 \cdot 10^{-8}$	0,050	$8,7 \cdot 10^{-9}$	$4,4 \cdot 10^{-9}$	$2,7 \cdot 10^{-9}$	$1,7 \cdot 10^{-9}$	$1,5 \cdot 10^{-9}$
		M		$2,0 \cdot 10^{-8}$		$1,6 \cdot 10^{-8}$	$9,0 \cdot 10^{-9}$	$6,0 \cdot 10^{-9}$	$4,7 \cdot 10^{-9}$	$4,0 \cdot 10^{-9}$
		S		$3,0 \cdot 10^{-8}$		$2,5 \cdot 10^{-8}$	$1,5 \cdot 10^{-8}$	$1,0 \cdot 10^{-8}$	$8,2 \cdot 10^{-9}$	$7,1 \cdot 10^{-9}$
Rh-103m	0,935 h	F	0,100	$8,6 \cdot 10^{-12}$	0,050	$5,9 \cdot 10^{-12}$	$2,7 \cdot 10^{-12}$	$1,6 \cdot 10^{-12}$	$1,0 \cdot 10^{-12}$	$8,6 \cdot 10^{-13}$
		M		$1,9 \cdot 10^{-11}$		$1,2 \cdot 10^{-11}$	$6,3 \cdot 10^{-12}$	$4,0 \cdot 10^{-12}$	$3,0 \cdot 10^{-12}$	$2,5 \cdot 10^{-12}$
		S		$2,0 \cdot 10^{-11}$		$1,3 \cdot 10^{-11}$	$6,7 \cdot 10^{-12}$	$4,3 \cdot 10^{-12}$	$3,2 \cdot 10^{-12}$	$2,7 \cdot 10^{-12}$
Rh-105	1,47 d	F	0,100	$1,0 \cdot 10^{-9}$	0,050	$6,9 \cdot 10^{-10}$	$3,0 \cdot 10^{-10}$	$1,8 \cdot 10^{-10}$	$9,6 \cdot 10^{-11}$	$8,2 \cdot 10^{-11}$
		M		$2,2 \cdot 10^{-9}$		$1,6 \cdot 10^{-9}$	$7,4 \cdot 10^{-10}$	$5,2 \cdot 10^{-10}$	$4,1 \cdot 10^{-10}$	$3,2 \cdot 10^{-10}$
		S		$2,4 \cdot 10^{-9}$		$1,7 \cdot 10^{-9}$	$8,0 \cdot 10^{-10}$	$5,6 \cdot 10^{-10}$	$4,5 \cdot 10^{-10}$	$3,5 \cdot 10^{-10}$
Rh-106m	2,20 h	F	0,100	$5,7 \cdot 10^{-10}$	0,050	$4,5 \cdot 10^{-10}$	$2,2 \cdot 10^{-10}$	$1,4 \cdot 10^{-10}$	$8,0 \cdot 10^{-11}$	$6,5 \cdot 10^{-11}$
		M		$8,2 \cdot 10^{-10}$		$6,3 \cdot 10^{-10}$	$3,2 \cdot 10^{-10}$	$2,0 \cdot 10^{-10}$	$1,3 \cdot 10^{-10}$	$1,1 \cdot 10^{-10}$
		S		$8,5 \cdot 10^{-10}$		$6,5 \cdot 10^{-10}$	$3,3 \cdot 10^{-10}$	$2,1 \cdot 10^{-10}$	$1,4 \cdot 10^{-10}$	$1,1 \cdot 10^{-10}$
Rh-107	0,362 h	F	0,100	$8,9 \cdot 10^{-11}$	0,050	$5,9 \cdot 10^{-11}$	$2,6 \cdot 10^{-11}$	$1,7 \cdot 10^{-11}$	$1,0 \cdot 10^{-11}$	$9,0 \cdot 10^{-12}$
		M		$1,4 \cdot 10^{-10}$		$9,3 \cdot 10^{-11}$	$4,2 \cdot 10^{-11}$	$2,8 \cdot 10^{-11}$	$1,9 \cdot 10^{-11}$	$1,6 \cdot 10^{-11}$

Tabuľka č. 13: Konverzné faktory h_{inh} na prepočet príjmu rádionuklidov inhaláciou na úväzok efektívnej dávky u jednotlivcov z obyvateľstva

prvok nuklid	Polčas premeny	Typ	vek < 1 rok		f_1 > 1 rok	h_{inh} (Sv.Bq ⁻¹)						
			f_1	h_{inh}		1 – 2	2 - 7	7 - 12	12 - 17	> 17 (dospelí)		
			S			1,5.10 ⁻¹⁰		9,7.10 ⁻¹¹	4,4.10 ⁻¹¹	2,9.10 ⁻¹¹	1,9.10 ⁻¹¹	1,7.10 ⁻¹¹
Paládium												
Pd-100	3,63 d	F	0,050	0,005	3,9.10 ⁻⁹	3,0.10 ⁻⁹	1,5.10 ⁻⁹	9,7.10 ⁻¹⁰	5,8.10 ⁻¹⁰	4,7.10 ⁻¹⁰		
		M			5,2.10 ⁻⁹	4,0.10 ⁻⁹	2,2.10 ⁻⁹	1,4.10 ⁻⁹	9,9.10 ⁻¹⁰	8,0.10 ⁻¹⁰		
		S			5,3.10 ⁻⁹	4,1.10 ⁻⁹	2,2.10 ⁻⁹	1,5.10 ⁻⁹	1,0.10 ⁻⁹	8,5.10 ⁻¹⁰		
Pd-101	8,27 h	F			3,6.10 ⁻¹⁰	2,9.10 ⁻¹⁰	1,4.10 ⁻¹⁰	8,6.10 ⁻¹¹	4,9.10 ⁻¹¹	3,9.10 ⁻¹¹		
		M			4,8.10 ⁻¹⁰	3,8.10 ⁻¹⁰	1,9.10 ⁻¹⁰	1,2.10 ⁻¹⁰	7,5.10 ⁻¹¹	5,9.10 ⁻¹¹		
		S			5,0.10 ⁻¹⁰	3,9.10 ⁻¹⁰	2,0.10 ⁻¹⁰	1,2.10 ⁻¹⁰	7,8.10 ⁻¹¹	6,2.10 ⁻¹¹		
Pd-103	17,0 d	F			9,7.10 ⁻¹⁰	6,5.10 ⁻¹⁰	3,0.10 ⁻¹⁰	1,9.10 ⁻¹⁰	1,1.10 ⁻¹⁰	8,9.10 ⁻¹¹		
		M			2,3.10 ⁻⁹	1,6.10 ⁻⁹	9,0.10 ⁻¹⁰	5,9.10 ⁻¹⁰	4,5.10 ⁻¹⁰	3,8.10 ⁻¹⁰		
		S			2,5.10 ⁻⁹	1,8.10 ⁻⁹	1,0.10 ⁻⁹	6,8.10 ⁻¹⁰	5,3.10 ⁻¹⁰	4,5.10 ⁻¹⁰		
Pd-107	6,50 10 ⁶ r	F			2,6.10 ⁻¹⁰	1,8.10 ⁻¹⁰	8,2.10 ⁻¹¹	5,2.10 ⁻¹¹	3,1.10 ⁻¹¹	2,5.10 ⁻¹¹		
		M			6,5.10 ⁻¹⁰	5,0.10 ⁻¹⁰	2,6.10 ⁻¹⁰	1,5.10 ⁻¹⁰	1,0.10 ⁻¹⁰	8,5.10 ⁻¹¹		
		S			2,2.10 ⁻⁹	2,0.10 ⁻⁹	1,3.10 ⁻⁹	7,8.10 ⁻¹⁰	6,2.10 ⁻¹⁰	5,9.10 ⁻¹⁰		
Pd-109	13,4 h	F	1,5.10 ⁻⁹	9,9.10 ⁻¹⁰	4,2.10 ⁻¹⁰	2,6.10 ⁻¹⁰	1,4.10 ⁻¹⁰	1,2.10 ⁻¹⁰				
		M	2,6.10 ⁻⁹	1,8.10 ⁻⁹	8,8.10 ⁻¹⁰	5,9.10 ⁻¹⁰	4,3.10 ⁻¹⁰	3,4.10 ⁻¹⁰				
		S	2,7.10 ⁻⁹	1,9.10 ⁻⁹	9,3.10 ⁻¹⁰	6,3.10 ⁻¹⁰	4,6.10 ⁻¹⁰	3,7.10 ⁻¹⁰				
Striebro												
Ag-102	0,215 h	F	0,100	0,050	1,2.10 ⁻¹⁰	8,6.10 ⁻¹¹	4,2.10 ⁻¹¹	2,6.10 ⁻¹¹	1,5.10 ⁻¹¹	1,3.10 ⁻¹¹		
		M			1,6.10 ⁻¹⁰	1,1.10 ⁻¹⁰	5,5.10 ⁻¹¹	3,4.10 ⁻¹¹	2,1.10 ⁻¹¹	1,7.10 ⁻¹¹		
Ag-103	1,09 h	S	0,020	1,6.10 ⁻¹⁰	0,010	1,2.10 ⁻¹⁰	5,6.10 ⁻¹¹	3,5.10 ⁻¹¹	2,2.10 ⁻¹¹	1,8.10 ⁻¹¹		
		F	0,100	0,050	1,4.10 ⁻¹⁰	1,0.10 ⁻¹⁰	4,9.10 ⁻¹¹	3,0.10 ⁻¹¹	1,8.10 ⁻¹¹	1,4.10 ⁻¹¹		
		M			2,2.10 ⁻¹⁰	1,6.10 ⁻¹⁰	7,6.10 ⁻¹¹	4,8.10 ⁻¹¹	3,2.10 ⁻¹¹	2,6.10 ⁻¹¹		
Ag-104	1,15 h	S	0,020	2,3.10 ⁻¹⁰	0,010	1,6.10 ⁻¹⁰	7,9.10 ⁻¹¹	5,1.10 ⁻¹¹	3,3.10 ⁻¹¹	2,7.10 ⁻¹¹		
		F	0,100	0,050	2,3.10 ⁻¹⁰	1,9.10 ⁻¹⁰	9,8.10 ⁻¹¹	5,9.10 ⁻¹¹	3,5.10 ⁻¹¹	2,8.10 ⁻¹¹		
		M			2,9.10 ⁻¹⁰	2,3.10 ⁻¹⁰	1,2.10 ⁻¹⁰	7,4.10 ⁻¹¹	4,5.10 ⁻¹¹	3,6.10 ⁻¹¹		
Ag-104m	0,558 h	S	0,020	2,4.10 ⁻¹⁰	0,010	1,7.10 ⁻¹⁰	8,0.10 ⁻¹¹	5,0.10 ⁻¹¹	3,1.10 ⁻¹¹	2,6.10 ⁻¹¹		
		F	0,100	0,050	1,6.10 ⁻¹⁰	1,1.10 ⁻¹⁰	5,5.10 ⁻¹¹	3,4.10 ⁻¹¹	2,0.10 ⁻¹¹	1,6.10 ⁻¹¹		
		M			2,3.10 ⁻¹⁰	1,6.10 ⁻¹⁰	7,7.10 ⁻¹¹	4,8.10 ⁻¹¹	3,0.10 ⁻¹¹	2,5.10 ⁻¹¹		
Ag-105	41,0 d	S	0,020	4,5.10 ⁻⁹	0,010	3,6.10 ⁻⁹	2,1.10 ⁻⁹	1,3.10 ⁻⁹	1,0.10 ⁻⁹	8,1.10 ⁻¹⁰		
		F	0,100	0,050	3,9.10 ⁻⁹	3,4.10 ⁻⁹	1,7.10 ⁻⁹	1,0.10 ⁻⁹	6,4.10 ⁻¹⁰	5,4.10 ⁻¹⁰		
		M			4,5.10 ⁻⁹	3,5.10 ⁻⁹	2,0.10 ⁻⁹	1,3.10 ⁻⁹	9,0.10 ⁻¹⁰	7,3.10 ⁻¹⁰		
Ag-106	0,399 h	S	0,020	1,5.10 ⁻¹⁰	0,010	9,9.10 ⁻¹¹	4,5.10 ⁻¹¹	2,9.10 ⁻¹¹	1,9.10 ⁻¹¹	1,6.10 ⁻¹¹		
		F	0,100	0,050	9,4.10 ⁻¹¹	6,4.10 ⁻¹¹	2,9.10 ⁻¹¹	1,8.10 ⁻¹¹	1,1.10 ⁻¹¹	9,1.10 ⁻¹²		
		M			1,4.10 ⁻¹⁰	9,5.10 ⁻¹¹	4,4.10 ⁻¹¹	2,8.10 ⁻¹¹	1,8.10 ⁻¹¹	1,5.10 ⁻¹¹		
Ag-106m	8,41 d	S	0,020	7,0.10 ⁻⁹	0,010	5,7.10 ⁻⁹	3,2.10 ⁻⁹	2,1.10 ⁻⁹	1,4.10 ⁻⁹	1,1.10 ⁻⁹		
		F	0,100	0,050	7,7.10 ⁻⁹	6,1.10 ⁻⁹	3,2.10 ⁻⁹	2,1.10 ⁻⁹	1,3.10 ⁻⁹	1,1.10 ⁻⁹		
		M			7,2.10 ⁻⁹	5,8.10 ⁻⁹	3,2.10 ⁻⁹	2,1.10 ⁻⁹	1,4.10 ⁻⁹	1,1.10 ⁻⁹		
Ag-108m	1,27 10 ² r	S	0,020	8,9.10 ⁻⁸	0,010	8,7.10 ⁻⁸	6,2.10 ⁻⁸	4,4.10 ⁻⁸	3,9.10 ⁻⁸	3,7.10 ⁻⁸		
		F	0,100	0,050	3,5.10 ⁻⁸	2,8.10 ⁻⁸	1,6.10 ⁻⁸	1,0.10 ⁻⁸	6,9.10 ⁻⁹	6,1.10 ⁻⁹		
		M			3,3.10 ⁻⁸	2,7.10 ⁻⁸	1,7.10 ⁻⁸	1,1.10 ⁻⁸	8,6.10 ⁻⁹	7,4.10 ⁻⁹		
Ag-110m	250 d	S	0,020	4,6.10 ⁻⁸	0,010	4,1.10 ⁻⁸	2,6.10 ⁻⁸	1,8.10 ⁻⁸	1,5.10 ⁻⁸	1,2.10 ⁻⁸		
		F	0,100	0,050	3,5.10 ⁻⁸	2,8.10 ⁻⁸	1,5.10 ⁻⁸	9,7.10 ⁻⁹	6,3.10 ⁻⁹	5,5.10 ⁻⁹		
		M			3,5.10 ⁻⁸	2,8.10 ⁻⁸	1,7.10 ⁻⁸	1,2.10 ⁻⁸	9,2.10 ⁻⁹	7,6.10 ⁻⁹		
Ag-111	7,45 d	S	0,020	9,9.10 ⁻⁹	0,010	7,1.10 ⁻⁹	3,8.10 ⁻⁹	2,7.10 ⁻⁹	2,1.10 ⁻⁹	1,7.10 ⁻⁹		
		F	0,100	0,050	4,8.10 ⁻⁹	3,2.10 ⁻⁹	1,4.10 ⁻⁹	8,8.10 ⁻¹⁰	4,8.10 ⁻¹⁰	4,0.10 ⁻¹⁰		
		M			9,2.10 ⁻⁹	6,6.10 ⁻⁹	3,5.10 ⁻⁹	2,4.10 ⁻⁹	1,9.10 ⁻⁹	1,5.10 ⁻⁹		
Ag-112	3,12 h	S	0,020	1,8.10 ⁻⁹	0,010	1,2.10 ⁻⁹	5,4.10 ⁻¹⁰	3,4.10 ⁻¹⁰	2,1.10 ⁻¹⁰	1,7.10 ⁻¹⁰		
		F	0,100	0,050	9,8.10 ⁻¹⁰	6,4.10 ⁻¹⁰	2,8.10 ⁻¹⁰	1,7.10 ⁻¹⁰	9,1.10 ⁻¹¹	7,6.10 ⁻¹¹		
		M			1,7.10 ⁻⁹	1,1.10 ⁻⁹	5,1.10 ⁻¹⁰	3,2.10 ⁻¹⁰	2,0.10 ⁻¹⁰	1,6.10 ⁻¹⁰		
Ag-115	0,333 h	S	0,020	2,7.10 ⁻¹⁰	0,010	1,7.10 ⁻¹⁰	8,0.10 ⁻¹¹	5,2.10 ⁻¹¹	3,4.10 ⁻¹¹	2,9.10 ⁻¹¹		
		F	0,100	0,050	1,6.10 ⁻¹⁰	1,0.10 ⁻¹⁰	4,6.10 ⁻¹¹	2,9.10 ⁻¹¹	1,7.10 ⁻¹¹	1,5.10 ⁻¹¹		
		M			2,5.10 ⁻¹⁰	1,7.10 ⁻¹⁰	7,6.10 ⁻¹¹	4,9.10 ⁻¹¹	3,2.10 ⁻¹¹	2,7.10 ⁻¹¹		
Kadmium												
Cd-104	0,961 h	F	0,100	0,050	2,0.10 ⁻¹⁰	1,7.10 ⁻¹⁰	8,7.10 ⁻¹¹	5,2.10 ⁻¹¹	3,1.10 ⁻¹¹	2,4.10 ⁻¹¹		
		M			2,6.10 ⁻¹⁰	2,1.10 ⁻¹⁰	1,1.10 ⁻¹⁰	6,9.10 ⁻¹¹	4,2.10 ⁻¹¹	3,4.10 ⁻¹¹		
		S			2,7.10 ⁻¹⁰	2,2.10 ⁻¹⁰	1,1.10 ⁻¹⁰	7,0.10 ⁻¹¹	4,4.10 ⁻¹¹	3,5.10 ⁻¹¹		
Cd-107	6,49 h	F			2,3.10 ⁻¹⁰	1,7.10 ⁻¹⁰	7,4.10 ⁻¹¹	4,6.10 ⁻¹¹	2,5.10 ⁻¹¹	2,1.10 ⁻¹¹		

Tabuľka č. 13: Konverzné faktory h_{inh} na prepočet príjmu rádionuklidov inhaláciou na úväzok efektívnej dávky u jednotlivcov z obyvateľstva

prvok nuklid	Polčas premeny	Typ	vek < 1 rok		f_1	h_{inh} (Sv.Bq ⁻¹)				
			f_1	h_{inh}	> 1 rok	1 – 2	2 - 7	7 - 12	12 - 17	> 17 (dospelí)
Cd-109	1,27 r	M		5,2.10 ⁻¹⁰		3,7.10 ⁻¹⁰	2,0.10 ⁻¹⁰	1,3.10 ⁻¹⁰	8,8.10 ⁻¹¹	8,3.10 ⁻¹¹
		S		5,5.10 ⁻¹⁰		3,9.10 ⁻¹⁰	2,1.10 ⁻¹⁰	1,4.10 ⁻¹⁰	9,7.10 ⁻¹¹	7,7.10 ⁻¹¹
		F		4,5.10 ⁻⁸		3,7.10 ⁻⁸	2,1.10 ⁻⁸	1,4.10 ⁻⁸	9,3.10 ⁻⁹	8,1.10 ⁻⁹
		M		3,0.10 ⁻⁸		2,3.10 ⁻⁸	1,4.10 ⁻⁸	9,5.10 ⁻⁹	7,8.10 ⁻⁹	6,6.10 ⁻⁹
		S		2,7.10 ⁻⁸		2,1.10 ⁻⁸	1,3.10 ⁻⁸	8,9.10 ⁻⁹	7,6.10 ⁻⁹	6,2.10 ⁻⁹
Cd-113	9,30 10 ¹⁵ r	F		2,6.10 ⁻⁷		2,4.10 ⁻⁷	1,7.10 ⁻⁷	1,4.10 ⁻⁷	1,2.10 ⁻⁷	1,2.10 ⁻⁷
		M		1,2.10 ⁻⁷		1,0.10 ⁻⁷	7,6.10 ⁻⁸	6,1.10 ⁻⁸	5,7.10 ⁻⁸	5,5.10 ⁻⁸
		S		7,8.10 ⁻⁸		5,8.10 ⁻⁸	4,1.10 ⁻⁸	3,0.10 ⁻⁸	2,7.10 ⁻⁸	2,6.10 ⁻⁸
Cd-113m	13,6 r	F		3,0.10 ⁻⁷		2,7.10 ⁻⁷	1,8.10 ⁻⁷	1,3.10 ⁻⁷	1,1.10 ⁻⁷	1,1.10 ⁻⁷
		M		1,4.10 ⁻⁷		1,2.10 ⁻⁷	8,1.10 ⁻⁸	6,0.10 ⁻⁸	5,3.10 ⁻⁸	5,2.10 ⁻⁸
		S		1,1.10 ⁻⁷		8,4.10 ⁻⁸	5,5.10 ⁻⁸	3,9.10 ⁻⁸	3,3.10 ⁻⁸	3,1.10 ⁻⁸
Cd-115	2,23 d	F		4,0.10 ⁻⁹		2,6.10 ⁻⁹	1,2.10 ⁻⁹	7,5.10 ⁻¹⁰	4,3.10 ⁻¹⁰	3,5.10 ⁻¹⁰
		M		6,7.10 ⁻⁹		4,8.10 ⁻⁹	2,4.10 ⁻⁹	1,7.10 ⁻⁹	1,2.10 ⁻⁹	9,8.10 ⁻¹⁰
		S		7,2.10 ⁻⁹		5,1.10 ⁻⁹	2,6.10 ⁻⁹	1,8.10 ⁻⁹	1,3.10 ⁻⁹	1,1.10 ⁻⁹
Cd-115m	44,6 d	F		4,6.10 ⁻⁸		3,2.10 ⁻⁸	1,5.10 ⁻⁸	1,0.10 ⁻⁸	6,4.10 ⁻⁹	5,3.10 ⁻⁹
		M		4,0.10 ⁻⁸		2,5.10 ⁻⁸	1,4.10 ⁻⁸	9,4.10 ⁻⁹	7,3.10 ⁻⁹	6,2.10 ⁻⁹
		S		3,9.10 ⁻⁸		3,0.10 ⁻⁸	1,7.10 ⁻⁸	1,1.10 ⁻⁸	8,9.10 ⁻⁹	7,7.10 ⁻⁹
Cd-117	2,49 h	F	0,100	7,4.10 ⁻¹⁰	0,050	5,2.10 ⁻¹⁰	2,4.10 ⁻¹⁰	1,5.10 ⁻¹⁰	8,1.10 ⁻¹¹	6,7.10 ⁻¹¹
		M		1,3.10 ⁻⁹		9,3.10 ⁻¹⁰	4,5.10 ⁻¹⁰	2,9.10 ⁻¹⁰	2,0.10 ⁻¹⁰	1,6.10 ⁻¹⁰
		S		1,4.10 ⁻⁹		9,8.10 ⁻¹⁰	4,8.10 ⁻¹⁰	3,1.10 ⁻¹⁰	2,1.10 ⁻¹⁰	1,7.10 ⁻¹⁰
Cd-117m	3,36 h	F		8,9.10 ⁻¹⁰		6,7.10 ⁻¹⁰	3,3.10 ⁻¹⁰	2,0.10 ⁻¹⁰	1,1.10 ⁻¹⁰	9,4.10 ⁻¹¹
		M		1,5.10 ⁻⁹		1,1.10 ⁻⁹	5,5.10 ⁻¹⁰	3,6.10 ⁻¹⁰	2,4.10 ⁻¹⁰	2,0.10 ⁻¹⁰
		S		1,5.10 ⁻⁹		1,1.10 ⁻⁹	5,7.10 ⁻¹⁰	3,8.10 ⁻¹⁰	2,6.10 ⁻¹⁰	2,1.10 ⁻¹⁰
Indium										
In-109	4,20 h	F		2,6.10 ⁻¹⁰		2,1.10 ⁻¹⁰	1,0.10 ⁻¹⁰	6,3.10 ⁻¹¹	3,6.10 ⁻¹¹	2,9.10 ⁻¹¹
		M		3,3.10 ⁻¹⁰		2,6.10 ⁻¹⁰	1,3.10 ⁻¹⁰	8,4.10 ⁻¹¹	5,3.10 ⁻¹¹	4,2.10 ⁻¹¹
In-110	4,90 h	F		8,2.10 ⁻¹⁰		7,1.10 ⁻¹⁰	3,7.10 ⁻¹⁰	2,3.10 ⁻¹⁰	1,3.10 ⁻¹⁰	1,1.10 ⁻¹⁰
		M		9,9.10 ⁻¹⁰		8,3.10 ⁻¹⁰	4,4.10 ⁻¹⁰	2,7.10 ⁻¹⁰	1,6.10 ⁻¹⁰	1,3.10 ⁻¹⁰
In-110	1,15 h	F		3,0.10 ⁻¹⁰		2,1.10 ⁻¹⁰	9,9.10 ⁻¹¹	6,0.10 ⁻¹¹	3,5.10 ⁻¹¹	2,8.10 ⁻¹¹
		M		4,5.10 ⁻¹⁰		3,1.10 ⁻¹⁰	1,5.10 ⁻¹⁰	9,2.10 ⁻¹¹	5,8.10 ⁻¹¹	4,7.10 ⁻¹¹
In-111	2,83 d	F		1,2.10 ⁻⁹		8,6.10 ⁻¹⁰	4,2.10 ⁻¹⁰	2,6.10 ⁻¹⁰	1,5.10 ⁻¹⁰	1,3.10 ⁻¹⁰
		M		1,5.10 ⁻⁹		1,2.10 ⁻⁹	6,2.10 ⁻¹⁰	4,1.10 ⁻¹⁰	2,9.10 ⁻¹⁰	2,3.10 ⁻¹⁰
In-112	0,240 h	F		4,4.10 ⁻¹¹		3,0.10 ⁻¹¹	1,3.10 ⁻¹¹	8,7.10 ⁻¹²	5,4.10 ⁻¹²	4,7.10 ⁻¹²
		M		6,5.10 ⁻¹¹		4,4.10 ⁻¹¹	2,0.10 ⁻¹¹	1,3.10 ⁻¹¹	8,7.10 ⁻¹²	7,4.10 ⁻¹²
In-113m	1,66 h	F		1,0.10 ⁻¹⁰		7,0.10 ⁻¹¹	3,2.10 ⁻¹¹	2,0.10 ⁻¹¹	1,2.10 ⁻¹¹	9,7.10 ⁻¹²
		M		1,6.10 ⁻¹⁰		1,1.10 ⁻¹⁰	5,5.10 ⁻¹¹	3,6.10 ⁻¹¹	2,4.10 ⁻¹¹	2,0.10 ⁻¹¹
In-114m	49,5 d	F	0,040	1,2.10 ⁻⁷	0,020	7,7.10 ⁻⁸	3,4.10 ⁻⁸	1,9.10 ⁻⁸	1,1.10 ⁻⁸	9,3.10 ⁻⁹
		M		4,8.10 ⁻⁸		3,3.10 ⁻⁸	1,6.10 ⁻⁸	1,0.10 ⁻⁸	7,8.10 ⁻⁹	6,1.10 ⁻⁹
In-115	5,10 10 ¹⁵ r	F		8,3.10 ⁻⁷		7,8.10 ⁻⁷	5,5.10 ⁻⁷	5,0.10 ⁻⁷	4,2.10 ⁻⁷	3,9.10 ⁻⁷
		M		3,0.10 ⁻⁷		2,8.10 ⁻⁷	2,1.10 ⁻⁷	1,9.10 ⁻⁷	1,7.10 ⁻⁷	1,6.10 ⁻⁷
In-115m	4,49 h	F		2,8.10 ⁻¹⁰		1,9.10 ⁻¹⁰	8,4.10 ⁻¹¹	5,1.10 ⁻¹¹	2,8.10 ⁻¹¹	2,4.10 ⁻¹¹
		M		4,7.10 ⁻¹⁰		3,3.10 ⁻¹⁰	1,6.10 ⁻¹⁰	1,0.10 ⁻¹⁰	7,2.10 ⁻¹¹	5,9.10 ⁻¹¹
In-116m	0,902 h	F		2,5.10 ⁻¹⁰		1,9.10 ⁻¹⁰	9,2.10 ⁻¹¹	5,7.10 ⁻¹¹	3,4.10 ⁻¹¹	2,8.10 ⁻¹¹
		M		3,6.10 ⁻¹⁰		2,7.10 ⁻¹⁰	1,3.10 ⁻¹⁰	8,5.10 ⁻¹¹	5,6.10 ⁻¹¹	4,5.10 ⁻¹¹
In-117	0,730 h	F		1,4.10 ⁻¹⁰		9,7.10 ⁻¹¹	4,5.10 ⁻¹¹	2,8.10 ⁻¹¹	1,7.10 ⁻¹¹	1,5.10 ⁻¹¹
		M		2,3.10 ⁻¹⁰		1,6.10 ⁻¹⁰	7,5.10 ⁻¹¹	5,0.10 ⁻¹¹	3,5.10 ⁻¹¹	2,9.10 ⁻¹¹
In-117m	1,94 h	F		3,4.10 ⁻¹⁰		2,3.10 ⁻¹⁰	1,0.10 ⁻¹⁰	6,2.10 ⁻¹¹	3,5.10 ⁻¹¹	2,9.10 ⁻¹¹
		M		6,0.10 ⁻¹⁰		4,0.10 ⁻¹⁰	1,9.10 ⁻¹⁰	1,3.10 ⁻¹⁰	8,7.10 ⁻¹¹	7,2.10 ⁻¹¹
In-119m	0,300 h	F		1,2.10 ⁻¹⁰		7,3.10 ⁻¹¹	3,1.10 ⁻¹¹	2,0.10 ⁻¹¹	1,2.10 ⁻¹¹	1,0.10 ⁻¹¹
		M		1,8.10 ⁻¹⁰		1,1.10 ⁻¹⁰	4,9.10 ⁻¹¹	3,2.10 ⁻¹¹	2,0.10 ⁻¹¹	1,7.10 ⁻¹¹
Cín										
Sn-110	4,00 h	F		1,0.10 ⁻⁹		7,6.10 ⁻¹⁰	3,6.10 ⁻¹⁰	2,2.10 ⁻¹⁰	1,2.10 ⁻¹⁰	9,9.10 ⁻¹¹
		M		1,5.10 ⁻⁹		1,1.10 ⁻⁹	5,1.10 ⁻¹⁰	3,2.10 ⁻¹⁰	1,9.10 ⁻¹⁰	1,6.10 ⁻¹⁰
Sn-111	0,588 h	F	0,040	7,7.10 ⁻¹¹	0,020	5,4.10 ⁻¹¹	2,6.10 ⁻¹¹	1,6.10 ⁻¹¹	9,4.10 ⁻¹²	7,8.10 ⁻¹²
		M		1,1.10 ⁻¹⁰		8,0.10 ⁻¹¹	3,8.10 ⁻¹¹	2,5.10 ⁻¹¹	1,6.10 ⁻¹¹	1,3.10 ⁻¹¹
Sn-113	115 d	F		5,1.10 ⁻⁹		3,7.10 ⁻⁹	1,8.10 ⁻⁹	1,1.10 ⁻⁹	6,4.10 ⁻¹⁰	5,4.10 ⁻¹⁰
		M		1,3.10 ⁻⁸		1,0.10 ⁻⁸	5,8.10 ⁻⁹	4,0.10 ⁻⁹	3,2.10 ⁻⁹	2,7.10 ⁻⁹
Sn-117m	13,6 d	F		3,3.10 ⁻⁹		2,2.10 ⁻⁹	1,0.10 ⁻⁹	6,1.10 ⁻¹⁰	3,4.10 ⁻¹⁰	2,8.10 ⁻¹⁰
		M		1,0.10 ⁻⁸		7,7.10 ⁻⁹	4,6.10 ⁻⁹	3,4.10 ⁻⁹	3,1.10 ⁻⁹	2,4.10 ⁻⁹

Tabuľka č. 13: Konverzné faktory h_{inh} na prepočet príjmu rádionuklidov inhaláciou na úväzok efektívnej dávky u jednotlivcov z obyvateľstva

prvok nuklid	Polčas premeny	Typ	vek < 1 rok		f_1 > 1 rok	h_{inh} (Sv.Bq ⁻¹)				
			f_1	h_{inh}		1 – 2	2 - 7	7 - 12	12 - 17	> 17 (dospelí)
Sn-119m	293 d	F	0,040	3,0.10 ⁻⁹	0,020	2,2.10 ⁻⁹	1,0.10 ⁻⁹	6,0.10 ⁻¹⁰	3,4.10 ⁻¹⁰	2,8.10 ⁻¹⁰
		M		1,0.10 ⁻⁸		7,9.10 ⁻⁹	4,7.10 ⁻⁹	3,1.10 ⁻⁹	2,6.10 ⁻⁹	2,2.10 ⁻⁹
Sn-121	1,13 d	F		7,7.10 ⁻¹⁰		5,0.10 ⁻¹⁰	2,2.10 ⁻¹⁰	1,3.10 ⁻¹⁰	7,0.10 ⁻¹¹	6,0.10 ⁻¹¹
		M		1,5.10 ⁻⁹		1,1.10 ⁻⁹	5,1.10 ⁻¹⁰	3,6.10 ⁻¹⁰	2,9.10 ⁻¹⁰	2,3.10 ⁻¹⁰
Sn-121m	55,0 r	F		6,9.10 ⁻⁹		5,4.10 ⁻⁹	2,8.10 ⁻⁹	1,6.10 ⁻⁹	9,4.10 ⁻¹⁰	8,0.10 ⁻¹⁰
		M		1,9.10 ⁻⁸		1,5.10 ⁻⁸	9,2.10 ⁻⁹	6,4.10 ⁻⁹	5,5.10 ⁻⁹	4,5.10 ⁻⁹
Sn-123	129 d	F		1,4.10 ⁻⁸		9,9.10 ⁻⁹	4,5.10 ⁻⁹	2,6.10 ⁻⁹	1,4.10 ⁻⁹	1,2.10 ⁻⁹
		M		4,0.10 ⁻⁸		3,1.10 ⁻⁸	1,8.10 ⁻⁸	1,2.10 ⁻⁸	9,5.10 ⁻⁹	8,1.10 ⁻⁹
Sn-123m	0,668 h	F		1,4.10 ⁻¹⁰		8,9.10 ⁻¹¹	3,9.10 ⁻¹¹	2,5.10 ⁻¹¹	1,5.10 ⁻¹¹	1,3.10 ⁻¹¹
		M		2,3.10 ⁻¹⁰		1,5.10 ⁻¹⁰	7,0.10 ⁻¹¹	4,6.10 ⁻¹¹	3,2.10 ⁻¹¹	2,7.10 ⁻¹¹
Sn-125	9,64 d	F		1,2.10 ⁻⁸		8,0.10 ⁻⁹	3,5.10 ⁻⁹	2,0.10 ⁻⁹	1,1.10 ⁻⁹	8,9.10 ⁻¹⁰
		M		2,1.10 ⁻⁸		1,5.10 ⁻⁸	7,6.10 ⁻⁹	5,0.10 ⁻⁹	3,6.10 ⁻⁹	3,1.10 ⁻⁹
Sn-126	1,00.10 ⁵ r	F		7,3.10 ⁻⁸		5,9.10 ⁻⁸	3,2.10 ⁻⁸	2,0.10 ⁻⁸	1,3.10 ⁻⁸	1,1.10 ⁻⁸
		M		1,2.10 ⁻⁷		1,0.10 ⁻⁷	6,2.10 ⁻⁸	4,1.10 ⁻⁸	3,3.10 ⁻⁸	2,8.10 ⁻⁸
Sn-127	2,10 h	F		6,6.10 ⁻¹⁰		4,7.10 ⁻¹⁰	2,3.10 ⁻¹⁰	1,4.10 ⁻¹⁰	7,9.10 ⁻¹¹	6,5.10 ⁻¹¹
		M		1,0.10 ⁻⁹		7,4.10 ⁻¹⁰	3,7.10 ⁻¹⁰	2,4.10 ⁻¹⁰	1,6.10 ⁻¹⁰	1,3.10 ⁻¹⁰
Sn-128	0,985 h	F		5,1.10 ⁻¹⁰		3,6.10 ⁻¹⁰	1,7.10 ⁻¹⁰	1,0.10 ⁻¹⁰	6,1.10 ⁻¹¹	5,0.10 ⁻¹¹
		M		8,0.10 ⁻¹⁰		5,5.10 ⁻¹⁰	2,7.10 ⁻¹⁰	1,7.10 ⁻¹⁰	1,1.10 ⁻¹⁰	9,2.10 ⁻¹¹
Antimón										
Sb-115	0,530 h	F	0,200	8,1.10 ⁻¹¹	0,100	5,9.10 ⁻¹¹	2,8.10 ⁻¹¹	1,7.10 ⁻¹¹	1,0.10 ⁻¹¹	8,5.10 ⁻¹²
		M	0,020	1,2.10 ⁻¹⁰	0,010	8,3.10 ⁻¹¹	4,0.10 ⁻¹¹	2,5.10 ⁻¹¹	1,6.10 ⁻¹¹	1,3.10 ⁻¹¹
		S	0,020	1,2.10 ⁻¹⁰	0,010	8,6.10 ⁻¹¹	4,1.10 ⁻¹¹	2,6.10 ⁻¹¹	1,7.10 ⁻¹¹	1,4.10 ⁻¹¹
Sb-116	0,263 h	F	0,200	8,4.10 ⁻¹¹	0,100	6,2.10 ⁻¹¹	3,0.10 ⁻¹¹	1,9.10 ⁻¹¹	1,1.10 ⁻¹¹	9,1.10 ⁻¹²
		M	0,020	1,1.10 ⁻¹⁰	0,010	8,2.10 ⁻¹¹	4,0.10 ⁻¹¹	2,5.10 ⁻¹¹	1,5.10 ⁻¹¹	1,3.10 ⁻¹¹
		S	0,020	1,2.10 ⁻¹⁰	0,010	8,5.10 ⁻¹¹	4,1.10 ⁻¹¹	2,6.10 ⁻¹¹	1,6.10 ⁻¹¹	1,3.10 ⁻¹¹
Sb-116m	1,00 h	F	0,200	2,6.10 ⁻¹⁰	0,100	2,1.10 ⁻¹⁰	1,1.10 ⁻¹⁰	6,6.10 ⁻¹¹	4,0.10 ⁻¹¹	3,2.10 ⁻¹¹
		M	0,020	3,6.10 ⁻¹⁰	0,010	2,8.10 ⁻¹⁰	1,5.10 ⁻¹⁰	9,1.10 ⁻¹¹	5,9.10 ⁻¹¹	4,7.10 ⁻¹¹
		S	0,020	3,7.10 ⁻¹⁰	0,010	2,9.10 ⁻¹⁰	1,5.10 ⁻¹⁰	9,4.10 ⁻¹¹	6,1.10 ⁻¹¹	4,9.10 ⁻¹¹
Sb-117	2,80 h	F	0,200	7,7.10 ⁻¹¹	0,100	6,0.10 ⁻¹¹	2,9.10 ⁻¹¹	1,8.10 ⁻¹¹	1,0.10 ⁻¹¹	8,5.10 ⁻¹²
		M	0,020	1,2.10 ⁻¹⁰	0,010	9,1.10 ⁻¹¹	4,6.10 ⁻¹¹	3,0.10 ⁻¹¹	2,0.10 ⁻¹¹	1,6.10 ⁻¹¹
		S	0,020	1,3.10 ⁻¹⁰	0,010	9,5.10 ⁻¹¹	4,8.10 ⁻¹¹	3,1.10 ⁻¹¹	2,2.10 ⁻¹¹	1,7.10 ⁻¹¹
Sb-118m	5,00 h	F	0,200	7,3.10 ⁻¹⁰	0,100	6,2.10 ⁻¹⁰	3,3.10 ⁻¹⁰	2,0.10 ⁻¹⁰	1,2.10 ⁻¹⁰	9,3.10 ⁻¹¹
		M	0,020	9,3.10 ⁻¹⁰	0,010	7,6.10 ⁻¹⁰	4,0.10 ⁻¹⁰	2,5.10 ⁻¹⁰	1,5.10 ⁻¹⁰	1,2.10 ⁻¹⁰
		S	0,020	9,5.10 ⁻¹⁰	0,010	7,8.10 ⁻¹⁰	4,1.10 ⁻¹⁰	2,5.10 ⁻¹⁰	1,5.10 ⁻¹⁰	1,2.10 ⁻¹⁰
Sb-119	1,59 d	F	0,200	2,7.10 ⁻¹⁰	0,100	2,0.10 ⁻¹⁰	9,4.10 ⁻¹¹	5,5.10 ⁻¹¹	2,9.10 ⁻¹¹	2,3.10 ⁻¹¹
		M	0,020	4,0.10 ⁻¹⁰	0,010	2,8.10 ⁻¹⁰	1,3.10 ⁻¹⁰	7,9.10 ⁻¹¹	4,4.10 ⁻¹¹	3,5.10 ⁻¹¹
		S	0,020	4,1.10 ⁻¹⁰	0,010	2,9.10 ⁻¹⁰	1,4.10 ⁻¹⁰	8,2.10 ⁻¹¹	4,5.10 ⁻¹¹	3,6.10 ⁻¹¹
Sb-120	5,76 d	F	0,200	4,1.10 ⁻⁹	0,100	3,3.10 ⁻⁹	1,8.10 ⁻⁹	1,1.10 ⁻⁹	6,7.10 ⁻¹⁰	5,5.10 ⁻¹⁰
		M	0,020	6,3.10 ⁻⁹	0,010	5,0.10 ⁻⁹	2,8.10 ⁻⁹	1,8.10 ⁻⁹	1,3.10 ⁻⁹	1,0.10 ⁻⁹
		S	0,020	6,6.10 ⁻⁹	0,010	5,3.10 ⁻⁹	2,9.10 ⁻⁹	1,9.10 ⁻⁹	1,4.10 ⁻⁹	1,1.10 ⁻⁹
Sb-120	0,265 h	F	0,200	4,6.10 ⁻¹¹	0,100	3,1.10 ⁻¹¹	1,4.10 ⁻¹¹	8,9.10 ⁻¹²	5,4.10 ⁻¹²	4,6.10 ⁻¹²
		M	0,020	6,6.10 ⁻¹¹	0,010	4,4.10 ⁻¹¹	2,0.10 ⁻¹¹	1,3.10 ⁻¹¹	8,3.10 ⁻¹²	7,0.10 ⁻¹²
		S	0,020	6,8.10 ⁻¹¹	0,010	4,6.10 ⁻¹¹	2,1.10 ⁻¹¹	1,4.10 ⁻¹¹	8,7.10 ⁻¹²	7,3.10 ⁻¹²
Sb-122	2,70 d	F	0,200	4,2.10 ⁻⁹	0,100	2,8.10 ⁻⁹	1,4.10 ⁻⁹	8,4.10 ⁻¹⁰	4,4.10 ⁻¹⁰	3,6.10 ⁻¹⁰
		M	0,020	8,3.10 ⁻⁹	0,010	5,7.10 ⁻⁹	2,8.10 ⁻⁹	1,8.10 ⁻⁹	1,3.10 ⁻⁹	1,0.10 ⁻⁹
		S	0,020	8,8.10 ⁻⁹	0,010	6,1.10 ⁻⁹	3,0.10 ⁻⁹	2,0.10 ⁻⁹	1,4.10 ⁻⁹	1,1.10 ⁻⁹
Sb-124	60,2 d	F	0,200	1,2.10 ⁻⁸	0,100	8,8.10 ⁻⁹	4,3.10 ⁻⁹	2,6.10 ⁻⁹	1,6.10 ⁻⁹	1,3.10 ⁻⁹
		M	0,020	3,1.10 ⁻⁸	0,010	2,4.10 ⁻⁸	1,4.10 ⁻⁸	9,6.10 ⁻⁹	7,7.10 ⁻⁹	6,4.10 ⁻⁹
		S	0,020	3,9.10 ⁻⁸	0,010	3,1.10 ⁻⁸	1,8.10 ⁻⁸	1,3.10 ⁻⁸	1,0.10 ⁻⁸	8,6.10 ⁻⁹
Sb-124m	0,337 h	F	0,200	2,7.10 ⁻¹¹	0,100	1,9.10 ⁻¹¹	9,0.10 ⁻¹²	5,6.10 ⁻¹²	3,4.10 ⁻¹²	2,8.10 ⁻¹²
		M	0,020	4,3.10 ⁻¹¹	0,010	3,1.10 ⁻¹¹	1,5.10 ⁻¹¹	9,6.10 ⁻¹²	6,5.10 ⁻¹²	5,4.10 ⁻¹²
		S	0,020	4,6.10 ⁻¹¹	0,010	3,3.10 ⁻¹¹	1,6.10 ⁻¹¹	1,0.10 ⁻¹¹	7,2.10 ⁻¹²	5,9.10 ⁻¹²
Sb-125	2,77 r	F	0,200	8,7.10 ⁻⁹	0,100	6,8.10 ⁻⁹	3,7.10 ⁻⁹	2,3.10 ⁻⁹	1,5.10 ⁻⁹	1,4.10 ⁻⁹
		M	0,020	2,0.10 ⁻⁸	0,010	1,6.10 ⁻⁸	1,0.10 ⁻⁸	6,8.10 ⁻⁹	5,8.10 ⁻⁹	4,8.10 ⁻⁹
		S	0,020	4,2.10 ⁻⁸	0,010	3,8.10 ⁻⁸	2,4.10 ⁻⁸	1,6.10 ⁻⁸	1,4.10 ⁻⁸	1,2.10 ⁻⁸
Sb-126	12,4 d	F	0,200	8,8.10 ⁻⁹	0,100	6,6.10 ⁻⁹	3,3.10 ⁻⁹	2,1.10 ⁻⁹	1,2.10 ⁻⁹	1,0.10 ⁻⁹
		M	0,020	1,7.10 ⁻⁸	0,010	1,3.10 ⁻⁸	7,4.10 ⁻⁹	5,1.10 ⁻⁹	3,5.10 ⁻⁹	2,8.10 ⁻⁹
		S	0,020	1,9.10 ⁻⁸	0,010	1,5.10 ⁻⁸	8,2.10 ⁻⁹	5,0.10 ⁻⁹	4,0.10 ⁻⁹	3,2.10 ⁻⁹
Sb-126m	0,317 h	F	0,200	1,2.10 ⁻¹⁰	0,100	8,2.10 ⁻¹¹	3,8.10 ⁻¹¹	2,4.10 ⁻¹¹	1,5.10 ⁻¹¹	1,2.10 ⁻¹¹

Tabuľka č. 13: Konverzné faktory h_{inh} na prepočet príjmu rádionuklidov inhaláciou na úväzok efektívnej dávky u jednotlivcov z obyvateľstva

prvok nuklid	Polčas premeny	Typ	vek < 1 rok		f_1	h_{inh} (Sv.Bq ⁻¹)				
			f_1	h_{inh}	> 1 rok	1 – 2	2 - 7	7 - 12	12 - 17	> 17 (dospelí)
Sb-127	3,85 d	M	0,020	1,7.10 ⁻¹⁰	0,010	1,2.10 ⁻¹⁰	5,5.10 ⁻¹¹	3,5.10 ⁻¹¹	2,3.10 ⁻¹¹	1,9.10 ⁻¹¹
		S	0,020	1,8.10 ⁻¹⁰	0,010	1,2.10 ⁻¹⁰	5,7.10 ⁻¹¹	3,7.10 ⁻¹¹	2,4.10 ⁻¹¹	2,0.10 ⁻¹¹
		F	0,200	5,1.10 ⁻⁹	0,100	3,5.10 ⁻⁹	1,6.10 ⁻⁹	9,7.10 ⁻¹⁰	5,2.10 ⁻¹⁰	4,3.10 ⁻¹⁰
Sb-128	9,01 h	M	0,020	1,0.10 ⁻⁸	0,010	7,3.10 ⁻⁹	3,9.10 ⁻⁹	2,7.10 ⁻⁹	2,1.10 ⁻⁹	1,7.10 ⁻⁹
		S	0,020	1,1.10 ⁻⁸	0,010	7,9.10 ⁻⁹	4,2.10 ⁻⁹	3,0.10 ⁻⁹	2,3.10 ⁻⁹	1,9.10 ⁻⁹
		F	0,200	2,1.10 ⁻⁹	0,100	1,7.10 ⁻⁹	8,3.10 ⁻¹⁰	5,1.10 ⁻¹⁰	2,9.10 ⁻¹⁰	2,3.10 ⁻¹⁰
Sb-128	0,173 h	M	0,020	3,3.10 ⁻⁹	0,010	2,5.10 ⁻⁹	1,2.10 ⁻⁹	7,9.10 ⁻¹⁰	5,0.10 ⁻¹⁰	4,0.10 ⁻¹⁰
		S	0,020	3,4.10 ⁻⁹	0,010	2,6.10 ⁻⁹	1,3.10 ⁻⁹	8,3.10 ⁻¹⁰	5,2.10 ⁻¹⁰	4,2.10 ⁻¹⁰
		F	0,200	9,8.10 ⁻¹¹	0,100	6,9.10 ⁻¹¹	3,2.10 ⁻¹¹	2,0.10 ⁻¹¹	1,2.10 ⁻¹¹	1,0.10 ⁻¹¹
Sb-129	4,32 h	M	0,020	1,3.10 ⁻¹⁰	0,010	9,2.10 ⁻¹¹	4,3.10 ⁻¹¹	2,7.10 ⁻¹¹	1,7.10 ⁻¹¹	1,4.10 ⁻¹¹
		S	0,020	1,4.10 ⁻¹⁰	0,010	9,4.10 ⁻¹¹	4,4.10 ⁻¹¹	2,8.10 ⁻¹¹	1,8.10 ⁻¹¹	1,5.10 ⁻¹¹
		F	0,200	1,1.10 ⁻⁹	0,100	8,2.10 ⁻¹⁰	3,8.10 ⁻¹⁰	2,3.10 ⁻¹⁰	1,3.10 ⁻¹⁰	1,0.10 ⁻¹⁰
Sb-130	0,667 h	M	0,020	2,0.10 ⁻⁹	0,010	1,4.10 ⁻⁹	6,8.10 ⁻¹⁰	4,4.10 ⁻¹⁰	2,9.10 ⁻¹⁰	2,3.10 ⁻¹⁰
		S	0,020	2,1.10 ⁻⁹	0,010	1,5.10 ⁻⁹	7,2.10 ⁻¹⁰	4,6.10 ⁻¹⁰	3,0.10 ⁻¹⁰	2,5.10 ⁻¹⁰
		F	0,200	3,0.10 ⁻¹⁰	0,100	2,2.10 ⁻¹⁰	1,1.10 ⁻¹⁰	6,6.10 ⁻¹¹	4,0.10 ⁻¹¹	3,3.10 ⁻¹¹
Sb-131	0,383 h	M	0,020	4,5.10 ⁻¹⁰	0,010	3,2.10 ⁻¹⁰	1,6.10 ⁻¹⁰	9,8.10 ⁻¹¹	6,3.10 ⁻¹¹	5,1.10 ⁻¹¹
		S	0,020	4,6.10 ⁻¹⁰	0,010	3,3.10 ⁻¹⁰	1,6.10 ⁻¹⁰	1,0.10 ⁻¹⁰	6,5.10 ⁻¹¹	5,3.10 ⁻¹¹
		F	0,200	3,5.10 ⁻¹⁰	0,100	2,8.10 ⁻¹⁰	1,4.10 ⁻¹⁰	7,7.10 ⁻¹¹	4,6.10 ⁻¹¹	3,5.10 ⁻¹¹
Telúr										
Te-116	2,49 h	M	0,200	8,6.10 ⁻¹⁰	0,100	6,4.10 ⁻¹⁰	3,2.10 ⁻¹⁰	2,0.10 ⁻¹⁰	1,3.10 ⁻¹⁰	1,0.10 ⁻¹⁰
		S	0,020	9,1.10 ⁻¹⁰	0,010	6,7.10 ⁻¹⁰	3,3.10 ⁻¹⁰	2,1.10 ⁻¹⁰	1,4.10 ⁻¹⁰	1,1.10 ⁻¹⁰
		F	0,600	1,7.10 ⁻⁹	0,300	1,4.10 ⁻⁹	7,2.10 ⁻¹⁰	4,6.10 ⁻¹⁰	2,9.10 ⁻¹⁰	2,4.10 ⁻¹⁰
Te-121	17,0 d	M	0,200	2,3.10 ⁻⁹	0,100	1,9.10 ⁻⁹	1,0.10 ⁻⁹	6,8.10 ⁻¹⁰	4,7.10 ⁻¹⁰	3,8.10 ⁻¹⁰
		S	0,020	2,4.10 ⁻⁹	0,010	2,0.10 ⁻⁹	1,1.10 ⁻⁹	7,2.10 ⁻¹⁰	5,1.10 ⁻¹⁰	4,1.10 ⁻¹⁰
		F	0,600	1,4.10 ⁻⁸	0,300	1,0.10 ⁻⁸	5,3.10 ⁻⁹	3,3.10 ⁻⁹	2,1.10 ⁻⁹	1,8.10 ⁻⁹
Te-121m	154 d	M	0,200	1,9.10 ⁻⁸	0,100	1,5.10 ⁻⁸	8,8.10 ⁻⁹	6,1.10 ⁻⁹	5,1.10 ⁻⁹	4,2.10 ⁻⁹
		S	0,020	2,3.10 ⁻⁸	0,010	1,9.10 ⁻⁸	1,2.10 ⁻⁸	8,1.10 ⁻⁹	6,9.10 ⁻⁹	5,7.10 ⁻⁹
		F	0,600	1,1.10 ⁻⁸	0,300	9,1.10 ⁻⁹	6,2.10 ⁻⁹	4,8.10 ⁻⁹	4,0.10 ⁻⁹	3,9.10 ⁻⁹
Te-123	1,00.10 ¹³ r	M	0,200	5,6.10 ⁻⁹	0,100	4,4.10 ⁻⁹	3,0.10 ⁻⁹	2,3.10 ⁻⁹	2,0.10 ⁻⁹	1,9.10 ⁻⁹
		S	0,020	5,3.10 ⁻⁹	0,010	5,0.10 ⁻⁹	3,5.10 ⁻⁹	2,4.10 ⁻⁹	2,1.10 ⁻⁹	2,0.10 ⁻⁹
		F	0,600	9,8.10 ⁻⁹	0,300	6,8.10 ⁻⁹	3,4.10 ⁻⁹	1,9.10 ⁻⁹	1,1.10 ⁻⁹	9,5.10 ⁻¹⁰
Te-123m	120 d	M	0,200	1,8.10 ⁻⁸	0,100	1,3.10 ⁻⁸	8,0.10 ⁻⁹	5,7.10 ⁻⁹	5,0.10 ⁻⁹	4,0.10 ⁻⁹
		S	0,020	2,0.10 ⁻⁸	0,010	1,6.10 ⁻⁸	9,8.10 ⁻⁹	7,1.10 ⁻⁹	6,3.10 ⁻⁹	5,1.10 ⁻⁹
		F	0,600	6,2.10 ⁻⁹	0,300	4,2.10 ⁻⁹	2,0.10 ⁻⁹	1,1.10 ⁻⁹	6,1.10 ⁻¹⁰	5,1.10 ⁻¹⁰
Te-125m	58,0 d	M	0,200	1,5.10 ⁻⁸	0,100	1,1.10 ⁻⁸	6,6.10 ⁻⁹	4,8.10 ⁻⁹	4,3.10 ⁻⁹	3,4.10 ⁻⁹
		S	0,020	1,7.10 ⁻⁸	0,010	1,3.10 ⁻⁸	7,8.10 ⁻⁹	5,8.10 ⁻⁹	5,3.10 ⁻⁹	4,2.10 ⁻⁹
		F	0,600	4,3.10 ⁻¹⁰	0,300	3,2.10 ⁻¹⁰	1,4.10 ⁻¹⁰	8,5.10 ⁻¹¹	4,5.10 ⁻¹¹	3,9.10 ⁻¹¹
Te-127	9,35 h	M	0,200	1,0.10 ⁻⁹	0,100	7,3.10 ⁻¹⁰	3,6.10 ⁻¹⁰	2,4.10 ⁻¹⁰	1,6.10 ⁻¹⁰	1,3.10 ⁻¹⁰
		S	0,020	1,2.10 ⁻⁹	0,010	7,9.10 ⁻¹⁰	3,9.10 ⁻¹⁰	2,6.10 ⁻¹⁰	1,7.10 ⁻¹⁰	1,4.10 ⁻¹⁰
		F	0,600	2,1.10 ⁻⁸	0,300	1,4.10 ⁻⁸	6,5.10 ⁻⁹	3,5.10 ⁻⁹	2,0.10 ⁻⁹	1,5.10 ⁻⁹
Te-127m	109 d	M	0,200	3,5.10 ⁻⁸	0,100	2,6.10 ⁻⁸	1,5.10 ⁻⁸	1,1.10 ⁻⁸	9,2.10 ⁻⁹	7,4.10 ⁻⁹
		S	0,020	4,1.10 ⁻⁸	0,010	3,3.10 ⁻⁸	2,0.10 ⁻⁸	1,4.10 ⁻⁸	1,2.10 ⁻⁸	9,8.10 ⁻⁹
		F	0,600	1,8.10 ⁻¹⁰	0,300	1,2.10 ⁻¹⁰	5,1.10 ⁻¹¹	3,2.10 ⁻¹¹	1,9.10 ⁻¹¹	1,6.10 ⁻¹¹
Te-129	1,16 h	M	0,200	3,3.10 ⁻¹⁰	0,100	2,2.10 ⁻¹⁰	9,9.10 ⁻¹¹	6,5.10 ⁻¹¹	4,4.10 ⁻¹¹	3,7.10 ⁻¹¹
		S	0,020	3,5.10 ⁻¹⁰	0,010	2,3.10 ⁻¹⁰	1,0.10 ⁻¹⁰	6,9.10 ⁻¹¹	4,7.10 ⁻¹¹	3,9.10 ⁻¹¹
		F	0,600	2,0.10 ⁻⁸	0,300	1,3.10 ⁻⁸	5,8.10 ⁻⁹	3,1.10 ⁻⁹	1,7.10 ⁻⁹	1,3.10 ⁻⁹
Te-129m	33,6 d	M	0,200	3,5.10 ⁻⁸	0,100	2,6.10 ⁻⁸	1,4.10 ⁻⁸	9,8.10 ⁻⁹	8,0.10 ⁻⁹	6,6.10 ⁻⁹
		S	0,020	3,8.10 ⁻⁸	0,010	2,9.10 ⁻⁸	1,7.10 ⁻⁸	1,2.10 ⁻⁸	9,6.10 ⁻⁹	7,9.10 ⁻⁹
		F	0,600	2,3.10 ⁻¹⁰	0,300	2,0.10 ⁻¹⁰	9,9.10 ⁻¹¹	5,3.10 ⁻¹¹	3,3.10 ⁻¹¹	2,3.10 ⁻¹¹
Te-131	0,417 h	M	0,200	2,6.10 ⁻¹⁰	0,100	1,7.10 ⁻¹⁰	8,1.10 ⁻¹¹	5,2.10 ⁻¹¹	3,5.10 ⁻¹¹	2,8.10 ⁻¹¹
		S	0,020	2,4.10 ⁻¹⁰	0,010	1,6.10 ⁻¹⁰	7,4.10 ⁻¹¹	4,9.10 ⁻¹¹	3,3.10 ⁻¹¹	2,8.10 ⁻¹¹
		F	0,600	8,7.10 ⁻⁹	0,300	7,6.10 ⁻⁹	3,9.10 ⁻⁹	2,0.10 ⁻⁹	1,2.10 ⁻⁹	8,6.10 ⁻¹⁰
Te-131m	1,25 d	M	0,200	7,9.10 ⁻⁹	0,100	5,8.10 ⁻⁹	3,0.10 ⁻⁹	1,9.10 ⁻⁹	1,2.10 ⁻⁹	9,4.10 ⁻¹⁰
		S	0,020	7,0.10 ⁻⁹	0,010	5,1.10 ⁻⁹	2,6.10 ⁻⁹	1,8.10 ⁻⁹	1,1.10 ⁻⁹	9,1.10 ⁻¹⁰
		F	0,600	2,2.10 ⁻⁸	0,300	1,8.10 ⁻⁸	8,5.10 ⁻⁹	4,2.10 ⁻⁹	2,6.10 ⁻⁹	1,8.10 ⁻⁹
Te-132	3,26 d	M	0,200	1,6.10 ⁻⁸	0,100	1,3.10 ⁻⁸	6,4.10 ⁻⁹	4,0.10 ⁻⁹	2,6.10 ⁻⁹	2,0.10 ⁻⁹

Tabuľka č. 13: Konverzné faktory h_{inh} na prepočet príjmu rádionuklidov inhaláciou na úväzok efektívnej dávky u jednotlivcov z obyvateľstva

prvok nuklid	Polčas premeny	Typ	vek < 1 rok		f_1	h_{inh} (Sv.Bq ⁻¹)				
			f_1	h_{inh}	> 1 rok	1 – 2	2 - 7	7 - 12	12 - 17	> 17 (dospelí)
Te-133	0,207 h	S	0,020	1,5.10 ⁻⁸	0,010	1,1.10 ⁻⁸	5,8.10 ⁻⁹	3,8.10 ⁻⁹	2,5.10 ⁻⁹	2,0.10 ⁻⁹
		F	0,600	2,4.10 ⁻¹⁰	0,300	2,1.10 ⁻¹⁰	9,6.10 ⁻¹¹	4,6.10 ⁻¹¹	2,8.10 ⁻¹¹	1,9.10 ⁻¹¹
		M	0,200	2,0.10 ⁻¹⁰	0,100	1,3.10 ⁻¹⁰	6,1.10 ⁻¹¹	3,8.10 ⁻¹¹	2,4.10 ⁻¹¹	2,0.10 ⁻¹¹
Te-133m	0,923 h	S	0,020	1,7.10 ⁻¹⁰	0,010	1,2.10 ⁻¹⁰	5,4.10 ⁻¹¹	3,5.10 ⁻¹¹	2,2.10 ⁻¹¹	1,9.10 ⁻¹¹
		F	0,600	1,0.10 ⁻⁹	0,300	8,9.10 ⁻¹⁰	4,1.10 ⁻¹⁰	2,0.10 ⁻¹⁰	1,2.10 ⁻¹⁰	8,1.10 ⁻¹¹
		M	0,200	8,5.10 ⁻¹⁰	0,100	5,8.10 ⁻¹⁰	2,8.10 ⁻¹⁰	1,7.10 ⁻¹⁰	1,1.10 ⁻¹⁰	8,7.10 ⁻¹¹
Te-134	0,696 h	S	0,020	7,4.10 ⁻¹⁰	0,010	5,1.10 ⁻¹⁰	2,5.10 ⁻¹⁰	1,6.10 ⁻¹⁰	1,0.10 ⁻¹⁰	8,4.10 ⁻¹¹
		F	0,600	4,7.10 ⁻¹⁰	0,300	3,7.10 ⁻¹⁰	1,8.10 ⁻¹⁰	1,0.10 ⁻¹⁰	6,0.10 ⁻¹¹	4,7.10 ⁻¹¹
		M	0,200	5,5.10 ⁻¹⁰	0,100	3,9.10 ⁻¹⁰	1,9.10 ⁻¹⁰	1,2.10 ⁻¹⁰	8,1.10 ⁻¹¹	6,6.10 ⁻¹¹
Jód										
I-120	1,35 h	F	1,000	1,3.10 ⁻⁹	1,000	1,0.10 ⁻⁹	4,8.10 ⁻¹⁰	2,3.10 ⁻¹⁰	1,4.10 ⁻¹⁰	1,0.10 ⁻¹⁰
		M	0,200	1,1.10 ⁻⁹	0,100	7,3.10 ⁻¹⁰	3,4.10 ⁻¹⁰	2,1.10 ⁻¹⁰	1,3.10 ⁻¹⁰	1,0.10 ⁻¹⁰
		S	0,020	1,0.10 ⁻⁹	0,010	6,9.10 ⁻¹⁰	3,2.10 ⁻¹⁰	2,0.10 ⁻¹⁰	1,2.10 ⁻¹⁰	1,0.10 ⁻¹⁰
I-120m	0,883 h	F	1,000	8,6.10 ⁻¹⁰	1,000	6,9.10 ⁻¹⁰	3,3.10 ⁻¹⁰	1,8.10 ⁻¹⁰	1,1.10 ⁻¹⁰	8,2.10 ⁻¹¹
		M	0,200	8,2.10 ⁻¹⁰	0,100	5,9.10 ⁻¹⁰	2,9.10 ⁻¹⁰	1,8.10 ⁻¹⁰	1,1.10 ⁻¹⁰	8,7.10 ⁻¹¹
		S	0,020	8,2.10 ⁻¹⁰	0,010	5,8.10 ⁻¹⁰	2,8.10 ⁻¹⁰	1,8.10 ⁻¹⁰	1,1.10 ⁻¹⁰	8,8.10 ⁻¹¹
I-121	2,12 h	F	1,000	2,3.10 ⁻¹⁰	1,000	2,1.10 ⁻¹⁰	1,1.10 ⁻¹⁰	6,0.10 ⁻¹¹	3,8.10 ⁻¹¹	2,7.10 ⁻¹¹
		M	0,200	2,1.10 ⁻¹⁰	0,100	1,5.10 ⁻¹⁰	7,8.10 ⁻¹¹	4,9.10 ⁻¹¹	3,2.10 ⁻¹¹	2,5.10 ⁻¹¹
		S	0,020	1,9.10 ⁻¹⁰	0,010	1,4.10 ⁻¹⁰	7,0.10 ⁻¹¹	4,5.10 ⁻¹¹	3,0.10 ⁻¹¹	2,4.10 ⁻¹¹
I-123	13,2 h	F	1,000	8,7.10 ⁻¹⁰	1,000	7,9.10 ⁻¹⁰	3,8.10 ⁻¹⁰	1,8.10 ⁻¹⁰	1,1.10 ⁻¹⁰	7,4.10 ⁻¹¹
		M	0,200	5,3.10 ⁻¹⁰	0,100	3,9.10 ⁻¹⁰	2,0.10 ⁻¹⁰	1,2.10 ⁻¹⁰	8,2.10 ⁻¹¹	6,4.10 ⁻¹¹
		S	0,020	4,3.10 ⁻¹⁰	0,010	3,2.10 ⁻¹⁰	1,7.10 ⁻¹⁰	1,1.10 ⁻¹⁰	7,6.10 ⁻¹¹	6,0.10 ⁻¹¹
I-124	4,18 d	F	1,000	4,7.10 ⁻⁸	1,000	4,5.10 ⁻⁸	2,2.10 ⁻⁸	1,1.10 ⁻⁸	6,7.10 ⁻⁹	4,4.10 ⁻⁹
		M	0,200	1,4.10 ⁻⁸	0,100	9,3.10 ⁻⁹	4,6.10 ⁻⁹	2,5.10 ⁻⁹	1,6.10 ⁻⁹	1,2.10 ⁻⁹
		S	0,020	6,2.10 ⁻⁹	0,010	4,4.10 ⁻⁹	2,2.10 ⁻⁹	1,4.10 ⁻⁹	9,4.10 ⁻¹⁰	7,7.10 ⁻¹⁰
I-125	60,1 d	F	1,000	2,0.10 ⁻⁸	1,000	2,3.10 ⁻⁸	1,5.10 ⁻⁸	1,1.10 ⁻⁸	7,2.10 ⁻⁹	5,1.10 ⁻⁹
		M	0,200	6,9.10 ⁻⁹	0,100	5,6.10 ⁻⁹	3,6.10 ⁻⁹	2,6.10 ⁻⁹	1,8.10 ⁻⁹	1,4.10 ⁻⁹
		S	0,020	2,4.10 ⁻⁹	0,010	1,8.10 ⁻⁹	1,0.10 ⁻⁹	6,7.10 ⁻¹⁰	4,8.10 ⁻¹⁰	3,8.10 ⁻¹⁰
I-126	13,0 d	F	1,000	8,1.10 ⁻⁸	1,000	8,3.10 ⁻⁸	4,5.10 ⁻⁸	2,4.10 ⁻⁸	1,5.10 ⁻⁸	9,8.10 ⁻⁹
		M	0,200	2,4.10 ⁻⁸	0,100	1,7.10 ⁻⁸	9,5.10 ⁻⁹	5,5.10 ⁻⁹	3,8.10 ⁻⁹	2,7.10 ⁻⁹
		S	0,020	8,3.10 ⁻⁹	0,010	5,9.10 ⁻⁹	3,3.10 ⁻⁹	2,2.10 ⁻⁹	1,8.10 ⁻⁹	1,4.10 ⁻⁹
I-128	0,416 h	F	1,000	1,5.10 ⁻¹⁰	1,000	1,1.10 ⁻¹⁰	4,7.10 ⁻¹¹	2,7.10 ⁻¹¹	1,6.10 ⁻¹¹	1,3.10 ⁻¹¹
		M	0,200	1,9.10 ⁻¹⁰	0,100	1,2.10 ⁻¹⁰	5,3.10 ⁻¹¹	3,4.10 ⁻¹¹	2,2.10 ⁻¹¹	1,9.10 ⁻¹¹
		S	0,020	1,9.10 ⁻¹⁰	0,010	1,2.10 ⁻¹⁰	5,4.10 ⁻¹¹	3,5.10 ⁻¹¹	2,3.10 ⁻¹¹	2,0.10 ⁻¹¹
I-129	1,57.10 ⁷ r	F	1,000	7,2.10 ⁻⁸	1,000	8,6.10 ⁻⁸	6,1.10 ⁻⁸	6,7.10 ⁻⁸	4,6.10 ⁻⁸	3,6.10 ⁻⁸
		M	0,200	3,6.10 ⁻⁸	0,100	3,3.10 ⁻⁸	2,4.10 ⁻⁸	2,4.10 ⁻⁸	1,9.10 ⁻⁸	1,5.10 ⁻⁸
		S	0,020	2,9.10 ⁻⁸	0,010	2,6.10 ⁻⁸	1,8.10 ⁻⁸	1,3.10 ⁻⁸	1,1.10 ⁻⁸	9,8.10 ⁻⁹
I-130	12,4 h	F	1,000	8,2.10 ⁻⁹	1,000	7,4.10 ⁻⁹	3,5.10 ⁻⁹	1,6.10 ⁻⁹	1,0.10 ⁻⁹	6,7.10 ⁻¹⁰
		M	0,200	4,3.10 ⁻⁹	0,100	3,1.10 ⁻⁹	1,5.10 ⁻⁹	9,2.10 ⁻¹⁰	5,8.10 ⁻¹⁰	4,5.10 ⁻¹⁰
		S	0,020	3,3.10 ⁻⁹	0,010	2,4.10 ⁻⁹	1,2.10 ⁻⁹	7,9.10 ⁻¹⁰	5,1.10 ⁻¹⁰	4,1.10 ⁻¹⁰
I-131	8,04 d	F	1,000	7,2.10 ⁻⁸	1,000	7,2.10 ⁻⁸	3,7.10 ⁻⁸	1,9.10 ⁻⁸	1,1.10 ⁻⁸	7,4.10 ⁻⁹
		M	0,200	2,2.10 ⁻⁸	0,100	1,5.10 ⁻⁸	8,2.10 ⁻⁹	4,7.10 ⁻⁹	3,4.10 ⁻⁹	2,4.10 ⁻⁹
		S	0,020	8,8.10 ⁻⁹	0,010	6,2.10 ⁻⁹	3,5.10 ⁻⁹	2,4.10 ⁻⁹	2,0.10 ⁻⁹	1,6.10 ⁻⁹
I-132	2,30 h	F	1,000	1,1.10 ⁻⁹	1,000	9,6.10 ⁻¹⁰	4,5.10 ⁻¹⁰	2,2.10 ⁻¹⁰	1,3.10 ⁻¹⁰	9,4.10 ⁻¹¹
		M	0,200	9,9.10 ⁻¹⁰	0,100	7,3.10 ⁻¹⁰	3,6.10 ⁻¹⁰	2,2.10 ⁻¹⁰	1,4.10 ⁻¹⁰	1,1.10 ⁻¹⁰
		S	0,020	9,3.10 ⁻¹⁰	0,010	6,8.10 ⁻¹⁰	3,4.10 ⁻¹⁰	2,1.10 ⁻¹⁰	1,4.10 ⁻¹⁰	1,1.10 ⁻¹⁰
I-132m	1,39 h	F	1,000	9,6.10 ⁻¹⁰	1,000	8,4.10 ⁻¹⁰	4,0.10 ⁻¹⁰	1,9.10 ⁻¹⁰	1,2.10 ⁻¹⁰	7,9.10 ⁻¹¹
		M	0,200	7,2.10 ⁻¹⁰	0,100	5,3.10 ⁻¹⁰	2,6.10 ⁻¹⁰	1,6.10 ⁻¹⁰	1,1.10 ⁻¹⁰	8,7.10 ⁻¹¹
		S	0,020	6,6.10 ⁻¹⁰	0,010	4,8.10 ⁻¹⁰	2,4.10 ⁻¹⁰	1,6.10 ⁻¹⁰	1,1.10 ⁻¹⁰	8,5.10 ⁻¹¹
I-133	20,8 h	F	1,000	1,9.10 ⁻⁸	1,000	1,8.10 ⁻⁸	8,3.10 ⁻⁹	3,8.10 ⁻⁹	2,2.10 ⁻⁹	1,5.10 ⁻⁹
		M	0,200	6,6.10 ⁻⁹	0,100	4,4.10 ⁻⁹	2,1.10 ⁻⁹	1,2.10 ⁻⁹	7,4.10 ⁻¹⁰	5,5.10 ⁻¹⁰
		S	0,020	3,8.10 ⁻⁹	0,010	2,9.10 ⁻⁹	1,4.10 ⁻⁹	9,0.10 ⁻¹⁰	5,3.10 ⁻¹⁰	4,3.10 ⁻¹⁰
I-134	0,876 h	F	1,000	4,6.10 ⁻¹⁰	1,000	3,7.10 ⁻¹⁰	1,8.10 ⁻¹⁰	9,7.10 ⁻¹¹	5,9.10 ⁻¹¹	4,5.10 ⁻¹¹
		M	0,200	4,8.10 ⁻¹⁰	0,100	3,4.10 ⁻¹⁰	1,7.10 ⁻¹⁰	1,0.10 ⁻¹⁰	6,7.10 ⁻¹¹	5,4.10 ⁻¹¹
		S	0,020	4,8.10 ⁻¹⁰	0,010	3,4.10 ⁻¹⁰	1,7.10 ⁻¹⁰	1,1.10 ⁻¹⁰	6,8.10 ⁻¹¹	5,5.10 ⁻¹¹
I-135	6,61 h	F	1,000	4,1.10 ⁻⁹	1,000	3,7.10 ⁻⁹	1,7.10 ⁻⁹	7,9.10 ⁻¹⁰	4,8.10 ⁻¹⁰	3,2.10 ⁻¹⁰
		M	0,200	2,2.10 ⁻⁹	0,100	1,6.10 ⁻⁹	7,8.10 ⁻¹⁰	4,7.10 ⁻¹⁰	3,0.10 ⁻¹⁰	2,4.10 ⁻¹⁰
		S	0,020	1,8.10 ⁻⁹	0,010	1,3.10 ⁻⁹	6,5.10 ⁻¹⁰	4,2.10 ⁻¹⁰	2,7.10 ⁻¹⁰	2,2.10 ⁻¹⁰

Tabuľka č. 13: Konverzné faktory h_{inh} na prepočet príjmu rádionuklidov inhaláciou na úväzok efektívnej dávky u jednotlivcov z obyvateľstva

prvok nuklid	Polčas premeny	Typ	vek < 1 rok		f_1	h_{inh} (Sv.Bq ⁻¹)				
			f_1	h_{inh}	> 1 rok	1 – 2	2 - 7	7 - 12	12 - 17	> 17 (dospelí)
Cézium										
Cs-125	0,750 h	F	1,000	1,2.10 ⁻¹⁰	1,000	8,3.10 ⁻¹¹	3,9.10 ⁻¹¹	2,4.10 ⁻¹¹	1,4.10 ⁻¹¹	1,2.10 ⁻¹¹
		M	0,200	2,0.10 ⁻¹⁰	0,100	1,4.10 ⁻¹⁰	6,5.10 ⁻¹¹	4,2.10 ⁻¹¹	2,7.10 ⁻¹¹	2,2.10 ⁻¹¹
		S	0,020	2,1.10 ⁻¹⁰	0,010	1,4.10 ⁻¹⁰	6,8.10 ⁻¹¹	4,4.10 ⁻¹¹	2,8.10 ⁻¹¹	2,3.10 ⁻¹¹
Cs-127	6,25 h	F	1,000	1,6.10 ⁻¹⁰	1,000	1,3.10 ⁻¹⁰	6,9.10 ⁻¹¹	4,2.10 ⁻¹¹	2,5.10 ⁻¹¹	2,0.10 ⁻¹¹
		M	0,200	2,8.10 ⁻¹⁰	0,100	2,2.10 ⁻¹⁰	1,1.10 ⁻¹⁰	7,3.10 ⁻¹¹	4,6.10 ⁻¹¹	3,6.10 ⁻¹¹
		S	0,020	3,0.10 ⁻¹⁰	0,010	2,3.10 ⁻¹⁰	1,2.10 ⁻¹⁰	7,6.10 ⁻¹¹	4,8.10 ⁻¹¹	3,8.10 ⁻¹¹
Cs-129	1,34 d	F	1,000	3,4.10 ⁻¹⁰	1,000	2,8.10 ⁻¹⁰	1,4.10 ⁻¹⁰	8,7.10 ⁻¹¹	5,2.10 ⁻¹¹	4,2.10 ⁻¹¹
		M	0,200	5,7.10 ⁻¹⁰	0,100	4,6.10 ⁻¹⁰	2,4.10 ⁻¹⁰	1,5.10 ⁻¹⁰	9,1.10 ⁻¹¹	7,3.10 ⁻¹¹
		S	0,020	6,3.10 ⁻¹⁰	0,010	4,9.10 ⁻¹⁰	2,5.10 ⁻¹⁰	1,6.10 ⁻¹⁰	9,7.10 ⁻¹¹	7,7.10 ⁻¹¹
Cs-130	0,498 h	F	1,000	8,3.10 ⁻¹¹	1,000	5,6.10 ⁻¹¹	2,5.10 ⁻¹¹	1,6.10 ⁻¹¹	9,4.10 ⁻¹²	7,8.10 ⁻¹²
		M	0,200	1,3.10 ⁻¹⁰	0,100	8,7.10 ⁻¹¹	4,0.10 ⁻¹¹	2,5.10 ⁻¹¹	1,6.10 ⁻¹¹	1,4.10 ⁻¹¹
		S	0,020	1,4.10 ⁻¹⁰	0,010	9,0.10 ⁻¹¹	4,1.10 ⁻¹¹	2,6.10 ⁻¹¹	1,7.10 ⁻¹¹	1,4.10 ⁻¹¹
Cs-131	9,69 d	F	1,000	2,4.10 ⁻¹⁰	1,000	1,7.10 ⁻¹⁰	8,4.10 ⁻¹¹	5,3.10 ⁻¹¹	3,2.10 ⁻¹¹	2,7.10 ⁻¹¹
		M	0,200	3,5.10 ⁻¹⁰	0,100	2,6.10 ⁻¹⁰	1,4.10 ⁻¹⁰	8,5.10 ⁻¹¹	5,5.10 ⁻¹¹	4,4.10 ⁻¹¹
		S	0,020	3,8.10 ⁻¹⁰	0,010	2,8.10 ⁻¹⁰	1,4.10 ⁻¹⁰	9,1.10 ⁻¹¹	5,9.10 ⁻¹¹	4,7.10 ⁻¹¹
Cs-132	6,48 d	F	1,000	1,5.10 ⁻⁹	1,000	1,2.10 ⁻⁹	6,4.10 ⁻¹⁰	4,1.10 ⁻¹⁰	2,7.10 ⁻¹⁰	2,3.10 ⁻¹⁰
		M	0,200	1,9.10 ⁻⁹	0,100	1,5.10 ⁻⁹	8,4.10 ⁻¹⁰	5,4.10 ⁻¹⁰	3,7.10 ⁻¹⁰	2,9.10 ⁻¹⁰
		S	0,020	2,0.10 ⁻⁹	0,010	1,6.10 ⁻⁹	8,7.10 ⁻¹⁰	5,6.10 ⁻¹⁰	3,8.10 ⁻¹⁰	3,0.10 ⁻¹⁰
Cs-134	2,06 r	F	1,000	1,1.10 ⁻⁸	1,000	7,3.10 ⁻⁹	5,2.10 ⁻⁹	5,3.10 ⁻⁹	6,3.10 ⁻⁹	6,6.10 ⁻⁹
		M	0,200	3,2.10 ⁻⁸	0,100	2,6.10 ⁻⁸	1,6.10 ⁻⁸	1,2.10 ⁻⁸	1,1.10 ⁻⁸	9,1.10 ⁻⁹
		S	0,020	7,0.10 ⁻⁸	0,010	6,3.10 ⁻⁸	4,1.10 ⁻⁸	2,8.10 ⁻⁸	2,3.10 ⁻⁸	2,0.10 ⁻⁸
Cs-134m	2,90 h	F	1,000	1,3.10 ⁻¹⁰	1,000	8,6.10 ⁻¹¹	3,8.10 ⁻¹¹	2,5.10 ⁻¹¹	1,6.10 ⁻¹¹	1,4.10 ⁻¹¹
		M	0,200	3,3.10 ⁻¹⁰	0,100	2,3.10 ⁻¹⁰	1,2.10 ⁻¹⁰	8,3.10 ⁻¹¹	6,6.10 ⁻¹¹	5,4.10 ⁻¹¹
		S	0,020	3,6.10 ⁻¹⁰	0,010	2,5.10 ⁻¹⁰	1,3.10 ⁻¹⁰	9,2.10 ⁻¹¹	7,4.10 ⁻¹¹	6,0.10 ⁻¹¹
Cs-135	2,30.10 ⁶ r	F	1,000	1,7.10 ⁻⁹	1,000	9,9.10 ⁻¹⁰	6,2.10 ⁻¹⁰	6,1.10 ⁻¹⁰	6,8.10 ⁻¹⁰	6,9.10 ⁻¹⁰
		M	0,200	1,2.10 ⁻⁸	0,100	9,3.10 ⁻⁹	5,7.10 ⁻⁹	4,1.10 ⁻⁹	3,8.10 ⁻⁹	3,1.10 ⁻⁹
		S	0,020	2,7.10 ⁻⁸	0,010	2,4.10 ⁻⁸	1,6.10 ⁻⁸	1,1.10 ⁻⁸	9,5.10 ⁻⁹	8,6.10 ⁻⁹
Cs-135m	0,883 h	F	1,000	9,2.10 ⁻¹¹	1,000	7,8.10 ⁻¹¹	4,1.10 ⁻¹¹	2,4.10 ⁻¹¹	1,5.10 ⁻¹¹	1,2.10 ⁻¹¹
		M	0,200	1,2.10 ⁻¹⁰	0,100	9,9.10 ⁻¹¹	5,2.10 ⁻¹¹	3,2.10 ⁻¹¹	1,9.10 ⁻¹¹	1,5.10 ⁻¹¹
		S	0,020	1,2.10 ⁻¹⁰	0,010	1,0.10 ⁻¹⁰	5,3.10 ⁻¹¹	3,3.10 ⁻¹¹	2,0.10 ⁻¹¹	1,6.10 ⁻¹¹
Cs-136	13,1 d	F	1,000	7,3.10 ⁻⁹	1,000	5,2.10 ⁻⁹	2,9.10 ⁻⁹	2,0.10 ⁻⁹	1,4.10 ⁻⁹	1,2.10 ⁻⁹
		M	0,200	1,3.10 ⁻⁸	0,100	1,0.10 ⁻⁸	6,0.10 ⁻⁹	3,7.10 ⁻⁹	3,1.10 ⁻⁹	2,5.10 ⁻⁹
		S	0,020	1,5.10 ⁻⁸	0,010	1,1.10 ⁻⁸	5,7.10 ⁻⁹	4,1.10 ⁻⁹	3,5.10 ⁻⁹	2,8.10 ⁻⁹
Cs-137	30,0 r	F	1,000	8,8.10 ⁻⁹	1,000	5,4.10 ⁻⁹	3,6.10 ⁻⁹	3,7.10 ⁻⁹	4,4.10 ⁻⁹	4,6.10 ⁻⁹
		M	0,200	3,6.10 ⁻⁸	0,100	2,9.10 ⁻⁸	1,8.10 ⁻⁸	1,3.10 ⁻⁸	1,1.10 ⁻⁸	9,7.10 ⁻⁹
		S	0,020	1,1.10 ⁻⁷	0,010	1,0.10 ⁻⁷	7,0.10 ⁻⁸	4,8.10 ⁻⁸	4,2.10 ⁻⁸	3,9.10 ⁻⁸
Cs-138	0,536 h	F	1,000	2,6.10 ⁻¹⁰	1,000	1,8.10 ⁻¹⁰	8,1.10 ⁻¹¹	5,0.10 ⁻¹¹	2,9.10 ⁻¹¹	2,4.10 ⁻¹¹
		M	0,200	4,0.10 ⁻¹⁰	0,100	2,7.10 ⁻¹⁰	1,3.10 ⁻¹⁰	7,8.10 ⁻¹¹	4,9.10 ⁻¹¹	4,1.10 ⁻¹¹
		S	0,020	4,2.10 ⁻¹⁰	0,010	2,8.10 ⁻¹⁰	1,3.10 ⁻¹⁰	8,2.10 ⁻¹¹	5,1.10 ⁻¹¹	4,3.10 ⁻¹¹
Bárium										
Ba-126	1,61 h	F	0,600	6,7.10 ⁻¹⁰	0,200	5,2.10 ⁻¹⁰	2,4.10 ⁻¹⁰	1,4.10 ⁻¹⁰	6,9.10 ⁻¹¹	7,4.10 ⁻¹¹
		M	0,200	1,0.10 ⁻⁹	0,100	7,0.10 ⁻¹⁰	3,2.10 ⁻¹⁰	2,0.10 ⁻¹⁰	1,2.10 ⁻¹⁰	1,0.10 ⁻¹⁰
		S	0,020	1,1.10 ⁻⁹	0,010	7,2.10 ⁻¹⁰	3,3.10 ⁻¹⁰	2,1.10 ⁻¹⁰	1,3.10 ⁻¹⁰	1,1.10 ⁻¹⁰
Ba-128	2,43 h	F	0,600	5,9.10 ⁻⁹	0,200	5,4.10 ⁻⁹	2,5.10 ⁻⁹	1,4.10 ⁻⁹	7,4.10 ⁻¹⁰	7,6.10 ⁻¹⁰
		M	0,200	1,1.10 ⁻⁸	0,100	7,8.10 ⁻⁹	3,7.10 ⁻⁹	2,4.10 ⁻⁹	1,5.10 ⁻⁹	1,3.10 ⁻⁹
		S	0,020	1,2.10 ⁻⁸	0,010	8,3.10 ⁻⁹	4,0.10 ⁻⁹	2,6.10 ⁻⁹	1,6.10 ⁻⁹	1,4.10 ⁻⁹
Ba-131	11,8 d	F	0,600	2,1.10 ⁻⁹	0,200	1,4.10 ⁻⁹	7,1.10 ⁻¹⁰	4,7.10 ⁻¹⁰	3,1.10 ⁻¹⁰	2,2.10 ⁻¹⁰
		M	0,200	3,7.10 ⁻⁹	0,100	3,1.10 ⁻⁹	1,6.10 ⁻⁹	1,1.10 ⁻⁹	9,7.10 ⁻¹⁰	7,6.10 ⁻¹⁰
		S	0,020	4,0.10 ⁻⁹	0,010	3,0.10 ⁻⁹	1,8.10 ⁻⁹	1,3.10 ⁻⁹	1,1.10 ⁻⁹	8,7.10 ⁻¹⁰
Ba-131m	0,243 h	F	0,600	2,7.10 ⁻¹¹	0,200	2,1.10 ⁻¹¹	1,0.10 ⁻¹¹	6,7.10 ⁻¹²	4,7.10 ⁻¹²	4,0.10 ⁻¹²
		M	0,200	4,8.10 ⁻¹¹	0,100	3,3.10 ⁻¹¹	1,7.10 ⁻¹¹	1,2.10 ⁻¹¹	9,0.10 ⁻¹²	7,4.10 ⁻¹²
		S	0,020	5,0.10 ⁻¹¹	0,010	3,5.10 ⁻¹¹	1,8.10 ⁻¹¹	1,2.10 ⁻¹¹	9,5.10 ⁻¹²	7,8.10 ⁻¹²
Ba-133	10,7 r	F	0,600	1,1.10 ⁻⁸	0,200	4,5.10 ⁻⁹	2,6.10 ⁻⁹	3,7.10 ⁻⁹	6,0.10 ⁻⁹	1,5.10 ⁻⁹
		M	0,200	1,5.10 ⁻⁸	0,100	1,0.10 ⁻⁸	6,4.10 ⁻⁹	5,1.10 ⁻⁹	5,5.10 ⁻⁹	3,1.10 ⁻⁹
		S	0,020	3,2.10 ⁻⁸	0,010	2,9.10 ⁻⁸	2,0.10 ⁻⁸	1,3.10 ⁻⁸	1,1.10 ⁻⁸	1,0.10 ⁻⁸
Ba-133m	1,62 d	F	0,600	1,4.10 ⁻⁹	0,200	1,1.10 ⁻⁹	4,9.10 ⁻¹⁰	3,1.10 ⁻¹⁰	1,5.10 ⁻¹⁰	1,8.10 ⁻¹⁰
		M	0,200	3,0.10 ⁻⁹	0,100	2,2.10 ⁻⁹	1,0.10 ⁻⁹	6,9.10 ⁻¹⁰	5,2.10 ⁻¹⁰	4,2.10 ⁻¹⁰
		S	0,020	3,1.10 ⁻⁹	0,010	2,4.10 ⁻⁹	1,1.10 ⁻⁹	7,6.10 ⁻¹⁰	5,8.10 ⁻¹⁰	4,6.10 ⁻¹⁰

Tabuľka č. 13: Konverzné faktory h_{inh} na prepočet príjmu rádionuklidov inhaláciou na úväzok efektívnej dávky u jednotlivcov z obyvateľstva

prvok nuklid	Polčas premeny	Typ	vek < 1 rok		f_1	h_{inh} (Sv.Bq ⁻¹)				
			f_1	h_{inh}	> 1 rok	1 – 2	2 - 7	7 - 12	12 - 17	> 17 (dospelí)
Ba-135m	1,20 d	F	0,600	1,1.10 ⁻⁹	0,200	1,0.10 ⁻⁹	4,6.10 ⁻¹⁰	2,5.10 ⁻¹⁰	1,2.10 ⁻¹⁰	1,4.10 ⁻¹⁰
		M	0,200	2,4.10 ⁻⁹	0,100	1,8.10 ⁻⁹	8,9.10 ⁻¹⁰	5,4.10 ⁻¹⁰	4,1.10 ⁻¹⁰	3,3.10 ⁻¹⁰
		S	0,020	2,7.10 ⁻⁹	0,010	1,9.10 ⁻⁹	8,6.10 ⁻¹⁰	5,9.10 ⁻¹⁰	4,5.10 ⁻¹⁰	3,6.10 ⁻¹⁰
Ba-139	1,38 h	F	0,600	3,3.10 ⁻¹⁰	0,200	2,4.10 ⁻¹⁰	1,1.10 ⁻¹⁰	6,0.10 ⁻¹¹	3,1.10 ⁻¹¹	3,4.10 ⁻¹¹
		M	0,200	5,4.10 ⁻¹⁰	0,100	3,5.10 ⁻¹⁰	1,6.10 ⁻¹⁰	1,0.10 ⁻¹⁰	6,6.10 ⁻¹¹	5,6.10 ⁻¹¹
		S	0,020	5,7.10 ⁻¹⁰	0,010	3,6.10 ⁻¹⁰	1,6.10 ⁻¹⁰	1,1.10 ⁻¹⁰	7,0.10 ⁻¹¹	5,9.10 ⁻¹¹
Ba-140	12,7 d	F	0,600	1,4.10 ⁻⁸	0,200	7,8.10 ⁻⁹	3,6.10 ⁻⁹	2,4.10 ⁻⁹	1,6.10 ⁻⁹	1,0.10 ⁻⁹
		M	0,200	2,7.10 ⁻⁸	0,100	2,0.10 ⁻⁸	1,1.10 ⁻⁸	7,6.10 ⁻⁹	6,2.10 ⁻⁹	5,1.10 ⁻⁹
		S	0,020	2,9.10 ⁻⁸	0,010	2,2.10 ⁻⁸	1,2.10 ⁻⁸	8,6.10 ⁻⁹	7,1.10 ⁻⁹	5,8.10 ⁻⁹
Ba-141	0,305 h	F	0,600	1,9.10 ⁻¹⁰	0,200	1,4.10 ⁻¹⁰	6,4.10 ⁻¹¹	3,8.10 ⁻¹¹	2,1.10 ⁻¹¹	2,1.10 ⁻¹¹
		M	0,200	3,0.10 ⁻¹⁰	0,100	2,0.10 ⁻¹⁰	9,3.10 ⁻¹¹	5,9.10 ⁻¹¹	3,8.10 ⁻¹¹	3,2.10 ⁻¹¹
		S	0,020	3,2.10 ⁻¹⁰	0,010	2,1.10 ⁻¹⁰	9,7.10 ⁻¹¹	6,2.10 ⁻¹¹	4,0.10 ⁻¹¹	3,4.10 ⁻¹¹
Ba-142	0,177 h	F	0,600	1,3.10 ⁻¹⁰	0,200	9,6.10 ⁻¹¹	4,5.10 ⁻¹¹	2,7.10 ⁻¹¹	1,6.10 ⁻¹¹	1,5.10 ⁻¹¹
		M	0,200	1,8.10 ⁻¹⁰	0,100	1,3.10 ⁻¹⁰	6,1.10 ⁻¹¹	3,9.10 ⁻¹¹	2,5.10 ⁻¹¹	2,1.10 ⁻¹¹
		S	0,020	1,9.10 ⁻¹⁰	0,010	1,3.10 ⁻¹⁰	6,2.10 ⁻¹¹	4,0.10 ⁻¹¹	2,6.10 ⁻¹¹	2,2.10 ⁻¹¹
Lantán										
La-131	0,983 h	F	0,005	1,2.10 ⁻¹⁰	5,0.10 ⁻⁴	8,7.10 ⁻¹¹	4,2.10 ⁻¹¹	2,6.10 ⁻¹¹	1,5.10 ⁻¹¹	1,3.10 ⁻¹¹
		M	0,005	1,8.10 ⁻¹⁰	5,0.10 ⁻⁴	1,3.10 ⁻¹⁰	6,4.10 ⁻¹¹	4,1.10 ⁻¹¹	2,8.10 ⁻¹¹	2,3.10 ⁻¹¹
La-132	4,80 h	F	0,005	1,0.10 ⁻⁹	5,0.10 ⁻⁴	7,7.10 ⁻¹⁰	3,7.10 ⁻¹⁰	2,2.10 ⁻¹⁰	1,2.10 ⁻¹⁰	1,0.10 ⁻¹⁰
		M	0,005	1,5.10 ⁻⁹	5,0.10 ⁻⁴	1,1.10 ⁻⁹	5,4.10 ⁻¹⁰	3,4.10 ⁻¹⁰	2,0.10 ⁻¹⁰	1,6.10 ⁻¹⁰
La-135	19,5 h	F	0,005	1,0.10 ⁻¹⁰	5,0.10 ⁻⁴	7,7.10 ⁻¹¹	3,8.10 ⁻¹¹	2,3.10 ⁻¹¹	1,3.10 ⁻¹¹	1,0.10 ⁻¹¹
		M	0,005	1,3.10 ⁻¹⁰	5,0.10 ⁻⁴	1,0.10 ⁻¹⁰	4,9.10 ⁻¹¹	3,0.10 ⁻¹¹	1,7.10 ⁻¹¹	1,4.10 ⁻¹¹
La-137	6,00.10 ⁴ r	F	0,005	2,5.10 ⁻⁸	5,0.10 ⁻⁴	2,3.10 ⁻⁸	1,5.10 ⁻⁸	1,1.10 ⁻⁸	8,9.10 ⁻⁹	8,7.10 ⁻⁹
		M	0,005	8,6.10 ⁻⁹	5,0.10 ⁻⁴	8,1.10 ⁻⁹	5,6.10 ⁻⁹	4,0.10 ⁻⁹	3,6.10 ⁻⁹	3,6.10 ⁻⁹
La-138	1,35.10 ¹¹ r	F	0,005	3,7.10 ⁻⁷	5,0.10 ⁻⁴	3,5.10 ⁻⁷	2,4.10 ⁻⁷	1,8.10 ⁻⁷	1,6.10 ⁻⁷	1,5.10 ⁻⁷
		M	0,005	1,3.10 ⁻⁷	5,0.10 ⁻⁴	1,2.10 ⁻⁷	9,1.10 ⁻⁸	6,8.10 ⁻⁸	6,4.10 ⁻⁸	6,4.10 ⁻⁸
La-140	1,68 d	F	0,005	5,8.10 ⁻⁹	5,0.10 ⁻⁴	4,2.10 ⁻⁹	2,0.10 ⁻⁹	1,2.10 ⁻⁹	6,9.10 ⁻¹⁰	5,7.10 ⁻¹⁰
		M	0,005	8,8.10 ⁻⁹	5,0.10 ⁻⁴	6,3.10 ⁻⁹	3,1.10 ⁻⁹	2,0.10 ⁻⁹	1,3.10 ⁻⁹	1,1.10 ⁻⁹
La-141	3,93 h	F	0,005	8,6.10 ⁻¹⁰	5,0.10 ⁻⁴	5,5.10 ⁻¹⁰	2,3.10 ⁻¹⁰	1,4.10 ⁻¹⁰	7,5.10 ⁻¹¹	6,3.10 ⁻¹¹
		M	0,005	1,4.10 ⁻⁹	5,0.10 ⁻⁴	9,3.10 ⁻¹⁰	4,3.10 ⁻¹⁰	2,8.10 ⁻¹⁰	1,8.10 ⁻¹⁰	1,5.10 ⁻¹⁰
La-142	1,54 h	F	0,005	5,3.10 ⁻¹⁰	5,0.10 ⁻⁴	3,8.10 ⁻¹⁰	1,8.10 ⁻¹⁰	1,1.10 ⁻¹⁰	6,3.10 ⁻¹¹	5,2.10 ⁻¹¹
		M	0,005	8,1.10 ⁻¹⁰	5,0.10 ⁻⁴	5,7.10 ⁻¹⁰	2,7.10 ⁻¹⁰	1,7.10 ⁻¹⁰	1,1.10 ⁻¹⁰	8,9.10 ⁻¹¹
La-143	0,237 h	F	0,005	1,4.10 ⁻¹⁰	5,0.10 ⁻⁴	8,6.10 ⁻¹¹	3,7.10 ⁻¹¹	2,3.10 ⁻¹¹	1,4.10 ⁻¹¹	1,2.10 ⁻¹¹
		M	0,005	2,1.10 ⁻¹⁰	5,0.10 ⁻⁴	1,3.10 ⁻¹⁰	6,0.10 ⁻¹¹	3,9.10 ⁻¹¹	2,5.10 ⁻¹¹	2,1.10 ⁻¹¹
Cér										
Ce-134	3,00 d	F	0,005	7,6.10 ⁻⁹	5,0.10 ⁻⁴	5,3.10 ⁻⁹	2,3.10 ⁻⁹	1,4.10 ⁻⁹	7,7.10 ⁻¹⁰	5,7.10 ⁻¹⁰
		M	0,005	1,1.10 ⁻⁸	5,0.10 ⁻⁴	7,6.10 ⁻⁹	3,7.10 ⁻⁹	2,4.10 ⁻⁹	1,5.10 ⁻⁹	1,3.10 ⁻⁹
		S	0,005	1,2.10 ⁻⁸	5,0.10 ⁻⁴	8,0.10 ⁻⁹	3,8.10 ⁻⁹	2,5.10 ⁻⁹	1,6.10 ⁻⁹	1,3.10 ⁻⁹
Ce-135	17,6 h	F	0,005	2,3.10 ⁻⁹	5,0.10 ⁻⁴	1,7.10 ⁻⁹	8,5.10 ⁻¹⁰	5,3.10 ⁻¹⁰	3,0.10 ⁻¹⁰	2,4.10 ⁻¹⁰
		M	0,005	3,6.10 ⁻⁹	5,0.10 ⁻⁴	2,7.10 ⁻⁹	1,4.10 ⁻⁹	8,9.10 ⁻¹⁰	5,9.10 ⁻¹⁰	4,8.10 ⁻¹⁰
		S	0,005	3,7.10 ⁻⁹	5,0.10 ⁻⁴	2,8.10 ⁻⁹	1,4.10 ⁻⁹	9,4.10 ⁻¹⁰	6,3.10 ⁻¹⁰	5,0.10 ⁻¹⁰
Ce-137	9,00 h	F	0,005	7,5.10 ⁻¹¹	5,0.10 ⁻⁴	5,6.10 ⁻¹¹	2,7.10 ⁻¹¹	1,6.10 ⁻¹¹	8,7.10 ⁻¹²	7,0.10 ⁻¹²
		M	0,005	1,1.10 ⁻¹⁰	5,0.10 ⁻⁴	7,6.10 ⁻¹¹	3,6.10 ⁻¹¹	2,2.10 ⁻¹¹	1,2.10 ⁻¹¹	9,8.10 ⁻¹²
		S	0,005	1,1.10 ⁻¹⁰	5,0.10 ⁻⁴	7,8.10 ⁻¹¹	3,7.10 ⁻¹¹	2,3.10 ⁻¹¹	1,3.10 ⁻¹¹	1,0.10 ⁻¹¹
Ce-137m	1,43 d	F	0,005	1,6.10 ⁻⁹	5,0.10 ⁻⁴	1,1.10 ⁻⁹	4,6.10 ⁻¹⁰	2,8.10 ⁻¹⁰	1,5.10 ⁻¹⁰	1,2.10 ⁻¹⁰
		M	0,005	3,1.10 ⁻⁹	5,0.10 ⁻⁴	2,2.10 ⁻⁹	1,1.10 ⁻⁹	6,7.10 ⁻¹⁰	5,1.10 ⁻¹⁰	4,1.10 ⁻¹⁰
		S	0,005	3,3.10 ⁻⁹	5,0.10 ⁻⁴	2,3.10 ⁻⁹	1,0.10 ⁻⁹	7,3.10 ⁻¹⁰	5,6.10 ⁻¹⁰	4,4.10 ⁻¹⁰
Ce-139	138 d	F	0,005	1,1.10 ⁻⁸	5,0.10 ⁻⁴	8,5.10 ⁻⁹	4,5.10 ⁻⁹	2,8.10 ⁻⁹	1,8.10 ⁻⁹	1,5.10 ⁻⁹
		M	0,005	7,5.10 ⁻⁹	5,0.10 ⁻⁴	6,1.10 ⁻⁹	3,6.10 ⁻⁹	2,5.10 ⁻⁹	2,1.10 ⁻⁹	1,7.10 ⁻⁹
		S	0,005	7,8.10 ⁻⁹	5,0.10 ⁻⁴	6,3.10 ⁻⁹	3,9.10 ⁻⁹	2,7.10 ⁻⁹	2,4.10 ⁻⁹	1,9.10 ⁻⁹
Ce-141	32,5 d	F	0,005	1,1.10 ⁻⁸	5,0.10 ⁻⁴	7,3.10 ⁻⁹	3,5.10 ⁻⁹	2,0.10 ⁻⁹	1,2.10 ⁻⁹	9,3.10 ⁻¹⁰
		M	0,005	1,4.10 ⁻⁸	5,0.10 ⁻⁴	1,1.10 ⁻⁸	6,3.10 ⁻⁹	4,6.10 ⁻⁹	4,1.10 ⁻⁹	3,2.10 ⁻⁹
		S	0,005	1,6.10 ⁻⁸	5,0.10 ⁻⁴	1,2.10 ⁻⁸	7,1.10 ⁻⁹	5,3.10 ⁻⁹	4,8.10 ⁻⁹	3,8.10 ⁻⁹
Ce-143	1,38 d	F	0,005	3,6.10 ⁻⁹	5,0.10 ⁻⁴	2,3.10 ⁻⁹	1,0.10 ⁻⁹	6,2.10 ⁻¹⁰	3,3.10 ⁻¹⁰	2,7.10 ⁻¹⁰
		M	0,005	5,6.10 ⁻⁹	5,0.10 ⁻⁴	3,9.10 ⁻⁹	1,9.10 ⁻⁹	1,3.10 ⁻⁹	9,3.10 ⁻¹⁰	7,5.10 ⁻¹⁰
		S	0,005	5,9.10 ⁻⁹	5,0.10 ⁻⁴	4,1.10 ⁻⁹	2,1.10 ⁻⁹	1,4.10 ⁻⁹	1,0.10 ⁻⁹	8,3.10 ⁻¹⁰
Ce-144	284 d	F	0,005	3,6.10 ⁻⁷	5,0.10 ⁻⁴	2,7.10 ⁻⁷	1,4.10 ⁻⁷	7,8.10 ⁻⁸	4,8.10 ⁻⁸	4,0.10 ⁻⁸
		M	0,005	1,9.10 ⁻⁷	5,0.10 ⁻⁴	1,6.10 ⁻⁷	8,8.10 ⁻⁸	5,5.10 ⁻⁸	4,1.10 ⁻⁸	3,6.10 ⁻⁸
		S	0,005	2,1.10 ⁻⁷	5,0.10 ⁻⁴	1,8.10 ⁻⁷	1,1.10 ⁻⁷	7,3.10 ⁻⁸	5,8.10 ⁻⁸	5,3.10 ⁻⁸

Tabuľka č. 13: Konverzné faktory h_{inh} na prepočet príjmu rádionuklidov inhaláciou na úväzok efektívnej dávky u jednotlivcov z obyvateľstva

prvok nuklid	Polčas premeny	Typ	vek < 1 rok		f_1	h_{inh} (Sv.Bq ⁻¹)				
			f_1	h_{inh}	> 1 rok	1 – 2	2 - 7	7 - 12	12 - 17	> 17 (dospelí)
Praeodým										
Pr-136	0,218 h	M	0,005	1,3.10 ⁻¹⁰	5,0.10 ⁻⁴	8,8.10 ⁻¹¹	4,2.10 ⁻¹¹	2,6.10 ⁻¹¹	1,6.10 ⁻¹¹	1,3.10 ⁻¹¹
		S	0,005	1,3.10 ⁻¹⁰	5,0.10 ⁻⁴	9,0.10 ⁻¹¹	4,3.10 ⁻¹¹	2,7.10 ⁻¹¹	1,7.10 ⁻¹¹	1,4.10 ⁻¹¹
Pr-137	1,28 h	M	0,005	1,8.10 ⁻¹⁰	5,0.10 ⁻⁴	1,3.10 ⁻¹⁰	6,1.10 ⁻¹¹	3,9.10 ⁻¹¹	2,4.10 ⁻¹¹	2,0.10 ⁻¹¹
		S	0,005	1,9.10 ⁻¹⁰	5,0.10 ⁻⁴	1,3.10 ⁻¹⁰	6,4.10 ⁻¹¹	4,0.10 ⁻¹¹	2,5.10 ⁻¹¹	2,1.10 ⁻¹¹
Pr-138m	2,10 h	M	0,005	5,9.10 ⁻¹⁰	5,0.10 ⁻⁴	4,5.10 ⁻¹⁰	2,3.10 ⁻¹⁰	1,4.10 ⁻¹⁰	9,0.10 ⁻¹¹	7,2.10 ⁻¹¹
		S	0,005	6,0.10 ⁻¹⁰	5,0.10 ⁻⁴	4,7.10 ⁻¹⁰	2,4.10 ⁻¹⁰	1,5.10 ⁻¹⁰	9,3.10 ⁻¹¹	7,4.10 ⁻¹¹
Pr-139	4,51 h	M	0,005	1,5.10 ⁻¹⁰	5,0.10 ⁻⁴	1,1.10 ⁻¹⁰	5,5.10 ⁻¹¹	3,5.10 ⁻¹¹	2,3.10 ⁻¹¹	1,8.10 ⁻¹¹
		S	0,005	1,6.10 ⁻¹⁰	5,0.10 ⁻⁴	1,2.10 ⁻¹⁰	5,7.10 ⁻¹¹	3,7.10 ⁻¹¹	2,4.10 ⁻¹¹	2,0.10 ⁻¹¹
Pr-142	19,1 h	M	0,005	5,3.10 ⁻⁹	5,0.10 ⁻⁴	3,5.10 ⁻⁹	1,6.10 ⁻⁹	1,0.10 ⁻⁹	6,2.10 ⁻¹⁰	5,2.10 ⁻¹⁰
		S	0,005	5,5.10 ⁻⁹	5,0.10 ⁻⁴	3,7.10 ⁻⁹	1,7.10 ⁻⁹	1,1.10 ⁻⁹	6,6.10 ⁻¹⁰	5,5.10 ⁻¹⁰
Pr-142m	0,243 h	M	0,005	6,7.10 ⁻¹¹	5,0.10 ⁻⁴	4,5.10 ⁻¹¹	2,0.10 ⁻¹¹	1,3.10 ⁻¹¹	7,9.10 ⁻¹²	6,6.10 ⁻¹²
		S	0,005	7,0.10 ⁻¹¹	5,0.10 ⁻⁴	4,7.10 ⁻¹¹	2,2.10 ⁻¹¹	1,4.10 ⁻¹¹	8,4.10 ⁻¹²	7,0.10 ⁻¹²
Pr-143	13,6 d	M	0,005	1,2.10 ⁻⁸	5,0.10 ⁻⁴	8,4.10 ⁻⁹	4,6.10 ⁻⁹	3,2.10 ⁻⁹	2,7.10 ⁻⁹	2,2.10 ⁻⁹
		S	0,005	1,3.10 ⁻⁸	5,0.10 ⁻⁴	9,2.10 ⁻⁹	5,1.10 ⁻⁹	3,6.10 ⁻⁹	3,0.10 ⁻⁹	2,4.10 ⁻⁹
Pr-144	0,288 h	M	0,005	1,9.10 ⁻¹⁰	5,0.10 ⁻⁴	1,2.10 ⁻¹⁰	5,0.10 ⁻¹¹	3,2.10 ⁻¹¹	2,1.10 ⁻¹¹	1,8.10 ⁻¹¹
		S	0,005	1,9.10 ⁻¹⁰	5,0.10 ⁻⁴	1,2.10 ⁻¹⁰	5,2.10 ⁻¹¹	3,4.10 ⁻¹¹	2,1.10 ⁻¹¹	1,8.10 ⁻¹¹
Pr-145	5,98 h	M	0,005	1,6.10 ⁻⁹	5,0.10 ⁻⁴	1,0.10 ⁻⁹	4,7.10 ⁻¹⁰	3,0.10 ⁻¹⁰	1,9.10 ⁻¹⁰	1,6.10 ⁻¹⁰
		S	0,005	1,6.10 ⁻⁹	5,0.10 ⁻⁴	1,1.10 ⁻⁹	4,9.10 ⁻¹⁰	3,2.10 ⁻¹⁰	2,0.10 ⁻¹⁰	1,7.10 ⁻¹⁰
Pr-147	0,227 h	M	0,005	1,5.10 ⁻¹⁰	5,0.10 ⁻⁴	1,0.10 ⁻¹⁰	4,8.10 ⁻¹¹	3,1.10 ⁻¹¹	2,1.10 ⁻¹¹	1,8.10 ⁻¹¹
		S	0,005	1,6.10 ⁻¹⁰	5,0.10 ⁻⁴	1,1.10 ⁻¹⁰	5,0.10 ⁻¹¹	3,3.10 ⁻¹¹	2,2.10 ⁻¹¹	1,8.10 ⁻¹¹
Neodým										
Nd-136	0,844 h	M	0,005	4,6.10 ⁻¹⁰	5,0.10 ⁻⁴	3,2.10 ⁻¹⁰	1,6.10 ⁻¹⁰	9,8.10 ⁻¹¹	6,3.10 ⁻¹¹	5,1.10 ⁻¹¹
		S	0,005	4,8.10 ⁻¹⁰	5,0.10 ⁻⁴	3,3.10 ⁻¹⁰	1,6.10 ⁻¹⁰	1,0.10 ⁻¹⁰	6,6.10 ⁻¹¹	5,4.10 ⁻¹¹
Nd-138	5,04 h	M	0,005	2,3.10 ⁻⁹	5,0.10 ⁻⁴	1,7.10 ⁻⁹	7,7.10 ⁻¹⁰	4,8.10 ⁻¹⁰	2,8.10 ⁻¹⁰	2,3.10 ⁻¹⁰
		S	0,005	2,4.10 ⁻⁹	5,0.10 ⁻⁴	1,8.10 ⁻⁹	8,0.10 ⁻¹⁰	5,0.10 ⁻¹⁰	3,0.10 ⁻¹⁰	2,5.10 ⁻¹⁰
Nd-139	0,495 h	M	0,005	9,0.10 ⁻¹¹	5,0.10 ⁻⁴	6,2.10 ⁻¹¹	3,0.10 ⁻¹¹	1,9.10 ⁻¹¹	1,2.10 ⁻¹¹	9,9.10 ⁻¹²
		S	0,005	9,4.10 ⁻¹¹	5,0.10 ⁻⁴	6,4.10 ⁻¹¹	3,1.10 ⁻¹¹	2,0.10 ⁻¹¹	1,3.10 ⁻¹¹	1,0.10 ⁻¹¹
Nd-139m	5,50 h	M	0,005	1,1.10 ⁻⁹	5,0.10 ⁻⁴	8,8.10 ⁻¹⁰	4,5.10 ⁻¹⁰	2,9.10 ⁻¹⁰	1,8.10 ⁻¹⁰	1,5.10 ⁻¹⁰
		S	0,005	1,2.10 ⁻⁹	5,0.10 ⁻⁴	9,1.10 ⁻¹⁰	4,6.10 ⁻¹⁰	3,0.10 ⁻¹⁰	1,9.10 ⁻¹⁰	1,5.10 ⁻¹⁰
Nd-141	2,49 h	M	0,005	4,1.10 ⁻¹¹	5,0.10 ⁻⁴	3,1.10 ⁻¹¹	1,5.10 ⁻¹¹	9,6.10 ⁻¹²	6,0.10 ⁻¹²	4,8.10 ⁻¹²
		S	0,005	4,3.10 ⁻¹¹	5,0.10 ⁻⁴	3,2.10 ⁻¹¹	1,6.10 ⁻¹¹	1,0.10 ⁻¹¹	6,2.10 ⁻¹²	5,0.10 ⁻¹²
Nd-147	11,0 d	M	0,005	1,1.10 ⁻⁸	5,0.10 ⁻⁴	8,0.10 ⁻⁹	4,5.10 ⁻⁹	3,2.10 ⁻⁹	2,6.10 ⁻⁹	2,1.10 ⁻⁹
		S	0,005	1,2.10 ⁻⁸	5,0.10 ⁻⁴	8,6.10 ⁻⁹	4,9.10 ⁻⁹	3,5.10 ⁻⁹	3,0.10 ⁻⁹	2,4.10 ⁻⁹
Nd-149	1,73 h	M	0,005	6,8.10 ⁻¹⁰	5,0.10 ⁻⁴	4,6.10 ⁻¹⁰	2,2.10 ⁻¹⁰	1,5.10 ⁻¹⁰	1,0.10 ⁻¹⁰	8,4.10 ⁻¹¹
		S	0,005	7,1.10 ⁻¹⁰	5,0.10 ⁻⁴	4,8.10 ⁻¹⁰	2,3.10 ⁻¹⁰	1,5.10 ⁻¹⁰	1,1.10 ⁻¹⁰	8,9.10 ⁻¹¹
Nd-151	0,207 h	M	0,005	1,5.10 ⁻¹⁰	5,0.10 ⁻⁴	9,9.10 ⁻¹¹	4,6.10 ⁻¹¹	3,0.10 ⁻¹¹	2,0.10 ⁻¹¹	1,7.10 ⁻¹¹
		S	0,005	1,5.10 ⁻¹⁰	5,0.10 ⁻⁴	1,0.10 ⁻¹⁰	4,8.10 ⁻¹¹	3,1.10 ⁻¹¹	2,1.10 ⁻¹¹	1,7.10 ⁻¹¹
Prométium										
Pm-141	0,348 h	M	0,005	1,4.10 ⁻¹⁰	5,0.10 ⁻⁴	9,4.10 ⁻¹¹	4,3.10 ⁻¹¹	2,7.10 ⁻¹¹	1,7.10 ⁻¹¹	1,4.10 ⁻¹¹
		S	0,005	1,5.10 ⁻¹⁰	5,0.10 ⁻⁴	9,7.10 ⁻¹¹	4,4.10 ⁻¹¹	2,8.10 ⁻¹¹	1,8.10 ⁻¹¹	1,5.10 ⁻¹¹
Pm-143	265 d	M	0,005	6,2.10 ⁻⁹	5,0.10 ⁻⁴	5,4.10 ⁻⁹	3,3.10 ⁻⁹	2,2.10 ⁻⁹	1,7.10 ⁻⁹	1,5.10 ⁻⁹
		S	0,005	5,5.10 ⁻⁹	5,0.10 ⁻⁴	4,8.10 ⁻⁹	3,1.10 ⁻⁹	2,1.10 ⁻⁹	1,7.10 ⁻⁹	1,4.10 ⁻⁹
Pm-144	363 d	M	0,005	3,1.10 ⁻⁸	5,0.10 ⁻⁴	2,8.10 ⁻⁸	1,8.10 ⁻⁸	1,2.10 ⁻⁸	9,3.10 ⁻⁹	8,2.10 ⁻⁹
		S	0,005	2,6.10 ⁻⁸	5,0.10 ⁻⁴	2,4.10 ⁻⁸	1,6.10 ⁻⁸	1,1.10 ⁻⁸	8,9.10 ⁻⁹	7,5.10 ⁻⁹
Pm-145	17,7 r	M	0,005	1,1.10 ⁻⁸	5,0.10 ⁻⁴	9,8.10 ⁻⁹	6,4.10 ⁻⁹	4,3.10 ⁻⁹	3,7.10 ⁻⁹	3,6.10 ⁻⁹
		S	0,005	7,1.10 ⁻⁹	5,0.10 ⁻⁴	6,5.10 ⁻⁹	4,3.10 ⁻⁹	2,9.10 ⁻⁹	2,4.10 ⁻⁹	2,3.10 ⁻⁹
Pm-146	5,53 r	M	0,005	6,4.10 ⁻⁸	5,0.10 ⁻⁴	5,9.10 ⁻⁸	3,9.10 ⁻⁸	2,6.10 ⁻⁸	2,2.10 ⁻⁸	2,1.10 ⁻⁸
		S	0,005	5,3.10 ⁻⁸	5,0.10 ⁻⁴	4,9.10 ⁻⁸	3,3.10 ⁻⁸	2,2.10 ⁻⁸	1,9.10 ⁻⁸	1,7.10 ⁻⁸
Pm-147	2,62 r	M	0,005	2,1.10 ⁻⁸	5,0.10 ⁻⁴	1,8.10 ⁻⁸	1,1.10 ⁻⁸	7,0.10 ⁻⁹	5,7.10 ⁻⁹	5,0.10 ⁻⁹
		S	0,005	1,9.10 ⁻⁸	5,0.10 ⁻⁴	1,6.10 ⁻⁸	1,0.10 ⁻⁸	6,8.10 ⁻⁹	5,8.10 ⁻⁹	4,9.10 ⁻⁹
Pm-148	5,37 d	M	0,005	1,5.10 ⁻⁸	5,0.10 ⁻⁴	1,0.10 ⁻⁸	5,2.10 ⁻⁹	3,4.10 ⁻⁹	2,4.10 ⁻⁹	2,0.10 ⁻⁹
		S	0,005	1,5.10 ⁻⁸	5,0.10 ⁻⁴	1,1.10 ⁻⁸	5,5.10 ⁻⁹	3,7.10 ⁻⁹	2,6.10 ⁻⁹	2,2.10 ⁻⁹
Pm-148m	41,3 d	M	0,005	2,4.10 ⁻⁸	5,0.10 ⁻⁴	1,9.10 ⁻⁸	1,1.10 ⁻⁸	7,7.10 ⁻⁹	6,3.10 ⁻⁹	5,1.10 ⁻⁹
		S	0,005	2,5.10 ⁻⁸	5,0.10 ⁻⁴	2,0.10 ⁻⁸	1,2.10 ⁻⁸	8,3.10 ⁻⁹	7,1.10 ⁻⁹	5,7.10 ⁻⁹
Pm-149	2,21 d	M	0,005	5,0.10 ⁻⁹	5,0.10 ⁻⁴	3,5.10 ⁻⁹	1,7.10 ⁻⁹	1,1.10 ⁻⁹	8,3.10 ⁻¹⁰	6,7.10 ⁻¹⁰
		S	0,005	5,3.10 ⁻⁹	5,0.10 ⁻⁴	3,6.10 ⁻⁹	1,8.10 ⁻⁹	1,2.10 ⁻⁹	9,0.10 ⁻¹⁰	7,3.10 ⁻¹⁰
Pm-150	2,68 h	M	0,005	1,2.10 ⁻⁹	5,0.10 ⁻⁴	7,9.10 ⁻¹⁰	3,8.10 ⁻¹⁰	2,4.10 ⁻¹⁰	1,5.10 ⁻¹⁰	1,2.10 ⁻¹⁰
		S	0,005	1,2.10 ⁻⁹	5,0.10 ⁻⁴	8,2.10 ⁻¹⁰	3,9.10 ⁻¹⁰	2,5.10 ⁻¹⁰	1,6.10 ⁻¹⁰	1,3.10 ⁻¹⁰

Tabuľka č. 13: Konverzné faktory h_{inh} na prepočet príjmu rádionuklidov inhaláciou na úväzok efektívnej dávky u jednotlivcov z obyvateľstva

prvok nuklid	Polčas premeny	Typ	vek < 1 rok		f_1	h_{inh} (Sv.Bq ⁻¹)				
			f_1	h_{inh}	> 1 rok	1 – 2	2 - 7	7 - 12	12 - 17	> 17 (dospelí)
Pm-151	1,18 d	M	0,005	$3,3 \cdot 10^{-9}$	$5,0 \cdot 10^{-4}$	$2,5 \cdot 10^{-9}$	$1,2 \cdot 10^{-9}$	$8,3 \cdot 10^{-10}$	$5,3 \cdot 10^{-10}$	$4,3 \cdot 10^{-10}$
		S	0,005	$3,4 \cdot 10^{-9}$	$5,0 \cdot 10^{-4}$	$2,6 \cdot 10^{-9}$	$1,3 \cdot 10^{-9}$	$7,9 \cdot 10^{-10}$	$5,7 \cdot 10^{-10}$	$4,6 \cdot 10^{-10}$
Samárium										
Sm-141	0,170 h	M	0,005	$1,5 \cdot 10^{-10}$	$5,0 \cdot 10^{-4}$	$1,0 \cdot 10^{-10}$	$4,7 \cdot 10^{-11}$	$2,9 \cdot 10^{-11}$	$1,8 \cdot 10^{-11}$	$1,5 \cdot 10^{-11}$
Sm-141m	0,377 h	M	0,005	$3,0 \cdot 10^{-10}$	$5,0 \cdot 10^{-4}$	$2,1 \cdot 10^{-10}$	$9,7 \cdot 10^{-11}$	$6,1 \cdot 10^{-11}$	$3,9 \cdot 10^{-11}$	$3,2 \cdot 10^{-11}$
Sm-142	1,21 h	M	0,005	$7,5 \cdot 10^{-10}$	$5,0 \cdot 10^{-4}$	$4,8 \cdot 10^{-10}$	$2,2 \cdot 10^{-10}$	$1,4 \cdot 10^{-10}$	$8,5 \cdot 10^{-11}$	$7,1 \cdot 10^{-11}$
Sm-145	340 d	M	0,005	$8,1 \cdot 10^{-9}$	$5,0 \cdot 10^{-4}$	$6,8 \cdot 10^{-9}$	$4,0 \cdot 10^{-9}$	$2,5 \cdot 10^{-9}$	$1,9 \cdot 10^{-9}$	$1,6 \cdot 10^{-9}$
Sm-146	$1,03 \cdot 10^8$ r	M	0,005	$2,7 \cdot 10^{-5}$	$5,0 \cdot 10^{-4}$	$2,6 \cdot 10^{-5}$	$1,7 \cdot 10^{-5}$	$1,2 \cdot 10^{-5}$	$1,1 \cdot 10^{-5}$	$1,1 \cdot 10^{-5}$
Sm-147	$1,06 \cdot 10^{11}$ r	M	0,005	$2,5 \cdot 10^{-5}$	$5,0 \cdot 10^{-4}$	$2,3 \cdot 10^{-5}$	$1,6 \cdot 10^{-5}$	$1,1 \cdot 10^{-5}$	$9,6 \cdot 10^{-6}$	$9,6 \cdot 10^{-6}$
Sm-151	90,0 r	M	0,005	$1,1 \cdot 10^{-8}$	$5,0 \cdot 10^{-4}$	$1,0 \cdot 10^{-8}$	$6,7 \cdot 10^{-9}$	$4,5 \cdot 10^{-9}$	$4,0 \cdot 10^{-9}$	$4,0 \cdot 10^{-9}$
Sm-153	1,95 d	M	0,005	$4,2 \cdot 10^{-9}$	$5,0 \cdot 10^{-4}$	$2,9 \cdot 10^{-9}$	$1,5 \cdot 10^{-9}$	$1,0 \cdot 10^{-9}$	$7,9 \cdot 10^{-10}$	$6,3 \cdot 10^{-10}$
Sm-155	0,368 h	M	0,005	$1,5 \cdot 10^{-10}$	$5,0 \cdot 10^{-4}$	$9,9 \cdot 10^{-11}$	$4,4 \cdot 10^{-11}$	$2,9 \cdot 10^{-11}$	$2,0 \cdot 10^{-11}$	$1,7 \cdot 10^{-11}$
Sm-156	9,40 h	M	0,005	$1,6 \cdot 10^{-9}$	$5,0 \cdot 10^{-4}$	$1,1 \cdot 10^{-9}$	$5,8 \cdot 10^{-10}$	$3,5 \cdot 10^{-10}$	$2,7 \cdot 10^{-10}$	$2,2 \cdot 10^{-10}$
Európium										
Eu-145	5,94 d	M	0,005	$3,6 \cdot 10^{-9}$	$5,0 \cdot 10^{-4}$	$2,9 \cdot 10^{-9}$	$1,6 \cdot 10^{-9}$	$1,0 \cdot 10^{-9}$	$6,8 \cdot 10^{-10}$	$5,5 \cdot 10^{-10}$
Eu-146	4,61 d	M	0,005	$5,5 \cdot 10^{-9}$	$5,0 \cdot 10^{-4}$	$4,4 \cdot 10^{-9}$	$2,4 \cdot 10^{-9}$	$1,5 \cdot 10^{-9}$	$1,0 \cdot 10^{-9}$	$8,0 \cdot 10^{-10}$
Eu-147	24,0 d	M	0,005	$4,9 \cdot 10^{-9}$	$5,0 \cdot 10^{-4}$	$3,7 \cdot 10^{-9}$	$2,2 \cdot 10^{-9}$	$1,6 \cdot 10^{-9}$	$1,3 \cdot 10^{-9}$	$1,1 \cdot 10^{-9}$
Eu-148	54,5 d	M	0,005	$1,4 \cdot 10^{-8}$	$5,0 \cdot 10^{-4}$	$1,2 \cdot 10^{-8}$	$6,8 \cdot 10^{-9}$	$4,6 \cdot 10^{-9}$	$3,2 \cdot 10^{-9}$	$2,6 \cdot 10^{-9}$
Eu-149	93,1 d	M	0,005	$1,6 \cdot 10^{-9}$	$5,0 \cdot 10^{-4}$	$1,3 \cdot 10^{-9}$	$7,3 \cdot 10^{-10}$	$4,7 \cdot 10^{-10}$	$3,5 \cdot 10^{-10}$	$2,9 \cdot 10^{-10}$
Eu-150	34,2 r	M	0,005	$1,1 \cdot 10^{-7}$	$5,0 \cdot 10^{-4}$	$1,1 \cdot 10^{-7}$	$7,8 \cdot 10^{-8}$	$5,7 \cdot 10^{-8}$	$5,3 \cdot 10^{-8}$	$5,3 \cdot 10^{-8}$
Eu-150	12,6 h	M	0,005	$1,6 \cdot 10^{-9}$	$5,0 \cdot 10^{-4}$	$1,1 \cdot 10^{-9}$	$5,2 \cdot 10^{-10}$	$3,4 \cdot 10^{-10}$	$2,3 \cdot 10^{-10}$	$1,9 \cdot 10^{-10}$
Eu-152	13,3 r	M	0,005	$1,1 \cdot 10^{-7}$	$5,0 \cdot 10^{-4}$	$1,0 \cdot 10^{-7}$	$7,0 \cdot 10^{-8}$	$4,9 \cdot 10^{-8}$	$4,3 \cdot 10^{-8}$	$4,2 \cdot 10^{-8}$
Eu-152m	9,32 h	M	0,005	$1,9 \cdot 10^{-9}$	$5,0 \cdot 10^{-4}$	$1,3 \cdot 10^{-9}$	$6,6 \cdot 10^{-10}$	$4,2 \cdot 10^{-10}$	$2,4 \cdot 10^{-10}$	$2,2 \cdot 10^{-10}$
Eu-154	8,80 r	M	0,005	$1,6 \cdot 10^{-7}$	$5,0 \cdot 10^{-4}$	$1,5 \cdot 10^{-7}$	$9,7 \cdot 10^{-8}$	$6,5 \cdot 10^{-8}$	$5,6 \cdot 10^{-8}$	$5,3 \cdot 10^{-8}$
Eu-155	4,96 r	M	0,005	$2,6 \cdot 10^{-8}$	$5,0 \cdot 10^{-4}$	$2,3 \cdot 10^{-8}$	$1,4 \cdot 10^{-8}$	$9,2 \cdot 10^{-9}$	$7,6 \cdot 10^{-9}$	$6,9 \cdot 10^{-9}$
Eu-156	15,2 d	M	0,005	$1,9 \cdot 10^{-8}$	$5,0 \cdot 10^{-4}$	$1,4 \cdot 10^{-8}$	$7,7 \cdot 10^{-9}$	$5,3 \cdot 10^{-9}$	$4,2 \cdot 10^{-9}$	$3,4 \cdot 10^{-9}$
Eu-157	15,1 h	M	0,005	$2,5 \cdot 10^{-9}$	$5,0 \cdot 10^{-4}$	$1,9 \cdot 10^{-9}$	$8,9 \cdot 10^{-10}$	$5,9 \cdot 10^{-10}$	$3,5 \cdot 10^{-10}$	$2,8 \cdot 10^{-10}$
Eu-158	0,765 h	M	0,005	$4,3 \cdot 10^{-10}$	$5,0 \cdot 10^{-4}$	$2,9 \cdot 10^{-10}$	$1,3 \cdot 10^{-10}$	$8,5 \cdot 10^{-11}$	$5,6 \cdot 10^{-11}$	$4,7 \cdot 10^{-11}$
Gadolínium										
Gd-145	0,382 h	F	0,005	$1,3 \cdot 10^{-10}$	$5,0 \cdot 10^{-4}$	$9,6 \cdot 10^{-11}$	$4,7 \cdot 10^{-11}$	$2,9 \cdot 10^{-11}$	$1,7 \cdot 10^{-11}$	$1,4 \cdot 10^{-11}$
		M	0,005	$1,8 \cdot 10^{-10}$	$5,0 \cdot 10^{-4}$	$1,3 \cdot 10^{-10}$	$6,2 \cdot 10^{-11}$	$3,9 \cdot 10^{-11}$	$2,4 \cdot 10^{-11}$	$2,0 \cdot 10^{-11}$
Gd-146	48,3 d	F	0,005	$2,9 \cdot 10^{-8}$	$5,0 \cdot 10^{-4}$	$2,3 \cdot 10^{-8}$	$1,2 \cdot 10^{-8}$	$7,8 \cdot 10^{-9}$	$5,1 \cdot 10^{-9}$	$4,4 \cdot 10^{-9}$
		M	0,005	$2,8 \cdot 10^{-8}$	$5,0 \cdot 10^{-4}$	$2,2 \cdot 10^{-8}$	$1,3 \cdot 10^{-8}$	$9,3 \cdot 10^{-9}$	$7,9 \cdot 10^{-9}$	$6,4 \cdot 10^{-9}$
Gd-147	1,59 d	F	0,005	$2,1 \cdot 10^{-9}$	$5,0 \cdot 10^{-4}$	$1,7 \cdot 10^{-9}$	$8,4 \cdot 10^{-10}$	$5,3 \cdot 10^{-10}$	$3,1 \cdot 10^{-10}$	$2,6 \cdot 10^{-10}$
		M	0,005	$2,8 \cdot 10^{-9}$	$5,0 \cdot 10^{-4}$	$2,2 \cdot 10^{-9}$	$1,1 \cdot 10^{-9}$	$7,5 \cdot 10^{-10}$	$5,1 \cdot 10^{-10}$	$4,0 \cdot 10^{-10}$
Gd-148	93,0 r	F	0,005	$8,3 \cdot 10^{-5}$	$5,0 \cdot 10^{-4}$	$7,6 \cdot 10^{-5}$	$4,7 \cdot 10^{-5}$	$3,2 \cdot 10^{-5}$	$2,6 \cdot 10^{-5}$	$2,6 \cdot 10^{-5}$
		M	0,005	$3,2 \cdot 10^{-5}$	$5,0 \cdot 10^{-4}$	$2,9 \cdot 10^{-5}$	$1,9 \cdot 10^{-5}$	$1,3 \cdot 10^{-5}$	$1,2 \cdot 10^{-5}$	$1,1 \cdot 10^{-5}$
Gd-149	9,40 d	F	0,005	$2,6 \cdot 10^{-9}$	$5,0 \cdot 10^{-4}$	$2,0 \cdot 10^{-9}$	$8,0 \cdot 10^{-10}$	$5,1 \cdot 10^{-10}$	$3,1 \cdot 10^{-10}$	$2,6 \cdot 10^{-10}$
		M	0,005	$3,6 \cdot 10^{-9}$	$5,0 \cdot 10^{-4}$	$3,0 \cdot 10^{-9}$	$1,5 \cdot 10^{-9}$	$1,1 \cdot 10^{-9}$	$9,2 \cdot 10^{-10}$	$7,3 \cdot 10^{-10}$
Gd-151	120 d	F	0,005	$6,3 \cdot 10^{-9}$	$5,0 \cdot 10^{-4}$	$4,9 \cdot 10^{-9}$	$2,5 \cdot 10^{-9}$	$1,5 \cdot 10^{-9}$	$9,2 \cdot 10^{-10}$	$7,8 \cdot 10^{-10}$
		M	0,005	$4,5 \cdot 10^{-9}$	$5,0 \cdot 10^{-4}$	$3,5 \cdot 10^{-9}$	$2,0 \cdot 10^{-9}$	$1,3 \cdot 10^{-9}$	$1,0 \cdot 10^{-9}$	$8,6 \cdot 10^{-10}$
Gd-152	$1,08 \cdot 10^{14}$ r	F	0,005	$5,9 \cdot 10^{-5}$	$5,0 \cdot 10^{-4}$	$5,4 \cdot 10^{-5}$	$3,4 \cdot 10^{-5}$	$2,4 \cdot 10^{-5}$	$1,9 \cdot 10^{-5}$	$1,9 \cdot 10^{-5}$
		M	0,005	$2,1 \cdot 10^{-5}$	$5,0 \cdot 10^{-4}$	$1,9 \cdot 10^{-5}$	$1,3 \cdot 10^{-5}$	$8,9 \cdot 10^{-6}$	$7,9 \cdot 10^{-6}$	$8,0 \cdot 10^{-6}$
Gd-153	242 d	F	0,005	$1,5 \cdot 10^{-8}$	$5,0 \cdot 10^{-4}$	$1,2 \cdot 10^{-8}$	$6,5 \cdot 10^{-9}$	$3,9 \cdot 10^{-9}$	$2,4 \cdot 10^{-9}$	$2,1 \cdot 10^{-9}$
		M	0,005	$9,9 \cdot 10^{-9}$	$5,0 \cdot 10^{-4}$	$7,9 \cdot 10^{-9}$	$4,8 \cdot 10^{-9}$	$3,1 \cdot 10^{-9}$	$2,5 \cdot 10^{-9}$	$2,1 \cdot 10^{-9}$
Gd-159	18,6 h	F	0,005	$1,2 \cdot 10^{-9}$	$5,0 \cdot 10^{-4}$	$8,9 \cdot 10^{-10}$	$3,8 \cdot 10^{-10}$	$2,3 \cdot 10^{-10}$	$1,2 \cdot 10^{-10}$	$1,0 \cdot 10^{-10}$
		M	0,005	$2,2 \cdot 10^{-9}$	$5,0 \cdot 10^{-4}$	$1,5 \cdot 10^{-9}$	$7,3 \cdot 10^{-10}$	$4,9 \cdot 10^{-10}$	$3,4 \cdot 10^{-10}$	$2,7 \cdot 10^{-10}$
Terbium										
Tb-147	1,65 h	M	0,005	$6,7 \cdot 10^{-10}$	$5,0 \cdot 10^{-4}$	$4,8 \cdot 10^{-10}$	$2,3 \cdot 10^{-10}$	$1,5 \cdot 10^{-10}$	$9,3 \cdot 10^{-11}$	$7,6 \cdot 10^{-11}$
Tb-149	4,15 h	M	0,005	$2,1 \cdot 10^{-8}$	$5,0 \cdot 10^{-4}$	$1,5 \cdot 10^{-8}$	$9,6 \cdot 10^{-9}$	$6,6 \cdot 10^{-9}$	$5,8 \cdot 10^{-9}$	$4,9 \cdot 10^{-9}$
Tb-150	3,27 h	M	0,005	$1,0 \cdot 10^{-9}$	$5,0 \cdot 10^{-4}$	$7,4 \cdot 10^{-10}$	$3,5 \cdot 10^{-10}$	$2,2 \cdot 10^{-10}$	$1,3 \cdot 10^{-10}$	$1,1 \cdot 10^{-10}$
Tb-151	17,6 h	M	0,005	$1,6 \cdot 10^{-9}$	$5,0 \cdot 10^{-4}$	$1,2 \cdot 10^{-9}$	$6,3 \cdot 10^{-10}$	$4,2 \cdot 10^{-10}$	$2,8 \cdot 10^{-10}$	$2,3 \cdot 10^{-10}$
Tb-153	2,34 d	M	0,005	$1,4 \cdot 10^{-9}$	$5,0 \cdot 10^{-4}$	$1,0 \cdot 10^{-9}$	$5,4 \cdot 10^{-10}$	$3,6 \cdot 10^{-10}$	$2,3 \cdot 10^{-10}$	$1,9 \cdot 10^{-10}$
Tb-154	21,4 h	M	0,005	$2,7 \cdot 10^{-9}$	$5,0 \cdot 10^{-4}$	$2,1 \cdot 10^{-9}$	$1,1 \cdot 10^{-9}$	$7,1 \cdot 10^{-10}$	$4,5 \cdot 10^{-10}$	$3,6 \cdot 10^{-10}$
Tb-155	5,32 d	M	0,005	$1,4 \cdot 10^{-9}$	$5,0 \cdot 10^{-4}$	$1,0 \cdot 10^{-9}$	$5,6 \cdot 10^{-10}$	$3,4 \cdot 10^{-10}$	$2,7 \cdot 10^{-10}$	$2,2 \cdot 10^{-10}$
Tb-156	5,34 d	M	0,005	$7,0 \cdot 10^{-9}$	$5,0 \cdot 10^{-4}$	$5,4 \cdot 10^{-9}$	$3,0 \cdot 10^{-9}$	$2,0 \cdot 10^{-9}$	$1,5 \cdot 10^{-9}$	$1,2 \cdot 10^{-9}$
Tb-156m	1,02 d	M	0,005	$1,1 \cdot 10^{-9}$	$5,0 \cdot 10^{-4}$	$9,4 \cdot 10^{-10}$	$4,7 \cdot 10^{-10}$	$3,3 \cdot 10^{-10}$	$2,7 \cdot 10^{-10}$	$2,1 \cdot 10^{-10}$
Tb-156m	5,00 h	M	0,005	$6,2 \cdot 10^{-10}$	$5,0 \cdot 10^{-4}$	$4,5 \cdot 10^{-10}$	$2,4 \cdot 10^{-10}$	$1,7 \cdot 10^{-10}$	$1,2 \cdot 10^{-10}$	$9,6 \cdot 10^{-11}$
Tb-157	$1,50 \cdot 10^2$ r	M	0,005	$3,2 \cdot 10^{-9}$	$5,0 \cdot 10^{-4}$	$3,0 \cdot 10^{-9}$	$2,0 \cdot 10^{-9}$	$1,4 \cdot 10^{-9}$	$1,2 \cdot 10^{-9}$	$1,2 \cdot 10^{-9}$

Tabuľka č. 13: Konverzné faktory h_{inh} na prepočet príjmu rádionuklidov inhaláciou na úväzok efektívnej dávky u jednotlivcov z obyvateľstva

prvok nuklid	Polčas premeny	Typ	vek < 1 rok		f_1	h_{inh} (Sv.Bq ⁻¹)				
			f_1	h_{inh}	> 1 rok	1 – 2	2 - 7	7 - 12	12 - 17	> 17 (dospelí)
Tb-158	1,50.10 ² r	M	0,005	1,1.10 ⁻⁷	5,0.10 ⁻⁴	1,0.10 ⁻⁷	7,0.10 ⁻⁸	5,1.10 ⁻⁸	4,7.10 ⁻⁸	4,6.10 ⁻⁸
Tb-160	72,3 d	M	0,005	3,2.10 ⁻⁸	5,0.10 ⁻⁴	2,5.10 ⁻⁸	1,5.10 ⁻⁸	1,0.10 ⁻⁸	8,6.10 ⁻⁹	7,0.10 ⁻⁹
Tb-161	6,91 d	M	0,005	6,6.10 ⁻⁹	5,0.10 ⁻⁴	4,7.10 ⁻⁹	2,6.10 ⁻⁹	1,9.10 ⁻⁹	1,6.10 ⁻⁹	1,3.10 ⁻⁹
Dyspróziium										
Dy-155	10,0 h	M	0,005	5,6.10 ⁻¹⁰	5,0.10 ⁻⁴	4,4.10 ⁻¹⁰	2,3.10 ⁻¹⁰	1,5.10 ⁻¹⁰	9,6.10 ⁻¹¹	7,7.10 ⁻¹¹
Dy-157	8,10 h	M	0,005	2,4.10 ⁻¹⁰	5,0.10 ⁻⁴	1,9.10 ⁻¹⁰	9,9.10 ⁻¹¹	6,2.10 ⁻¹¹	3,8.10 ⁻¹¹	3,0.10 ⁻¹¹
Dy-159	144 d	M	0,005	2,1.10 ⁻⁹	5,0.10 ⁻⁴	1,7.10 ⁻⁹	9,6.10 ⁻¹⁰	6,0.10 ⁻¹⁰	4,4.10 ⁻¹⁰	3,7.10 ⁻¹⁰
Dy-165	2,33 h	M	0,005	5,2.10 ⁻¹⁰	5,0.10 ⁻⁴	3,4.10 ⁻¹⁰	1,6.10 ⁻¹⁰	1,1.10 ⁻¹⁰	7,2.10 ⁻¹¹	6,0.10 ⁻¹¹
Dy-166	3,40 d	M	0,005	1,2.10 ⁻⁸	5,0.10 ⁻⁴	8,3.10 ⁻⁹	4,4.10 ⁻⁹	3,0.10 ⁻⁹	2,3.10 ⁻⁹	1,9.10 ⁻⁹
Holmiium										
Ho-155	0,800 h	M	0,005	1,7.10 ⁻¹⁰	5,0.10 ⁻⁴	1,2.10 ⁻¹⁰	5,8.10 ⁻¹¹	3,7.10 ⁻¹¹	2,4.10 ⁻¹¹	2,0.10 ⁻¹¹
Ho-157	0,210 h	M	0,005	3,4.10 ⁻¹¹	5,0.10 ⁻⁴	2,5.10 ⁻¹¹	1,3.10 ⁻¹¹	8,0.10 ⁻¹²	5,1.10 ⁻¹²	4,2.10 ⁻¹²
Ho-159	0,550 h	M	0,005	4,6.10 ⁻¹¹	5,0.10 ⁻⁴	3,3.10 ⁻¹¹	1,7.10 ⁻¹¹	1,1.10 ⁻¹¹	7,5.10 ⁻¹²	6,1.10 ⁻¹²
Ho-161	2,50 h	M	0,005	5,7.10 ⁻¹¹	5,0.10 ⁻⁴	4,0.10 ⁻¹¹	2,0.10 ⁻¹¹	1,2.10 ⁻¹¹	7,5.10 ⁻¹²	6,0.10 ⁻¹²
Ho-162	0,250 h	M	0,005	2,1.10 ⁻¹¹	5,0.10 ⁻⁴	1,5.10 ⁻¹¹	7,2.10 ⁻¹²	4,8.10 ⁻¹²	3,4.10 ⁻¹²	2,8.10 ⁻¹²
Ho-162m	1,13 h	M	0,005	1,5.10 ⁻¹⁰	5,0.10 ⁻⁴	1,1.10 ⁻¹⁰	5,8.10 ⁻¹¹	3,8.10 ⁻¹¹	2,6.10 ⁻¹¹	2,1.10 ⁻¹¹
Ho-164	0,483 h	M	0,005	6,8.10 ⁻¹¹	5,0.10 ⁻⁴	4,5.10 ⁻¹¹	2,1.10 ⁻¹¹	1,4.10 ⁻¹¹	9,9.10 ⁻¹²	8,4.10 ⁻¹²
Ho-164m	0,625 h	M	0,005	9,1.10 ⁻¹¹	5,0.10 ⁻⁴	5,9.10 ⁻¹¹	3,0.10 ⁻¹¹	2,0.10 ⁻¹¹	1,3.10 ⁻¹¹	1,2.10 ⁻¹¹
Ho-166	1,12 d	M	0,005	6,0.10 ⁻⁹	5,0.10 ⁻⁴	4,0.10 ⁻⁹	1,9.10 ⁻⁹	1,2.10 ⁻⁹	7,9.10 ⁻¹⁰	6,5.10 ⁻¹⁰
Ho-166m	1,20.10 ³ r	M	0,005	2,6.10 ⁻⁷	5,0.10 ⁻⁴	2,5.10 ⁻⁷	1,8.10 ⁻⁷	1,3.10 ⁻⁷	1,2.10 ⁻⁷	1,2.10 ⁻⁷
Ho-167	3,10 h	M	0,005	5,2.10 ⁻¹⁰	5,0.10 ⁻⁴	3,6.10 ⁻¹⁰	1,8.10 ⁻¹⁰	1,2.10 ⁻¹⁰	8,7.10 ⁻¹¹	7,1.10 ⁻¹¹
Erbium										
Er-161	3,24 h	M	0,005	3,8.10 ⁻¹⁰	5,0.10 ⁻⁴	2,9.10 ⁻¹⁰	1,5.10 ⁻¹⁰	9,5.10 ⁻¹¹	6,0.10 ⁻¹¹	4,8.10 ⁻¹¹
Er-165	10,4 h	M	0,005	7,2.10 ⁻¹¹	5,0.10 ⁻⁴	5,3.10 ⁻¹¹	2,6.10 ⁻¹¹	1,6.10 ⁻¹¹	9,6.10 ⁻¹²	7,9.10 ⁻¹²
Er-169	9,30 d	M	0,005	4,7.10 ⁻⁹	5,0.10 ⁻⁴	3,5.10 ⁻⁹	2,0.10 ⁻⁹	1,5.10 ⁻⁹	1,3.10 ⁻⁹	1,0.10 ⁻⁹
Er-171	7,52 h	M	0,005	1,8.10 ⁻⁹	5,0.10 ⁻⁴	1,2.10 ⁻⁹	5,9.10 ⁻¹⁰	3,9.10 ⁻¹⁰	2,7.10 ⁻¹⁰	2,2.10 ⁻¹⁰
Er-172	2,05 d	M	0,005	6,6.10 ⁻⁹	5,0.10 ⁻⁴	4,7.10 ⁻⁹	2,5.10 ⁻⁹	1,7.10 ⁻⁹	1,4.10 ⁻⁹	1,1.10 ⁻⁹
Túlium										
Tm-162	0,362 h	M	0,005	1,3.10 ⁻¹⁰	5,0.10 ⁻⁴	9,6.10 ⁻¹¹	4,7.10 ⁻¹¹	3,0.10 ⁻¹¹	1,9.10 ⁻¹¹	1,6.10 ⁻¹¹
Tm-166	7,70 h	M	0,005	1,3.10 ⁻⁹	5,0.10 ⁻⁴	9,9.10 ⁻¹⁰	5,2.10 ⁻¹⁰	3,3.10 ⁻¹⁰	2,2.10 ⁻¹⁰	1,7.10 ⁻¹⁰
Tm-167	9,24 d	M	0,005	5,6.10 ⁻⁹	5,0.10 ⁻⁴	4,1.10 ⁻⁹	2,3.10 ⁻⁹	1,7.10 ⁻⁹	1,4.10 ⁻⁹	1,1.10 ⁻⁹
Tm-170	129 d	M	0,005	3,6.10 ⁻⁸	5,0.10 ⁻⁴	2,8.10 ⁻⁸	1,6.10 ⁻⁸	1,1.10 ⁻⁸	8,5.10 ⁻⁹	7,0.10 ⁻⁹
Tm-171	1,92 r	M	0,005	6,8.10 ⁻⁹	5,0.10 ⁻⁴	5,7.10 ⁻⁹	3,4.10 ⁻⁹	2,0.10 ⁻⁹	1,6.10 ⁻⁹	1,4.10 ⁻⁹
Tm-172	2,65 d	M	0,005	8,4.10 ⁻⁹	5,0.10 ⁻⁴	5,8.10 ⁻⁹	2,9.10 ⁻⁹	1,9.10 ⁻⁹	1,4.10 ⁻⁹	1,1.10 ⁻⁹
Tm-173	8,24 h	M	0,005	1,5.10 ⁻⁹	5,0.10 ⁻⁴	1,0.10 ⁻⁹	5,0.10 ⁻¹⁰	3,3.10 ⁻¹⁰	2,2.10 ⁻¹⁰	1,8.10 ⁻¹⁰
Tm-175	0,253 h	M	0,005	1,6.10 ⁻¹⁰	5,0.10 ⁻⁴	1,1.10 ⁻¹⁰	5,0.10 ⁻¹¹	3,3.10 ⁻¹¹	2,2.10 ⁻¹¹	1,8.10 ⁻¹¹
Yterbiium										
Yb-162	0,315 h	M	0,005	1,1.10 ⁻¹⁰	5,0.10 ⁻⁴	7,9.10 ⁻¹¹	3,9.10 ⁻¹¹	2,5.10 ⁻¹¹	1,6.10 ⁻¹¹	1,3.10 ⁻¹¹
		S	0,005	1,2.10 ⁻¹⁰	5,0.10 ⁻⁴	8,2.10 ⁻¹¹	4,0.10 ⁻¹¹	2,6.10 ⁻¹¹	1,7.10 ⁻¹¹	1,4.10 ⁻¹¹
Yb-166	2,36 d	M	0,005	4,7.10 ⁻⁹	5,0.10 ⁻⁴	3,5.10 ⁻⁹	1,9.10 ⁻⁹	1,3.10 ⁻⁹	9,0.10 ⁻¹⁰	7,2.10 ⁻¹⁰
		S	0,005	4,9.10 ⁻⁹	5,0.10 ⁻⁴	3,7.10 ⁻⁹	2,0.10 ⁻⁹	1,3.10 ⁻⁹	9,6.10 ⁻¹⁰	7,7.10 ⁻¹⁰
Yb-167	0,292 h	M	0,005	4,4.10 ⁻¹¹	5,0.10 ⁻⁴	3,1.10 ⁻¹¹	1,6.10 ⁻¹¹	1,1.10 ⁻¹¹	7,9.10 ⁻¹²	6,5.10 ⁻¹²
		S	0,005	4,6.10 ⁻¹¹	5,0.10 ⁻⁴	3,2.10 ⁻¹¹	1,7.10 ⁻¹¹	1,1.10 ⁻¹¹	8,4.10 ⁻¹²	6,9.10 ⁻¹²
Yb-169	32,0 d	M	0,005	1,2.10 ⁻⁸	5,0.10 ⁻⁴	8,7.10 ⁻⁹	5,1.10 ⁻⁹	3,7.10 ⁻⁹	3,2.10 ⁻⁹	2,5.10 ⁻⁹
		S	0,005	1,3.10 ⁻⁸	5,0.10 ⁻⁴	9,8.10 ⁻⁹	5,9.10 ⁻⁹	4,2.10 ⁻⁹	3,7.10 ⁻⁹	3,0.10 ⁻⁹
Yb-175	4,19 d	M	0,005	3,5.10 ⁻⁹	5,0.10 ⁻⁴	2,5.10 ⁻⁹	1,4.10 ⁻⁹	9,8.10 ⁻¹⁰	8,3.10 ⁻¹⁰	6,5.10 ⁻¹⁰
		S	0,005	3,7.10 ⁻⁹	5,0.10 ⁻⁴	2,7.10 ⁻⁹	1,5.10 ⁻⁹	1,1.10 ⁻⁹	9,2.10 ⁻¹⁰	7,3.10 ⁻¹⁰
Yb-177	1,90 h	M	0,005	5,0.10 ⁻¹⁰	5,0.10 ⁻⁴	3,3.10 ⁻¹⁰	1,6.10 ⁻¹⁰	1,1.10 ⁻¹⁰	7,8.10 ⁻¹¹	6,4.10 ⁻¹¹
		S	0,005	5,3.10 ⁻¹⁰	5,0.10 ⁻⁴	3,5.10 ⁻¹⁰	1,7.10 ⁻¹⁰	1,2.10 ⁻¹⁰	8,4.10 ⁻¹¹	6,9.10 ⁻¹¹
Yb-178	1,23 h	M	0,005	5,9.10 ⁻¹⁰	5,0.10 ⁻⁴	3,9.10 ⁻¹⁰	1,8.10 ⁻¹⁰	1,2.10 ⁻¹⁰	8,5.10 ⁻¹¹	7,0.10 ⁻¹¹
		S	0,005	6,2.10 ⁻¹⁰	5,0.10 ⁻⁴	4,1.10 ⁻¹⁰	1,9.10 ⁻¹⁰	1,3.10 ⁻¹⁰	9,1.10 ⁻¹¹	7,5.10 ⁻¹¹
Lutécium										
Lu-169	1,42 d	M	0,005	2,3.10 ⁻⁹	5,0.10 ⁻⁴	1,8.10 ⁻⁹	9,5.10 ⁻¹⁰	6,3.10 ⁻¹⁰	4,4.10 ⁻¹⁰	3,5.10 ⁻¹⁰
		S	0,005	2,4.10 ⁻⁹	5,0.10 ⁻⁴	1,9.10 ⁻⁹	1,0.10 ⁻⁹	6,7.10 ⁻¹⁰	4,8.10 ⁻¹⁰	3,8.10 ⁻¹⁰
Lu-170	2,00 d	M	0,005	4,3.10 ⁻⁹	5,0.10 ⁻⁴	3,4.10 ⁻⁹	1,8.10 ⁻⁹	1,2.10 ⁻⁹	7,8.10 ⁻¹⁰	6,3.10 ⁻¹⁰
		S	0,005	4,5.10 ⁻⁹	5,0.10 ⁻⁴	3,5.10 ⁻⁹	1,8.10 ⁻⁹	1,2.10 ⁻⁹	8,2.10 ⁻¹⁰	6,6.10 ⁻¹⁰
Lu-171	8,22 d	M	0,005	5,0.10 ⁻⁹	5,0.10 ⁻⁴	3,7.10 ⁻⁹	2,1.10 ⁻⁹	1,2.10 ⁻⁹	9,8.10 ⁻¹⁰	8,0.10 ⁻¹⁰
		S	0,005	4,7.10 ⁻⁹	5,0.10 ⁻⁴	3,9.10 ⁻⁹	2,0.10 ⁻⁹	1,4.10 ⁻⁹	1,1.10 ⁻⁹	8,8.10 ⁻¹⁰
Lu-172	6,70 d	M	0,005	8,7.10 ⁻⁹	5,0.10 ⁻⁴	6,7.10 ⁻⁹	3,8.10 ⁻⁹	2,6.10 ⁻⁹	1,8.10 ⁻⁹	1,4.10 ⁻⁹

Tabuľka č. 13: Konverzné faktory h_{inh} na prepočet príjmu rádionuklidov inhaláciou na úväzok efektívnej dávky u jednotlivcov z obyvateľstva

prvok nuklid	Polčas premeny	Typ	vek < 1 rok		f_1	h_{inh} (Sv.Bq ⁻¹)				
			f_1	h_{inh}	> 1 rok	1 – 2	2 - 7	7 - 12	12 - 17	> 17 (dospelí)
Lu-173	1,37 r	S	0,005	9,3.10 ⁻⁹	5,0.10 ⁻⁴	7,1.10 ⁻⁹	4,0.10 ⁻⁹	2,8.10 ⁻⁹	2,0.10 ⁻⁹	1,6.10 ⁻⁹
		M	0,005	1,0.10 ⁻⁸	5,0.10 ⁻⁴	8,5.10 ⁻⁹	5,1.10 ⁻⁹	3,2.10 ⁻⁹	2,5.10 ⁻⁹	2,2.10 ⁻⁹
Lu-174	3,31 r	S	0,005	1,0.10 ⁻⁸	5,0.10 ⁻⁴	8,7.10 ⁻⁹	5,4.10 ⁻⁹	3,6.10 ⁻⁹	2,9.10 ⁻⁹	2,4.10 ⁻⁹
		M	0,005	1,7.10 ⁻⁸	5,0.10 ⁻⁴	1,5.10 ⁻⁸	9,1.10 ⁻⁹	5,8.10 ⁻⁹	4,7.10 ⁻⁹	4,2.10 ⁻⁹
Lu-174m	142 d	S	0,005	1,6.10 ⁻⁸	5,0.10 ⁻⁴	1,4.10 ⁻⁸	8,9.10 ⁻⁹	5,9.10 ⁻⁹	4,9.10 ⁻⁹	4,2.10 ⁻⁹
		M	0,005	1,9.10 ⁻⁸	5,0.10 ⁻⁴	1,4.10 ⁻⁸	8,6.10 ⁻⁹	5,4.10 ⁻⁹	4,3.10 ⁻⁹	3,7.10 ⁻⁹
Lu-176	3,60.10 ¹⁰ r	S	0,005	2,0.10 ⁻⁸	5,0.10 ⁻⁴	1,5.10 ⁻⁸	9,2.10 ⁻⁹	6,1.10 ⁻⁹	5,0.10 ⁻⁹	4,2.10 ⁻⁹
		M	0,005	1,8.10 ⁻⁷	5,0.10 ⁻⁴	1,7.10 ⁻⁷	1,1.10 ⁻⁷	7,8.10 ⁻⁸	7,1.10 ⁻⁸	7,0.10 ⁻⁸
Lu-176m	3,68 h	S	0,005	1,5.10 ⁻⁷	5,0.10 ⁻⁴	1,4.10 ⁻⁷	9,4.10 ⁻⁸	6,5.10 ⁻⁸	5,9.10 ⁻⁸	5,6.10 ⁻⁸
		M	0,005	8,9.10 ⁻¹⁰	5,0.10 ⁻⁴	5,9.10 ⁻¹⁰	2,8.10 ⁻¹⁰	1,9.10 ⁻¹⁰	1,2.10 ⁻¹⁰	1,1.10 ⁻¹⁰
Lu-177	6,71 d	S	0,005	9,3.10 ⁻¹⁰	5,0.10 ⁻⁴	6,2.10 ⁻¹⁰	3,0.10 ⁻¹⁰	2,0.10 ⁻¹⁰	1,2.10 ⁻¹⁰	1,2.10 ⁻¹⁰
		M	0,005	5,3.10 ⁻⁹	5,0.10 ⁻⁴	3,8.10 ⁻⁹	2,2.10 ⁻⁹	1,6.10 ⁻⁹	1,4.10 ⁻⁹	1,1.10 ⁻⁹
Lu-177m	161 d	S	0,005	5,7.10 ⁻⁹	5,0.10 ⁻⁴	4,1.10 ⁻⁹	2,4.10 ⁻⁹	1,7.10 ⁻⁹	1,5.10 ⁻⁹	1,2.10 ⁻⁹
		M	0,005	5,8.10 ⁻⁸	5,0.10 ⁻⁴	4,6.10 ⁻⁸	2,8.10 ⁻⁸	1,9.10 ⁻⁸	1,6.10 ⁻⁸	1,3.10 ⁻⁸
Lu-178	0,473 h	S	0,005	6,5.10 ⁻⁸	5,0.10 ⁻⁴	5,3.10 ⁻⁸	3,2.10 ⁻⁸	2,3.10 ⁻⁸	2,0.10 ⁻⁸	1,6.10 ⁻⁸
		M	0,005	2,3.10 ⁻¹⁰	5,0.10 ⁻⁴	1,5.10 ⁻¹⁰	6,6.10 ⁻¹¹	4,3.10 ⁻¹¹	2,9.10 ⁻¹¹	2,4.10 ⁻¹¹
Lu-178m	0,378 h	S	0,005	2,4.10 ⁻¹⁰	5,0.10 ⁻⁴	1,5.10 ⁻¹⁰	6,9.10 ⁻¹¹	4,5.10 ⁻¹¹	3,0.10 ⁻¹¹	2,6.10 ⁻¹¹
		M	0,005	2,6.10 ⁻¹⁰	5,0.10 ⁻⁴	1,8.10 ⁻¹⁰	8,3.10 ⁻¹¹	5,6.10 ⁻¹¹	3,8.10 ⁻¹¹	3,2.10 ⁻¹¹
Lu-179	4,59 h	S	0,005	2,7.10 ⁻¹⁰	5,0.10 ⁻⁴	1,9.10 ⁻¹⁰	8,7.10 ⁻¹¹	5,8.10 ⁻¹¹	4,0.10 ⁻¹¹	3,3.10 ⁻¹¹
		M	0,005	9,9.10 ⁻¹⁰	5,0.10 ⁻⁴	6,5.10 ⁻¹⁰	3,0.10 ⁻¹⁰	2,0.10 ⁻¹⁰	1,2.10 ⁻¹⁰	1,1.10 ⁻¹⁰
		S	0,005	1,0.10 ⁻⁹	5,0.10 ⁻⁴	6,8.10 ⁻¹⁰	3,2.10 ⁻¹⁰	2,1.10 ⁻¹⁰	1,3.10 ⁻¹⁰	1,2.10 ⁻¹⁰
Hafnium										
Hf-170	16,0 h	F	0,020	1,4.10 ⁻⁹	0,002	1,1.10 ⁻⁹	5,4.10 ⁻¹⁰	3,4.10 ⁻¹⁰	2,0.10 ⁻¹⁰	1,6.10 ⁻¹⁰
		M	0,020	2,2.10 ⁻⁹	0,002	1,7.10 ⁻⁹	8,7.10 ⁻¹⁰	5,8.10 ⁻¹⁰	3,9.10 ⁻¹⁰	3,2.10 ⁻¹⁰
Hf-172	1,87 r	F	0,020	1,5.10 ⁻⁷	0,002	1,3.10 ⁻⁷	7,8.10 ⁻⁸	4,9.10 ⁻⁸	3,5.10 ⁻⁸	3,2.10 ⁻⁸
		M	0,020	8,1.10 ⁻⁸	0,002	6,9.10 ⁻⁸	4,3.10 ⁻⁸	2,8.10 ⁻⁸	2,3.10 ⁻⁸	2,0.10 ⁻⁸
Hf-173	24,0 h	F	0,020	6,6.10 ⁻¹⁰	0,002	5,0.10 ⁻¹⁰	2,5.10 ⁻¹⁰	1,5.10 ⁻¹⁰	8,9.10 ⁻¹¹	7,4.10 ⁻¹¹
		M	0,020	1,1.10 ⁻⁹	0,002	8,2.10 ⁻¹⁰	4,3.10 ⁻¹⁰	2,9.10 ⁻¹⁰	2,0.10 ⁻¹⁰	1,6.10 ⁻¹⁰
Hf-175	70,0 d	F	0,020	5,4.10 ⁻⁹	0,002	4,0.10 ⁻⁹	2,1.10 ⁻⁹	1,3.10 ⁻⁹	8,5.10 ⁻¹⁰	7,2.10 ⁻¹⁰
		M	0,020	5,8.10 ⁻⁹	0,002	4,5.10 ⁻⁹	2,6.10 ⁻⁹	1,8.10 ⁻⁹	1,4.10 ⁻⁹	1,2.10 ⁻⁹
Hf-177m	0,856 h	F	0,020	3,9.10 ⁻¹⁰	0,002	2,8.10 ⁻¹⁰	1,3.10 ⁻¹⁰	8,5.10 ⁻¹¹	5,2.10 ⁻¹¹	4,4.10 ⁻¹¹
		M	0,020	6,5.10 ⁻¹⁰	0,002	4,7.10 ⁻¹⁰	2,3.10 ⁻¹⁰	1,5.10 ⁻¹⁰	1,1.10 ⁻¹⁰	9,0.10 ⁻¹¹
Hf-178m	31,0 r	F	0,020	6,2.10 ⁻⁷	0,002	5,8.10 ⁻⁷	4,0.10 ⁻⁷	3,1.10 ⁻⁷	2,7.10 ⁻⁷	2,6.10 ⁻⁷
		M	0,020	2,6.10 ⁻⁷	0,002	2,4.10 ⁻⁷	1,7.10 ⁻⁷	1,3.10 ⁻⁷	1,2.10 ⁻⁷	1,2.10 ⁻⁷
Hf-179m	25,1 d	F	0,020	9,7.10 ⁻⁹	0,002	6,8.10 ⁻⁹	3,4.10 ⁻⁹	2,1.10 ⁻⁹	1,2.10 ⁻⁹	1,1.10 ⁻⁹
		M	0,020	1,7.10 ⁻⁸	0,002	1,3.10 ⁻⁸	7,6.10 ⁻⁹	5,5.10 ⁻⁹	4,8.10 ⁻⁹	3,8.10 ⁻⁹
Hf-180m	5,50 h	F	0,020	5,4.10 ⁻¹⁰	0,002	4,1.10 ⁻¹⁰	2,0.10 ⁻¹⁰	1,3.10 ⁻¹⁰	7,2.10 ⁻¹¹	5,9.10 ⁻¹¹
		M	0,020	9,1.10 ⁻¹⁰	0,002	6,8.10 ⁻¹⁰	3,6.10 ⁻¹⁰	2,4.10 ⁻¹⁰	1,7.10 ⁻¹⁰	1,3.10 ⁻¹⁰
Hf-181	42,4 d	F	0,020	1,3.10 ⁻⁸	0,002	9,6.10 ⁻⁹	4,8.10 ⁻⁹	2,8.10 ⁻⁹	1,7.10 ⁻⁹	1,4.10 ⁻⁹
		M	0,020	2,2.10 ⁻⁸	0,002	1,7.10 ⁻⁸	9,9.10 ⁻⁹	7,1.10 ⁻⁹	6,3.10 ⁻⁹	5,0.10 ⁻⁹
Hf-182	9,00.10 ⁶ r	F	0,020	6,5.10 ⁻⁷	0,002	6,2.10 ⁻⁷	4,4.10 ⁻⁷	3,6.10 ⁻⁷	3,1.10 ⁻⁷	3,1.10 ⁻⁷
		M	0,020	2,4.10 ⁻⁷	0,002	2,3.10 ⁻⁷	1,7.10 ⁻⁷	1,3.10 ⁻⁷	1,3.10 ⁻⁷	1,3.10 ⁻⁷
Hf-182m	1,02 h	F	0,020	1,9.10 ⁻¹⁰	0,002	1,4.10 ⁻¹⁰	6,6.10 ⁻¹¹	4,2.10 ⁻¹¹	2,6.10 ⁻¹¹	2,1.10 ⁻¹¹
		M	0,020	3,2.10 ⁻¹⁰	0,002	2,3.10 ⁻¹⁰	1,2.10 ⁻¹⁰	7,8.10 ⁻¹¹	5,6.10 ⁻¹¹	4,6.10 ⁻¹¹
Hf-183	1,07 h	F	0,020	2,5.10 ⁻¹⁰	0,002	1,7.10 ⁻¹⁰	7,9.10 ⁻¹¹	4,9.10 ⁻¹¹	2,8.10 ⁻¹¹	2,4.10 ⁻¹¹
		M	0,020	4,4.10 ⁻¹⁰	0,002	3,0.10 ⁻¹⁰	1,5.10 ⁻¹⁰	9,8.10 ⁻¹¹	7,0.10 ⁻¹¹	5,7.10 ⁻¹¹
Hf-184	4,12 h	F	0,020	1,4.10 ⁻⁹	0,002	9,6.10 ⁻¹⁰	4,3.10 ⁻¹⁰	2,7.10 ⁻¹⁰	1,4.10 ⁻¹⁰	1,2.10 ⁻¹⁰
		M	0,020	2,6.10 ⁻⁹	0,002	1,8.10 ⁻⁹	8,9.10 ⁻¹⁰	5,9.10 ⁻¹⁰	4,0.10 ⁻¹⁰	3,3.10 ⁻¹⁰
Tantal										
Ta-172	0,613 h	M	0,010	2,8.10 ⁻¹⁰	0,001	1,9.10 ⁻¹⁰	9,3.10 ⁻¹¹	6,0.10 ⁻¹¹	4,0.10 ⁻¹¹	3,3.10 ⁻¹¹
		S	0,010	2,9.10 ⁻¹⁰	0,001	2,0.10 ⁻¹⁰	9,8.10 ⁻¹¹	6,3.10 ⁻¹¹	4,2.10 ⁻¹¹	3,5.10 ⁻¹¹
Ta-173	3,65 h	M	0,010	8,8.10 ⁻¹⁰	0,001	6,2.10 ⁻¹⁰	3,0.10 ⁻¹⁰	2,0.10 ⁻¹⁰	1,3.10 ⁻¹⁰	1,1.10 ⁻¹⁰
		S	0,010	9,2.10 ⁻¹⁰	0,001	6,5.10 ⁻¹⁰	3,2.10 ⁻¹⁰	2,1.10 ⁻¹⁰	1,4.10 ⁻¹⁰	1,1.10 ⁻¹⁰
Ta-174	1,20 h	M	0,010	3,2.10 ⁻¹⁰	0,001	2,2.10 ⁻¹⁰	1,1.10 ⁻¹⁰	7,1.10 ⁻¹¹	5,0.10 ⁻¹¹	4,1.10 ⁻¹¹
		S	0,010	3,4.10 ⁻¹⁰	0,001	2,3.10 ⁻¹⁰	1,1.10 ⁻¹⁰	7,5.10 ⁻¹¹	5,3.10 ⁻¹¹	4,3.10 ⁻¹¹
Ta-175	10,5 h	M	0,010	9,1.10 ⁻¹⁰	0,001	7,0.10 ⁻¹⁰	3,7.10 ⁻¹⁰	2,4.10 ⁻¹⁰	1,5.10 ⁻¹⁰	1,2.10 ⁻¹⁰
		S	0,010	9,5.10 ⁻¹⁰	0,001	7,3.10 ⁻¹⁰	3,8.10 ⁻¹⁰	2,5.10 ⁻¹⁰	1,6.10 ⁻¹⁰	1,3.10 ⁻¹⁰
Ta-176	8,08 h	M	0,010	1,4.10 ⁻⁹	0,001	1,1.10 ⁻⁹	5,7.10 ⁻¹⁰	3,7.10 ⁻¹⁰	2,4.10 ⁻¹⁰	1,9.10 ⁻¹⁰
		S	0,010	1,4.10 ⁻⁹	0,001	1,1.10 ⁻⁹	5,9.10 ⁻¹⁰	3,8.10 ⁻¹⁰	2,5.10 ⁻¹⁰	2,0.10 ⁻¹⁰

Tabuľka č. 13: Konverzné faktory h_{inh} na prepočet príjmu rádionuklidov inhaláciou na úväzok efektívnej dávky u jednotlivcov z obyvateľstva

prvok nuklid	Polčas premeny	Typ	vek < 1 rok		f_1 > 1 rok	h_{inh} (Sv.Bq ⁻¹)				
			f_1	h_{inh}		1 – 2	2 - 7	7 - 12	12 - 17	> 17 (dospelí)
Ta-177	2,36 d	M	0,010	6,5.10 ⁻¹⁰	0,001	4,7.10 ⁻¹⁰	2,5.10 ⁻¹⁰	1,5.10 ⁻¹⁰	1,2.10 ⁻¹⁰	9,6.10 ⁻¹¹
		S	0,010	6,9.10 ⁻¹⁰	0,001	5,0.10 ⁻¹⁰	2,7.10 ⁻¹⁰	1,7.10 ⁻¹⁰	1,3.10 ⁻¹⁰	1,1.10 ⁻¹⁰
Ta-178	2,20 h	M	0,010	4,4.10 ⁻¹⁰	0,001	3,3.10 ⁻¹⁰	1,7.10 ⁻¹⁰	1,1.10 ⁻¹⁰	8,0.10 ⁻¹¹	6,5.10 ⁻¹¹
		S	0,010	4,6.10 ⁻¹⁰	0,001	3,4.10 ⁻¹⁰	1,8.10 ⁻¹⁰	1,2.10 ⁻¹⁰	8,5.10 ⁻¹¹	6,8.10 ⁻¹¹
Ta-179	1,82 r	M	0,010	1,2.10 ⁻⁹	0,001	9,6.10 ⁻¹⁰	5,5.10 ⁻¹⁰	3,5.10 ⁻¹⁰	2,6.10 ⁻¹⁰	2,2.10 ⁻¹⁰
		S	0,010	2,4.10 ⁻⁹	0,001	2,1.10 ⁻⁹	1,3.10 ⁻⁹	8,3.10 ⁻¹⁰	6,4.10 ⁻¹⁰	5,6.10 ⁻¹⁰
Ta-180	1,0.10 ¹³ r	M	0,010	2,7.10 ⁻⁸	0,001	2,2.10 ⁻⁸	1,3.10 ⁻⁸	9,2.10 ⁻⁹	7,9.10 ⁻⁹	6,4.10 ⁻⁹
		S	0,010	7,0.10 ⁻⁸	0,001	6,5.10 ⁻⁸	4,5.10 ⁻⁸	3,1.10 ⁻⁸	2,8.10 ⁻⁸	2,6.10 ⁻⁸
Ta-180m	8,10 h	M	0,010	3,1.10 ⁻¹⁰	0,001	2,2.10 ⁻¹⁰	1,1.10 ⁻¹⁰	7,4.10 ⁻¹¹	4,8.10 ⁻¹¹	4,4.10 ⁻¹¹
		S	0,010	3,3.10 ⁻¹⁰	0,001	2,3.10 ⁻¹⁰	1,2.10 ⁻¹⁰	7,9.10 ⁻¹¹	5,2.10 ⁻¹¹	4,2.10 ⁻¹¹
Ta-182	115 d	M	0,010	3,2.10 ⁻⁸	0,001	2,6.10 ⁻⁸	1,5.10 ⁻⁸	1,1.10 ⁻⁸	9,5.10 ⁻⁹	7,6.10 ⁻⁹
		S	0,010	4,2.10 ⁻⁸	0,001	3,4.10 ⁻⁸	2,1.10 ⁻⁸	1,5.10 ⁻⁸	1,3.10 ⁻⁸	1,0.10 ⁻⁸
Ta-182m	0,264 h	M	0,010	1,6.10 ⁻¹⁰	0,001	1,1.10 ⁻¹⁰	4,9.10 ⁻¹¹	3,4.10 ⁻¹¹	2,4.10 ⁻¹¹	2,0.10 ⁻¹¹
		S	0,010	1,6.10 ⁻¹⁰	0,001	1,1.10 ⁻¹⁰	5,2.10 ⁻¹¹	3,6.10 ⁻¹¹	2,5.10 ⁻¹¹	2,1.10 ⁻¹¹
Ta-183	5,10 d	M	0,010	1,0.10 ⁻⁸	0,001	7,4.10 ⁻⁹	4,1.10 ⁻⁹	2,9.10 ⁻⁹	2,4.10 ⁻⁹	1,9.10 ⁻⁹
		S	0,010	1,1.10 ⁻⁸	0,001	8,0.10 ⁻⁹	4,5.10 ⁻⁹	3,2.10 ⁻⁹	2,7.10 ⁻⁹	2,1.10 ⁻⁹
Ta-184	8,70 h	M	0,010	3,2.10 ⁻⁹	0,001	2,3.10 ⁻⁹	1,1.10 ⁻⁹	7,5.10 ⁻¹⁰	5,0.10 ⁻¹⁰	4,1.10 ⁻¹⁰
		S	0,010	3,4.10 ⁻⁹	0,001	2,4.10 ⁻⁹	1,2.10 ⁻⁹	7,9.10 ⁻¹⁰	5,4.10 ⁻¹⁰	4,3.10 ⁻¹⁰
Ta-185	0,816 h	M	0,010	3,8.10 ⁻¹⁰	0,001	2,5.10 ⁻¹⁰	1,2.10 ⁻¹⁰	7,7.10 ⁻¹¹	5,4.10 ⁻¹¹	4,5.10 ⁻¹¹
		S	0,010	4,0.10 ⁻¹⁰	0,001	2,6.10 ⁻¹⁰	1,2.10 ⁻¹⁰	8,2.10 ⁻¹¹	5,7.10 ⁻¹¹	4,8.10 ⁻¹¹
Ta-186	0,175 h	M	0,010	1,6.10 ⁻¹⁰	0,001	1,1.10 ⁻¹⁰	4,8.10 ⁻¹¹	3,1.10 ⁻¹¹	2,0.10 ⁻¹¹	1,7.10 ⁻¹¹
		S	0,010	1,6.10 ⁻¹⁰	0,001	1,1.10 ⁻¹⁰	5,0.10 ⁻¹¹	3,2.10 ⁻¹¹	2,1.10 ⁻¹¹	1,8.10 ⁻¹¹
Wolfrám										
W-176	2,30 h	F	0,600	3,3.10 ⁻¹⁰	0,300	2,7.10 ⁻¹⁰	1,4.10 ⁻¹⁰	8,6.10 ⁻¹¹	5,0.10 ⁻¹¹	4,1.10 ⁻¹¹
W-177	2,25 h	F	0,600	2,0.10 ⁻¹⁰	0,300	1,6.10 ⁻¹⁰	8,2.10 ⁻¹¹	5,1.10 ⁻¹¹	3,0.10 ⁻¹¹	2,4.10 ⁻¹¹
W-178	21,7 d	F	0,600	7,2.10 ⁻¹⁰	0,300	5,4.10 ⁻¹⁰	2,5.10 ⁻¹⁰	1,6.10 ⁻¹⁰	8,7.10 ⁻¹¹	7,2.10 ⁻¹¹
W-179	0,625 h	F	0,600	9,3.10 ⁻¹²	0,300	6,8.10 ⁻¹²	3,3.10 ⁻¹²	2,0.10 ⁻¹²	1,2.10 ⁻¹²	9,2.10 ⁻¹³
W-181	121 d	F	0,600	2,5.10 ⁻¹⁰	0,300	1,9.10 ⁻¹⁰	9,2.10 ⁻¹¹	5,7.10 ⁻¹¹	3,2.10 ⁻¹¹	2,7.10 ⁻¹¹
W-185	75,1 d	F	0,600	1,4.10 ⁻⁹	0,300	1,0.10 ⁻⁹	4,4.10 ⁻¹⁰	2,7.10 ⁻¹⁰	1,4.10 ⁻¹⁰	1,2.10 ⁻¹⁰
W-187	23,9 h	F	0,600	2,0.10 ⁻⁹	0,300	1,5.10 ⁻⁹	7,0.10 ⁻¹⁰	4,3.10 ⁻¹⁰	2,3.10 ⁻¹⁰	1,9.10 ⁻¹⁰
W-188	69,4 d	F	0,600	7,1.10 ⁻⁹	0,300	5,0.10 ⁻⁹	2,2.10 ⁻⁹	1,3.10 ⁻⁹	6,8.10 ⁻¹⁰	5,7.10 ⁻¹⁰
Rénium										
Re-177	0,233 h	F	1,000	9,4.10 ⁻¹¹	0,800	6,7.10 ⁻¹¹	3,2.10 ⁻¹¹	1,9.10 ⁻¹¹	1,2.10 ⁻¹¹	9,7.10 ⁻¹²
		M	1,000	1,1.10 ⁻¹⁰	0,800	7,9.10 ⁻¹¹	3,9.10 ⁻¹¹	2,5.10 ⁻¹¹	1,7.10 ⁻¹¹	1,4.10 ⁻¹¹
Re-178	0,220 h	F	1,000	9,9.10 ⁻¹¹	0,800	6,8.10 ⁻¹¹	3,1.10 ⁻¹¹	1,9.10 ⁻¹¹	1,2.10 ⁻¹¹	1,0.10 ⁻¹¹
		M	1,000	1,3.10 ⁻¹⁰	0,800	8,5.10 ⁻¹¹	3,9.10 ⁻¹¹	2,6.10 ⁻¹¹	1,7.10 ⁻¹¹	1,4.10 ⁻¹¹
Re-181	20,0 h	F	1,000	2,0.10 ⁻⁹	0,800	1,4.10 ⁻⁹	6,7.10 ⁻¹⁰	3,8.10 ⁻¹⁰	2,3.10 ⁻¹⁰	1,8.10 ⁻¹⁰
		M	1,000	2,1.10 ⁻⁹	0,800	1,5.10 ⁻⁹	7,4.10 ⁻¹⁰	4,6.10 ⁻¹⁰	3,1.10 ⁻¹⁰	2,5.10 ⁻¹⁰
Re-182	2,67 d	F	1,000	6,5.10 ⁻⁹	0,800	4,7.10 ⁻⁹	2,2.10 ⁻⁹	1,3.10 ⁻⁹	8,0.10 ⁻¹⁰	6,4.10 ⁻¹⁰
		M	1,000	8,7.10 ⁻⁹	0,800	6,3.10 ⁻⁹	3,4.10 ⁻⁹	2,2.10 ⁻⁹	1,5.10 ⁻⁹	1,2.10 ⁻⁹
Re-182	12,7 h	F	1,000	1,3.10 ⁻⁹	0,800	1,0.10 ⁻⁹	4,9.10 ⁻¹⁰	2,8.10 ⁻¹⁰	1,7.10 ⁻¹⁰	1,4.10 ⁻¹⁰
		M	1,000	1,4.10 ⁻⁹	0,800	1,1.10 ⁻⁹	5,7.10 ⁻¹⁰	3,6.10 ⁻¹⁰	2,5.10 ⁻¹⁰	2,0.10 ⁻¹⁰
Re-184	38,0 d	F	1,000	4,1.10 ⁻⁹	0,800	2,9.10 ⁻⁹	1,4.10 ⁻⁹	8,6.10 ⁻¹⁰	5,4.10 ⁻¹⁰	4,4.10 ⁻¹⁰
		M	1,000	9,1.10 ⁻⁹	0,800	6,8.10 ⁻⁹	4,0.10 ⁻⁹	2,8.10 ⁻⁹	2,4.10 ⁻⁹	1,9.10 ⁻⁹
Re-184m	165 d	F	1,000	6,6.10 ⁻⁹	0,800	4,6.10 ⁻⁹	2,0.10 ⁻⁹	1,2.10 ⁻⁹	7,3.10 ⁻¹⁰	5,9.10 ⁻¹⁰
		M	1,000	2,9.10 ⁻⁸	0,800	2,2.10 ⁻⁸	1,3.10 ⁻⁸	9,3.10 ⁻⁹	8,1.10 ⁻⁹	6,5.10 ⁻⁹
Re-186	3,78 d	F	1,000	7,3.10 ⁻⁹	0,800	4,7.10 ⁻⁹	2,0.10 ⁻⁹	1,1.10 ⁻⁹	6,6.10 ⁻¹⁰	5,2.10 ⁻¹⁰
		M	1,000	8,7.10 ⁻⁹	0,800	5,7.10 ⁻⁹	2,8.10 ⁻⁹	1,8.10 ⁻⁹	1,4.10 ⁻⁹	1,1.10 ⁻⁹
Re-186m	2,00.10 ⁵ r	F	1,000	1,2.10 ⁻⁸	0,800	7,0.10 ⁻⁹	2,9.10 ⁻⁹	1,7.10 ⁻⁹	1,0.10 ⁻⁹	8,3.10 ⁻¹⁰
		M	1,000	5,9.10 ⁻⁸	0,800	4,6.10 ⁻⁸	2,7.10 ⁻⁸	1,8.10 ⁻⁸	1,4.10 ⁻⁸	1,2.10 ⁻⁸
Re-187	5,00.10 ¹⁰ r	F	1,000	2,6.10 ⁻¹¹	0,800	1,6.10 ⁻¹¹	6,8.10 ⁻¹²	3,8.10 ⁻¹²	2,3.10 ⁻¹²	1,8.10 ⁻¹²
		M	1,000	5,7.10 ⁻¹¹	0,800	4,1.10 ⁻¹¹	2,0.10 ⁻¹¹	1,2.10 ⁻¹¹	7,5.10 ⁻¹²	6,3.10 ⁻¹²
Re-188	17,0 h	F	1,000	6,5.10 ⁻⁹	0,800	4,4.10 ⁻⁹	1,9.10 ⁻⁹	1,0.10 ⁻⁹	6,1.10 ⁻¹⁰	4,6.10 ⁻¹⁰
		M	1,000	6,0.10 ⁻⁹	0,800	4,0.10 ⁻⁹	1,8.10 ⁻⁹	1,0.10 ⁻⁹	6,8.10 ⁻¹⁰	5,4.10 ⁻¹⁰
Re-188m	0,310 h	F	1,000	1,4.10 ⁻¹⁰	0,800	9,1.10 ⁻¹¹	4,0.10 ⁻¹¹	2,1.10 ⁻¹¹	1,3.10 ⁻¹¹	1,0.10 ⁻¹¹
		M	1,000	1,3.10 ⁻¹⁰	0,800	8,6.10 ⁻¹¹	4,0.10 ⁻¹¹	2,7.10 ⁻¹¹	1,6.10 ⁻¹¹	1,3.10 ⁻¹¹
Re-189	1,01 d	F	1,000	3,7.10 ⁻⁹	0,800	2,5.10 ⁻⁹	1,1.10 ⁻⁹	5,8.10 ⁻¹⁰	3,5.10 ⁻¹⁰	2,7.10 ⁻¹⁰
		M	1,000	3,9.10 ⁻⁹	0,800	2,6.10 ⁻⁹	1,2.10 ⁻⁹	7,6.10 ⁻¹⁰	5,5.10 ⁻¹⁰	4,3.10 ⁻¹⁰
Osmium										

Tabuľka č. 13: Konverzné faktory h_{inh} na prepočet príjmu rádionuklidov inhaláciou na úväzok efektívnej dávky u jednotlivcov z obyvateľstva

prvok nuklid	Polčas premeny	Typ	vek < 1 rok		f_1	h_{inh} (Sv.Bq ⁻¹)				
			f_1	h_{inh}	> 1 rok	1 – 2	2 - 7	7 - 12	12 - 17	> 17 (dospelí)
Os-180	0,366 h	F	0,020	7,1.10 ⁻¹¹	0,010	5,3.10 ⁻¹¹	2,6.10 ⁻¹¹	1,6.10 ⁻¹¹	1,0.10 ⁻¹¹	8,2.10 ⁻¹²
		M	0,020	1,1.10 ⁻¹⁰	0,010	7,9.10 ⁻¹¹	3,9.10 ⁻¹¹	2,5.10 ⁻¹¹	1,7.10 ⁻¹¹	1,4.10 ⁻¹¹
		S	0,020	1,1.10 ⁻¹⁰	0,010	8,2.10 ⁻¹¹	4,1.10 ⁻¹¹	2,6.10 ⁻¹¹	1,8.10 ⁻¹¹	1,5.10 ⁻¹¹
Os-181	1,75 h	F	0,020	3,0.10 ⁻¹⁰	0,010	2,3.10 ⁻¹⁰	1,1.10 ⁻¹⁰	7,0.10 ⁻¹¹	4,1.10 ⁻¹¹	3,3.10 ⁻¹¹
		M	0,020	4,5.10 ⁻¹⁰	0,010	3,4.10 ⁻¹⁰	1,8.10 ⁻¹⁰	1,1.10 ⁻¹⁰	7,6.10 ⁻¹¹	6,2.10 ⁻¹¹
		S	0,020	4,7.10 ⁻¹⁰	0,010	3,6.10 ⁻¹⁰	1,8.10 ⁻¹⁰	1,2.10 ⁻¹⁰	8,1.10 ⁻¹¹	6,5.10 ⁻¹¹
Os-182	22,0 h	F	0,020	1,6.10 ⁻⁹	0,010	1,2.10 ⁻⁹	6,0.10 ⁻¹⁰	3,7.10 ⁻¹⁰	2,1.10 ⁻¹⁰	1,7.10 ⁻¹⁰
		M	0,020	2,5.10 ⁻⁹	0,010	1,9.10 ⁻⁹	1,0.10 ⁻⁹	6,6.10 ⁻¹⁰	4,5.10 ⁻¹⁰	3,6.10 ⁻¹⁰
		S	0,020	2,6.10 ⁻⁹	0,010	2,0.10 ⁻⁹	1,0.10 ⁻⁹	6,9.10 ⁻¹⁰	4,8.10 ⁻¹⁰	3,8.10 ⁻¹⁰
Os-185	94,0 d	F	0,020	7,2.10 ⁻⁹	0,010	5,8.10 ⁻⁹	3,1.10 ⁻⁹	1,9.10 ⁻⁹	1,2.10 ⁻⁹	1,1.10 ⁻⁹
		M	0,020	6,6.10 ⁻⁹	0,010	5,4.10 ⁻⁹	2,9.10 ⁻⁹	2,0.10 ⁻⁹	1,5.10 ⁻⁹	1,3.10 ⁻⁹
		S	0,020	7,0.10 ⁻⁹	0,010	5,8.10 ⁻⁹	3,6.10 ⁻⁹	2,4.10 ⁻⁹	1,9.10 ⁻⁹	1,6.10 ⁻⁹
Os-189m	6,00 h	F	0,020	3,8.10 ⁻¹¹	0,010	2,8.10 ⁻¹¹	1,2.10 ⁻¹¹	7,0.10 ⁻¹²	3,5.10 ⁻¹²	2,5.10 ⁻¹²
		M	0,020	6,5.10 ⁻¹¹	0,010	4,1.10 ⁻¹¹	1,8.10 ⁻¹¹	1,1.10 ⁻¹¹	6,0.10 ⁻¹²	5,0.10 ⁻¹²
		S	0,020	6,8.10 ⁻¹¹	0,010	4,3.10 ⁻¹¹	1,9.10 ⁻¹¹	1,2.10 ⁻¹¹	6,3.10 ⁻¹²	5,3.10 ⁻¹²
Os-191	15,4 d	F	0,020	2,8.10 ⁻⁹	0,010	1,9.10 ⁻⁹	8,5.10 ⁻¹⁰	5,3.10 ⁻¹⁰	3,0.10 ⁻¹⁰	2,5.10 ⁻¹⁰
		M	0,020	8,0.10 ⁻⁹	0,010	5,8.10 ⁻⁹	3,4.10 ⁻⁹	2,4.10 ⁻⁹	2,0.10 ⁻⁹	1,7.10 ⁻⁹
		S	0,020	9,0.10 ⁻⁹	0,010	6,5.10 ⁻⁹	3,9.10 ⁻⁹	2,7.10 ⁻⁹	2,3.10 ⁻⁹	1,9.10 ⁻⁹
Os-191m	13,0 h	F	0,020	3,0.10 ⁻¹⁰	0,010	2,0.10 ⁻¹⁰	8,8.10 ⁻¹¹	5,4.10 ⁻¹¹	2,9.10 ⁻¹¹	2,4.10 ⁻¹¹
		M	0,020	7,8.10 ⁻¹⁰	0,010	5,4.10 ⁻¹⁰	3,1.10 ⁻¹⁰	2,1.10 ⁻¹⁰	1,7.10 ⁻¹⁰	1,4.10 ⁻¹⁰
		S	0,020	8,5.10 ⁻¹⁰	0,010	6,0.10 ⁻¹⁰	3,4.10 ⁻¹⁰	2,4.10 ⁻¹⁰	2,0.10 ⁻¹⁰	1,6.10 ⁻¹⁰
Os-193	1,25 d	F	0,020	1,9.10 ⁻⁹	0,010	1,2.10 ⁻⁹	5,2.10 ⁻¹⁰	3,2.10 ⁻¹⁰	1,8.10 ⁻¹⁰	1,6.10 ⁻¹⁰
		M	0,020	3,8.10 ⁻⁹	0,010	2,6.10 ⁻⁹	1,3.10 ⁻⁹	8,4.10 ⁻¹⁰	5,9.10 ⁻¹⁰	4,8.10 ⁻¹⁰
		S	0,020	4,0.10 ⁻⁹	0,010	2,7.10 ⁻⁹	1,3.10 ⁻⁹	9,0.10 ⁻¹⁰	6,4.10 ⁻¹⁰	5,2.10 ⁻¹⁰
Os-194	6,00 r	F	0,020	8,7.10 ⁻⁸	0,010	6,8.10 ⁻⁸	3,4.10 ⁻⁸	2,1.10 ⁻⁸	1,3.10 ⁻⁸	1,1.10 ⁻⁸
		M	0,020	9,9.10 ⁻⁸	0,010	8,3.10 ⁻⁸	4,8.10 ⁻⁸	3,1.10 ⁻⁸	2,4.10 ⁻⁸	2,1.10 ⁻⁸
		S	0,020	2,6.10 ⁻⁷	0,010	2,4.10 ⁻⁷	1,6.10 ⁻⁷	1,1.10 ⁻⁷	8,8.10 ⁻⁸	8,5.10 ⁻⁸
Iridium										
Ir-182	0,250 h	F	0,020	1,4.10 ⁻¹⁰	0,010	9,8.10 ⁻¹¹	4,5.10 ⁻¹¹	2,8.10 ⁻¹¹	1,7.10 ⁻¹¹	1,4.10 ⁻¹¹
		M	0,020	2,1.10 ⁻¹⁰	0,010	1,4.10 ⁻¹⁰	6,7.10 ⁻¹¹	4,3.10 ⁻¹¹	2,8.10 ⁻¹¹	2,3.10 ⁻¹¹
		S	0,020	2,2.10 ⁻¹⁰	0,010	1,5.10 ⁻¹⁰	6,9.10 ⁻¹¹	4,4.10 ⁻¹¹	2,9.10 ⁻¹¹	2,4.10 ⁻¹¹
Ir-184	3,02 h	F	0,020	5,7.10 ⁻¹⁰	0,010	4,4.10 ⁻¹⁰	2,1.10 ⁻¹⁰	1,3.10 ⁻¹⁰	7,6.10 ⁻¹¹	6,2.10 ⁻¹¹
		M	0,020	8,6.10 ⁻¹⁰	0,010	6,4.10 ⁻¹⁰	3,2.10 ⁻¹⁰	2,1.10 ⁻¹⁰	1,4.10 ⁻¹⁰	1,1.10 ⁻¹⁰
		S	0,020	8,9.10 ⁻¹⁰	0,010	6,6.10 ⁻¹⁰	3,4.10 ⁻¹⁰	2,2.10 ⁻¹⁰	1,4.10 ⁻¹⁰	1,2.10 ⁻¹⁰
Ir-185	14,0 h	F	0,020	8,0.10 ⁻¹⁰	0,010	6,1.10 ⁻¹⁰	2,9.10 ⁻¹⁰	1,8.10 ⁻¹⁰	1,0.10 ⁻¹⁰	8,2.10 ⁻¹¹
		M	0,020	1,3.10 ⁻⁹	0,010	9,7.10 ⁻¹⁰	4,9.10 ⁻¹⁰	3,2.10 ⁻¹⁰	2,2.10 ⁻¹⁰	1,8.10 ⁻¹⁰
		S	0,020	1,4.10 ⁻⁹	0,010	1,0.10 ⁻⁹	5,2.10 ⁻¹⁰	3,4.10 ⁻¹⁰	2,3.10 ⁻¹⁰	1,9.10 ⁻¹⁰
Ir-186	15,8 h	F	0,020	1,5.10 ⁻⁹	0,010	1,2.10 ⁻⁹	5,9.10 ⁻¹⁰	3,6.10 ⁻¹⁰	2,1.10 ⁻¹⁰	1,7.10 ⁻¹⁰
		M	0,020	2,2.10 ⁻⁹	0,010	1,7.10 ⁻⁹	8,8.10 ⁻¹⁰	5,8.10 ⁻¹⁰	3,8.10 ⁻¹⁰	3,1.10 ⁻¹⁰
		S	0,020	2,3.10 ⁻⁹	0,010	1,8.10 ⁻⁹	9,2.10 ⁻¹⁰	6,0.10 ⁻¹⁰	4,0.10 ⁻¹⁰	3,2.10 ⁻¹⁰
Ir-186	1,75 h	F	0,020	2,1.10 ⁻¹⁰	0,010	1,6.10 ⁻¹⁰	7,7.10 ⁻¹¹	4,8.10 ⁻¹¹	2,8.10 ⁻¹¹	2,3.10 ⁻¹¹
		M	0,020	3,3.10 ⁻¹⁰	0,010	2,4.10 ⁻¹⁰	1,2.10 ⁻¹⁰	7,7.10 ⁻¹¹	5,1.10 ⁻¹¹	4,2.10 ⁻¹¹
		S	0,020	3,4.10 ⁻¹⁰	0,010	2,5.10 ⁻¹⁰	1,2.10 ⁻¹⁰	8,1.10 ⁻¹¹	5,4.10 ⁻¹¹	4,4.10 ⁻¹¹
Ir-187	10,5 h	F	0,020	3,6.10 ⁻¹⁰	0,010	2,8.10 ⁻¹⁰	1,4.10 ⁻¹⁰	8,2.10 ⁻¹¹	4,6.10 ⁻¹¹	3,7.10 ⁻¹¹
		M	0,020	5,8.10 ⁻¹⁰	0,010	4,3.10 ⁻¹⁰	2,2.10 ⁻¹⁰	1,4.10 ⁻¹⁰	9,2.10 ⁻¹¹	7,4.10 ⁻¹¹
		S	0,020	6,0.10 ⁻¹⁰	0,010	4,5.10 ⁻¹⁰	2,3.10 ⁻¹⁰	1,5.10 ⁻¹⁰	9,7.10 ⁻¹¹	7,9.10 ⁻¹¹
Ir-188	1,73 d	F	0,020	2,0.10 ⁻⁹	0,010	1,6.10 ⁻⁹	8,0.10 ⁻¹⁰	5,0.10 ⁻¹⁰	2,9.10 ⁻¹⁰	2,4.10 ⁻¹⁰
		M	0,020	2,7.10 ⁻⁹	0,010	2,1.10 ⁻⁹	1,1.10 ⁻⁹	7,5.10 ⁻¹⁰	5,0.10 ⁻¹⁰	4,0.10 ⁻¹⁰
		S	0,020	2,8.10 ⁻⁹	0,010	2,2.10 ⁻⁹	1,2.10 ⁻⁹	7,8.10 ⁻¹⁰	5,2.10 ⁻¹⁰	4,2.10 ⁻¹⁰
Ir-189	13,3 d	F	0,020	1,2.10 ⁻⁹	0,010	8,2.10 ⁻¹⁰	3,8.10 ⁻¹⁰	2,4.10 ⁻¹⁰	1,3.10 ⁻¹⁰	1,1.10 ⁻¹⁰
		M	0,020	2,7.10 ⁻⁹	0,010	1,9.10 ⁻⁹	1,1.10 ⁻⁹	7,7.10 ⁻¹⁰	6,4.10 ⁻¹⁰	5,2.10 ⁻¹⁰
		S	0,020	3,0.10 ⁻⁹	0,010	2,2.10 ⁻⁹	1,3.10 ⁻⁹	8,7.10 ⁻¹⁰	7,3.10 ⁻¹⁰	6,0.10 ⁻¹⁰
Ir-190	12,1 d	F	0,020	6,2.10 ⁻⁹	0,010	4,7.10 ⁻⁹	2,4.10 ⁻⁹	1,5.10 ⁻⁹	9,1.10 ⁻¹⁰	7,7.10 ⁻¹⁰
		M	0,020	1,1.10 ⁻⁸	0,010	8,6.10 ⁻⁹	4,4.10 ⁻⁹	3,1.10 ⁻⁹	2,7.10 ⁻⁹	2,1.10 ⁻⁹
		S	0,020	1,1.10 ⁻⁸	0,010	9,4.10 ⁻⁹	4,8.10 ⁻⁹	3,5.10 ⁻⁹	3,0.10 ⁻⁹	2,4.10 ⁻⁹
Ir-190m	3,10 h	F	0,020	4,2.10 ⁻¹⁰	0,010	3,4.10 ⁻¹⁰	1,7.10 ⁻¹⁰	1,0.10 ⁻¹⁰	6,0.10 ⁻¹¹	4,9.10 ⁻¹¹
		M	0,020	6,0.10 ⁻¹⁰	0,010	4,7.10 ⁻¹⁰	2,4.10 ⁻¹⁰	1,5.10 ⁻¹⁰	9,9.10 ⁻¹¹	7,9.10 ⁻¹¹
		S	0,020	6,2.10 ⁻¹⁰	0,010	4,8.10 ⁻¹⁰	2,5.10 ⁻¹⁰	1,6.10 ⁻¹⁰	1,0.10 ⁻¹⁰	8,3.10 ⁻¹¹
Ir-190m	1,20 h	F	0,020	3,2.10 ⁻¹¹	0,010	2,4.10 ⁻¹¹	1,2.10 ⁻¹¹	7,2.10 ⁻¹²	4,3.10 ⁻¹²	3,6.10 ⁻¹²

Tabuľka č. 13: Konverzné faktory h_{inh} na prepočet príjmu rádionuklidov inhaláciou na úväzok efektívnej dávky u jednotlivcov z obyvateľstva

prvok nuklid	Polčas premeny	Typ	vek < 1 rok		f_1	h_{inh} (Sv.Bq ⁻¹)				
			f_1	h_{inh}	> 1 rok	1 – 2	2 - 7	7 - 12	12 - 17	> 17 (dospelí)
		M	0,020	5,7.10 ⁻¹¹	0,010	4,2.10 ⁻¹¹	2,0.10 ⁻¹¹	1,4.10 ⁻¹¹	1,2.10 ⁻¹¹	9,3.10 ⁻¹²
		S	0,020	5,5.10 ⁻¹¹	0,010	4,5.10 ⁻¹¹	2,2.10 ⁻¹¹	1,6.10 ⁻¹¹	1,3.10 ⁻¹¹	1,0.10 ⁻¹¹
Ir-192	74,0 d	F	0,020	1,5.10 ⁻⁸	0,010	1,1.10 ⁻⁸	5,7.10 ⁻⁹	3,3.10 ⁻⁹	2,1.10 ⁻⁹	1,8.10 ⁻⁹
		M	0,020	2,3.10 ⁻⁸	0,010	1,8.10 ⁻⁸	1,1.10 ⁻⁸	7,6.10 ⁻⁹	6,4.10 ⁻⁹	5,2.10 ⁻⁹
		S	0,020	2,8.10 ⁻⁸	0,010	2,2.10 ⁻⁸	1,3.10 ⁻⁸	9,5.10 ⁻⁹	8,1.10 ⁻⁹	6,6.10 ⁻⁹
Ir-192m	2,41.10 ² r	F	0,020	2,7.10 ⁻⁸	0,010	2,3.10 ⁻⁸	1,4.10 ⁻⁸	8,2.10 ⁻⁹	5,4.10 ⁻⁹	4,8.10 ⁻⁹
		M	0,020	2,3.10 ⁻⁸	0,010	2,1.10 ⁻⁸	1,3.10 ⁻⁸	8,4.10 ⁻⁹	6,6.10 ⁻⁹	5,8.10 ⁻⁹
		S	0,020	9,2.10 ⁻⁸	0,010	9,1.10 ⁻⁸	6,5.10 ⁻⁸	4,5.10 ⁻⁸	4,0.10 ⁻⁸	3,9.10 ⁻⁸
Ir-193m	11,9 d	F	0,020	1,2.10 ⁻⁹	0,010	8,4.10 ⁻¹⁰	3,7.10 ⁻¹⁰	2,2.10 ⁻¹⁰	1,2.10 ⁻¹⁰	1,0.10 ⁻¹⁰
		M	0,020	4,8.10 ⁻⁹	0,010	3,5.10 ⁻⁹	2,1.10 ⁻⁹	1,5.10 ⁻⁹	1,4.10 ⁻⁹	1,1.10 ⁻⁹
		S	0,020	5,4.10 ⁻⁹	0,010	4,0.10 ⁻⁹	2,4.10 ⁻⁹	1,8.10 ⁻⁹	1,6.10 ⁻⁹	1,3.10 ⁻⁹
Ir-194	19,1 h	F	0,020	2,9.10 ⁻⁹	0,010	1,9.10 ⁻⁹	8,1.10 ⁻¹⁰	4,9.10 ⁻¹⁰	2,5.10 ⁻¹⁰	2,1.10 ⁻¹⁰
		M	0,020	5,3.10 ⁻⁹	0,010	3,5.10 ⁻⁹	1,6.10 ⁻⁹	1,0.10 ⁻⁹	6,3.10 ⁻¹⁰	5,2.10 ⁻¹⁰
		S	0,020	5,5.10 ⁻⁹	0,010	3,7.10 ⁻⁹	1,7.10 ⁻⁹	1,1.10 ⁻⁹	6,7.10 ⁻¹⁰	5,6.10 ⁻¹⁰
Ir-194m	171 d	F	0,020	3,4.10 ⁻⁸	0,010	2,7.10 ⁻⁸	1,4.10 ⁻⁸	9,5.10 ⁻⁹	6,2.10 ⁻⁹	5,4.10 ⁻⁹
		M	0,020	3,9.10 ⁻⁸	0,010	3,2.10 ⁻⁸	1,9.10 ⁻⁸	1,3.10 ⁻⁸	1,1.10 ⁻⁸	9,0.10 ⁻⁹
		S	0,020	5,0.10 ⁻⁸	0,010	4,2.10 ⁻⁸	2,6.10 ⁻⁸	1,8.10 ⁻⁸	1,5.10 ⁻⁸	1,3.10 ⁻⁸
Ir-195	2,50 h	F	0,020	2,9.10 ⁻¹⁰	0,010	1,9.10 ⁻¹⁰	8,1.10 ⁻¹¹	5,1.10 ⁻¹¹	2,9.10 ⁻¹¹	2,4.10 ⁻¹¹
		M	0,020	5,4.10 ⁻¹⁰	0,010	3,6.10 ⁻¹⁰	1,7.10 ⁻¹⁰	1,1.10 ⁻¹⁰	8,1.10 ⁻¹¹	6,7.10 ⁻¹¹
		S	0,020	5,7.10 ⁻¹⁰	0,010	3,8.10 ⁻¹⁰	1,8.10 ⁻¹⁰	1,2.10 ⁻¹⁰	8,7.10 ⁻¹¹	7,1.10 ⁻¹¹
Ir-195m	3,80 h	F	0,020	6,9.10 ⁻¹⁰	0,010	4,8.10 ⁻¹⁰	2,1.10 ⁻¹⁰	1,3.10 ⁻¹⁰	7,2.10 ⁻¹¹	6,0.10 ⁻¹¹
		M	0,020	1,2.10 ⁻⁹	0,010	8,6.10 ⁻¹⁰	4,2.10 ⁻¹⁰	2,7.10 ⁻¹⁰	1,9.10 ⁻¹⁰	1,6.10 ⁻¹⁰
		S	0,020	1,3.10 ⁻⁹	0,010	9,0.10 ⁻¹⁰	4,4.10 ⁻¹⁰	2,9.10 ⁻¹⁰	2,0.10 ⁻¹⁰	1,7.10 ⁻¹⁰
Platina										
Pt-186	2,00 h	F	0,020	3,0.10 ⁻¹⁰	0,010	2,4.10 ⁻¹⁰	1,2.10 ⁻¹⁰	7,2.10 ⁻¹¹	4,1.10 ⁻¹¹	3,3.10 ⁻¹¹
Pt-188	10,2 d	F	0,020	3,6.10 ⁻⁹	0,010	2,7.10 ⁻⁹	1,3.10 ⁻⁹	8,4.10 ⁻¹⁰	5,0.10 ⁻¹⁰	4,2.10 ⁻¹⁰
Pt-189	10,9 h	F	0,020	3,8.10 ⁻¹⁰	0,010	2,9.10 ⁻¹⁰	1,4.10 ⁻¹⁰	8,4.10 ⁻¹¹	4,7.10 ⁻¹¹	3,8.10 ⁻¹¹
Pt-191	2,80 d	F	0,020	1,1.10 ⁻⁹	0,010	7,9.10 ⁻¹⁰	3,7.10 ⁻¹⁰	2,3.10 ⁻¹⁰	1,3.10 ⁻¹⁰	1,1.10 ⁻¹⁰
Pt-193	50,0 r	F	0,020	2,2.10 ⁻¹⁰	0,010	1,6.10 ⁻¹⁰	7,2.10 ⁻¹¹	4,3.10 ⁻¹¹	2,5.10 ⁻¹¹	2,1.10 ⁻¹¹
Pt-193m	4,33 d	F	0,020	1,6.10 ⁻⁹	0,010	1,0.10 ⁻⁹	4,5.10 ⁻¹⁰	2,7.10 ⁻¹⁰	1,4.10 ⁻¹⁰	1,2.10 ⁻¹⁰
Pt-195m	4,02 d	F	0,020	2,2.10 ⁻⁹	0,010	1,5.10 ⁻⁹	6,4.10 ⁻¹⁰	3,9.10 ⁻¹⁰	2,1.10 ⁻¹⁰	1,8.10 ⁻¹⁰
Pt-197	18,3 h	F	0,020	1,1.10 ⁻⁹	0,010	7,3.10 ⁻¹⁰	3,1.10 ⁻¹⁰	1,9.10 ⁻¹⁰	1,0.10 ⁻¹⁰	8,5.10 ⁻¹¹
Pt-197m	1,57 h	F	0,020	2,8.10 ⁻¹⁰	0,010	1,8.10 ⁻¹⁰	7,9.10 ⁻¹¹	4,9.10 ⁻¹¹	2,8.10 ⁻¹¹	2,4.10 ⁻¹¹
Pt-199	0,513 h	F	0,020	1,3.10 ⁻¹⁰	0,010	8,3.10 ⁻¹¹	3,6.10 ⁻¹¹	2,3.10 ⁻¹¹	1,4.10 ⁻¹¹	1,2.10 ⁻¹¹
Pt-200	12,5 h	F	0,020	2,6.10 ⁻⁹	0,010	1,7.10 ⁻⁹	7,2.10 ⁻¹⁰	5,1.10 ⁻¹⁰	2,6.10 ⁻¹⁰	2,2.10 ⁻¹⁰
Zlato										
Au-193	17,6 h	F	0,200	3,7.10 ⁻¹⁰	0,100	2,8.10 ⁻¹⁰	1,3.10 ⁻¹⁰	7,9.10 ⁻¹¹	4,3.10 ⁻¹¹	3,6.10 ⁻¹¹
		M	0,200	7,5.10 ⁻¹⁰	0,100	5,6.10 ⁻¹⁰	2,8.10 ⁻¹⁰	1,9.10 ⁻¹⁰	1,4.10 ⁻¹⁰	1,1.10 ⁻¹⁰
		S	0,200	7,9.10 ⁻¹⁰	0,100	5,9.10 ⁻¹⁰	3,0.10 ⁻¹⁰	2,0.10 ⁻¹⁰	1,5.10 ⁻¹⁰	1,2.10 ⁻¹⁰
Au-194	1,64 d	F	0,200	1,2.10 ⁻⁹	0,100	9,6.10 ⁻¹⁰	4,9.10 ⁻¹⁰	3,0.10 ⁻¹⁰	1,8.10 ⁻¹⁰	1,4.10 ⁻¹⁰
		M	0,200	1,7.10 ⁻⁹	0,100	1,4.10 ⁻⁹	7,1.10 ⁻¹⁰	4,6.10 ⁻¹⁰	2,9.10 ⁻¹⁰	2,3.10 ⁻¹⁰
		S	0,200	1,7.10 ⁻⁹	0,100	1,4.10 ⁻⁹	7,3.10 ⁻¹⁰	4,7.10 ⁻¹⁰	3,0.10 ⁻¹⁰	2,4.10 ⁻¹⁰
Au-195	183 d	F	0,200	7,2.10 ⁻¹⁰	0,100	5,3.10 ⁻¹⁰	2,5.10 ⁻¹⁰	1,5.10 ⁻¹⁰	8,1.10 ⁻¹¹	6,6.10 ⁻¹¹
		M	0,200	5,2.10 ⁻⁹	0,100	4,1.10 ⁻⁹	2,4.10 ⁻⁹	1,6.10 ⁻⁹	1,4.10 ⁻⁹	1,1.10 ⁻⁹
		S	0,200	8,1.10 ⁻⁹	0,100	6,6.10 ⁻⁹	3,9.10 ⁻⁹	2,6.10 ⁻⁹	2,1.10 ⁻⁹	1,7.10 ⁻⁹
Au-198	2,69 d	F	0,200	2,4.10 ⁻⁹	0,100	1,7.10 ⁻⁹	7,6.10 ⁻¹⁰	4,7.10 ⁻¹⁰	2,5.10 ⁻¹⁰	2,1.10 ⁻¹⁰
		M	0,200	5,0.10 ⁻⁹	0,100	4,1.10 ⁻⁹	1,9.10 ⁻⁹	1,3.10 ⁻⁹	9,7.10 ⁻¹⁰	7,8.10 ⁻¹⁰
		S	0,200	5,4.10 ⁻⁹	0,100	4,4.10 ⁻⁹	2,0.10 ⁻⁹	1,4.10 ⁻⁹	1,1.10 ⁻⁹	8,6.10 ⁻¹⁰
Au-198m	2,30 d	F	0,200	3,3.10 ⁻⁹	0,100	2,4.10 ⁻⁹	1,1.10 ⁻⁹	6,9.10 ⁻¹⁰	3,7.10 ⁻¹⁰	3,2.10 ⁻¹⁰
		M	0,200	8,7.10 ⁻⁹	0,100	6,5.10 ⁻⁹	3,6.10 ⁻⁹	2,6.10 ⁻⁹	2,2.10 ⁻⁹	1,8.10 ⁻⁹
		S	0,200	9,5.10 ⁻⁹	0,100	7,1.10 ⁻⁹	4,0.10 ⁻⁹	2,9.10 ⁻⁹	2,5.10 ⁻⁹	2,0.10 ⁻⁹
Au-199	3,14 d	F	0,200	1,1.10 ⁻⁹	0,100	7,9.10 ⁻¹⁰	3,5.10 ⁻¹⁰	2,2.10 ⁻¹⁰	1,1.10 ⁻¹⁰	9,8.10 ⁻¹¹
		M	0,200	3,4.10 ⁻⁹	0,100	2,5.10 ⁻⁹	1,4.10 ⁻⁹	1,0.10 ⁻⁹	9,0.10 ⁻¹⁰	7,1.10 ⁻¹⁰
		S	0,200	3,8.10 ⁻⁹	0,100	2,8.10 ⁻⁹	1,6.10 ⁻⁹	1,2.10 ⁻⁹	1,0.10 ⁻⁹	7,9.10 ⁻¹⁰
Au-200	0,807 h	F	0,200	1,9.10 ⁻¹⁰	0,100	1,2.10 ⁻¹⁰	5,2.10 ⁻¹¹	3,2.10 ⁻¹¹	1,9.10 ⁻¹¹	1,6.10 ⁻¹¹
		M	0,200	3,2.10 ⁻¹⁰	0,100	2,1.10 ⁻¹⁰	9,3.10 ⁻¹¹	6,0.10 ⁻¹¹	4,0.10 ⁻¹¹	3,3.10 ⁻¹¹
		S	0,200	3,4.10 ⁻¹⁰	0,100	2,1.10 ⁻¹⁰	9,8.10 ⁻¹¹	6,3.10 ⁻¹¹	4,2.10 ⁻¹¹	3,5.10 ⁻¹¹
Au-200m	18,7 h	F	0,200	2,7.10 ⁻⁹	0,100	2,1.10 ⁻⁹	1,0.10 ⁻⁹	6,4.10 ⁻¹⁰	3,6.10 ⁻¹⁰	2,9.10 ⁻¹⁰
		M	0,200	4,8.10 ⁻⁹	0,100	3,7.10 ⁻⁹	1,9.10 ⁻⁹	1,2.10 ⁻⁹	8,4.10 ⁻¹⁰	6,8.10 ⁻¹⁰

Tabuľka č. 13: Konverzné faktory h_{inh} na prepočet príjmu rádionuklidov inhaláciou na úväzok efektívnej dávky u jednotlivcov z obyvateľstva

prvok nuklid	Polčas premeny	Typ	vek < 1 rok		f_1	h_{inh} (Sv.Bq ⁻¹)				
			f_1	h_{inh}	> 1 rok	1 – 2	2 - 7	7 - 12	12 - 17	> 17 (dospelí)
		S	0,200	$5,1 \cdot 10^{-9}$	0,100	$3,9 \cdot 10^{-9}$	$2,0 \cdot 10^{-9}$	$1,3 \cdot 10^{-9}$	$8,9 \cdot 10^{-10}$	$7,2 \cdot 10^{-10}$
Au-201	0,440 h	F	0,200	$9,0 \cdot 10^{-11}$	0,100	$5,7 \cdot 10^{-11}$	$2,5 \cdot 10^{-11}$	$1,6 \cdot 10^{-11}$	$1,0 \cdot 10^{-11}$	$8,7 \cdot 10^{-12}$
		M	0,200	$1,5 \cdot 10^{-10}$	0,100	$9,6 \cdot 10^{-11}$	$4,3 \cdot 10^{-11}$	$2,9 \cdot 10^{-11}$	$2,0 \cdot 10^{-11}$	$1,7 \cdot 10^{-11}$
		S	0,200	$1,5 \cdot 10^{-10}$	0,100	$1,0 \cdot 10^{-10}$	$4,5 \cdot 10^{-11}$	$3,0 \cdot 10^{-11}$	$2,1 \cdot 10^{-11}$	$1,7 \cdot 10^{-11}$
Ortuť										
Hg-193 (organická)	3,50 h	F	0,800	$2,2 \cdot 10^{-10}$	0,400	$1,8 \cdot 10^{-10}$	$8,2 \cdot 10^{-11}$	$5,0 \cdot 10^{-11}$	$2,9 \cdot 10^{-11}$	$2,4 \cdot 10^{-11}$
Hg-193 (anorganická)	3,50 h	F	0,040	$2,7 \cdot 10^{-10}$	0,020	$2,0 \cdot 10^{-10}$	$8,9 \cdot 10^{-11}$	$5,5 \cdot 10^{-11}$	$3,1 \cdot 10^{-11}$	$2,6 \cdot 10^{-11}$
		M	0,040	$5,3 \cdot 10^{-10}$	0,020	$3,8 \cdot 10^{-10}$	$1,9 \cdot 10^{-10}$	$1,3 \cdot 10^{-10}$	$9,2 \cdot 10^{-11}$	$7,5 \cdot 10^{-11}$
Hg-193m (organická)	11,1 h	F	0,800	$8,4 \cdot 10^{-10}$	0,400	$7,6 \cdot 10^{-10}$	$3,7 \cdot 10^{-10}$	$2,2 \cdot 10^{-10}$	$1,3 \cdot 10^{-10}$	$1,0 \cdot 10^{-10}$
Hg-193m (anorganická)	11,1 h	F	0,040	$1,1 \cdot 10^{-9}$	0,020	$8,5 \cdot 10^{-10}$	$4,1 \cdot 10^{-10}$	$2,5 \cdot 10^{-10}$	$1,4 \cdot 10^{-10}$	$1,1 \cdot 10^{-10}$
		M	0,040	$1,9 \cdot 10^{-9}$	0,020	$1,4 \cdot 10^{-9}$	$7,2 \cdot 10^{-10}$	$4,7 \cdot 10^{-10}$	$3,2 \cdot 10^{-10}$	$2,6 \cdot 10^{-10}$
Hg-194 (organická)	$2,60 \cdot 10^2$ r	F	0,800	$4,9 \cdot 10^{-8}$	0,400	$3,7 \cdot 10^{-8}$	$2,4 \cdot 10^{-8}$	$1,9 \cdot 10^{-8}$	$1,5 \cdot 10^{-8}$	$1,4 \cdot 10^{-8}$
Hg-194 (anorganická)	$2,60 \cdot 10^2$ r	F	0,040	$3,2 \cdot 10^{-8}$	0,020	$2,9 \cdot 10^{-8}$	$2,0 \cdot 10^{-8}$	$1,6 \cdot 10^{-8}$	$1,4 \cdot 10^{-8}$	$1,3 \cdot 10^{-8}$
		M	0,040	$2,1 \cdot 10^{-8}$	0,020	$1,9 \cdot 10^{-8}$	$1,3 \cdot 10^{-8}$	$1,0 \cdot 10^{-8}$	$8,9 \cdot 10^{-9}$	$8,3 \cdot 10^{-9}$
Hg-195 (organická)	9,90 h	F	0,800	$2,0 \cdot 10^{-10}$	0,400	$1,8 \cdot 10^{-10}$	$8,5 \cdot 10^{-11}$	$5,1 \cdot 10^{-11}$	$2,8 \cdot 10^{-11}$	$2,3 \cdot 10^{-11}$
Hg-195 (anorganická)	9,90 h	F	0,040	$2,7 \cdot 10^{-10}$	0,020	$2,0 \cdot 10^{-10}$	$9,5 \cdot 10^{-11}$	$5,7 \cdot 10^{-11}$	$3,1 \cdot 10^{-11}$	$2,5 \cdot 10^{-11}$
		M	0,040	$5,3 \cdot 10^{-10}$	0,020	$3,9 \cdot 10^{-10}$	$2,0 \cdot 10^{-10}$	$1,3 \cdot 10^{-10}$	$9,0 \cdot 10^{-11}$	$7,3 \cdot 10^{-11}$
Hg-195m (organická)	1,73 d	F	0,800	$1,1 \cdot 10^{-9}$	0,400	$9,7 \cdot 10^{-10}$	$4,4 \cdot 10^{-10}$	$2,7 \cdot 10^{-10}$	$1,4 \cdot 10^{-10}$	$1,2 \cdot 10^{-10}$
Hg-195m (anorganická)	1,73 d	F	0,040	$1,6 \cdot 10^{-9}$	0,020	$1,1 \cdot 10^{-9}$	$5,1 \cdot 10^{-10}$	$3,1 \cdot 10^{-10}$	$1,7 \cdot 10^{-10}$	$1,4 \cdot 10^{-10}$
		M	0,040	$3,7 \cdot 10^{-9}$	0,020	$2,6 \cdot 10^{-9}$	$1,4 \cdot 10^{-9}$	$8,5 \cdot 10^{-10}$	$6,7 \cdot 10^{-10}$	$5,3 \cdot 10^{-10}$
Hg-197 (organická)	2,67 d	F	0,800	$4,7 \cdot 10^{-10}$	0,400	$4,0 \cdot 10^{-10}$	$1,8 \cdot 10^{-10}$	$1,1 \cdot 10^{-10}$	$5,8 \cdot 10^{-11}$	$4,7 \cdot 10^{-11}$
Hg-197 (anorganická)	2,67 d	F	0,040	$6,8 \cdot 10^{-10}$	0,020	$4,7 \cdot 10^{-10}$	$2,1 \cdot 10^{-10}$	$1,3 \cdot 10^{-10}$	$6,8 \cdot 10^{-11}$	$5,6 \cdot 10^{-11}$
		M	0,040	$1,7 \cdot 10^{-9}$	0,020	$1,2 \cdot 10^{-9}$	$6,6 \cdot 10^{-10}$	$4,6 \cdot 10^{-10}$	$3,8 \cdot 10^{-10}$	$3,0 \cdot 10^{-10}$
Hg-197m (organická)	23,8 h	F	0,800	$9,3 \cdot 10^{-10}$	0,400	$7,8 \cdot 10^{-10}$	$3,4 \cdot 10^{-10}$	$2,1 \cdot 10^{-10}$	$1,1 \cdot 10^{-10}$	$9,6 \cdot 10^{-11}$
Hg-197m (anorganická)	23,8 h	F	0,040	$1,4 \cdot 10^{-9}$	0,020	$9,3 \cdot 10^{-10}$	$4,0 \cdot 10^{-10}$	$2,5 \cdot 10^{-10}$	$1,3 \cdot 10^{-10}$	$1,1 \cdot 10^{-10}$
		M	0,040	$3,5 \cdot 10^{-9}$	0,020	$2,5 \cdot 10^{-9}$	$1,1 \cdot 10^{-9}$	$8,2 \cdot 10^{-10}$	$6,7 \cdot 10^{-10}$	$5,3 \cdot 10^{-10}$
Hg-199m (organická)	0,7 10 h	F	0,800	$1,4 \cdot 10^{-10}$	0,400	$9,6 \cdot 10^{-11}$	$4,2 \cdot 10^{-11}$	$2,7 \cdot 10^{-11}$	$1,7 \cdot 10^{-11}$	$1,5 \cdot 10^{-11}$
Hg-199m (anorganická)	0,7 10 h	F	0,040	$1,4 \cdot 10^{-10}$	0,020	$9,6 \cdot 10^{-11}$	$4,2 \cdot 10^{-11}$	$2,7 \cdot 10^{-11}$	$1,7 \cdot 10^{-11}$	$1,5 \cdot 10^{-11}$
		M	0,040	$2,5 \cdot 10^{-10}$	0,020	$1,7 \cdot 10^{-10}$	$7,9 \cdot 10^{-11}$	$5,4 \cdot 10^{-11}$	$3,8 \cdot 10^{-11}$	$3,2 \cdot 10^{-11}$
Hg-203 (organická)	46,6 d	F	0,800	$5,7 \cdot 10^{-9}$	0,400	$3,7 \cdot 10^{-9}$	$1,7 \cdot 10^{-9}$	$1,1 \cdot 10^{-9}$	$6,6 \cdot 10^{-10}$	$5,6 \cdot 10^{-10}$
Hg-203 (anorganická)	46,6 d	F	0,040	$4,2 \cdot 10^{-9}$	0,020	$2,9 \cdot 10^{-9}$	$1,4 \cdot 10^{-9}$	$9,0 \cdot 10^{-10}$	$5,5 \cdot 10^{-10}$	$4,6 \cdot 10^{-10}$
		M	0,040	$1,0 \cdot 10^{-8}$	0,020	$7,9 \cdot 10^{-9}$	$4,7 \cdot 10^{-9}$	$3,4 \cdot 10^{-9}$	$3,0 \cdot 10^{-9}$	$2,4 \cdot 10^{-9}$
Tárium										
Tl-194	0,550 h	F	1,000	$3,6 \cdot 10^{-11}$	1,000	$3,0 \cdot 10^{-11}$	$1,5 \cdot 10^{-11}$	$9,2 \cdot 10^{-12}$	$5,5 \cdot 10^{-12}$	$4,4 \cdot 10^{-12}$
Tl-194m	0,546 h	F	1,000	$1,7 \cdot 10^{-10}$	1,000	$1,2 \cdot 10^{-10}$	$6,1 \cdot 10^{-11}$	$3,8 \cdot 10^{-11}$	$2,3 \cdot 10^{-11}$	$1,9 \cdot 10^{-11}$
Tl-195	1,16 h	F	1,000	$1,3 \cdot 10^{-10}$	1,000	$1,0 \cdot 10^{-10}$	$5,3 \cdot 10^{-11}$	$3,2 \cdot 10^{-11}$	$1,9 \cdot 10^{-11}$	$1,5 \cdot 10^{-11}$
Tl-197	2,84 h	F	1,000	$1,3 \cdot 10^{-10}$	1,000	$9,7 \cdot 10^{-11}$	$4,7 \cdot 10^{-11}$	$2,9 \cdot 10^{-11}$	$1,7 \cdot 10^{-11}$	$1,4 \cdot 10^{-11}$
Tl-198	5,30 h	F	1,000	$4,7 \cdot 10^{-10}$	1,000	$4,0 \cdot 10^{-10}$	$2,1 \cdot 10^{-10}$	$1,3 \cdot 10^{-10}$	$7,5 \cdot 10^{-11}$	$6,0 \cdot 10^{-11}$
Tl-198m	1,87 h	F	1,000	$3,2 \cdot 10^{-10}$	1,000	$2,5 \cdot 10^{-10}$	$1,2 \cdot 10^{-10}$	$7,5 \cdot 10^{-11}$	$4,5 \cdot 10^{-11}$	$3,7 \cdot 10^{-11}$
Tl-199	7,42 h	F	1,000	$1,7 \cdot 10^{-10}$	1,000	$1,3 \cdot 10^{-10}$	$6,4 \cdot 10^{-11}$	$3,9 \cdot 10^{-11}$	$2,3 \cdot 10^{-11}$	$1,9 \cdot 10^{-11}$
Tl-200	1,09 d	F	1,000	$1,0 \cdot 10^{-9}$	1,000	$8,7 \cdot 10^{-10}$	$4,6 \cdot 10^{-10}$	$2,8 \cdot 10^{-10}$	$1,6 \cdot 10^{-10}$	$1,3 \cdot 10^{-10}$
Tl-201	3,04 d	F	1,000	$4,5 \cdot 10^{-10}$	1,000	$3,3 \cdot 10^{-10}$	$1,5 \cdot 10^{-10}$	$9,4 \cdot 10^{-11}$	$5,4 \cdot 10^{-11}$	$4,4 \cdot 10^{-11}$

Tabuľka č. 13: Konverzné faktory h_{inh} na prepočet príjmu rádionuklidov inhaláciou na úväzok efektívnej dávky u jednotlivcov z obyvateľstva

prvok nuklid	Polčas premeny	Typ	vek < 1 rok		f_1 > 1 rok	h_{inh} (Sv.Bq ⁻¹)				
			f_1	h_{inh}		1 – 2	2 - 7	7 - 12	12 - 17	> 17 (dospelí)
Tl-202	12,2 d	F	1,000	$1,5 \cdot 10^{-9}$	1,000	$1,2 \cdot 10^{-9}$	$5,9 \cdot 10^{-10}$	$3,8 \cdot 10^{-10}$	$2,3 \cdot 10^{-10}$	$1,9 \cdot 10^{-10}$
Tl-204	3,78 r	F	1,000	$5,0 \cdot 10^{-9}$	1,000	$3,3 \cdot 10^{-9}$	$1,5 \cdot 10^{-9}$	$8,8 \cdot 10^{-10}$	$4,7 \cdot 10^{-10}$	$3,9 \cdot 10^{-10}$
Olovo										
Pb-195m	0,263 h	F	0,600	$1,3 \cdot 10^{-10}$	0,200	$1,0 \cdot 10^{-10}$	$4,9 \cdot 10^{-11}$	$3,1 \cdot 10^{-11}$	$1,9 \cdot 10^{-11}$	$1,6 \cdot 10^{-11}$
		M	0,200	$2,0 \cdot 10^{-10}$	0,100	$1,5 \cdot 10^{-10}$	$7,1 \cdot 10^{-11}$	$4,6 \cdot 10^{-11}$	$3,1 \cdot 10^{-11}$	$2,5 \cdot 10^{-11}$
		S	0,020	$2,1 \cdot 10^{-10}$	0,010	$1,5 \cdot 10^{-10}$	$7,4 \cdot 10^{-11}$	$4,8 \cdot 10^{-11}$	$3,2 \cdot 10^{-11}$	$2,7 \cdot 10^{-11}$
Pb-198	2,40 h	F	0,600	$3,4 \cdot 10^{-10}$	0,200	$2,9 \cdot 10^{-10}$	$1,5 \cdot 10^{-10}$	$8,9 \cdot 10^{-11}$	$5,2 \cdot 10^{-11}$	$4,3 \cdot 10^{-11}$
		M	0,200	$5,0 \cdot 10^{-10}$	0,100	$4,0 \cdot 10^{-10}$	$2,1 \cdot 10^{-10}$	$1,3 \cdot 10^{-10}$	$8,3 \cdot 10^{-11}$	$6,6 \cdot 10^{-11}$
		S	0,020	$5,4 \cdot 10^{-10}$	0,010	$4,2 \cdot 10^{-10}$	$2,2 \cdot 10^{-10}$	$1,4 \cdot 10^{-10}$	$8,7 \cdot 10^{-11}$	$7,0 \cdot 10^{-11}$
Pb-199	1,50 h	F	0,600	$1,9 \cdot 10^{-10}$	0,200	$1,6 \cdot 10^{-10}$	$8,2 \cdot 10^{-11}$	$4,9 \cdot 10^{-11}$	$2,9 \cdot 10^{-11}$	$2,3 \cdot 10^{-11}$
		M	0,200	$2,8 \cdot 10^{-10}$	0,100	$2,2 \cdot 10^{-10}$	$1,1 \cdot 10^{-10}$	$7,1 \cdot 10^{-11}$	$4,5 \cdot 10^{-11}$	$3,6 \cdot 10^{-11}$
		S	0,020	$2,9 \cdot 10^{-10}$	0,010	$2,3 \cdot 10^{-10}$	$1,2 \cdot 10^{-10}$	$7,4 \cdot 10^{-11}$	$4,7 \cdot 10^{-11}$	$3,7 \cdot 10^{-11}$
Pb-200	21,5 h	F	0,600	$1,1 \cdot 10^{-9}$	0,200	$9,3 \cdot 10^{-10}$	$4,6 \cdot 10^{-10}$	$2,8 \cdot 10^{-10}$	$1,6 \cdot 10^{-10}$	$1,4 \cdot 10^{-10}$
		M	0,200	$2,2 \cdot 10^{-9}$	0,100	$1,7 \cdot 10^{-9}$	$8,6 \cdot 10^{-10}$	$5,7 \cdot 10^{-10}$	$4,1 \cdot 10^{-10}$	$3,3 \cdot 10^{-10}$
		S	0,020	$2,4 \cdot 10^{-9}$	0,010	$1,8 \cdot 10^{-9}$	$9,2 \cdot 10^{-10}$	$6,2 \cdot 10^{-10}$	$4,4 \cdot 10^{-10}$	$3,5 \cdot 10^{-10}$
Pb-201	9,40 h	F	0,600	$4,8 \cdot 10^{-10}$	0,200	$4,1 \cdot 10^{-10}$	$2,0 \cdot 10^{-10}$	$1,2 \cdot 10^{-10}$	$7,1 \cdot 10^{-11}$	$6,0 \cdot 10^{-11}$
		M	0,200	$8,0 \cdot 10^{-10}$	0,100	$6,4 \cdot 10^{-10}$	$3,3 \cdot 10^{-10}$	$2,1 \cdot 10^{-10}$	$1,4 \cdot 10^{-10}$	$1,1 \cdot 10^{-10}$
		S	0,020	$8,8 \cdot 10^{-10}$	0,010	$6,7 \cdot 10^{-10}$	$3,5 \cdot 10^{-10}$	$2,2 \cdot 10^{-10}$	$1,5 \cdot 10^{-10}$	$1,2 \cdot 10^{-10}$
Pb-202	$3,00 \cdot 10^5$ r	F	0,600	$1,9 \cdot 10^{-8}$	0,200	$1,3 \cdot 10^{-8}$	$8,9 \cdot 10^{-9}$	$1,3 \cdot 10^{-8}$	$1,8 \cdot 10^{-8}$	$1,1 \cdot 10^{-8}$
		M	0,200	$1,2 \cdot 10^{-8}$	0,100	$8,9 \cdot 10^{-9}$	$6,2 \cdot 10^{-9}$	$6,7 \cdot 10^{-9}$	$8,7 \cdot 10^{-9}$	$6,3 \cdot 10^{-9}$
		S	0,020	$2,8 \cdot 10^{-8}$	0,010	$2,8 \cdot 10^{-8}$	$2,0 \cdot 10^{-8}$	$1,4 \cdot 10^{-8}$	$1,3 \cdot 10^{-8}$	$1,2 \cdot 10^{-8}$
Pb-202m	3,62 h	F	0,600	$4,7 \cdot 10^{-10}$	0,200	$4,0 \cdot 10^{-10}$	$2,1 \cdot 10^{-10}$	$1,3 \cdot 10^{-10}$	$7,5 \cdot 10^{-11}$	$6,2 \cdot 10^{-11}$
		M	0,200	$6,9 \cdot 10^{-10}$	0,100	$5,6 \cdot 10^{-10}$	$2,9 \cdot 10^{-10}$	$1,9 \cdot 10^{-10}$	$1,2 \cdot 10^{-10}$	$9,5 \cdot 10^{-11}$
		S	0,020	$7,3 \cdot 10^{-10}$	0,010	$5,8 \cdot 10^{-10}$	$3,0 \cdot 10^{-10}$	$1,9 \cdot 10^{-10}$	$1,3 \cdot 10^{-10}$	$1,0 \cdot 10^{-10}$
Pb-203	2,17 d	F	0,600	$7,2 \cdot 10^{-10}$	0,200	$5,8 \cdot 10^{-10}$	$2,8 \cdot 10^{-10}$	$1,7 \cdot 10^{-10}$	$9,9 \cdot 10^{-11}$	$8,5 \cdot 10^{-11}$
		M	0,200	$1,3 \cdot 10^{-9}$	0,100	$1,0 \cdot 10^{-9}$	$5,4 \cdot 10^{-10}$	$3,6 \cdot 10^{-10}$	$2,5 \cdot 10^{-10}$	$2,0 \cdot 10^{-10}$
		S	0,020	$1,5 \cdot 10^{-9}$	0,010	$1,1 \cdot 10^{-9}$	$5,8 \cdot 10^{-10}$	$3,8 \cdot 10^{-10}$	$2,8 \cdot 10^{-10}$	$2,2 \cdot 10^{-10}$
Pb-205	$1,43 \cdot 10^7$ r	F	0,600	$1,1 \cdot 10^{-9}$	0,200	$6,9 \cdot 10^{-10}$	$4,0 \cdot 10^{-10}$	$4,1 \cdot 10^{-10}$	$4,3 \cdot 10^{-10}$	$3,3 \cdot 10^{-10}$
		M	0,200	$1,1 \cdot 10^{-9}$	0,100	$7,7 \cdot 10^{-10}$	$4,3 \cdot 10^{-10}$	$3,2 \cdot 10^{-10}$	$2,9 \cdot 10^{-10}$	$2,5 \cdot 10^{-10}$
		S	0,020	$2,9 \cdot 10^{-9}$	0,010	$2,7 \cdot 10^{-9}$	$1,7 \cdot 10^{-9}$	$1,1 \cdot 10^{-9}$	$9,2 \cdot 10^{-10}$	$8,5 \cdot 10^{-10}$
Pb-209	3,25 h	F	0,600	$1,8 \cdot 10^{-10}$	0,200	$1,2 \cdot 10^{-10}$	$5,3 \cdot 10^{-11}$	$3,4 \cdot 10^{-11}$	$1,9 \cdot 10^{-11}$	$1,7 \cdot 10^{-11}$
		M	0,200	$4,0 \cdot 10^{-10}$	0,100	$2,7 \cdot 10^{-10}$	$1,3 \cdot 10^{-10}$	$9,2 \cdot 10^{-11}$	$6,9 \cdot 10^{-11}$	$5,6 \cdot 10^{-11}$
		S	0,020	$4,4 \cdot 10^{-10}$	0,010	$2,9 \cdot 10^{-10}$	$1,4 \cdot 10^{-10}$	$9,9 \cdot 10^{-11}$	$7,5 \cdot 10^{-11}$	$6,1 \cdot 10^{-11}$
Pb-210	22,3 r	F	0,600	$4,7 \cdot 10^{-6}$	0,200	$2,9 \cdot 10^{-6}$	$1,5 \cdot 10^{-6}$	$1,4 \cdot 10^{-6}$	$1,3 \cdot 10^{-6}$	$9,0 \cdot 10^{-7}$
		M	0,200	$5,0 \cdot 10^{-6}$	0,100	$3,7 \cdot 10^{-6}$	$2,2 \cdot 10^{-6}$	$1,5 \cdot 10^{-6}$	$1,3 \cdot 10^{-6}$	$1,1 \cdot 10^{-6}$
		S	0,020	$1,8 \cdot 10^{-5}$	0,010	$1,8 \cdot 10^{-5}$	$1,1 \cdot 10^{-5}$	$7,2 \cdot 10^{-6}$	$5,9 \cdot 10^{-6}$	$5,6 \cdot 10^{-6}$
Pb-211	0,601 h	F	0,600	$2,5 \cdot 10^{-8}$	0,200	$1,7 \cdot 10^{-8}$	$8,7 \cdot 10^{-9}$	$6,1 \cdot 10^{-9}$	$4,6 \cdot 10^{-9}$	$3,9 \cdot 10^{-9}$
		M	0,200	$6,2 \cdot 10^{-8}$	0,100	$4,5 \cdot 10^{-8}$	$2,5 \cdot 10^{-8}$	$1,9 \cdot 10^{-8}$	$1,4 \cdot 10^{-8}$	$1,1 \cdot 10^{-8}$
		S	0,020	$6,6 \cdot 10^{-8}$	0,010	$4,8 \cdot 10^{-8}$	$2,7 \cdot 10^{-8}$	$2,0 \cdot 10^{-8}$	$1,5 \cdot 10^{-8}$	$1,2 \cdot 10^{-8}$
Pb-212	10,6 h	F	0,600	$1,9 \cdot 10^{-7}$	0,200	$1,2 \cdot 10^{-7}$	$5,4 \cdot 10^{-8}$	$3,5 \cdot 10^{-8}$	$2,0 \cdot 10^{-8}$	$1,8 \cdot 10^{-8}$
		M	0,200	$6,2 \cdot 10^{-7}$	0,100	$4,6 \cdot 10^{-7}$	$3,0 \cdot 10^{-7}$	$2,2 \cdot 10^{-7}$	$2,2 \cdot 10^{-7}$	$1,7 \cdot 10^{-7}$
		S	0,020	$6,7 \cdot 10^{-7}$	0,010	$5,0 \cdot 10^{-7}$	$3,3 \cdot 10^{-7}$	$2,5 \cdot 10^{-7}$	$2,4 \cdot 10^{-7}$	$1,9 \cdot 10^{-7}$
Pb-214	0,447 h	F	0,600	$2,2 \cdot 10^{-8}$	0,200	$1,5 \cdot 10^{-8}$	$6,9 \cdot 10^{-9}$	$4,8 \cdot 10^{-9}$	$3,3 \cdot 10^{-9}$	$2,8 \cdot 10^{-9}$
		M	0,200	$6,4 \cdot 10^{-8}$	0,100	$4,6 \cdot 10^{-8}$	$2,6 \cdot 10^{-8}$	$1,9 \cdot 10^{-8}$	$1,4 \cdot 10^{-8}$	$1,4 \cdot 10^{-8}$
		S	0,020	$6,9 \cdot 10^{-8}$	0,010	$5,0 \cdot 10^{-8}$	$2,8 \cdot 10^{-8}$	$2,1 \cdot 10^{-8}$	$1,5 \cdot 10^{-8}$	$1,5 \cdot 10^{-8}$
Bizmut										
Bi-200	0,606 h	F	0,100	$1,9 \cdot 10^{-10}$	0,050	$1,5 \cdot 10^{-10}$	$7,4 \cdot 10^{-11}$	$4,5 \cdot 10^{-11}$	$2,7 \cdot 10^{-11}$	$2,2 \cdot 10^{-11}$
		M	0,100	$2,5 \cdot 10^{-10}$	0,050	$1,9 \cdot 10^{-10}$	$9,9 \cdot 10^{-11}$	$6,3 \cdot 10^{-11}$	$4,1 \cdot 10^{-11}$	$3,3 \cdot 10^{-11}$
Bi-201	1,80 h	F	0,100	$4,0 \cdot 10^{-10}$	0,050	$3,1 \cdot 10^{-10}$	$1,5 \cdot 10^{-10}$	$9,3 \cdot 10^{-11}$	$5,4 \cdot 10^{-11}$	$4,4 \cdot 10^{-11}$
		M	0,100	$5,5 \cdot 10^{-10}$	0,050	$4,1 \cdot 10^{-10}$	$2,0 \cdot 10^{-10}$	$1,3 \cdot 10^{-10}$	$8,3 \cdot 10^{-11}$	$6,6 \cdot 10^{-11}$
Bi-202	1,67 h	F	0,100	$3,4 \cdot 10^{-10}$	0,050	$2,8 \cdot 10^{-10}$	$1,5 \cdot 10^{-10}$	$9,0 \cdot 10^{-11}$	$5,3 \cdot 10^{-11}$	$4,3 \cdot 10^{-11}$
		M	0,100	$4,2 \cdot 10^{-10}$	0,050	$3,4 \cdot 10^{-10}$	$1,8 \cdot 10^{-10}$	$1,1 \cdot 10^{-10}$	$6,9 \cdot 10^{-11}$	$5,5 \cdot 10^{-11}$
Bi-203	11,8 h	F	0,100	$1,5 \cdot 10^{-9}$	0,050	$1,2 \cdot 10^{-9}$	$6,4 \cdot 10^{-10}$	$4,0 \cdot 10^{-10}$	$2,3 \cdot 10^{-10}$	$1,9 \cdot 10^{-10}$
		M	0,100	$2,0 \cdot 10^{-9}$	0,050	$1,6 \cdot 10^{-9}$	$8,2 \cdot 10^{-10}$	$5,3 \cdot 10^{-10}$	$3,3 \cdot 10^{-10}$	$2,6 \cdot 10^{-10}$
Bi-205	15,3 d	F	0,100	$3,0 \cdot 10^{-9}$	0,050	$2,4 \cdot 10^{-9}$	$1,3 \cdot 10^{-9}$	$8,0 \cdot 10^{-10}$	$4,7 \cdot 10^{-10}$	$3,8 \cdot 10^{-10}$
		M	0,100	$5,5 \cdot 10^{-9}$	0,050	$4,4 \cdot 10^{-9}$	$2,5 \cdot 10^{-9}$	$1,6 \cdot 10^{-9}$	$1,2 \cdot 10^{-9}$	$9,3 \cdot 10^{-10}$
Bi-206	6,24 d	F	0,100	$6,1 \cdot 10^{-9}$	0,050	$4,8 \cdot 10^{-9}$	$2,5 \cdot 10^{-9}$	$1,6 \cdot 10^{-9}$	$9,1 \cdot 10^{-10}$	$7,4 \cdot 10^{-10}$
		M	0,100	$1,0 \cdot 10^{-8}$	0,050	$8,0 \cdot 10^{-9}$	$4,4 \cdot 10^{-9}$	$2,9 \cdot 10^{-9}$	$2,1 \cdot 10^{-9}$	$1,7 \cdot 10^{-9}$
Bi-207	38,0 r	F	0,100	$4,3 \cdot 10^{-9}$	0,050	$3,3 \cdot 10^{-9}$	$1,7 \cdot 10^{-9}$	$1,0 \cdot 10^{-9}$	$6,0 \cdot 10^{-10}$	$4,9 \cdot 10^{-10}$

Tabuľka č. 13: Konverzné faktory h_{inh} na prepočet príjmu rádionuklidov inhaláciou na úväzok efektívnej dávky u jednotlivcov z obyvateľstva

prvok nuklid	Polčas premeny	Typ	vek < 1 rok		f_1	h_{inh} (Sv.Bq ⁻¹)				
			f_1	h_{inh}	> 1 rok	1 – 2	2 - 7	7 - 12	12 - 17	> 17 (dospelí)
Bi-210	5,01 d	M	0,100	2,3.10 ⁻⁸	0,050	2,0.10 ⁻⁸	1,2.10 ⁻⁸	8,2.10 ⁻⁹	6,5.10 ⁻⁹	5,6.10 ⁻⁹
		F	0,100	1,1.10 ⁻⁸	0,050	6,9.10 ⁻⁹	3,2.10 ⁻⁹	2,1.10 ⁻⁹	1,3.10 ⁻⁹	1,1.10 ⁻⁹
Bi-210m	3,00 10 ⁶ r	M	0,100	3,9.10 ⁻⁷	0,050	3,0.10 ⁻⁷	1,9.10 ⁻⁷	1,3.10 ⁻⁷	1,1.10 ⁻⁷	9,3.10 ⁻⁸
		F	0,100	4,1.10 ⁻⁷	0,050	2,6.10 ⁻⁷	1,3.10 ⁻⁷	8,3.10 ⁻⁸	5,6.10 ⁻⁸	4,6.10 ⁻⁸
Bi-212	1,01 h	M	0,100	1,5.10 ⁻⁵	0,050	1,1.10 ⁻⁵	7,0.10 ⁻⁶	4,8.10 ⁻⁶	4,1.10 ⁻⁶	3,4.10 ⁻⁶
		F	0,100	6,5.10 ⁻⁸	0,050	4,5.10 ⁻⁸	2,1.10 ⁻⁸	1,5.10 ⁻⁸	1,0.10 ⁻⁸	9,1.10 ⁻⁹
Bi-213	0,761 h	M	0,100	1,6.10 ⁻⁷	0,050	1,1.10 ⁻⁷	6,0.10 ⁻⁸	4,4.10 ⁻⁸	3,8.10 ⁻⁸	3,1.10 ⁻⁸
		F	0,100	7,7.10 ⁻⁸	0,050	5,3.10 ⁻⁸	2,5.10 ⁻⁸	1,7.10 ⁻⁸	1,2.10 ⁻⁸	1,0.10 ⁻⁸
Bi-214	0,332 h	M	0,100	1,6.10 ⁻⁷	0,050	1,2.10 ⁻⁷	6,0.10 ⁻⁸	4,4.10 ⁻⁸	3,6.10 ⁻⁸	3,0.10 ⁻⁸
		F	0,100	5,0.10 ⁻⁸	0,050	3,5.10 ⁻⁸	1,6.10 ⁻⁸	1,1.10 ⁻⁸	8,2.10 ⁻⁹	7,1.10 ⁻⁹
		M	0,100	8,7.10 ⁻⁸	0,050	6,1.10 ⁻⁸	3,1.10 ⁻⁸	2,2.10 ⁻⁸	1,7.10 ⁻⁸	1,4.10 ⁻⁸
Polónium										
Po-203	0,612 h	F	0,200	1,9.10 ⁻¹⁰	0,100	1,5.10 ⁻¹⁰	7,7.10 ⁻¹¹	4,7.10 ⁻¹¹	2,8.10 ⁻¹¹	2,3.10 ⁻¹¹
		M	0,200	2,7.10 ⁻¹⁰	0,100	2,1.10 ⁻¹⁰	1,1.10 ⁻¹⁰	6,7.10 ⁻¹¹	4,3.10 ⁻¹¹	3,5.10 ⁻¹¹
		S	0,020	2,8.10 ⁻¹⁰	0,010	2,2.10 ⁻¹⁰	1,1.10 ⁻¹⁰	7,0.10 ⁻¹¹	4,5.10 ⁻¹¹	3,6.10 ⁻¹¹
Po-205	1,80 h	F	0,200	2,6.10 ⁻¹⁰	0,100	2,1.10 ⁻¹⁰	1,1.10 ⁻¹⁰	6,6.10 ⁻¹¹	4,1.10 ⁻¹¹	3,3.10 ⁻¹¹
		M	0,200	4,0.10 ⁻¹⁰	0,100	3,1.10 ⁻¹⁰	1,7.10 ⁻¹⁰	1,1.10 ⁻¹⁰	8,1.10 ⁻¹¹	6,5.10 ⁻¹¹
		S	0,020	4,2.10 ⁻¹⁰	0,010	3,2.10 ⁻¹⁰	1,8.10 ⁻¹⁰	1,2.10 ⁻¹⁰	8,5.10 ⁻¹¹	6,9.10 ⁻¹¹
Po-207	5,83 h	F	0,200	4,8.10 ⁻¹⁰	0,100	4,0.10 ⁻¹⁰	2,1.10 ⁻¹⁰	1,3.10 ⁻¹⁰	7,3.10 ⁻¹¹	5,8.10 ⁻¹¹
		M	0,200	6,2.10 ⁻¹⁰	0,100	5,1.10 ⁻¹⁰	2,6.10 ⁻¹⁰	1,6.10 ⁻¹⁰	9,9.10 ⁻¹¹	7,8.10 ⁻¹¹
		S	0,020	6,6.10 ⁻¹⁰	0,010	5,3.10 ⁻¹⁰	2,7.10 ⁻¹⁰	1,7.10 ⁻¹⁰	1,0.10 ⁻¹⁰	8,2.10 ⁻¹¹
Po-210	138 d	F	0,200	7,4.10 ⁻⁶	0,100	4,8.10 ⁻⁶	2,2.10 ⁻⁶	1,3.10 ⁻⁶	7,7.10 ⁻⁷	6,1.10 ⁻⁷
		M	0,200	1,5.10 ⁻⁵	0,100	1,1.10 ⁻⁵	6,7.10 ⁻⁶	4,6.10 ⁻⁶	4,0.10 ⁻⁶	3,3.10 ⁻⁶
		S	0,020	1,8.10 ⁻⁵	0,010	1,4.10 ⁻⁵	8,6.10 ⁻⁶	5,9.10 ⁻⁶	5,1.10 ⁻⁶	4,3.10 ⁻⁶
Astát										
At-207	1,80 h	F	1,000	2,4.10 ⁻⁹	1,000	1,7.10 ⁻⁹	8,9.10 ⁻¹⁰	5,9.10 ⁻¹⁰	4,0.10 ⁻¹⁰	3,3.10 ⁻¹⁰
		M	1,000	9,2.10 ⁻⁹	1,000	6,7.10 ⁻⁹	4,3.10 ⁻⁹	3,1.10 ⁻⁹	2,9.10 ⁻⁹	2,3.10 ⁻⁹
At-211	7,21 h	F	1,000	1,4.10 ⁻⁷	1,000	9,7.10 ⁻⁸	4,3.10 ⁻⁸	2,8.10 ⁻⁸	1,7.10 ⁻⁸	1,6.10 ⁻⁸
		M	1,000	5,2.10 ⁻⁷	1,000	3,7.10 ⁻⁷	1,9.10 ⁻⁷	1,4.10 ⁻⁷	1,3.10 ⁻⁷	1,1.10 ⁻⁷
Francium										
Fr-222	0,240 h	F	1,000	9,1.10 ⁻⁸	1,000	6,3.10 ⁻⁸	3,0.10 ⁻⁸	2,1.10 ⁻⁸	1,6.10 ⁻⁸	1,4.10 ⁻⁸
Fr-223	0,363 h	F	1,000	1,1.10 ⁻⁸	1,000	7,3.10 ⁻⁹	3,2.10 ⁻⁹	1,9.10 ⁻⁹	1,0.10 ⁻⁹	8,9.10 ⁻¹⁰
Rádium										
Ra-223	11,4 d	F	0,600	3,0.10 ⁻⁶	0,200	1,0.10 ⁻⁶	4,9.10 ⁻⁷	4,0.10 ⁻⁷	3,3.10 ⁻⁷	1,2.10 ⁻⁷
		M	0,200	2,8.10 ⁻⁵	0,100	2,1.10 ⁻⁵	1,3.10 ⁻⁵	9,9.10 ⁻⁶	9,4.10 ⁻⁶	7,4.10 ⁻⁶
		S	0,020	3,2.10 ⁻⁵	0,010	2,4.10 ⁻⁵	1,5.10 ⁻⁵	1,1.10 ⁻⁵	1,1.10 ⁻⁵	8,7.10 ⁻⁶
Ra-224	3,66 d	F	0,600	1,5.10 ⁻⁶	0,200	6,0.10 ⁻⁷	2,9.10 ⁻⁷	2,2.10 ⁻⁷	1,7.10 ⁻⁷	7,5.10 ⁻⁸
		M	0,200	1,1.10 ⁻⁵	0,100	8,2.10 ⁻⁶	5,3.10 ⁻⁶	3,9.10 ⁻⁶	3,7.10 ⁻⁶	3,0.10 ⁻⁶
		S	0,020	1,2.10 ⁻⁵	0,010	9,2.10 ⁻⁶	5,9.10 ⁻⁶	4,4.10 ⁻⁶	4,2.10 ⁻⁶	3,4.10 ⁻⁶
Ra-225	14,8 d	F	0,600	4,0.10 ⁻⁶	0,200	1,2.10 ⁻⁶	5,6.10 ⁻⁷	4,6.10 ⁻⁷	3,8.10 ⁻⁷	1,3.10 ⁻⁷
		M	0,200	2,4.10 ⁻⁵	0,100	1,8.10 ⁻⁵	1,1.10 ⁻⁵	8,4.10 ⁻⁶	7,9.10 ⁻⁶	6,3.10 ⁻⁶
		S	0,020	2,8.10 ⁻⁵	0,010	2,2.10 ⁻⁵	1,4.10 ⁻⁵	1,0.10 ⁻⁵	9,8.10 ⁻⁶	7,7.10 ⁻⁶
Ra-226	1,60 10 ³ r	F	0,600	2,6.10 ⁻⁶	0,200	9,4.10 ⁻⁷	5,5.10 ⁻⁷	7,2.10 ⁻⁷	1,3.10 ⁻⁶	3,6.10 ⁻⁷
		M	0,200	1,5.10 ⁻⁵	0,100	1,1.10 ⁻⁵	7,0.10 ⁻⁶	4,9.10 ⁻⁶	4,5.10 ⁻⁶	3,5.10 ⁻⁶
		S	0,020	3,4.10 ⁻⁵	0,010	2,9.10 ⁻⁵	1,9.10 ⁻⁵	1,2.10 ⁻⁵	1,0.10 ⁻⁵	9,5.10 ⁻⁶
Ra-227	0,703 h	F	0,600	1,5.10 ⁻⁹	0,200	1,2.10 ⁻⁹	7,8.10 ⁻¹⁰	6,1.10 ⁻¹⁰	5,3.10 ⁻¹⁰	4,6.10 ⁻¹⁰
		M	0,200	8,0.10 ⁻¹⁰	0,100	6,7.10 ⁻¹⁰	4,4.10 ⁻¹⁰	3,2.10 ⁻¹⁰	2,9.10 ⁻¹⁰	2,8.10 ⁻¹⁰
		S	0,020	1,0.10 ⁻⁹	0,010	8,5.10 ⁻¹⁰	4,4.10 ⁻¹⁰	2,9.10 ⁻¹⁰	2,4.10 ⁻¹⁰	2,2.10 ⁻¹⁰
Ra-228	5,75 r	F	0,600	1,7.10 ⁻⁵	0,200	5,7.10 ⁻⁶	3,1.10 ⁻⁶	3,6.10 ⁻⁶	4,6.10 ⁻⁶	9,0.10 ⁻⁷
		M	0,200	1,5.10 ⁻⁵	0,100	1,0.10 ⁻⁵	6,3.10 ⁻⁶	4,6.10 ⁻⁶	4,4.10 ⁻⁶	2,6.10 ⁻⁶
		S	0,020	4,9.10 ⁻⁵	0,010	4,8.10 ⁻⁵	3,2.10 ⁻⁵	2,0.10 ⁻⁵	1,6.10 ⁻⁵	1,6.10 ⁻⁵
Aktinium										
Ac-224	2,90 h	F	0,005	1,3.10 ⁻⁷	5,0.10 ⁻⁴	8,9.10 ⁻⁸	4,7.10 ⁻⁸	3,1.10 ⁻⁸	1,4.10 ⁻⁸	1,1.10 ⁻⁸
		M	0,005	4,2.10 ⁻⁷	5,0.10 ⁻⁴	3,2.10 ⁻⁷	2,0.10 ⁻⁷	1,5.10 ⁻⁷	1,4.10 ⁻⁷	1,1.10 ⁻⁷
		S	0,005	4,6.10 ⁻⁷	5,0.10 ⁻⁴	3,5.10 ⁻⁷	2,2.10 ⁻⁷	1,7.10 ⁻⁷	1,6.10 ⁻⁷	1,3.10 ⁻⁷
Ac-225	10,0 d	F	0,005	1,1.10 ⁻⁵	5,0.10 ⁻⁴	7,7.10 ⁻⁶	4,0.10 ⁻⁶	2,6.10 ⁻⁶	1,1.10 ⁻⁶	8,8.10 ⁻⁷
		M	0,005	2,8.10 ⁻⁵	5,0.10 ⁻⁴	2,1.10 ⁻⁵	1,3.10 ⁻⁵	1,0.10 ⁻⁵	9,3.10 ⁻⁶	7,4.10 ⁻⁶
		S	0,005	3,1.10 ⁻⁵	5,0.10 ⁻⁴	2,3.10 ⁻⁵	1,5.10 ⁻⁵	1,1.10 ⁻⁵	1,1.10 ⁻⁵	8,5.10 ⁻⁶
Ac-226	1,21 d	F	0,005	1,5.10 ⁻⁶	5,0.10 ⁻⁴	1,1.10 ⁻⁶	4,0.10 ⁻⁷	2,6.10 ⁻⁷	1,2.10 ⁻⁷	9,6.10 ⁻⁸

Tabuľka č. 13: Konverzné faktory h_{inh} na prepočet príjmu rádionuklidov inhaláciou na úväzok efektívnej dávky u jednotlivcov z obyvateľstva

prvok nuklid	Polčas premeny	Typ	vek < 1 rok		f_1	h_{inh} (Sv.Bq ⁻¹)				
			f_1	h_{inh}	> 1 rok	1 – 2	2 - 7	7 - 12	12 - 17	> 17 (dospelí)
Ac-227	21,8 r	M	0,005	4,3.10 ⁻⁶	5,0.10 ⁻⁴	3,2.10 ⁻⁶	2,1.10 ⁻⁶	1,5.10 ⁻⁶	1,5.10 ⁻⁶	1,2.10 ⁻⁶
		S	0,005	4,7.10 ⁻⁶	5,0.10 ⁻⁴	3,5.10 ⁻⁶	2,3.10 ⁻⁶	1,7.10 ⁻⁶	1,6.10 ⁻⁶	1,3.10 ⁻⁶
		F	0,005	1,7.10 ⁻³	5,0.10 ⁻⁴	1,6.10 ⁻³	1,0.10 ⁻³	7,2.10 ⁻⁴	5,6.10 ⁻⁴	5,5.10 ⁻⁴
Ac-228	6,13 h	M	0,005	5,7.10 ⁻⁴	5,0.10 ⁻⁴	5,5.10 ⁻⁴	3,9.10 ⁻⁴	2,6.10 ⁻⁴	2,3.10 ⁻⁴	2,2.10 ⁻⁴
		S	0,005	2,2.10 ⁻⁴	5,0.10 ⁻⁴	2,0.10 ⁻⁴	1,3.10 ⁻⁴	8,7.10 ⁻⁵	7,6.10 ⁻⁵	7,2.10 ⁻⁵
		F	0,005	1,8.10 ⁻⁷	5,0.10 ⁻⁴	1,6.10 ⁻⁷	9,7.10 ⁻⁸	5,7.10 ⁻⁸	2,9.10 ⁻⁸	2,5.10 ⁻⁸
Tórium	0,515 h	M	0,005	8,4.10 ⁻⁸	5,0.10 ⁻⁴	7,3.10 ⁻⁸	4,7.10 ⁻⁸	2,9.10 ⁻⁸	2,0.10 ⁻⁸	1,7.10 ⁻⁸
		S	0,005	6,4.10 ⁻⁸	5,0.10 ⁻⁴	5,3.10 ⁻⁸	3,3.10 ⁻⁸	2,2.10 ⁻⁸	1,9.10 ⁻⁸	1,6.10 ⁻⁸
		F	0,005	1,4.10 ⁻⁷	5,0.10 ⁻⁴	1,0.10 ⁻⁷	4,8.10 ⁻⁸	3,4.10 ⁻⁸	2,5.10 ⁻⁸	2,2.10 ⁻⁸
Th-226	18,7 d	M	0,005	3,0.10 ⁻⁷	5,0.10 ⁻⁴	2,1.10 ⁻⁷	1,1.10 ⁻⁷	8,3.10 ⁻⁸	7,0.10 ⁻⁸	5,8.10 ⁻⁸
		S	0,005	3,1.10 ⁻⁷	5,0.10 ⁻⁴	2,2.10 ⁻⁷	1,2.10 ⁻⁷	8,8.10 ⁻⁸	7,5.10 ⁻⁸	6,1.10 ⁻⁸
		F	0,005	8,4.10 ⁻⁶	5,0.10 ⁻⁴	5,2.10 ⁻⁶	2,6.10 ⁻⁶	1,6.10 ⁻⁶	1,0.10 ⁻⁶	6,7.10 ⁻⁷
Th-227	1,91 r	M	0,005	3,2.10 ⁻⁵	5,0.10 ⁻⁴	2,5.10 ⁻⁵	1,6.10 ⁻⁵	1,1.10 ⁻⁵	1,1.10 ⁻⁵	8,5.10 ⁻⁶
		S	0,005	3,9.10 ⁻⁵	5,0.10 ⁻⁴	3,0.10 ⁻⁵	1,9.10 ⁻⁵	1,4.10 ⁻⁵	1,3.10 ⁻⁵	1,0.10 ⁻⁵
		F	0,005	1,8.10 ⁻⁴	5,0.10 ⁻⁴	1,5.10 ⁻⁴	8,3.10 ⁻⁵	5,2.10 ⁻⁵	3,6.10 ⁻⁵	2,9.10 ⁻⁵
Th-228	7,34 10 ³ r	M	0,005	1,3.10 ⁻⁴	5,0.10 ⁻⁴	1,1.10 ⁻⁴	6,8.10 ⁻⁵	4,6.10 ⁻⁵	3,9.10 ⁻⁵	3,2.10 ⁻⁵
		S	0,005	1,6.10 ⁻⁴	5,0.10 ⁻⁴	1,3.10 ⁻⁴	8,2.10 ⁻⁵	5,5.10 ⁻⁵	4,7.10 ⁻⁵	4,0.10 ⁻⁵
		F	0,005	5,4.10 ⁻⁴	5,0.10 ⁻⁴	5,1.10 ⁻⁴	3,6.10 ⁻⁴	2,9.10 ⁻⁴	2,4.10 ⁻⁴	2,4.10 ⁻⁴
Th-229	7,70 10 ⁴ r	M	0,005	2,3.10 ⁻⁴	5,0.10 ⁻⁴	2,1.10 ⁻⁴	1,6.10 ⁻⁴	1,2.10 ⁻⁴	1,1.10 ⁻⁴	1,1.10 ⁻⁴
		S	0,005	2,1.10 ⁻⁴	5,0.10 ⁻⁴	1,9.10 ⁻⁴	1,3.10 ⁻⁴	8,7.10 ⁻⁵	7,6.10 ⁻⁵	7,1.10 ⁻⁵
		F	0,005	2,1.10 ⁻⁴	5,0.10 ⁻⁴	2,0.10 ⁻⁴	1,4.10 ⁻⁴	1,1.10 ⁻⁴	9,9.10 ⁻⁵	1,0.10 ⁻⁴
Th-230	1,06 d	M	0,005	7,7.10 ⁻⁵	5,0.10 ⁻⁴	7,4.10 ⁻⁵	5,5.10 ⁻⁵	4,3.10 ⁻⁵	4,2.10 ⁻⁵	4,3.10 ⁻⁵
		S	0,005	4,0.10 ⁻⁵	5,0.10 ⁻⁴	3,5.10 ⁻⁵	2,4.10 ⁻⁵	1,6.10 ⁻⁵	1,5.10 ⁻⁵	1,4.10 ⁻⁵
		F	0,005	1,1.10 ⁻⁹	5,0.10 ⁻⁴	7,2.10 ⁻¹⁰	2,6.10 ⁻¹⁰	1,6.10 ⁻¹⁰	9,2.10 ⁻¹¹	7,8.10 ⁻¹¹
Th-231	1,40 10 ¹⁰ r	M	0,005	2,2.10 ⁻⁹	5,0.10 ⁻⁴	1,6.10 ⁻⁹	8,0.10 ⁻¹⁰	4,8.10 ⁻¹⁰	3,8.10 ⁻¹⁰	3,1.10 ⁻¹⁰
		S	0,005	2,4.10 ⁻⁹	5,0.10 ⁻⁴	1,7.10 ⁻⁹	7,6.10 ⁻¹⁰	5,2.10 ⁻¹⁰	4,1.10 ⁻¹⁰	3,3.10 ⁻¹⁰
		F	0,005	2,3.10 ⁻⁴	5,0.10 ⁻⁴	2,2.10 ⁻⁴	1,6.10 ⁻⁴	1,3.10 ⁻⁴	1,2.10 ⁻⁴	1,1.10 ⁻⁴
Th-232	24,1 d	M	0,005	8,3.10 ⁻⁵	5,0.10 ⁻⁴	8,1.10 ⁻⁵	6,3.10 ⁻⁵	5,0.10 ⁻⁵	4,7.10 ⁻⁵	4,5.10 ⁻⁵
		S	0,005	5,4.10 ⁻⁵	5,0.10 ⁻⁴	5,0.10 ⁻⁵	3,7.10 ⁻⁵	2,6.10 ⁻⁵	2,5.10 ⁻⁵	2,5.10 ⁻⁵
		F	0,005	4,0.10 ⁻⁸	5,0.10 ⁻⁴	2,5.10 ⁻⁸	1,1.10 ⁻⁸	6,1.10 ⁻⁹	3,5.10 ⁻⁹	2,5.10 ⁻⁹
Th-234	3,27 10 ⁴ r	M	0,005	3,9.10 ⁻⁸	5,0.10 ⁻⁴	2,9.10 ⁻⁸	1,5.10 ⁻⁸	1,0.10 ⁻⁸	7,9.10 ⁻⁹	6,6.10 ⁻⁹
		S	0,005	4,1.10 ⁻⁸	5,0.10 ⁻⁴	3,1.10 ⁻⁸	1,7.10 ⁻⁸	1,1.10 ⁻⁸	9,1.10 ⁻⁹	7,7.10 ⁻⁹
		F	0,005	4,1.10 ⁻⁸	5,0.10 ⁻⁴	3,1.10 ⁻⁸	1,7.10 ⁻⁸	1,1.10 ⁻⁸	9,1.10 ⁻⁹	7,7.10 ⁻⁹
Protaktínium										
Pa-227	0,638 h	M	0,005	3,6.10 ⁻⁷	5,0.10 ⁻⁴	2,6.10 ⁻⁷	1,4.10 ⁻⁷	1,0.10 ⁻⁷	9,0.10 ⁻⁸	7,4.10 ⁻⁸
		S	0,005	3,8.10 ⁻⁷	5,0.10 ⁻⁴	2,8.10 ⁻⁷	1,5.10 ⁻⁷	1,1.10 ⁻⁷	8,1.10 ⁻⁸	8,0.10 ⁻⁸
		F	0,005	2,6.10 ⁻⁷	5,0.10 ⁻⁴	2,1.10 ⁻⁷	1,3.10 ⁻⁷	8,8.10 ⁻⁸	7,7.10 ⁻⁸	6,4.10 ⁻⁸
Pa-228	22,0 h	M	0,005	2,9.10 ⁻⁷	5,0.10 ⁻⁴	2,4.10 ⁻⁷	1,5.10 ⁻⁷	1,0.10 ⁻⁷	9,1.10 ⁻⁸	7,5.10 ⁻⁸
		S	0,005	2,9.10 ⁻⁷	5,0.10 ⁻⁴	2,4.10 ⁻⁷	1,5.10 ⁻⁷	1,0.10 ⁻⁷	9,1.10 ⁻⁸	7,5.10 ⁻⁸
		F	0,005	2,4.10 ⁻⁶	5,0.10 ⁻⁴	1,8.10 ⁻⁶	1,1.10 ⁻⁶	8,3.10 ⁻⁷	7,6.10 ⁻⁷	6,1.10 ⁻⁷
Pa-230	17,4 h	M	0,005	2,4.10 ⁻⁶	5,0.10 ⁻⁴	2,2.10 ⁻⁶	1,4.10 ⁻⁶	1,0.10 ⁻⁶	9,6.10 ⁻⁷	7,6.10 ⁻⁷
		S	0,005	2,9.10 ⁻⁶	5,0.10 ⁻⁴	2,2.10 ⁻⁶	1,4.10 ⁻⁶	1,0.10 ⁻⁶	9,6.10 ⁻⁷	7,6.10 ⁻⁷
		F	0,005	2,2.10 ⁻⁴	5,0.10 ⁻⁴	2,3.10 ⁻⁴	1,9.10 ⁻⁴	1,5.10 ⁻⁴	1,5.10 ⁻⁴	1,4.10 ⁻⁴
Pa-231	1,31 d	M	0,005	7,4.10 ⁻⁵	5,0.10 ⁻⁴	6,9.10 ⁻⁵	5,2.10 ⁻⁵	3,9.10 ⁻⁵	3,6.10 ⁻⁵	3,4.10 ⁻⁵
		S	0,005	1,9.10 ⁻⁸	5,0.10 ⁻⁴	1,8.10 ⁻⁸	1,4.10 ⁻⁸	1,1.10 ⁻⁸	1,0.10 ⁻⁸	1,0.10 ⁻⁸
		F	0,005	1,0.10 ⁻⁸	5,0.10 ⁻⁴	8,7.10 ⁻⁹	5,9.10 ⁻⁹	4,1.10 ⁻⁹	3,7.10 ⁻⁹	3,5.10 ⁻⁹
Pa-232	27,0 d	M	0,005	1,5.10 ⁻⁸	5,0.10 ⁻⁴	1,1.10 ⁻⁸	6,5.10 ⁻⁹	4,7.10 ⁻⁹	4,1.10 ⁻⁹	3,3.10 ⁻⁹
		S	0,005	1,7.10 ⁻⁸	5,0.10 ⁻⁴	1,3.10 ⁻⁸	7,5.10 ⁻⁹	5,5.10 ⁻⁹	4,9.10 ⁻⁹	3,9.10 ⁻⁹
		F	0,005	1,7.10 ⁻⁸	5,0.10 ⁻⁴	1,3.10 ⁻⁸	7,5.10 ⁻⁹	5,5.10 ⁻⁹	4,9.10 ⁻⁹	3,9.10 ⁻⁹
Pa-233	6,70 h	M	0,005	2,8.10 ⁻⁹	5,0.10 ⁻⁴	2,0.10 ⁻⁹	1,0.10 ⁻⁹	6,8.10 ⁻¹⁰	4,7.10 ⁻¹⁰	3,8.10 ⁻¹⁰
		S	0,005	2,9.10 ⁻⁹	5,0.10 ⁻⁴	2,1.10 ⁻⁹	1,1.10 ⁻⁹	7,1.10 ⁻¹⁰	5,0.10 ⁻¹⁰	4,0.10 ⁻¹⁰
		F	0,005	2,9.10 ⁻⁹	5,0.10 ⁻⁴	2,1.10 ⁻⁹	1,1.10 ⁻⁹	7,1.10 ⁻¹⁰	5,0.10 ⁻¹⁰	4,0.10 ⁻¹⁰
Urán										
U-230	20,8 d	F	0,040	3,2.10 ⁻⁶	0,020	1,5.10 ⁻⁶	7,2.10 ⁻⁷	5,4.10 ⁻⁷	4,1.10 ⁻⁷	3,8.10 ⁻⁷
		M	0,040	4,9.10 ⁻⁵	0,020	3,7.10 ⁻⁵	2,4.10 ⁻⁵	1,8.10 ⁻⁵	1,7.10 ⁻⁵	1,3.10 ⁻⁵
		S	0,020	5,8.10 ⁻⁵	0,002	4,4.10 ⁻⁵	2,8.10 ⁻⁵	2,1.10 ⁻⁵	2,0.10 ⁻⁵	1,6.10 ⁻⁵
U-231	4,20 d	F	0,040	8,9.10 ⁻¹⁰	0,020	6,2.10 ⁻¹⁰	3,1.10 ⁻¹⁰	1,4.10 ⁻¹⁰	1,0.10 ⁻¹⁰	6,2.10 ⁻¹¹
		M	0,040	2,4.10 ⁻⁹	0,020	1,7.10 ⁻⁹	9,4.10 ⁻¹⁰	5,5.10 ⁻¹⁰	4,6.10 ⁻¹⁰	3,8.10 ⁻¹⁰
		S	0,020	2,6.10 ⁻⁹	0,002	1,9.10 ⁻⁹	9,0.10 ⁻¹⁰	6,1.10 ⁻¹⁰	4,9.10 ⁻¹⁰	4,0.10 ⁻¹⁰
U-232	72,0 r	F	0,040	1,6.10 ⁻⁵	0,020	1,0.10 ⁻⁵	6,9.10 ⁻⁶	6,8.10 ⁻⁶	7,5.10 ⁻⁶	4,0.10 ⁻⁶
		M	0,040	3,0.10 ⁻⁵	0,020	2,4.10 ⁻⁵	1,6.10 ⁻⁵	1,1.10 ⁻⁵	1,0.10 ⁻⁵	7,8.10 ⁻⁶
		S	0,020	1,0.10 ⁻⁴	0,002	9,7.10 ⁻⁵	6,6.10 ⁻⁵	4,3.10 ⁻⁵	3,8.10 ⁻⁵	3,7.10 ⁻⁵

Tabuľka č. 13: Konverzné faktory h_{inh} na prepočet príjmu rádionuklidov inhaláciou na úväzok efektívnej dávky u jednotlivcov z obyvateľstva

prvok nuklid	Polčas premeny	Typ	vek < 1 rok		f_1 > 1 rok	h_{inh} (Sv.Bq ⁻¹)				
			f_1	h_{inh}		1 – 2	2 - 7	7 - 12	12 - 17	> 17 (dospelí)
U-233	1,58 10 ⁵ r	F	0,040	2,2.10 ⁻⁶	0,020	1,4.10 ⁻⁶	9,4.10 ⁻⁷	8,4.10 ⁻⁷	8,6.10 ⁻⁷	5,8.10 ⁻⁷
		M	0,040	1,5.10 ⁻⁵	0,020	1,1.10 ⁻⁵	7,2.10 ⁻⁶	4,9.10 ⁻⁶	4,3.10 ⁻⁶	3,6.10 ⁻⁶
		S	0,020	3,4.10 ⁻⁵	0,002	3,0.10 ⁻⁵	1,9.10 ⁻⁵	1,2.10 ⁻⁵	1,1.10 ⁻⁵	9,6.10 ⁻⁶
U-234	2,44 10 ⁵ r	F	0,040	2,1.10 ⁻⁶	0,020	1,4.10 ⁻⁶	9,0.10 ⁻⁷	8,0.10 ⁻⁷	8,2.10 ⁻⁷	5,6.10 ⁻⁷
		M	0,040	1,5.10 ⁻⁵	0,020	1,1.10 ⁻⁵	7,0.10 ⁻⁶	4,8.10 ⁻⁶	4,2.10 ⁻⁶	3,5.10 ⁻⁶
		S	0,020	3,3.10 ⁻⁵	0,002	2,9.10 ⁻⁵	1,9.10 ⁻⁵	1,2.10 ⁻⁵	1,0.10 ⁻⁵	9,4.10 ⁻⁶
U-235	7,04 10 ⁸ r	F	0,040	2,0.10 ⁻⁶	0,020	1,3.10 ⁻⁶	8,5.10 ⁻⁷	7,5.10 ⁻⁷	7,7.10 ⁻⁷	5,2.10 ⁻⁷
		M	0,040	1,3.10 ⁻⁵	0,020	1,0.10 ⁻⁵	6,3.10 ⁻⁶	4,3.10 ⁻⁶	3,7.10 ⁻⁶	3,1.10 ⁻⁶
		S	0,020	3,0.10 ⁻⁵	0,002	2,6.10 ⁻⁵	1,7.10 ⁻⁵	1,1.10 ⁻⁵	9,2.10 ⁻⁶	8,5.10 ⁻⁶
U-236	2,34 10 ⁷ r	F	0,040	2,0.10 ⁻⁶	0,020	1,3.10 ⁻⁶	8,5.10 ⁻⁷	7,5.10 ⁻⁷	7,8.10 ⁻⁷	5,3.10 ⁻⁷
		M	0,040	1,4.10 ⁻⁵	0,020	1,0.10 ⁻⁵	6,5.10 ⁻⁶	4,5.10 ⁻⁶	3,9.10 ⁻⁶	3,2.10 ⁻⁶
		S	0,020	3,1.10 ⁻⁵	0,002	2,7.10 ⁻⁵	1,8.10 ⁻⁵	1,1.10 ⁻⁵	9,5.10 ⁻⁶	8,7.10 ⁻⁶
U-237	6,75 d	F	0,040	1,8.10 ⁻⁹	0,020	1,5.10 ⁻⁹	6,6.10 ⁻¹⁰	4,2.10 ⁻¹⁰	1,9.10 ⁻¹⁰	1,8.10 ⁻¹⁰
		M	0,040	7,8.10 ⁻⁹	0,020	5,7.10 ⁻⁹	3,3.10 ⁻⁹	2,4.10 ⁻⁹	2,1.10 ⁻⁹	1,7.10 ⁻⁹
		S	0,020	8,7.10 ⁻⁹	0,002	6,4.10 ⁻⁹	3,7.10 ⁻⁹	2,7.10 ⁻⁹	2,4.10 ⁻⁹	1,9.10 ⁻⁹
U-238	4,47 10 ⁹ r	F	0,040	1,9.10 ⁻⁶	0,020	1,3.10 ⁻⁶	8,2.10 ⁻⁷	7,3.10 ⁻⁷	7,4.10 ⁻⁷	5,0.10 ⁻⁷
		M	0,040	1,2.10 ⁻⁵	0,020	9,4.10 ⁻⁶	5,9.10 ⁻⁶	4,0.10 ⁻⁶	3,4.10 ⁻⁶	2,9.10 ⁻⁶
		S	0,020	2,9.10 ⁻⁵	0,002	2,5.10 ⁻⁵	1,6.10 ⁻⁵	1,0.10 ⁻⁵	8,7.10 ⁻⁶	8,0.10 ⁻⁶
U-239	0,392 h	F	0,040	1,0.10 ⁻¹⁰	0,020	6,6.10 ⁻¹¹	2,9.10 ⁻¹¹	1,9.10 ⁻¹¹	1,2.10 ⁻¹¹	1,0.10 ⁻¹¹
		M	0,040	1,8.10 ⁻¹⁰	0,020	1,2.10 ⁻¹⁰	5,6.10 ⁻¹¹	3,8.10 ⁻¹¹	2,7.10 ⁻¹¹	2,2.10 ⁻¹¹
		S	0,020	1,9.10 ⁻¹⁰	0,002	1,2.10 ⁻¹⁰	5,9.10 ⁻¹¹	4,0.10 ⁻¹¹	2,9.10 ⁻¹¹	2,4.10 ⁻¹¹
U-240	14,1 h	F	0,040	2,4.10 ⁻⁹	0,020	1,6.10 ⁻⁹	7,1.10 ⁻¹⁰	4,5.10 ⁻¹⁰	2,3.10 ⁻¹⁰	2,0.10 ⁻¹⁰
		M	0,040	4,6.10 ⁻⁹	0,020	3,1.10 ⁻⁹	1,7.10 ⁻⁹	1,1.10 ⁻⁹	6,5.10 ⁻¹⁰	5,3.10 ⁻¹⁰
		S	0,020	4,9.10 ⁻⁹	0,002	3,3.10 ⁻⁹	1,6.10 ⁻⁹	1,1.10 ⁻⁹	7,0.10 ⁻¹⁰	5,8.10 ⁻¹⁰
Neptúnium										
Np-232	0,245 h	F	0,005	2,0.10 ⁻¹⁰	5,0.10 ⁻⁰⁴	1,9.10 ⁻¹⁰	1,2.10 ⁻¹⁰	1,1.10 ⁻¹⁰	1,1.10 ⁻¹⁰	1,2.10 ⁻¹⁰
		M	0,005	8,9.10 ⁻¹¹	5,0.10 ⁻⁰⁴	8,1.10 ⁻¹¹	5,5.10 ⁻¹¹	4,5.10 ⁻¹¹	4,7.10 ⁻¹¹	5,0.10 ⁻¹¹
		S	0,005	1,2.10 ⁻¹⁰	5,0.10 ⁻⁰⁴	9,7.10 ⁻¹¹	5,8.10 ⁻¹¹	3,9.10 ⁻¹¹	2,5.10 ⁻¹¹	2,4.10 ⁻¹¹
Np-233	0,603 h	F	0,005	1,1.10 ⁻¹¹	5,0.10 ⁻⁰⁴	8,7.10 ⁻¹²	4,2.10 ⁻¹²	2,5.10 ⁻¹²	1,4.10 ⁻¹²	1,1.10 ⁻¹²
		M	0,005	1,5.10 ⁻¹¹	5,0.10 ⁻⁰⁴	1,1.10 ⁻¹¹	5,5.10 ⁻¹²	3,3.10 ⁻¹²	2,1.10 ⁻¹²	1,6.10 ⁻¹²
		S	0,005	1,5.10 ⁻¹¹	5,0.10 ⁻⁰⁴	1,2.10 ⁻¹¹	5,7.10 ⁻¹²	3,4.10 ⁻¹²	2,1.10 ⁻¹²	1,7.10 ⁻¹²
Np-234	4,40 d	F	0,005	2,9.10 ⁻⁰⁹	5,0.10 ⁻⁰⁴	2,2.10 ⁻⁰⁹	1,1.10 ⁻⁰⁹	7,2.10 ⁻¹⁰	4,3.10 ⁻¹⁰	3,5.10 ⁻¹⁰
		M	0,005	3,8.10 ⁻⁰⁹	5,0.10 ⁻⁰⁴	3,0.10 ⁻⁰⁹	1,6.10 ⁻⁰⁹	1,0.10 ⁻⁰⁹	6,5.10 ⁻¹⁰	5,3.10 ⁻¹⁰
		S	0,005	3,9.10 ⁻⁰⁹	5,0.10 ⁻⁰⁴	3,1.10 ⁻⁰⁹	1,6.10 ⁻⁰⁹	1,0.10 ⁻⁰⁹	6,8.10 ⁻¹⁰	5,5.10 ⁻¹⁰
Np-235	1,08 r	F	0,005	4,2.10 ⁻⁰⁹	5,0.10 ⁻⁰⁴	3,5.10 ⁻⁰⁹	1,9.10 ⁻⁰⁹	1,1.10 ⁻⁰⁹	7,5.10 ⁻¹⁰	6,3.10 ⁻¹⁰
		M	0,005	2,3.10 ⁻⁰⁹	5,0.10 ⁻⁰⁴	1,9.10 ⁻⁰⁹	1,1.10 ⁻⁰⁹	6,8.10 ⁻¹⁰	5,1.10 ⁻¹⁰	4,2.10 ⁻¹⁰
		S	0,005	2,6.10 ⁻⁰⁹	5,0.10 ⁻⁰⁴	2,2.10 ⁻⁰⁹	1,3.10 ⁻⁰⁹	8,3.10 ⁻¹⁰	6,3.10 ⁻¹⁰	5,2.10 ⁻¹⁰
Np-236	1,15 10 ⁵ r	F	0,005	8,9.10 ⁻⁰⁶	5,0.10 ⁻⁰⁴	9,1.10 ⁻⁰⁶	7,2.10 ⁻⁰⁶	7,5.10 ⁻⁰⁶	7,9.10 ⁻⁰⁶	8,0.10 ⁻⁰⁶
		M	0,005	3,0.10 ⁻⁰⁶	5,0.10 ⁻⁰⁴	3,1.10 ⁻⁰⁶	2,7.10 ⁻⁰⁶	2,7.10 ⁻⁰⁶	3,1.10 ⁻⁰⁶	3,2.10 ⁻⁰⁶
		S	0,005	1,6.10 ⁻⁰⁶	5,0.10 ⁻⁰⁴	1,6.10 ⁻⁰⁶	1,3.10 ⁻⁰⁶	1,0.10 ⁻⁰⁶	1,0.10 ⁻⁰⁶	1,0.10 ⁻⁰⁶
Np-236	22,5 h	F	0,005	2,8.10 ⁻⁰⁸	5,0.10 ⁻⁰⁴	2,6.10 ⁻⁰⁸	1,5.10 ⁻⁰⁸	1,1.10 ⁻⁰⁸	8,9.10 ⁻⁰⁹	9,0.10 ⁻⁰⁹
		M	0,005	1,6.10 ⁻⁰⁸	5,0.10 ⁻⁰⁴	1,4.10 ⁻⁰⁸	8,9.10 ⁻⁰⁹	6,2.10 ⁻⁰⁹	5,6.10 ⁻⁰⁹	5,3.10 ⁻⁰⁹
		S	0,005	1,6.10 ⁻⁰⁸	5,0.10 ⁻⁰⁴	1,3.10 ⁻⁰⁸	8,5.10 ⁻⁰⁹	5,7.10 ⁻⁰⁹	4,8.10 ⁻⁰⁹	4,2.10 ⁻⁰⁹
Np-237	2,14 10 ⁶ r	F	0,005	9,8.10 ⁻⁰⁵	5,0.10 ⁻⁰⁴	9,3.10 ⁻⁰⁵	6,0.10 ⁻⁰⁵	5,0.10 ⁻⁰⁵	4,7.10 ⁻⁰⁵	5,0.10 ⁻⁰⁵
		M	0,005	4,4.10 ⁻⁰⁵	5,0.10 ⁻⁰⁴	4,0.10 ⁻⁰⁵	2,8.10 ⁻⁰⁵	2,2.10 ⁻⁰⁵	2,2.10 ⁻⁰⁵	2,3.10 ⁻⁰⁵
		S	0,005	3,7.10 ⁻⁰⁵	5,0.10 ⁻⁰⁴	3,2.10 ⁻⁰⁵	2,1.10 ⁻⁰⁵	1,4.10 ⁻⁰⁵	1,3.10 ⁻⁰⁵	1,2.10 ⁻⁰⁵
Np-238	2,12 d	F	0,005	9,0.10 ⁻⁰⁹	5,0.10 ⁻⁰⁴	7,9.10 ⁻⁰⁹	4,8.10 ⁻⁰⁹	3,7.10 ⁻⁰⁹	3,3.10 ⁻⁰⁹	3,5.10 ⁻⁰⁹
		M	0,005	7,3.10 ⁻⁰⁹	5,0.10 ⁻⁰⁴	5,8.10 ⁻⁰⁹	3,4.10 ⁻⁰⁹	2,5.10 ⁻⁰⁹	2,2.10 ⁻⁰⁹	2,1.10 ⁻⁰⁹
		S	0,005	8,1.10 ⁻⁰⁹	5,0.10 ⁻⁰⁴	6,2.10 ⁻⁰⁹	3,2.10 ⁻⁰⁹	2,1.10 ⁻⁰⁹	1,7.10 ⁻⁰⁹	1,5.10 ⁻⁰⁹
Np-239	2,36 d	F	0,005	2,6.10 ⁻⁰⁹	5,0.10 ⁻⁰⁴	1,4.10 ⁻⁰⁹	6,3.10 ⁻¹⁰	3,8.10 ⁻¹⁰	2,1.10 ⁻¹⁰	1,7.10 ⁻¹⁰
		M	0,005	5,9.10 ⁻⁰⁹	5,0.10 ⁻⁰⁴	4,2.10 ⁻⁰⁹	2,0.10 ⁻⁰⁹	1,4.10 ⁻⁰⁹	1,2.10 ⁻⁰⁹	9,3.10 ⁻¹⁰
		S	0,005	5,6.10 ⁻⁰⁹	5,0.10 ⁻⁰⁴	4,0.10 ⁻⁰⁹	2,2.10 ⁻⁰⁹	1,6.10 ⁻⁰⁹	1,3.10 ⁻⁰⁹	1,0.10 ⁻⁰⁹
Np-240	1,08 h	F	0,005	3,6.10 ⁻¹⁰	5,0.10 ⁻⁰⁴	2,6.10 ⁻¹⁰	1,2.10 ⁻¹⁰	7,7.10 ⁻¹¹	4,7.10 ⁻¹¹	4,0.10 ⁻¹¹
		M	0,005	6,3.10 ⁻¹⁰	5,0.10 ⁻⁰⁴	4,4.10 ⁻¹⁰	2,2.10 ⁻¹⁰	1,4.10 ⁻¹⁰	1,0.10 ⁻¹⁰	8,5.10 ⁻¹¹
		S	0,005	6,5.10 ⁻¹⁰	5,0.10 ⁻⁰⁴	4,6.10 ⁻¹⁰	2,3.10 ⁻¹⁰	1,5.10 ⁻¹⁰	1,1.10 ⁻¹⁰	9,0.10 ⁻¹¹
Plutónium										
Pu-234	8,80 h	F	0,005	3,0.10 ⁻⁸	5,0.10 ⁻⁰⁴	2,0.10 ⁻⁸	9,8.10 ⁻⁹	5,7.10 ⁻⁹	3,6.10 ⁻⁹	3,0.10 ⁻⁹
		M	0,005	7,8.10 ⁻⁸	5,0.10 ⁻⁰⁴	5,9.10 ⁻⁸	3,7.10 ⁻⁸	2,8.10 ⁻⁸	2,6.10 ⁻⁸	2,1.10 ⁻⁸
		S	1,0.10 ⁻⁴	8,7.10 ⁻⁸	1,0.10 ⁻⁵	6,6.10 ⁻⁸	4,2.10 ⁻⁸	3,1.10 ⁻⁸	3,0.10 ⁻⁸	2,4.10 ⁻⁸

Tabuľka č. 13: Konverzné faktory h_{inh} na prepočet príjmu rádionuklidov inhaláciou na úväzok efektívnej dávky u jednotlivcov z obyvateľstva

prvok nuklid	Polčas premeny	Typ	vek < 1 rok		f_1	h_{inh} (Sv.Bq ⁻¹)				
			f_1	h_{inh}	> 1 rok	1 – 2	2 - 7	7 - 12	12 - 17	> 17 (dospelí)
Pu-235	0,422 h	F	0,005	1,0.10 ⁻¹¹	5,0.10 ⁻⁴	7,9.10 ⁻¹²	3,9.10 ⁻¹²	2,2.10 ⁻¹²	1,3.10 ⁻¹²	1,0.10 ⁻¹²
		M	0,005	1,3.10 ⁻¹¹	5,0.10 ⁻⁴	1,0.10 ⁻¹¹	5,0.10 ⁻¹²	2,9.10 ⁻¹²	1,9.10 ⁻¹²	1,4.10 ⁻¹²
		S	1,0.10 ⁻⁴	1,3.10 ⁻¹¹	1,0.10 ⁻⁵	1,0.10 ⁻¹¹	5,1.10 ⁻¹²	3,0.10 ⁻¹²	1,9.10 ⁻¹²	1,5.10 ⁻¹²
Pu-236	2,85 r	F	0,005	1,0.10 ⁻⁴	5,0.10 ⁻⁴	9,5.10 ⁻⁵	6,1.10 ⁻⁵	4,4.10 ⁻⁵	3,7.10 ⁻⁵	4,0.10 ⁻⁵
		M	0,005	4,8.10 ⁻⁵	5,0.10 ⁻⁴	4,3.10 ⁻⁵	2,9.10 ⁻⁵	2,1.10 ⁻⁵	1,9.10 ⁻⁵	2,0.10 ⁻⁵
		S	1,0.10 ⁻⁴	3,6.10 ⁻⁵	1,0.10 ⁻⁵	3,1.10 ⁻⁵	2,0.10 ⁻⁵	1,4.10 ⁻⁵	1,2.10 ⁻⁵	1,0.10 ⁻⁵
Pu-237	45,3 d	F	0,005	2,2.10 ⁻⁹	5,0.10 ⁻⁴	1,6.10 ⁻⁹	7,9.10 ⁻¹⁰	4,8.10 ⁻¹⁰	2,9.10 ⁻¹⁰	2,6.10 ⁻¹⁰
		M	0,005	1,9.10 ⁻⁹	5,0.10 ⁻⁴	1,4.10 ⁻⁹	8,2.10 ⁻¹⁰	5,4.10 ⁻¹⁰	4,3.10 ⁻¹⁰	3,5.10 ⁻¹⁰
		S	1,0.10 ⁻⁴	2,0.10 ⁻⁹	1,0.10 ⁻⁵	1,5.10 ⁻⁹	8,8.10 ⁻¹⁰	5,9.10 ⁻¹⁰	4,8.10 ⁻¹⁰	3,9.10 ⁻¹⁰
Pu-238	87,7 r	F	0,005	2,0.10 ⁻⁴	5,0.10 ⁻⁴	1,9.10 ⁻⁴	1,4.10 ⁻⁴	1,1.10 ⁻⁴	1,0.10 ⁻⁴	1,1.10 ⁻⁴
		M	0,005	7,8.10 ⁻⁵	5,0.10 ⁻⁴	7,4.10 ⁻⁵	5,6.10 ⁻⁵	4,4.10 ⁻⁵	4,3.10 ⁻⁵	4,6.10 ⁻⁵
		S	1,0.10 ⁻⁴	4,5.10 ⁻⁵	1,0.10 ⁻⁵	4,0.10 ⁻⁵	2,7.10 ⁻⁵	1,9.10 ⁻⁵	1,7.10 ⁻⁵	1,6.10 ⁻⁵
Pu-239	2,41 10 ⁴ r	F	0,005	2,1.10 ⁻⁴	5,0.10 ⁻⁴	2,0.10 ⁻⁴	1,5.10 ⁻⁴	1,2.10 ⁻⁴	1,1.10 ⁻⁴	1,2.10 ⁻⁴
		M	0,005	8,0.10 ⁻⁵	5,0.10 ⁻⁴	7,7.10 ⁻⁵	6,0.10 ⁻⁵	4,8.10 ⁻⁵	4,7.10 ⁻⁵	5,0.10 ⁻⁵
		S	1,0.10 ⁻⁴	4,3.10 ⁻⁵	1,0.10 ⁻⁵	3,9.10 ⁻⁵	2,7.10 ⁻⁵	1,9.10 ⁻⁵	1,7.10 ⁻⁵	1,6.10 ⁻⁵
Pu-240	6,54 10 ³ r	F	0,005	2,1.10 ⁻⁴	5,0.10 ⁻⁴	2,0.10 ⁻⁴	1,5.10 ⁻⁴	1,2.10 ⁻⁴	1,1.10 ⁻⁴	1,2.10 ⁻⁴
		M	0,005	8,0.10 ⁻⁵	5,0.10 ⁻⁴	7,7.10 ⁻⁵	6,0.10 ⁻⁵	4,8.10 ⁻⁵	4,7.10 ⁻⁵	5,0.10 ⁻⁵
		S	1,0.10 ⁻⁴	4,3.10 ⁻⁵	1,0.10 ⁻⁵	3,9.10 ⁻⁵	2,7.10 ⁻⁵	1,9.10 ⁻⁵	1,7.10 ⁻⁵	1,6.10 ⁻⁵
Pu-241	14,4 r	F	0,005	2,8.10 ⁻⁶	5,0.10 ⁻⁴	2,9.10 ⁻⁶	2,6.10 ⁻⁶	2,4.10 ⁻⁶	2,2.10 ⁻⁶	2,3.10 ⁻⁶
		M	0,005	9,1.10 ⁻⁷	5,0.10 ⁻⁴	9,7.10 ⁻⁷	9,2.10 ⁻⁷	8,3.10 ⁻⁷	8,6.10 ⁻⁷	9,0.10 ⁻⁷
		S	1,0.10 ⁻⁴	2,2.10 ⁻⁷	1,0.10 ⁻⁵	2,3.10 ⁻⁷	2,0.10 ⁻⁷	1,7.10 ⁻⁷	1,7.10 ⁻⁷	1,7.10 ⁻⁷
Pu-242	3,76 10 ⁵ r	F	0,005	2,0.10 ⁻⁴	5,0.10 ⁻⁴	1,9.10 ⁻⁴	1,4.10 ⁻⁴	1,2.10 ⁻⁴	1,1.10 ⁻⁴	1,1.10 ⁻⁴
		M	0,005	7,6.10 ⁻⁵	5,0.10 ⁻⁴	7,3.10 ⁻⁵	5,7.10 ⁻⁵	4,5.10 ⁻⁵	4,5.10 ⁻⁵	4,8.10 ⁻⁵
		S	1,0.10 ⁻⁴	4,0.10 ⁻⁵	1,0.10 ⁻⁵	3,6.10 ⁻⁵	2,5.10 ⁻⁵	1,7.10 ⁻⁵	1,6.10 ⁻⁵	1,5.10 ⁻⁵
Pu-243	4,95 h	F	0,005	2,7.10 ⁻¹⁰	5,0.10 ⁻⁴	1,9.10 ⁻¹⁰	8,8.10 ⁻¹¹	5,7.10 ⁻¹¹	3,5.10 ⁻¹¹	3,2.10 ⁻¹¹
		M	0,005	5,6.10 ⁻¹⁰	5,0.10 ⁻⁴	3,9.10 ⁻¹⁰	1,9.10 ⁻¹⁰	1,3.10 ⁻¹⁰	8,7.10 ⁻¹¹	8,3.10 ⁻¹¹
		S	1,0.10 ⁻⁴	6,0.10 ⁻¹⁰	1,0.10 ⁻⁵	4,1.10 ⁻¹⁰	2,0.10 ⁻¹⁰	1,4.10 ⁻¹⁰	9,2.10 ⁻¹¹	8,6.10 ⁻¹¹
Pu-244	8,26 10 ⁷ r	F	0,005	2,0.10 ⁻⁴	5,0.10 ⁻⁴	1,9.10 ⁻⁴	1,4.10 ⁻⁴	1,2.10 ⁻⁴	1,1.10 ⁻⁴	1,1.10 ⁻⁴
		M	0,005	7,4.10 ⁻⁵	5,0.10 ⁻⁴	7,2.10 ⁻⁵	5,6.10 ⁻⁵	4,5.10 ⁻⁵	4,4.10 ⁻⁵	4,7.10 ⁻⁵
		S	1,0.10 ⁻⁴	3,9.10 ⁻⁵	1,0.10 ⁻⁵	3,5.10 ⁻⁵	2,4.10 ⁻⁵	1,7.10 ⁻⁵	1,5.10 ⁻⁵	1,5.10 ⁻⁵
Pu-245	10,5 h	F	0,005	1,8.10 ⁻⁹	5,0.10 ⁻⁴	1,3.10 ⁻⁹	5,6.10 ⁻¹⁰	3,5.10 ⁻¹⁰	1,9.10 ⁻¹⁰	1,6.10 ⁻¹⁰
		M	0,005	3,6.10 ⁻⁹	5,0.10 ⁻⁴	2,5.10 ⁻⁹	1,2.10 ⁻⁹	8,0.10 ⁻¹⁰	5,0.10 ⁻¹⁰	4,0.10 ⁻¹⁰
		S	1,0.10 ⁻⁴	3,8.10 ⁻⁹	1,0.10 ⁻⁵	2,6.10 ⁻⁹	1,3.10 ⁻⁹	8,5.10 ⁻¹⁰	5,4.10 ⁻¹⁰	4,3.10 ⁻¹⁰
Pu-246	10,9 d	F	0,005	2,0.10 ⁻⁸	5,0.10 ⁻⁴	1,4.10 ⁻⁸	7,0.10 ⁻⁹	4,4.10 ⁻⁹	2,8.10 ⁻⁹	2,5.10 ⁻⁹
		M	0,005	3,5.10 ⁻⁸	5,0.10 ⁻⁴	2,6.10 ⁻⁸	1,5.10 ⁻⁸	1,1.10 ⁻⁸	9,1.10 ⁻⁹	7,4.10 ⁻⁹
		S	1,0.10 ⁻⁴	3,8.10 ⁻⁸	1,0.10 ⁻⁵	2,8.10 ⁻⁸	1,6.10 ⁻⁸	1,2.10 ⁻⁸	1,0.10 ⁻⁸	8,0.10 ⁻⁹
Americium										
Am-237	1,22 h	F	0,005	9,8.10 ⁻¹¹	5,0.10 ⁻⁴	7,3.10 ⁻¹¹	3,5.10 ⁻¹¹	2,2.10 ⁻¹¹	1,3.10 ⁻¹¹	1,1.10 ⁻¹¹
		M	0,005	1,7.10 ⁻¹⁰	5,0.10 ⁻⁴	1,2.10 ⁻¹⁰	6,2.10 ⁻¹¹	4,1.10 ⁻¹¹	3,0.10 ⁻¹¹	2,5.10 ⁻¹¹
		S	0,005	1,7.10 ⁻¹⁰	5,0.10 ⁻⁴	1,3.10 ⁻¹⁰	6,5.10 ⁻¹¹	4,3.10 ⁻¹¹	3,2.10 ⁻¹¹	2,6.10 ⁻¹¹
Am-238	1,63 h	F	0,005	4,1.10 ⁻¹⁰	5,0.10 ⁻⁴	3,8.10 ⁻¹⁰	2,5.10 ⁻¹⁰	2,0.10 ⁻¹⁰	1,8.10 ⁻¹⁰	1,9.10 ⁻¹⁰
		M	0,005	3,1.10 ⁻¹⁰	5,0.10 ⁻⁴	2,6.10 ⁻¹⁰	1,3.10 ⁻¹⁰	9,6.10 ⁻¹¹	8,8.10 ⁻¹¹	9,0.10 ⁻¹¹
		S	0,005	2,7.10 ⁻¹⁰	5,0.10 ⁻⁴	2,2.10 ⁻¹⁰	1,3.10 ⁻¹⁰	8,2.10 ⁻¹¹	6,1.10 ⁻¹¹	5,4.10 ⁻¹¹
Am-239	11,9 h	F	0,005	8,1.10 ⁻¹⁰	5,0.10 ⁻⁴	5,8.10 ⁻¹⁰	2,6.10 ⁻¹⁰	1,6.10 ⁻¹⁰	9,1.10 ⁻¹¹	7,6.10 ⁻¹¹
		M	0,005	1,5.10 ⁻⁹	5,0.10 ⁻⁴	1,1.10 ⁻⁹	5,6.10 ⁻¹⁰	3,7.10 ⁻¹⁰	2,7.10 ⁻¹⁰	2,2.10 ⁻¹⁰
		S	0,005	1,6.10 ⁻⁹	5,0.10 ⁻⁴	1,1.10 ⁻⁹	5,9.10 ⁻¹⁰	4,0.10 ⁻¹⁰	2,5.10 ⁻¹⁰	2,4.10 ⁻¹⁰
Am-240	2,12 d	F	0,005	2,0.10 ⁻⁹	5,0.10 ⁻⁴	1,7.10 ⁻⁹	8,8.10 ⁻¹⁰	5,7.10 ⁻¹⁰	3,6.10 ⁻¹⁰	2,3.10 ⁻¹⁰
		M	0,005	2,9.10 ⁻⁹	5,0.10 ⁻⁴	2,2.10 ⁻⁹	1,2.10 ⁻⁹	7,7.10 ⁻¹⁰	5,3.10 ⁻¹⁰	4,3.10 ⁻¹⁰
		S	0,005	3,0.10 ⁻⁹	5,0.10 ⁻⁴	2,3.10 ⁻⁹	1,2.10 ⁻⁹	7,8.10 ⁻¹⁰	5,3.10 ⁻¹⁰	4,3.10 ⁻¹⁰
Am-241	4,32 10 ² r	F	0,005	1,8.10 ⁻⁴	5,0.10 ⁻⁴	1,8.10 ⁻⁴	1,2.10 ⁻⁴	1,0.10 ⁻⁴	9,2.10 ⁻⁵	9,6.10 ⁻⁵
		M	0,005	7,3.10 ⁻⁵	5,0.10 ⁻⁴	6,9.10 ⁻⁵	5,1.10 ⁻⁵	4,0.10 ⁻⁵	4,0.10 ⁻⁵	4,2.10 ⁻⁵
		S	0,005	4,6.10 ⁻⁵	5,0.10 ⁻⁴	4,0.10 ⁻⁵	2,7.10 ⁻⁵	1,9.10 ⁻⁵	1,7.10 ⁻⁵	1,6.10 ⁻⁵
Am-242	16,0 h	F	0,005	9,2.10 ⁻⁸	5,0.10 ⁻⁴	7,1.10 ⁻⁸	3,5.10 ⁻⁸	2,1.10 ⁻⁸	1,4.10 ⁻⁸	1,1.10 ⁻⁸
		M	0,005	7,6.10 ⁻⁸	5,0.10 ⁻⁴	5,9.10 ⁻⁸	3,6.10 ⁻⁸	2,4.10 ⁻⁸	2,1.10 ⁻⁸	1,7.10 ⁻⁸
		S	0,005	8,0.10 ⁻⁸	5,0.10 ⁻⁴	6,2.10 ⁻⁸	3,9.10 ⁻⁸	2,7.10 ⁻⁸	2,4.10 ⁻⁸	2,0.10 ⁻⁸
Am-242m	1,52 10 ² r	F	0,005	1,6.10 ⁻⁴	5,0.10 ⁻⁴	1,5.10 ⁻⁴	1,1.10 ⁻⁴	9,4.10 ⁻⁵	8,8.10 ⁻⁵	9,2.10 ⁻⁵
		M	0,005	5,2.10 ⁻⁵	5,0.10 ⁻⁴	5,3.10 ⁻⁵	4,1.10 ⁻⁵	3,4.10 ⁻⁵	3,5.10 ⁻⁵	3,7.10 ⁻⁵
		S	0,005	2,5.10 ⁻⁵	5,0.10 ⁻⁴	2,4.10 ⁻⁵	1,7.10 ⁻⁵	1,2.10 ⁻⁵	1,1.10 ⁻⁵	1,1.10 ⁻⁵
Am-243	7,38 10 ³ r	F	0,005	1,8.10 ⁻⁴	5,0.10 ⁻⁴	1,7.10 ⁻⁴	1,2.10 ⁻⁴	1,0.10 ⁻⁴	9,1.10 ⁻⁵	9,6.10 ⁻⁵

Tabuľka č. 13: Konverzné faktory h_{inh} na prepočet príjmu rádionuklidov inhaláciou na úväzok efektívnej dávky u jednotlivcov z obyvateľstva

prvok nuklid	Polčas premeny	Typ	vek < 1 rok		f_1	h_{inh} (Sv.Bq ⁻¹)				
			f_1	h_{inh}	> 1 rok	1 – 2	2 - 7	7 - 12	12 - 17	> 17 (dospelí)
		M	0,005	7,2.10 ⁻⁵	5,0.10 ⁻⁴	6,8.10 ⁻⁵	5,0.10 ⁻⁵	4,0.10 ⁻⁵	4,0.10 ⁻⁵	4,1.10 ⁻⁵
		S	0,005	4,4.10 ⁻⁵	5,0.10 ⁻⁴	3,9.10 ⁻⁵	2,6.10 ⁻⁵	1,8.10 ⁻⁵	1,6.10 ⁻⁵	1,5.10 ⁻⁵
Am-244	10,1 h	F	0,005	1,0.10 ⁻⁸	5,0.10 ⁻⁴	9,2.10 ⁻⁹	5,6.10 ⁻⁹	4,1.10 ⁻⁹	3,5.10 ⁻⁹	3,7.10 ⁻⁹
		M	0,005	6,0.10 ⁻⁹	5,0.10 ⁻⁴	5,0.10 ⁻⁹	3,2.10 ⁻⁹	2,2.10 ⁻⁹	2,0.10 ⁻⁹	2,0.10 ⁻⁹
		S	0,005	6,1.10 ⁻⁹	5,0.10 ⁻⁴	4,8.10 ⁻⁹	2,4.10 ⁻⁹	1,6.10 ⁻⁹	1,4.10 ⁻⁹	1,2.10 ⁻⁹
Am-244m	0,433 h	F	0,005	4,6.10 ⁻¹⁰	5,0.10 ⁻⁴	4,0.10 ⁻¹⁰	2,4.10 ⁻¹⁰	1,8.10 ⁻¹⁰	1,5.10 ⁻¹⁰	1,6.10 ⁻¹⁰
		M	0,005	3,3.10 ⁻¹⁰	5,0.10 ⁻⁴	2,1.10 ⁻¹⁰	1,3.10 ⁻¹⁰	9,2.10 ⁻¹¹	8,3.10 ⁻¹¹	8,4.10 ⁻¹¹
		S	0,005	3,0.10 ⁻¹⁰	5,0.10 ⁻⁴	2,2.10 ⁻¹⁰	1,2.10 ⁻¹⁰	8,1.10 ⁻¹¹	5,5.10 ⁻¹¹	5,7.10 ⁻¹¹
Am-245	2,05 h	F	0,005	2,1.10 ⁻¹⁰	5,0.10 ⁻⁴	1,4.10 ⁻¹⁰	6,2.10 ⁻¹¹	4,0.10 ⁻¹¹	2,4.10 ⁻¹¹	2,1.10 ⁻¹¹
		M	0,005	3,9.10 ⁻¹⁰	5,0.10 ⁻⁴	2,6.10 ⁻¹⁰	1,3.10 ⁻¹⁰	8,7.10 ⁻¹¹	6,4.10 ⁻¹¹	5,3.10 ⁻¹¹
		S	0,005	4,1.10 ⁻¹⁰	5,0.10 ⁻⁴	2,8.10 ⁻¹⁰	1,3.10 ⁻¹⁰	9,2.10 ⁻¹¹	6,8.10 ⁻¹¹	5,6.10 ⁻¹¹
Am-246	0,650 h	F	0,005	3,0.10 ⁻¹⁰	5,0.10 ⁻⁴	2,0.10 ⁻¹⁰	9,3.10 ⁻¹¹	6,1.10 ⁻¹¹	3,8.10 ⁻¹¹	3,3.10 ⁻¹¹
		M	0,005	5,0.10 ⁻¹⁰	5,0.10 ⁻⁴	3,4.10 ⁻¹⁰	1,6.10 ⁻¹⁰	1,1.10 ⁻¹⁰	7,9.10 ⁻¹¹	6,6.10 ⁻¹¹
		S	0,005	5,3.10 ⁻¹⁰	5,0.10 ⁻⁴	3,6.10 ⁻¹⁰	1,7.10 ⁻¹⁰	1,2.10 ⁻¹⁰	8,3.10 ⁻¹¹	6,9.10 ⁻¹¹
Am-246m	0,417 h	F	0,005	1,3.10 ⁻¹⁰	5,0.10 ⁻⁴	8,9.10 ⁻¹¹	4,2.10 ⁻¹¹	2,6.10 ⁻¹¹	1,6.10 ⁻¹¹	1,4.10 ⁻¹¹
		M	0,005	1,9.10 ⁻¹⁰	5,0.10 ⁻⁴	1,3.10 ⁻¹⁰	6,1.10 ⁻¹¹	4,0.10 ⁻¹¹	2,6.10 ⁻¹¹	2,2.10 ⁻¹¹
		S	0,005	2,0.10 ⁻¹⁰	5,0.10 ⁻⁴	1,4.10 ⁻¹⁰	6,4.10 ⁻¹¹	4,1.10 ⁻¹¹	2,7.10 ⁻¹¹	2,3.10 ⁻¹¹
Curium										
Cm-238	2,40 h	F	0,005	7,7.10 ⁻⁹	5,0.10 ⁻⁴	5,4.10 ⁻⁹	2,6.10 ⁻⁹	1,8.10 ⁻⁹	9,2.10 ⁻¹⁰	7,8.10 ⁻¹⁰
		M	0,005	2,1.10 ⁻⁸	5,0.10 ⁻⁴	1,5.10 ⁻⁸	7,9.10 ⁻⁹	5,9.10 ⁻⁹	5,6.10 ⁻⁹	4,5.10 ⁻⁹
		S	0,005	2,2.10 ⁻⁸	5,0.10 ⁻⁴	1,6.10 ⁻⁸	8,6.10 ⁻⁹	6,4.10 ⁻⁹	6,1.10 ⁻⁹	4,9.10 ⁻⁹
Cm-240	27,0 d	F	0,005	8,3.10 ⁻⁶	5,0.10 ⁻⁴	6,3.10 ⁻⁶	3,2.10 ⁻⁶	2,0.10 ⁻⁶	1,5.10 ⁻⁶	1,3.10 ⁻⁶
		M	0,005	1,2.10 ⁻⁵	5,0.10 ⁻⁴	9,1.10 ⁻⁶	5,8.10 ⁻⁶	4,2.10 ⁻⁶	3,8.10 ⁻⁶	3,2.10 ⁻⁶
		S	0,005	1,3.10 ⁻⁵	5,0.10 ⁻⁴	9,9.10 ⁻⁶	6,4.10 ⁻⁶	4,6.10 ⁻⁶	4,3.10 ⁻⁶	3,5.10 ⁻⁶
Cm-241	32,8 d	F	0,005	1,1.10 ⁻⁷	5,0.10 ⁻⁴	8,9.10 ⁻⁸	4,9.10 ⁻⁸	3,5.10 ⁻⁸	2,8.10 ⁻⁸	2,7.10 ⁻⁸
		M	0,005	1,3.10 ⁻⁷	5,0.10 ⁻⁴	1,0.10 ⁻⁷	6,6.10 ⁻⁸	4,8.10 ⁻⁸	4,4.10 ⁻⁸	3,7.10 ⁻⁸
		S	0,005	1,4.10 ⁻⁷	5,0.10 ⁻⁴	1,1.10 ⁻⁷	6,9.10 ⁻⁸	4,9.10 ⁻⁸	4,5.10 ⁻⁸	3,7.10 ⁻⁸
Cm-242	163 d	F	0,005	2,7.10 ⁻⁵	5,0.10 ⁻⁴	2,1.10 ⁻⁵	1,0.10 ⁻⁵	6,1.10 ⁻⁶	4,0.10 ⁻⁶	3,3.10 ⁻⁶
		M	0,005	2,2.10 ⁻⁵	5,0.10 ⁻⁴	1,8.10 ⁻⁵	1,1.10 ⁻⁵	7,3.10 ⁻⁶	6,4.10 ⁻⁶	5,2.10 ⁻⁶
		S	0,005	2,4.10 ⁻⁵	5,0.10 ⁻⁴	1,9.10 ⁻⁵	1,2.10 ⁻⁵	8,2.10 ⁻⁶	7,3.10 ⁻⁶	5,9.10 ⁻⁶
Cm-243	28,5 r	F	0,005	1,6.10 ⁻⁴	5,0.10 ⁻⁴	1,5.10 ⁻⁴	9,5.10 ⁻⁵	7,3.10 ⁻⁵	6,5.10 ⁻⁵	6,9.10 ⁻⁵
		M	0,005	6,7.10 ⁻⁵	5,0.10 ⁻⁴	6,1.10 ⁻⁵	4,2.10 ⁻⁵	3,1.10 ⁻⁵	3,0.10 ⁻⁵	3,1.10 ⁻⁵
		S	0,005	4,6.10 ⁻⁵	5,0.10 ⁻⁴	4,0.10 ⁻⁵	2,6.10 ⁻⁵	1,8.10 ⁻⁵	1,6.10 ⁻⁵	1,5.10 ⁻⁵
Cm-244	18,1 r	F	0,005	1,5.10 ⁻⁴	5,0.10 ⁻⁴	1,3.10 ⁻⁴	8,3.10 ⁻⁵	6,1.10 ⁻⁵	5,3.10 ⁻⁵	5,7.10 ⁻⁵
		M	0,005	6,2.10 ⁻⁵	5,0.10 ⁻⁴	5,7.10 ⁻⁵	3,7.10 ⁻⁵	2,7.10 ⁻⁵	2,6.10 ⁻⁵	2,7.10 ⁻⁵
		S	0,005	4,4.10 ⁻⁵	5,0.10 ⁻⁴	3,8.10 ⁻⁵	2,5.10 ⁻⁵	1,7.10 ⁻⁵	1,5.10 ⁻⁵	1,3.10 ⁻⁵
Cm-245	8,50 10 ³ r	F	0,005	1,9.10 ⁻⁴	5,0.10 ⁻⁴	1,8.10 ⁻⁴	1,2.10 ⁻⁴	1,0.10 ⁻⁴	9,4.10 ⁻⁵	9,9.10 ⁻⁵
		M	0,005	7,3.10 ⁻⁵	5,0.10 ⁻⁴	6,9.10 ⁻⁵	5,1.10 ⁻⁵	4,1.10 ⁻⁵	4,1.10 ⁻⁵	4,2.10 ⁻⁵
		S	0,005	4,5.10 ⁻⁵	5,0.10 ⁻⁴	4,0.10 ⁻⁵	2,7.10 ⁻⁵	1,9.10 ⁻⁵	1,7.10 ⁻⁵	1,6.10 ⁻⁵
Cm-246	4,73 10 ³ r	F	0,005	1,9.10 ⁻⁴	5,0.10 ⁻⁴	1,8.10 ⁻⁴	1,2.10 ⁻⁴	1,0.10 ⁻⁴	9,4.10 ⁻⁵	9,8.10 ⁻⁵
		M	0,005	7,3.10 ⁻⁵	5,0.10 ⁻⁴	6,9.10 ⁻⁵	5,1.10 ⁻⁵	4,1.10 ⁻⁵	4,1.10 ⁻⁵	4,2.10 ⁻⁵
		S	0,005	4,6.10 ⁻⁵	5,0.10 ⁻⁴	4,0.10 ⁻⁵	2,7.10 ⁻⁵	1,9.10 ⁻⁵	1,7.10 ⁻⁵	1,6.10 ⁻⁵
Cm-247	1,56 10 ⁷ r	F	0,005	1,7.10 ⁻⁴	5,0.10 ⁻⁴	1,6.10 ⁻⁴	1,1.10 ⁻⁴	9,4.10 ⁻⁵	8,6.10 ⁻⁵	9,0.10 ⁻⁵
		M	0,005	6,7.10 ⁻⁵	5,0.10 ⁻⁴	6,3.10 ⁻⁵	4,7.10 ⁻⁵	3,7.10 ⁻⁵	3,7.10 ⁻⁵	3,9.10 ⁻⁵
		S	0,005	4,1.10 ⁻⁵	5,0.10 ⁻⁴	3,6.10 ⁻⁵	2,4.10 ⁻⁵	1,7.10 ⁻⁵	1,5.10 ⁻⁵	1,4.10 ⁻⁵
Cm-248	3,39 10 ³ r	F	0,005	6,8.10 ⁻⁴	5,0.10 ⁻⁴	6,5.10 ⁻⁴	4,5.10 ⁻⁴	3,7.10 ⁻⁴	3,4.10 ⁻⁴	3,6.10 ⁻⁴
		M	0,005	2,5.10 ⁻⁴	5,0.10 ⁻⁴	2,4.10 ⁻⁴	1,8.10 ⁻⁴	1,4.10 ⁻⁴	1,4.10 ⁻⁴	1,5.10 ⁻⁴
		S	0,005	1,4.10 ⁻⁴	5,0.10 ⁻⁴	1,2.10 ⁻⁴	8,2.10 ⁻⁵	5,6.10 ⁻⁵	5,0.10 ⁻⁵	4,8.10 ⁻⁵
Cm-249	1,07 h	F	0,005	1,8.10 ⁻¹⁰	5,0.10 ⁻⁴	9,8.10 ⁻¹¹	5,9.10 ⁻¹¹	4,6.10 ⁻¹¹	4,0.10 ⁻¹¹	4,0.10 ⁻¹¹
		M	0,005	2,4.10 ⁻¹⁰	5,0.10 ⁻⁴	1,6.10 ⁻¹⁰	8,2.10 ⁻¹¹	5,8.10 ⁻¹¹	3,7.10 ⁻¹¹	3,3.10 ⁻¹¹
		S	0,005	2,4.10 ⁻¹⁰	5,0.10 ⁻⁴	1,6.10 ⁻¹⁰	7,8.10 ⁻¹¹	5,3.10 ⁻¹¹	3,9.10 ⁻¹¹	3,3.10 ⁻¹¹
Cm-250	6,90 10 ³ r	F	0,005	3,9.10 ⁻³	5,0.10 ⁻⁴	3,7.10 ⁻³	2,6.10 ⁻³	2,1.10 ⁻³	2,0.10 ⁻³	2,1.10 ⁻³
		M	0,005	1,4.10 ⁻³	5,0.10 ⁻⁴	1,3.10 ⁻³	9,9.10 ⁻⁴	7,9.10 ⁻⁴	7,9.10 ⁻⁴	8,4.10 ⁻⁴
		S	0,005	7,2.10 ⁻⁴	5,0.10 ⁻⁴	6,5.10 ⁻⁴	4,4.10 ⁻⁴	3,0.10 ⁻⁴	2,7.10 ⁻⁴	2,6.10 ⁻⁴
Berkélium										
Bk-245	4,94 d	M	0,005	8,8.10 ⁻⁹	5,0.10 ⁻⁴	6,6.10 ⁻⁹	4,0.10 ⁻⁹	2,9.10 ⁻⁹	2,6.10 ⁻⁹	2,1.10 ⁻⁹
Bk-246	1,83 d	M	0,005	2,1.10 ⁻⁹	5,0.10 ⁻⁴	1,7.10 ⁻⁹	9,3.10 ⁻¹⁰	6,0.10 ⁻¹⁰	4,0.10 ⁻¹⁰	3,3.10 ⁻¹⁰
Bk-247	1,38 10 ³ r	M	0,005	1,5.10 ⁻⁴	5,0.10 ⁻⁴	1,5.10 ⁻⁴	1,1.10 ⁻⁴	7,9.10 ⁻⁵	7,2.10 ⁻⁵	6,9.10 ⁻⁵
Bk-249	320 d	M	0,005	3,3.10 ⁻⁷	5,0.10 ⁻⁴	3,3.10 ⁻⁷	2,4.10 ⁻⁷	1,8.10 ⁻⁷	1,6.10 ⁻⁷	1,6.10 ⁻⁷

Tabuľka č. 13: Konverzné faktory h_{inh} na prepočet príjmu rádionuklidov inhaláciou na úväzok efektívnej dávky u jednotlivcov z obyvateľstva

prvok nuklid	Polčas premeny	Typ	vek < 1 rok		f_1 > 1 rok	h_{inh} (Sv.Bq ⁻¹)				
			f_1	h_{inh}		1 - 2	2 - 7	7 - 12	12 - 17	> 17 (dospelí)
Bk-250	3,22 h	M	0,005	$3,4 \cdot 10^{-9}$	$5,0 \cdot 10^{-4}$	$3,1 \cdot 10^{-9}$	$2,0 \cdot 10^{-9}$	$1,3 \cdot 10^{-9}$	$1,1 \cdot 10^{-9}$	$1,0 \cdot 10^{-9}$
Kalifornium										
Cf-244	0,323 h	M	0,005	$7,6 \cdot 10^{-8}$	$5,0 \cdot 10^{-4}$	$5,4 \cdot 10^{-8}$	$2,8 \cdot 10^{-8}$	$2,0 \cdot 10^{-8}$	$1,6 \cdot 10^{-8}$	$1,4 \cdot 10^{-8}$
Cf-246	1,49 d	M	0,005	$1,7 \cdot 10^{-6}$	$5,0 \cdot 10^{-4}$	$1,3 \cdot 10^{-6}$	$8,3 \cdot 10^{-7}$	$6,1 \cdot 10^{-7}$	$5,7 \cdot 10^{-7}$	$4,5 \cdot 10^{-7}$
Cf-248	334 d	M	0,005	$3,8 \cdot 10^{-5}$	$5,0 \cdot 10^{-4}$	$3,2 \cdot 10^{-5}$	$2,1 \cdot 10^{-5}$	$1,4 \cdot 10^{-5}$	$1,0 \cdot 10^{-5}$	$8,8 \cdot 10^{-6}$
Cf-249	$3,50 \cdot 10^2$ r	M	0,005	$1,6 \cdot 10^{-4}$	$5,0 \cdot 10^{-4}$	$1,5 \cdot 10^{-4}$	$1,1 \cdot 10^{-4}$	$8,0 \cdot 10^{-5}$	$7,2 \cdot 10^{-5}$	$7,0 \cdot 10^{-5}$
Cf-250	13,1 r	M	0,005	$1,1 \cdot 10^{-4}$	$5,0 \cdot 10^{-4}$	$9,8 \cdot 10^{-5}$	$6,6 \cdot 10^{-5}$	$4,2 \cdot 10^{-5}$	$3,5 \cdot 10^{-5}$	$3,4 \cdot 10^{-5}$
Cf-251	$8,98 \cdot 10^2$ r	M	0,005	$1,6 \cdot 10^{-4}$	$5,0 \cdot 10^{-4}$	$1,5 \cdot 10^{-4}$	$1,1 \cdot 10^{-4}$	$8,1 \cdot 10^{-5}$	$7,3 \cdot 10^{-5}$	$7,1 \cdot 10^{-5}$
Cf-252	2,64 r	M	0,005	$9,7 \cdot 10^{-5}$	$5,0 \cdot 10^{-4}$	$8,7 \cdot 10^{-5}$	$5,6 \cdot 10^{-5}$	$3,2 \cdot 10^{-5}$	$2,2 \cdot 10^{-5}$	$2,0 \cdot 10^{-5}$
Cf-253	17,8 d	M	0,005	$5,4 \cdot 10^{-6}$	$5,0 \cdot 10^{-4}$	$4,2 \cdot 10^{-6}$	$2,6 \cdot 10^{-6}$	$1,9 \cdot 10^{-6}$	$1,7 \cdot 10^{-6}$	$1,3 \cdot 10^{-6}$
Cf-254	60,5 d	M	0,005	$2,5 \cdot 10^{-4}$	$5,0 \cdot 10^{-4}$	$1,9 \cdot 10^{-4}$	$1,1 \cdot 10^{-4}$	$7,0 \cdot 10^{-5}$	$4,8 \cdot 10^{-5}$	$4,1 \cdot 10^{-5}$
Einsteinium										
Es-250	2,10 h	M	0,005	$2,0 \cdot 10^{-9}$	$5,0 \cdot 10^{-4}$	$1,8 \cdot 10^{-9}$	$1,2 \cdot 10^{-9}$	$7,8 \cdot 10^{-10}$	$6,4 \cdot 10^{-10}$	$6,3 \cdot 10^{-10}$
Es-251	1,38 d	M	0,005	$7,9 \cdot 10^{-9}$	$5,0 \cdot 10^{-4}$	$6,0 \cdot 10^{-9}$	$3,9 \cdot 10^{-9}$	$2,8 \cdot 10^{-9}$	$2,6 \cdot 10^{-9}$	$2,1 \cdot 10^{-9}$
Es-253	20,5 d	M	0,005	$1,1 \cdot 10^{-5}$	$5,0 \cdot 10^{-4}$	$8,0 \cdot 10^{-6}$	$5,1 \cdot 10^{-6}$	$3,7 \cdot 10^{-6}$	$3,4 \cdot 10^{-6}$	$2,7 \cdot 10^{-6}$
Es-254	276 d	M	0,005	$3,7 \cdot 10^{-5}$	$5,0 \cdot 10^{-4}$	$3,1 \cdot 10^{-5}$	$2,0 \cdot 10^{-5}$	$1,3 \cdot 10^{-5}$	$1,0 \cdot 10^{-5}$	$8,6 \cdot 10^{-6}$
Es-254m	1,64 d	M	0,005	$1,7 \cdot 10^{-6}$	$5,0 \cdot 10^{-4}$	$1,3 \cdot 10^{-6}$	$8,4 \cdot 10^{-7}$	$6,3 \cdot 10^{-7}$	$5,9 \cdot 10^{-7}$	$4,7 \cdot 10^{-7}$
Fermium										
Fm-252	22,7 h	M	0,005	$1,2 \cdot 10^{-6}$	$5,0 \cdot 10^{-4}$	$9,0 \cdot 10^{-7}$	$5,8 \cdot 10^{-7}$	$4,3 \cdot 10^{-7}$	$4,0 \cdot 10^{-7}$	$3,2 \cdot 10^{-7}$
Fm-253	3,00 d	M	0,005	$1,5 \cdot 10^{-6}$	$5,0 \cdot 10^{-4}$	$1,2 \cdot 10^{-6}$	$7,3 \cdot 10^{-7}$	$5,4 \cdot 10^{-7}$	$5,0 \cdot 10^{-7}$	$4,0 \cdot 10^{-7}$
Fm-254	3,24 h	M	0,005	$3,2 \cdot 10^{-7}$	$5,0 \cdot 10^{-4}$	$2,3 \cdot 10^{-7}$	$1,3 \cdot 10^{-7}$	$9,8 \cdot 10^{-8}$	$7,6 \cdot 10^{-8}$	$6,1 \cdot 10^{-8}$
Fm-255	20,1 h	M	0,005	$1,2 \cdot 10^{-6}$	$5,0 \cdot 10^{-4}$	$7,3 \cdot 10^{-7}$	$4,7 \cdot 10^{-7}$	$3,5 \cdot 10^{-7}$	$3,4 \cdot 10^{-7}$	$2,7 \cdot 10^{-7}$
Fm-257	101 d	M	0,005	$3,3 \cdot 10^{-5}$	$5,0 \cdot 10^{-4}$	$2,6 \cdot 10^{-5}$	$1,6 \cdot 10^{-5}$	$1,1 \cdot 10^{-5}$	$8,8 \cdot 10^{-6}$	$7,1 \cdot 10^{-6}$
mendelevium										
Md-257	5,20 h	M	0,005	$1,0 \cdot 10^{-7}$	$5,0 \cdot 10^{-4}$	$8,2 \cdot 10^{-8}$	$5,1 \cdot 10^{-8}$	$3,6 \cdot 10^{-8}$	$3,1 \cdot 10^{-8}$	$2,5 \cdot 10^{-8}$
Md-258	55,0 d	M	0,005	$2,4 \cdot 10^{-5}$	$5,0 \cdot 10^{-4}$	$1,9 \cdot 10^{-5}$	$1,2 \cdot 10^{-5}$	$8,6 \cdot 10^{-6}$	$7,3 \cdot 10^{-6}$	$5,9 \cdot 10^{-6}$

Poznámka:

Konverzné faktory h_{inh} pre príjem inhaláciou sú uvedené v závislosti od typu absorpcie v pľúcach.

Príslušné parametre pre jednotlivé chemické látky a zlúčeniny sú uvedené v tabuľke č. 3 tejto prílohy.

Pri bližšie neidentifikovaných rádionuklidoch a chemických foriem rádioaktívnych látok alebo vlastností vdychovaného aerosólu sa aktivita prisudzuje tým rádionuklidom a ich formám alebo takému aerosólu, pre ktorý je v tabuľke stanovený najvyšší konverzný faktor.

Konverzné faktory $h(g)_{inh}$ na stanovenie úväzku efektívnej dávky jednotlivca z obyvateľstva a pracovníka z príjmu rádioaktívnych výparov vdýchnutím

Tabuľka č. 14 Konverzné koeficienty na prepočet objemových aktivít rozpustných plynov alebo reaktívnych plynov na efektívnu dávku u pracovníkov a dospelých jednotlivcov z obyvateľstva

Nuklid	Chemická forma	$T_{1/2}$	$h(g)_{inh}$ [Sv.Bq ⁻¹]
H-3	plyn	12,3 r	$1,8 \cdot 10^{-15}$
H-3	vodná para	12,3 r	$1,8 \cdot 10^{-11}$
H-3	organicky viazané trícium	12,3 r	$4,1 \cdot 10^{-11}$
C-11	výpary	0,34 h	$3,2 \cdot 10^{-12}$
C-11	oxid uhličitý	0,34 h	$2,2 \cdot 10^{-12}$
C-11	oxid uhoľnatý	0,34 h	$1,2 \cdot 10^{-12}$
C-14	výpary	$5,73 \cdot 10^3$ r	$5,8 \cdot 10^{-10}$
C-14	oxid uhličitý	$5,73 \cdot 10^3$ r	$6,5 \cdot 10^{-12}$
C-14	oxid uhoľnatý	$5,73 \cdot 10^3$ r	$8,0 \cdot 10^{-13}$
S-35	para	87,4 d	$1,2 \cdot 10^{-10}$
Ni-56 u	tetrakarbonyl niklu	6,10 d	$1,2 \cdot 10^{-9}$
Ni-57	tetrakarbonyl niklu	1,50 d	$5,6 \cdot 10^{-10}$
Ni-59	tetrakarbonyl niklu	$7,50 \cdot 10^4$ r	$8,3 \cdot 10^{-10}$
Ni-63	tetrakarbonyl niklu	96,0 r	$2,0 \cdot 10^{-9}$
Ni-65	tetrakarbonyl niklu	2,52 h	$3,6 \cdot 10^{-10}$
Ni-66	tetrakarbonyl niklu	2,27 d	$1,6 \cdot 10^{-9}$
I-120	para	1,35 h	$3,0 \cdot 10^{-10}$
I-120m	para	0,88 h	$1,8 \cdot 10^{-10}$
I-121	para	2,12 h	$8,6 \cdot 10^{-11}$
I-123	para	13,2 h	$2,1 \cdot 10^{-10}$
I-124	para	4,18 d	$1,2 \cdot 10^{-8}$
I-125	para	60,1 d	$1,4 \cdot 10^{-8}$
I-126	para	13,0 d	$2,6 \cdot 10^{-8}$
I-128	para	0,42 h	$6,5 \cdot 10^{-11}$
I-129	para	$1,57 \cdot 10^7$ r	$9,6 \cdot 10^{-8}$
I-130	para	12,4 h	$1,9 \cdot 10^{-9}$
I-131	para	8,04 d	$2,0 \cdot 10^{-8}$
I-132	para	2,30 h	$3,1 \cdot 10^{-10}$
I-132m	para	1,39 h	$2,7 \cdot 10^{-10}$
I-133	para	20,8 h	$4,0 \cdot 10^{-9}$
I-134	para	0,88 h	$1,5 \cdot 10^{-10}$
I-135	para	6,61 h	$9,2 \cdot 10^{-10}$
Hg-193	para	3,50 h	$1,1 \cdot 10^{-9}$
Hg-193m	para	11,1 h	$3,1 \cdot 10^{-9}$
Hg-194	para	$2,60 \cdot 10^2$ r	$4,0 \cdot 10^{-8}$
Hg-195	para	9,90 h	$1,4 \cdot 10^{-9}$
Hg-195m	para	1,73 d	$8,2 \cdot 10^{-9}$
Hg-197	para	2,67 d	$4,4 \cdot 10^{-9}$
Hg-197m	para	23,8 h	$5,8 \cdot 10^{-9}$
Hg-199m	para	0,71 h	$1,8 \cdot 10^{-10}$
Hg-203	para	46,60 d	$7,0 \cdot 10^{-9}$